



دانشگاه فنی شهرورد

جلد ۱۶ شماره ۱

سال ۱۳۹۷

(شماره پیاپی: ۴۹)

شماره: ۱۴۷۲-۲۰۰۸

# نشریه علمی - پژوهشی پژوهش‌های ذرایعی ایران

## عنوان مقالات

حداکثر کارایی فتوسیستم II به عنوان شاخصی از خسارت بخزدگی در اکونیپ‌های جاوده‌دار (Secale montanum) چند سال	۱
احمد ظریفی - سعید خانی نژاد - محمود رضا بهرامی - حامد ظریفی کتابی	
بررسی شاخص‌های رشد و عراحل فولوزیک کنجد (Sesamum indicum L.) در شرایط استفاده از منابع تغذیه‌ای ذیستی و شبیه‌ای	۱۰
محمد جواد مصطفوی مهدی صفری محلاتی غیرطبی کوچکی	
واکنش برخی از صفات خاک و ویژگی‌های کیفی دانه آفتابگردان به رزیم‌های مختلف تقدیمه‌ای	۲۵
فاطمه سلیمانی - گلورا حمدونه - علی اکبر صفری منجانی	
افزایش کودهای آبی و شبیه‌ای بر عملکرد کمی و کیفی وسمه (Indigofera tinctoria L.) در سطوح مختلف آبیاری در منطقه بهمن	۴۹
تادر مداغی بهزادی - یروز رضوانی مقadem - محسن جوان	
تأثیر نباتات محیاگان در دو نوع بافت خاک بر ویژگی‌های خاک و عملکرد ذرت دانه‌ای رقم ۴۰۶۶۴۰ در نظام کشاورزی کیم شخص	۶۷
عین الدین جامن - محسن جوان - مهدی صیری محلاتی روزبه مرهدی	
از زیانی فناوری‌های هستی یو دنرو تنسیوزون‌ها در شناسایی مکان‌های مرتبط با صفات مهم زراعی و مقاومت به بیماری یوسیدگی اسکلروتیزیابی یقه ساقه در آفتابگردان روغنی (Helianthus annuus L.) تحت شرایط مزرعه‌ای	۸۳
رسیده زنگنه - ناصری - فرج الله شهریاری - رضا درویش زاده - سعید منک زاده	
افزایش محلول‌بافی عناصر دیزیمیلای تانو بر صفات کمی و کیفی در ۱۸ زنوتیپ گندم دوروم دیم	۹۷
یحیی بیرونی ملکعلی - بگل - حسن پیغمبر - اصغر شهریاری - مسعود علی بنده	
تأثیر تنش خشکی بر کارایی مصرف آب و اجزای آن در دو زنوتیپ و یک رقم ارزش دمروباها	۱۱۳
مسعود حرامی - محمد کلوبی - مهدی دهمده - سید محسن موسوی نیکه - غلامرضا زمانی - نفیه مهیزی زاده	
افزایش محلول‌بافی کود روی بر عملکرد دانه و محتوی روی دانه برخج رقم سازندگی	۱۲۵
احمد رمضانی - محمود صلحی - مصطفی الدین رضانی	
تفییرات تسبیت کریم به نیتروژن خاک و پاسخ رشدی گیاه دارویی شاهدانه (Cannabis sativa L.) در واکنش به سطوح مختلف کودهای دائمی و شبیه‌ای	۱۳۷
سعیده لاله - مجید جامی - الاصحاء - سهیل یارمنا	
کاربرد مفهوم زمان‌گیرمایی جهت مدل‌سازی پاسخ جوانه‌زنی کلزا (Brassica napus L.) به دهن	۱۵۳
او الفصل درختان - عبدالوهابی ختنده - مهدی عطالت میاد - محمد رضا برادری نژاد - پهرم نظریان	
افزایش تاریخ کاشت، کود زیستی حاوی باکتری‌های حل‌کننده فسفات و محلول‌بافی عناصر روی و بور بر صفات فیزیولوژیک و ذرایعی گندم نان (رقم افلاتک)	۱۶۵
حسین کسانی - حمیدرضا عیسوی - فرهاد نظریان	
بورسی افزایشی کم ب میزان فتوستز و شاخص‌های رشد اکونیپ‌های حنا (Lavsonia inermis L.)	۱۸۱
امن یمندی بور - حسن فرجی بخشش	
از زیانی پاسخ به تنش خشکی در برخی از لاین‌های موقالت برخج با استفاده از شاخص‌های تحمل به تنش	۱۹۱
هاسم امین‌بنده - بیمان شربنی - علی اکبر علادی	

# نشریه پژوهش‌های زراعی ایران

«نشریه علمی - پژوهشی قطب علمی گیاهان زراعی ویژه»

با شماره ثبت 124/7857 از وزارت فرهنگ و ارشاد اسلامی و  
82/5/27

درجه علمی - پژوهشی شماره 3/11/74509 از وزارت علوم، تحقیقات و فناوری  
89/10/21

سال 1397

شماره 1

جلد 16

دانشگاه فردوسی مشهد	صاحب امتیاز:
پرویز رضوانی مقدم	مدیر مسئول:
حمیدرضا خزاعی	سردیبر:

## اعضای هیئت تحریریه:

یحیی امام	استاد - فیزیولوژی گیاهان زراعی (دانشگاه شیراز)
عبدالرضا باقری	استاد - ژنتیک و اصلاح نباتات (دانشگاه فردوسی مشهد)
محمدعلی بهمنی	استاد - اکولوژی گیاهان زراعی (دانشگاه بیرجند)
محمد بنیان اول	استاد - مدلسازی سیستم‌های کشاورزی (دانشگاه فردوسی مشهد)
مجید جامی الاحمدی	دانشیار - فیزیولوژی گیاهان زراعی (دانشگاه بیرجند)
حمیدرضا خزاعی	استاد - فیزیولوژی گیاهان زراعی (دانشگاه فردوسی مشهد)
حمید رحیمیان مشهدی	استاد - فیزیولوژی گیاهان زراعی (دانشگاه تهران)
غلامرضا زمانی	دانشیار - فیزیولوژی گیاهان زراعی (دانشگاه بیرجند)
احمد زارع فیض آبادی	استاد - اکولوژی گیاهان زراعی (مرکز تحقیقات کشاورزی و منابع طبیعی خراسان رضوی)
فرج الله شهریاری احمدی	استاد - ژنتیک و اصلاح نباتات (دانشگاه فردوسی مشهد)
محمد کافی	استاد - فیزیولوژی گیاهان زراعی (دانشگاه فردوسی مشهد)
احمد نظامی	استاد - فیزیولوژی گیاهان زراعی (دانشگاه فردوسی مشهد)
داریوش مظاہری	استاد - اکولوژی گیاهان زراعی (دانشگاه تهران)

ناشر: انتشارات دانشگاه فردوسی مشهد

چاپ: چاپخانه دانشگاه فردوسی مشهد

شماره گان: 20 نسخه

نشانی: مشهد، دانشگاه فردوسی مشهد، دانشکده کشاورزی، دیرخانه نشریات علمی، نشریه پژوهش‌های زراعی ایران صندوق پستی 91775-1163

نمبر: 38787430

پست الکترونیک: cesc@um.ac.ir

مقالات این شماره در سایت <https://jesc.um.ac.ir> به صورت مقاله کامل نمایه شده است.

این نشریه در پایگاه‌های زیر نمایه می‌شود:

پایگاه استنادی جهان اسلام (ISCI) پایگاه اطلاعات علمی جهاد دانشگاهی (SID) بانک اطلاعات نشریات کشور (MAGIRAN)

# سُمَّالِ الْجَنَاحِيَّةِ

## مندرجات

- 1 حداکثر کارایی فتوسیستم II بعنوان شاخصی از خسارت یخ‌زدگی در اکوئیپ‌های چاودار (*Secale montanum*) چندساله  
احمد نظاری - سعید خانی نژاد - محمود رضا بهرامی - حامد ظریف کتابی
- 15 برسی شاخص‌های رشد و مراحل فنولوژیک کنجد (*Sesamum indicum* L.) در شرایط استفاده از منابع تغذیه‌ای زیستی و  
شیمیایی  
محمد جواد مصطفوی - مهدی نصیری محلاتی - علیرضا کوچکی
- 35 واکنش برخی از صفات خاک و ویژگی‌های کیفی دانه آفتابگردان به رژیم‌های مختلف تغذیه‌ای  
فاطمه سلیمانی - گودرز احمدوند - علی اکبر صفری سنجانی
- 49 اثر کودهای آلی و شیمیایی بر عملکرد کمی و کیفی وسمه (*Indigofera tinctoria* L.) در سطوح مختلف آبیاری در منطقه به  
نادر مدافع بهزادی - پرویز رضوانی مقام - محسن جهان
- 67 تأثیر بقایای گیاهان در دو نوع بافت خاک بر ویژگی‌های خاک و عملکرد ذرت دانه‌ای رقم NS640 در نظام کشاورزی کم شخم  
عین‌الله حسامی - محسن جهان - مهدی نصیری محلاتی - روزبه فرهودی
- 83 ارزیابی نشانگرهای مبتنی بر رتوترنسپوزون‌ها در شناسایی مکان‌های مرتبط با صفات مهم زراعی و مقاومت به ییماری پوسیدگی  
اسکلروتینیایی یقه ساقه در آفتابگردان روغنی (*Helianthus annuus* L.) تحت شرایط مزرعه‌ای  
رشید پاک نیا - فرج‌الله شهریاری - رضا درویش زاده - سعید ملک‌زاده
- 97 اثر زمان محلول پاشی عناصر ریزمندی ناتو بر صفات کمی و کیفی در 18 ژنوئیپ گندم دوروم دیم  
یحیی فیروزی شاهعلی بگلو - حسن فیضی - اصغر مهربان - مسعود علی پناه
- 113 تأثیر تش خشکی بر کارایی مصرف آب و اجزای آن در دو ژنوئیپ و یک رقم ارزن دمروباہی  
مسعود خراعی - محمد گلوبی - مهدی دهمرد - سید محسن موسوی نیک - غلامرضا زمانی - نفیسه مهدی نژاد
- 125 اثر محلول پاشی کود روی بر عملکرد دانه و محتوى روی دانه برنج رقم سازندگی  
احمد رمضانی - محمود صلحی - مصلح الدین رضایی
- 137 تغییرات نسبت کربن به نیتروژن خاک و پاسخ رشدی گیاه دارویی شاهدانه (*Cannabis sativa* L.) در واکنش به سطوح مختلف  
کودهای دامی و شیمیایی  
سمانه‌الله - مجید جامی الاحمدی - سهیل پارسا
- 153 کاربرد مفهوم زمان‌گرمایی جهت مدل‌سازی پاسخ جوانه‌زنی کلزا (*Brassica napus* L.) به دما  
ابوالفضل درخشان - عبدالمهدي بخششده - سيد عطاء الله سعادت - محمد رضا مرادي تلاوت - بهرام اندرزيان
- 165 اثرات تاریخ کاشت، کود زیستی حاوی باکتری‌های حل‌کننده فسفات و محلول پاشی عناصر روی و بور بر صفات فیزیولوژیک و  
زراعی گندم نان (رقم افلاک)  
حسین کمائی - حمیدرضا عیسوند - فرهاد نظریان
- 181 برسی اثر تراکم بر میزان فتوسنتز و شاخص‌های رشد اکوئیپ‌های حنا (*Lowsonia inermis* L.)  
امین پستانی پور - حسن فرج بخش
- 191 ارزیابی پاسخ به تش خشکی در برخی از لاین‌های موتابلت برنج با استفاده از شاخص‌های تحمل به تش  
هاشم امین‌پناه - پیمان شریفی - علی اکبر عبادی

- واکنش چند رقم گندم نان به محلول پاشی فرمهای مختلف روی و آهن در دو منطقه با خاک متفاوت  
الیاس آرزمجو - محمد علی بهدانی - سهراب محمودی - بهزاد صادق زاده
- تأثیر انواع شخم و گیاهان پوششی بر عملکرد و اجزای عملکرد گندم  
زهرا شریفی - سید وحید اسلامی - مجید جامی الاحمدی - سهراب محمودی
- مطالعه تغذیه برگی کلات آهن به فرمهای نانو و معمول بر عملکرد و اجزای عملکرد زیره سبز (*Cuminum cyminum L.*) در  
شرایط تنش خشکی  
عباس نصیری دهسرخی - احمد قنبری - ویدا ورناصری قندعلی
- اثر روش کاشت پسته مرتفع و نیتروژن بر شاخصهای کارایی نیتروژن و عملکرد گندم  
علیرضا کوچکی - سرور خرم دل - جواد شاهنگ



## حداکثر کارایی فتوسیستم II به عنوان شاخصی از خسارت یخ‌زدگی در اکوتیپ‌های چاودار (*Secale montanum*) چندساله

احمد نظامی<sup>۱\*</sup>- سعید خانی نژاد<sup>۲</sup>- محمود رضا بهرامی<sup>۲</sup>- حامد ظریف کتابی<sup>۲</sup>

تاریخ دریافت: ۱۳۹۳/۱۱/۱۲

تاریخ پذیرش: ۱۳۹۵/۱۰/۰۵

### چکیده

اندازه‌گیری فلورسانس کلروفیل روشی سریع و غیر تخریبی است که به عنوان شاخصی مهم برای شناسایی ارقام متتحمل به تنفس های محیطی از جمله تنفس یخ‌زدگی مورد استفاده قرار گرفته است. به منظور بررسی امکان استفاده از پارامترهای فلورسانس کلروفیل در ارزیابی تحمل اکوتوپ‌های چندساله چاودار به تنفس یخ‌زدگی آزمایشی به صورت فاکتوریل بر پایه طرح کاملاً تصادفی با سه تکرار در دانشکده کشاورزی دانشگاه فردوسی مشهد اجرا شد. عامل‌های مورد مطالعه شامل ۱۰ اکوتوپ چاودار (۲۶۴، ۱۴۹۴۷، ۱۵۸۷، ۱۵۷۷۱، ۸۴۲۵، ۹۴۱، ۱۲۷۵، ۵۹۱، ۱۴۹۴۳، ۳۸۵۷ و ۱۲۶۴۰) در درجه باری گیاه پس از ۳، ۶، ۹، ۱۲، ۱۵، ۱۸، ۲۱ و ۲۴- درجه سانتی‌گراد) و چهار مرحله اندازه‌گیری جداکثر کارایی فتوسیستم II در دوره‌ی بازیابی گیاه پس از اعمال تنفس یخ‌زدگی (۱۲، ۲۴، ۴۸ و ۹۶ ساعت) بودند. جداکثر کارایی فتوسیستم II در گیاه‌چههای چاودار مورد بررسی قرار گرفت. نتایج نشان داد که اکوتوپ‌های چاودار تا دمای ۱۸- درجه سانتی‌گراد از نظر جداکثر کارایی فتوسیستم II تفاوت معنی‌داری نداشتند، اما در دمای ۲۱ و ۲۴- درجه سانتی‌گراد و با گذشت زمان بازیابی از ۱۲ به ۲۴ ساعت جداکثر کارایی فتوسیستم II کاهش یافت. از نظر دمای کاهنده ۵۰ درصد جداکثر کارایی فتوسیستم II بین اکوتوپ‌های چاودار تفاوت معنی‌داری وجود داشت، به طوری که در ۱۲ ساعت بعد از اعمال تنفس یخ‌زدگی اکوتوپ ۱۲۶۴۰ در دمای ۲۴/۸ درجه سانتی‌گراد به ۵۰ درصد کاهش جداکثر کارایی فتوسیستم II خود رسید و اکوتوپ ۲۶۴ و ۹۴۱ نیز به ترتیب با ۲۰/۲ و ۲۰- درجه سانتی‌گراد بالاترین دمای کاهنده ۵۰ درصد جداکثر کارایی فتوسیستم II را دارا بودند. بین جداکثر کارایی فتوسیستم II با درصد نشت الکتروولیت‌ها و درصد بقا همبستگی معنی‌داری وجود داشت که نشان‌دهنده پتانسیل مناسب شاخص مذکور برای تشخیص سریع ارقام حساس و متتحمل به تنفس یخ‌زدگی در چاودار می‌باشد.

### واژه‌های کلیدی:

تحمل به سرما، درصد بقا، فلورسانس کلروفیل، نشت الکتروولیت‌ها

### مقدمه

گیاه شود. علاوه بر آن کاهش شدید دما به پایین‌تر از حد آستانه‌ی تحمل انجامد در گیاه طی زمستان، می‌تواند خدمات شدید را برای گیاهان در پی داشته و منجر به افت عملکرد گیاه گردد (Mahfoozi et al., 2008). بنابراین تحمل گیاهان به تنفس سرما یکی از عوامل ضروری جهت بقاء زمستانه، رشد و تولید مناسب گیاهان ذکر شده است (Nezami et al., 2007).

چاودار (*Secale montanum*) در بسیاری از کشورهای دنیا از جمله لهستان، روسیه، آلمان، چین و اوکراین به عنوان یک گیاه زراعی کشت می‌شود (Behnia, 1994). این گیاه از جمله غلاتی است که می‌تواند جهت تهیه نان مورد استفاده قرار گیرد و همچنین به عنوان علوفه سبز، علوفه خشک و سیلو در تغذیه دام‌ها استفاده می‌شود. از مهم‌ترین ویژگی چاودار رشد آن در مناطق سرد و اراضی

بخش زیادی از غلات سردسیری کشور در مناطق سرد کوهستانی و دامنه‌ها کشت می‌شوند (Mahfoozi et al., 2008)، در شرایط مذکور این گیاهان قادرند از طریق برخی ساز و کارهای فیزیولوژیکی با سرما سازگار شده و تحمل به انجامد خود را افزایش دهند (Fowler et al., 2001). با این حال افت شدید و ناگهانی دمای هوای قبل از سازگاری گیاه با سرما می‌تواند منجر به از بین رفتن

۱- استاد، گروه زراعت، دانشکده کشاورزی، دانشگاه فردوسی مشهد

۲- دکتری فیزیولوژی گیاهان زراعی، دانشگاه فردوسی مشهد

(\*)- نویسنده مسئول: nezami@um.ac.ir

DOI: 10.22067/gsc.v16i1.43975

سرما بر شمردن. بیندر و فیلدر (Ingram and Bartels, 1996) ۲۴ ساعت بعد از اعمال تنفس بخزدگی روی صنوبر از ابزار فلورسانس کلروفیل برای ارزیابی میزان تنفس استفاده کردند و بیان نمودند که تأثیر بخزدگی روی فلورسانس کلروفیل بستگی به مرحله خوسرمایی و دمای بخزدگی دارد. در خصوص تحمل به سرما در اکوتیپ‌های چاودار چندساله اطلاعات چندانی در دسترس نمی‌باشد، لذا این مطالعه با هدف امکان استفاده از شخص حداکثر کارایی فتوسیستم II، به عنوان یک روش غیر تخریبی و سریع، در ارزیابی تحمل به تنفس بخزدگی اکوتیپ‌های چاودار اجرا شد.

## مواد و روش‌ها

این مطالعه در دانشکده کشاورزی دانشگاه فردوسی مشهد در قالب آزمایش فاکتوریل بر پایه طرح کاملاً تصادفی با سه تکرار انجام شد. عامل‌های مورد مطالعه شامل ۱۰ اکوتیپ چاودار چندساله تهییه شده از بخش تحقیقات نهال و بذر مرکز تحقیقات کشاورزی و منابع طبیعی خراسان رضوی (۱۲۷۵، ۱۵۸۷، ۱۲۷۵، ۹۴۱، ۵۹۱، ۲۴۶، ۳، ۳۸۵۷، ۸۴۲۵، ۱۲۶۴۰، ۱۲۶۷۱ و ۱۵۷۷۱)، ۹ دمای بخزدگی (۰، ۳۰، ۶، ۹، ۱۲، ۱۵، ۱۸، ۲۱ و ۲۴ درجه سانتی‌گراد) و چهار مرحله اندازه‌گیری حداکثر کارایی فتوسیستم II در دوره‌ی بازیابی گیاه پس از اعمال تنفس بخزدگی (۱۲، ۲۴، ۴۸ و ۹۶ ساعت) بودند. منشاء این اکوتیپ‌ها در جدول ۱ نشان داده شده است. در اوایل آبان ماه، هشت بذر چاودار در گلدان‌های پلاستیکی به قطر ۱۰ و ارتفاع ۲۰ سانتی‌متر و در عمق ۱-۲ سانتی‌متری بستر کشته شدند. خاک گلدان‌ها از نسبت‌های یکسان خاکبرگ، شن و خاک زراعی تشکیل شده بود. پس از سبز شدن و استقرار گیاهچه‌ها، تعداد بوته‌ها به پنج عدد تقلیل یافت. جهت اعمال خوسرمایی بوته‌ها تا مرحله شش تا هشت برگ در محیط طبیعی نگهداری شدند و سپس در معرض تنفس بخزدگی قرار داده شدند.

گلدان‌ها ۲۴ ساعت قبل از اعمال بخزدگی آبیاری شدند و سپس جهت اعمال تیمارهای دمایی به فریزر ترمومگاردیان انتقال یافتند. دمای فریزر در شروع آزمایش پنج درجه سانتی‌گراد بود و پس از قرار دادن گلدان‌ها در داخل فریزر با سرعت دو درجه سانتی‌گراد در ساعت کاهش یافت. به منظور ایجاد هستک بخزدگی در گیاهچه‌ها، در دمای ۲/۵ درجه سانتی‌گراد محلول حاوی باکتری‌های القاء‌کننده هستک بخزدگی INAB<sup>۱</sup> روی برگ‌ها به نحوی پاشیده شد که سطح گیاه را قشری از این محلول پوشانده و تقریباً خیس شدند. جهت ایجاد تعادل در دمای محیط گیاهان در هر تیمار دمایی به مدت یک ساعت باقی مانده و پس از آن جهت کاهش سرعت ذوب بالاصله به داخل اتاق‌کهای

Nourmohamadi (et al., 1998) فقیر و همچنین مناطقی با خاک‌های سبک است. غلات سرما در ایران در مقایسه با وجود پتانسیل مناسب این گیاه جهت رشد در محیط‌های تحت تنفس به‌ویژه تنفس سرما، تحقیقات بیشتر بر روی آن را ضروری می‌سازد. زیرا دمای پایین فعالیت‌های فیزیولوژیکی را در گیاه مختل کرده و باعث آسیب‌های برگ‌شناپذیر و اختلال در فرآیندهای رشدی گیاه می‌شود (Ingram and Bartels, 1996).

در اکوفیزیولوژی گیاهان زراعی استفاده از تکنیک فلورسانس کلروفیل، عنوان یک روش سریع، حساس و غیرتخریبی مورد توجه قرار دارد (Maxwell and Johnson, 2000). در حقیقت فلورسانس کلروفیل می‌تواند کاهش در سلامت اولیه گیاه را قبل از این‌که نشانه‌های زوال در آن آشکار شود، نشان دهد. خصوصیات فلورسانس کلروفیل به صورت غیرمستقیم نشان‌دهنده سلامت (سیالیت، ثبات و انسجام) غشاء‌های فتوسنتزی می‌باشد (Hakam et al., 2000) و از آن جایی که در گیاهان فتوسیستم II نقش مهمی در پاسخ فعالیت‌های فتوسنتز به تنفس‌های محیطی ایفا می‌کند، استفاده از تکنیک فلورسانس کلروفیل برای ارزیابی واکنش گیاهان به تنفس‌های Percival and Henderson (2003) مورد اهمیت خاصی برخوردار است. محیطی از همین راستا اندازه‌گیری فلورسانس کلروفیل به عنوان شاخصی از تحمل به سرما در جو زمستانه (Rapacz et al., 2008) یولاف (Rizza et al., 2001) و جو بهاره (Francia et al., 2008) مورد استفاده قرار گرفته است. زمانی که گیاهان در معرض تنفس سرما قرار می‌گیرند، متابولیسم برگ‌ها به شدت کاهش یافته و فتوسیستم II شدیداً خسارت می‌بیند و به دنبال آن حداکثر کارایی فتوسیستم II (که برای یک گیاه سالم بین ۰/۸۵ تا ۰/۷۵ می‌باشد)، کاهش می‌یابد (Mena-Petite et al., 2005). در بررسی اثرات تنفس بخزدگی بر روی گیاه گندم مشاهده شد که با کاهش دما به کمتر از ۸ درجه سانتی‌گراد حداکثر کارایی فتوسیستم II به شدت کاهش یافت (Mam and Philip, 1996). اندازه‌گیری فتوسیستم II به عنوان شاخصی از اثرات تنفس بخزدگی در چند رنگ (Beta vulgaris) نشان داد که افزایش شدت تنفس بخزدگی کاهش حداکثر کارایی فتوسیستم II را در پی داشت (Jalilian et al., 2008). دای و همکاران (Nizir Gharashi, 2007) نیز در پی داشت که اعمال تنفس بخزدگی بر گیاه جو حداکثر کارایی فتوسیستم II را به شدت کاهش داد، با وجود این پس از دو ساعت بازیابی، حداکثر کارایی فتوسیستم II به حدود ۵۰ درصد تیمار شاهد (تیمار عدم بخزدگی) و پس از ۲۴ و ۷۲ ساعت به ترتیب به ۶۴ و ۸۲ درصد تیمار شاهد رسید. نئونر و بوچنر (Neuner and Buchner, 1999) بررسی فلورسانس کلروفیل بر روی بخش‌هایی از گیاه Rhododendron ferrugineum که دچار بخزدگی شده بود را به عنوان پارامتری جهت تخمین میزان خسارت

( $p \leq 0.001$ ) وجود داشت، به طوری که اکوتبیپ ۱۲۶۴۰ حداکثر کارایی فتوسیستم II را دارا بود و کمترین مقدار آن در اکوتبیپ ۲۶۴ مشاهده شد (شکل ۱). بررسی راپاکر (۲۰۰۷) بر روی سه رقم گندم زمستانه نیز نشان داد که از نظر حداکثر کارایی فتوشیمیابی فتوسیستم II بعد از تنش بخزدگی بین ارقام مورد بررسی تفاوت وجود داشت و ارقام Clever Tonacja و Clever به ترتیب بالاترین و کمترین مقدار این شاخص را داشتند. در صورتی که در ساعات اولیه تنش اختلاف معنی‌داری بین ارقام مشاهده نشده بود، ایشان اختلاف بین حداکثر کارایی فتوشیمیابی فتوسیستم II در ارقام گندم را نتیجه تفاوت ژنتیکی آنها در واکنش به تنش بخزدگی دانست.

جدول ۱- منشاء اکوتبیپ‌های چاودار

Table 1- Origin of rye ecotypes

منشاء Origin	اکوتبیپ Ecotype	ردیف No
قزوین (Qazvin)	264	1
گرگان (Gorgan)	591	2
اصفهان (Isfahan)	941	3
شهرکرد (Shahr Kord)	1275	4
کرج (Karaj)	1587	5
سمنان (Semnan)	3857	6
اراک (Arak)	8420	7
سمنان (Semnan)	12640	8
اراک (Arak)	14947	9
کرج (Karaj)	15771	10

بررسی میانگین حداکثر کارایی فتوسیستم II در چاودار طی دوره‌های زمانی مورد مطالعه نشان داد که تا ۴۸ ساعت بعد از اعمال تنش بخزدگی میزان این کارایی کاهش داشت و بعد از آن تقریباً ثابت ماند (شکل ۲). لیانگ و همکاران (۲۰۰۷) در گیاهچه‌های *Jatropha curcas* مشاهده کردند که تنش سرما بعد از ۶ و ۱۲ ساعت تأثیری بر حداکثر کارایی فتوسیستم II نداشت اما بعد از ۲۴ و ۴۸ ساعت کاهش ممکن است به دلیل کاهش ظرفیت فتوسیستم II و بازدارندگی در انتقال الکترون در زمان ۲۴ و ۴۸ ساعت پس از تنش باشد. در بررسی روند حداکثر کارایی فتوسیستم II در گیاهان چاودار قرار گرفته در معرض دماهای بخزدگی مشاهده شد که شبک کاهش این صفت در ۱۲ ساعت پس از اعمال تنش بخزدگی کمتر از سایر زمان‌های اندازه‌گیری بود (شکل ۳ الف و جدول ۲). علاوه بر این در زمان ۱۲ و ۲۴ ساعت پس از اعمال تنش بخزدگی، دمای به صفر رسیدن حداکثر کارایی فتوسیستم II به ترتیب ۲۶/۱ و ۲۴ درجه سانتی‌گراد بود، در صورتی که در زمان ۴۸ و ۹۶ ساعت پس از اعمال

رشد با دمای  $5 \pm 2$  درجه سانتی‌گراد انتقال یافته و به مدت ۲۴ ساعت نگه‌داری شدند. پس از طی این مدت، بوته‌ها به شاسی سرد منتقل شدند.

حداکثر کارایی فتوسیستم II به وسیله دستگاه فلورومتر OS1-FL (Chlorophyll Fluorometer) روی جوانترین برگ کاملاً توسعه یافته، اندازه‌گیری شد. به منظور تعیین درصد نشت الکتروولیت‌ها ابتدا جوانترین دو برگ کاملاً توسعه یافته از هر بوته جدا شد و در ویال‌های حاوی ۵۰ میلی‌لیتر آب دوبار تقطیر شده قرار گرفتند. ویال‌های حاوی نمونه‌های گیاهی به مدت ۲۴ ساعت در محیط آزمایشگاه قرار داده شده و سپس هدایت الکتریکی آنها با استفاده از EC متر مدل Jenway اندازه‌گیری شد ( $EC_1$ ). در مرحله بعد ویال‌های حاوی نمونه‌های گیاهی به مدت ۲۰ دقیقه در اتوکلاو با دمای ۱۲۰ درجه و فشار ۳ بار قرار داده شدند. سپس ویال‌ها از اتوکلاو خارج شده و پس از ۲۴ ساعت قرار گرفتن در شرایط آزمایشگاه درصد نشت الکتروولیت‌ها اندازه‌گیری شد ( $EC_2$ ). درصد نشت الکتروولیت‌ها از معادله ۱ محاسبه شد.

$$\%EC = (EC_1/EC_2) \times 100 \quad (1)$$

روز بعد از اعمال دماهای بخزدگی، گلدان‌ها به شاسی سرد منتقل شده و بعد از چهار هفته درصد بقا (معادله ۲) تعیین شد.

$$[ \times 100 ] \quad (2)$$

بوتلهای قبل از بخزدگی / [ تعداد بوتهای چهار هفته بعد از بخزدگی ] = درصد بقا

جهت بررسی رابطه بین دمای بخزدگی ( $T_f$ ) و حداکثر کارایی فتوسیستم II از مدل دو قطعه‌ای خطی<sup>۱</sup> استفاده شد (معادله ۳):

$$Y = C \quad \text{if } T_f \leq T_o \\ Y = b (T_c - T) \quad \text{if } T_f > T_o \quad (3)$$

که در آن C حداکثر کارایی مشاهده شده،  $T_o$  آستانه درجه حرارت انجماد برای حفظ حداکثر کارایی، b شبک کاهش کارایی با کاهش درجه حرارت انجماد و  $T_c$  حداقل دمای انجماد برای توقف کارکرد فتوسیستم II می‌باشد. برازش با استفاده از نرم‌افزار Sigma Stat ver.2.0 انجام شد.

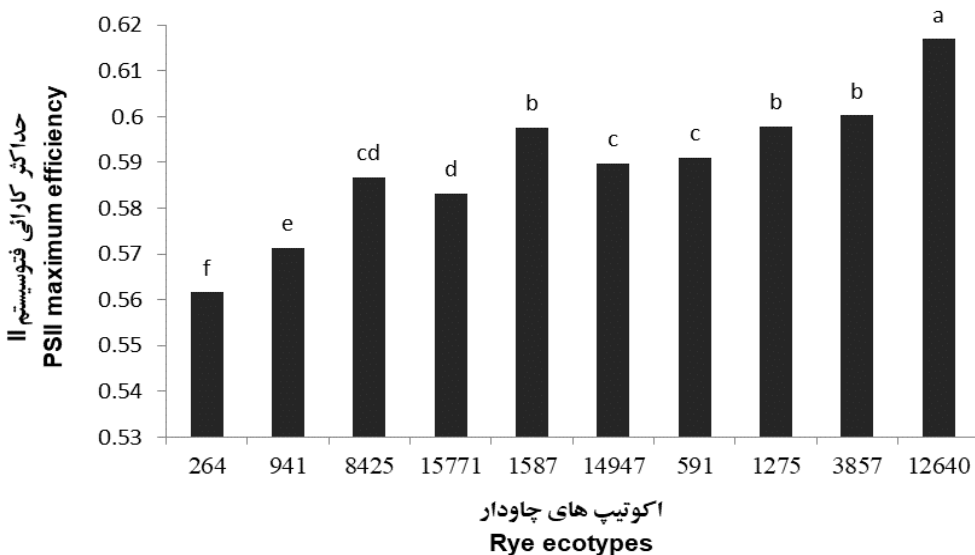
جهت تجزیه آماری از نرم‌افزار Minitab 16، برای تعیین دمای کاهنده ۵۰ درصد حداکثر کارایی از نرم‌افزار Slide Write و برای رسم شکل‌ها از نرم‌افزار Excel 2007 استفاده شد. مقایسه میانگین‌ها نیز به روش آزمون LSD در سطح احتمال پنج درصد انجام گرفت.

## نتایج و بحث

نتایج نشان داد که در بین اکوتبیپ‌های چاودار از نظر حداکثر کارایی فتوسیستم II پس از تنش سرما اختلاف معنی‌داری

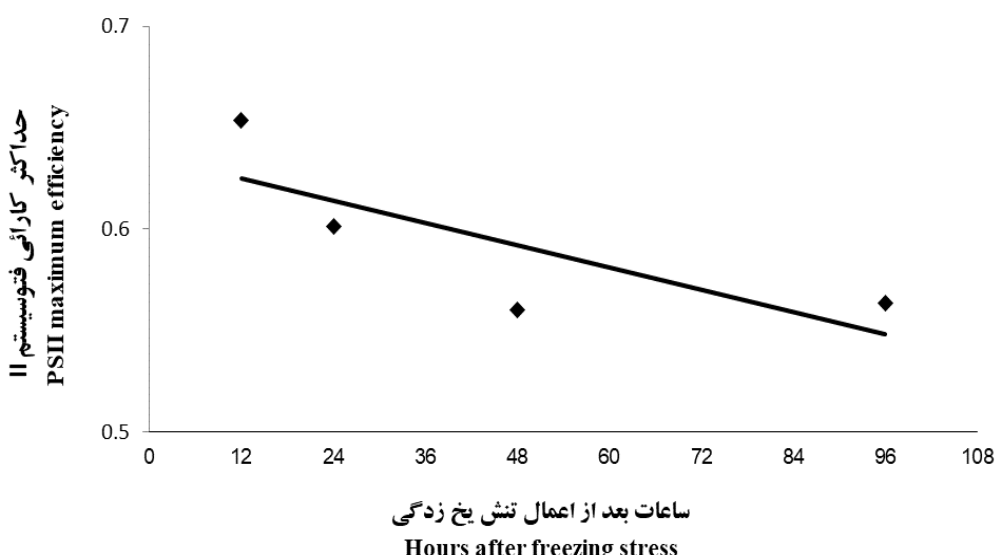
فتوصیستم II ایجاد نشده است (شکل ۳ پ و ت). راپاکز (۲۰۰۷) گزارش کرد که در ارقام گندم زمستانه قبل از اعمال تنش یخ‌زدگی از نظر کارایی فتوشیمیایی فتووصیستم II تفاوت چندانی وجود نداشت، اما بلافاصله بعد از تنش یخ‌زدگی مقدار این شاخص کاهش یافت.

تنش یخ‌زدگی این کارایی در دمای ۲۱–۲۱ درجه سانتی‌گراد به حداقل رسید (جدول ۲). روند تغییرات حداکثر کارایی فتووصیستم II تحت تأثیر دماهای یخ‌زدگی در زمان‌های ۴۸ و ۹۶ ساعت بسیار مشابه بود و به نظر رسید که پس از زمان ۴۸ ساعت تغییراتی در حداکثر کارایی



شکل ۱- میانگین حداکثر کارایی فتووصیستم II در اکوتبهای چاودار بعد از تنش یخ‌زدگی در شرایط کنترل شده  
(میانگین‌های دارای یک حرف مشترک در سطح احتمال پنج درصد اختلاف معنی‌دار ندارند).

Figure 1- Mean of PSII maximum efficiency in rye ecotypes after freezing stress in controlled conditions  
(Means with the same letters, indicated significant difference at 5% probability level.)



شکل ۲- میانگین حداکثر کارایی فتووصیستم II در اکوتبهای چاودار طی دوره‌های زمانی پس از اعمال تنش یخ‌زدگی در شرایط کنترل شده  
(هر نقطه میانگین ۹۰ عدد است).

Figure 2- Mean of PSII maximum efficiency in rye ecotypes after durations of freezing stress in controlled conditions. (Each point is mean of 90 observations)

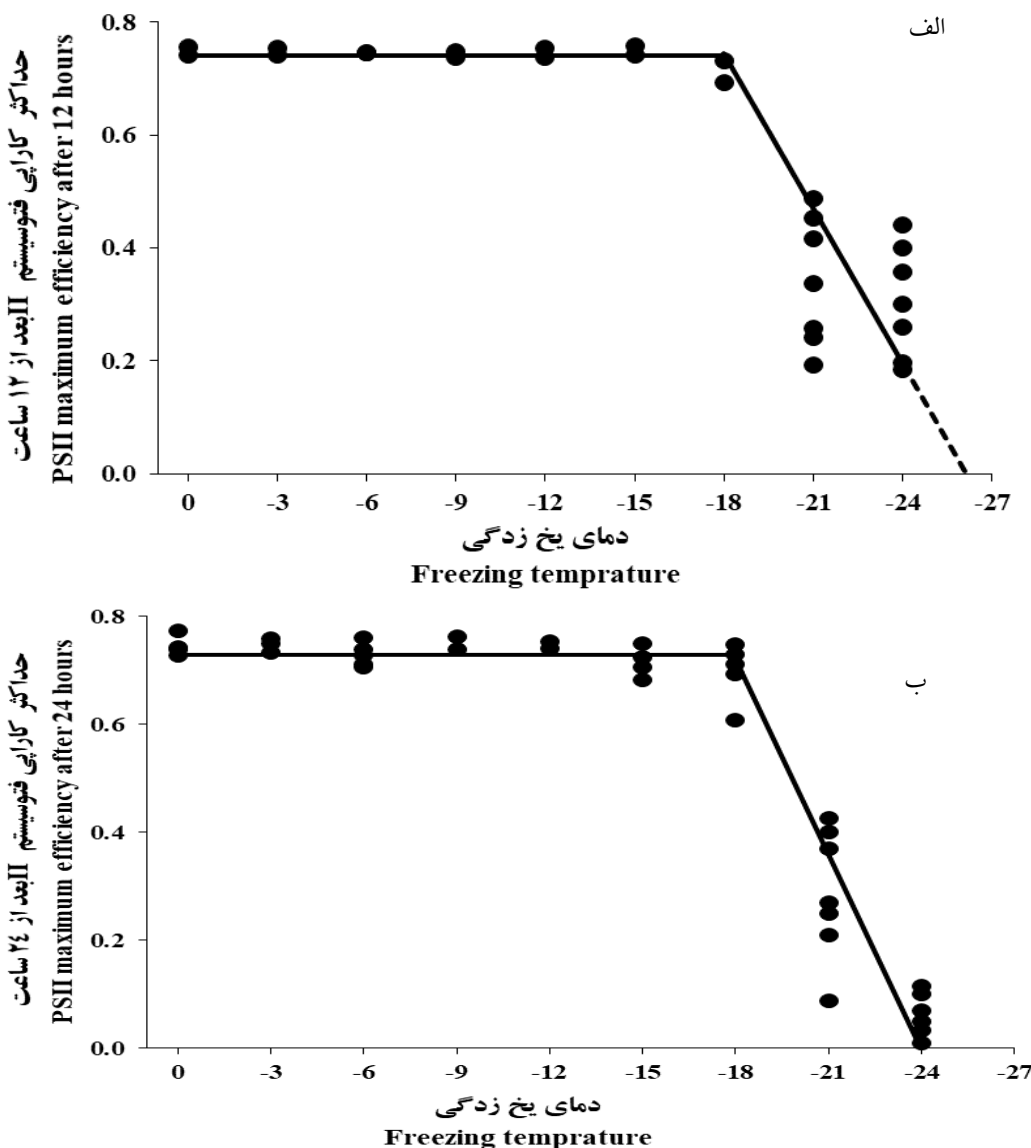
تدریجی  $F_v/F_m$  در دوره بازیابی در تیمارهای دمایی کمتر از -۱۲ درجه سانتی‌گراد بیانگر تأثیر تنفس یخ‌زدگی بر اختلال فعالیتهای فتوسنتری گیاه می‌باشد.

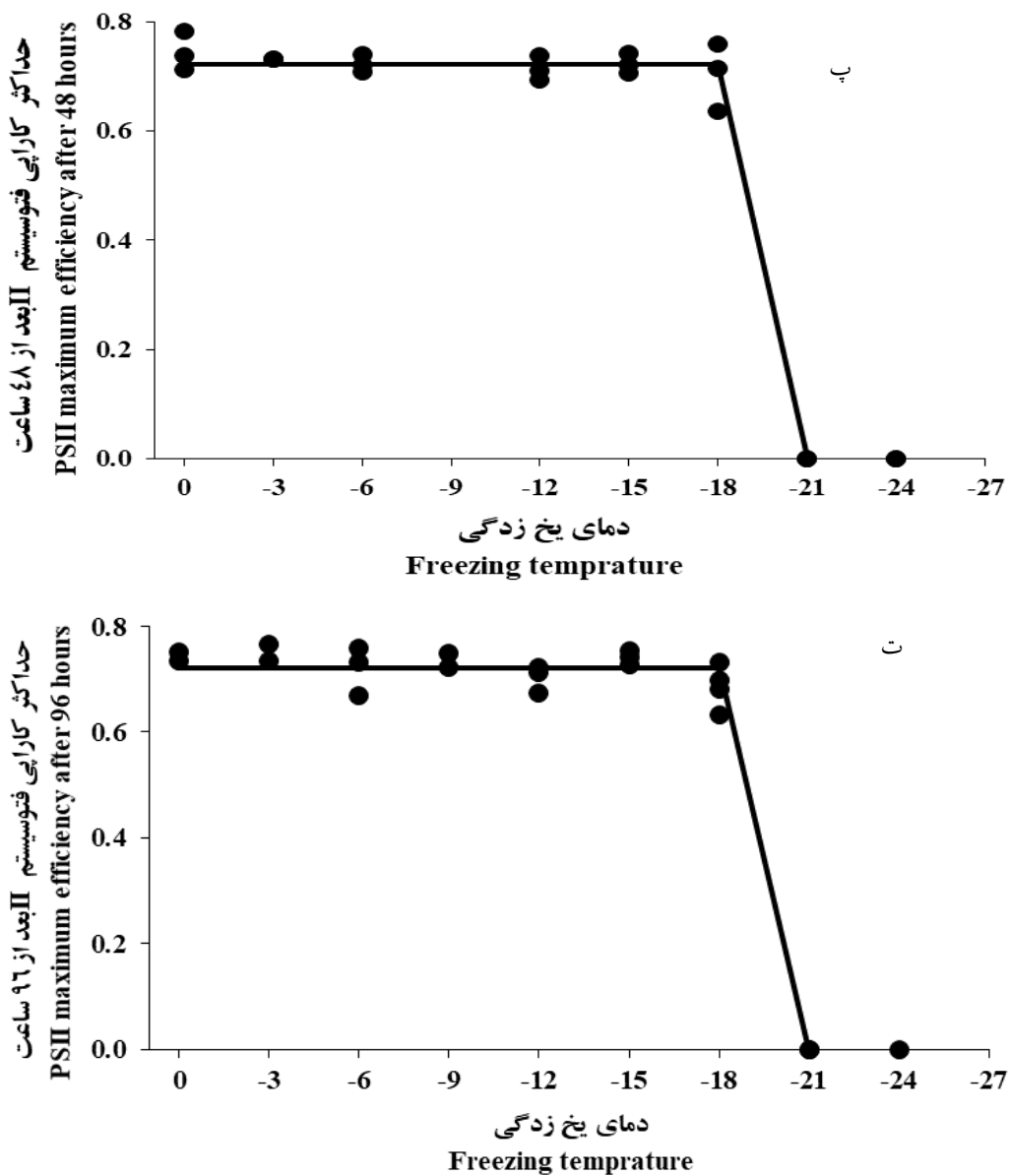
با وجود این پنج روز بعد از اعمال تنفس یخ‌زدگی در دمای -۱۲ درجه سانتی‌گراد نسبت  $F_v/F_m$  در گیاهان مقاوم نسبت به گیاهان حساس افزایش بیشتری یافت. ایشان اظهار داشتند که کاهش

جدول ۲- مقادیر پارامترهای مدل‌های برازش داده شده در شکل ۳

Table 2- Parameters value for fitted models in Fig. 3.

حداکثر کارایی	دمای حداکثر (°C)	شیب بحرانی (°C)	شیب کاهش	انحراف معیار شیب	دمای بازیابی (°C)
شكل الف	0.7414±0.0161	-0.092a	0.0175	-18.0	26.1
شكل ب	0.7285±0.0335	-0.121b	0.0149	-18.0	24.0
شكل پ	0.7218±0.0103	-0.239c	0.0104	-18.0	21.0
شكل ت	0.7203±0.0349	-0.243c	0.0110	-18.0	21.0





شکل ۳- روند تغییرات حداکثر کارایی فتوسیستم II در اکوئیپ‌های چاودار تحت تأثیر دماهای بخزدگی (درجه سانتی گراد) طی زمان‌های اندازه‌گیری ۱۲ (الف)، ۲۴ (ب)، ۴۸ (پ) و ۹۶ (ت) ساعت پس از اعمال تنفس بخزدگی در شرایط کنترل شده

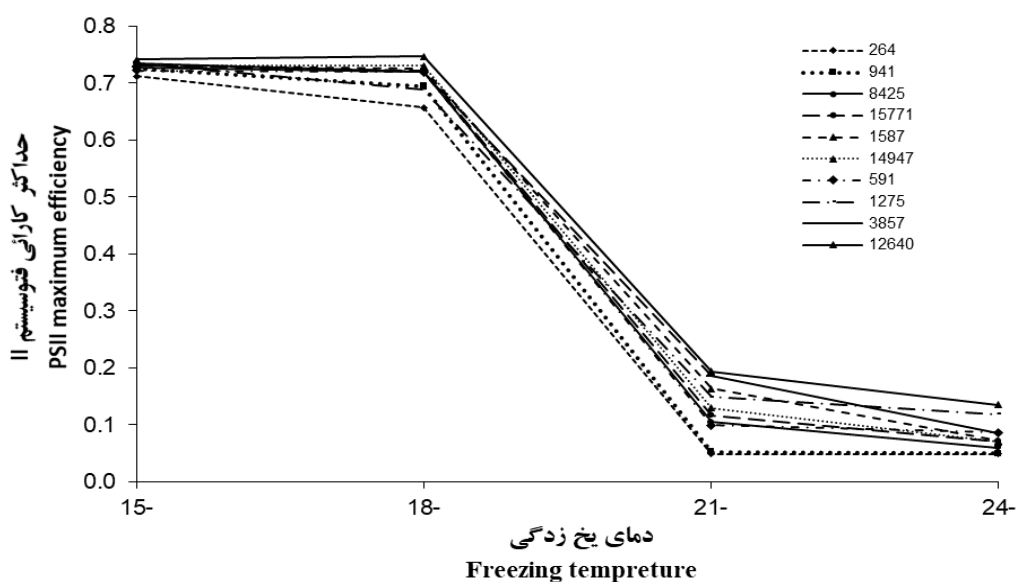
Figure 3- Trend of PSII maximum efficiency changes in rye ecotypes affected by freezing temperatures ( $^{\circ}\text{C}$ ) during (a) 12, (b) 24, (c) 48 and (d) 96 hours measuring times after freezing stress in controlled conditions

این صفت با شدت بیشتری نسبت به دو دمای ذکر شده، کاهش یافته است. در بررسی روند تغییرات کارایی از دمای -۱۵ تا -۲۴ درجه سانتی گراد مشاهده شد که دو اکوئیپ ۲۶۴ و ۹۴۱ سریع‌ترین شبکه کاهش را نسبت به سایر اکوئیپ‌ها داشتند و این روند تا دمای -۲۴ درجه سانتی گراد ادامه داشت، در حالی که اکوئیپ ۱۲۶۴۰ در گستره دمایی مورد اشاره دارای حداکثر کارایی فتوسیستم II بالاتری نسبت به سایر اکوئیپ‌ها بوده است (شکل ۴). ریزا و همکاران (۲۰۰۱) گزارش کردند که ژنوتیپ‌های یولاف از نظر کارایی فتوسیستم II

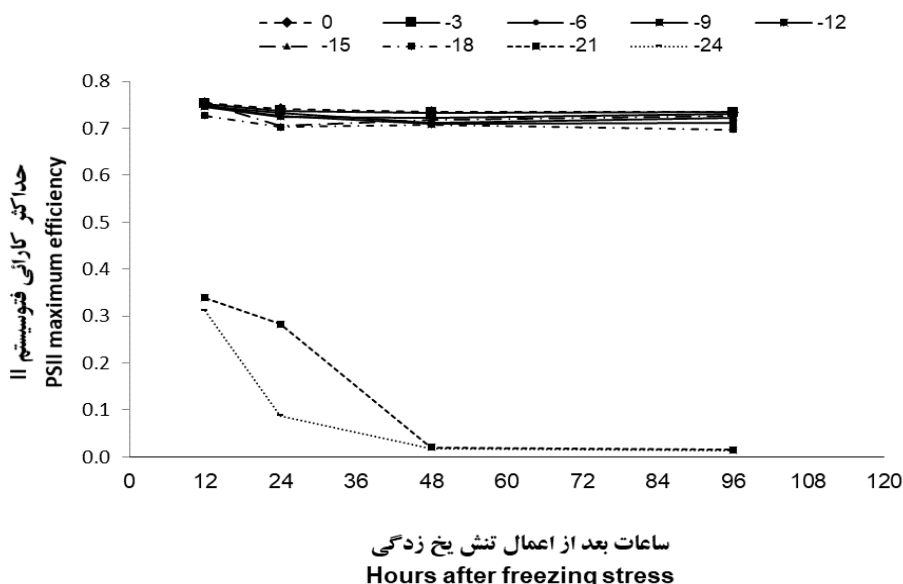
روند اثر دمای بخزدگی بر تغییرات حداکثر کارایی فتوسیستم II در اکوئیپ‌های چاودار نشان داد که از نظر این صفت، در گستره دمایی صفر تا -۱۵ درجه سانتی گراد اکوئیپ‌های مورد مطالعه تفاوت چندانی با یکدیگر نداشتند، اما با کاهش بیشتر دما تفاوت بین اکوئیپ‌ها از نظر صفت مذکور بارزتر شده و شبکه کاهش حداکثر کارایی فتوسیستم II افزایش یافت (شکل ۴). به نظر می‌رسد آستانه بروز خسارت بر حداکثر کارایی فتوسیستم دو در اکوئیپ‌های چاودار در محدوده دمایی -۱۵ تا -۱۸ درجه سانتی گراد باشد، زیرا در دماهای بخزدگی شدیدتر،

فتوسیستم II در ژنوتیپهای پاییزه در دمای -۱۶- درجه سانتی گراد مشاهده شد.

فتوسیستم II در طی دوره بازیابی پس از تنفس بخزدگی متفاوت بودند، به طوری که در دمای -۱۲- درجه سانتی گراد حداکثر کارایی



شکل ۴- اثر دمای بخزدگی (-۱۵- تا -۲۴- درجه سانتی گراد) بر حداکثر کارایی فتوسیستم II در اکوتبپهای چاودار تحت شرایط کنترل شده  
Figure 4- Effect of freezing stress (-15 to -24 °C) on PSII maximum efficiency in rye ecotype under controlled conditions



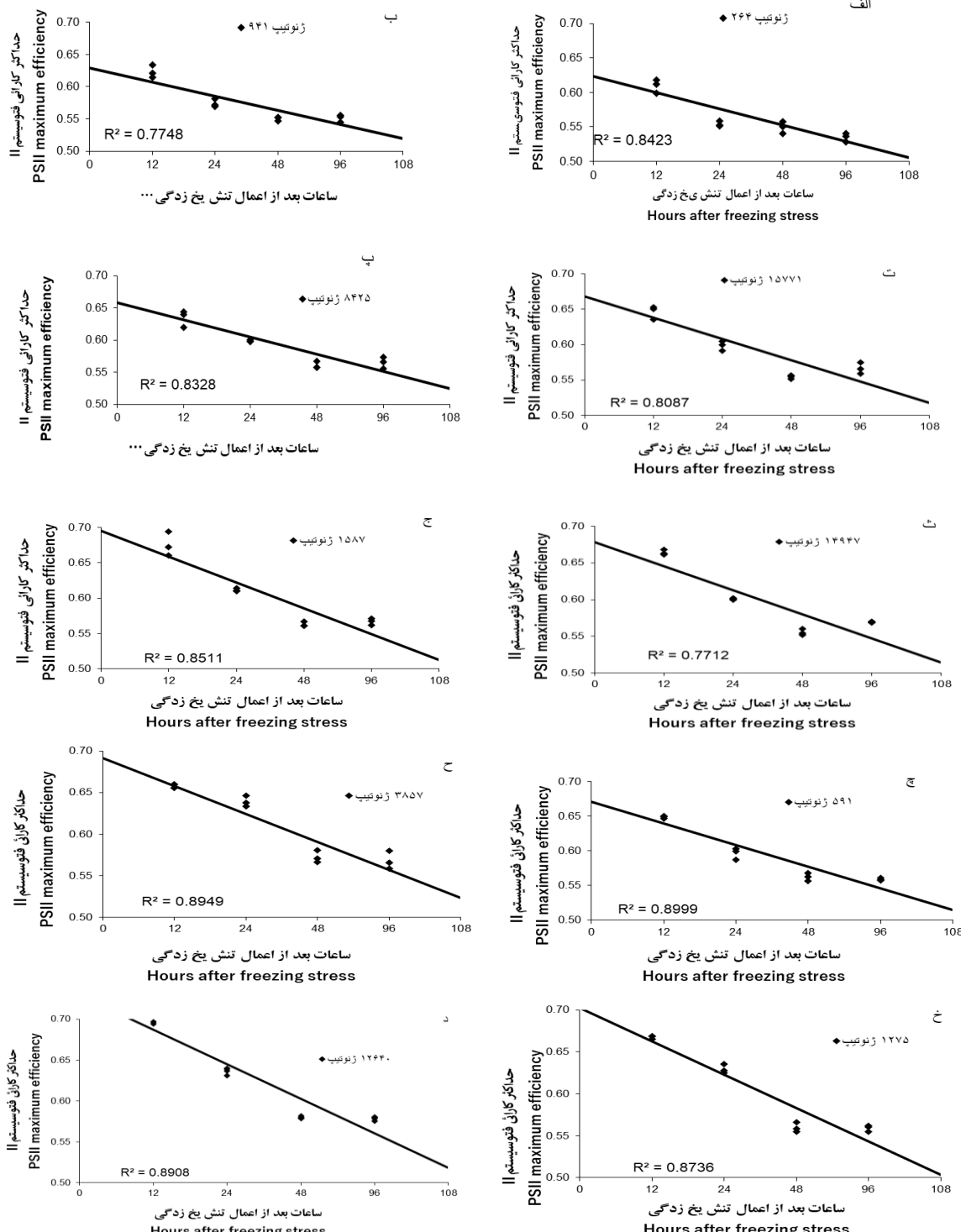
شکل ۵- اثر متقابل دمای بخزدگی (درجه سانتی گراد) و زمان اندازه گیری بر حداکثر کارایی فتوسیستم II اکوتبپهای چاودار در شرایط کنترل شده  
Figure 5- Interaction of freezing temperature (°C) and measured time on PSII maximum efficiency of rye ecotypes in controlled conditions

۵)، اما کاهش شدید آن با کاهش دما به -۲۱- و -۲۴- درجه سانتی گراد آغاز شد به طوری که پس از ۴۸ ساعت حداکثر کارایی فتوسیستم II به کمترین مقدار رسید که نشان دهنده تأثیر شدید دمای فوق نسبت به

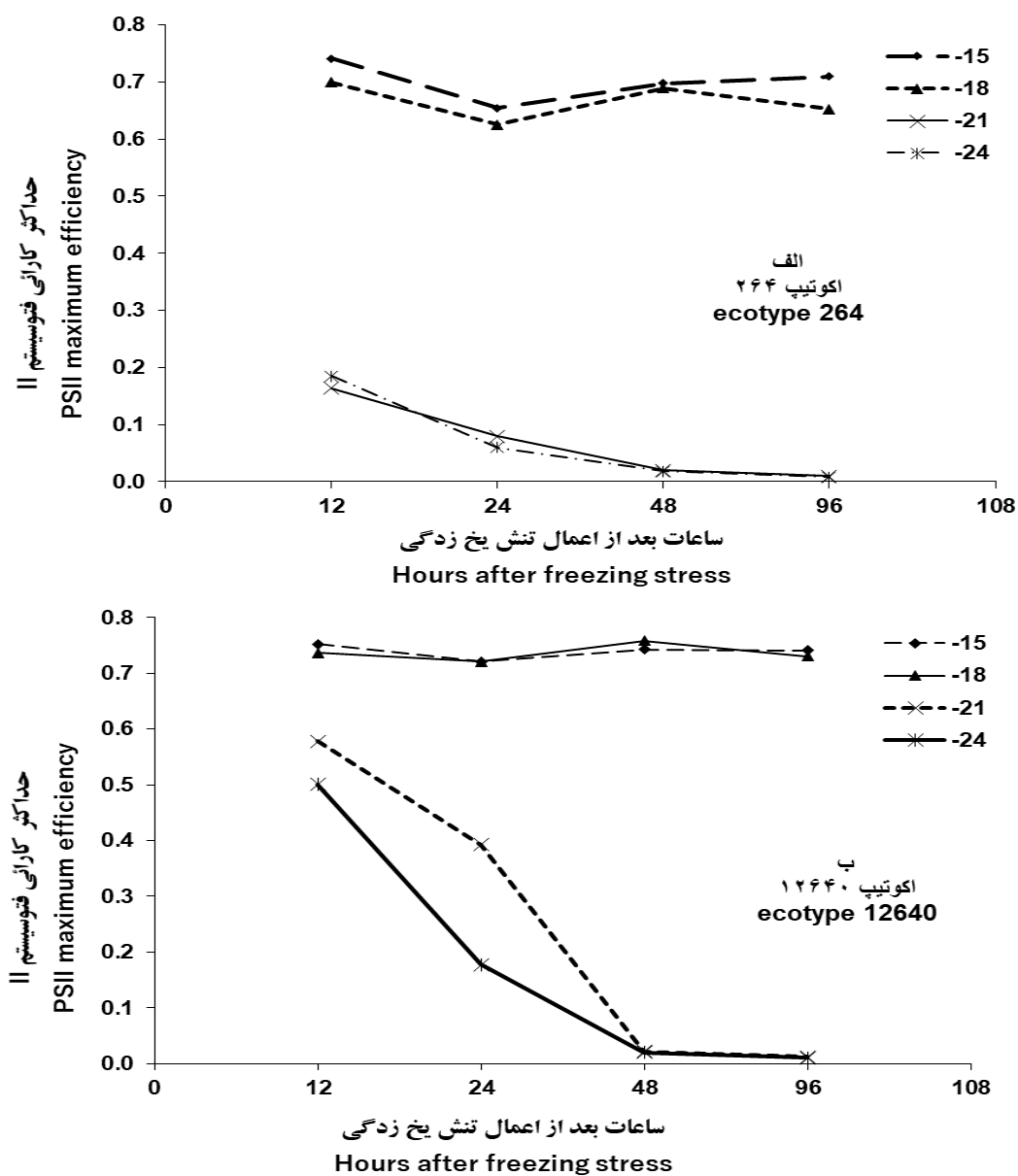
بررسی اثر متقابل دما و زمان بر حداکثر کارایی فتوسیستم II معنی دار بود و نشان داد که تا دمای -۱۸- درجه سانتی گراد در هر چهار زمان اندازه گیری، این شاخص تغییرات محسوسی نداشت (شکل

شدت کاهش در اکوتبپ‌های ۲۶۴ و ۹۴۱ مشاهده شد (شکل ۶، الف و ب) و اکوتبپ ۱۲۶۴۰ شبک کاهشی کمتری داشت (شکل ۶، د).

دماهای پایین‌تر بر غشاء‌های فتوسنتزی می‌باشد. کاهش حداکثر کارایی فتوسیستم II در اکوتبپ‌های چاودار در زمان‌های پس از تنفس بخوبی بسته به اکوتبپ متفاوت بود (شکل ۶)، به طوری که بیشترین



شکل ۶- تغییرات حداکثر کارایی فتوسیستم II در اکوتبپ‌های چاودار در زمان‌های پس از تنفس بخوبی در شرایط کنترل شده  
Figure 6- Changes of PSII maximum efficiency in rye ecotypes for the times after freezing stress in controlled conditions



شکل ۷- روند تغییرات حداکثر کارایی فتوسیستم II در دو اکوتبه ۲۶۴ و ۱۲۶۴۰ (الف) و (ب) پس از قرار گرفتن در معرض دماهای -۱۵، -۱۸، -۲۱ و -۲۴ درجه سانتی گراد در شرایط کنترل شده

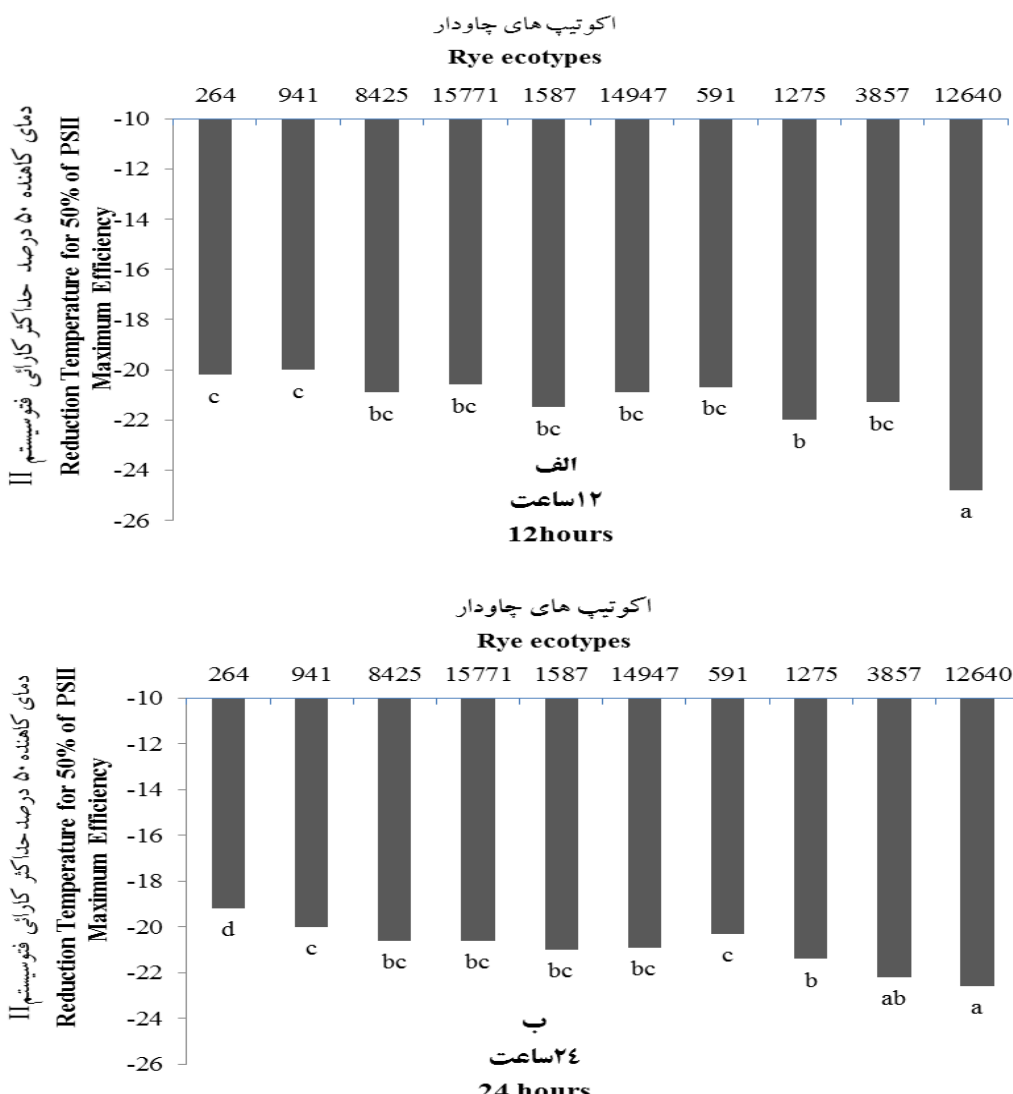
Figure 7- Trend of PSII maximum efficiency changes in (a) 264 and (b) 12640 ecotypes after exposure to -15, -18, -21 and -24°C in controlled conditions

تحمل به بخزدگی در دو رقم جو زمستانه پس از خوسرمایی همبستگی مشتی با میزان حداکثر کارایی فتوشیمیابی فتوسیستم II دارد. آنها اظهار داشتند که بلافاصله بعد از تنش بخزدگی در رقم‌های جو تفاوت معنی‌داری بین کارایی فتوشیمیابی فتوسیستم II مشاهده نشد، اما به تدریج پس از دو ساعت در اکوتبه حساس و مقاوم به ترتیب ۴۷ و ۴۹ درصد نسبت به تیمار شاهد (تیمار بدون خوسرمایی) کاهش مشاهده شد. پس از ۲۴ ساعت کارایی فتوشیمیابی فتوسیستم II در اکوتبه حساس و مقاوم به ترتیب ۶۰ و ۶۵ و بعد از

در بررسی روند تغییرات حداکثر کارایی فتوسیستم II در دو اکوتبه ۲۶۴ و ۱۲۶۴۰ (که به ترتیب کمترین و بیشترین حداکثر کارایی فتوسیستم II را داشتند (شکل ۷ الف و ب) مشاهده شد که دو اکوتبه مورد بررسی در دماهای -۱۵ و -۱۸ درجه سانتی گراد، اختلاف چندانی با یکدیگر ندارند (شکل ۷، الف و ب). در صورتی که در دماهای -۲۱ و -۲۴ درجه سانتی گراد، اکوتبه ۱۲۶۴۰ در ۱۲ و ۲۴ ساعت پس از تنش حداکثر کارایی فتوسیستم II بسیار بالاتری از اکوتبه دیگر داشت. دای و همکاران (۲۰۰۷) گزارش کردند که

بعد از یک روز نسبت به تیمار شاهد افزایش نشان داد اما تحت تأثیر دماهای ۱۲ و ۱۵ سانتی‌گراد به صورت نزولی کاهش یافت.

۷۲ ساعت بعد ۷۰ و ۸۳ درصد نسبت به شاهد (تیمار بدون خوسه‌مایی) افزایش نشان داد. راپاکز (۲۰۰۷) نیز بیان کرد که کارایی فتوسیستم II در ارقام گندم زمستانه در اثر تیمار با دماهای ۶ و ۹



شکل ۸- دمای کاهنده ۵۰ درصد حداقل کارایی فتوسیستم II در اکوتبی‌های چاودار طی زمان‌های بعد از تنفس یخ‌زدگی (درجه سانتی‌گراد) در شرایط کنترل شده (الف ۱۲ و ب ۲۴ ساعت)

Figure 8- Reduction Temperature for 50% of PSII maximum efficiency of rye ecotypes after freezing stress (°C) times in controlled conditions (a. 12 hours and b. 24 hours)

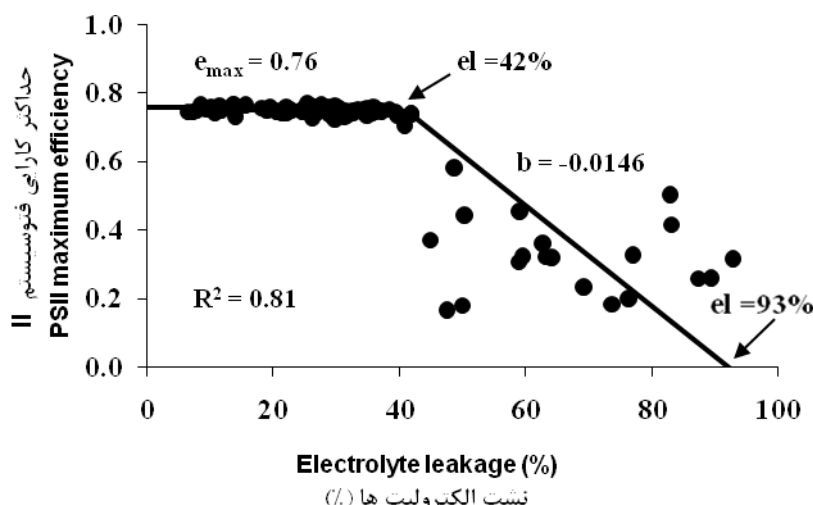
تنش یخ‌زدگی بین دمای کاهنده ۵۰ درصد حداقل کارایی فتوسیستم II اختلاف معنی‌دار ( $p \leq 0.001$ ) وجود داشت (شکل ۸، الف)، به طوری که در این زمان اکوتبی ۱۲۶۴۰ در دمای -۲۴/۸ سانتی‌گراد به ۵۰ درصد کاهش حداقل کارایی فتوسیستم II خود رسید. اکوتبی ۲۶۴ و ۹۴۱ نیز به ترتیب با -۲۰/۲ و -۲۰ درجه سانتی‌گراد بالاترین دمای کاهنده ۵۰ درصد حداقل کارایی فتوسیستم

۷۲ ساعت بعد ۷۰ و ۸۳ درصد حداقل کارایی فتوسیستم II اکوتبی‌های چاودار در زمان‌های مختلف بعد از تنفس یخ‌زدگی در شکل ۸، الف و ب) نشان داده شده است. در ۱۲ ساعت بعد از اعمال

1- Reduction Temperature for 50% of PSII Maximum Efficiency

شاخص شد (شکل ۹). با توجه به روند کاهش حداکثر کارایی فتوسیستم II، به نظر می‌رسد عوامل دیگری، نظیر تنوع اکوتبهای چاودار از نظر خسارت تنش سرما بر غشاء‌های سلولی، در این روند مؤثر بوده است. حداکثر کارایی فتوسیستم II با درصد بقاء همبستگی مثبتی ( $r = 0.80^{*}$ ) داشت (شکل ۱۰). از این رو به نظر می‌رسد که بتوان با اندازه‌گیری حداکثر کارایی فتوسیستم II ۱۲ ساعت پس از اعمال تنش یخ‌زدگی به پتانسیل گیاه در تحمل به تنش یخ‌زدگی پی برد. از آنجایی که آزمون نشت الکتروولیت‌ها ۲۴ ساعت پس از اعمال تنش یخ‌زدگی انجام شد، لذا به نظر می‌رسد اندازه‌گیری شاخص حداکثر کارایی فتوسیستم II ۱۲ ساعت پس از اعمال تنش یخ‌زدگی باعث افزایش سرعت آزمون و تشخیص سریع تر اثرات تنش بشود. همبستگی بالای درصد بقاء گیاهان با شاخص حداکثر کارایی فتوسیستم II ۱۲ ساعت پس از اعمال تنش یخ‌زدگی نیز بیانگر این است که شاخص حداکثر کارایی فتوسیستم II به عنوان یک شاخص غیر تحریکی از پتانسیل خوبی در تخمین اثرات دراز مدت تنش یخ‌زدگی بر گیاه برخوردار است. این شاخص (درصد بقاء) که پس از ۲۱ روز از اعمال تنش یخ‌زدگی اندازه‌گیری شد، به عنوان یکی از مهمترین شاخص‌های تحمل گیاهان به تنش سرما مطرح می‌باشد و لذا به نظر می‌رسد که شاخص حداکثر کارایی فتوسیستم II توانایی مناسبی را برای تخمین تحمل به یخ‌زدگی چاودار فراهم کرده است.

II را در زمان ۱۲ ساعت دارا بودند (شکل ۸، الف). در مقایسه با زمان اول اندازه‌گیری، در زمان ۲۴ ساعت بعد از اعمال تنش یخ‌زدگی دمای کاهنده ۵۰ درصد حداکثر کارایی فتوسیستم II در تمامی اکوتبهای کاهش یافت. در این زمان اکوتبهای ۱۲۶۴ و ۳۸۵۷ به ترتیب با درجه سانتی‌گراد کمترین دمای کاهنده ۵۰ درصد حداکثر کارایی فتوسیستم II را دارا بودند و اکوتب ۲۶۴ نیز با  $-19/2$  درجه سانتی‌گراد دمای کاهنده ۵۰ درصد حداکثر کارایی فتوسیستم II را داشت (شکل ۸، ب). دمای کاهنده ۵۰ درصد حداکثر کارایی فتوسیستم II در زمان ۴۸ و ۹۶ ساعت بعد از اعمال تنش یخ‌زدگی نیز به دلیل صفر شدن حداکثر کارایی فتوسیستم II محاسبه نشد. گران و Rosa (۱۹۹۰) در آزمایشی مقاومت به سرمادگی در گل رز (hybrida) را با استفاده از حداکثر کارایی فتوسیستم II ارزیابی و گزارش کردند که اندازه‌گیری حداکثر کارایی فتوسیستم II یک روش سریع در به‌گرنی ژنتیکی‌ها برای حساسیت به سرمادگی در اصلاح گیاهان است. نتایج آنها نشان داد که روش اندازه‌گیری حداکثر کارایی فتوسیستم II همچنین می‌تواند در برگ‌های جدا نشده از گیاهان درون شیشه‌ای بدون صدمه به گیاهان مورد استفاده قرار گیرد. افزایش نشت الکتروولیت‌ها تا ۴۰ درصد، تأثیر چندانی بر حداکثر کارایی فتوسیستم II در ۱۲ ساعت پس از اعمال تنش یخ‌زدگی نداشت و افزایش بیشتر درصد نشت الکتروولیت‌ها سبب کاهش این



شکل ۹- رابطه بین حداکثر کارایی فتوسیستم II ۱۲ ساعت بعد از تنش یخ‌زدگی و نشت الکتروولیت‌ها در اکوتبهای چاودار  
Figure 9- Relationship between PSII maximum efficiency after 12 hours exposure to freezing stress and electrolyte leakage in rye ecotypes

سانتی‌گراد مقاومت خوبی را نسبت به تنش یخ‌زدگی نشان دادند و با وجود اینکه با کاهش بیشتر دما حداکثر کارایی فتوسیستم II در تمامی اکوتبهای باشد کاهش یافت، اما شیب کاهش حداکثر کارایی

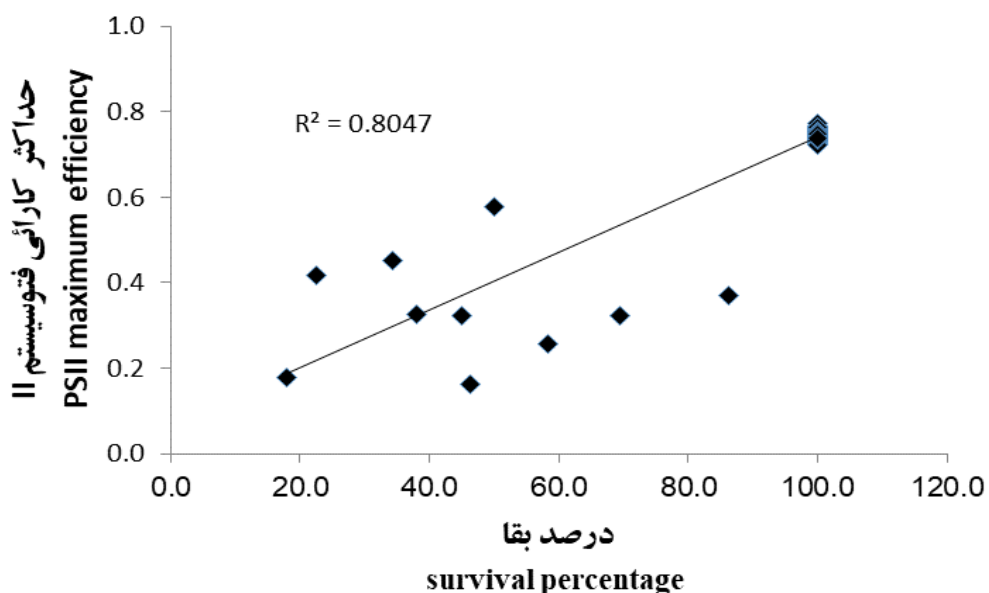
### نتیجه‌گیری

در این آزمایش کلیه اکوتبهای چاودار تا دمای  $-18$  درجه

### سپاسگزاری

بودجه این تحقیق از محل اعتبارات معاونت محترم پژوهشی دانشکده کشاورزی دانشگاه فردوسی مشهد تأمین شده است که بدین‌وسیله سپاسگزاری می‌گردد. از آقای دکتر مهدی نصیری محلاتی نیز به خاطر راهنمایی‌های ارزنده قدردانی می‌شود.

فتوسیستم II تا دمای -۲۴- درجه سانتی‌گراد بسته به اکوتیپ متفاوت بود. بر اساس شاخص حداکثر کارایی فتوسیستم II اکوتیپ ۲۶۴ حساس‌ترین و اکوتیپ ۱۲۶۴۰ متحمل‌ترین اکوتیپ به تنفس بین‌زدگی بودند. همیستگی مناسب بین حداکثر کارایی فتوسیستم II با درصد نشت الکتروولیت‌ها و همچنین درصد بقا نشان‌دهنده پتانسیل مناسب این شاخص برای تشخیص سریع‌تر ارقام حساس و مقاوم به تنفس بین‌زدگی می‌باشد.



شکل ۱۰- رابطه بین حداکثر کارایی فتوسیستم II ۱۲ ساعت بعد از تنفس بین‌زدگی و درصد بقا اکوتیپ‌های چاودار

Figure 10- Relationship between PSII maximum efficiency after 12 hours exposure to freezing stress and survival percentage of rye ecotypes

### References

- Behnia, M. 1994. Cold season cereals. Tehran University Pub.
- Binder, W. D., and Fielder, P. 1996. Chlorophyll fluorescence as an indicator of frost hardiness in white spruce seedlings from different latitudes. *New Forests* 11 (3): 233-253.
- Dai, F., Zhou, M., and Zhang, G. 2007. The change of chlorophyll fluorescence parameters in winter barley during recovery after freezing shock and as affected by cold acclimation and irradiance. *Plant Physiology and Biochemistry* 45 (12): 915-921.
- Fowler, D. B., Breton, G., Limin, A. E., Mahfoozi, S., and Sarhan, F. 2001. Photoperiod and temperature interactions regulate low-temperature-induced gene expression in barley. *Journal of Plant Physiology* 127 (4): 1676-1681.
- Francia, E., Rizza, F., Cattivelli, L., Stanca, A. M., Galiba, G., Toth, B., Hayes, P. M., Skinner, J. S., and Pecchioni, N. 2004. Two loci on chromosome 5H determine low-temperature tolerance in a 'Nure' (winter) × 'Tremois' (spring) barley map. *Theoretical and Applied Genetics* 108 (4): 670-680.
- Graan, T., and Boyer, J. S. 1990. Very high CO<sub>2</sub> partially restores photosynthesis in sunflower at low water potentials. *Planta* 181 (3): 378-384.
- Hakam, N., De Ell, J. R., Khanizadeh, S., and Richer, C. 2000. Assessing chilling tolerance in roses using chlorophyll fluorescence. *HortScience* 35 (2): 184-186.
- Ingram, J., and Bartels, D. 1996. The molecular basis of dehydration tolerance in plants. *Journal of Annual review of plant biology* 47 (1): 377-403.
- Jalilian, A., Mazaheri, D., Tavakol Afshari, R., Abdolahian, M., Rahimian, H., and Ahmadi, M. 2008. Effect of

- freezing damage during seedling stage on different species of sugar beet. *Journal of Crop science* 4: 400-415.
- 10. Liang, Y., Chen, H., Tang, M. J., Yang, P. F., and Shen, S. H. 2007. Responses of *Jatropha curcas* seedlings to cold stress: photosynthesis-related proteins and chlorophyll fluorescence characteristics. *Physiologia Plantarum* 131 (3): 508-517.
  - 11. Mahfoozi, S., Hosein Salkadeh, G., Mardi, M., and Karimzadeh, G. 2008. 10<sup>th</sup> crop and plant breeding. Karaj. 100-108.
  - 12. Mam, J., and Philip, R. 1996. Chlorophyll Fluorescence as a Parameter for Frost Hardiness in Winter Wheat. A Comparison with other Hardiness Parameters. *Phyton*. 36: 45-56.
  - 13. Maxwell, K., and Johnson, G. N. 2000. Chlorophyll fluorescence\_a practical guide. *Journal of experimental botany* 51 (345): 659-668.
  - 14. Mena-Petite, A., Muñoz-Rueda, A., and Lacuesta, M. 2005. Effect of cold storage treatments and transplanting stress on gas exchange, chlorophyll fluorescence and survival under water limiting conditions of *Pinus radiata* stock-types. *European Journal of Forest Research* 124 (2): 73-82.
  - 15. Neuner, G., and Buchner, O. 1999. Assessment of foliar frost damage: a comparison of in vivo chlorophyll fluorescence with other viability tests. *Journal applicate Botany* 73: 50-54.
  - 16. Nezami, A., Borzouei, A., Jahani, M., Azizi, M., and Sharif, A. 2007. Elecrolite leakage as an index of freezing damage in Rapeseed. *Journal of Crop Reseachees of Iran*. 1: 167-175.
  - 17. Nourmohamadi, Q., Siadat, S. A., and Kashani, A. 1998. Cereal cropping. Shahid Chamran University Pub.
  - 18. Percival, G. C. and Henderson, A., 2003. An assessment of the freezing tolerance of urban trees using chlorophyll fluorescence. *The Journal of Horticultural Science and Biotechnology* 78 (2): 254-260.
  - 19. Rapacz, M. 2007. Chlorophyll a fluorescence transient during freezing and recovery in winter wheat. *Photosynthetica* 45 (3): 409-418.
  - 20. Rapacz, M., Tyrka, M., Kaczmarek, W., Gut, M. Wolanin, B., and Mikulski, W. 2008. Photosynthetic acclimation to cold as a potential physiological marker of winter barley freezing tolerance assessed under variable winter environment. *Journal of Agronomy and Crop Science* 194 (1): 61-71.
  - 21. Rizza, F., Pagani, D., Stanca, A. M., and Cattivelli, L. 2001. Use of chlorophyll fluorescence to evaluate the cold acclimation and freezing tolerance of winter and spring oats. *Plant Breeding* 120 (5): 389-396.



## Maximum Efficiency of Photosystem II as a Freezing Stress Index in Perennial Ecotypes of Rye (*Secale Montanum*)

A. Nezami<sup>1\*</sup>- S. Khaninejad<sup>2</sup>- M. R. Bahrami<sup>2</sup>- H. Zarif Ketabi<sup>2</sup>

Received: 01-02-2015

Accepted: 25-12-2016

### Introduction

Chlorophyll fluorescence measuring is a quick and undestructive method, which is used as an important index to identify stress tolerant varieties for environmental stresses such as freezing. Rye planting is less prevalent comparing to other cool season cereals, but more investigations are needed because of suitable potentials in this crop for growing in cold area of Iran. In addition, low temperatures decrease physiological functions of plants and results in irreversible damages and disorders in physiological process of plants.

### Material and Methods

In order to study the possibility of using the chlorophyll fluorescence parameters for evaluation of freezing tolerance in perennial rye ecotypes, an experiment was performed using a factorial experiment based on completely randomized design with three replications at Agricultural Faculty of Ferdowsi University of Mashhad. Ten rye ecotypes (264, 941, 8425, 15771, 1587, 14947, 591, 1275, 3857 and 12460) were exposed to nine freezing temperatures (0 (control), -3, -6, -9, -12, -15, -18, -21 and -24°C) and maximum efficiency of photosystem II (ME of PII) were measured four times (12, 24, 48 and 96 hours) after freezing. Correlation between ME of PII with Electrolyte Leakage percentage (EL %) and survival percentage (SU %) were tested.

### Results and Discussion

The results indicated that there was a significant difference among rye ecotypes for ME of PII, while ecotype 12640 had the highest ME of PII and the lowest efficiency was observed in ecotype 264. There was no difference in ME of PII among rye ecotypes until to -18 °C, but ME of PII decreased in -21°C and -24°C after 12 to 24 hours recovery period. This efficiency was zero in -24°C during 48 and 96 hours after recovery, while ME of PII did not get to zero in this temperature during 12 and 24 hours after stress. ME of PII impairment by freezing temperatures was similar in 48 and 96 hours and it seems that no changes happened in the efficiency after 48 hours. There was a rapid reduction in slope of efficiency from -15°C to -24°C in 264 and 941 ecotypes than the other ecotypes, while ecotype 12640 had the highest ME of PII than the other ecotypes in mentioned temperature range. In the four measuring times, ME of PII was not reduced until -18°C, but it was severely decreased by temperature reductions to -21°C and -24°C, as ME of PII decreased to the lowest value after 48 hours. Decreasing the ME of PII in rye ecotypes was different due to the ecotypes in the times after freezing stress, the most reduction was observed in 264 and 941 ecotypes and ecotype 12640 had less decrease in the slope of ME of PII. There were differences among rye ecotypes in reduction temperature for 50% of ME of PII; while ecotype 12640 get reduction temperature for 50% of ME of PSII in -24.8°C 12 hours after freezing stress; and ecotypes 264 and 941 had the highest reduction temperature of 50% ME of PII in -20.2 °C and -20 °C, respectively. Reduction temperature for 50% of ME of PII decreases in 24 hours after freezing stress; at this time, 12640 and 3857 ecotypes showed the lowest reduction temperature for 50% of ME of PII by -22.6°C and -22.2°C, respectively, and 264 ecotype had the highest reduction temperature for 50% of ME of PII by -19.2°C. There were significant correlations between ME of PII, EL% and SU%. Since EL test was conducted 24 hours after freezing stress, it seems that measuring ME of PII in 12 hours after freezing stress increases quickness in test and determining the stress effects rapidly. Higher correlations between plants survival percentage with ME of PII 12 hours after freezing stress, indicate that ME of PII is a non-destructive factor for estimating long term effects of freezing stress on rye plants. In conclusion, the mentioned factors can be used as a quick procedure to identify cold tolerant plants.

**Keywords:** Chlorophyll florescence, Electrolyte, Freezing tolerance, Survival percentage

1- Professor, Collage of Agriculture, Ferdowsi University of Mashhad

2- PhD. in Crop physiology, Ferdowsi University of Mashhad

(\*- Corresponding Author Email: nezami@um.ac.ir)



## بررسی شاخص‌های رشد و مراحل فنولوژیک کنجد (*Sesamum indicum L.*) در شرایط استفاده از منابع تغذیه‌ای زیستی و شیمیایی

محمد جواد مصطفوی<sup>۱</sup>\* - مهدی نصیری محلاتی<sup>۲</sup> - علیرضا کوچکی<sup>۲</sup>

تاریخ دریافت: ۱۳۹۴/۰۶/۲۸

تاریخ پذیرش: ۱۳۹۵/۰۸/۱۹

### چکیده

به منظور ارزیابی اثر کودهای مختلف زیستی و شیمیایی بر شاخص‌های رشد و مراحل فنولوژیکی کنجد آزمایشی در قالب طرح پایه بلوک‌های کامل تصادفی با ۱۰ تیمار و سه تکرار انجام شد. تیمارهای آزمایش شامل کودهای زیستی نیتروکسین (Ni)، بیوفسفر (BP)، بیوسولفور (PS)، ترکیب زیستی دوگانه Ni+BP و سه‌گانه Ni+BP+BS، کودهای شیمیایی اوره (U)، سوپرفسفات تریپل (P)، ترکیب شیمیایی دوگانه U+P و سه‌گانه U+P+BS (S) عصری (U+P+S) و شاهد (بدون مصرف کود) بود. نتایج این آزمایش نشان دهنده برتری تیمارهای ترکیبی کودهای زیستی و به علاوه گوگرد (S) عصری (U+P+S) در مصرف کود بود. بر این اساس تیمارهای ترکیبی دوگانه زیستی و شیمیایی بهترین روند شاخص‌های رشدی تأثیرگذار شیمیایی نسبت کاربرد تکی آن کودها بود. بر این اساس تیمارهای ترکیبی دوگانه زیستی و سه‌گانه زیستی و شیمیایی بهترین روند شاخص‌های رشدی تأثیرگذار بر تولید ماده خشک (شاخص سطح برگ و سرعت رشد محصول) را نسبت به شاهد داشتند که منجر به تجمع بیشتر ماده خشک در این تیمارها گردید. بالاترین نقطه اوج سرعت آسمیلاسیون خالص نیز در تیمار دوگانه زیستی مشاهده شد. هرچند در این آزمایش در تیمارهای مختلف از نظر شاخص‌های رشدی تفاوت‌هایی مشاهده شد و با وجودی که سبز شدن گیاهچه‌ها در تیمارهای زیستی زودتر اتفاق افتاد، اما تحلیل‌های آماری نشان داد که مراحل مختلف فنولوژیکی کنجد از تیمارهای این آزمایش تأثیر معنی داری نپذیرفت. بنابراین از یافته‌های این پژوهش چنین نتیجه‌گیری می‌شود که کاربرد ترکیبی کودهای زیستی و کودهای شیمیایی در بهبود شرایط رشدی گیاه اثر قابل توجهی داشته و تعییری در فنولوژی گیاه به وجود نمی‌آورند. نهایتاً با توجه به مزایای استفاده از کودهای زیستی، استفاده از ترکیب کودهای زیستی به عنوان بهترین گزینه برای تولید کنجد پیشنهاد می‌گردد.

**واژه‌های کلیدی:** اوره، درجه روز رشد، سرعت رشد محصول، شاخص سطح برگ، نیتروکسین

### مقدمه

کشاورزی پایدار و حذف یا جایگزین نمودن کودهای شیمیایی با کودهای زیستی را فراهم آورده‌اند (Kizilkaya, 2008).

کودهای زیستی، شامل مقادیر کافی از یک یا چند گونه میکروگانیسم مفید خاکزی همزیست یا غیرهمزیست است که به همراه مواد نگهدارنده مناسبی عرضه می‌شوند و دارای نقش مثبتی در رفع نیاز غذایی گیاهان و بهبود شرایط رشد آن‌ها هستند (Jahan and Nassiri Mahallati, 2012). از مهم‌ترین باکتری‌های خاکزی، می‌توان به باکتری‌های آزادی تثبیت‌کننده نیتروژن از توباكتر و آزوپریلوم اشاره کرد که در محیط ریزوسفر خاک حضور داشته و به صورت هتروتروف از بقایای آلی موجود در خاک استفاده می‌کند و قادر همیاری با گیاهان بسیاری هستند (Martin et al., 2011).

ثبت زیستی نیتروژن و افزایش جذب و فراهمی عناصر غذایی مانند فسفر، روی، آهن و مولیبدن (Bagheri et al., 2011; Hajiloo et al., 2011; Banreji et al., 2006 آنزیمهای تعديل کننده رشد و توسعه گیاه، تولید انواع ویتامین‌ها، ساخت هورمون‌های محرک رشد مانند اکسین‌ها، انواع ویتامین‌ها

در دهه‌های اخیر، کشاورزی با مدد نوآوری‌های تکنولوژیکی، استفاده از نهاده‌های شیمیایی و آفتکش‌ها و توسعه سازه‌ها و روش‌های آبیاری و پیشرفت‌های علمی نظیر اصلاح واریته‌های گیاهی جدید، مواد غذایی زیاد یا حداقل به اندازه گذشته تولید می‌کند. اما مشکلات اقتصادی ناشی از افزایش رو به رشد بهای کودهای شیمیایی از یک سو و هزینه‌های سنگین زیستمحیطی و اجتماعی مرتبط با مصرف غیر اصولی این کودها از قبیل ایجاد آلودگی‌های محیطی، افت حاصلخیزی خاک و کاهش کیفیت محصولات از سوی دیگر، موجبات توجه هرچه بیشتر به حرکت به‌سوی کاربرد اصول

۱- دانشجوی دکتری اگرواکولوژی، دانشکده کشاورزی، دانشگاه فردوسی مشهد

۲- استاد، دانشکده کشاورزی، دانشگاه فردوسی مشهد

(Email: mnassiri@um.ac.ir)      ۳- نویسنده مسئول:

DOI: 10.22067/gsc.v16i1.49991

گردید. نتایج پژوهش بیژنی و همکاران (Bijani *et al.*, 2015) که به بررسی کاربرد کودهای اوره و کود نیتروکسین پرداختند حاکی از این بود که کاربرد نیتروکسین از سویی ارتفاع ساقه، تعداد شاخه جانی، وزن هزار دانه، تعداد دانه در کپسول، کپسول در بوته، عملکرد دانه، عملکرد روغن و درصد پروتئین کنجد را افزایش داد و از سوی دیگر تلقيق بذور با نیتروکسین به همراه کاربرد ۲۴۰ کیلوگرم در هکتار اوره عملکرد دانه را ۵۸ درصد افزایش داد. شاکری و همکاران (Shakeri et al., 2012) نیز با بررسی تأثیر سه سطح ۰، ۲۵ و ۵۰ کیلوگرم در هکتار کود شیمیایی نیتروژن (با منع اوره) و تلقيق بذرها با کود زیستی نیتروکسین بر عملکرد کمی و کیفی و اجزای عملکرد سه رقم کنجد (داراب ۱۴، جیرفت و یزدی) گزارش کردند که کاربرد کود شیمیایی نیتروژن و کود بیولوژیک نیتروکسین بر تمامی صفات ارقام موردنطالعه کنجد به جز درصد روغن و شاخص برداشت تأثیر معنی داری داشتند و بالاترین عملکرد دانه (۱۷۹۴/۴) کیلوگرم در هکتار) در رقم داراب ۱۴ و بیشترین درصد پروتئین دانه (۲۲/۴۸) درصد) با کاربرد توأم ۵۰ کیلوگرم در هکتار نیتروژن و تلقيق کود بیولوژیک نیتروکسین به دست آمد از این رو بیان کردند که کاربرد کود نیتروکسین می‌تواند تا حد زیادی در راستای کاهش مصرف کود شیمیایی نیتروژن برای کنجد مفید باشد. قبادی و همکاران (Ghobady *et al.*, 2011) نیز به بررسی تأثیر کودهای زیستی حاوی باکتری‌های سودوموناس و تیوباسیلوس به صورت مجزا و ترکیب با کودهای شیمیایی سوپرفسفات تریپل بر عملکرد و اجزای عملکرد سیبزمینی (*Solanum tuberosum* L.) پرداخته و گزارش دادند که نتایج نشان دهنده بهبود تعداد غده در بوته، تعداد غده در متر مربع، عملکرد کل و عملکرد قابل فروش در گیاهان تحت تیمار کودهای زیستی در مقایسه با تیمار شاهد بود؛ محققان دلیل این امر را بهبود حلالیت و نیز قابلیت دسترسی به فسفر در خاک در تیمارهای کودهای زیستی بیان کردند. رحیمیان (Rahimian, 2011) نیز افزایش اجزای عملکرد و عملکرد کمی و کیفی کلزا (*Brassica napus* L.) در محیط گلخانه را با کاربرد باکتری‌های تیوباسیلوس گزارش داد. این محقق در توجیه این نتایج چنین بیان داشت که با کاربرد تیوباسیلوس و درنتیجه کاهش اسیدیته خاک، امکان جذب عناصر غذایی کم مصرف ایجاد و درنتیجه عملکرد و درصد روغن افزایش یافت. همچنین نوربخش و همکاران (Noorbakhsh *et al.*, 2014) با ارزیابی اثر تلقيقی کاربرد گوگرد آلی گرانوله (در سطوح ۰، ۳۰۰، ۴۰۰ و ۵۰۰ کیلوگرم در هکتار) با تیوباسیلوس (در سطوح ۰، ۲ و ۳ کیلوگرم در هکتار بهازی هر تن کود دامی) بر عملکرد کیفی و خصوصیات مورفولوژیک گلرنگ (*Carthamus tinctorious*) گزارش کردند که اثر ساده کود گوگرد و کود بیولوژیک بیوسولفور (حاوی تیوباسیلوس) و اثر متقابل آن‌ها بر درصد روغن و پروتئین بذر، غلظت فسفر برگ، غلظت گوگرد برگ و ارتفاع و قطر ساقه اصلی

به خصوص ویتامین‌های گروه B، انواع اسیدهای آمینه و سنتز مواد ضد قارچی برای مقابله با عوامل بیماری‌زای قارچی همانند فوزاریوم و اسکلروتیوم و بهبود مقاومت گیاهان در برابر تنفس‌های محیطی است. اما با این وجود، درجه تأثیر این میکرووارگانیسم‌ها بر جنبه‌های مختلف رشد و عملکرد گیاهان، تابع عوامل مختلفی همچون نوع گیاه، سویه باکتری، نوع خاک و شرایط محیطی است. به این ترتیب استفاده از این باکتری‌ها به عنوان کود زیستی دارای اثرات ثابتی نبوده و به منظور تولید این محصولات در ابتدا بایستی ارتباط بین باکتری‌های مورد استفاده و گیاه، خاک و ریزموجودات خاک مورد ارزیابی قرار گیرند (Nezarat and Gholami, 2011).

بر اساس شواهد تاریخی کنجد (*Sesamum indicum* L.) قدیمی‌ترین دانه روغنی شناخته شده توسط بشر است که کشت و کار آن به بیش از ۴۱۰۰ سال پیش باز می‌گردد (Uzun and Cagirgan, 2006) و به مدت هزاران سال در کشورهای آسیایی جهت ارتقای وضعیت تغذیه‌ای و جلوگیری از ابتلا به بیماری‌های مختلف مورد استفاده قرار می‌گرفته است (Das and Bhattacharjee, 2015). در سطح جهان، کنجد در بین ۳۰ گیاه زراعی روغنی مهم جهان که بیش از ۹۰ درصد تولیدات روغن خوارکی را تشکیل می‌دهند، از رتبه نهم برخوردار است (Das and Bhattacharjee, 2015; Adeola *et al.*, 2010). کنجد عملکرد و نهاده‌پذیری پایینی دارد، لذا با کاربرد نهاده‌های رایج شیمیایی، عملکرد آن افزایش چندانی پیدا نمی‌کند. از این‌رو، جهت بازگرداندن این گیاه زراعی روغنی به سامانه‌های زراعی بایستی تغذیه این گیاه با کمک اصول و نهاده‌های اکولوژیک صورت پذیرد و با به کارگیری اصول کشاورزی اکولوژیک در تولید این محصول، پایداری تولید این محصول را تأمین و تضمین نمود و از این طریق جایگاه کنجد را در بین محصولات دیگر مجدداً به آن بازگرداند. با توجه به اهمیت زیاد روغن‌های گیاهی در ارتقای سلامت جامعه و همچنین توجه به مسئله گرمایش زمین و تغییرات اقلیمی اخیر حرکت به سمت زراعت گیاهان روغنی مقاوم به خشکی و گرما نظیر کنجد می‌تواند گامی مؤثر در تأمین نیاز روغن کشور در آینده به شمار آید (Rezvani *et al.*, 2010).

خبرآور تولید محصول کنجد با بهره‌گیری از کودهای زیستی بسیار موفقیت‌آمیز بوده است (Paul and Savithru, 2003) در پژوهشی (Sajjadi Nik *et al.*, 2013) با مقایسه تأثیر کودهای شیمیایی (اوره)، آلی (ورمی کمپوست) و زیستی نیتروکسین (حاوی باکتری‌های Azotobacter sp. و Azospirillum sp.) بر عملکرد کمی و کیفی کنجد چنین گزارش کردند که کاربرد کود زیستی نیتروکسین موجب افزایش معنی دار ۸/۵ درصدی عملکرد نسبت به تیمار شاهد شد. همچنین کاربرد کود شیمیایی اوره، کود آلی ورمی کمپوست و کود زیستی نیتروکسین موجب افزایش درصد و عملکرد پروتئین کنجد

دوگانه زیستی (۱+۳)، ۵- ترکیب سه‌گانه زیستی (۱+۲+۴)، ۶- کود شیمیایی اوره، ۷- کود شیمیایی سوپرفسفات تریپل، ۸- ترکیب دوگانه شیمیایی (۵+۶)، ۹- ترکیب سه‌گانه شیمیایی (۵+۶) به علاوه مقدار گوگرد مصرف شده در تیمار ۳ و ۱۰- تیمار شاهد بود. کاربرد کودهای زیستی با توجه به توصیه شرکت سازنده و کاربرد کودهای شیمیایی به صورت نواری انجام شد. از آنجا که منبع تغذیه‌ای عمدۀ میکروارگانیسم‌های خاکزی ماده آلی خاک است، پس از شخم زمین، مقدار ۲۰ تن کود دامی (گاوی) پوسیده شده به خاک اضافه و با آن مخلوط شد و پس از آن، از خاک مزرعه نمونه‌برداری انجام شد که نتایج آن در جدول ۱ آمده است. مساحت کرت‌های آزمایش ۱۲ مترمربع و فاصله کرت‌های مجاور از یکدیگر یک متر تعیین شد. در این آزمایش از کنجد رقم اسفراین که توده‌ای بومی، تکساقه و مورد کشت و کار در منطقه مشهد است استفاده شد. کشت بذرها به صورت جوی و پسته با فاصله بین ردیف‌های ۵۰ سانتی‌متر، روی ردیف ۱۰ سانتی‌متر و با عمق ۳ سانتی‌متری بود. آبیاری اول و دوم در روز کاشت و ۳ روز پس از کاشت انجام شد و پس از آن، دور آبیاری تا پایان فصل رشد هفت روزه بود. وجین علف‌های هرز به صورت مستمر و تا بسته شدن کانوپی به صورت دستی ادامه یافت.

گلنگ معنی‌دار بود از این جهت بیان داشتند که می‌توان مصرف تلفیقی گوگرد به همراه تلقیح با باکتری تیوباسیلوس را به عنوان راهکاری اکولوژیک در راستای دستیابی به افزایش رشد و تولید کمی و کیفی گیاهان دانه روغنی بهویژه در خاک‌های با قلیائیت بالا مدنظر قرار داد.

اطلاعات اندکی درمورد نیاز واقعی کنجد به منابع تغذیه‌ای و عکس‌العمل‌های آن به این منابع در دسترس است (Khajepoor, 2010) و جنبه‌های رشدی و واکنش‌های فنولوژیکی کنجد به کودهای زیستی در مقایسه با کودهای شیمیایی کمتر شناخته شده است. بنابراین هدف از انجام این آزمایش ارزیابی رشد و فنولوژی کنجد با تأکید بر کاربرد منابع مختلف مختلف تغذیه‌ای زیستی و شیمیایی بود.

## مواد و روش‌ها

این تحقیق در سال زراعی ۱۳۹۱-۹۲ در مزرعه تحقیقاتی دانشگاه فردوسی مشهد واقع در ۱۰ کیلومتری شرق مشهد انجام شد. آزمایش در قالب طرح پایه بلوك کامل تصادفی با ۱۰ تیمار و سه تکرار اجرا شد. تیمارهای آزمایش شامل ۱- کود زیستی نیتروکسین، ۲- کود زیستی بیوفسفر ۳- کود زیستی بیوسولفور (به همراه مصرف مقدار توصیه شده گوگرد عنصری توسط تولیدکننده) ۴- ترکیب

جدول ۱- نتایج آزمایش خاک قطعه زمین مزرعه آزمایشی (عمق صفر الی ۳۰ سانتی‌متر)

Table 1- Result of test of experimental soil (0 – 30 cm depth)

پتانسیم	فسفر	نیتروزن	ماده آلی Organic matter (%)	کربن آلی Organic C (%)	شوری Salinity (dS m <sup>-1</sup> )	pH	اسیدیته Soil texture	بافت خاک
321	12.2	15.5	0.95	0.43	1.2	8.76	لوم سیلتی Silty loam	

درجه خشک شده و اندازه گیری وزن خشک آن‌ها با ترازوی دیجیتال آزمایشگاهی با دقیقاً ۰/۰۱ گرم انجام شد و از داده‌های به دست آمده و توابع مربوطه (Mostafavi, 2014) جهت محاسبه تجمع ماده خشک (ماده خشک کل؛ TDM) استفاده گردید. در نهایت از این داده‌ها جهت تجزیه و تحلیل روزانه شاخص‌های رشد استفاده گردید. تغییرات روزانه شاخص سطح برگ با برازش تابع لجستیکی (معادله ۱) به داده‌ای اندازه گیری شده برآورد گردید:

$$Y = \frac{a + b \cdot 4 \cdot (\exp(-(t - c) / d))}{(1 + \exp(-(t - c) / d))^2} \quad (1)$$

که در آن  $Y$  شاخص سطح برگ،  $b$  حداکثر شاخص سطح برگ،  $c$  زمان رسیدن به حداکثر شاخص سطح برگ،  $a$  و  $d$  ضرایب معادله و  $t$  روز پس از سبز شدن می‌باشد.

تغییرات ماده خشک (میزان تجمع ماده خشک) نیز روندی سیگمویدی داشت (معادله ۲).

در طول دوره آزمایش از هیچ‌گونه نهاده شیمیایی دیگری نظیر آفت‌کش و علف‌کش استفاده نشد. جهت ثبت مراحل فنولوژیکی و شاخص‌های رشدی کنجد در طول فصل رشد، هر کرت به دو بخش تقسیم شد. نمونه‌برداری جهت تعیین روند شاخص‌های رشدی به صورت تخریبی، هر هفت روز یکبار به صورت تصادفی و بدون برداشت نمونه از حاشیه نیم‌متری از طرفین کرت و از سه بوته انجام شد. اولین نمونه‌برداری ۲۱ روز پس از کاشت و داده‌برداری آخر ۱۱۲ روز پس از کاشت انجام شد. نمونه‌های برداشت شده در هر نمونه گیری بالا فاصله پس از برداشت درون کیسه‌های پلاستیکی جداگانه‌ای قرار داده شده و پس از برچسب‌گذاری هر کیسه، به آزمایشگاه منتقل گردیدند. سطح برگ نمونه در حداقل زمان پس از نمونه‌برداری، با استفاده از دستگاه Leaf Area Meter (LAI) اندازه گیری شد و داده‌های حاصل جهت محاسبه شاخص سطح برگ (LAI) مورد استفاده قرار گرفت. سپس نمونه‌ها به مدت ۴۸ ساعت در آون با دمای

مؤلفه‌های مختلف تجزیه نموده و مورد تحلیل قرار می‌دهند. به طور کلی در کشاورزی رشد را به معنای افزایش در ماده خشک گیاه می‌دانند. ماده خشک گیاه حاصل تجمع مواد فتوستتری است که می‌تواند تعیین کننده عملکرد گیاهان زراعی باشد. تجزیه و تحلیل کمی رشد، روشنی برای شناخت تجمع مواد فتوستتری در گیاه از طریق اندازه‌گیری تولید ماده خشک در طول فصل رشد گیاه در مزرعه است و امکان توضیح و تفسیر عکس العمل گیاه نسبت به شرایط محیطی را فراهم می‌کند (Koocheki *et al.*, 2003).

**شاخص سطح برگ (LAI):** در این آزمایش تعییرات شاخص سطح برگ کتجد در طول فصل رشد در تیمارهای کودی مختلف روند نسبتاً یکسانی داشت، به طوری که در ابتدای فصل، رشد کند و تدریجی داشت و با تولید برگ‌های بیشتر توسط گیاه و تقریباً در تمامی تیمارها کمی قبل از شروع گلدهی (حدود ۳۵ روز پس از کاشت)، با سرعت زیادی افزایش یافت و پس از گلدهی کامل و کاسته شدن از روند افزایشی مرحله قبل، کلیه تیمارها هنگام شروع رسیدگی فیزیولوژیک به حداکثر مقدار شاخص برگ رسیده و پس از آن کاهش یافتند (شکل ۱). یافته‌های بسیاری بر همبستگی بالای شاخص سطح برگ و عملکرد گیاه زراعی اشاره دارد (Ghobady *et al.*, 2011).

در طول دوره رشد گیاه، تیمار شاهد کمترین شاخص سطح برگ را داشت و همچنین با اختلافی اندک، تیمار بیوسولفور روندی شبیه و مقادیری بسیار نزدیک با تیمار شاهد داشت. با توجه به شکل ۱ به نظر می‌رسد تیمارهای دوگانه و سه‌گانه شیمیایی با عرضه کافی مواد غذایی برای گیاه، توانسته‌اند از همان ابتدای فصل موجب تولید برگ‌های بیشتر و بنابراین شاخص سطح برگ بیشتر گردند، چنان‌که هرچند اختلافی در بین تیمارها در زمان رسیدن به حداکثر شاخص سطح برگ دیده نمی‌شود، حداکثر شاخص سطح برگ در نقطه اوج روندهای شیمیایی با مقادیر بهترین ترتیب  $3/42$  و  $3/22$  بود و در رتبه‌های بعدی تیمارهای سه‌گانه شیمیایی، دوگانه شیمیایی و اوره با شاخص سطح برگ  $3/03$  و  $2/98$  و  $3/01$  قرار گرفتند. در نقطه اوج، شاخص سطح برگ  $2/75$  و  $2/85$  (بیوفسفر) بود. سوپرفسفات‌تریپل ( $2/78$ ) بسیار به هم نزدیک و اختلاف آن‌ها ناچیز بود اما با تیمارهای شاهد ( $2/42$ ) و تیوباسیلوس ( $2/54$ ) و همچنین تیمارهای ترکیبی زیستی و شیمیایی اختلاف قابل توجهی داشت. به نظر می‌رسد به طور کلی کاربرد ترکیبی کودهای شیمیایی و زیستی در قیاس با کاربرد تکی آن‌ها بهتر توانسته نیازهای تغذیه‌ای و عرضه مواد برای گیاه جهت توسعه سطح برگ را فراهم سازد.

$$Y = \frac{a}{1 + b \cdot \exp(-ct)} \quad (2)$$

که در آن  $Y$  ماده خشک ( $\text{g m}^{-2}$ ),  $a$  حداکثر ماده خشک تولید شده ( $\text{g m}^{-2}$ ),  $c$  میانگین سرعت رشد نسبی،  $b$  ضریب معادله و  $t$  روز پس از سبز شدن می‌باشد.

مشتق اول معادله ۲ ( $\frac{dY}{dt}$ ) سرعت رشد محصول (CGR) را برابر حسب  $\text{g m}^{-2} \text{ d}^{-1}$  به دست خواهد داد (معادله ۳).

$$\frac{dY}{dt} = \frac{a \cdot b \cdot c \cdot \exp(-ct)}{(1 + b \cdot \exp(-ct))^2} \quad (3)$$

و سرعت رشد نسبی ( $\text{g g}^{-1} \text{ d}^{-1}$ , RGR) از مشتق دوم معادله ۲ به دست می‌آید (معادله ۴).

$$\frac{d_2 Y}{dt} = \frac{b \cdot c \cdot \exp(-ct)}{1 + b \cdot \exp(-ct)} \quad (4)$$

با معلوم بودن مقادیر CGR و LAI سرعت فتوستتر خالص ( $\text{NAR}$ ) از معادله ۵ محاسبه شد.

$$NAR = \frac{CGR}{LAI} \quad (5)$$

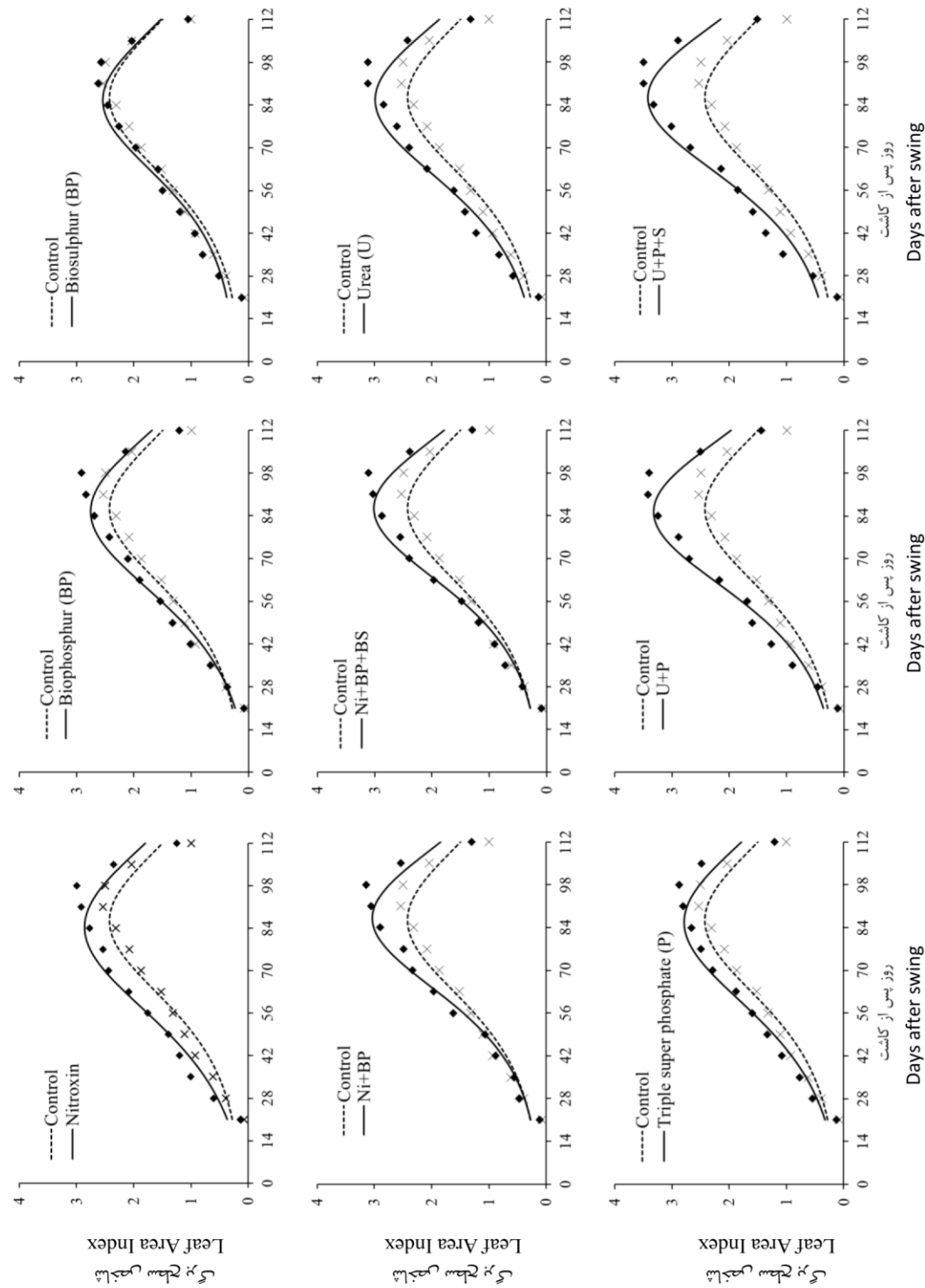
ثبت مراحل فنولوژیکی در نیمه‌ای از کرت‌ها که نمونه‌گیری تخریبی انجام نمی‌شد انجام پذیرفت. وقوع هر مرحله از مراحل فنولوژیکی کتجد در کرت‌ها با استفاده از یک کوادرات  $1 \times 1$  متری با حفظ فاصله حداقل نیم‌متری از حاشیه هر کرت و سپس تعیین وقوع هر یک از مراحل مختلف فنولوژیکی در  $50 \times 50$  درصد بوته‌های درون کوادرات (بنا بر پیشنهاد (Khajepoor 2010) و بر اساس تعداد روزهای پس از کاشت و درجه روز رشد (GDD) ثبت شد. جهت محاسبه درجه روز رشد از معادله ۶ استفاده شد.

$$GDD = \sum \left( \frac{T_{max} - T_{min}}{2} - T_b \right) \quad (6)$$

که در آن  $GDD$  درجه روز رشد ( $^{\circ}\text{C day}$ ),  $T_{min}$  و  $T_{max}$  به ترتیب حداکثر و حداقل دمای روزانه ( $^{\circ}\text{C}$ ) و  $T_b$  دمای پایه گیاه می‌باشد. در پایان، آنالیزهای آماری داده‌ها با استفاده از برنامه Minitab و ترسیم شکل‌ها با کمک برنامه MS Excel انجام شد.

## نتایج و بحث

**الف. بررسی شاخص‌های رشد: منحنی‌های رشد، همانند الگویی است که می‌تواند در مراحل مختلف، تأثیر محیط گیاه را نشان دهد. محققان به دنبال آنند تا با حادثی که گیاه در طول دوره رشد با آن مواجه می‌شود بیشتر آشنا گردند. از این روش گیاهان را به**



شکل ۱- شاخص سطح برگ (LAI) کنجد در تپه‌های مختلف آزمایش در مقایسه با تپه شاهد  
Figure 1- Leaf area index (LAI) of sesame in different treatments in comparison of control

مطالعات یزدان‌دوست همدانی (Yazdan Doost Hamedani, 2003) نشان داد که مصرف کودهای نیتروژن در اوایل فصل رشد سبب گسترش سطح برگ و افزایش ظرفیت فتوسنتزی گیاه و تولید مواد پرورده بیشتر می‌گردد. همچنین البراک (Al-Barraak, 2006)

(Sajjadi Nik *et al.*, 2013) و جهان و همکاران (Jahan *et al.*, 2013) نشان داد که کاربرد نیتروکسین با تأمین نیتروژن و تحریک رشد گیاه موجب بهبود رشد و افزایش شاخص برگ کنجد می‌شود.

افزایش تنفس کلی گیاه شب تجمع ماده خشک کم شده و سپس تقریباً ثابت می‌شود (شکل ۲).

تجمع ماده خشک، انگکاسی از فتوستنتز خالص گیاه است. ماده فتوستنتزی تولیدی می‌تواند به مصرف رشد گیاه رسیده و یا در اندام‌های ذخیره‌ای تجمع یابد، که می‌تواند تعیین کننده عملکرد گیاهان زراعی باشد. افزایش سطح برگ می‌تواند موجب افزایش توان فتوستنتزی گیاه و در نتیجه افزایش تولید ماده خشک شود که این امر به نوعی خود می‌تواند منجر به افزایش عملکرد گیاه شود (Keshavarz *et al.*, 2011

تحقيقات بسیاری بیانگر این امر هستند که استفاده از این باکتری‌های محرك رشد به همراه کشت و یا آگوسته کردن با بذرها با آن‌ها، نتایج بسیار سودمند و قابل توجهی را در جهت بهبود رشد و افزایش عملکرد ماده خشک و شاخص برداشت، جوانه‌زنی بذرها و محتواهی نیتروژن آن‌ها پس از برداشت، فعالیت آنزیم نیتروژن‌ناز در گره‌های ریشه حبوبات و همچنین تحمل تنش‌های محیطی و بیماری‌ها را در پی دارد (Bagheri *et al.*, 2011). بشارتی و همکاران (Besharati *et al.*, 2010) ضمن بررسی تغییرات عملکرد گندم با تلقیح باکتری‌های جنس *Tiobacillus* در شرایط استفاده از سطوح مختلف گوگرد در خاک‌های مختلف آهکی گزارش کردند که اثر اصلی تلقیح باکتری‌ای و همچنین اثر متقابل این عامل با عوامل دیگر آزمایش عملکرد به دست آمده در تیمارهای مختلف در مقایسه با شاهد ۱۶/۷ درصد بود. سرمدی نایابی و همکاران (Sarmadi *et al.*, 2010) نیز با مقایسه عملکرد ذرت تلقیح یافته با نیتروکسین با ذرت هیدروپرایمینگ شده در دو تاریخ کاشت ۱۵ و ۲۵ خداد گزارش کردند که بالاترین مقادیر مربوط به تعداد ردیف در بالا، وزن هزار دانه، عملکرد دانه و عملکرد بیولوژیک در تیمار تلقیحی نیتروکسین به دست آمد. آنان بیان داشتند که تلقیح بذر ذرت با نیتروکسین با تحریک رشد و بهبود استفاده ذرت از منابع محیطی سبب افزایش عملکرد و اجزای عملکرد این گیاه می‌شود.

چنان‌که انتظار می‌رفت، بیشترین تجمع ماده خشک در طی فصل رشد در تیمارهای اتفاق افتادند که حائز شاخص سطح برگ بالاتر و در نتیجه پتانسیل بالاتری برای تولید و تجمع ماده خشک بودند. بر این اساس بیشترین روند تجمع ماده خشک در طول فصل رشد در تیمارهای دوگانه و سه‌گانه شیمیایی و پس از آن تیمارهای دوگانه و سه‌گانه زیستی و اوره ثبت شد. به نظر می‌رسد این نتیجه با تأمین مناسب مواد غذایی ضروری و بهبود شرایط رشدی برای گیاه و در ادامه، افزایش سطح برگ و تولید مواد فتوستنتزی بیشتر به دست آمده است. نتایج پژوهش گولسر (Gulser, 2005) نشان داد که با مصرف مقادیر ۳۰، ۲۰، ۹۰ و ۱۵۰ کیلوگرم در هکتار نیتروژن، تعداد و سطح برگ اسفناج (*Spinacia oleracea*) افزایش یافت. به عقیده

گزارش کرد که نیتروژن سبب افزایش تعداد برگ و شاخص سطح برگ در کلزا می‌شود. این محقق بیان داشت که جذب نیتروژن توسط گیاه سبب افزایش رشد، تولید شاخه فرعی بیشتر و در نتیجه افزایش شاخص سطح برگ می‌شود. همچنین بر اساس نتایج مطالعات آتنادیم و همکاران (Ather Nadeem *et al.*, 2009) کود نیتروژن اثر مثبت و معنی‌داری بر تعداد برگ در گیاه ذرت (*Zea mays L.*) داشته است بهطوری که با افزایش مصرف کود نیتروژن تا ۱۵۰ کیلوگرم در هکتار بیشترین تعداد برگ حاصل شده است. بالا بودن شاخص سطح برگ سبب افزایش میانگین سرعت رشد محصول در دوره رشد گیاه شده که این امر در نهایت منجر به افزایش تولید ماده خشک می‌گردد (Keshavarz Afshar *et al.*, 2011).

همچنین حمیدی و همکاران (Hamidi *et al.*, 2006) گزارش دادند که تلقیح بذر ذرت علوفه‌ای با آزوسپیریلوم، تعداد برگ‌های بالایی بالا و تعداد برگ در هر بوته را افزایش داده است. آن‌ها نیز دلیل این امر را وجود روابط مثبت بین گیاه و باکتری دانستند و اعلام داشتند که احتمالاً باکتری آزوسپیریلوم از طریق تولید هورمون‌های محرك رشد، عملکرد و ویژگی‌های مرتبط با آن منجر به افزایش عملکرد علوفه سیلوبی شده است. نظارت و غلامی (Nezarat and Gholami, 2011) نیز نتایجی همسو با یافته‌های این پژوهش درمورد کاربرد کودهای زیستی حاوی آزوسپیریلوم و همچنین سودوموناس در بهبود رشد و عملکرد ذرت گزارش دادند.

نتایج پژوهش‌های بسیاری بر تأثیر مثبت مصرف ترکیبی کودهای زیستی با یکدیگر یا با ترکیب با کودهای شیمیایی بر بهبود شاخص‌های رشد تأکید می‌کند (Khorramdel *et al.*, 2010; Khorramdel *et al.*, 2008; Paul and Savithru, 2003) که می‌تواند حاصل تولید هورمون‌های محرك رشد و همچنین تأمین هرچه بهتر عناصر غذایی برای گیاه باشد.

با توجه به این که عامل مهم مؤثر بر رشد و تولیدات گیاهی میزان جذب نور توسط برگ‌ها و تبدیل آن‌ها به مواد فتوستنتزی است، افزایش میزان برگ در مزرعه باعث افزایش میزان جذب نور خواهد شد که در نهایت می‌تواند منجر به افزایش تولید ماده خشک و عملکرد شود.

**تجمع ماده خشک (TDM):** روند افزایش ماده خشک در کلیه تیمارها به صورت سیگموئیدی بود. در اوایل دوره رشد، مقدار و سرعت تجمع ماده خشک کم بود و با گذشت زمان و همراه با افزایش سطح برگ میزان فتوستنتز جامعه گیاهی افزایش یافته و شبیه منحنی تجمع ماده خشک شدت بیشتری می‌گیرد و بعد از آن به دلایلی همچون پیری و زردی برگ‌ها، سایه‌اندازی برگ‌های بالایی بر برگ‌های پایینی و ریزش برگ‌های پایینی، انتقال مجدد کربوهیدرات‌های ذخیره شده به دانه، افزایش بافت‌های ساختمانی غیرفوستنتزی گیاه و

کمترین تجمع ماده خشک نیز در تیمارهای شاهد و بیوسولفور مشاهد شد که در کل دوره رشد از لحاظ عددی با هم اختلاف اندکی داشتند. در این آزمایش احتمالاً اعمال تیمار بیوسولفور نتوانسته است موجب بهبود شرایط رشدی و عرضه مناسب عناصر غذایی ضروری برای رشد گیاه کنجد گردد و می‌توان اینرا داشت که علی‌رغم فوایدی که تیوباسیلوس بر رشد گیاه دارد، احتمالاً رشد کمتر اندام هوایی به دلیل عدم دسترسی به منابع نیتروژن کافی در مراحل رشد، منجر به تولید ماده فتوسترنزی اندک و تجمع ماده خشک کمتر نسبت به سایر تیمارها گردیده است، ضمن اینکه برخی پژوهشگران به اثرات بلندمدت استفاده از این میکرووارگانیسم در عرصه‌های کشاورزی توجه دارند (Siami and Besharati, 2012).

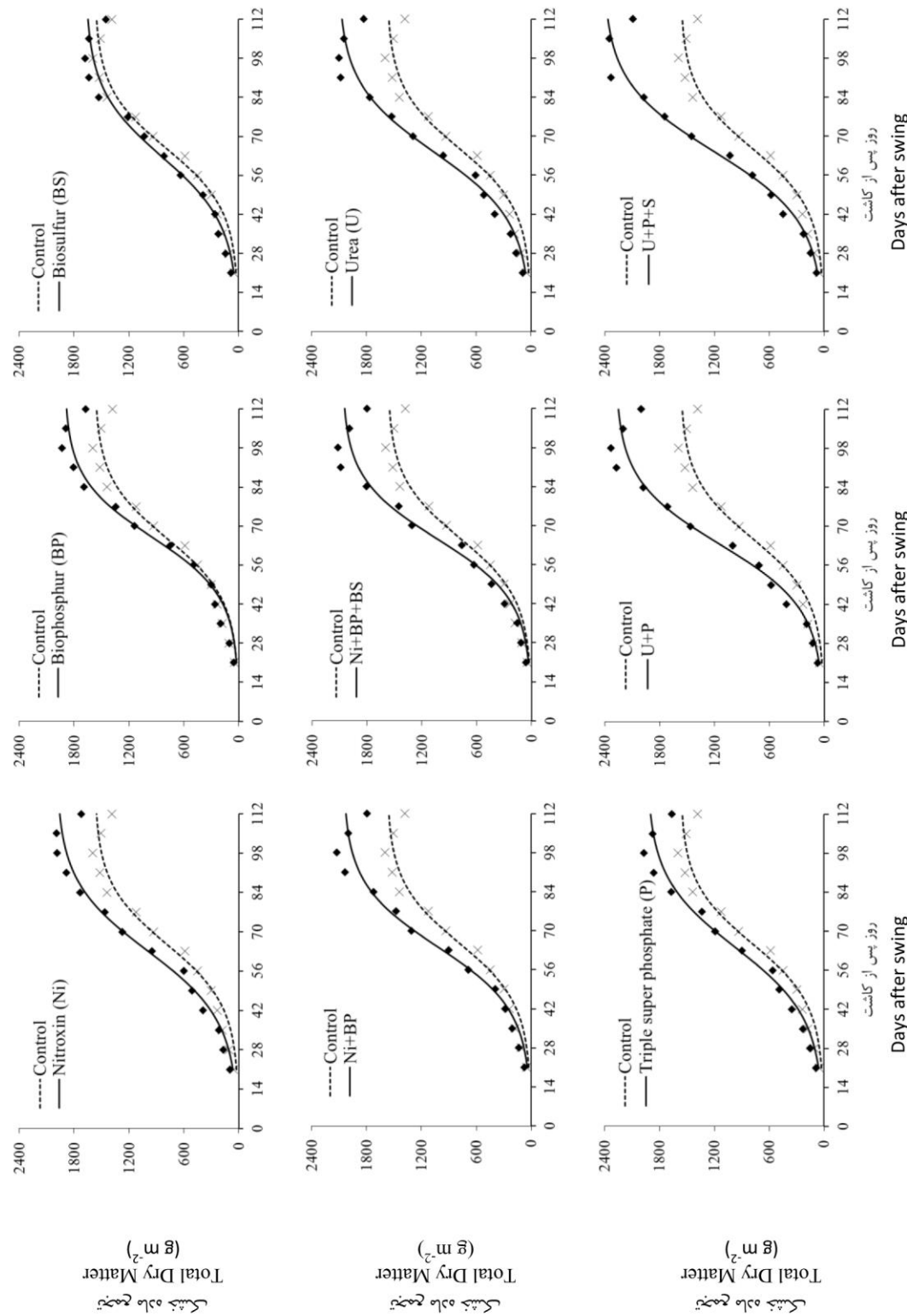
**سرعت رشد محصول (CGR):** نتایج آزمایش بیانگر روند تقریباً سهمی‌شکل و مشابه سرعت رشد محصول در طول فصل رشد در کلیه تیمارهای مورد مطالعه است، بهطوری که در ابتدای فصل رشد بهدلیل داشتن سطح برگ کم، سرعت رشد محصول بسیار کم بود. بعد از گذشت حدود ۲۸ روز پس از کاشت بهدلیل توسعه سطح برگ گیاه و افزایش رشد ریشه‌ها و در نتیجه امکان فتوسترنزی بیشتر سرعت رشد محصول شدت می‌یابد و در اواسط دوره رشد (۵۲ تا ۷۰ روز پس از کاشت) به حداقل میزان خود می‌رسد. پس از این مرحله سرعت رشد محصول دچار کاهش شدیدی می‌شود و حدود ۱۰۰ روز پس از کاشت در همه تیمارها، بهدلیل نزدیک شدن به پایان فصل رشد بسیار کم شد و این روند تا پایان حیات گیاه نیز ادامه یافت (شکل ۳). روند حاضر به دلیل افزایش تدریجی و فزاینده جذب تشعشع خورشیدی، همزمان با افزایش شاخص سطح برگ در اوایل فصل رشد و نتیجه افزایش سرعت تجمع ماده خشک در گیاه می‌باشد و با گذشت زمان، پس از رسیدن به حدنهای خود با پیر شدن برگ‌ها و کاهش فتوسترنزی بالا، سرعت رشد محصول کاهش یافته است. می‌توان گفت بدانند میزان تنفس نسبت به فتوسترنزی جاری در مراحل انتهایی رشد (Van Iersel and Seymour, 2000)، نیز باعث کاهش شدیدتر سرعت رشد محصول شده است.

کاربرد کودهای زیستی نیتروکسین و بیوفسفر سرعت رشد کنجد را در طول فصل رشد افزایش داد، هرچند افزایشی در شاخص ذکر شده در تیمار بیوسولفور مشاهده نگردید و چنان‌که در مورد شاخص سطح برگ و ماده خشک کل هم دیده شد، مقدار افزایش سرعت رشد محصول در تیمارهای ترکیبی زیستی و شیمیایی بیشتر از کاربرد جداگانه آن‌ها بود (شکل ۳).

این پژوهشگر این امر موجب بالارفتن ظرفیت فتوسترنزی و در نتیجه آن، افزایش سرعت رشد محصول و تولید ماده خشک بیشتر می‌گردد. با توجه به شکل ۲ روند تولید ماده خشک در تیمارهای ترکیبی زیستی از تیمار نیتروکسین بیشتر بود که این امر را می‌توان به اثرات متقابل و سازنده ریزموجودات خاکزی نسبت داد که منجر به کسب چنین نتیجه‌های گردیده است. هرچند مقادیر عددی ماده خشک تجمع‌یافته در هر روز در تیمار سوپرفسفات تریپل بیشتر از تیمار شاهد بود اما الگوی تجمع ماده خشک آن‌ها مشابه بود ولی این مقدار عددی تا پایان فصل رشد به تدریج افزایش یافت تا اینکه تجمع ماده خشک نهایی تیمار سوپرفسفات نسبت به تیمار شاهد بیشتر و قابل توجه بود. در ابتدای فصل رشد برای تیمارهای بیوفسفر و شاهد روند تجمع ماده خشک بسیار به هم نزدیک بود اما حدود ۵۰ روز پس از کاشت شیب تجمع ماده خشک برای تیمار بیوفسفر بیشتر از شاهد شد که نهایتاً موجب فاصله گرفتن نمودار روند تجمع ماده خشک این دو تیمار از یکدیگر گردید و به تجمع ماده خشک بالاتری را برای تیمار بیوفسفر منجر شد.

جهان و همکاران (Jahan *et al.*, 2013) افزایش همزمان شاخص سطح برگ و کارایی مصرف نور گیاه کنجد و بنابراین، افزایش معنی‌دار تجمع ماده خشک در پاسخ به مصرف نیتروکسین و در مقایسه با تیمار شاهد را گزارش کردند. طبق نتایج مطالعه احمد و همکاران (Ahmed *et al.*, 2010) پارامترهای رشدی آفتابگردان (*Helianthus annuus*), نظیر تجمع ماده خشک، تعداد برگ و شاخص سطح برگ تحت تأثیر کاربرد کودهای زیستی از جمله نیتروکسین افزایش معنی‌داری یافت. به عقیده این پژوهشگران نیتروکسین می‌تواند با افزایش فتوسترنزی و عناصر غذایی درون گیاه تأثیر مثبتی بر سطح برگ، فعالیت آنزیم‌ها، رشد و تولید ماده خشک گیاه داشته باشد.

قبادی و همکاران (Ghobady *et al.*, 2011) با کاربرد تیمارهای زیستی ۳۶۰۰ و ۷۲۰۰ گرم پودر تیوباسیلوس و ۵ و ۱۰ لیتر مایع تلچیق بیوفسفر برای سیب‌زمینی و همچنین افتخاری و همکاران (Eftekhari *et al.*, 2009) با کاربرد بیوفسفات گرانوله و پودری برای برنج (*Oryza sativa*) گزارش کردند که مصرف باکتری‌های حل کننده فسفات به همراه منبع معدنی فسفات (مثل سنگ فسفات) تأثیر بهتری نسبت به کاربرد آن باکتری‌ها بدون مصرف فسفات معدنی دارد. به عقیده قبادی و همکاران (Ghobady *et al.*, 2011) استفاده از ترکیب کود شیمیایی و زیستی فسفر فقط به تأمین فسفر محدود نمی‌شود بلکه اثرات مختلف آن‌ها سبب افزایش رشد گیاه و سنتز مواد فتوسترنزی و در نتیجه افزایش ماده خشک می‌شود.



Days after swing

روز پس از کاشت

Days after swing

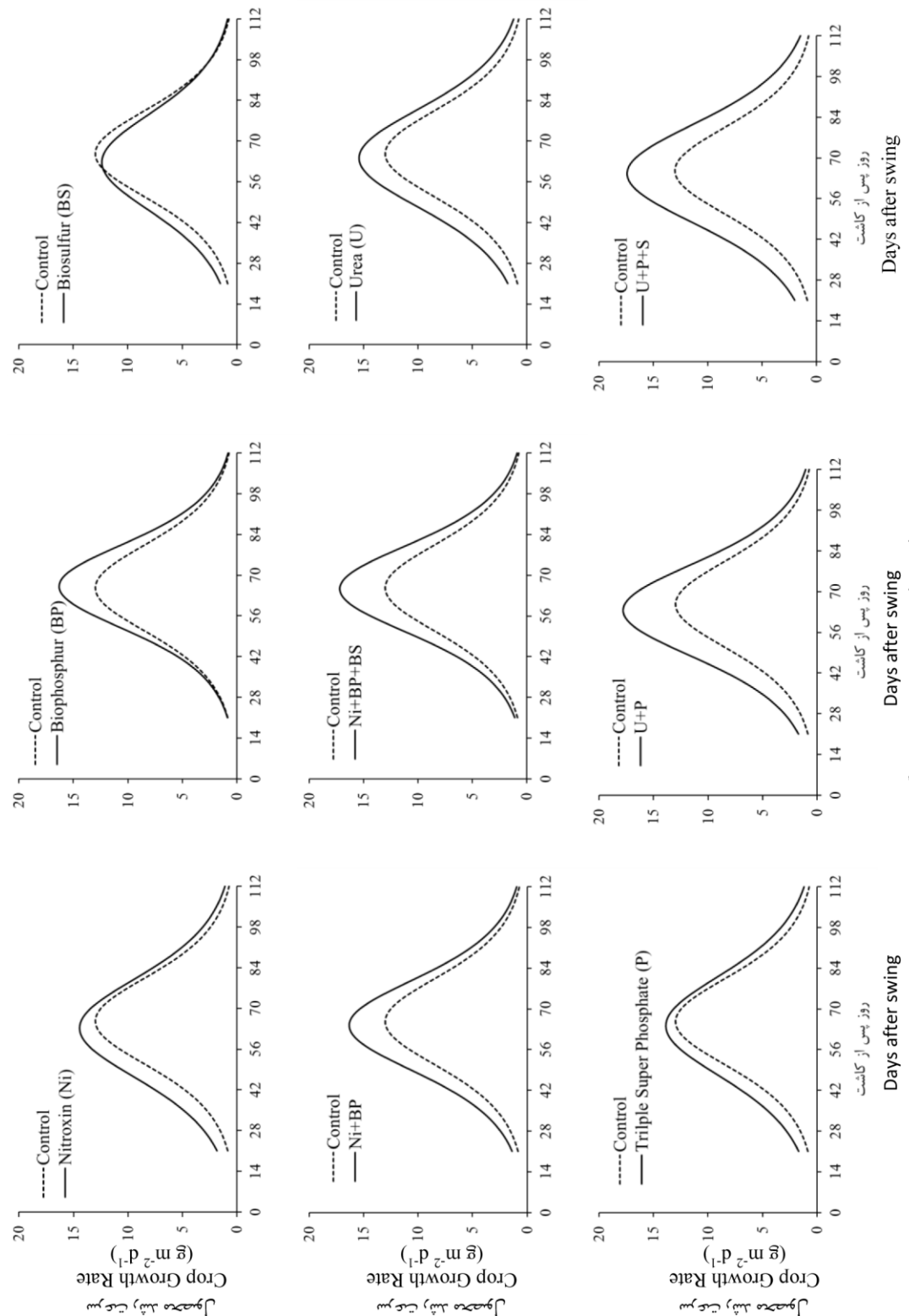
روز پس از کاشت

Days after swing

روز پس از کاشت

شکل ۲- تجمع ماده خشک (TDM) کنجد در تیمارهای مختلف آزمایش در مقایسه با تیمار شاهد

Figure 2- Total dry matter (TDM) of sesame in different treatments in comparison of control



شکل ۳- سرعت رشد محصول (CGR) کنجد تیمارهای مختلف آزمایش در مقایسه با تیمار شاهد  
Figure 3- Crop growth rate (CGR) of sesame in different treatments in comparison of control

خشک یک اجتماع گیاهی در واحد سطح مزرعه در واحد زمان می‌باشد و معمولاً بر حسب گرم (وزن خشک کل گیاه) در مترمربع

سرعت رشد محصول یکی از مهم‌ترین شاخص‌های تجزیه و تحلیل رشد در جوامع گیاهی می‌باشد، که عبارت از افزایش وزن

عناصر و پیری برگ‌ها و کاهش کارایی فتوستتری آن‌ها کاهش شدیدی پیدا کرده است (شکل ۵).

به طور کلی اعمال تیمارهای مختلف سبب شده است تا در طی دوره رشد گیاه سرعت آسیمیلاسیون خالص در آن تیمارها نسبت به تیمار شاهد یا افزایش پیدا کند و یا زمان رسیدن به نقطه اوج آن‌ها کوتاه‌تر شود. این امر به نوبه خود می‌تواند باعث تولید بیشتر مواد فتوستتری و حتی تجمع بیشتر مواد فتوستتری و ماده خشک گردد. به نظر می‌رسد شخص سطح برگ و سرعت آسیمیلاسیون خالص بالا، به شرط ثابت بودن سایر شرایط برای تیمارها می‌تواند منجر به دستیابی به تجمع بیشتر ماده خشک شود. در تیمارهای نیتروکسین و سوپرفسفات تریپل هرچند نقطه اوج سرعت آسیمیلاسیون خالص آن‌ها از تیمار شاهد پایین‌تر است اما مقدار اولیه آن بالاتر است و همچنین در این تیمارها روند کاهش این شاخص با شیب کمتری اتفاق افتاده است. تیمار بیوفسفر نیز در فصل رشد روند و مقادیر تقریباً مشابهی با تیمار شاهد داشت اما با این وجود تیمارهای ترکیبی زیستی روند بهتری را نسبت به تیمارهای کاربرد تکی تیمارها و همچنین تیمار شاهد داشتند. به جز در تیمار دوگانه شیمیایی، سایر تیمارهای کود شیمیایی به جز در مقادیر اولیل فصل سرعت آسیمیلاسیون خالص، برتری خاصی نسبت به تیمار شاهد نداشتند (شکل ۵) اما این امر را نمی‌توان به معنای عدم برتری این تیمارهای نسبت به تیمار شاهد دانست.

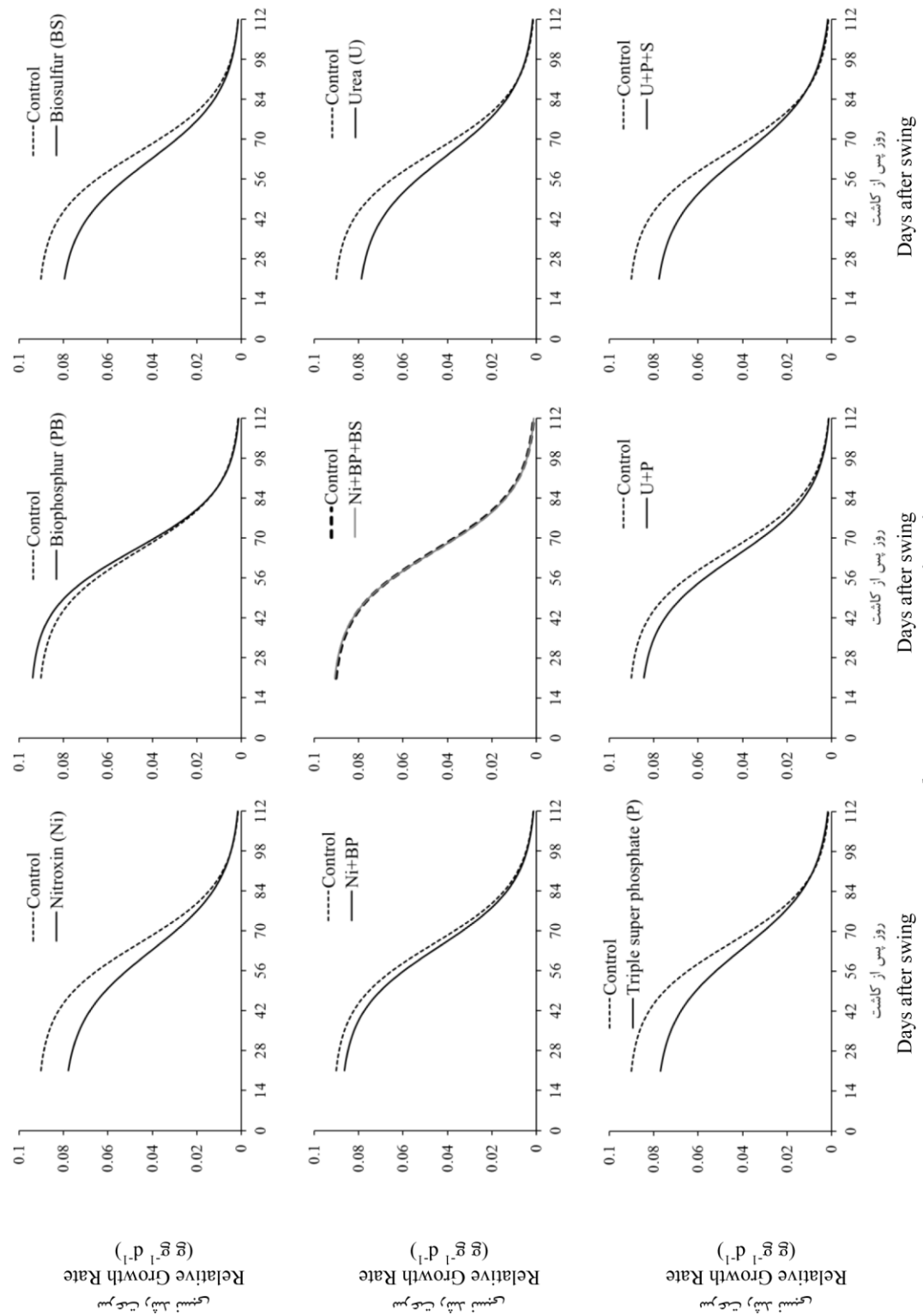
**ب. مراحل فنولوژیکی:** آنالیز واریانس مراحل مختلف فنولوژیکی و طول دوره‌های زایشی و رسیدگی کنجد نشان داد که در این آزمایش هیچ اختلاف معنی‌داری، چه از لحاظ تعداد روزهای پس از کاشت و چه از لحاظ درجه روز رشد، بین تیمارها وجود نداشت (جدوال ۲ و ۳). اما با این وجود، تیمارهای کود زیستی به طور متوسط حدود ۳ روز زودتر از تیمارهای کود شیمیایی سبز شدند. این امر می‌تواند به دلیل اثرات مثبت هورمون‌های محرک جوانه‌زنی و رشد ناشی از تلقیح بذرها با کودهای زیستی باشد. نتایج آزمایشات آزمایشگاهی متعددی حاکی از افزایش درصد و سرعت جوانه‌زنی و همچنین بهبود سایر شاخص‌های گیاهچه کنجد و بسیاری دیگر از گیاهان زراعی و دارویی دیگر بوده است (Hajiloo et al., 2011; Mirshekari et al., 2009). ثابت شده است که تصمیمات مدیریتی که سبب سبز شدن سریع‌تر (حتی یک روزه) گیاه زراعی می‌گردد، می‌تواند در رقابت گیاه زراعی با علف‌های هرز (به خصوص درمورد کنجد که دارای گیاهچه‌ای ضعیف و قدرت رقابت کم با علف‌های هرز است) بسیار مؤثر واقع شود (Rasmussen, 2004; Dogan et al., 2009).

(سطح زمین) در روز بیان می‌گردد. از سرعت رشد محصول به طور وسیعی در تجزیه و تحلیل رشد محصولات به کار گرفته می‌شود (Kizilkaya, 2008).

Zayed et al. (2005) *Triticum aestivum* افزایش سرعت رشد گندم L. نیتروژن، به هورمون‌های تولید شده توسط این باکتری و افزایش رشد ریشه نسبت دادند. از آنجا که نیتروکسین شامل دو باکتری تثبیت‌کننده نیتروژن (ازتوباکتر و آزوسپریلوم) می‌باشد با تلقیح آن‌ها با بذر امکان استفاده گیاهچه از نیتروژن و دیگر عناصر غذایی فراهم می‌شود و گیاه در شرایط بهتری از نظر عناصر غذایی رشد می‌کند. به طور کلی ریزووباکتری‌های محرک رشد با توان تثبیت زیستی نیتروژن، گسترش سطح ریشه، کمک به جذب بهینه آب و عناصر غذایی و تولید هورمون‌های رشد و برخی ویتامین‌ها، سرعت رشد گیاه را تقویت می‌کند (Mrkovacki and Milic, 2001) و با اثرات متقابل سازنده‌ای که می‌توانند با هم داشته باشند رشد گیاه را بهبود می‌بخشند.

**سرعت رشد نسبی (RGR):** در شکل ۴ سرعت نسبی هر تیمار در مقایسه با تیمار شاهد نشان داده شده است که در تیمارهای مختلف و در طول فصل رشد، مقادیری بین صفر تا یک دهم (۰/۱) را شامل می‌شود. سرعت رشد نسبی بیانگر وزن خشک اضافه شده نسبت به وزن اولیه در یک فاصله زمانی است اما با این وجود توصیف کننده یک سرعت رشد ثابت در طول یک چارچوب زمانی مشخص نیست و می‌تواند با مقادیر لحظه‌ای RGR متفاوت باشد (Koocheki and Sarmadniya, 2011). به عنوان مثال دو گیاه که دارای وزن اولیه نامساوی اما نسبت افزایش مساوی در طول یک دوره زمانی یکسان هستند دارای سرعت رشد نسبی یکسانی هستند. بنابراین سرعت رشد نسبی به تنها بیان نمی‌تواند در تجزیه و تحلیل شرایط رشد گیاهان و به خصوص جوامع گیاهی مورد استفاده قرار گیرد. بنابراین توصیه دانشمندان بر استفاده از شاخصی دیگر است که بتواند قضاوت صحیحی از رشد محصول در مزرعه به دست دهد. برای این کار استفاده از سرعت رشد محصول (CGR) توصیه می‌گردد.

**سرعت آسیمیلاسیون خالص (NAR):** میزان آسیمیلاسیون خالص عبارت است از مقدار مواد ساخته شده خالص در واحد زمان و واحد سطح برگ است و عموماً بر حسب گرم (وزن خشک) بر مترمربع (سطح برگ) در روز بیان می‌گردد (Koocheki and Sarmadniya, 2011). در کلیه تیمارهای آزمایش، میزان آسیمیلاسیون خالص در اوایل فصل رشد به دلیل پایین بودن سطح برگ و فتوستتر پایین است و به تدریج همراه با رشد و افزایش سطح برگ گیاه، در اواسط فصل رشد افزایش چشمگیری یافته و پس از آن به دلایلی چون سایه‌اندازی برگ‌ها بر روی یکدیگر، انتقال مجدد

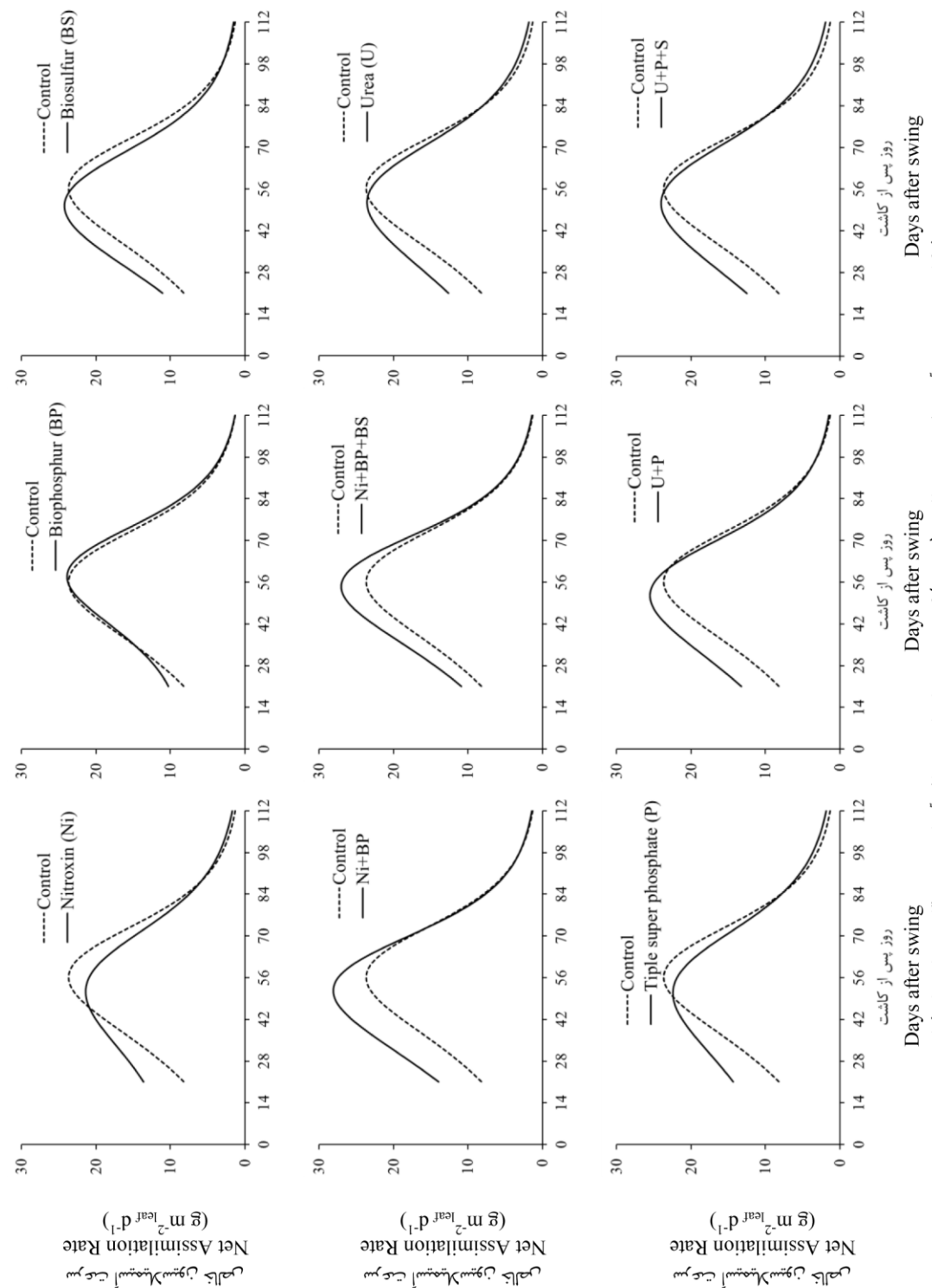


شکل ۴- سرعت رشد نسبی (RGR) کنجد در تیمارهای مختلف از میايش در مقایسه با تیمار شاهد

Figure 4- Relative growth rate (RGR) of sesame in different treatments in comparison of control

افزایش مدت زمان کاشت تا گلدهی با کاربرد کود زیستی نیتروکسین بود اما سایر مراحل فنولوژیک از کاربرد این کود اثر معنی داری نپذیرفت.

یافته‌های سجادی‌نیک و یدوی (Sajjadi Nik and Yadavi, 2013) که به بررسی فنولوژی کنجد تحت تأثیر مقداری مختلف کود نیتروژن و کود زیستی نیتروکسین در شرایط اقلیمی بهبهان پرداخته بودند حاکی از کاهش مدت زمان کاشت تا سبز شدن و همچنین



شکل ۵- سرعت آسیمیلاتیون خالص (NAR) کجند در تیمارهای مختلف آزمایش در مقایسه با تیمار مشاهد

Figure 5- Net assimilation rate (NAR) of sesame in different treatments in comparison of control

جدول ۲- تجزیه واریانس مراحل مختلف فنولوژیک کنجد بر اساس تعداد روز پس از کاشت  
Table 2- ANOVA of different phenological stages of sesame based on days after swing

مربع تغییرات S.O.V.	درجه ازادی d.f	Mean of squares	میزانگین مرتعات				طول دوره رسیدگی Length of maturity stage
			تشکیل جوانه گل	شروع گلدهی	رسیدگی فریزیولوژیک	طول دوره زایشی Length of reproductive stage	
بلوک	2	2.03ns	6.63ns	16.03ns	30.7ns	44.23ns	19.6ns
تیمار	9	10.07ns	10.23ns	3.85ns	2.52ns	2.01ns	7.91ns
خطا	18	3.21	5	12.11	32.37	49.38	33.16
خطای تغییرات	14.2	7.0	8.3	11.4	12.1	7.5	3.0
C.V (%)							8.6
							14.76

میانگین معنی‌دار نیست  
ns: means not significant

جدول ۳- تجزیه واریانس مراحل مختلف فتوژنوزیکی کنجد بر اساس درجه روز رشد  
Table 3- ANOVA of different phenological stages of sesame based on GDD

منبع	درجه تحریرات	d.f	میانگین مرتعات	Mean of squares					طول داده رسانیدگی	طول داده زایشی
				تشکیل چونه گل	سبر شدن	گلدهی کامل	شروع گلدهی	پایامدهی	فیزیولوژیک	طول دوره زایشی
S.O.V.	Emergence stage	Flower bud formation stage	Flowering stage initiation	Pod stage initiation	Physiological maturity stage	Full maturity stage	کامل	طول داده زایشی	طول داده زایشی	
بلöک	2	608.4ns	2600ns	6407ns	11005ns	11371ns	4041ns	15.7ns	1125ns	3660ns
تیمار	9	2735.1ns	3884ns	1574ns	960ns	569ns	1800ns	672.1ns	7533ns	1380ns
خطا	18	908.4	1892	4778	13096	11659	6517	383.7	7371	5699
ضریب تحریرات		13.9	7.8	9.3	11.3	10.4	4.8	4.4	7.71	16.6
C.V (%)										

ns میانگینی غیرمعنی دار است  
NS: means not significant

آزمایش نیز می‌توان از طرفی به عدم کمبود عناصر غذایی در خاک و از طرفی دیگر به توقع پایین کنجد نسبت به حاصلخیزی خاک (Uzun and Cagirgan, 2006; Khajepoor, 2010) مربوط دانست. به طور کلی از نتایج این آزمایش می‌توان چنین نتیجه‌گیری کرد که فنولوژی گیاه کنجد تا حد بسیار زیادی تحت کنترل دما و فتوپریود بوده و تحت تأثیر منبع تغذیه‌ای قرار نمی‌گیرد.

جدول ۴ موقعیت مراحل مختلف فنولوژیک کنجد بر اساس دامنه و میانگین روزهای پس از کاشت و درجه روز شد را نشان می‌دهد. با پیش‌بینی زمان وقوع هر مرحله از مراحل فنولوژیک کنجد می‌توان تصمیمات مدیریتی مزرعه (شامل تعیین زمان مناسب برای کنترل آفات و علف‌های هرز، کوددهی سرک، آبیاری تکمیلی، برداشت و غیره) را به نحو صحیحی اتخاذ نمود.

همچنین در آزمایش مذکور هیچ‌یک از تیمارهای کود نیتروژن بر فنولوژی کنجد اثرگذار نبود که این یافته با یافته آزمایش حاضر تطابق دارد. عدم تطابق نتایج مربوط با کودهای زیستی آزمایش حاضر و آزمایش سجادی‌نیک و یدوی (Sajjadi Nik and Yadavi, 2013) را می‌توان به اختلاف رقم کنجد مورد استفاده، عرض و موقعیت جغرافیایی (تأثیرگذار بر دما و طول روز) و حتی فراهمی یا کمبود عناصر مورد نیاز رشد کنجد در خاک دو منطقه مورد آزمایش (بهبهان و مشهد) و سایر شرایط آزمایش نسبت داد. به اعتقاد سلطانی (Soltani, 2009) اثر کمبود عناصر مغذی و خشکی به مراتب از اثر دمای محیط و فتوپریود کمتر است. بنابراین به نظر می‌رسد تا زمانی که کمبود عناصر غذایی به شکل تنش محدود کننده رشد برای گیاه درنیاید، فنولوژی گیاه نیز از شرایط تغذیه‌ای تأثیر خاصی نپذیرد. از این رو عدم وجود اختلاف بین تیمارهای این

جدول ۴- موقعیت مراحل مختلف فنولوژیک کنجد بر اساس دامنه و میانگین روزهای پس از کاشت و درجه روز شد  
Table 4- Sesame phenological stages based on the range and average of days after swing and GDD

مرحله فنولوژیک Phenological stage	بر اساس تعداد روزهای پس از کاشت Based on days after swing		بر اساس درجه روز شد Based on GDD	
	دامنه Range	میانگین Average	دامنه Range	میانگین Average
سیز شدن Emergence stage	10-15	12.6	173-293	217
تشکیل جوانه گل <sup>A</sup> Flower bud formation stage <sup>A</sup>	25-38	31.8	426.8-676.9	555.7
شروع گلدهی Flowering stage initiation	35-47	41.6	617.5-854.5	750.6
شروع نیامدهی Pod stage initiation	41-58	49.9	736.6-1037	904.9
گلدهی کامل Complete flowering stage	47-69	57.8	854.9-1208.4	1033.5
رسیدگی فیزیولوژیک Physiological maturity stage	92-109	100.4	1544.2-1785.9	1668.6
رسیدگی کامل Full maturity stage	115-127	121	1829.8-1910.4	1874.8
طول دوره زایشی <sup>B</sup> Length of reproductive stage <sup>B</sup>	57-78	68.5	926.7-1251.2	1112.9
طول دوره رسیدگی <sup>C</sup> Length of maturity stage <sup>C</sup>	14-27	20.6	171.4-322.8	206.1

<sup>A</sup> تشکیل جوانه گل اولین مرحله فاز زایشی گیاه بوده و شروع این مرحله را می‌توان پایان رشد اولیه رویشی (نوجوانی) گیاه دانست، هرچند به دلیل نامحدود بودن رشد گیاه کنجد، ادامه رشد رویشی و همچنین رشد زایشی گیاه همزمان صورت می‌گیرد.

<sup>A</sup> Formation of flower buds is the first reproductive phase of sesame and the initiation of this stage could be the end of the early vegetative growth (juvenile), although because of the indeterminate growth of sesame, continuing of vegetative and reproductive growth occurs simultaneously.

<sup>B</sup> طول دوره زایشی برابر با مدت زمانی که گیاه وارد فاز زایشی می‌شود (تشکیل جوانه گل) تا شروع رسیدگی فیزیولوژیک تعریف می‌شود.

<sup>B</sup> Length of reproductive stage is the period from the initiation of the reproductive phase (flower bud formation stage) to initiation of physiological maturity.

<sup>C</sup> طول دوره رسیدگی برابر است با مدت زمان سپری شده از شروع رسیدگی فیزیولوژیک تا رسیدگی کامل.

<sup>C</sup> Length of maturity stage is the period from initiation of physiological maturity to complete maturity.

بیشترین تأثیر را بر رشد کنجد داشتند اما با توجه به مزایای استفاده از کودهای زیستی در پایداری تولید و سلامت محیط زیست و انسان، استفاده از ترکیب کودهای زیستی به عنوان بهترین گزینه برای دستیابی به تولید پایدار کنجد پیشنهاد می‌گردد.

### نتیجه‌گیری

در این آزمایش کاربرد ترکیبی کودهای زیستی و کودهای شیمیایی در بهبود شاخص‌های رشدی گیاه اثر قابل توجهی داشت و از طرف دیگر تأثیر کودهای زیستی و شیمیایی بر فنولوژی کنجد یکسان بود. به طور کلی تیمارهای چندگانه زیستی و شیمیایی

### References

1. Adeola, Y. B., Augusta, C. O., and Oladejo, T. A. 2010. Proximate and mineral composition of whole and dehulled Nigerian sesame seed. African Journal of Food Science Technology 1 (3): 71-75.
2. Ahmed, A. G., Orabi, S. A., and Gaballah, M. S. 2010. Effect of Bio-N-P Fertilizer on the growth, yield and some biochemical components of two sunflower cultivars. International Journal of Academic Research 2 (4): 271-277.
3. Al-Barak, K. M. 2006. Irrigation interval and nitrogen level effects on growth and yield of canola (*Brassica napus L.*). Scientific Journal of King Faisal University (Basic and Applied Sciences) 7 (1): 87-103.
4. Ather Nadeem, M., Iqbal, Z., Ayub, M., Mubeen, K., and Ibrahim, M. 2009. Effect of nitrogen application on forage yield and quality of maize sown alone and in mixture with legumes. Pakistan Journal of Life and Social Sciences 7 (2): 161-167.
5. Bagheri, F., Rouhani, H., Falahati Rastegar, M., and Saberi Reese, R. 2011. Phase variation phenomena in fluorescent pseudomonas and its role in controlling fungal pathogen *Gaeumannomyces graminis* var. tritici in wheat take-all disease. Iranian Journal of Plant Production Science 2: 199-208. (in Persian with English abstract).
6. Banerjee, M., Yesmin, R. L., and Vessey, J. K. 2006. Plant-growth promoting rhizobacteria as biofertilizer and biopesticides. PP 137-181. In: Rai, M., K. (Ed.) Handbook of microbial biofertilizers. Food Production Press, USA.
7. Besharati, H., Sadat Noori, S. A., Nikniyae, A. B., Iran Nejad, H., Akbari, A., and Fallah Nosrat Abadi, A. 2010. Study of the efficiency of sulfur and *Thiobacillus* genus inoculum on phosphorus absorption and yield of wheat in different calcareous soils. Iranian Journal of Soil and Water Research 41 (1): 71-79. (in Persian with English abstract).
8. Bijani, M., Yadollahi, P., Asgharpour, M. R., Soleimani, S., and Latifi, M. 2015. Effects of nitrogen and biological fertilizer on yield, oil and protein content of sesame (*Sesamum indicum L.*). Journal of Oil Plants Production 1 (2): 67-78. (in Persian with English abstract).
9. Das, R., and Bhattacharjee, C. 2015. Processing Sesame Seeds and Bioactive Fractions. In: Processing and Impact on Active Components in Food. Preedy, V. Academic Press, USA, 724pp.
10. Dogan, M. N., Unay, A., Boz, O., and Ogut, D. 2009. Effect of pre-sowing and pre-emergence glyphosate applications on weeds in stale seedbed cotton. Crop Protection 28: 503-507.
11. Eftekhari, S. G., Fallah Nosrat Abadi, A., Akbari, G. A., Mohaddasi, A., and Allahdadi, I. 2009. The effect of phosphate solubilizing bacteria and phosphate fertilizers on the growth of rice plants. Iranian Journal of Soil Researches 23 (2): 229-238. (in Persian).
12. Ghobady, M., Jahanbin, S., Motallebifar, R., and Parvizi, K. 2011. Effects of Biological phosphate fertilizers on yield of potato. Journal of Sustainable Agriculture and Production Science 21 (2): 117-130. (in Persian with English abstract).
13. Gulser, F. 2005. Effect of ammonium sulphate and urea on  $\text{NO}_3^-$  and  $\text{NO}_2^-$  accumulation nutrient contents and yield criteria in spinach. Scientia Horticulturae 106: 330-340.
14. Hajiloo, M., Salimi, H., Asghari, H. R., and Khavazi, K. 2011. The use of plant growth promoting bacteria as biofertilizers for the sustainability of agricultural ecosystems. First Congress of challenges of fertilizers (half a century of using fertilizer), 1-3 March, Tehran. (in Persian).
15. Hamidi, A., Ghalavan, A., Ghalavand, M., Dehghan Shoaar, M. J., Asgharzadeh, A., and Chookan, V.

2006. The effects of plant growth promoting bacteria (PGPR) on yield of maize. The Journal of Agronomy 70: 16-22. (in Persian).
16. Jahan, M., and Nassiri Mahallati, M. 2012. Fertility of soil and biofertilizers: Agroecological approach. Ferdowsi University of Mashhad Press, Mashhad, Iran. (in Persian).
17. Jahan, M., Nassiri Mahallati, M., Amiri, M. B., and Ehyayi, H. R. 2013. Radiation absorption and use efficiency of sesame as affected by biofertilizers inoculation in a low input cropping system. Industrial Crops and Products 43: 606-611.
18. Karimi, M. M., and Siddique, K. H. M. 1991. Crop growth and relative growth rates of old and modern wheat cultivars. Australian Journal of Agriculture Research 42: 13-20
19. Keshavarz Afshar, R., Chaeichi, M. R., Alipoor Jahangiri, A., Ansari Joveyni, M., Moghaddam, H., Ehteshami, S. M. and Khavazi, K. 2011. The effect of foliar application of plant growth promoting bacteria on forage and grain of sorghum cultivar speed feed (*Sorghum bicolor* var. Speed feed). Iranian Journal of Field Crops Researches 42 (3): 575-584. (in Persian with English abstract).
20. Khajepoor, M. R. 2010. Industrial plants. Jahade Daneshgahi Esfahan Press, Esfahan, Iran. (in Persian).
21. Khorramdel, S., Koocheki, A., Nassiri Mahallati, M., and Ghorbani, R. 2008. The effect of biofertilizers on growth indexes of black seed (*Nigella sativa* L.). Iranian Journal of Crop Researches 6 (2): 285-294. (in Persian with English abstract).
22. Khorramdel, S., Koocheki, A., Nassiri Mahallati, M., and Ghorbani, R. 2010. Effects of biological fertilizers on yield and yield components of black seed (*Nigella sativa* L.). Iranian Journal of Crop Researches 8 (5): 758-766. (in Persian with English abstract).
23. Kizilkaya, R. 2008. Yield response and nitrogen concentrations of spring wheat (*Triticum aestivum*) inoculated with *Azotobacter chroococcum* strains. Ecological Engineering 33: 150-156.
24. Koocheki, A., and Sarmadniya, G. H. 2011. Crops physiology (16<sup>th</sup> pub.). Jahade Daneshgahi Mashhad Press, Mashhad, Iran. (in Persian).
25. Koocheki, A., Soltani, A., and Azizi, M. 2003. Plant ecophysiology. Jahade Daneshgahi Mashhad Press, Mashhad, Iran. (in Persian).
26. Martin, X. M., Sumathi C. S., and Kannan V. R. 2011. Influence of agrochemicals and *Azotobacter* sp. application on soil fertility in relation to maize growth under nursery conditions. EurAsian Journal of BioSciences 5: 19-28.
27. Mostafavi, M. J. 2014. The effect of chemical and biological fertilizers on quantitative and qualitative yield of sesame (*Sesamum indicum* L.) in Mashhad climate condition. MSc Dissertation, Faculty of Agriculture, Ferdowsi University of Mashhad, Iran. (in Persian with English abstract).
28. Mrkovacki, N., and Milic, V. 2001. Use of *Azotobacter chroococcum* as potential useful in agricultural application. Annals of Microbiology 51: 145-158.
29. Nezarat, S., and Gholami, A. 2011. The effect of plant growth promoting bacteria (*Azospirillum* and *Pseudomonas*) on growth and yield of maize (*Zea mays* L.). Journal of Agronomy 91: 44-51. (in Persian).
30. Noorbakhsh, F. S., Behdani, M. A., Jaami Al-Ahmadi, M., and Mahmoodi, S. 2014. Evaluation of the combined effect of use of the sulfur with *Thiobacillus* on qualitative yield and morphologic characteristics of safflower (*Carthamus tinctorius* L.). Journal of Agroecology 6 (1): 51-59. (in Persian).
31. Paul, I. K., and Savithru, K. 2003. Effect of biofertilizers vs perfected chemical fertilization for sesame grown in summer rice fallow. Journal of Tropical Agriculture 41: 47-49.
32. Rahimian, Z. 2011. The effects of sulfur and *Thiobacillus* with organic matter on quantitative and qualitative characteristics of rapeseed. Crop Physiology Journal 12: 19-27. (in Persian with English abstract).
33. Rasmussen, I. A. 2004. The effect of sowing date, stale seedbed, row width and mechanical weed control on weeds and yields of organic winter wheat. Weed Research 44: 12-20.
34. Rezvani, P., Mohammad Abadi, A., and Moradi, R. 2010. The effect of chemical fertilizers and manure on yield and yield components of sesame (*Sesamum indicum* L.) at different planting densities. Journal of Agroecology 2 (2): 256-265. (in Persian with English abstract).
35. Sajjadi Nik, R., and Yadavi, A. R. 2013. Effects of nitrogen fertilizer, vermicompost and nitroxin on growth, phonological stages and grain yield. Electronic Journal of Crop Production 2: 73-99. (in Persian)

- with English abstract).
36. Sajjadi Nik., R., Yadavi, A. R., Baloochi, H. R., and Fraji, H. 2011. Comparison of the effect of chemical fertilizers (urea), maure (vermicompost) and biological (nitroxin) on yield and quality of sesame (*Sesamum indicum* L). Journal of Sustainable Agriculture and Production Science 2: 87-102. (in Persian with English abstract).
  37. Sarmadi Nayebi, H., Hamze'ee, J., Sepehri, A., and Yazdan Doost Hamedani, M. 2010. The effect of swing date and bio-priming with nitroxin biofertilizer on yield and yield component of maize in Hamedan. 2010. 11<sup>th</sup> Iranian Crop Science Congress, Tehran, 24-26 July, 3181-3184. (in Persian).
  38. Shakeri, E., Amini Dehaghi, M., Tabatabaei, S. A., and Modares Sanavi, S. A. M. 2012. Effect of chemical fertilizer and biofertilizer on seed yield, its components, oil and protein percent in sesame varieties. Journal of Sustainable Agriculture and Production Science 22 (1): 71-86. (in Persian).
  39. Siami, A., and Besharati, H. 2012. Release process of iron and zinc on biological oxidation of sulfur. Iranian Journal of Soil Researches 26 (3): 255-267. (in Persian).
  40. Soltani, A. 2009. Mathematical modeling in crops. Jahade Daneshgahi Mashhad Press, Mashhad, Iran. (in Persian).
  41. Uzun, B., and Cagirgan, M. I. 2006. Comparison of determinate and indeterminate lines of sesame for agronomic traits. Field Crop Research 96: 13-18.
  42. Van Iersel, M. W., and Seymour, L. 2000. Growth respiration, maintenance respiration, and carbon fixation of vinca: A time series analysis. Journal of American Society of Horticulture Science 125 (6): 702-706.
  43. Yazdan Doost Hamedani, M. 2003. Study the effect of nitrogen on yield, yield components and nitrate accumulation in potato cultivars. Iranian Journal of Agriculture Science 34 (4): 977-985. (in Persian).
  44. Zayed, G., and H. A. Motaal. 2005. Bioactive composts from rice straw enriched with rock phosphate and their effect on the phosphorus nutrition and microbial community in rhizosphere of cowpea. Bioresource Technology 96: 929-935.



## Growth and Phenology Analysis of Sesame (*Sesamum indicum L.*) under Biological and Chemical Nutritional Sources

M. J. Mostafavi<sup>1</sup>- M. Nassiri Mahallati<sup>2\*</sup> - A. Koocheki<sup>2</sup>

Received: 19-09-2015

Accepted: 09-11-2016

### Introduction

Nowadays technological innovations, the use of chemical inputs, development of methods and etc., help agriculture to produce food for human. However, some problems such as growth in fertilizer prices and environmental pollution has drawn attentions to sustainable agriculture.

Sesame as the oldest known oil-seeded plant by mankind has ranked #9 among 30 important oil seeds. Therefore cultivation of this valuable plant should be done based on ecological principles and inputs.

Growth and phenological aspects of sesame affecting by bio-fertilizers is less known. Therefore, the aim of this experiment was to evaluate the growth and phenology of sesame by application of various biological and chemical nutritional sources.

### Materials and Methods

This experiment was conducted in randomized complete block design (RCBD) with 3 replications and 10 treatments including Nitroxin® (Ni), Biophosphor® (BP), Biosulfur® (BS; with recommended amount of elemental sulfur), double mixture of Ni+BP, triple mixture of Ni+BP+BS, Urea (U), triple super phosphate (P), double mixture of U+P, triple mixture of U+P plus the used amount sulfur in BS, and control.

Sampling was conducted every 7 days and growth indexes including, leaf area index (LAI), total dry matter (TDM), crop growth rate (CGR), relative growth rate (RGR), net assimilation rate (NAR) were studied during growth life of the crop. Phenological stages were recorded then GDD was calculated for different phenological stages. Statistical analysis and drawing of figures were performed using Minitab and MS Excel.

### Results and Discussion

**A. Growth Indexes:** Changes in LAI, TDM, CGR, RGR, and RGR under all treatments were almost similar. during the early days of growing, LAI increased gradually and then it rose sharply after production of more leaves by the plant in most of the treatment about 35 days after sowing. After the flowering stage, by lowering of increase in LAI, all of the treatments reached to their maximum LAI and then decreased. Control and BS had minimum LAI (2.42 and 2.54) among all treatments. LAI of U+P+S and U+P were highest LAI (3.42 and 3.32 respectively) and after it, Ni+BP+BS (3.03) and Ni+BP (3.01), urea (2.98), Nitroxin (2.85), Biophosphor (2.75), triple superphosphate (2.78) were placed respectively.

The highest dry matter accumulation occurred in plots that meet higher LAI, resulting in a higher potential for the production and accumulation of dry matter. So, the highest dry matter accumulation was recorded in U+P+S and U+P, and then Ni+BP+PS and Ni+BP and urea.

Due to the development of leaves and roots, CGR increased and then reached to its highest amount after 52 to 70 days from the sowing. Then, about 100 days from sowing, CGR decreased and this trend continued to the end of plant life. Application of Nitroxin and Biophosphor increased CGR of sesame, but it did not affect CGR of Biosulfur treatment. The double and triple mixture of biofertilizers and chemical fertilizers increased the growth of sesame in comparison to their sole application.

Numerical amount of RGR was between 0 to 1 that describes the amount of increase in plant dry matter weight in order to its previous dry matter's weight among a time period.

In all treatments, NAR at the beginning of the growing season due to low levels of leaves and photosynthesis were low. Gradually in the middle of the growing season, NAR increased, along with the increased growth of plants and their LAI. Because of some reason remobilization and aging of the leaves and reduction of the efficiency of photosynthesis, NAR has an intense reduction. All the treatments had higher NAR comparing to

1- PhD. student of Agroecology, Faculty of Agriculture, Ferdowsi University of Mashhad, Iran

2- Professor and member of Faculty of Agriculture, Ferdowsi University of Mashhad, Iran

(\*- Corresponding Author Email: mnassiri@um.ac.ir)

control.

**B. Phenological Stages:** Statistical analysis of data showed that the effect of treatments on phenological stages was not significant. But seeds in the treatments of biofertilizers grew 3 days earlier in average. It has been proven that farm managerial decisions that cause faster growing of plants (even one day), can be effective in competitions of crops versus the weeds.

### Conclusions

Based on the results, it can be concluded that although nutrition resources affected the sesame growth indexes, they had no effect on phenological stages of sesame.

**Keywords:** CGR, GDD, LAI, Nitroxin, Urea



## واکنش برخی از صفات خاک و ویژگی‌های کیفی دانه آفتابگردان به رژیم‌های مختلف تغذیه‌ای

فاطمه سلیمانی<sup>۱</sup>- گودرز احمدوند<sup>۲\*</sup>- علی اکبر صفری سنجانی<sup>۳</sup>

تاریخ دریافت: ۱۳۹۴/۱۲/۲۲

تاریخ پذیرش: ۱۳۹۶/۰۶/۲۱

### چکیده

به منظور بررسی اثر رژیم‌های گوناگون تغذیه‌ای بر برخی ویژگی‌های کیفی دانه گیاه روغنی آفتابگردان و همچنین خاک تحت کشت آن، آزمایشی در سال ۱۳۹۴ در قالب طرح بلوک‌های کامل تصادفی در سه تکرار در مزرعه تحقیقاتی دانشکده کشاورزی دانشگاه بوعلی سینا همدان اجرا شد. تیمارها شامل: عدم کاربرد هر گونه کود شیمیایی و زیستی، کاربرد ۱۰۰ درصد کود شیمیایی پیشنهاد شده (NP)، ۱/۲ کود شیمیایی نیتروژن و فسفر پیشنهاد شده بدون کود زیستی، کود آلی ورمی کمپوست، کود زیستی فسفونیتروکارا، کود زیستی بیوسولفور، ورمی کمپوست + فسفونیتروکارا، ورمی کمپوست + بیوسولفور، ورمی کمپوست + ۱/۲ کود شیمیایی نیتروژن و فسفر پیشنهاد شده، فسفو نیتروکارا + ۱/۲ کود شیمیایی نیتروژن و فسفر پیشنهاد شده، بیوسولفور + ۱/۲ کود شیمیایی نیتروژن و فسفر پیشنهاد شده، ورمی کمپوست + فسفونیتروکارا + ۱/۲ کود شیمیایی نیتروژن و فسفر پیشنهاد شده، ورمی کمپوست + بیوسولفور + ۱/۲ کود شیمیایی نیتروژن و فسفر پیشنهاد شده بود. نتایج نشان داد که تیمارهای تغذیه‌ای، تمامی صفات به جز درصد روغن دانه و اسیدیته خاک را به طور معنی‌داری تحت تأثیر قرار دادند. بیشترین غلظت عناصر بررسی شده، روغن و پروتئین دانه در تیمارهای تلقیقی مشاهده شد. همچنین کاربرد تلقیقی کودها بالاترین غلظت نیتروژن، فسفر و سولفات در خاک را به همراه داشت. به طور کلی، چنین به نظر می‌رسد که کودهای زیستی مورد مطالعه و ورمی کمپوست به همراه کودهای شیمیایی ضمن تولید عملکرد مطلوب آفتابگردان می‌توانند با بهبود شرایط تقدیمهای خاک، تأثیر مثبتی بر پایداری تولید و کاهش مصرف کودهای شیمیایی داشته باشند.

### واژه‌های کلیدی:

عناصر غذایی، کود زیستی، ورمی کمپوست

### مقدمه

دستیابی به حداکثر تولید در واحد سطح استفاده می‌شود. نیتروژن یکی از عناصر غذایی مهم برای رشد گیاهان و پایه ساخت پروتئین و نوکلئیک اسید است. فسفر دومین عنصر محدود کننده تولید گیاهان زراعی پس از نیتروژن می‌باشد و در فرآیندهای بیوشیمیایی و ترکیب‌های انرژی‌زا و انتقال انرژی، تشکیل دانه و سوخت و ساز تبدیل قدر به نشاسته نقش پایه‌ای را بر عهده دارد. گوگرد یکی دیگر از عناصر ضروری مورد نیاز گیاهان است که در سال‌های اخیر استفاده از آن کمتر مورد توجه قرار گرفته است. گوگرد نیز مانند نیتروژن از عناصر ضروری در ساختمان پروتئین‌های گیاهی است و نقش ساختاری در آمینواسیدهایی مثل سیستین، سیستئین و متیونین، روغن و برخی از پروتئین‌های مؤثر در سنتز ویتامین‌ها و کلروفیل دارد (Marschner, 1995; Weiss, 2000; Erdal et al., 2004; Zapata, 2007). همچنین این عنصر در ایجاد تعادل مطلوب مواد غذایی خاک بسیار مهم است، به طوری که کاربرد میزان مناسبی از گوگرد به همراه نیتروژن می‌تواند نقش مؤثری در افزایش قابلیت دستررسی به عناصر پر کاربرد نظیر نیتروژن، فسفر و پتاسیم و نیز عناصر کم کاربرد مانند آهن، مس، روی و منگنز داشته باشد (Kaplan and Orman, 1998; Zapata, 2007).

آفتابگردان (*Helianthus annuus* L.) یکی از مهم‌ترین دانه‌های روغنی در جهان محسوب می‌شود. بالا بودن میزان اسیدهای چرب غیراشباع لینولئیک و اولئیک که از اسیدهای چرب ضروری بوده باعث افزایش ارزش تقدیمه‌ای روغن آفتابگردان شده است (Izquierdo and Aguirrebal, 2008).

یکی از جنبه‌های بسیار مهم مدیریت زراعی برای دستیابی به عملکرد اقتصادی بالا در هر گیاهی فراهم نمودن مقدار کافی عناصر غذایی مورد نیاز گیاه در خاک است. عملکرد محصول، با میزان عرضه عناصر معدنی و آلی خاک که برای آن قابل بهره‌گیری باشد، متناسب بوده و از دیرباز بشر به اهمیت عناصر معدنی و آلی در رشد گیاه و تولید محصول پی برد است. امروزه از کودها به عنوان ابزاری برای

۱- بهترتبی دانش‌آموخته دکترای فیزیولوژی گیاهان زراعی و دانشیار گروه زراعت و اصلاح نباتات، دانشکده کشاورزی، دانشگاه بوعلی سینا، همدان

۲- استاد، گروه خاکشناسی، دانشکده کشاورزی، دانشگاه بوعلی سینا، همدان

۳- نویسنده مسئول: (Email: gahmadvand@basu.ac.ir)

DOI: 10.22067/gsc.v16i1.54524

(Varzi *et al.*, 2011). در آزمایشات ورزی و همکاران (2004) استفاده تلفیقی از باکتری‌های محرک رشد به همراه کودهای نیتروژنی، فسفر و نیتروژن دانه آفتابگردان را نسبت به تیمار بدون Jahan *et al.*, (2013) بر روی انواع کودهای زیستی، بیشترین درصد روغن دانه کنجد (Sesamum indicum L.) با ۳۹/۴۶ درصد و پروتئین دانه با ۲۰/۰۴ درصد به ترتیب در تیمارهای تلچیح با بیوسولفور و بیوفسفر دیده شد. همچنین کومار و همکاران (2014) در Kumar *et al.*, (2014) در بررسی پیامد تلچیح دانه کنجد با باکتری سودوموناس آئرورژینوزا (Pseudomonas aeruginosa) به همراه کاربرد کامل کود شیمیایی پیشنهادی و ۵۰ درصد آن گزارش کردند که تلچیح دانه به همراه کاربرد نیمی از کود پیشنهاد شده، عملکرد روغن و پروتئین را به ترتیب ۳۳/۳ و ۴۷/۵ درصد در برابر کاربرد کامل کود شیمیایی افزایش داد. Ahmed و همکاران (2013) Ahmad *et al.*, (2013) نیز در مطالعات خود پی برند که تلچیح ماش (Vignaradiate L.) با رایزویوم (Rhizobium) و سودوموناس (Pseudomonas) تعادل یونی را بهبود داد و غلظت فسفر و پروتئین را در دانه افزود. نتایج بسیاری از مطالعات مبین تأثیر مثبت کودهای زیستی و آلی در بهبود رشد و کیفیت محصولات می‌باشد (Arancon *et al.*, 2004; Roesty *et al.*, 2008; Fankem *et al.*, 2006; Vassy, 2003). با توجه به موارد ذکر شده و با توجه به اینکه تاکنون مطالعه جامعی درخصوص واکنش تأمین عناصر خاک و دانه آفتابگردان به رژیم‌های مختلف تغذیه‌ای در ایران انجام نشده است، این پژوهش با هدف بررسی تأثیر رژیم‌های گوناگون تغذیه‌ای بر غلظت عناصر دانه و خاک در زراعت آفتابگردان انجام شد.

## مواد و روش‌ها

این پژوهش در سال ۱۳۹۴ در مزرعه تحقیقاتی دانشکده کشاورزی دانشگاه بوعلی سینا، همدان با مختصات عرض جغرافیایی ۳۶ درجه و ۵۲ دقیقه شمالی و طول جغرافیایی ۴۸ درجه و ۳۲ دقیقه شرقی، با ارتفاع ۱۷۴۱ متر از سطح دریا و متوسط بارندگی ۳۳۰ میلی‌متر در سال، انجام شد. به منظور تعیین خصوصیات فیزیکی و شیمیایی خاک محل آزمایش، نمونه‌ای مرکب، از عمق صفر تا ۳۰ سانتی‌متری خاک مزرعه تهیه که نتایج تجزیه آن در جدول ۱ رائمه گردیده است. میزان عناصر غذایی و برخی خصوصیات ورمی کمپوست مورد استفاده نیز تعیین شد (جدول ۱).

آزمایش در قالب طرح پایه بلوک‌های کامل تصادفی با ۱۳ تیمار و سه تکرار اجرا شد. تیمارها شامل: عدم کاربرد هرگونه کود شیمیایی و زیستی، کاربرد ۱۰۰ درصد کود شیمیایی (NP) پیشنهاد شده بر اساس آزمون خاک، ۱/۲ کود شیمیایی نیتروژن و فسفر پیشنهاد شده بدون کود زیستی، کود آلی ورمی کمپوست، کود زیستی فسفونیتروکارا، کود

Roy, 2004; Uzun *et al.*, 2008 and Roy, 2004; Uzun *et al.*, 2008 اسیدیته خاک به عنوان مهم‌ترین ویژگی خاک، حلالیت و انتقال عناصر مغذی، فعالیت‌های میکروبی و آنزیمی خاک را کنترل می‌کند (Graeme *et al.*, 1993). گوگرد از طریق اکسیداسیون و تولید پروتون اسیدیته خاک را کاهش و قابلیت دستررسی برخی عناصر را افزایش می‌دهد (Modaihsh *et al.*, 1989). از سویی به دلیل قلیایی بودن خاک در اکثر مناطق ایران، تولید اسید سولفوریک در خاک در نتیجه فعالیت باکتری‌های اکسید کننده گوگرد می‌تواند در افزایش جذب عناصر پر کاربرد و کم کاربرد، مؤثر باشد.

هرچند بهره‌گیری از عناصر غذایی شیمیایی از عوامل مهم بهزروعی است که بر رشد و نمو، عملکرد کمی و کیفی محصول تأثیر قابل توجهی دارد، اما کاربرد بی‌رویه کودهای شیمیایی موجب ایجاد مشکلات زیستمحیطی فراوانی از جمله آلودگی منابع آب و خاک، افت کیفیت محصولات کشاورزی و کاهش میزان حاصلخیزی خاک‌ها گردیده است. کاربرد منابع تجدیدپذیر و مدیریت صحیح کودی می‌تواند نقش بهسازی در کاهش معضلات ذکر شده و تأمین اهداف نظامهای زراعی سالم و پایدار داشته باشد. یکی از راه حل‌ها در مسیر دستیابی به بخشی از اهداف کشاورزی پایدار، استفاده از منابع آلی و زیستی در جهت تغذیه گیاهان زراعی می‌باشد.

کودهای زیستی از یک یا چند گونه میکرووارگانیسم سودمند به همراه مواد نگهدارنده و یا فرآوردهای آن‌ها ساخته شده‌اند (Vassy, 2003). باکتری‌های محرک رشد مانند ازتوباکتر (Azotobacter sp.), آزوسپیریلیوم (Azospirillum sp.) و باسیلوس‌ها (Bacillus spp.) از طریق فرآیندهای مختلفی از قبیل تثبیت نیتروژن، تولیدهورمون‌های محرک رشد همانند اکسین‌ها، جیرلین‌ها، سیتوکین‌ها و اتیلن، محلول‌سازی فسفات و افزایش فسفات از قابل جذب گیاه از طریق ترشح آنزیم‌های مختلف از قبیل آنزیم فسفاتاز و اسیدهای آلی (Vassy, 2003)، افزایش جذب عناصر، افزایش مقاومت به تنفس‌ها، تولید ویتامین‌ها و کنترل زیستی عوامل بیماری‌زا (Kennedy *et al.*, 2004) در رشد گیاه مؤثرند. تیوباسیلوس‌ها (Thiobacillus sp.) نیز یکی از مهم‌ترین میکرووارگانیسم‌های اکسیدکننده گوگرد در خاک‌های کشاورزی می‌باشند که می‌توانند اثرات قابل ملاحظه‌ای بر اسیدیته محیط، حلالیت عناصر و قابلیت دستررسی آن‌ها داشته باشند (Zapata and Roy, 2004). ورمی کمپوست کودی آلی و شامل مخلوط زیستی بسیار فعال از باکتری‌ها، آنزیم‌ها، بقاوی‌های گیاهی، کود حیوانی و کپسول‌های کرم خاکی می‌باشد که سبب ادامه تجزیه مواد آلی خاک و پیشرفت فعالیت‌های میکروبی و آنزیمی در بستر کشت گیاه می‌گردد (Bremness, 1999). همچنین از طریق افزایش ظرفیت نگهداری آب، آزادسازی عناصر غذایی موجود در خاک و تولید هورمون‌های گیاهی، می‌تواند رشد و نمو گیاهان را بهبود بخشد (Arancon *et al.*, 2004).

ورمی کمپوست + فسفونیتروکارا + ۱/۲ کود شیمیایی نیتروژن و فسفر پیشنهادشده، ورمی کمپوست + بیوسولفور + ۱/۲ کود شیمیایی نیتروژن و فسفر پیشنهادشده بود.

زیستی بیوسولفور، ورمی کمپوست + فسفونیتروکارا، ورمی کمپوست + بیوسولفور، ورمی کمپوست + ۱/۲ کود شیمیایی نیتروژن و فسفر پیشنهادشده، فسفونیتروکارا + ۱/۲ کود شیمیایی نیتروژن و فسفر پیشنهادشده، بیوسولفور + ۱/۲ کود شیمیایی نیتروژن و فسفر پیشنهادشده،

جدول ۱- مشخصات خاک و ورمی کمپوست مورد استفاده  
Table 1- Characteristics of the soil and vermicompost used

هدايت الکتریکی	مواد ختی شونده	pH	اسیدیته	سولفات کل	فسفر قابل استفاده	پتانسیم قابل استفاده	N <sub>total</sub> (%)	O.C (%)	ماده آلی	نیتروژن کل
Soil خاک	1	0.1	326	11	141.3	8	15	0.18		
Vermicompost ورمی کمپوست	9.51	1.77	1727	1200	-	8.25	-	3.36		

خاک هر کدام از کرت‌های آزمایشی در عمق توسعه ریشه، براساس روش‌های استاندارد آزمایشگاهی اندازه‌گیری شد (Page et al., 1996). همچنین ویژگی‌های کیفی دانه آفتابگردان شامل درصد نیتروژن با روش کجلاول و روغن با کمک دستگاه سوکسله تعیین گردید. مقادیر پروتئین دانه از حاصل ضرب مقدار نیتروژن در ضریب ۶/۲۵ بدست آمد (Anonymous, 1987). عملکرد روغن، پروتئین و عناصر دانه از حاصل ضرب درصد پارامترهای ذکر شده در عملکرد دانه، محاسبه شد. پردازش داده‌ها با بهره‌گیری از نرم‌افزار SASvar 9.2 و ترسیم نمودارها نیز توسط نرم‌افزار Excel انجام گرفت. برای مقایسه میانگین تیمارها از روش حداقل تفاوت معنی‌دار (LSD) در سطح احتمال پنج درصد استفاده شد.

## نتایج و بحث

**غلظت و عملکرد گوگرد دانه:** نتایج حاصل از تجزیه واریانس نشان داد که تیمارهای کودی به طور بسیار معنی‌داری غلظت و عملکرد گوگرد دانه را تحت تأثیر قرار دادند (جدول ۲). کاربرد توانم بیوسولفور و ورمی کمپوست بیشترین میزان گوگرد دانه (۰/۲۳۱) درصد) را در پی داشت (جدول ۳). البته تیمار مذکور با تیمارهای بیوسولفور، ورمی کمپوست و تیمار تلفیقی بیوسولفور به همراه ورمی کمپوست و نیمی از کود شیمیایی اختلاف معنی‌داری نداشت. عملکرد گوگرد نیز تحت تأثیر تیمارهای مورد بررسی قرار گرفت (جدول ۲). بیشترین میزان عملکرد گوگرد (۱۱/۱۲) در کاربرد کامل کود شیمیایی مشاهده شد که با کاربرد توانم بیوسولفور + ورمی کمپوست و بیوسولفور به همراه ورمی کمپوست و نیمی از کود شیمیایی اختلاف آماری نداشت. در مطالعات سلیمپور و همکاران

تهیه بستر، شامل عملیات سخنم و دیسکزنی در اردیبهشت ماه ۱۳۹۴ انجام شد. کاشت بذور آفتابگردان رقم یوروفلور با دست و به صورت خشکه کاری در نیمه خرداد ماه انجام گرفت. در هر کرت آزمایشی پنج خط به طول پنج متر در نظر گرفته شد و فاصله خطوط ۶۰ سانتی‌متر بود. براساس تیمارهای تغذیه‌ای مورد نظر، کود شیمیایی نیتروژنی از منبع اوره به میزان ۲۵۰ کیلوگرم در هکتار (یک سوم به صورت پایه و دو سوم به صورت سرک در زمان آغاز رشد سریع بوته‌ها و قبل از گلدهی) و فسفر از منبع سوپرفسفات‌تریپل براساس آزمون خاک به اندازه ۵۰ کیلوگرم در هکتار و نیمی از میزان پیشنهادشده در خاک به کار رفت. کود زیستی فسفونیتروکارا که دارای باکتری‌های حل کننده فسفات و تثبیت کننده نیتروژن (*Bacillus Azospirillum coagulans*, *Azotobacter chroococcum*, *Azospirillum lipofерum*) است به میزان پیشنهادشده توسط شرکت سازنده (۱۱۰ سی سی به ازای ۱۰ کیلوگرم بذر) و به صورت بذرمال استفاده شد. پس از تلقیح، کلیه بذور تیمار شده در سایه و به دور از نور خورشید خشک شدن و بلا فاصله پس از خشک شدن کامل بذور تلقیح شده، کشت انجام شد. همچنین اعمال کود بیولوژیک بیوسولفور (*Thiobacillus*) به میزان شش کیلوگرم در هکتار به همراه مصرف گوگرد بتنونیت‌دار (۳۰۰ کیلوگرم در هکتار) به صورت جاگذاری در زیر کنار بذور انجام گرفت. کود آلی ورمی کمپوست نیز در تیمارهای مورد نظر بر پایه میزان ۱۵ تن در هکتار پیش از کاشت با خاک آمیخته شد. جهت ایجاد تراکم گیاهی مورد نظر، تنک کردن بوته‌ها در مرحله ۴ برگی صورت گرفت. کنترل علفهای هرز در طی فصل رشد به صورت دستی و آبیاری نیز به صورت نشستی و با استفاده از لوله پایی اتیلن انجام گردید. غلظت عناصر نیتروژن، فسفر و گوگرد در دانه‌های آفتابگردان و

جدول ۲- تجزیه واریانس اثر تیمارهای کود بر صفات اندازه‌گیری شده دانه آفتابگردان  
Table 2- Analysis of variance of fertilizer treatments effect on measured traits of grain sunflower

میانگین مربوطات مربعات میانگین									
S.O.V	درجه	مانع تغییرات	ازادی	Sulfur	گوگرد	Phosphor	Nitrogen	نیتروژن	بروتین
d.f				غذایت	عملکرد	غذایت	عملکرد	غذایت	عملکرد
نکار	2	0.000007 <sup>ns</sup>	0.32 <sup>ns</sup>	0.001 <sup>ns</sup>	2.93 <sup>ns</sup>	0.004 <sup>ns</sup>	85.06 <sup>ns</sup>	0.145 <sup>ns</sup>	3322.73 <sup>ns</sup>
کود	12	0.001**	6.55*	*	0.002**	39.07*	0.077**	1476.73	3.028**
خلا	24	0.0003	1.07	0.0006	3.43	0.006	73.86	0.221	2885.18
Error	-	8.8	12.1	5.7	10.9	3.0	8.0	3.0	10.59
ضريب تغييرات	CV								31001.05

\*ns, \*\* and \*\*\* non significant and significant at 5 and 1% probability levels, respectively.

(Salimpour *et al.*, 2010)، تیمار خاک فسفات به همراه گوگرد، مواد آلی و تیوباسیلوس بیشترین غلظت گوگرد دانه کلزا (*Brassica napus* L.) به میزان ۷۳/۰ درصد را به همراه داشت. محمدی و همکاران (Mohammadi *et al.*, 2011) نیز در مطالعات خود، افزایش معنی‌دار گوگرد دانه کلزا را در اثر کاربرد کودهای زیستی گزارش کردند.

به طور کلی در پژوهش حاضر، با توجه به حضور باکتری‌های تیوباسیلوس که اکسیدکننده گوگرد می‌باشد، میزان گوگرد دانه در تیمارهای حاوی بیوسولفور بیشتر از فسفونیتروکارا و ورمی‌کمپوست بود (جدول ۳). نتایج نشان می‌دهد که احتمالاً کود زیستی بیوسولفور توانسته از طریق افزایش فعالیت باکتری‌های اکسیدکننده گوگرد و بهبود دسترسی به این عنصر در ریزوسفر، منجر به تأمین مطلوب گوگرد مورد نیاز گیاه و درنتیجه افزایش غلظت آن در دانه آفتابگردان گردد.

**غلظت و عملکرد فسفر دانه:** بیشترین میزان فسفر دانه (۰/۴۵ درصد) به تیمارهای فسفونیتروکارا به همراه ورمی‌کمپوست و کاربرد همزمان بیوسولفور + ورمی‌کمپوست + نیمی از کود شیمیایی تعلق داشت که به طور معنی‌داری ۳۲/۳ درصد بیشتر از شاهد منفی بود. همچنین تیمارهای مذکور با ورمی‌کمپوست به علاوه نیمی از کود شیمیایی، بیوسولفور به همراه ورمی‌کمپوست، فسفونیتروکارا به علاوه نیمی از کود شیمیایی، ورمی‌کمپوست و کاربرد کامل کود شیمیایی، اختلاف آماری نداشتند (جدول ۳). در بررسی‌های کومار و همکاران (Kumar *et al.*, 2014) نیز کاربرد تنها و توازن باکتری‌های محرك رشد در مقایسه با شاهد عدم تلقیح، افزایش چشمگیری در مقدار جذب فسفر دانه گندم (*Triticumaestivum* L.) نشان دادند. باکتری‌های محرك رشد از طریق ترشح آنزیم‌های مختلف، از قبیل آنزیم فسفاتاز و اسیدهای آلی موجب محلول‌سازی فسفات، افزایش فسفات قابل استفاده و فسفر گیاه می‌شوند (Vessy, 2003). کاربرد توأم ورمی‌کمپوست و فسفونیتروکارا باعث تشدید اثرات کود زیستی شده که ممکن است به علت افزایش فعالیت بیولوژیکی در محیط رشد دارای ورمی‌کمپوست و بهبود فراهمی و جذب عناصر غذایی مورد نیاز چهت جهت فعالیت باکتری‌های حل کننده فسفات باشد که در نهایت باعث بهبود غلظت فسفر دانه شده است. موهانتی و همکاران (Mohanty *et al.*, 2006) بیان داشتند که مصرف ورمی-کمپوست در مقایسه با شاهد، به علت رهاسازی آهسته فسفر و بهبود فراهمی این عنصر در خاک، باعث افزایش چشمگیر غلظت فسفر دانه باadamزمینی (*Arachishypogea* L.) شد.

جدول -۳- مقایسه میانگین صفات مورد مطالعه در تیمارهای کودی مختلف

Table 3- Means comparison of studied traits in different fertilizer treatments

کود Mineral trait	گوگرد		فسفر		Phosphor		نیتروژن		Nitrogen		بروتین		Oil	
	عیارت Concentration (٪)	عملکرد Yield (kg ha <sup>-1</sup> )	پروتین Protein Yield (kg ha <sup>-1</sup> )	دوغن Oil Yield (kg ha <sup>-1</sup> )										
Cf	0.187	11.12	0.42	24.942	2.632	156.246	16.45	976.54	2764.9					
½ cf	0.184	7.97	0.4	17.343	2.576	11.719	16.1	698.24	2063.8					
Nf	0.201	6.23	0.34	10.67	2.1	65.223	13.12	420.15	1430					
P	0.198	7.8	0.39	15.358	2.394	94.344	14.962	589.65	1899.9					
B	0.225	9.14	0.39	15.908	2.352	95.752	14.7	598.45	2052.1					
V	0.215	7.79	0.42	15.293	2.366	86.05	14.787	537.81	1901.7					
P+½ cf	0.168	7.49	0.42	18.818	2.646	118.516	16.537	740.72	2034.5					
P+V	0.19	7.39	0.45	17.565	2.436	95.287	15.225	595.54	1884.1					
P+V+½ cf	0.175	7.96	0.4	18.182	2.688	122.06	16.8	762.91	2082.2					
B+½ cf	0.2	8.35	0.41	17.061	2.408	100.451	15.05	627.82	2063.7					
B+V	0.231	10.74	0.43	19.873	2.394	110.775	14.962	692.35	2452.2					
B+V+½ cf	0.207	10.71	0.45	23.201	2.445	126.254	15.279	789.09	2523.1					
V+½ cf	0.2	8.89	0.44	19.685	2.595	115.221	16.221	720.13	2152.3					
LSD(0.05)	0.0296	1.744	0.0399	3.1198	0.1267	14.483	0.7918	90.517	296.71					

نامه: Nf: عدم صرف کود، V: وری کمپوست، P: فسفات پتاسیوم، B: بیوسفتور

Cf: 100% of the recommended fertilizer, 1/2cf: ½ proposed fertilizer, Nf: No fertilizer, V: Vermicompost, P: Phosphonitroka, B: Biosulfur

(2007) مطابقت داشت. در مقایسه کودهای زیستی، فسفونیتروکارا تأثیر مثبت بیشتری بر نیتروژن دانه داشت که احتمالاً به علت فعالیت باکتری‌های تثبیت‌کننده نیتروژن، این عنصر در طی فصل به صورت مداوم و پایداری فراهم بوده و گیاه با استفاده از آن توانسته میزان نیتروژن بیشتری را در دانه ذخیره کند. در آزمایشات حسنودین (Hasanudin, 2003) پیرامون تأثیر از توباكتر به همراه مواد آلی بر روی گیاه ذرت، تلقیح با این باکتری، قابلیت جذب نیتروژن و فسفر را Rodrigues *et al.*, (2008) نیز در بررسی‌های خود، شاهد افزایش معنی‌دار نیتروژن دانه برنج (*Oryza sativa* L.) در اثر تلقیح سویه‌ای از آزوسپیرلیوم بودند. در آزمایشی دیگر، کاربرد ترکیبی از باکتری‌های تثبیت‌کننده نیتروژن و حل‌کننده سففات بیشترین جذب نیتروژن دانه گندم را در شرایط گلخانه و مزرعه به همراه داشت که در مقایسه با عدم تلقیح به ترتیب Kumar *et al.*, (2014) و ۶۰/۶ ۱۲۶/۱ درصد افزایش نسبت به شاهد نشان داد (Varzi *et al.*, 2011). تأثیر مثبت باکتری‌های تثبیت‌کننده نیتروژن و حل‌کننده سففات بر میزان نیتروژن دانه آفتتابگردان توسط ورزی و همکاران (Kumar *et al.*, 2013; Phonglosa *et al.*, 2008; Ahmad *et al.*, 2013; Fankem *et al.*, 2015) نیز گزارش شده است.

با توجه به اینکه بیشترین عملکرد دانه در تیمار کاربرد کامل کود شیمیایی به دست آمد و همچنین درصد نیتروژن دانه در این تیمار بالا بود حدآشکر میزان عملکرد نیتروژن دانه (۱۵۶/۲۴۶ کیلوگرم در هکتار) نیز در این تیمار مشاهده شد که ۲/۴ برابر شاهد منفی بود (جدول ۳). کاربرد منفرد کودهای زیستی و آلی تفاوت معنی‌داری از نظر درصد پروتئین با یکدیگر نداشتند (جدول ۳). در حالی که کاربرد تلفیقی کودهای شیمیایی و آلی همراه با کود زیستی فسفونیتروکارا در مقایسه با بیوسولفور، اثر هم‌افزایی بیشتری بر درصد پروتئین دانه داشت. همچنین کلیه تیمارهای مورد بررسی باعث افزایش چشمگیر پروتئین بذر در مقایسه با شاهد منفی (عدم کاربرد کود) شدند (جدول ۳). حدآشکر عملکرد پروتئین با کاربرد کود شیمیایی به دست آمد که ۲/۳ برابر شاهد منفی بود. افزایش درصد پروتئین بر اثر استفاده از کودهای بیولوژیک توسط محققین بسیاری گزارش شده است (Kumar *et al.*, 2009; Ahmad *et al.*, 2013; Jahan *et al.*, 2013).

### غلظت و عملکرد روغن دانه: نتایج حاصل از تجزیه واریانس

داده‌ها بیانگر آن است که روغن دانه تحت تأثیر تیمارهای کودی قرار نگرفت (جدول ۲)، با این وجود بیشترین میزان روغن دانه از کاربرد همزمان بیوسولفور و ورمی کمپوست (۵۳/۱۲ درصد) به دست آمد که با شاهد منفی (۴۶ درصد) تفاوت داشت. در مطالعات شاکری و همکاران (Shakeri *et al.*, 2012) نیز تیمارهای کودی نتوانستند منجر به تغییرات معنی‌داری در میزان روغن دانه کنجد شوند. علی‌رغم عدم تأثیر معنی‌دار تیمارهای کودی بر درصد روغن دانه،

علی‌رغم عدم تغییر معنی‌دار اسیدیته خاک (جدول ۴)، تأثیر مثبت کود زیستی بیوسولفور بر میزان فسفر دانه می‌تواند به علت فعالیت باکتری‌های تیوباسیلوس و تولید اسید سولفوریک باشد که احتمالاً با کاهش موضعی اسیدیته میکروساپایتها در خاک ریزوسفری، باعث حلالیت و قابل دسترس ساختن فسفر برای گیاه گردیده است. تیمارهای کاربرد کامل کود شیمیایی و بیوسولفور به همراه ورمی کمپوست و نیمی از کود شیمیایی، بیشترین میزان عملکرد فسفر دانه را به ترتیب به میزان ۲۴۹/۲ کیلوگرم در هکتار به خود اختصاص دادند (جدول ۳). از نظر عملکرد فسفر دانه، تیمارهای منفرد در مقایسه با شاهد منفی (عدم کاربرد کود) تفاوت چشمگیری داشتند، اما از نظر آماری با یکدیگر اختلاف معنی‌داری نشان ندادند. همچنین بین تیمارهای تلفیقی به جز بیوسولفور + ورمی کمپوست + نیمی از کود شیمیایی، تفاوت معنی‌داری مشاهده نشد (جدول ۳). نتایج محققین بسیاری مبنی تأثیر مثبت میکروارگانیسم‌های حل‌کننده سففات، تثبیت‌کننده نیتروژن و کودهای آلی بر غلظت فسفر دانه است (Fankem *et al.*, 2008; Ahmad *et al.*, 2013; Phonglosa *et al.*, 2015).

### غلظت و عملکرد نیتروژن و پروتئین دانه: مقدار نیتروژن و پروتئین دانه در کلیه تیمارهای تغذیه‌ای مورد بررسی نسبت به شاهد منفی افزایش معنی‌داری نشان داد (جدول ۲). بیشترین میزان نیتروژن دانه (۲/۶۸۸ درصد) در کاربرد فسفونیتروکارا به همراه ورمی کمپوست و نیمی از کود شیمیایی به دست آمد که با تیمارهای کود شیمیایی، نیمی از کود شیمیایی، فسفونیتروکارا به علاوه نیمی از کود شیمیایی و کاربرد توأم ورمی کمپوست و نیمی از کود شیمیایی در یک گروه آماری قرار داشتند (جدول ۳). با توجه به اینکه مقدار پروتئین دانه تابع غلظت نیتروژن آن می‌باشد بیشترین میزان پروتئین دانه نیز به تیمار کود زیستی فسفونیتروکارا در تلفیق با کود شیمیایی و آلی (۱۶/۸ درصد) تعلق داشت (جدول ۳). این تیمار سبب افزایش معنی‌دار (۲۸/۵ درصد) پروتئین دانه نسبت به تیمار شاهد عدم مصرف کود شد که با توجه به حضور باکتری‌های تثبیت‌کننده نیتروژن و حل‌کننده سففات در کود زیستی دور از ذهن نبود. به نظر می‌رسد که میکروارگانیسم‌های موجود در این کود زیستی توانسته‌اند با تثبیت نیتروژن و فراهمی آن برای گیاه، پیش‌سازه‌های لازم جهت تولید پروتئین را تأمین نمایند. بنابراین می‌توان با افزودن نیمی از کود اوره پیشنهادشده به خاک به همراه فسفونیتروکارا، درصد نیتروژن و پروتئین دانه آفتتابگردان را افزایش و مصرف کود شیمیایی را کاهش داد.

صرف هم‌زمان کود آلی و زیستی، جذب نیتروژن از کود شیمیایی را افزایش داد که با نتایج شاتا و همکاران (Shata *et al.*, 2013)

درصد روغن با ۳۹/۴۶ درصد در تیمارهای تلقیح با بیوسولفور به دست آمد. سلیمپور و همکاران (Salimpour *et al.*, 2010) نیز نشان دادند که باکتری‌های اکسیدکننده گوگرد می‌توانند در افزایش عملکرد روغن دانه کلزا مؤثر باشند. التاف و همکاران (Altaf *et al.*, 2000) اثربات مثبت تیوباسیلوس بر میزان روغن دانه را به جایه‌جایی مناسب‌تر آنزیم‌های فتوستنتاز، بهبود فعالیت استیل کوانزیم آ و افزایش فراهمی کربن برای بیوستتر روغن نسبت داده‌اند. با توجه به نقش ساختاری گوگرد در بیوستتر روغن می‌توان نتیجه‌گیری کرد که باکتری‌های تیوباسیلوس به همراه گوگرد بتوئینتار، توانسته‌اند از طریق اکسایش گوگرد در تأمین این عنصر نقش مثبتی ایفا کرده و منجر به افزایش روغن دانه در تیمارهای مذکور شوند.

**غلظت سولفات‌کل خاک:** نتایج تجزیه واریانس داده‌ها حکایت از تأثیر معنی‌دار تیمارهای مورد مطالعه بر سولفات‌کل خاک داشت (جدول ۴). بیشترین میزان سولفات‌کل خاک در تیمار بیوسولفور به همراه ورمی‌کمپوست (۱۷۰/۳ میلی‌گرم در کیلوگرم خاک) حاصل شد که ۳۶/۲ درصد بیشتر از غلظت سولفات‌کل خاک در تیمار شاهد منفی بود. همچنین این تیمار، اختلاف معنی‌داری با تیمارهای بیوسولفور، فسفونیتروکارا و کاربرد همزمان فسفونیتروکارا به همراه ورمی‌کمپوست و نیمی از کود شیمیایی نداشت (شکل ۱).

بیشترین عملکرد روغن (۲۷۶۴/۹ کیلوگرم در هکتار) با توجه به حداقل بودن عملکرد دانه در تیمار کاربرد کود کامل شیمیایی مشاهده شد (جدول ۳). طبق نظر اوزون و همکاران (Uzun *et al.*, 2008) و شارما و همکاران (Sharma *et al.*, 2005) نیز مصرف نیتروژن به دلیل تأثیر مثبت بر عملکرد دانه، عملکرد روغن را افزایش می‌دهد. کمترین عملکرد روغن نیز در اثر عدم مصرف کود حاصل شد که با سایر تیمارهای مورد بررسی اختلاف معنی‌داری داشت (جدول ۳). رتبه‌های دوم و سوم از نظر عملکرد روغن بعد از تیمار کود کامل شیمیایی در تیمار تلفیقی بیوسولفور، ورمی‌کمپوست و نیمی از کود شیمیایی و کاربرد همزمان بیوسولفور و ورمی‌کمپوست به دست آمد که به ترتیب ۷۶/۴ و ۷۱/۵ درصد بیشتر از شاهد منفی بود (جدول ۳). عملکرد روغن در تیمار تلفیقی بیوسولفور، ورمی‌کمپوست و نیمی از کود شیمیایی با کاربرد کامل کود شیمیایی در یک گروه آماری قرار داشتند (جدول ۳). بنابراین در ارتباط با عملکرد روغن می‌توان چنین استنباط کرد که کاربرد همزمان کود زیستی بیوسولفور با کود شیمیایی و آلی می‌تواند موجب کاهش مصرف کودهای شیمیایی گردد. سایر تیمارهای کودی مورد بررسی اختلاف معنی‌داری با یکدیگر نداشتند (جدول ۳).

در مطالعات جهان و همکاران (Jahan *et al.*, 2013) بیشترین

جدول ۴- تجزیه واریانس اثر تیمارهای کودی بر صفات اندازه‌گیری شده در خاک محل آزمایش  
Table 4- Analysis of variance of fertilizer treatments effect on soil measured traits

منبع تغییرات S.O.V	درجه آزادی d.f	میانگین مربوطات			
		سولفات‌کل Total sulfate	فسفر قابل جذب Available phosphor	نیتروژن کل Total nitrogen	اسیدیته pH
تکرار Replication	2	151.894 <sup>ns</sup>	1.099 <sup>ns</sup>	0.000006 <sup>ns</sup>	0.000002 <sup>ns</sup>
کود Fertilizer	12	781.258**	184.38**	0.002**	0.01 <sup>ns</sup>
خطا Error	24	181.44	2.13	0.00003	0.032
ضریب تغییرات cv	-	9.5	7.3	6.5	2.5

\* و \*\* به ترتیب نشان‌دهنده عدم اختلاف معنی‌دار و وجود اختلاف معنی‌دار در سطح ۵ و ۱ درصد است.

ns,\* and \*\* non significant and significant at 5 and 1% probability levels, respectively.

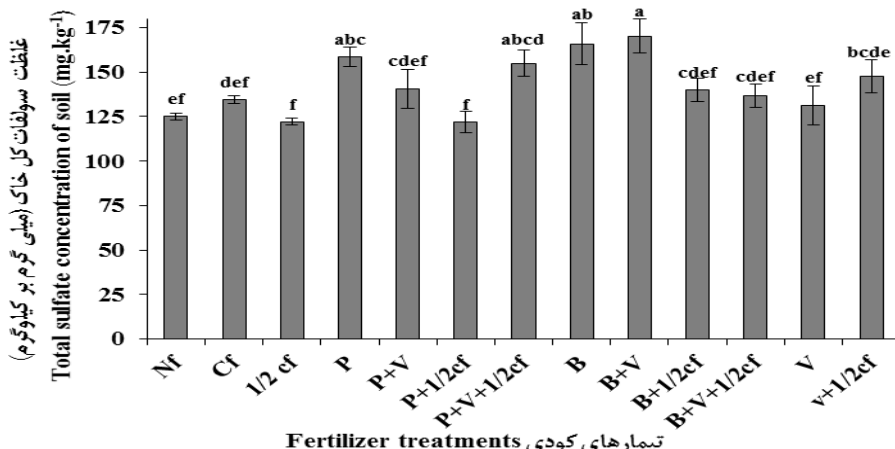
قابل جذب در تیمار فسفونیتروکارا به همراه ورمی‌کمپوست و نیمی از کود شیمیایی (۳۴/۶۷ میلی‌گرم در کیلوگرم خاک) به دست آمد که ۲/۷ برابر فسفرقابل جذب در تیمار شاهد منفی بود (شکل ۲). کاربرد منفرد ورمی‌کمپوست در مقایسه با شاهد عدم مصرف کود، باعث افزایش دو برابر فسفر قابل جذب خاک گردید. همچنین در تمامی تیمارهای تلفیقی حاوی ورمی‌کمپوست به جز بیوسولفور+ورمی‌کمپوست+نیمی از کود شیمیایی، مقدار فسفر قابل جذب خاک بالا بود، که نشان از تأثیر معنی‌دار ورمی‌کمپوست بر انحلال و افزایش فراهمی فسفر داشت. میزان فسفرقابل جذب در تیمار

صیامی و بشارتمی (Siami and Besharaty, 2012) نیز در بررسی اثر مایه تلقیح باکتری تیوباسیلوس بر روند اکسایش گوگرد و آزاد شدن آهن و روی، در انتهای دوره ۹۰ روزه آزمایش خود، شاهد بیشترین غلظت سولفات‌کل خاک (۹۵۱/۰۱ میلی‌گرم در کیلوگرم خاک) در تیمار کاربرد توأم گوگرد عنصری به همراه تلقیح تیوباسیلوس و کمپوست مواد آلی بودند.

**غلظت فسفر قابل جذب خاک:** تجزیه واریانس داده‌ها نشان داد که غلظت فسفرقابل جذب خاک به صورت معنی‌داری تحت تأثیر تیمارهای کودی قرار گرفت (جدول ۴). بیشترین میزان فسفر

کاربرد منفرد فسفونیتروکارا بود (شکل ۲).

فسفونیتروکارا به همراه ورمی کمپوست و فسفونیتروکارا به علاوه ورمی کمپوست و نیمی از کود شیمیایی به ترتیب ۲/۲۵ و ۷/۶۱ برابر



شکل ۱- تأثیر تیمارهای کودی بر میزان سولفات‌کل خاک. Cf: ۱۰۰٪ درصد کود شیمیایی پیشنهاد شده، ۱/۲cf: ۵۰٪ درصد کود شیمیایی پیشنهاد شده، Nf: عدم مصرف کود، V: ورمی کمپوست، P: فسفونیتروکارا، B: بیوسولفور. میانگین‌های دارای حروف مشابه در هر ستون بر اساس آزمون LSD در سطح احتمال پنج درصد اختلاف معنی‌دار ندارند.

Figure 1- Effect of fertilizer treatments on total sulfate concentration in soil (Cf: 100% of the recommended fertilizer, 1/2cf: ½ proposed fertilizer, Nf: No fertilizer, V: Vermicompost, P: Phosphonitrokara, B: Biosulfur). Means in each column, followed by the same letters, are not significantly different at 5% probability level- using LSD test.

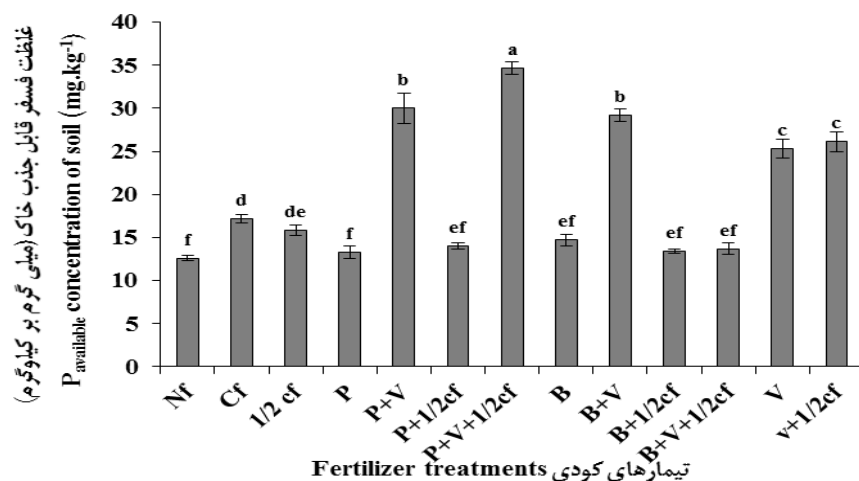
علاوه بر مرتفع ساختن نیاز محصول در طی فصل رشد، در تأمین فسفر کشت بعدی نیز مؤثر واقع شود.

غلظت نیتروژن کل خاک: اثر کودهای زیستی و آلی بر درصد نیتروژن خاک معنی‌دار بود و به طور کلی، تمامی تیمارهای کودی بررسی شده در مقایسه با شاهد عدم مصرف کود زیستی در نیتروژن کل خاک شدند (جدول ۴). تیمار تلفیقی کود زیستی فسفونیتروکارا به همراه ورمی کمپوست و نیمی از کود شیمیایی بیشترین مقدار نیتروژن کل خاک (۱۴۲/۰-درصد) را به خود اختصاص داد (شکل ۳). در تیمارهایی که کود شیمیایی نیتروژن به تنها یا به همراه کود زیستی به کار رفته در مقایسه با تیمارهای دارای کود آلی ورمی کمپوست میزان نیتروژن کل خاک کمتر بود. از آنجا که میزان فعالیت باکتری‌های ازادی تثبیت‌کننده نیتروژن شدیداً به شرایط محیطی از جمله تأمین کربن آلی بستگی دارد (Matthew *et al.*, 2008) می‌توان اظهار کرد که در تیمارهای دارای ورمی کمپوست، فراهمی کربن باعث بهبود فعالیت باکتری‌های تثبیت‌کننده نیتروژن و در نتیجه افزایش معنی‌دار نیتروژن خاک گردیده است. همچنین، با توجه به قابلیت اتحال کود شیمیایی نیتروژنی در آب، امکان آبشویی این کود بالاست و احتمالاً بخش زیادی از کود اوره در اوایل فصل رشد توسط گیاه جذب شده و یا از طریق شستشو از خاک خارج شده است. همچنین مقدار پایین تر نیتروژن خاک در انتهای فصل در تیمارهایی که کود شیمیایی به تنها یا همراه با کود زیستی مصرف

چنین به نظر می‌رسد که کاربرد کود آلی ورمی کمپوست در سیستم کشت، با افزایش هوموس موجود در خاک باعث پوشاندن سطح ذرات رس شده و مانع تشییع فسفر و در نتیجه افزایش غلظت Khan *et al.*, 2015 تا ۱۴۰/۶ درصد افزایش دادند. فونگلوزا و همکاران (Phonglosa *et al.*, 2015) نیز گزارش کردند که محتوای فسفر قابل جذب خاک در تیمارهای کودهای شیمیایی، زیستی و آلی بیشتر از کاربرد منفرد کود شیمیایی بود. به طوری که کاربرد همزمان ۷۵ درصد کود نیتروژن و فسفر توصیه شده به همراه پتابسیم + باکتری‌های حل‌کننده فسفات و کود دائمی در مقایسه با کاربرد کامل کود شیمیایی باعث افزایش ۸۴/۲ درصدی مقدار فسفر قابل جذب خاک شد. همچنین آل-دوینی و همکاران (El-Dewiny *et al.*, 2006) بیان کردند وقتی کودهای فسفر با مواد آلی مخلوط می‌شوند باعث افزایش فراهمی فسفر نسبت به کاربرد کودهای فسفر به تنها می‌گردد که با نتایج مطالعه حاضر مطابقت داشت. ایچرلوبرمن و همکاران (Eichler-lobermann *et al.*, 2007) نیز دریافتند که کاربرد تلفیقی کودهای شیمیایی و زیستی، مقدار فسفر خاک را بیشتر از مصرف منفرد آن‌ها افزایش می‌دهد. بنابراین می‌توان بیان داشت که استفاده تلفیقی از کود زیستی، آلی و شیمیایی می‌تواند با اتحال و رهاسازی آهسته فسفر،

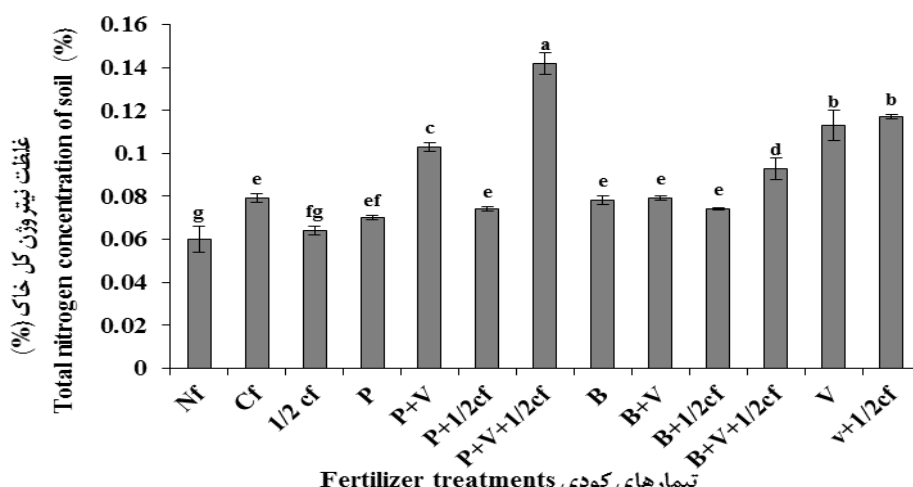
ورمی کمپوست و تیمار تلفیقی بیوسولفور به همراه ورمی کمپوست و نیمی از کود شیمیایی، بیشتر بود (شکل ۳).

شده بود میان آبشویی بیشتر نیتروژن است. در حالی که مقدار نیتروژن کل خاک در تیمارهای تلفیقی دارای کود آلی، مثل ورمی کمپوست به علاوه نیمی از کود شیمیایی، فسفونیتروکارا همراه با



شکل ۲- تأثیر تیمارهای تغذیه‌ای بر میزان فسفر قابل جذب خاک. (Cf: ۱۰۰٪ درصد کود شیمیایی پیشنهاد شده، ۱/۲ Cf: ۵۰٪ درصد کود شیمیایی پیشنهاد شده، Nf: عدم مصرف کود، V: ورمی کمپوست، P: بیوسولفور، B: فسفونیتروکارا، B+V: بیوسولفور و کارا، B+1/2 Cf: ۵۰٪ درصد اختلاف معنی دار ندارند.

Figure 2- The effect of nutrition treatments on phosphorus concentration in soil (Cf: 100% of the recommended fertilizer, 1/2 Cf: ½ proposed fertilizer, Nf: No fertilizer, V: Vermicompost, P: Phosphonitrokara, B: Biosulfur). Means in each column, followed by the same letters, are not significantly different at 5% probability level- using LSD test.



شکل ۳- تأثیر تیمارهای تغذیه‌ای بر میزان نیتروژن کل خاک. (Cf: ۱۰۰٪ درصد کود شیمیایی پیشنهاد شده، ۱/۲ Cf: ۵۰٪ درصد کود شیمیایی پیشنهاد شده، Nf: عدم مصرف کود، V: ورمی کمپوست، P: بیوسولفور، B: فسفونیتروکارا، B+V: بیوسولفور و کارا، B+1/2 Cf: ۵۰٪ درصد اختلاف معنی دار ندارند.

Figure 3- The effect of nutrition treatments on total nitrogen concentration in soil (Cf: 100% of the recommended fertilizer, 1/2 Cf: ½ proposed fertilizer, Nf: No fertilizer, V: Vermicompost, P: Phosphonitrokara, B: Biosulfur). Means in each column, followed by the same letters, are not significantly different at 5% probability level- using LSD test.

تلفیقی ورمی کمپوست و ازتوباکتر مشاهده شد که افزایش معنی داری نسبت به شاهد داشت. همچنین فونگلوزا و همکاران (Phonglosa et al.)

خان و همکاران (Khan et al., 2015) نیز در بررسی های خود گزارش کردند که بیشترین محتوای نیتروژن آمونیاکی خاک در تیمار

کاهش اسیدیته خاک داشته باشند، همچنین خاصیت بافری خاک بالا بوده است و کاهش اسیدیته خاک بایستی در طی فرآیندی طولانی مدت صورت گیرد و گوگرد به مقدار زیاد و در دفعات به خاک اضافه شود (Patrici, 2000).

### نتیجه‌گیری

بر اساس نتایج پژوهش حاضر به نظر می‌رسد که کودهای زیستی و آلی به تنها بی جوابگوی نیازهای غذایی آفتابگردان نیستند، بلکه کاربرد تلفیقی کودهای زیستی، آلی و شیمیایی در کنار یکدیگر می‌تواند اثربخشی بالایی بر افزایش دسترسی به عناصر غذایی و غلظت آن‌ها در دانه و عملکرد اقتصادی داشته باشد. همچنین مقادیر بالاتر عناصر نیتروژن، فسفر و سولفات خاک در انتهای فصل رشد در تیمارهای دارای کود زیستی و آلی، حکایت از نقش مثبت این کودها در تثبیت نیتروژن، انحلال و رهاسازی آهسته فسفر در طی فصل رشد، افزایش اکسایش گوگرد، کاهش تثبیت عناصر و آبشویی داشت. فراهمی مواد آلی در خاک از طریق کاربرد ورمی کمپوست نیز اثر هم‌افزایی مطلوبی بر عملکرد سایر کودها داشت. بنابراین می‌توان پیشنهاد کرد که کودهای زیستی مانند فسفونیتروکارا و بیوسولفور و کود آلی ورمی کمپوست به صورت مکمل در کنار کودهای شیمیایی می‌توانند با بهبود باروری و حاصلخیزی خاک و کاهش مصرف کودهای شیمیایی در زراعت آفتابگردان، در جهت پایداری تولید و حفظ سلامتی محیط‌زیست مشمر ثمر واقع شوند.

(al., 2015) طی آزمایش دو ساله خود مشاهده کردند که مقدار نیتروژن خاک در تیمارهای دارای کود آلی و زیستی نسبت به تیمار کود شیمیایی برتری داشت و بیشترین میزان نیتروژن خاک (۱۷۳/۲۱) کیلوگرم در هکتار با افزایش ۱۸/۳ درصدی نسبت به شاهد، در کاربرد همزمان ۷۵ درصد کود شیمیایی نیتروژن و فسفر+پتاسیم و ورمی کمپوست به دست آمد. بنابراین به نظر می‌رسد که در تیمارهای دارای ورمی کمپوست میزان آبشویی کمتر، حفظ و تثبیت نیتروژن در خاک بیشتر اتفاق افتاده است که این امر را می‌توان به افزایش ماده آلی خاک و افزایش کلوبیدهای هوموسی نسبت داد (Dorado et al., 2003).

اسیدیته خاک: نتایج آزمون خاک حاکی از عدم تأثیر معنی‌دار کودهای زیستی بر pH خاک بود (جدول ۴). با این وجود کمترین میزان اسیدیته خاک (۷/۷) با کاهش ۰/۳ واحدی نسبت به اسیدیته خاک قبل از اجرای آزمایش، به تیمار تلفیقی بیوسولفور و ورمی کمپوست تعلق داشت. باکتری‌های تیوباسیلوس از طریق اکسایش گوگرد منجر به تولید اسیدسولفوریک شده و در صورتی که خاک خاصیت بافری چشمگیری نداشته باشد، باعث کاهش pH خاک می‌گردد. خاصیت بافری خاک به وجود رس، مواد آلی، آهک، ترکیبات فسفره و بسیاری از ترکیبات شیمیایی دیگر بر می‌گردد، هرگاه مقدار اسیدسولفوریک تولید شده، توان خشی کردن عوامل بافر را دارا باشد، pH خاک کاهش می‌یابد (Besharaty and Malekzadeh, 2015). یافه‌های پژوهش حاضر نشان می‌دهد که احتمالاً میزان گوگرد به کار رفته جهت تغییر اسیدیته خاک کافی نبوده و باکتری‌ها نتوانسته‌اند فعالیت مناسبی جهت تولید اسیدسولفوریک و در نتیجه

### References

- Ahmad, M., Zahir, Z. A., Khalid, M., Nazli, F., and Arshad, M. 2013. Efficacy of rhizobium and pseudomonas strains to improve physiology, ionic balance and quality of *mung bean* under salt-affected conditions on farmer's fields. *Plant Physiology and Biochemistry* 63: 170-176.
- Altaf, A., Ishrat, K., and Abdin, M. Z. 2000. Effect of sulfur fertilization on oil accumulation, acetyl co-A concentration, and acetyl co-A carboxylase activity in the developing seeds of rapeseed (*Brassica campestris* L.). *Australian Journal of Agricultural Research* 51: 1023-1029.
- Anonymous, 1987. Approved Methods of the AACC. Method 11-46, American Association of Chemists Inc. St Paul, MN, USA.
- Arancon, N. Q., Edwards, C. A., Bierman, P., Welch, C., and Metzger, J. D. 2004. Influences of vermicomposts on field strawberries: 1. Effects on growth and yields. *Bioresource Technology* 93: 145-153.
- Besharaty, H., and Malekzadeh, T. 2015. Effect of sulfur and *thiobacillus* on soybean growth and uptake of some nutrients in four calcareous soils with different buffering capacities. *Iranian Journal of Soil Research* 29 (2): 131-145. (in Persian with English abstract).
- Bremness, L. 1999. Herbs. Eyewitness Handbook. London.
- Dorado, J., Zancada, M. C., Almendros, G., and Lopez-Fando, C. 2003. Changes in soil properties and humic substances after longterm amendments with manure and crop residues in dry land farming systems. *Journal of Plant Nutrition and Soil Science* 166: 31-38.
- Eichler-Lobermann, B., Kohne, S., and Koppen, D. 2007. Effect of organic, inorganic and combined organic and inorganic P fertilization on plant P and soil P pools. *Journal of Plant Nutrition and Soil Science* 170: 623-628.
- El-Dewiny, C. Y., Moursy, Kh. S., and El-Aila, H. I. 2006. Effect of organic matter on the release and availability of phosphorus and their effects on spainch and radish plants. *Research Journal of Agriculture and Biological Sciences*

- Sciences 2(3): 103-108.
10. Erdal, I., Kepenek, K., and Kizilgoz, I. 2004. Effect of foliar iron applications at different growth stages on iron and some nutrient concentrations in strawberry cultivars. Turk Journal Agriculture Forest 28:421-427.
  11. Fankem, H., Ngo Nkot, L., Deubel, A., Quinn, J., Merbach, W., and Etoa, F. X. 2008. Solubilization of inorganic phosphates and plant growth promotion by strains of *Pseudomonas fluorescens* isolated from acidic soils of Cameroon. African Journal of Microbiology Research 2: 171-178.
  12. Graeme, J. B., Rod, B. L., Dana, M., and Anderson, G. C. 1993. Modeling of sulfur oxidation from elemental sulfur. Plant and Soil 155/156: 379-382.
  13. Hasanudin, H. 2003. Increasing of the nutrient and uptake availability of N and P andthrough corn yield of inoculation of Mycorrhiza and Azotobacter on ultisol organic matter. Journal of Agriculture Sciences of Indonesia 5 (1): 83-89.
  14. Izquierdo, N. G., and Aguirrezaabal, L. A. N. 2008. Genetic variability in the response of fatty acid composition to minimum night temperature during grain filling in sunflower. Field Crops Research 106: 116-125.
  15. Jahan, M., Nassiri Mahallati, M., Amiri, M. B., and Ehyayi, H. R. 2013. Radiation absorption and use efficiency of sesame as affected by biofertilizers inoculation in a low input cropping system. Industrial Crops and Products 43: 606- 61.
  16. Kacar, B., and Katkat, A.V. 2007. Plant Nutrition. 3th Edn. Nobel Press; Ankara, Turkey.
  17. Kaplan, M., and Orman, S. 1998. Effect of elemental sulfur and sulfur containing waste in a calcareous soil in turkey. Plant Nutrient 21 (8): 1655-1665.
  18. Kennedy, I. R., Choudhury, A. T. M. A., and Kecske's, M. L. 2004. Non-symbiotic bacterial diazotrophs in crop-farming systems:can their potential for plant growth promotion be better exploited? Soil Biology and Biochemistry 36: 1229-1244.
  19. Khan, K., Pankaj, U., Verma, S. K., Gupta, A. K., Singh, R. P., and Verma, R. K. 2015. Bio-inoculants and vermicompost influence on yield, quality of *Andrographis paniculata*, and soil properties. Industrial Crops and Products 70: 404-409.
  20. Kumar, S., Pandey, P., and Maheshwari, D. K. 2009. Reduction in dose of chemical fertilizers and growth enhancement of sesame (*Sesamum indicum* L.) with application of rhizospheric competent *Pseudomonas aeruginosa* LES4. European Journal of Soil Biology 45: 334-340.
  21. Kumar, A., Maury, B. R., and Raghuwanshi, R. 2014. Isolation and characterization of PGPR and their effect on growth, yield and nutrient content in wheat (*Triticum aestivum* L.). Biocatalysis and Agricultural Biotechnology 3: 121-128.
  22. Marschner, H. 1995. Mineral Nutriton of higher plants. 2nd. ed. Academic Pres; San Diago, USA.
  23. Matthew, C. J., Bjorkman, M. K., David, M. K., Saito, A. M., and Zehr, P. J. 2008. Regional distributions of nitrogen-fixing bacteria in the Pacific Ocean. Limnol. Oceanogr 53: 63-77.
  24. Modaihsh, S., Al-mustafa, W. A., and Metwally, A. E. 1989. Effect of elemental sulfur on chemical changes and nutrient availability in calcareous soils. Plant and Soil 116: 95-101.
  25. Mohammadi, K. H., Ghalavand, A., Aghaalikhani, M., and Rokhzadi, A. 2011. Effect of different methods of increase soil fertility by adding organic, chemicals and biological fertilizers on grain yield and quality of canola (*Brassica napus* L.). Journal of Agroecology 3 (3): 298-308. (in Persian with English abstract).
  26. Mohanty, S., Paikaray, N. K., and Rajan, A. R. 2006. Availability and uptake of phosphorus from organic manures in groundnut (*Arachis hypogea* L.)-corn (*Zea mays* L.) sequence using radio tracer technique. Geoderma 133: 225-230.
  27. Page, A. L., Somner, C. E., and Nelson, P. W. 1996. Methods of soil analysis. Part 3. Chemical Methods. ASA/SSSA Madison, Wisconsin, USA
  28. Patrici, I. 2000. Integrated nutrient management for sustaining crop yield in calcareous soils of India. GAU-PRII-International Potash Institute. National Symposium. Junagadh. Gujarat. India.
  29. Phonglosa, A., Bhattacharyya, K., Ray, K., Mandal, J., Pari, A., Banerjee, H., and Chattopadhyay, A. 2015. Integrated nutrient management for okra in an inceptisol of easternIndia and yield modeling through artificial neural network. Scientia Horticulturae 187: 1-9.
  30. Rodrigues, E. P., Santos Rodrigues, L., Martinez de Oliveira, A. L., Baldani, V. L. D., Teixeira, K., Urquiaga, S., and Reis, V. M. 2008. *Azospirillum amazonense* inoculation: Effects on growth, yield and N2 fixation of rice (*Oryza sativa* L.). Plant and Soil 302: 249-261.
  31. Roesty, D., Gaur, R., and Johri, B. N. 2006. Plant growth stage, fertilizer management and bio-inoculation of arbuscular mycorrhizal fungi and plant growth promoting rhizobacteria affect the rhizobacterial Community structure in rain-fed wheat fields. Journal of Plant Science 38: 1111-1120.
  32. Salimpour, S., Khavazi, K., Nadian, H., Besharati, H., and Miransari, M. 2010. Enhancing phosphorous availability to canola (*Brassica napus* L.) using P solubilizing and sulfur oxidizing bacteria. Australian Journal of Crop Science 4 (5): 330-334.
  33. Shakeri, E., Amini Dehaghi, M., Tabatabaei, S. A., and Modares Sanavi, S. M. A. 2012. Effect of chemical

- fertilizer and biofertilizer on seed yield, its components, oil and protein percent in sesame varieties. Journal of agricultural science and sustainable production 22 (1): 71-86. (in Persian with English abstract).
- 34. Sharma, P. B. 2005. Fertilizer management in sesame (*Sesamum indicum* L.) based intercropping system in Tawa command area. Journal of Oilseeds Research 22: 63-65.
  - 35. Shata, S. M., Mahmoud, A., and Siam, S. 2007. Improving calcareous soil productivity by integrated effect of intercropping and fertilizer. Research Journal of Agriculture and Biological Sciences 3(6): 733-739.
  - 36. Siami, A., and Besharaty, H. 2012. Effect of sulfur biological oxidation trend on release of iron and zinc. Iranian Journal of Soil Research 26 (3): 255- 267. (in Persian with English abstract).
  - 37. Uzun, B., Arslan, C., and Furat, S. 2008. Variation in fatty acid compositions, oil content and oil yield in a germplasm collection of Sesame (*Sesamum indicum* L.). Journal of the American Oil Chemists' Society 85: 1135-1142.
  - 38. Varzi, M. R., Habibi, D., Vazan, S., and Pakzi, A. 2011. The effect of plant growth promoting rhizobacteria and nitrogen fertilizer on grain quality of sunflower. Journal of Crop Ecophysiology 7: 156-160. (in Persian with English abstract).
  - 39. Vessy, K. 2003. Plant growth promoting rhizobacteria as biofertilizers. Plant and Soil 255: 571-586.
  - 40. Weiss, E. A. 2000. Oilseed Crops, 2nd ed., Blackwell Science Ltd., Bodmin, UK.
  - 41. Zapata, F., and Roy, R. N. 2004. Use of phosphate rocks for sustainable agriculture. p. 117-122. Publication of the FAO Land and Water Development Division.



## Some Soil Characters and Qualitative Traits of Sunflower Seeds to Different Nutritional Regimes

F. Soleymani<sup>1</sup>- G. Ahmadvand<sup>2\*</sup>- A. A. Safari sinegani<sup>3</sup>

Received: 12-03-2016

Accepted: 12-09-2017

### Introduction

To achieve the high economic yield in crops, supplying enough nutrients for plants is important, that much of it, supplied by chemical fertilizers. But excessive use of chemical fertilizers led to environmental problems that these negative effects have caused attention to healthy and ecological sustainable farming systems. One solution to reduce dependence on chemical fertilizers is application of organic and biological products for plant nutrition. Bio-fertilizers are made from one or more species of beneficial microorganisms with preservatives and or their products. In addition, vermicompost is an organic fertilizer and mixed of very active biological bacteria, enzymes, plant residues, manure and earthworm capsule which leads to continued organic matter decomposition and development of microbial and enzymatic activities in soil. Several experiments have shown that the using of biological and organic fertilizers improve growth and quality of products.

### Materials and Methods

To investigate the effect of various nutritional regimes on seed quality characteristics of sunflower (Euroflour cv.) and some soil characters, an experiment was carried out as a randomized complete block design with 3 replications in 2015 at the Agricultural Faculty of Bu-Ali Sina University. Treatments included no biological or chemical fertilizer application, 100% of the recommended NP fertilizers (250 kg urea per hectare, 50 kg triple superphosphate per hectare),  $\frac{1}{2}$  recommended NP fertilizers, vermicompost (15 ton per hectare mixed with soil), phosphonitrokara (including *Bacillus coagulans*, *Azotobacter chroococcum*, *Azospirillum lipoferum*, 110 ml to inoculate 10 kg seeds), biosulfur (including *Thiobacillus*, mix 6 kg of fertilizer with 300 kg sulphur for 1 hectare), vermicompost+ phosphonitrokara, vermicompost+ biosulfur, vermicompost+  $\frac{1}{2}$  NP fertilizers, phosphonitrokara+  $\frac{1}{2}$  NP fertilizers, biosulfur+  $\frac{1}{2}$  NP fertilizers, vermicompost+ phosphonitrokara+  $\frac{1}{2}$  NP fertilizers, vermicompost+ biosulfur+  $\frac{1}{2}$  NP fertilizers. Concentrations of nitrogen, phosphorus and sulfur of sunflower seeds and soil were measured by standard methods. Moreover, seed oil content was determined. Data processing and graphs were performed with SAS var 9.2 and Excel software.

### Results and Discussion

The results showed that nutritional treatments significantly affected all traits except seed oil content and soil pH. The maximum seed sulfur content (0.231%) belonged to biosulfur+ vermicompost treatment indicating that providing sulfur for sunflower of oxidation in soil increased the concentration of seed sulfur. The highest phosphorous (0.45) obtained from phospho nitro kara+ vermicompost and biosulfur+ vermicompost+  $\frac{1}{2}$  NP fertilizers. Secretion of different enzymes such as phosphatase by rhizobacteria led to solubility and increasing available phosphate. Maximum nitrogen (2.688%) and protein (16.8%) content of seed was observed in phosphonitrokara+ vermicompost+  $\frac{1}{2}$  NP fertilizers treatment. It seems that bacteria in the biological and organic fertilizer along to chemical fertilizer by nitrogen fixing provided the necessary substrate for protein synthesis. According to grain yield, the highest oil yield was achieved in chemical fertilizer that there was no significant difference with biosulfur+ vermicompost+  $\frac{1}{2}$  NP fertilizers. Likely, the positive effects of thiobacillus on oil seed was related to the appropriate turnover of photosynthesis enzymes, activity improvement of acetyl-CoA and increasing availability of carbon for oil biosynthesis. Maximum total sulphate, available phosphorus and total nitrogen content of soil was observed in biosulfur+ vermicompost, phosphonitrokara+ vermicompost+  $\frac{1}{2}$  NP fertilizers and phosphonitrokara+ vermicompost+  $\frac{1}{2}$  NP fertilizers, respectively. In treatments includes vermicompost due to increasing soil organic matter, humus colloids and carbon availability for activity of nitrogen fixing bacteria was occurred less leaching and increased maintenance and fixation of nitrogen in the soil. Soil pH was not affected by treatments. The finding showed that reduction of pH must be done during the process of long term and sulfur to be added to soil plenty and in times.

1, 2 and 3- Respectively Graduated Ph.D. in Crop Physiology, Associate Professor of Agronomy and Professor of Soil science, Faculty of Agriculture, Bu-Ali Sina University, Hamedan

(\*- Corresponding Author Email: gahmadvand@basu.ac.ir)

### Conclusions

In general, we can suggest that biological (phosphonitrokara and biosulfur) and organic (vermicompost) fertilizers along with chemical fertilizers by modifying the nutritional conditions of soil and reduce the use of chemical fertilizers can be effective in stability of production and conservation of environmental health.

**Keywords:** Biologic fertilizer, Nutritional elements, Vermicompost



## اثر کودهای آلی و شیمیایی بر عملکرد کمی و کیفی وسمه (*Indigofera tinctoria* L.) در سطوح مختلف آبیاری در منطقه بم

نادر مدافع بهزادی<sup>۱</sup>- پرویز رضوانی مقدم<sup>۲\*</sup>- محسن جهان<sup>۳</sup>

تاریخ دریافت: ۱۳۹۵/۰۱/۲۱

تاریخ پذیرش: ۱۳۹۵/۰۹/۰۳

### چکیده

به منظور مطالعه ویژگی‌های رشد، عملکرد بیولوژیکی و عملکرد ایندیگوکارمین گیاه دارویی وسمه (*Indigofera tinctoria* L.) در واکنش به کودهای مختلف آلی و شیمیایی و مقادیر آبیاری بر اساس ظرفیت زراعی خاک، آزمایشی به صورت استربپ پلات در قالب طرح پایه بلوك‌های کامل تصادفی با سه تکرار در شهرستان بم در سال زراعی ۱۳۹۱-۹۲ انجام شد. سه مقدار آبیاری (۱۰۰، ۸۰ و ۶۰٪ ظرفیت زراعی خاک) به عنوان فاکتور اصلی و پنج منبع تغذیه گیاهی شامل کود زیستی میکوریزا (*Glomus intraradices*) (۲۰۰ گرم خاک تلقيق شده در هر متر طولی)، ورمی کمپوست (پنج تن در هکتار)، کود گاوی (۳۰ تن در هکتار) و کود شیمیایی (۱۵۰ و ۱۵۰ بهترتب شامل نیتروژن، فسفر و پتاسیم) و شاهد به عنوان فاکتور نواری در نظر گرفته شدند. خصوصیات رویشی و عملکرد کیفی در دو چین اندازه‌گیری شدند. صفات مورد مطالعه شامل ارتفاع بوته، قطر کانونی، تعداد شاخه جانبی، تعداد برگ در بوته، وزن خشک برگ، وزن خشک ساقه، عملکرد کل اندام‌های هوایی، محتوى ایندیگوکارمین در برگ و عملکرد ایندیگوکارمین بودند. نتایج نشان داد که افزایش محتوى ظرفیت زراعی تأثیر معنی‌داری (۵٪ $\leq$ ۰/۰۵m) روی ارتفاع بوته، قطر کانونی، وزن خشک برگ، وزن خشک ساقه، وزن خشک اندام‌های هوایی و عملکرد ایندیگوکارمین در هر دو چین داشت. در چین اول، وزن خشک برگ در مقدار آبیاری ۱۰۰، ۸۰ و ۶۰٪ ظرفیت زراعی بهترتب ۸۷٪، ۸۰٪ و ۶۸٪ و ۵۸٪/۲۳ گرم در متر مربع و در چین دوم بهترتب ۲۵٪، ۲۱٪ و ۶۱٪/۲۱ گرم در متر مربع به دست آمد. بیشترین عملکرد اندام‌های هوایی در هر دو چین برای سطح آبیاری ۱۰۰٪ ظرفیت زراعی حاصل شد. به طوری که در چین‌های اول و دوم تیمار ۱۰۰٪ ظرفیت زراعی در مقایسه با تیمارهای ۸۰ و ۶۰٪ ظرفیت زراعی بهترتب منجر به افزایش ۵٪ و ۳٪ درصد در چین اول و ۴٪ و ۲٪ درصد در چین دوم عملکرد اندام‌های هوایی شد. بیشترین عملکرد ایندیگوکارمین در چین‌های اول و دوم برای مقدار آبیاری ۱۰۰٪ ظرفیت زراعی بهترتب با ۴٪/۹۷ و ۳٪/۷۴ گرم در متر مربع حاصل شد. بیشترین وزن خشک برگ در چین اول و دوم در تیمار ورمی کمپوست بهترتب برابر با ۷۸٪/۲۴ و ۷۵٪/۱۱ گرم در متر مربع به دست آمد. کاربرد کودهای ورمی، شیمیایی و میکوریزا عملکرد ایندیگوکارمین را بهترتب ۲۳٪، ۲۲٪، ۱۸٪ و ۱۴٪ درصد در چین اول نسبت به شاهد افزایش داد.

**واژه‌های کلیدی:** ایندیگوکارمین، کود دامی، گیاه دارویی، میکوریزا، ورمی کمپوست

### مقدمه

آب در خاک، آلودگی آب‌های زیززمینی، تجمع نیترات و سمیت عناصر سنگین را در پی داشته است (Kizilkaya, 2008). در بسیاری از موارد، کاربرد کودهای شیمیایی گران‌قیمت باعث بروز انواع آلودگی‌های زیست محیطی و صدمات اکولوژیکی شده که افزایش هزینه‌های تولید را نیز به دنبال دارد (Lee, 2010). یکی از راهکارهای رفع این مشکل، استفاده از اصول کشاورزی پایدار به‌ویژه مصرف نهاده‌های آلی در بومنظم‌های زراعی می‌باشد. به منظور دستیابی به اهداف کشاورزی پایدار، استفاده از نهاده‌هایی که علاوه بر تأمین نیازهای گیاه و کاهش مخاطرات زیستمحیطی، جنبه‌های اکولوژیکی سیستم را بهبود بخشدند، ضروری به نظر می‌رسد (Kizilkaya, 2008).

در دهه‌های اخیر، استفاده بیش از حد از کودهای شیمیایی مشکلات متعددی از قبیل تخریب ساختمان خاک، کاهش نفوذپذیری

- ۱- داشجویی دکتری زراعت گرایش اکولوژی گیاهان زراعی، دانشکده کشاورزی، پردیس بین‌الملل دانشگاه فردوسی مشهد
- ۲- استاد، گروه زراعت و اصلاح نباتات، دانشکده کشاورزی، دانشگاه فردوسی مشهد
- ۳- دانشیار، گروه زراعت و اصلاح نباتات، دانشکده کشاورزی، دانشگاه فردوسی مشهد

(\*)- نویسنده مسئول:  
Email: rezvani@um.ac.ir  
DOI: 10.22067/gsc.v16i1.54983

مثبت کاربرد کودهای زیستی بر روی رشد و عملکرد گیاه کنجد بود (Khorramdel et al., 2013).

آب مهمترین عامل محدودکننده تولید محصولات کشاورزی بهویژه در مناطق خشک و نیمه‌خشک همچون ایران به شمار می‌رود (Koocheki et al., 2007). متوسط بارندگی ایران که از نظر اقلیمی در منطقه‌ای نیمه‌خشک قرار گرفته، ۲۲۵ میلی‌متر در سال است که همین بارندگی انکه نیز با توزیع مکانی نامناسبی رخ می‌دهد، به شکلی که ۵۰ درصد آن در ۴۴ درصد مساحت کشور روی می‌دهد. بررسی‌ها نشان داده است که حاصلخیزی زیاد و بالا بودن رطوبت نسبی خاک از طریق افزایش آماس سلولی باعث تحریک رشد رویشی و تجمع ماده خشک شده و بر عکس، بروز تنفس رطوبتی و حاصلخیزی کم محدودیت رشد رویشی و کاهش تولید ماده خشک در گیاهان را به دنبال دارد (De-Abreu and Mazzafera, 2005). در همین راستا، رضوانی‌مقدم و همکاران (Rezvani Moghaddam et al., 2004) گزارش کردند که با کاهش فاصله آبیاری عملکرد دانه و میزان تجمع ماده خشک در کرچک (*Ricinus communis*) افزایش یافت؛ به طوری که بیشترین عملکرد دانه (۱/۱۶ تن در هکتار) در فاصله آبیاری یک هفته و کمترین آن (۰/۳۹ تن در هکتار) در فاصله آبیاری چهار هفته مشاهده شد. کوچکی و همکاران (Koocheki et al., 2013) با بررسی اثر فاصله آبیاری بر رشد و عملکرد مرزنگوش (*Origanum majorana*) اظهار داشتند که با افزایش فاصله آبیاری و اعمال تنفس رطوبتی، رشد و شاخص‌های رشدی این گیاه دارویی به‌طور معنی‌داری کاهش یافت. نوروزپور و رضوانی‌مقدم (Norozpoor and Rezvani Moghaddam, 2006) گزارش کردند که فواصل آبیاری اثر معنی‌داری بر عملکرد دانه، درصد روغن، درصد انسانس، عملکرد انسانس و عملکرد روغن سیاه‌دانه داشت. به طوری که افزایش فواصل آبیاری موجب کاهش درصد و عملکرد روغن و عملکرد انسانس شد. دور آبیاری هفت روز و تراکم ۲۵۰ بوته در متر مربع بیشترین عملکرد روغن (۴۰/۵ کیلوگرم در هکتار) و عملکرد انسانس (۱۴/۰۸ کیلوگرم در هکتار) را تولید کرد.

وسمه یا نیل با نام علمی *Indigofera tinctoria* L. گیاهی صنعتی و فراموش شده متعلق به خانواده جبویات (Fabaceae) (Pramod et al., 2010) می‌باشد. این گیاه یکساله، دوساله یا چندساله (Prasad et al., 2010) بوده که ارتفاع آن به یک الی دو متر می‌رسد. برگ‌ها دارای ۲/۵ الی ۷/۵ سانتی‌متر طول و گوشوارک‌های کوچک می‌باشد. گل‌های صورتی رنگ به طول چهار میلی‌متر روحی دمگلی به طول ۵ الی ۱۰ سانتی‌متر واقع شده‌اند. وسمه توانایی بالایی در رشد مجدد پس از برداشت داشته و حساسیت کم این گیاه نسبت به حمله آفات و بیماری‌ها در شرایط آب و هوایی گرم از جمله دلایل افزایش عملکرد این گیاه می‌باشد (Sales et al., 2006). اجزای تشکیل‌دهنده ماده مؤثره وسمه شامل الکالوئیدها، گلیکوزیدها، فلاونوئیدها، تانن‌ها و

بدون تردید، کاربرد کودهای آلی و دامی به خصوص در خاک‌های فقیر از عناصر غذایی علاوه بر اثرات مثبت بر خصوصیات خاک شامل حفظ کیفیت و افزایش مواد آلی خاک نسبت به کاربرد کودهای معدنی، از جنبه‌های اقتصادی، زیست محیطی و اجتماعی نیز مشمر شمر واقع شده و می‌توانند جایگزین مناسب و مطلوبی برای کودهای شیمیایی در بلندمدت باشند (Lee, 2010). علاوه بر کودهای آلی، استفاده از میکروب‌ارگانیسم‌های مفید حاکمی با هدف حاکمی بازیابی از خاک و تولید محصولات به منظور جایگزین نمودن آنها به جای نهاده‌های شیمیایی نیز جایگاه قابل توجهی در کشاورزی پایدار دارد (Warrier et al., 2007). کاربرد کود دامی در خاک باعث پوک شدن خاک (Gutiérrez-Miceli et al., 2008) و دانه‌بندی خاک (Sallaku and Shaalan, 2005) رطوبت خاک (Sabet Teimouri, 2013) خرم دل و همکاران (Khorramdel et al., 2015) با بررسی اثر سطوح مصرف کود دامی بر عملکرد بذر و انسانس زیره سیاه (Bonium persicum Bioss) بیان داشتند که با افزایش مصرف کود دامی رشد و عملکرد کمی و کیفی این گیاه ارزشمند دارویی بهبود یافت؛ به طوری که بالاترین عملکرد دانه با ۱۶۴/۲۰ گرم بر متر مربع متعلق به تیمار ۳۵ تن کود دامی در هکتار بود. همچنین نتایج آنها نشان داد که بالاترین عملکرد انسانس برای مصرف ۴۰ تن کود دامی و وزن غده بیش از چهار گرم با ۱۴/۲۵ گرم بر متر مربع به دست آمد. رضوانی‌مقدم و همکاران (Rezvani et al., 2015) نیز نشان دادند که کاربرد کودهای آلی موجب افزایش تعداد کاپیتول در واحد سطح، عملکرد کاپیتول، عملکرد گلبرگ و عملکرد دانه در همیشه بهار (*Calendula officinalis* L.) شد.

نتایج برخی مطالعات حاکی از آن است که کارایی کودهای آلی در حضور کودهای زیستی تشدید می‌گردد. به عنوان مثال، در یک پژوهش گزارش شد که کاربرد همزمان نیتروکسین و کودهای ورمی کمپوست عملکرد دانه کنجد (Sesamum indicum L.) افزایش داد، به طوری که کاربرد جداگانه کودهای آلی اثر چندانی بر صفات مورد مطالعه نداشت، ولی زمانی که این کود به همراه نیتروکسین استفاده شد، اکثر صفات مورد مطالعه را بهبود بخشید (Sajadi Nik and Yadavi, 2013). خرم‌دل و همکاران (Khorramdel et al., 2008b) گزارش نمودند که تلقیح با انواع کودهای زیستی و قارچ میکوریزا خصوصیات رشدی و عملکرد گیاه دارویی سیاه‌دانه (*Nigella sativa*) را به طور معنی‌داری بهبود بخشید. این محققین در مطالعه‌ای دیگر، بیان داشتند که تلقیح با این قارچ همزیست، منجر به بهبود شاخص‌های رشدی سیاه‌دانه شد (Khorramdel et al., 2008a). نتایج مطالعه‌ای دیگر نیز مؤید تأثیر

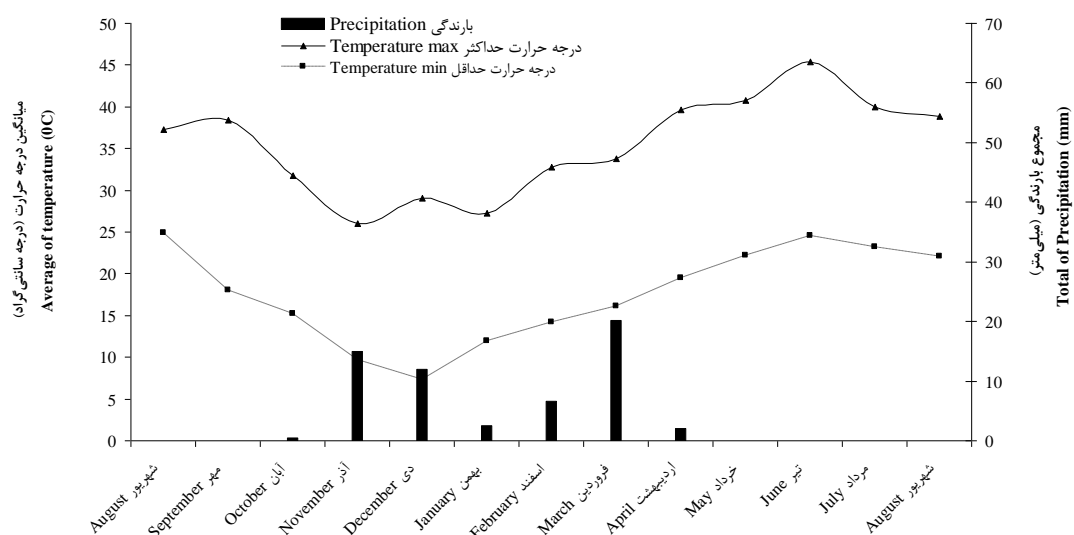
مناسب‌ترین منبع تغذیه‌ای و بهترین مقدار آبیاری بر مبنای ظرفیت زراعی به منظور افزایش عملکرد و خصوصیات کیفی گیاه ارزشمند دارویی-صنعتی وسمه در شرایط آب و هوایی بهم طراحی و اجرا شد.

## مواد و روش‌ها

این آزمایش به صورت استریپ پلات در قالب طرح پایه بلوک‌های کامل تصادفی با سه تکرار در شهرستان بم با طول جغرافیایی ۵۸ درجه و ۳۶ دقیقه شرقی و عرض جغرافیایی ۲۹ درجه و ۱۰ دقیقه شمالی و ارتفاع ۱۰۵۰ متری از سطح دریا در سال زراعی ۱۳۹۱-۹۲ به اجرا در آمد. اقلیم شهرستان بم بر اساس طبقه‌بندی آمبرژه گرم و خشک و بر اساس آمار هواشناسی منطقه، حداکثر و حداقل دما به ترتیب ۴۵ و ۲ درجه سانتی‌گراد می‌باشد (شکل ۱).

ترکیبات فنولیک، مواد معدنی و سایر مواد همچون خاکستر، خاکستر محلول در اسید، خاکستر محلول در آب و غیره می‌باشند. اجزای اصلی عصاره خام وسمه شامل دو رنگدانه آبی رنگ ایندیگوکارمین و قرمز رنگ ایندیروین است (Chanayath *et al.*, 2002) (Indigo) (Sales *et al.*, 2006) به عنوان فراورده طبیعی، متaboliti ثانویه است (Pramod *et al.*, 2010). از جمله خواص دارویی وسمه که اثر ملین، خلط‌آور، ضدکرم‌های انگل روده، درمان بیماری‌های دیابت، صرع، تقویت کبد، برونشیت‌های مزمن و آسم کاربرد دارد.

بنابراین، شناخت نیازهای بهزیستی گیاه دارویی و صنعتی فراموش شده وسمه و نقش عوامل مدیریتی در تولید رنگ‌های طبیعی، از یک سو می‌تواند ضمن افزایش و بهبود معیشت تولیدکنندگان این محصول از خروج ارز برای تهیه رنگ‌های شیمیایی نیز تا حدود زیادی بکاهد و از سوی دیگر، بازار جهانی برخی از صنایع از جمله فرش ایرانی را دوباره پرورونق کند. بدین ترتیب، این آزمایش با هدف تعیین



شکل ۱- میانگین درجه حرارت حداکثر و حداقل و مجموع بارندگی ماهیانه طی دوره کاشت تا رسیدگی گیاه وسمه در شرایط آب و هوایی به طی دوره آزمایش (سال زراعی ۱۳۹۱-۹۲)

Figure 1- Average temperature of minimum and maximum and total monthly precipitation during planting and maturity of idigo in the weather of bam during experimental period (growing season of 2012-2013)

فیزیکی و شیمیایی خاک نمونه‌برداری به صورت تصادفی از عمق ۰-۳۰ سانتی‌متر خاک با استفاده از اگر انجام شد که نتایج آن در جدول ۱ نشان داده شده است.

به منظور آماده‌سازی زمین، دو ماه قبل از کاشت عملیات آماده‌سازی بستر کاشت شامل دو نوبت شخم عمود بر هم و سپس تسطیح زمین انجام گرفت. کودهای فسفاته و پتاسیم قبل از کاشت و کود نیتروژن به صورت اوره در سه نوبت همزمان با کاشت، بعد از تنک و بعد از برداشت بوته‌ها در چین اول به خاک اضافه شدند. کودهای

سه مقدار آبیاری شامل آبیاری در ۱۰۰، ۸۰ و ۶۰ درصد ظرفیت زراعی (Field Capacity) به عنوان فاکتور اصلی و پنج منبع تغذیه گیاهی شامل کود زیستی میکوریزا (۲۰۰ گرم خاک تلقیح شده در هر متر طولی)، ورمی کمپوست (پنج تن در هکتار)، کود گاوی (۳۰ تن در هکتار) و کود شیمیایی (۱۵۰، ۱۰۰ و ۸۰ کیلوگرم در هکتار به ترتیب شامل نیتروژن، فسفر و پتاسیم) و شاهد به عنوان فاکتور نواری در نظر گرفته شدند.

قبل از انجام آزمایشات مزرعه‌ای، به منظور تعیین خصوصیات

ورمی کمپوست مورد استفاده بهتری در جدول‌های ۲ و ۳ نشان داده است.

گاوی و ورمی کمپوست همزمان با اجرای عملیات آماده‌سازی زمین، داخل کرت‌های مربوطه پخش و با لایه ۰-۳۰ سانتی‌متری خاک به‌طور کامل مخلوط شد. ویژگی‌های شیمیایی کودهای دامی و

جدول ۱- خصوصیات فیزیکی و شیمیایی خاک قبل از کاشت

Table 1- Chemical and physical characteristics of soil before planting

شن Sand (%)	سیلت Silt (%)	رس Clay (%)	پتانسیم قابل دسترس Available K (ppm)	فسفر قابل دسترس Available P (ppm)	نیتروژن کل Total N (%)	ماده آلی Organic matter (%)	هدایت الکتریکی EC (mmhos.cm <sup>-1</sup> )	اسیدیته pH
70.2	15.8	14	102	3.8	0.5	0.7	2	7.63

جدول ۲- خصوصیات شیمیایی کود دامی مورد استفاده

Table 2- Chemical criteria of used cow manure

ماده آلی Organic matter (%)	نیتروژن کل Total N (%)	فسفر P (%)	پتانسیم K (%)	اسیدیته pH	هدایت الکتریکی EC (dS.m <sup>-1</sup> )
6.1	0.15	0.39	0.22	6.60	9.30

جدول ۳- خصوصیات شیمیایی ورمی کمپوست مورد استفاده

Table 3- Chemical criteria of used vermicompost

هدایت الکتریکی EC (dS m <sup>-1</sup> )	پتانسیم Total N (%)	فسفر P (ppm)	نیتروژن کل K (ppm)
7.7	8.3	3.15	381.2
			2391

پخش بذر وسمه، شیار ایجاد شده با خاک به‌طور کامل پوشانیده شد. اندازه‌گیری ظرفیت زراعی بر مبنای روش ارائه شده توسط علیزاده (Alizadeh, 2011) انجام شد. بر این اساس، ابتدا در مزرعه کرتی با ابعاد ۲×۲ متر مربع تهیه و بعد از مسطح شدن به‌طور کامل از آب اشباع شد (لازم به ذکر است صبر شد تا آب به‌طور کامل به درون خاک نفوذ نماید). رطوبت در اعماق ۰-۳۰ و ۳۰-۶۰ سانتی‌متری خاک (به‌دلیل توسعه یافته و عمیق بودن سیستم ریشه‌ای وسمه) در زمان‌های مختلف اندازه‌گیری گردید. زمان نزدیک شدن دو اندازه‌گیری متولی به یکدیگر، این مقدار به عنوان ظرفیت زراعی در نظر گرفته شد. قابل به ذکر است که قبل از تعیین مقدار نهایی به عنوان ظرفیت زراعی، برای حصول اطمینان بیشتر نهاده نمونه‌برداری انجام شد که حدود ۲۴ ساعت به‌طول انجامید. برای جلوگیری از تبخیر سطحی، خاک با پلاستیک مشکی پوشانیده شد. بعد از اشباع، هر سه ساعت یکبار از اعمق مورد نظر نمونه‌برداری و هر دفعه نمونه‌ها از محل‌های مختلف برداشت گردید. برای گزارش عدد نهایی، میانگین درصد رطوبت در دو عمق مختلف ثبت شد. برای جلوگیری از نشت آب از کرت‌ها و همچنین یکسان و یکنواخت نگه داشتن حجم آب، کرت‌ها قبل از هر نوبت آبیاری به صورت روزانه

لازم به ذکر است محاسبه مقدار عناصر غذایی مورد نیاز گیاه وسمه بر اساس نتایج آنالیز خاک مزرعه مورد مطالعه و بر پایه توصیه کودی تحقیقات انجام شده (Sales et al., 2006) اعمال گردید. همچنین مقادیر محاسبه شده بر مبنای تجزیه خصوصیات شیمیایی و میزان عناصر غذایی کودهای گاوی و ورمی کمپوست معادل و به خاک اضافه گردید. بذرهای مورد استفاده به صورت دستی از منطقه شهرستان ریگان جمع‌آوری و تا قبل از شروع آزمایش در یخچال و محیط خشک نگهداری شدند.

ابعاد کرت‌های فرعی ۳×۵ متر بود. بذرها به صورت دستی روی شش ردیف با فاصله بین ردیف ۵۰ سانتی‌متر و فاصله روی ردیف ۱۰ سانتی‌متر (بر مبنای تراکم ۲۰ بونه در متر مربع) در ۱۵ فروردین ماه کشت شدند. بهمنظور جلوگیری از اختلال اثر تیمارها بین کرت‌ها و بلوک‌ها به‌ترتیب یک و دو متر فاصله به عنوان راهرو در نظر گرفته شد. انتهای کرت‌ها با خاکریزی مسدود شد. قابل به ذکر است برای تلقیح قارچ میکوریزا (*Glomus intraradices*) ابتدا یک شیار به عمق ۵ سانتی‌متر روی هر ردیف ایجاد و براساس دست‌العمل شرکت مربوطه (وابسته به جهاد کشاورزی استان همدان) بر روی هر متر طولی ۲۰۰ گرم خاک تلقیح شده با میکوریزا فرار داده و پس از

لوله‌های حاوی نمونه برگ اضافه و لوله‌ها در بن ماری به مدت ۱۰ دقیقه گذاشته شدند. سپس به سرعت در حمام آب بخ سرد و بهوسیله NaOH اسیدیته آن به ۱۱ رسانیده شد. سی ثانیه در لوله‌ها به حالت آزاد هوادهی شدند و تا رسیدن به دمای آزمایشگاه ۲۰-۲۵ درجه سانتی‌گراد نگه داشته شد. یک ساعت بعد از آن به‌hosیله اسید کلریدریک، اسیدیته نمونه به ۱-۲ رسانیده شد. بعد از ۳۰ دقیقه مطابق با نمودار استاندارد نمونه‌ها تهیه و بعد از پنج دقیقه سانتریفیوژ در دور ۵۰۰۰ هزار در دقیقه و در طول موج ۶۱۱ نانومتر قرائت شد. نمودار استاندارد به میزان هشت میلی‌گرم ایندیگو خالص در ۲۰ سی سی اسید سولفوریک و تا رسیدن به حجم ۵۰۰ آب مقطر اضافه شد و سپس از این محلول پایه غلظت‌های دیگر تهیه شدند. تجزیه و تحلیل داده‌ها با استفاده از نرم‌افزار SAS 9.1 انجام شد. جهت مقایسه میانگین‌ها از آزمون چند دامنه‌ای دانکن در سطح احتمال پنج درصد استفاده گردید. رسم نمودارها توسط نرم‌افزار MS Excel انجام شد.

## نتایج و بحث

### ارتفاع بوته و قطر تاج‌پوشش گیاهی

نتایج جدول تجزیه واریانس داده‌ها نشان داد که ارتفاع و سممه در هر دو چین تحت تأثیر سطوح آبیاری اختلاف معنی‌داری را نشان داد ( $p \leq 0.05$ ), در حالی که مقدار آبیاری تأثیر معنی‌داری بر قطر تاج‌پوشش گیاهی نداشت (جدول ۴). بیشترین ارتفاع و قطر تاج‌پوشش در چین اول مربوط به تیمار آبیاری بر اساس ۱۰۰ درصد ظرفیت زراعی بهترتبیب برابر با ۸۴ و ۲۵/۵ سانتی‌متر بود (جدول ۵). با کاهش میزان آب و کاهش مقدار آبیاری از ۱۰۰ به ۶۰٪ ظرفیت زراعی در چین دوم ارتفاع و قطر تاج‌پوشش بوته بهترتبیب ۶ و ۸ درصد کاهش یافت (جدول ۵). دمای بالای هوا (شکل ۱) و همچنین خاک سیک و فقیر از ماده آلی در منطقه مورد آزمایش (جدول ۱) از جمله عواملی هستند که نقش بسزایی بر محتوای آب خاک دارند. مقدار آب آبیاری می‌تواند نقش بسیار مهمی در تأمین رطوبت مورد نیاز و در نتیجه رشد و نمو گیاه و سممه ایفاء نماید. به طوری که نتایج نشان داد بالاترین صفات مورفو‌لوزیکی اعم از ارتفاع بوته و قطر تاج‌پوشش گیاهی برای سطح آبیاری بر اساس ۱۰۰ درصد ظرفیت زراعی به دست آمد. البته اختلاف معنی‌داری با سطح ۸۰ درصد ظرفیت زراعی نداشت (جدول ۵).

کاربرد منابع مختلف تغذیه‌ای روی صفات رویشی و سممه شامل ارتفاع بوته و قطر تاج‌پوشش و سممه تأثیر معنی‌داری نداشت (جدول ۴)، به طوری که در چین‌های اول و دوم بیشترین ارتفاع بوته بهترتبیب با ۸۶/۴ و ۱۰۳/۹ سانتی‌متر در شرایط کاربرد کود دامی حاصل شد. بیشترین قطر تاج‌پوشش گیاهی در این چین‌ها بهترتبیب با ۲۷ و ۳۷

توسط کارگر به دقت ترمیم شدند. اولین آبیاری بلافصله پس از کاشت و آبیاری‌های بعدی به فاصله هر هفت روز یکبار تا مرحله ۳-۴ برگی انجام شد. از این مرحله تا زمان رسیدگی فیزیولوژیک بوته‌های وسمه، اقدام به اعمال تیمارهای آبیاری بر مبنای ظرفیت زراعی خاک شد. مقدار وزن مخصوص ظاهری با استفاده از استوانه برابر با ۱/۵ گرم بر سانتی‌متر مکعب و میزان ظرفیت زراعی بر اساس رطوبت وزنی ۰/۲۰ درصد برآورد شد.

با تعیین جرم مخصوص ظاهری و درصد جرمی رطوبت خاک، ارتفاع آب در لایه توسعه ریشه با استفاده از معادله زیر محاسبه شد:

$$(1) d = (\Theta^m)(bp)(z)$$

در این معادله،  $bp$ : جرم مخصوص ظاهری خاک خشک بر حسب گرم بر سانتی‌متر مکعب،  $Z$ : عمق توسعه ریشه بر حسب متر،  $\Theta^m$ : نسبت جرمی رطوبت و  $d$ : ارتفاع آب موجود در عمق توسعه ریشه بر حسب متر ( $0/40$ ) می‌باشد.

بر این اساس، میزان آب برابر با ۱۰۰٪ ظرفیت زراعی با استفاده از معادله ۲-۳ محاسبه شد:

$$(2) d = (0/20) \times (0/4) \times (0/20) \times (0/4) = 0/12 \text{ متر}$$

میزان آب مورد استفاده در یک متر مربع مزرعه ۱۲/۰ متر مکعب و در یک هکتار ۱۲۰۰ متر مکعب آب محاسبه شد. با توجه به اینکه در طول فصل رشد گیاه ۲۴ بار آبیاری به شیوه قطره‌ای و با استفاده از کنتور حجمی انجام شد، همچنین میزان آب مورد استفاده در طول فصل رشد گیاه ۲۸۸۰۰ متر مکعب محاسبه گردید.

در طی دوره آزمایش تعدادی شته سیاه و مگس سفید مشاهده شد که بر مبنای بازدیدها مشخص گردید که با کفشدوزک هفت نقطه‌ای به صورت بیولوژیک کنترل شدند. لازم به ذکر است در طول دوره آزمایش از هیچ‌گونه سم شیمیایی استفاده نشد.

به منظور تعیین عملکرد اندامهای هوایی، بوته‌ها در چین‌های اول و دوم در زمان شروع گلدهی در نیمه اول مرداد و نیمه دوم شهر ماه برداشت شدند. بوته‌ها از سطح شش متر مربع با حذف اثر حاشیه‌ای با استفاده از داس از ارتفاع ۱۰ سانتی‌متری سطح خاک برداشت شدند. سپس بوته‌ها به مدت یک ماه در سایه و هوای آزاد بر سطح زمین پختش شدند و بعد از انتقال به آزمایشگاه، وزن خشک اندامهای هوایی به تفکیک برگ و ساقه با ترازوی با دقت یک صدم اندازه‌گیری شد. ضمن این که مقداری از برگ‌ها جهت تعیین درصد ایندیگوکارمین به آزمایشگاه ارسال شد.

محتوی ایندیگوکارمین در برگ‌ها بر مبنای روش‌های ارائه شده توسط استوکر و همکاران (Stoker et al., 1998) و سالس و همکاران (Sales et al., 2006) اندازه‌گیری و تعیین شد. برای این منظور، برگ‌ها توسط آسیاب به قطعات کوچک خرد و به میزان یک گرم توزین و در سانتریفیوژ قرار داده شد. ده سی سی آب مقطر به

نداد (۰/۰۵ p) (جدول ۴). با این وجود، در چین اول بیشترین تعداد شاخه جانبی در بوته در سطح آبیاری ۱۰۰٪ ظرفیت زراعی با ۵/۱ سانتی‌متر شاهد بهترتبیب با ۷۷/۲ و ۹۲ سانتی‌متر به دست آمد. کمترین قطر تاج پوشش گیاهی برای شاهد بهترتبیب با ۲۱/۸ و ۲۸/۷ سانتی‌متر ثبت گردید (جدول ۵). به نظر می‌رسد که علت افزایش ارتفاع بوته و قطر تاج پوشش تحت تأثیر مصرف کودهای آلی مربوط به تولید مواد تحریک‌کننده رشد، بهبود خواص فیزیکی و شیمیایی خاک و همچنین افزایش فعالیت میکرووارگانیسم‌های خاکزی (Arancon *et al.*, 2005) می‌باشد. همچنین احتمالاً کود دامی و ورمی کمپوست با افزایش ظرفیت نگهداری رطوبت در خاک مقایسه با سایر تیمارهای کودی و بهبود عدم مصرف کود برای رشد وسمه شده است. برخی مطالعات (Gutiérrez-Miceli *et al.*, 2008) نیز به نقش مثبت کودهای آلی در بهبود پتانسیل ذخیره آب در خاک اشاره کرده‌اند.

همکاران (Koocheki *et al.*, 2007) گزارش کردند که با افزایش فواصل آبیاری تعداد شاخه جانبی در دو گونه دارویی اسفرزه<sup>۱</sup> و Aminghafouri، پسیلیوم<sup>۲</sup> روند کاهشی داشت. امین غفوری (Amin Ghafari, 2014) نشان داد که افزایش حجم آبیاری از ۱۰۰۰ به ۳۰۰۰ متر مکعب در هکتار موجب بهبود ۲۲ درصدی تعداد شاخه جانبی کاکوتی<sup>۳</sup> کاکوتی<sup>۳</sup> چندساله گردید.

نوع منبع تغذیه‌ای تأثیر معنی‌داری بر تعداد شاخه جانبی وسمه در هیچ‌کدام از چین‌های آزمایش نداشت (جدول ۴)، با این وجود، بیشترین تعداد شاخه جانبی در چین‌های اول و دوم مربوط به کود دامی (بهترتبیب با ۵/۰ و ۱۰/۰٪ شاخه جانبی در بوته) و کمترین آن مربوط به شاهد (بهترتبیب با ۳/۵ و ۸/۶٪ شاخه جانبی در بوته) بود (جدول ۵).

اگرچه کودهای مختلف با فراهمی و دسترسی عناصر غذایی موجب بهبود رشد می‌شوند، ولی به نظر می‌رسد که تعداد شاخه جانبی در بوته صفتی ژنتیکی است که کمتر تحت تأثیر مدیریت زراعی قرار می‌گیرد. با این وجود، با توجه به وجود عناصر غذایی در کودهای آلی و تأثیری که این کودها در فراهمی و جذب عناصر غذایی و بهبود محتوی رطوبتی خاک دارند (Lee, 2010)، افزایش تعداد شاخه‌های جانبی در شرایط استفاده از این کودها منطقی به نظر می‌رسد. یزدانی بیوکی و همکاران (Yazdani Biuki *et al.*, 2010) نیز در گیاه دارویی ماریتیغال روند مشخصی را در رابطه با تعداد شاخه جانبی با کاربرد کودهای آلی مشاهده نکردند.

تعداد شاخه جانبی در چین دوم نسبت به چین اول ۱۰۰ درصد بالاتر بود (جدول ۶). به نظر می‌رسد که برداشت گیاه در چین اول از

سانتی‌متر مربوط به کود دامی بود. کمترین ارتفاع بوته در چین‌های اول و دوم برای شاهد بهترتبیب با ۷۷/۲ و ۹۲ سانتی‌متر به دست آمد. کمترین قطر تاج پوشش گیاهی برای شاهد بهترتبیب با ۲۱/۸ و ۲۸/۷ سانتی‌متر ثبت گردید (جدول ۵). به نظر می‌رسد که علت افزایش ارتفاع بوته و قطر تاج پوشش تحت تأثیر مصرف کودهای آلی مربوط به تولید مواد تحریک‌کننده رشد، بهبود خواص فیزیکی و شیمیایی خاک و همچنین افزایش فعالیت میکرووارگانیسم‌های خاکزی (Shabahang *et al.*, 2013) باعث ایجاد شرایط مناسب‌تری در مقایسه با سایر تیمارهای کودی و بهبود عدم مصرف کود برای رشد وسمه شده است. برخی مطالعات (Tabrizi, 2005) نیز نقش مثبت کودهای آلی در بهبود پتانسیل ذخیره آب در خاک اشاره کرده‌اند.

از طرفی، با توجه به اینکه کودهای آلی و بهبودهای کود دامی از نظر آزادسازی عناصر غذایی در کوتاه‌مدت نسبت به کودهای شیمیایی به طور نسبی تدریجی تر عمل می‌کنند (Koocheki *et al.*, 2004) لذا بالاتر بودن ارتفاع و قطر بوته در چین دوم نسبت به چین اول (بهترتبیب برابر با ۲۱ و ۵۵ درصد) (جدول ۶)، منطقی به نظر می‌رسد. تبریزی (Yazdani Biuki *et al.*, 2010) نیز اظهار داشت که کود دامی تأثیر معنی‌داری بر ارتفاع بوته اسفرزه نداشت. یزدانی بیوکی و همکاران (Cichorium pumilum Jacq.) نیز نشان دادند که اثر کمپوست بر ارتفاع بوته و تعداد شاخه جانبی ماریتیغال معنی‌دار نبود.

در پژوهشی، گزارش شد که مصرف کود دامی دارای بیشترین تأثیر بر ارتفاع گیاه دارویی آویشن بود و علت این امر به محتوی نیتروژن بالای این کود نسبت داده شد (Hendawy *et al.*, 2010). روی کاسنی پاکوتاه نتایج مطالعه بالندری (Balandari, 2011) نیز نشان داد که افزایش کود دامی تأثیر معنی‌داری بر ارتفاع و قطر بوته این گیاه دارویی نداشت. با توجه به سیک بودن بافت خاک و فقر آن از نظر ماده آلی (جدول ۱)، به نظر می‌رسد که علاوه بر کاهش محتوی رطوبتی خاک، وجود شرایط آب و هوایی نسبتاً گرم در منطقه بهم (شکل ۱) شرایط را برای تأثیر بیشتر قارچ‌های میکوریزا به واسطه برقراری رابطه همزیستی نامناسب نموده است. با این وجود، همزیستی با قارچ میکوریزا در مقایسه با شاهد موجب افزایش پنج و کمتر از یک درصدی ارتفاع بوته بهترتبیب طی چین‌های اول و دوم شد (جدول ۵).

### تعداد شاخه جانبی

نتایج جدول تجزیه واریانس داده‌ها نشان داد که تعداد شاخه جانبی وسمه تحت تأثیر سطوح آبیاری اختلاف معنی‌داری را نشان

1- *Plantago ovata*

2- *Plantago psyllium*

3- *Zizophora clinopodioides*

جدول ۴- نتایج تجزیه واریانس (میانگین مربعات) اثر سطوح ابیاری و منع تغذیه‌ای بر خصوصیات مرغوزیکی، عملکرد کمی و کیفی گیاه و سمه طی دو بیان

Table 4- Variance analysis (mean of squares) for the effects of drought stress levels and nutrient resources on morphological criteria and quantitative and qualitative yield of indigo at two cuttings

جهنگ اول									
جهنگ دوم									
The first cutting									
متغیرها	درجه آزادی d.f.	ارتفاع بوته Plant height	قطر کاپویی Canopy diameter	تعداد شاخه جانبی Number of branch	وزن خشک برگ Dry weight of leaf	وزن خشک ساقه Dry weight of dry shoots	عملکرد کل اندام‌های هر گیاه Total yield of shoots	محصول ایندیگو کارمند Indocarmine content	عملکرد ایندیگو کارمند Indocarmine yield
Replication	2	303.83 ns	18.15 ns	2.42 ns	639.26**	1686.00**	84986.66 ns	227706.10 ns	0.00002 ns
Irrigation level	2	146.90**	15.08 ns	6.03 ns	12319.55**	84862.22**	238160.00**	828026.34**	0.0012 ns
Error	4	29.11	13.62	21.99	1528.29	53355.55	38826.66	138133.30	0.00002
Nutrient resources	4	105.65 ns	76.74 ns	4.04 ns	312.28 ns	21177.77 ns	26520.00 ns	86902.02 ns	0.001 ns
Error	8	19.76	19.76	1.71	1498.56	1498.56	18153.78	49828.88	0.0003
منع تغذیه	8	44.44 ns	45.97 ns	3.49 ns	929.01 ns	8717.77 ns	32826.12 ns	93184.79 ns	0.0007 ns
Nutrient resources × irrigation level	16	19.45	22.99	3.53	661.19	14044.44	27935.45	96055.55	0.0003
Error	-	5.34	15.39	10.94	4.05	6.20	7.49	5.98	10.11
CV (%)									3.97
The second cutting									
متغیرها	درجه آزادی d.f.	ارتفاع بوته Plant height	قطر کاپویی Canopy diameter	تعداد شاخه جانبی Number of branch	وزن خشک برگ Dry weight of leaf	وزن خشک ساقه Dry weight of dry shoots	عملکرد کل اندام‌های هر گیاه Total yield of shoots	محصول ایندیگو کارمند Indocarmine content	عملکرد ایندیگو کارمند Indocarmine yield
Replication	2	310.46 ns	124.08 ns	2.42 ns	11618.45 ns	127191.00 ns	799364.88 ns	127191.89 ns	0.0002 ns
Irrigation level	2	124.67**	56.02 ns	6.78 ns	12254.11**	255632.11**	313203.67*	235632.11**	0.010 ns
Error	4	415.13	4.75	21.91	1499.55	28084.33	164359.23	28084.01	0.0001
Nutrient resources	4	174.88 ns	120.38 ns	4.02 ns	1481.75 ns	72297.40**	291049.42 ns	75297.90 ns	0.0013 ns
Error	8	151.10	12.42	1.77	11987.23	194444.48	144199.82	19446.88	0.0001
منع تغذیه	8	236.35 ns	12.65 ns	3.60 ns	3605.52 ns	69244.77 ns	258690.60 ns	69244.02 ns	0.0011 ns
Nutrient resources × irrigation level	16	257.52	40.29	3.68	2985.20	30444.41	106168.89	30441.42	0.0002
Error	-	7.10	8.92	11.23	2.06	4.54	9.65	13.19	6.12
CV (%)									

طریق تحریک رشد (Yazdani et al., 2015)، تولید شاخه‌های

جانبی را افزایش داده است.

\* and \*\* represent significant at 5% level, Significant at 1% level and non significant, respectively.  
ns: not significant.  
\*: significant at 5% level.  
\*\*: significant at 1% level.

جدول ۵- مقایسه میانگین اثر ساده منبع تغذیه‌ای و مقدار آبیاری بر خصوصیات مرغوب‌زی و عدمکرده کمی و بیکفی گیاه وسنده طی دو چین

Table 5- Mean comparison for the effects of nutrient resources and drought stress level on morphological criteria and quantitative and qualitative yield of indigo at two cuttings

تیمار Treatment	ارتفاع چوبه Plant height (cm)	قطر کاپوئی Canopy diameter (cm)	تعداد شاخه جانبی در بوته Number of branch per plant	The first cutting		وزن خشک کل اندام‌های هواخورد Dry weight of shoots (g m <sup>-2</sup> )	وزن خشک ساقه Dry weight of shoots (g m <sup>-2</sup> )	محتوی ایندیگوکارمن Indigocarmine content (%)
				تعداد برگ در بوته	تعداد برگ در برگ			
آبیاری محدود (%)FC	100 80 60	84.03 <sup>a</sup> 83.80 <sup>a</sup> 75.50 <sup>b</sup>	25.46 <sup>a</sup> 24.33 <sup>a</sup> 20.46 <sup>a</sup>	4.50 <sup>a</sup> 3.80 <sup>a</sup>	164.83 <sup>a</sup> 144.93 <sup>ab</sup> 108.33 <sup>b</sup>	874.67 <sup>a</sup> 654.78 <sup>ab</sup> 530.24 <sup>b</sup>	1589.30 <sup>a</sup> 1334.70 <sup>ab</sup> 1120.00 <sup>b</sup>	0.61 <sup>a</sup> 0.62 <sup>a</sup> 0.63 <sup>a</sup>
NPK	82.61 <sup>a</sup>	25.88 <sup>a</sup>	4.83 <sup>a</sup>	139.11 <sup>a</sup>	639.33 <sup>a</sup>	1340.00 <sup>a</sup>	0.61 <sup>a</sup>	
دامی	86.38 <sup>a</sup>	27.00 <sup>a</sup>	5.00 <sup>a</sup>	148.22 <sup>a</sup>	720.00	1471.11 <sup>a</sup>	0.64 <sup>a</sup>	
Cow manure	83.66 <sup>a</sup>	26.00 <sup>a</sup>	4.94 <sup>a</sup>	141.17 <sup>a</sup>	635.21 <sup>a</sup>	1413.30 <sup>a</sup>	0.62 <sup>a</sup>	
کمپوست	80.66 <sup>a</sup>	21.17 <sup>a</sup>	4.00 <sup>a</sup>	135.39 <sup>a</sup>	633.60 <sup>a</sup>	1295.60 <sup>a</sup>	0.61 <sup>a</sup>	
Vermicompost	77.22 <sup>a</sup>	29.68 <sup>a</sup>	3.50 <sup>a</sup>	132.94 <sup>a</sup>	580.08 <sup>a</sup>	1220.00 <sup>a</sup>	0.61 <sup>a</sup>	
Mycorrhiza								
شاده								
Control								
<hr/>								
تیمار Treatment	ارتفاع چوبه Plant height (cm)	قطر کاپوئی Canopy diameter (cm)	تعداد شاخه جانبی در بوته Number of branch per plant	The second cutting		وزن خشک کل اندام‌های هواخورد Dry weight of shoots (g m <sup>-2</sup> )	وزن خشک ساقه Dry weight of shoots (g m <sup>-2</sup> )	محتوی ایندیگوکارمن Indigocarmine content (%)
				تعداد برگ در بوته	تعداد برگ در برگ			
آبیاری محدود (%)FC	100 80 60	101.15 <sup>a</sup> 97.33 <sup>a</sup> 95.50 <sup>b</sup>	35.46 <sup>a</sup> 34.50 <sup>a</sup> 29.73 <sup>b</sup>	10.06 <sup>a</sup> 9.50 <sup>a</sup> 8.80 <sup>a</sup>	171.90 <sup>a</sup> 133.23 <sup>b</sup> 116.79 <sup>b</sup>	1019.12 <sup>a</sup> 845.20 <sup>b</sup> 731.54 <sup>b</sup>	1829.30 <sup>a</sup> 1489.90 <sup>ab</sup> 1299.91 <sup>b</sup>	0.59 <sup>b</sup> 0.59 <sup>b</sup> 0.64 <sup>a</sup>
NPK	98.98 <sup>a</sup>	35.11 <sup>a</sup>	9.83 <sup>a</sup>	145.32 <sup>a</sup>	867.03 <sup>a</sup>	1520.40 <sup>a</sup>	0.61 <sup>a</sup>	
دامی	103.88 <sup>a</sup>	37.66 <sup>a</sup>	10.00 <sup>a</sup>	154.18 <sup>a</sup>	1151.10 <sup>a</sup>	1924.10 <sup>a</sup>	0.62 <sup>a</sup>	
Cow manure	100.76 <sup>a</sup>	36.33	9.94 <sup>a</sup>	147.00 <sup>a</sup>	869.60 <sup>a</sup>	1611.30 <sup>a</sup>	0.61 <sup>a</sup>	
کمپوست	92.46 <sup>a</sup>	31.45 <sup>a</sup>	9.00 <sup>a</sup>	138.47 <sup>a</sup>	770.87 <sup>a</sup>	1427.70 <sup>a</sup>	0.60 <sup>a</sup>	
Vermicompost	92.01 <sup>a</sup>	28.78 <sup>a</sup>	8.50 <sup>a</sup>	119.87 <sup>a</sup>	670.07 <sup>a</sup>	1207.60 <sup>a</sup>	0.60 <sup>a</sup>	
Mycorrhiza								
شاده								
Control								

\* Means in each column and for each trait, with at least one similar letter are not significant different based on Duncan's test ( $p \leq 0.05$ ).

\*\* میانگین‌های دارای حرف مشترک در هر سوتون و برای هر دو چین میانگین‌های متناظر باشند.

**تعداد برگ در بوته:** تعداد برگ در بوته از جمله شاخص‌های مهم نشان‌دهنده وضعیت رشد و نمو در گیاه است. افزایش یا کاهش تعداد برگ به طور مستقیم بر میزان فتوستنت و تولید گیاه تأثیر می‌گذارد. همان‌گونه که در جدول ۴ مشاهده می‌شود، انر مقدار آبیاری در هر دو چین بر تعداد برگ در بوته وسمه معنی‌دار بود ( $p \leq 0.01$ ). به طوری که شرایط بدون تنش (۱۰۰٪ ظرفیت زراعی) در چین اول با ۱۶۴/۸ برگ در بوته بالاترین تعداد برگ را تولید نمود که افزایش ۱۴/۵٪ درصدی در مقایسه با کاهش مقدار آبیاری به ترتیب در شرایط و ۸۰٪ درصد ظرفیت زراعی محاسبه گردید. همچنین در چین دوم و کاهش مقدار آبیاری در ۸۰٪ ظرفیت زراعی تعداد برگ در بوته ۲۱ درصد نسبت به کاهش مقدار آبیاری بر اساس ۰/۶٪ ظرفیت زراعی درصد نسبت به کاهش مقدار آبیاری (جدول ۵). از آنجا که کاهش محتوی رطوبتی خاک افزایش یافت (جدول ۵). نتایج سایر مطالعات نیز نشان داده است که در گیاهان دارویی دیگر، بروز تنفس خشکی سبب کاهش شاخص‌های رشدی از جمله تعداد برگ می‌شود.

این مطلب در گیاهان دارویی نظیر بادرنجبویه<sup>۱</sup> (*Aliabadi Thymus vulgaris* Farahani et al., 2009) و آویشن<sup>۲</sup> (Farahani et al., 2009) به اثبات رسیده است.

اگرچه اثر منابع مختلف تغذیه‌ای بر تعداد برگ در بوته معنی‌دار نبود ( $p \geq 0.05$ ) (جدول ۴)، با این حال، مصرف کودهای آلی و شیمیایی منجر به افزایش تعداد برگ در بوته در مقایسه با شاهد شد. بیشترین تعداد برگ در بوته در چین‌های اول (۱۴۸/۲٪ برگ در بوته) و دوم (۱۵۴/۲٪ برگ در بوته) در شرایط مصرف کود دامی مشاهده شد (جدول ۵). بهنظر می‌رسد که کاربرد کودهای آلی از طریق تحریک فعالیت‌های میکروبی خاک (Pramod et al., 2010)، افزایش ظرفیت نگهداری آب و تأثیر بر فراهمی و جذب بیشتر عناصر غذایی (Atiyeh et al., 2008)، سبب افزایش فتوستنت (Mao et al., 2008) (Atiyeh et al., 2008) شدند که این مسئله در نهایت، به واسطه بهبود شرایط رشدی بوته‌ها به افزایش تعداد برگ منجر شد. لیوک و پانک (Liuc and Pank, 2005) گزارش کردند که کاربرد ورمی کمپوست در گیاه بابونه رومی<sup>۳</sup> باعث افزایش شاخص‌های مرفوولوژیک از جمله تعداد برگ و گل در بوته گردید. تعداد برگ در بوته با مصرف کودهای

جدول ۶- مقایسه میانگین انر نوت چین بر صفات مرفوولوژیکی، عملکرد کمی و کیفی گیاه وسمه

Table 6- Mean comparison for the effect of cutting time on morphological criteria and quantitative and qualitative yield of indigo

نوت چین Cutting time	قطر کانونی Canopy diameter (cm)	ارتفاع بوته Plant height (cm)	تعداد شاخه Number of branch	تعداد برگ در جاذبه Number of leaf	وزن خشک برگ Dry weight of leaf (g m <sup>-2</sup> )	وزن خشک ساقه Dry weight of shoots (g m <sup>-2</sup> )	وزن خشک کل اندام‌های Dry yield of above ground matter (g m <sup>-2</sup> )	محتوی Indigocarmine content (%)	عملکرد Indigocarmine yield (g m <sup>-2</sup> )
اول First	81.87 <sup>b</sup>	21.83 <sup>b</sup>	7.38 <sup>a</sup>	139.34 <sup>b</sup>	678.44 <sup>b</sup>	577.54 <sup>b</sup>	1347.75 <sup>b</sup>	0.61 <sup>a</sup>	4.19 <sup>b</sup>
ثانی Second	98.72 <sup>a</sup>	33.88 <sup>a</sup>	16.38 <sup>b</sup>	294.31 <sup>a</sup>	771.37 <sup>a</sup>	866.85 <sup>a</sup>	1390.87 <sup>a</sup>	0.60 <sup>a</sup>	4.85 <sup>a</sup>

\* میانگین‌های دارای حداقل یک حرف مشترک در هر سطر، دارای تفاوت معنی‌داری بین میانگین‌های نمی‌باشند ( $p \leq 0.05$ ).

1- *Melissa officinalis* L.

2- *Thymus vulgaris*

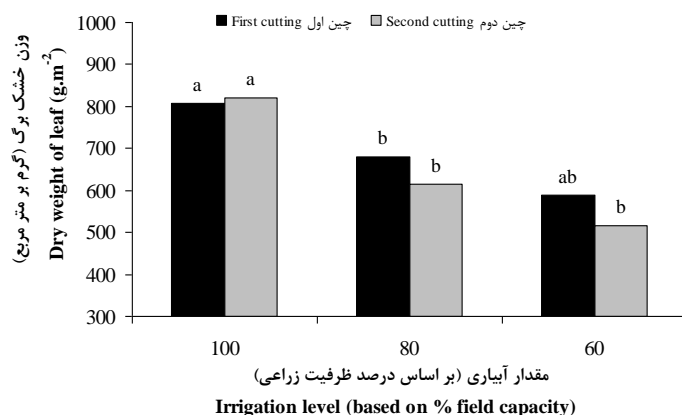
3- *Chamaemelum nobile*

خشک برگ با کاهش مقدار آبیاری از ۱۰۰ به ۶۰ درصد ظرفیت زراعی ۲۷ درصد کاهش یافت. میزان این کاهش برای چین دوم برابر با ۳۷ درصد تعیین گردید (شکل ۲). میزان کاهش وزن خشک ساقه تحت تأثیر افت محتوی آبیاری از ۱۰۰ به ۶۰ درصد ظرفیت زراعی خاک در چین‌های اول و دوم به ترتیب برابر با ۳۲ و ۲۸ درصد محاسبه شد. هرچند بین تیمارهای ۸۰ و ۱۰۰٪ محتوی رطوبتی بر اساس ظرفیت زراعی خاک از نظر وزن خشک برگ و ساقه اختلاف معنی‌داری مشاهده نشد، البته افزایش مقدار آبیاری به ۱۰۰ درصد ظرفیت زراعی خاک به دلیل رشد بیشتر، عملکرد بالاتر وزن خشک برگ و ساقه را موجب گردید (جدول ۵). به طور کلی، اگرچه کشاورزان محلی در منطقه بم تأکید دارند که وسمه از نظر نیاز آبی گیاهی خشکی‌پسند بوده و نیاز آبی آن پایین است، ولی نتایج این مطالعه نشان داد که این گیاه احتمالاً به دلیل سطح بالای اندام‌های رویشی به ویژه برگ‌های نسبتاً زیاد، پتانسیل بالایی در تعرق داشته که این امر موجب افزایش نیاز آبی آن می‌گردد. به طوری که کاهش حجم آبیاری بر اساس ظرفیت زراعی خاک، افت عملکرد اندام‌های هوایی را به دنبال داشت.

شیمیابی در مقایسه با کودهای دامی و ورمی کمپوست، به طور میانگین در رتبه سوم قرار گرفتند (جدول ۵). این در حالی است که کاربرد نیتروژن به فرم شیمیابی می‌تواند از طریق تحریک رشد رویشی موجب افزایش تعداد و سطح برگ گردد. به نظر می‌رسد که محدودیت رطوبت و آبشویی نیتروژن به دلیل بافت سبک و شنی منطقه موجب کاهش تأثیرگذاری کود شیمیابی شده است و بر اساس قانون لیبیگ، وجود عامل محدودکننده رطوبت موجب تشید این امر شده که در نتیجه تأثیر رطوبت و تیمارهای مؤثر بر فراهمی رطوبت همچون تیمار کود گاوی در نتایج به دست آمده بسیار مهمتر از تأثیر کود شیمیابی بروز نموده است.

برداشت گیاه در چین اول احتمالاً به دلیل تحریک رشد شاخه‌های جانبی افزایش تعداد برگ در چین دوم را بیش از ۱۰۰ درصد موجب گردید (جدول ۶). این نتایج با مطالعه یزدانی و همکاران (Yazdani *et al.*, 2015) بر عملکرد یونجه همدانی<sup>۱</sup> تحت تأثیر نوبت چین مطابقت دارد.

**وزن خشک برگ و ساقه:** همانگونه که در جدول ۴ نشان داده شده است، وزن خشک برگ و ساقه وسمه به طور معنی‌داری تحت تأثیر سطوح آبیاری قرار گرفتند ( $p \leq 0.05$ ). در چین اول، وزن



شکل ۲- مقایسه میانگین اثر مقدار آبیاری بر وزن خشک برگ وسمه طی دو چین

Figure 2- Mean comparisons for the effect of irrigation levels on dry weight of leaf of indigo at two cuttings

میانگین‌های دارای حروف مشترک، تفاوت معنی‌داری بر اساس آزمون چنددامنه‌ای دانکن ندارند ( $p \leq 0.05$ ).

\* Means with the same letter(s) have not significantly difference based on Duncan's test ( $p \leq 0.05$ ).

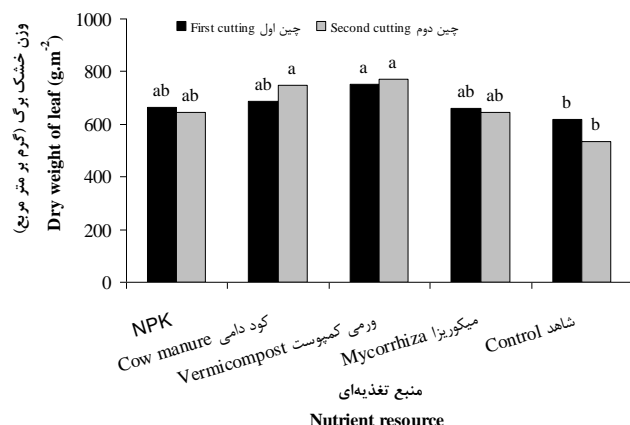
ورمی کمپوست به ترتیب با ۷۵۱/۱۱ و ۷۶۹/۲۴ گرم در متر مربع به دست آمد (شکل ۳). بیشترین وزن خشک ساقه در چین‌های اول و دوم برای مصرف کود دامی به ترتیب با ۷۲۰/۰ و ۱۱۵۱/۱ گرم در متر مربع مشاهده شد کمترین وزن خشک برگ و ساقه به شاهد در چین اول به ترتیب با ۵۸۰/۱ و ۵۶۶۲/۲۲ گرم در متر مربع و در چین دوم با ۵۳۶/۲۱ گرم در متر مربع اختصاص داشت (جدول ۵). به نظر می‌رسد که استفاده از کودهای آلی همچون دامی و

همانگونه که در جدول ۴ ملاحظه می‌شود، وزن خشک برگ وسمه تنها در چین دوم آزمایش تحت تأثیر معنی‌دار منابع مختلف تغذیه‌ای قرار گرفت ( $p \leq 0.01$ )، اما وزن خشک ساقه در هیچ‌کدام از چین‌ها تحت تأثیر معنی‌دار تیمارهای کودی واقع نشد (جدول ۴). بیشترین وزن خشک برگ در چین اول و دوم در شرایط کاربرد

1- *Medicago sativa* L.

عناصر غذایی بوده (جدول‌های ۲ و ۳) که می‌توانند به مرور زمان در اختیار گیاه قرار دهند و این امر بهویژه در مناطق خشک و نیمه‌خشک همچون بم که خاک‌ها از ماده آلی و حاصلخیزی کمتری برخوردار هستند (جدول ۱)، به طور ویژه‌ای اهمیت دارد.

ورمی کمپوست با بهبود ساختمان خاک و کاهش جرم مخصوصاً ظاهری ضمن افزایش نفوذپذیری خاک، میزان هوموس و ظرفیت بافری خاک و فعالیت برخی آنزیم‌ها (Atiyeh, 2001) را بهبود داده که در نتیجه سبب تشدید جمعیت و فعالیت میکروبی خاک گردیده است. علاوه بر این، کودهای آلی دارای میزان زیادی ماده آلی و



شکل ۳- مقایسه میانگین اثر تیمارهای کودی بر وزن خشک برگ وسمه طی دو چین

Figure 3- Mean comparisons for the effect of manure types on dry weight of leaf of indigo at two cuttings

میانگین‌های دارای حروف مشترک، تفاوت معنی داری بر اساس آزمون چندامنه‌ای دانکن ندارند ( $p \leq 0.05$ ).

\* Means with the same letter(s) have not significantly difference based on Duncan's test ( $p \leq 0.05$ ).

زراعی با  $1589/3$  گرم در متر مربع به دست آمد که نسبت به  $60\%$  ظرفیت زراعی برابر با  $30$  درصد افزایش نشان داد. در چین دوم با افزایش مقدار آبیاری از  $60$  به  $100$ ٪ ظرفیت زراعی خاک عملکرد کل اندام‌های هوایی  $29$  درصد افزایش یافت (جدول ۵) که این افزایش می‌تواند ناشی از افزایش تعداد برگ در بوته (جدول ۵) و وزن خشک برگ و ساقه (جدول ۵ و شکل ۳) باشد. افزایش میزان رطوبت خاک احتمالاً از طریق افزایش آماس سلولی و به تبع آن بهبود توسعه سلولی موجب بهبود شاخص‌های فیزیولوژیکی رشد و افزایش میزان تجمع ماده خشک اندام‌های رویشی، در نهایت، عملکرد کل اندام هوایی گردید. کوچکی و همکاران (Koocheki et al., 2013) با بررسی اثر فاصله آبیاری بر رشد و عملکرد مرزنجوش اظهار داشتند که با افزایش فاصله آبیاری و اعمال تنفس رطوبتی، رشد و عملکرد بیولوژیکی این گیاه دارویی به طور معنی داری کاهش یافت.

همچنین عملکرد کل اندام‌های هوایی در چین دوم در مقایسه با چین اول  $3$  درصد بالاتر بود (جدول ۶). چین به نظر رسید که بعد از برداشت بوته‌ها در چین اول، رشد شاخه‌های جانی تحریک شده و در نتیجه تولید جوانه‌های جدید از محل طوفه افزایش یافته که این امر باعث رشد بهتر و در نتیجه عملکرد بالاتر اندام‌های هوایی در چین دوم در مقایسه با چین اول شده است. در همین رابطه زمانیان

از طرفی، مقایسه وزن خشک برگ و ساقه وسمه در چین‌های مختلف مشخص نمود که مقادیر این صفات در چین دوم به ترتیب با  $14$  و  $50$  درصد بالاتر از چین اول بود (جدول ۶). بالاتر بودن این خصوصیات را می‌توان به این موضوع نسبت داد که کودهای آلی احتمالاً از طریق آزادسازی تدریجی عناصر غذایی مورد نیاز، موجب تحریک رشد گیاه شده‌اند. از سوی دیگر، این نهادهای آلی علاوه بر عناصر پر مصرف به مقدار کمتر دارای عناصر کم مصرف نیز بوده که در درازمدت ویژگی‌های فیزیکی، شیمیایی و بیولوژیکی خاک را به سمت تعادل پیش خواهند برد. در همین راستا، شباهنگ و همکاران (Shabahang et al., 2013) نیز بهبود  $58$  درصدی وزن خشک اندام‌های هوایی زوفا<sup>۱</sup> را در چین اول در مقایسه با چین دوم گزارش نمودند.

**عملکرد کل اندام‌های هوایی:** اعمال سطوح مختلف آبیاری بر عملکرد کل اندام‌های هوایی وسمه در هر دو چین آزمایش تأثیر معنی داری داشت ( $p \leq 0.01$ ) (جدول ۶). به طوری که مقایسه میانگین سطوح مختلف آبیاری در چین اول نشان داد که بیشترین عملکرد کل اندام‌های هوایی مربوط به سطح  $100$  درصد آبیاری بر اساس ظرفیت

در دسترس گیاه است گیاه کرین را ترجیحاً برای رشد اندام‌های رویشی اختصاص می‌دهد، ولی با کاهش آب، میزان دسترسی به عناصر غذایی کمتر شده و رشد گیاه بیش از فتوستز محدود می‌شود و در نتیجه به منظور بقاء بخش بیشتری از مواد فتوستزی به تولید متabolیت‌های ثانویه و انسان‌ها اختصاص می‌یابد. بروز تنفس موجب تخصیص بیشتر کرین تثیت‌شده برای تولید متabolیت‌های ثانویه می‌گردد (Vessey, 2003). دی ابریو و مازافرا (De-Abreu and Mazzafera, 2005) گزارش کردند که تنفس آب موجب افزایش تولید متabolیت‌های ثانویه فنلی در گیاه دارویی گل راعی<sup>۳</sup> گردید. کاربرد کود دامی در چین‌های اول و دوم به ترتیب با ۰/۶۴ و ۰/۶۲ درصد بیشترین محتوی ایندیگوکارمین را به خود اختصاص داد (جدول ۵).

محتوی ایندیگوکارمین طی چین اول ۱۶ درصد بالاتر از چین دوم محاسبه گردید. از آنجا که مهم‌ترین عوامل محیطی مؤثر بر رشد وسمه و محتوی ایندیگو دمای بالا، شدت نور و بارندگی ناکافی می‌باشد (Sales *et al.*, 2006).

امر و همکاران (Omer *et al.*, 1998) نشان داد که استفاده از کودهای آلی هیچ تأثیری بر درصد روغن در میوه‌ها و میزان سیلیمارین ماریتیفال نداشت.

**عملکرد ایندیگوکارمین:** عملکرد ایندیگوکارمین برگ و سمه در هر دو چین تحت تأثیر معنی دار مقدار آبیاری قرار گرفت ( $p \leq 0/01$ ) (جدول ۴). مقایسه میانگین اثر مقدار آبیاری بر عملکرد ایندیگوکارمین نشان داد که بیشترین عملکرد ایندیگوکارمین در چین‌های اول و دوم به ترتیب برای سطح آبیاری ۱۰۰٪ بر اساس ظرفیت زراعی خاک به ترتیب با ۴/۹۷ و ۳/۷۴ گرم در متر مربع حاصل شد که با سطوح ۸۰ و ۸۰٪ ظرفیت زراعی در چین اول (به ترتیب با ۱۳ و ۲۶ درصد کاهش نسبت به سطح آبیاری ۱۰۰٪ بر اساس ظرفیت زراعی خاک) و در چین دوم (به ترتیب با ۱۰ و ۱۵ درصد کاهش نسبت به سطح آبیاری ۱۰۰٪ بر اساس ظرفیت زراعی خاک) از نظر آماری تفاوت معنی داری داشت (شکل ۴). این کاهش می‌تواند احتمالاً به دلیل تجمع املاح نمک تحت تأثیر کاهش محتوی رطوبتی خاک باشد که سبب اختلال در جذب و انتقال عناصر غذایی به اندام‌های هوایی و در نهایت، کاهش سنتز ماده مؤثره در گیاه می‌شود (De-Abreu *et al.*, 2005). همچنین با در نظر گرفتن اینکه عملکرد ایندیگوکارمین از حاصل ضرب وزن خشک برگ در درصد ایندیگوکارمین حاصل می‌شود، می‌توان دریافت که علت اصلی بالا بودن عملکرد ایندیگوکارمین در سطح ۱۰۰٪ آبیاری بر اساس ظرفیت زراعی خاک، مربوط به بالاتر بودن تعداد برگ در بوته (جدول ۵) و وزن خشک برگ (شکل ۲) می‌باشد.

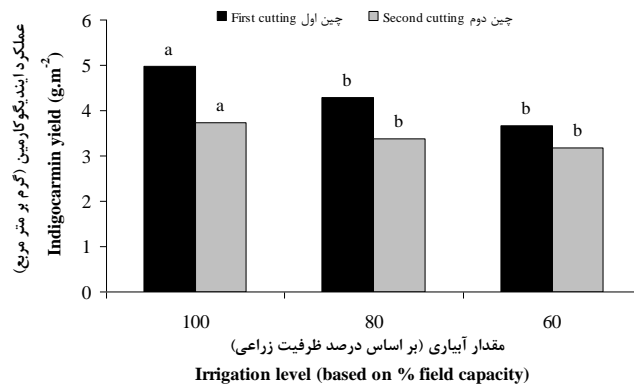
(Zamanyan, 2009) با مطالعه بر روی عملکرد ارقام مختلف شبدر قرمز<sup>۱</sup> به نتایج مشابهی دست یافت.

همانگونه که در جدول ۴ ملاحظه می‌شود، عملکرد کل اندام‌هوایی و سمه تحت تأثیر معنی دار منابع مختلف تغذیه‌ای قرار نگرفت. با این وجود، بیشترین عملکرد کل اندام‌های هوایی در چین‌های اول و دوم مربوط به کود دامی به ترتیب با ۱۴۷/۱ و ۱۹۲/۴ گرم در متر مربع بود. کمترین مقدار این صفت در شاهد برای چین‌های اول و دوم به ترتیب با ۱۲۰/۰ و ۱۲۰/۷ گرم در متر مربع بدست آمد (جدول ۵). وزن خشک کل اندام‌های هوایی گیاهان عمدتاً به عنوان یکی از نشانگرهای مهم وضعیت رشدی، مدنظر محققین قرار می‌گیرد. مصرف کودهای گاوی و ورمی کمپوست علاوه بر تأمین نسبی عناصر غذایی (Liuc and Pank, 2005)، می‌تواند منجر به افزایش ماده آلی و بهبود قابلیت نگهداری آب در خاک گردد که اهمیت این موضوع در منطقه بم به دلیل داشتن بافت سبک و دمای بالا دوچندان است و هر عاملی که بتواند در این شرایط موجب افزایش ظرفیت رطوبتی خاک شود، می‌تواند در افزایش تولید محصول نیز به میزان زیادی مؤثر واقع گردد (Warrier *et al.*, 2007). بررسی اثر کمپوست، ورمی کمپوست و کود دامی بر خصوصیات کمی و کیفی گیاه دارویی زیره سبز نشان داد که مصرف کودهای آلی و دامی باعث افزایش عملکرد کل اندام‌های هوایی شد (Saied Nejad and Rezvani Moghaddam, 2010). در همین راستا، نتایج مطالعه (Rezvani Moghaddam *et al.*, 2013) نیز مؤید تأثیر مثبت کاربرد کودهای زیستی بر روی رشد و عملکرد کل اندام‌های هوایی گیاه دارویی مزه<sup>۲</sup> بود.

**محتوی ایندیگوکارمین:** تجزیه واریانس داده‌ها حاکی از آن است که درصد ایندیگوکارمین برگ و سمه تحت تأثیر معنی دار مقادیر آبیاری و نوع منبع تغذیه‌ای قرار نگرفت (جدول ۴). با این وجود، افزایش مقدار آبیاری از ۶۰ تا ۱۰۰ درصد ظرفیت زراعی باعث کاهش ۳ و ۹ درصدی محتوی ایندیگوکارمین به ترتیب در چین‌های اول و دوم شد (جدول ۵). در چین‌های اول و دوم بیشترین محتوی ایندیگوکارمین به ترتیب با ۰/۶۱ و ۰/۶۴ درصد به ۶۰٪ ظرفیت زراعی اینکه در یک گروه تعلق گرفت که با تیمارهای ۱۰۰ و ۸۰٪ ظرفیت زراعی در یک آماری قرار داشت (جدول ۵). بهطور کلی، بروز تنفس خشکی و کمبود آب یکی از عوامل اصلی در افزایش درصد ماده مؤثره در گیاهان دارویی است؛ بهطوری که هرچه گیاهی بیشتر در شرایط تنفس رطوبتی قرار گیرد، میزان ماده مؤثره نیز افزایش خواهد یافت (De-Abreu, 2005 and Mazzafera, 2005).

1- *Trifolium pratense*

2- *Satureja hortensis L.*

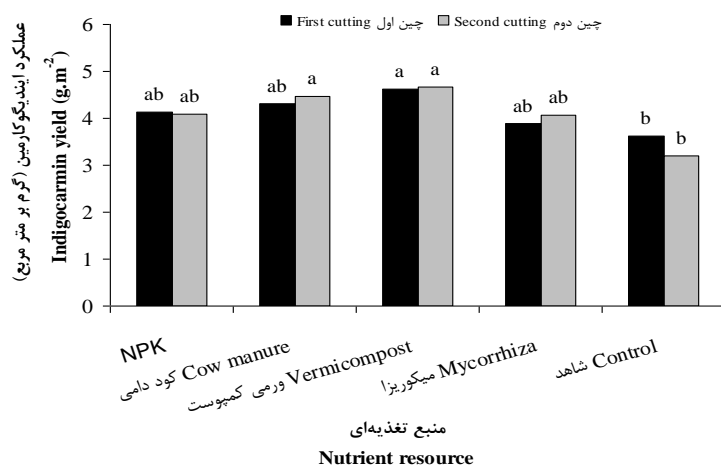


شکل ۴- مقایسه میانگین اثر مقدار آبیاری بر عملکرد ایندیگوکارمین وسمه طی دو چین

**Figure 4- Mean comparisons for the effect of irrigation level on Indigocarmine yield of indigo at two cuttings**میانگین‌های دارای حروف مشترک، تفاوت معنی‌داری بر اساس آزمون چندامنه‌ای دانکن ندارند ( $p \leq 0.05$ ).\* Means with the same letter(s) have not significantly difference based on Duncan's test ( $p \leq 0.05$ ).

شاهد به ترتیب ۲۸، ۱۹، ۱۴ و ۷ درصد تعیین گردید. میزان این افزایش در چین دوم به ترتیب برابر با ۴۵، ۳۹، ۲۸ و ۲۷ درصد محاسبه شد (شکل ۵).

همانطور که در جدول ۴ مشاهده می‌شود، عملکرد ایندیگوکارمین برگ وسمه در هر دو چین تحت تأثیر معنی‌دار نوع تیمارهای کودی قرار گرفت ( $p \leq 0.05$ ). عملکرد ایندیگوکارمین در چین اول در شرایط مصرف ورمی کمپوست، کود دائمی، شیمیایی و میکوریزا نسبت به



شکل ۵- مقایسه میانگین اثر تیمارهای کودی بر عملکرد ایندیگوکارمین وسمه طی دو چین

**Figure 5- Mean comparisons for the effect of manure treatment on Indigocarmine yield indigo at two cuttings**میانگین‌های دارای حروف مشترک، تفاوت معنی‌داری بر اساس آزمون چندامنه‌ای دانکن ندارند ( $p \leq 0.05$ ).\* Means with the same letter(s) have not significantly difference based on Duncan's test ( $p \leq 0.05$ ).

نشد (شکل‌های ۳ و ۵). بالاتر بودن عملکرد برگ در چین دوم (جدول ۶) احتمالاً به دلیل تحریک تولید جوانه‌های جانبی موجب افزایش ۵۶ درصدی عملکرد ایندیگوکارمین در چین دوم در مقایسه با چین اول شد (جدول ۶).

با توجه به اینکه کاربرد ورمی کمپوست بالاترین وزن خشک برگ را نسبت به سایر منابع تغذیه‌ای تولید نمود (شکل ۵)، در نتیجه این تیمار بیشترین عملکرد ایندیگوکارمین را به خود اختصاص داد. البته از نظر هر دو صفت عملکرد برگ و عملکرد ایندیگوکارمین تفاوت معنی‌داری بین تیمارهای کودی ورمی کمپوست و کود دائمی مشاهده

## نتیجه‌گیری

بر اساس نتایج این مطالعه مصرف منابع تغذیه‌ای آلی همچون کود دامی و ورمی کپوست را به دلیل آزادسازی تدریجی عناصر غذایی می‌توان برای بهبود رشد و سمه مدنظر قرار داد که این امر علاوه بر بهبود عملکرد کمی و کیفی، می‌تواند در درازمدت نیز علاوه بر کاهش آلودگی‌های زیست محیطی تحت تأثیر افزایش آبشویی و در نتیجه کاهش تلفات عناصر غذایی، موجب بهبود کارایی مصرف نهاده‌ها و حرکت به منظور نیل به پایداری در بوم‌نظمانهای کشور می‌شود.

به‌طور کلی، نتایج این آزمایش نشان داد که اثر سطوح آبیاری بر مبنای ظرفیت زراعی خاک به‌طور معنی‌داری خصوصیات رشدی و عملکرد کمی و کیفی گیاه و سمه را در چین‌های اول و دوم تحت تأثیر قرار داد. بر این اساس، با توجه به محدودیت منابع آبی در مناطق خشک و نیمه خشک و تولید مطلوب عملکرد کمی و کیفی با توجه به میزان آب مصرفی در تولید این گیاه دارویی - صنعتی، می‌توان کاهش مقدار آبیاری بر مبنای ۸۰ درصد ظرفیت زراعی را برای تولید قابل قبول عملکرد کمی و کیفی اعمال نمود.

## References

- Aliabadi Farahani, H., Valadabadi, S. A., Daneshian, J., and Khalvati, M. A. 2009. Evaluation changing of essential oil of balm (*Melissa officinalis* L.) under water deficit stress conditions. Journal of Medicinal Plants Research 3 (5): 329-333.
- Alizade, A. 2011. Design of irrigation systems: Designed surface irrigation systems. Emam Reza University Publications, Mashhad, Iran. 452 pp. (in Persian).
- Aminghafouri, A. 2014. Evaluation of seed production potential of perennial *Ziziphora* in low input cropping system. PhD Thesis, Faculty of Agriculture Ferdowsi University of Mashhad, Iran. (in Persian with English abstract).
- Arancon, N. Q., Edwards, C. A., Bierman, P., Welch, C., and Metzger, J. D. 2005. Influence of vermicompost on field strawberries. Bioresource Technology 93: 145-153.
- Atiyeh, R. M., Edwards, C. A., Sulber, S., and Metzger, J. D. 2001. Pig manure vermin compost as component of a horticultural bedding plant medium: effect on physiochemical properties and plant growth. Bioresources Technology 78: 11-20
- Balandari, A. 2011. Study some echophysiological characteristics and investigation on cultivation aspects of dwarf chicory (*Cichorium pumilum* Jacq.) in Mashhad. PhD Thesis, Faculty of Agriculture Ferdowsi University of Mashhad, Iran. (in Persian with English abstract).
- Carruba, A., La Torre, R., and Matranga, A. 2002. Cultivation trials of aromatic and medicinal plants in semiarid Mediterranean environment. Proceeding of International Conference on MAP. Acta Horticulturae 576: 207-216
- Chanayath, N., Lhieochaiphant, S., and Phutrakul, S. 2002. Pigment extraction techniques from the leaves of *Indigofera tinctoria* Linn. and *Baphicacanthus cusia* Brem. and chemical structure analysis of their major components. Chiang Mai University Journal of Natural of Sciences 1 (2): 149-160.
- De-Abreu, I. N., and Mazzafera, P. 2005. Effect of water and temperature stress on the content of active constituents of *Hypericum brasiliense* Choisy. Plant Physiology and Biochemistry 43: 241-248
- Gutiérrez-Miceli, F. A., Moguel-Zamudio, B., Abud-Archila, M., and Dendooven, L. 2008. Sheep manure vermicompost supplemented with a native diazotrophic bacteria and mycorrhizas for maize cultivation. Bioresource Technology 99: 7020-7026.
- Khazaie, H. R., Nadjafi, F., and Bannayan, M. 2008. Effect of irrigation frequency and planting density on herbage, biomass and oil production of theme (*Thymus vulgaris*) and hyssop (*Hyssopus officinalis*). Industrial Crop Production 27: 315-321.
- Hendawy, S. F., Ezz El-Din, A. A., Aziz, E., and Omer, E. A. 2010. Productivity and oil quality of *Thymus vulgaris* L. under organic fertilization conditions. Ozean Journal of Applied Sciences 3: 203-216.
- Kızılıkaya, R. 2008. Yield response and nitrogen concentrations of spring wheat (*Triticum aestivum*) inoculated with *Azotobacter chroococcum* strains. Ecological Engineering 33: 150-156.
- Khorramdel, S., Koocheki, A., Nassiri Mahallati, M., and Ghorbani, R. 2008a. Application effects of biofertilizers on the growth indices of black cumin (*Nigella sativa* L.). Iranian Journal of Field Crops Research 6 (2): 285-294. (in Persian with English abstract).
- Khorramdel, S., Koocheki, A., Nassiri Mahallati, M., and Ghorbani, R. 2008b. Effect of biofertilizers on the yield and yield components of black cumin (*Nigella sativa* L.). Iranian Journal of Field Crops Research 6 (3): 758-766. (in Persian with English abstract).
- Khorramdel, S., Rezvani Moghaddam, P., Asadi, G. A., Seyed, S. M., and Azizi, H. 2015. Effects of different

- levels of animal manure and bulb weights on yield and yield components of caraway (*Bunium persicum* Bioss.). Journal of Plant Production 22 (4): 133-155. (in Persian with English abstract).
17. Khorramdel, S., Rezvani Moghaddam, P., Aminghafouri, A., and Shabahang, J. 2013. Effects of biofertilizers and different water volumes in each irrigation on vegetative characteristics of sesame (*Sesamum indicum* L.). Journal of Agroecology 5 (2): 93-104. (in Persian with English abstract).
  18. Koocheki, A., Tabrizi, L., and Nassiri Mahallati, M. 2007. The effects of irrigation intervals and manure on quantitative and qualitative characteristics of *Plantago ovata* and *Plantago psyllium*. Asian Journal of Plant Sciences 6 (8): 1229-1234.
  19. Koocheki, A., Tabrizi, L., and Nassiri Mahallati, M. 2004. Organic cultivation of *Plantago ovata* and *Plantago psyllium*. Iranian Journal of Field Crops Research 2 (1):67-79. (in Persian with English abstract).
  20. Koocheki, A., Shabahang, J., Khorramdel, S., and Azimi, R. 2013. The effect of irrigation intervals and intercropped marjoram (*Origanum vulgare*) with saffron (*Crocus sativus*) on possible cooling effect of corm for climate change adaptation. Iranian Journal of Field Crops Research 11 (3): 390-400. (in Persian with English abstract).
  21. Lee, J. 2010. Effect of application methods of organic fertilizer on growth, soil chemical properties and microbial densities in organic bulb onion production. Scientia Horticulture 124: 299-305.
  22. Liuc, J., and Pank, B. 2005. Effect of vermicompost and fertility levels on growth and oil yield of Roman chamomile. Scientia Pharmaceutica 46: 63-69.
  23. Mao, J., Olk, D. C., Fang, X., He, Z., and Schmidt-Rohr, K. 2008. Influence of animal manure application on the chemical structures of soil organic matter as investigated by advanced solid-state NMR and FT-IR spectroscopy. Geoderma 146: 353-362.
  24. Norozpoor, G., and Rezvani Moghaddam, P. 2006. Effect of different irrigation intervals and plant density on oil yield and essence percentage of black cumin (*Nigella sativa*). Pajouhesh and Sazandegi 73: 133-138. (in Persian with English abstract).
  25. Omer, E. A., Ahmed, S. S., Ezz-El-Din, A. A., and Fayed, T. B. 1998. Seed yield of *Silybum Marianum* L. as affected by row spacing and fertilization in new reclaimed lands of Egypt. Egyptian Journal of Horticulture 25: 281-293.
  26. Pramod, K., Tyagi Vishnu, K., Rai Ashish, S., Sambath, K., Yogendra, S., Manoj, S., and Manoj, G. 2010. Preliminary phytochemical screening and evaluation of anti-inflammatory activity of ethanolic extract of leaves of *Indigofera tinctoria* Linn. Journal of current Pharmaceutical Research 3 (1): 47-50.
  27. Rezvani Moghaddam, P., Aminghafouri, A., Bakhshai, S., and Jafari, L. 2013. Effect of different manure on *Satureja hortensis* L. Iranian Journal of Field Crops Research 43: 27-33. (in Persian with English abstract).
  28. Rezvani Moghaddam, P., Akbar Abadi, M., and Hassanzadeh Aval, F. 2015. Effects of different manure and sowing date on yield and yield component of (*Calendula officinalis* L.). Journal of Agroecology 6 (4): 730-740.
  29. Sabet Teimouri, M. 2013. Ecological characteristics if Gol-e-Arvane (*Hymenocrater platystegius*) in natural habitats and evaluation of possibility for domestication under low input cropping system. PhD Thesis, Faculty of Agriculture, Ferdowsi University of Mashhad, Iran. (in Persian with English abstract).
  30. Saied Nejad, A. H., and Rezvani Moghaddam, P. 2010. Effect of compost, vermicopmost and cow manure on yield and yield component of (*Cuminum cyminum*). Journal of Agriculture 24 (2):142-148. (in Persian with English abstract).
  31. Sajadi Nik, R., and Yadavi, A. R. 2013. Effect of nitrogen fertilizer, vermicompost and nitroxin on growth indices, phonological stages and grain yield of sesame. Science and Natural Resources 6 (2): 73-99. (in Persian with English abstract).
  32. Sales, R., Kanhonou, C., Baixauli, A., Giner, D., Cooke, K., Gilbert, I., Arrillaga, J. S., and Ros, R. 2006. Sowing date, transplanting, plant density and nitrogen fertilization affect indigo production from *Isatis* species in a Mediterranean region of Spain. Industrial Crops and Products 23: 29-39.
  33. Sallaku, G., and Shaalan, M. N. 2005. Influence of biofertilizers and chicken manure on growth, yield and seeds quality of black cumin (*Nigella sativa* L.) plants. Egyptian Journal of Agriculture Research 83: 811-825.
  34. Shabahang, J., Khorramdel, S., Siahmarguee, A., and Gheshm, R. 2013. Evaluation of integrated management of organic manure application and mycorrhiza inoculation on growth criteria, qualitative and essential oil yield of hyssop (*Hyssopus officinalis* L.) under Mashhad climatic conditions. Journal of Agroecology 6 (2): 353-363. (in Persian with English abstract).
  35. Stoker, K. G., Cooke, D. T., and Hill, D. J. 1998. An improved method for the large-scale processing of woad (*Isatis tinctoria*) for possible commercial production of woad indigo. Journal of Agricultural Engineering Research 71: 315-320.
  36. Tabrizi, L. 2005. Effect of water stress and manure on quantitative and qualitative characteristics of Psyllium.

- M.Sc. Thesis, Faculty Agriculture, Ferdowsi University of Mashhad. Iran. (in Persian with English abstract).
- 37. Vessey J. K. 2003. Plant growth promoting rhizobacteria as biofertilizer. *Plant and Soil* 255: 571-586.
  - 38. Warrier, P. K., Nambiar, V. P. K., and Ramankatty, C. 2007. Indian Medicinal Plants. Published by Universities Press (India) Orient Longman Private Limited.
  - 39. Yazdani, A., Naderi, R., Fazeli, A., and Bahrani, M. J. 2015. Effect of planting methods and seeding rates on yield of alfalfa (*Medicago sativa* L.) CV. Hamedani in Bajgah, Fars Province. *Journal of Crop Production and Processing* 5 (15): 167-175. (in Persian with English abstract).
  - 40. Zamanyan, M. 2009. Assessment and comparison of potential forage yield of red clover cultivars. *Journal of Seed and Plant Improvement* 1: 1-25. (in Persian with English abstract).



## The Effect of Organic and Chemical Fertilizers on Qualitative and Quantitative Yield of Indigo (*Indigofera tinctoria* L.) at Irrigation Levels under Bam Climatic Conditions

N. Modafe Behzadi<sup>1</sup>- P. Rezvani Moghaddam<sup>2\*</sup> - M. Jahan<sup>3</sup>

Received: 09-04-2016

Accepted: 23-11-2016

### Introduction

Medicinal plants are valuable resources in a wide range that scientific identification, cultivation, development and proper utilization of them can have very important role in community health, employment and non-petrol exports. Quality of medicinal plants is more important than other crops. The impact of environmental factors is significant on quality and quantity of medicinal plants. Among the environmental effective factors, irrigation and manure can be managed. Drought is considered as one of the most important factors that limited plant production in arid and semi-arid areas, where such areas are subjected to a wide range of climate variations. Water deficit stresses, permanent or temporary, limits the growth and distribution of natural vegetation and yield of cultivated plants more than any other environmental factor. Under water limitation conditions, yield of plants depend on water available content and water use efficiency. Indigo carmine is considered as a highly toxic indigoid dye. Indigo blue dye's main component is indigotine which is extracted from the leaves of indigo). *Indigo carmine* is also one of the oldest dyes and it is still one of the most used in textile industry. The aims of this study were evaluation of qualitative and quantitative criteria of indigo (*Indigofera tinctoria* L.) under Bam climatic conditions.

### Materials and Methods

An experiment was conducted as strip plot based on a randomized complete block design with three replications at the Bam, Iran, during growing seasons of 2012-2013. Four nutrient resources (such as NPK, cow manure vermicompost, Mycorrhiza and control) and three drought stress levels based on % FC (including 100, 80 and 60 percent) were considered as experimental factors. Plant height, canopy diameter, number of branches, dry weight of leaf, dry weight of, dry yield of shoots (above ground matter), indigocarmin content and indigocarmin yield of indigo were measured and calculated.

### Results and Discussion

The results showed that at the first and second cuttings, the highest dry weight of leaf (with 751.11 and 769.24 g m<sup>-2</sup>, respectively) and indigocarmin yield (with 4.62 and 4.66 g.m<sup>-2</sup>, respectively) were observed for vermicopmost. Increasing soil water content from 60 to 100% FC at the first and second cuttings caused to increase dry weight of leaf (with 37 and 100%, respectively). Decreasing soil water content caused to reduce the dry matter yield of indigo and these highest yields were obtained in 100% FC with 1589.3 and 1829.3 g m<sup>-2</sup>, respectively. Also, increasing soil water content from 60 to 100% FC caused that indigocarmin content and indigocarmin yield increased with 36 and 18%, respectively. Relationship between soil nutrients and metabolic processes of medicinal plants causes to change of yield quantity or secondary metabolites contents. Therefore, we determined that the best growth condition for indigo was observed for manure and irrigation based on 80% FC.

### Conclusions

It was concluded that cow manure could be a good choice for decreasing chemical fertilization application.

**Keywords:** Bam, Cow manure, Indigocarmin, Medicinal Plant, Mycorrhiza, Vermicompost

1- Ph.D. Student of Agronomy (Crop Ecology), Faculty of Agriculture, International Campus, Ferdowsi University of Mashhad

2- Professor, Faculty of Agriculture, Ferdowsi University of Mashhad

3- Associate Professor, Faculty of Agriculture, Ferdowsi University of Mashhad

(\*- Corresponding Author Email: rezvani@um.ac.ir)





## تأثیر بقایای گیاهان در دو نوع بافت خاک بر ویژگی‌های خاک و عملکرد ذرت دانه‌ای رقم NS640 در نظام کشاورزی کم شخم

عین الله حسامی<sup>۱</sup>- محسن جهان<sup>۲\*</sup>- مهدی نصیری محلاتی<sup>۳</sup>- روزبه فرهودی<sup>۴</sup>

تاریخ دریافت: ۱۳۹۵/۰۳/۱۷

تاریخ پذیرش: ۱۳۹۵/۱۰/۱۴

### چکیده

حفظ بقایای گیاهی در سطح خاک و استفاده از نظام کم شخم که از اصول مهم پایداری اکوسیستم‌های کشاورزی است، در افزایش پایداری عملکرد ذرت می‌تواند تأثیرگذار باشد. به منظور بررسی حفظ بقایای گیاهان و اختلاط آنها با خاک دو مزرعه دارای بافت متفاوت بر ویژگی‌های فیزیکی خاک و اجزای عملکرد دانه ذرت رقم NS640، آزمایشی طی سال زراعی ۱۳۹۲-۱۳۹۳ در مزرعه پژوهشی دانشکده کشاورزی شوستر انجام شد. این بهصورت تجزیه مركب در یکسال و دو مکان در قالب طرح پایه بلوك‌های کامل تصادفی با چهار تکرار بررسی شد و دو مزرعه با خاک لومی رسی و لومی‌شنی بهعنوان مکان و کشت قبل از ذرت شامل کشت باقالا، گندم، کلزا، کلم و آیش در قالب تیمارهای آزمایش بررسی شدند. نتایج نشان داد که در عمق ۰-۱۵ سانتی‌متری خاک تیمار دارای بقایای گیاهی گندم در بافت خاک لومی رسی بیشترین میزان کربن آلی (۰/۸۰ درصد) را داشت و پس از آن تیمارهای دارای بقایای گیاهی باقالا و کلزا در یک گروه معنی‌داری قرار گرفتند. تیمار شاهد بدون گیاه در بافت خاک لومی شنی، کمترین میزان کربن آلی خاک (۰/۳۶ درصد) را داشت. در عمق ۱۵-۳۰ سانتی‌متری نیز بیشترین درصد کربن آلی در خاک لومی رسی دارای بقایای گندم با ۰/۴۸ درصد وجود داشت و بعد از آن تیمارهای دارای بقایای گیاهی باقالا، کلزا و کلم بهترتبه با ۰/۴۲، ۰/۴۰ و ۰/۳۹ بودند. در بافت لومی رسی میزان رطوبت خاک در تیمارهای برگرداندن گیاه گندم، کلزا و باقالا بهترتبه ۰/۳، ۰/۴ و ۰/۵ درصد بود، در حالی که برگرداندن بقایای کلم در مقایسه با شاهد (۰/۶۲ درصد) تأثیر معنی‌داری بر درصد رطوبت خاک نداشت. در بین تیمارهای برگرداندن بقایای گیاهی در خاک لومی شنی، تیمارهای شاهد و کلم با مقدار ۰/۲۱۲ درصد کربن آلی، کمترین مقدار ماده آلی را داشتند. تیمارهای برگرداندن بقایای گیاهی باقالا در دو نوع بافت خاک لومی رسی و لومی شنی بهترتبه با ۰/۶۲۸ و ۰/۹۵۴ کیلوگرم در هکتار بیشترین عملکرد دانه و تیمار شاهد در بافت لومی شنی با ۱۱۱ کیلوگرم در هکتار کمترین عملکرد دانه ذرت را به دنبال داشتند. به طور کلی، بقایای گیاهی باقالا در زراعت ذرت در هر دو نوع بافت خاک لومی رسی و لومی شنی تأثیر معنی‌دار بر عملکرد دانه ذرت و همچنین بهبود برخی ویژگی‌های کیفی خاک داشت.

واژه‌های کلیدی: جرم مخصوص ظاهری، شاخص برداشت، کربن آلی

در ازمنت تأمین نماید، برای نمونه شیوه‌هایی از کم‌خاک‌ورزی اجرا شود که موجب بهبود کیفیت خاک شده و آب‌弗رسایی و بادفرسایی را کاهش دهد (Abbasi *et al.*, 2010). ذرت محصولی یک‌ساله و مهم در خوزستان می‌باشد که با گیاهانی نظیر سبزیجات، گندم، باقالا (*Vicia faba* L.), کلزا (*Trifolium striatum* L.) و شبدر (*Brassica napus* L.) تناوب قرار می‌گیرد. سالیانه مقادیر زیادی از بقایای گیاهی از مزارع ذرت خوزستان خارج می‌گردد که از برگشت مقدار زیادی مواد آلی به خاک می‌گردد. استان خوزستان با وجود برخورداری از خاک‌های فقری از نظر مواد آلی خاک و کمبود آب به خصوص در سال‌های کم‌آب، از نظر

### مقدمه

کیفیت خاک در کشاورزی مرسوم بر اثر عملیات خاک‌ورزی کاهش می‌یابد. از این‌رو، در کشاورزی پایدار باید نگرش‌ها و فعالیت‌هایی مدنظر باشد که باروری و کیفیت مناسب خاک را در

۱- دانشجوی دکتری بوم‌شناسی زراعی (اگرواکولوژی)، پردیس بین‌الملل دانشگاه فردوسی مشهد

۲- بهترتبه دانشیار و استاد، گروه زراعت و اصلاح نباتات، دانشکده کشاورزی، دانشگاه فردوسی مشهد

۳- استادیار، گروه زراعت دانشکده کشاورزی، دانشگاه آزاد اسلامی واحد شوستر

(Email: jahan@um.ac.ir)

۴- نویسنده مسئول:

معنی‌داری ندارد، در حالی که از مقدار نیتروژن کل حاصل از سورگوم علوفه‌ای بیشتر است (Koocheki *et al.*, 1997). گیاهان سریع‌الرشد نظیر خردل (*Brassica napus* L.), کلزا (*Brassica alba* L.) و منداب (*Eruca sativa* L.) هنگام برگ‌داندن در خاک سریع تجزیه شده و از این‌رو تأثیر کمی بر افزایش محتوای ماده آلی خاک خواهند داشت، در حالی که نیتروژن ذخیره شده در اندام‌های گیاهی به خاک برگشته و به صورت قابل استفاده در اختیار گیاه بعد از خود قرار می‌گیرد (Koocheki *et al.*, 1997).

به‌منظور حفظ ماده آلی در خاک ضرورت دارد که برهم زدن خاک به‌وسیله خاک‌ورزی تنها به هنگام ضرورت انجام شود و تا حد امکان از عملیات حفاظتی استفاده شود. با چنین عملیاتی قسمت اعظم بقایای گیاهی در سطح یا نزدیک سطح خاک باقی‌مانده و از این‌رو سرعت تجزیه آنها کاهش می‌یابد (Koocheki *et al.*, 2007). برای مدیریت حاصلخیزی خاک در نظام‌های تولید پایدار و ارکانیک، تولید‌کنندگان معمولاً گیاهان پوششی مناسبی را برای استفاده از بقایای گیاهی آنها و یا انواع کودهای آلی را استفاده می‌کنند. کاربرد ضایعات و بقایای گیاهی در خاک یک روش مناسب برای نگهداری ماده آلی خاک، بهسازی خاک‌های فرسوده و تأمین عناصر غذایی مورد نیاز گیاهان است (Celik *et al.*, 2007). در پژوهشی تأثیر سه روش خاک‌ورزی (حداقل خاک‌ورزی با حفظ بقایای گیاهی، حداقل خاک‌ورزی بدون وجود بقایای گیاهی و خاک‌ورزی مرسوم) بر کیفیت و عملکرد دانه ذرت و گندم طی پنج سال بررسی شد، نتایج این پژوهش نشان داد که کاهش خاک‌ورزی با حفظ بقایای گیاهی، عملکرد و کیفیت محصول را بهبود می‌بخشد (Sur, Ghuman and Sheik Hosyni *et al.*, 2006). بررسی‌ها نشان داد که عملکرد دانه ذرت (*Zea mays* L.) به ازای افزایش هر ۱۰۰۰ کیلوگرم در هکتار پسماند گندم، پنج تا هشت درصد افزایش یافت (Wicks *et al.*, 1994). باقی گذاشتن کامل بقایای گندم زمستانه و ذرت در سطح خاک (عدم خاک‌ورزی) و کاشت هر دو گیاه گندم و ذرت در این مقدار بقایا سبب بهبود رشد، عملکرد گیاه زراعی و کارایی مصرف آب شد (Jin *et al.*, 2009). نتایج آزمایشی که در آن اثر حفظ ۰، ۲۵ و ۷۵۰ درصد بقایای گیاهی گندم بر عملکرد ذرت مورد بررسی قرار گرفت، نشان داد که بیشترین عملکرد ذرت به میزان ۱۵/۷۳ تن در هکتار هنگامی که ۲۵ تا ۵۰ درصد بقایای گندم در خاک باقی‌ماند، مشاهده شد (Bahrani *et al.*, 2007).

با توجه به اهمیت بررسی تأثیر گیاهان پیش کشته و بافت خاک بر ویژگی‌های فیزیکی و شیمیایی خاک و همچنین بررسی تأثیر این عوامل بر عملکرد دانه ذرت پژوهش حاضر انجام شد.

میزان تولید و سطح زیر کشت ذرت در سال‌های مختلف حائز رتبه برتر بین سایر استان‌های ایران بوده است. با وجود اهمیت این محصول در خوزستان و محتوای ناچیز مواد آلی در خاک، از پتانسیل‌های مثبت حفظ بقایای کشت قبلی در افزایش مواد آلی خاک و حفظ رطوبت خاک به‌منظور افزایش عملکرد ذرت کمتر استفاده می‌شود و هنوز سوزاندن بقایا و اجرای روش‌های خاک‌ورزی با گاآهن برگ‌داند دار، مهمترین روش برای کشت ذرت می‌باشد. از یک‌سو، نظر به اهمیت کشت ذرت در خوزستان و ضرورت افزایش مواد آلی خاک و حفظ رطوبت در خاک، و از سوی دیگر، نبود اطلاعات کافی در خصوص رابطه میان بافت خاک و نوع گیاهان پیش‌کاشت در شرایط کم‌سخم با برخی ویژگی‌های خاک و خصوصیات رشدی ذرت، پژوهش حاضر طراحی و اجرا شد.

سالیانه مقادیر قابل ملاحظه‌ای از عناصر معدنی خاک به صورت محصول و خیلی بیشتر از آن به صورت بقایای گیاهی از زمین‌های کشاورزی خارج می‌گردد. با خروج حجمی عظیم از مواد گیاهی، منابع تأمین انرژی و مواد غذایی بهویژه مواد آلی در خاک به تدریج دچار نقصان می‌شود. بازگشت بقایای گیاهی به خاک بهویژه در خاک‌های مناطق خشک و نیمه‌خشک از ارکان مهم و اجتناب‌ناپذیر پایداری اکوسیستم‌های کشاورزی است (Sheikh Hosyni *et al.*, 2006). افزایش شدت عملیات خاک‌ورزی، موجب کاهش مواد آلی خاک می‌شود، در صورتی که کاهش شدت آن همراه با اضافه کردن بقایای گیاهی به خاک موجب افزایش مواد آلی و دستیابی به توازن مناسب مواد آلی خاک می‌گردد. افزایش مواد آلی خاک از مهمترین عوامل تأثیرگذار در بهبود خصوصیات فیزیکی و شیمیایی خاک است و عاملی مهم در جهت تولید پایدار در مناطق خشک و نیمه‌خشک که میزان مواد آلی خاک کم است، بهشمار می‌آید. از طرف دیگر، افزودن مواد آلی مانند کودهای دامی و کمپوست در زراعت‌هایی مانند گندم و ذرت از نظر اقتصادی مفروض به صرفه نبوده و راه چاره، برگشت بقایای گیاهی حاصله از تناوب به خاک به روش علمی می‌باشد.

اثر زراعت بر محصول بعدی در تناوب به عواملی همچون گونه گیاهی، طول دوره رشد گیاه، میزان رطوبت خاک، نوع سخم، روش آبیاری، میزان مصرف کود نیتروژن در زراعت، میزان برگشت بقایای محصول به خاک و کیفیت بقایای برگشتی به خاک بستگی دارد (Soon *et al.*, 2001). نوع گیاهان کشت شده در سال‌های قبل می‌تواند از طریق ایجاد شرایط متفاوت در خاک (فرامه‌ی نیتروژن، ماده آلی، حجم آب قابل دسترس) موجب بهبود عملکرد گیاه بعدی شود (Miller *et al.*, 2002). تحقیقات بیانگر آن است که محتوای بالای نیتروژن در گیاهان خانواده بقولات به علاوه‌ی تثبیت نیتروژن توسط آن‌ها در افزایش میزان نیتروژن کل خاک مؤثر می‌باشد (Maiksteniene *et al.*, 2004).

حاصل از برگ‌داندن بقایای منداب به خاک نسبت به ماشک تفاوت

عمود بر هم استفاده شد). در زمان برداشت، محصول آن‌ها برداشت شده و بقایای گیاهی در مزرعه باقی ماند و شاهد به صورت آیش رها شد. برداشت گیاهان از اواسط اردیبهشت تا اواسط خرداد بسته به نوع محصول انجام شد. در کرت آیش (شاهد) علف‌های هرز توسط و جین دستی کنترل شدند.

بعد از برداشت گیاهان، زمین هیرم کاری شده و بعد از گاوارو شدن، بقایای گیاهی با یک دیسک سبک با خاک مخلوط گردید. عمليات کشت ذرت در ۱۵ تیرماه انجام شد. بذور ذرت رقم NS640 با فاصله روی ردیف ۱۵ سانتی‌متر و فاصله بین ردیف ۷۵ سانتی‌متر (تراکم حدود ۸۰ هزار بوته در هکتار) توسط ردیف کار پنوماتیک کشت شد. ابعاد هر کرت ۸ متر در ۶ متر بود که شامل ۷ خط کشت ۶ متری بود. در طول فصل رشد عمليات داشت شامل آبیاری انجام شد. هیچ‌گونه کود شیمیایی یا دامی به خاک اضافه نشد و در کرت‌های مربوط به تیمار بدون کاشت گیاه پیش‌کشت، به‌طور مرتب علف‌های هرز و جین و کنترل شد.

## مواد و روش‌ها

به منظور بررسی اثرات بقایای گیاهی گیاهان در شرایط شخم کاهش یافته در دو نوع بافت خاک بر ویژگی‌های زراعی گیاه ذرت دانه‌ای رقم ۴۰ NS640، این پژوهش در سال زراعی ۱۳۹۳-۱۳۹۲ در دو مزرعه با بافت متفاوت واقع در مزرعه پژوهشی دانشکده کشاورزی شوشتر واقع در ۲ و ۳۲ درجه عرض شمالی و ۱۴ و ۴۹ درجه طول شرقی با ارتفاع ۶۷ متر از سطح دریا اجرا شد. آزمایش به صورت تجزیه مرکب در یکسال و دو مکان بر پایه طرح پایه بلوك‌های کامل تصادفی با چهار تکرار اجرا شد. عامل اصلی دو مزرعه با دو نوع خاک لومنی و لومینی و عامل فرعی گیاهان پیش‌کاشت شامل: باقلاء، گندم، کلزا، کلم و آیش (به عنوان شاهد) بودند.

مزارع آزمایشی قبل از کشت گیاهان، زیر آیش بودند. برخی ویژگی‌های خاک این دو مزرعه در جدول ۱ ارائه شده است. مزارع مورد آزمایش در فصل زراعی زیر کشت گیاهان پیش‌کاشت گندم رقم چمران، کلزا رقم هایپلا ۱۴۰، باقلاء رقم شاخ بزی و کلم گل در شرایط کشاورزی کم شخم بود (جهت خاک‌ورزی فقط از دو دیسک

جدول ۱- مشخصات فیزیکی و شیمیایی خاک محل انجام آزمایش

Table 1- Physical and chemical properties of soil

مکان Site	بافت خاک soil Texture	درصد کربن آلی OC (%)	هدایت الکتریکی عصاره اشیاع EC (dS m <sup>-1</sup> )	پتانسیم قابل دسترس Available K (ppm)	فسفر قابل دسترس Available P (ppm)	اسیدیته pH
۱ مزرعه Farm 1	لومی رسی Loamy clay	0.42	3.6	126	8	7.6
۲ مزرعه Farm 2	لومی شنی loamy Sand	0.39	3.2	109	5	7.7

ارتوفانترولین با روش تیتراسیون اندازه‌گیری شد (Walkly and Black, 1934). نیتروژن خاک در آزمایشگاه به روش کجدال بررسی شد (Page, 1982). نسبت کربن به نیتروژن از تقسیم کردن کربن آلی به نیتروژن خاک محاسبه گردید (Page, 1982). برای مشخص نمودن میزان رطوبت ذخیره شده در خاک، در اواسط فصل رشد ذرت از تمامی کرت‌ها (همه تکرارها) نمونه‌برداری صورت گرفت. نمونه‌ها در پاکت نالیونی قرار داده شد تا از هرگونه تبخیر و کاهش رطوبت اولیه در طول انتقال به آزمایشگاه جلوگیری به عمل آید. پس از آن نمونه‌ها وزن شده و در ظروف آلومینیومی مخصوص و از قبل توزین شده، قرار داده شدند. ظروف آلومینیومی به مدت ۷۲ ساعت در آون با دمای ۱۰۵ درجه سلسیوس قرار گرفتند (Haji Abbasi, 2006). پس از آن ظروف حاوی خاک خشک مجددأ توزین شدند و در نهایت با

## بررسی خصوصیات فیزیکی و شیمیایی خاک

پس از کاشت ذرت در اواسط فصل رشد و ابتدای مرحله کاکل دهی<sup>۱</sup> جهت بررسی خصوصیات فیزیکی و شیمیایی خاک از عمق‌های ۰-۱۵ و ۱۵-۳۰ سانتی‌متری نمونه‌برداری انجام شد. از نقطه هر کرت نمونه‌گیری شد و در نهایت نمونه مرکب برای هر کرت به دست آمد. نمونه‌های خاک به‌طور جداگانه هوا خشک شده و از الک دو میلی‌متری عبور داده شدند.

کربن آلی خاک به روش اکسیداسیون کربن آلی توسط دی‌کرومات پتانسیم در مجاورت اسیدسولفوریک غلیظ صورت گرفت و سپس توسط آمونیم فروسولافات نیم نرمال در مجاورت معرف

رطوبت ۱۴ درصد، به طور تصادفی بلال‌های ۱۰ بوته برداشت شدند و وزن شدند. سپس میانگین دانه‌های خشک شده بلال وزن و از حاصل ضرب عملکرد بلال و تعداد بلال در متر مربع عملکرد دانه در متر مربع به دست آمد. عملکرد از طریق محاسبه تراکم بوته در هر کرت و سپس تناسب آن با یک هکتار محاسبه شد. پس از به دست آوردن عملکرد ماده خشک و عملکرد دانه، برای تعیین شاخص برداشت از معادله ۳ استفاده شد (Asoodar *et al.*, 2006).

$$HI = \frac{EY}{BY} \cdot 100 \quad (3)$$

=شاخص برداشت، EY=عملکرد اقتصادی، BY=عملکرد بیولوژیک است.

در زمان برداشت دانه ذرت، مجموع میزان نیتروژن دانه- ساقه- برگ به روش کجدال تعیین شد و برای محاسبه درصد پروتئین گیاه، درصد نیتروژن موجود در گیاه در عدد ثابت ۶/۲۵ ضرب گردید (Ericson *et al.*, 1993).

تجزیه واریانس و مقایسات میانگین صفات مورد بررسی توسط نرم‌افزار آماری SAS Ver.9/2 و رسم شکل‌ها با استفاده از نرم‌افزار MS Excel Ver. 12 صورت گرفت. مقایسه میانگین‌ها با آزمون چند دامنه‌ای دانکن و در سطح احتمال پنج درصد انجام شد.

استفاده از معادله ۱ درصد رطوبت وزنی خاک هر نمونه محاسبه شد.

$$\% \theta = \frac{Ww - Ws}{Ws} \cdot 100 \quad (1)$$

$W_w$ =وزن خاک مرطوب،  $W_s$ =وزن خاک خشک،  $\theta$ =درصد وزنی رطوبت خاک است.

برای اندازه‌گیری جرم مخصوص ظاهری خاک، ابتدا جرم مخصوص ظاهری اولیه خاک در چند نقطه اندازه‌گیری و متوسط آن برای عمق‌های مختلف به دست آمده و پس از آن جرم مخصوص ظاهری خاک توسط معادله ۲ محاسبه شد:

$$D = \frac{P}{V} \quad (2)$$

$D$ =وزن مخصوص ظاهری بر حسب گرم بر سانتی‌متر مکعب،  $P$ =جرم نمونه خشک خاک بر حسب گرم،  $V$ =حجم استوانه نمونه‌برداری خاک بر حسب سانتی‌متر مکعب است.

برای اندازه‌گیری عملکرد دانه ابتدا با حذف حاشیه، مساحت دو مترا مربع از هر تیمار در هر تکرار به طور تصادفی انتخاب و بوته‌های موجود در این سطح به دقت کفibr شدند. پس از انتقال به آزمایشگاه و جهت تعیین عملکرد ماده خشک ابتدا نمونه‌ها به طور جداگانه وزن و داخل آن گذاشته شد. بعد از طی ۲۴ ساعت در دمای ۷۲ درجه سلسیوس، نمونه‌ها دوباره توزین شدند. برای تعیین عملکرد دانه با

جدول ۲- تجزیه واریانس اثرات بقایای گیاهی گیاهان در بافت دو مزرعه در نظام کم شخم بر خصوصیات زراعی ذرت رقم NS640  
Table 2- Analysis of variances (mean of squares) of the effects of plant residues and soil texture on corn yield cultivar NS640

منبع تغییرات S.O.V	درجه آزادی d.f	عملکرد دانه Grain yield	عملکرد بیولوژیک Biological yield	پروتئین گیاه Protein content	شاخص برداشت Harvest index
بافت خاک Soil texture	1	10.89 **	1.83 ns	49.50 **	5.12 ns
خطای الف Ea	6	241366.54	674567.4	0.83	9.09
بقایای گیاه Residues	4	116.32 **	108.41 **	117.56 **	17.46 **
بافت خاک × بقایای گیاه Soil texture * residues	4	5.30 *	4.24 **	10.31 **	4.37 *
خطای ب Eb	24	10794.53	312308.9	0.46	1.811
ضریب تغییرات (درصد) CV (%)	-	4.04	3.15	17.89	2.94

ns, \* و \*\*: غیرمعنی‌دار و معنی‌دار به ترتیب در سطح احتمال پنج و یک درصد

ns, \* and \*\* are non significant and significant at 5 and 1% probability levels, respectively.

عملکرد دانه ذرت در مزرعه لومی‌رسی ۴ درصد بیشتر از مزرعه لومی‌شنی بود. این موضوع به دلیل حاصلخیزتر بودن مزرعه لومی‌رسی نسبت به مزرعه شنی بود. عملکرد دانه ذرت در مزرعه لومی‌رسی توسط بقایای گل کلم، کلزا و باقلاء افزایش معنی‌دار داشت

## نتایج و بحث

### عملکرد دانه و شاخص برداشت ذرت

عملکرد دانه ذرت به طور معنی‌داری تحت تأثیر اثر متقابل بقایای گیاهان پیش‌کشید با بافت خاک بود (جدول ۲). نتایج نشان داد که

پوششی ماشک گل خوشه‌ای و چاودار عملکرد ذرت را نسبت به شاهد بدون گیاه پوششی افزایش داد (Kuo and Jellum, 2002). به علت اینکه در بقولاتی نظیر ماشک گل خوشه‌ای (*Vicia villosa* L.) نسبت کریم به نیتروژن پایین است، خیلی سریع در خاک تجزیه شده و باعث همزمانی آزاد شدن نیتروژن از بقاوی‌ای گیاهی با تقاضای گیاه زراعی برای این عنصر می‌شود. عملکرد دانه ذرت به طور معنی‌داری تحت تأثیر برگ‌داندن بقاوی‌ای گیاهی قرار گرفت و بیشترین میزان عملکرد دانه ذرت به گیاه پوششی ماشک گل خوشه‌ای تعلق داشت و دلیل این موضوع به تثبیت نیتروژن توسط ماشک گل خوشه‌ای نسبت داده شد (Clark *et al.*, 1998). حضور بقاوی‌ای بر کارایی استفاده از نیتروژن تأثیر مثبت دارد، به طوری که حضور بقاوی‌ای گندم و کلزا به‌دلیل داشتن نسبت بالای کریم به نیتروژن، مقدار نیتروژن قابل استفاده را کاهش می‌دهد (Silgram and Chambers, 2002) کاهش عملکرد دانه را به دنبال دارد.

شاخص برداشت ذرت به‌طور معنی‌داری تحت تأثیر اثر متقابل گیاه پیش‌کشت و مکان آزمایش بود (جدول ۲). شاخص برداشت ذرت در مزرعه لومی‌رسی به‌طور معنی‌دار بیشتر (۴ درصد) از مزرعه لومی‌شنی بود (جدول ۳).

اما عملکرد دانه در تیمار شاهد با تیمار بقاوی‌ای گندم تفاوت معنی‌داری نداشت در حالی که در مزرعه شنی بقاوی‌ای کلیه گیاهان پیش‌کشت باعث افزایش معنی‌دار عملکرد دانه ذرت شدند. همچنین نتایج تجزیه واریانس نشان داد که اثر بافت خاک و بقاوی‌ای گیاهی بر عملکرد دانه ذرت معنی‌دار بود (جدول ۲). تیمارهای برگ‌داندن بقاوی‌ای گیاهی باقلا در دو نوع بافت خاک لومی‌رسی و لومی‌شنی به ترتیب با ۱۰۲۸/۶ و ۹۵۴۷/۹ کیلوگرم در هکتار بیشترین عملکرد دانه و تیمار شاهد در بافت لومی‌شنی با ۶۱۱ کیلوگرم در هکتار کمترین عملکرد دانه ذرت را داشت (جدول ۳).

در تیمار افزودن بقاوی‌ای گندم به خاک لومی‌شنی در مقایسه با خاک لومی‌رسی، به دلیل درصد رطوبت کم و جرم مخصوص ظاهری زیاد و از طرفی افزایش نسبت کریم به نیتروژن و کمی نیتروژن خاک (جدول ۴)، عملکرد ذرت کمتر است (جدول ۲). بسیاری از محققین افزایش عملکرد دانه ذرت در شرایطی که بقاوی‌ای گیاهی در خاک حفظ شده‌اند را گزارش نموده‌اند و این افزایش عملکرد را عمده‌آ ناشی از تأثیر مثبت بقاوی‌ای روی خصوصیات فیزیکی و شیمیایی خاک و همچنین و محتوای رطوبتی خاک بیان نموده‌اند (Sayer *et al.*, 2001, Limon-Ortege *et al.*, 2002

جدول ۳- اثر متقابل بقاوی‌ای گیاهی و بافت خاک بر عملکرد دانه، درصد پروتئین و شاخص برداشت ذرت رقم NS640  
Table 3- Effects of plant residues and soil type on corn grain yield, biological yield, plant tissue protein content and harvest index of corn cultivar NS640

تیمار Treatment		نوع بقاوی‌ای گیاهی Plant residue types	عملکرد دانه Grain yield (kg ha <sup>-1</sup> )	عملکرد بیولوژیک Biological yield (kg ha <sup>-1</sup> )	محتوای پروتئین گیاه Plant tissue protein content (%)	شاخص برداشت Harvest index (%)
بافت خاک Soil texture	بافت خاک Soil texture					
لومی‌رسی Loamy clay	bean	باقلا	10128.6 a	20498 a	7.6 a	49.397 a
	wheat	گندم	7653.0 c	16220 d	3.9 d	47.24 b
	canola	کلزا	8649.4 b	19125 b	6.5 b	46.1 bc
	cabbage	کلم	8220.8 b	17552 c	5.3 c	46.8 bc
	شاهد	شاهد	7216.5c	16015 d	0.6 e	45.07 c
لومی‌شنی Loamy sand	bean	باقلا	9547.9 a	19998 a	5.8 b	47.7 b
	wheat	گندم	6706.3 c	15295 c	1.4 d	43.8 cd
	canola	کلزا	8702.3 b	18855 b	5.6 b	45.22 c
	cabbage	کلم	8237.8 b	18544 b	0.90 e	44.41 cd
	شاهد	شاهد	6111 d	14965 c	0.1 f	40.82 d

در هر ستون و برای هر عامل، میانگین‌های دارای حداقل یک حروف مشترک، از نظر آماری در سطح احتمال پنج درصد با یکدیگر تفاوت معنی‌دار ندارند

Similar letters in each column and each factor show non-significant at 5% level of probability

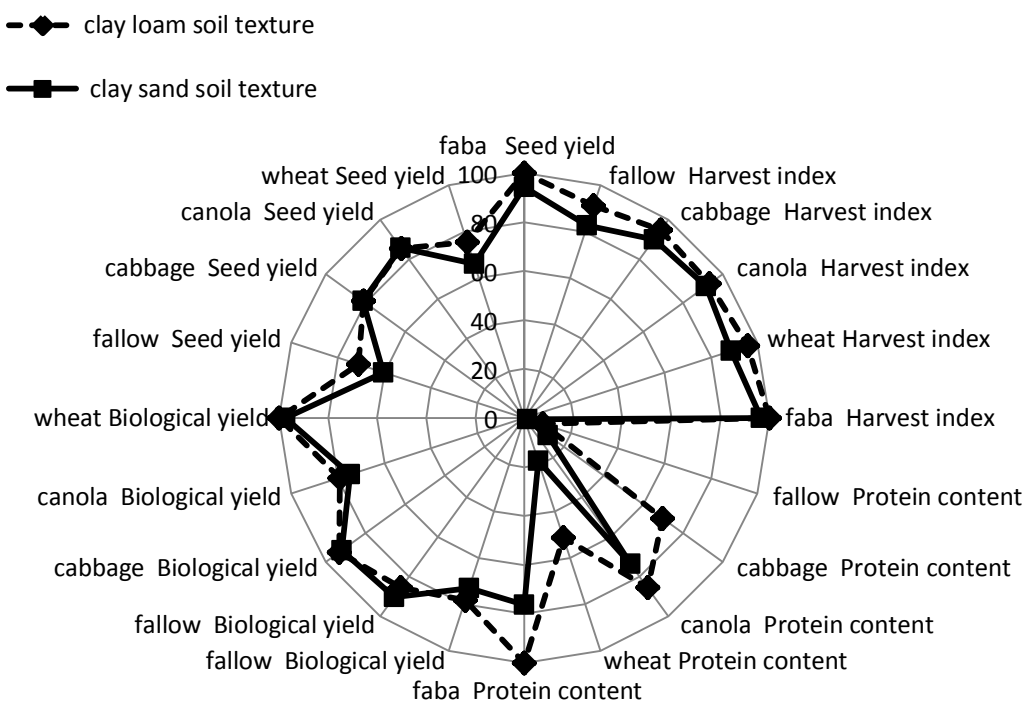
نشان داد که کلیه تیمارهای برگ‌داندن بقاوی‌ای گیاهی در بافت خاک لومی‌رسی به همراه تیمار دارای بقاوی‌ای گیاهی باقلا در بافت خاک لومی‌شنی، بیشترین درصد شاخص برداشت را داشتند و در یک گروه آماری قرار گرفتند. دیگر تیمارهای برگ‌داندن بقاوی‌ای گیاهی در بافت خاک

در بخش‌های قبل نیز دیده شد که عملکرد دانه ذرت در خاک لومی‌رسی به مراتب بهتر از خاک لومی‌شنی بود و به همین دلیل نیز در این بخش مشاهده شده است که شاخص برداشت ذرت در مزرعه لومی‌رسی بالاتر از مزرعه لومی‌شنی می‌باشد. نتایج آزمایش حاضر

برخی صفات اختلاف بین این دو نوع بافت خاک از نظر تأثیر بر صفت مورد مطالعه چشمگیر نبود (مثلاً عملکرد دانه کلزا، عملکرد دانه کلم، عملکرد بیولوژیک گندم، عملکرد بیولوژیک کلم، شاخص برداشت باقلا و شاخص برداشت کلزا). تنها در مورد عملکرد بیولوژیک ذرت تحت آیش، بافت خاک شنی رسی برتری اندکی نشان داد. تأثیر دو نوع بافت خاک بر صفت محتوای پروتئین، بیشتر از سایر صفات مشهود بود.

لومی شنی و تیمار شاهد کمترین درصد شاخص برداشت را به خود اختصاص دادند (جدول ۳). دلیل آفرایش آن را می‌توان بالا بودن درصد رطوبت و کاهش جرم مخصوص ظاهری خاک دانست (شکل ۱).

نتایج جدول ۳ به طور نسبی و بر مبنای درصد در شکل ۱ نشان داده شده است. شکل ۱ نشان می‌دهد که به طور کلی و با در نظر گرفتن کلیه صفات زراعی مورد مطالعه ذرت، خاک با بافت لوم رسی نسبت به خاک با بافت شنی رسی برتری داشت، هرچند که برای



شکل ۱- تغییرات عملکرد دانه، عملکرد بیولوژیک، محتوای پروتئین گیاه و شاخص برداشت ذرت کشت شده در بقایای باقلا، گندم، کلزا، کلم و آیش، در دو نوع بافت خاک لومی رسی و شنی رسی. (مبنا مقایسه برای عملکرد دانه باقلا، برای عملکرد بیولوژیک گندم، برای محتوای پروتئین و شاخص برداشت، باقلا بود)

Figure 1- Changes in grain yield, biological yield, plant protein content and harvest index of corn cultivated in the remains of beans, wheat, canola, cabbage and fallow, in two sandy clay and clay loam soils. (Bean was the basis of comparison for bean yield, wheat biological yield, protein content and harvest index)

رسی بسیار بالاتر از نمونه مشابه در مزرعه لومی شنی بود به طوری که بالاترین درصد پروتئین گیاه ذرت با کاربرد بقایای باقلا و در مزرعه لومی رسی یافت شد. در این آزمایش دیده شد که تجمع عناصر مغذی در خاک لومی رسی بیشتر از خاک لومی شنی بود و احتمالاً همین افزایش عناصر باعث افزایش میزان نیتروژن و پروتئین ذرت در مزارع لومی رسی بوده است. از طرف دیگر عنصر نیتروژن اصلی ترین

#### پروتئین کل گیاه

نتایج نشان داد که درصد پروتئین گیاه به طور معنی‌داری متاثر از اثر متقابل تیمارهای پیش کشت با مکان‌های آزمایشی بودند (جدول ۲). بقایای گیاهان زراعی پیش کشت باعث افزایش معنی‌دار درصد پروتئین گیاه ذرت در هر دو مزرعه شدند و افزایش درصد پروتئین گیاه ذرت توسط بقایای گیاهان زراعی پیش کشت در مزرعه

خاک، از نظر تأثیر بر کلیه صفات دیگر (کربن آلی، نیتروژن خاک، رطوبت خاک و نسبت کربن به نیتروژن) خاک با بافت لومی رسی نسبت به خاک با بافت شنی رسی برتری داشت و این برتری در ویژگی‌هایی چون کربن آلی و نسبت کربن به نیتروژن، بازتر از سایر ویژگی‌ها بود.

به منظور مقایسه دقیق‌تر نتایج آزمایش، نتایج ارائه شده در شکل ۲، به صورت مقایسه‌های مطلق و بهمراه حروف مربوط به معنی‌داری و یا غیرمعنی‌داری مقایسات آماری در جدول ۵ آورده شده‌اند. تیمار دارای بقاوی‌ای گیاهی گندم در بافت خاک لومی رسی بیشترین میزان کربن آلی ( $80/0$  درصد) را داشت و پس از آن تیمارهای دارای بقاوی‌ای گیاهی باقلا و کلزا در یک گروه آماری قرار گرفتند. تیمار شاهد بدون گیاه در بافت خاک لومی شنی، کمترین میزان کربن آلی خاک ( $76/0$  درصد) را داشت (جدول ۵). نتایج حاضر با نتایج مطابقت دارد (Heydari et al., 2004) و (Wright et al., 2004) (Heydari et al., 2004) مطابقت دارد.

تفاوت در مقادیر محتوای کربن آلی دو خاک ناشی از تفاوت در بافت آنها است، زیرا ایجاد کمپلکس‌های آلی – معدنی در خاک‌های بافت سنگین باعث افزایش نگهداری مواد آلی در خاک می‌شود (Pare et al., 1999). مقدار کربن خاک، حاصل بر همکنش نوع بقاوی‌ای گیاهی و ستاده‌های تجزیه میکروبی و آبشویی است که به نوبه خود تحت تأثیر اقلیم و رژیم‌های خاکی و ترکیب گیاه و میکروارگانیسم‌ها در زمان، تغییر می‌یابد (Varamesh et al., 2009). نتایج تجزیه واریانس داده‌ها نشان داد که درصد کربن آلی خاک در عمق  $15-30$  سانتی‌متر خاک در هر دو نوع بافت خاک و نوع گیاهان در سطح رسی و لومی شنی تحت تأثیر نوع بافت خاک و نوع گیاهان در سطح احتمال ۱ درصد معنی‌دار بود (جدول ۴). مقایسه میانگین‌های این صفات نشان داد که بیشترین درصد کربن آلی در خاک لومی رسی دارای بقاوی‌ای گندم با  $48/0$  درصد و بعد از آن تیمارهای دارای بقاوی‌ای گیاهی باقلا، کلزا و کلم به ترتیب با  $44/0$ ،  $42/0$  و  $39/0$  وجود داشت (جدول ۵). در خاک لومی شنی، تیمارهای شاهد و کلم با مقدار  $23/0$  و  $21/0$  درصد کربن آلی، کمترین مقدار ماده آلی را به خود اختصاص دادند (جدول ۵).

### میزان نیتروژن خاک

نتایج تجزیه واریانس نشان داد که اثر نوع بافت خاک بر میزان کل نیتروژن خاک در عمق  $0-15$  سانتی‌متر معنی‌دار نبود، اما اثر نوع بقاوی‌ای گیاهی بر میزان کل نیتروژن خاک در سطح ۵ درصد معنی‌دار بود (جدول ۴). در هر دو نوع بافت خاک لومی رسی و لومی شنی، تیمار بقاوی‌ای، گیاهی باقلا در عمق خاک  $0-15$  سانتی‌متری، دارای بیشترین میزان کل نیتروژن ( $121/0$  درصد در خاک لومی رسی) و ( $122/0$  درصد در خاک لومی شنی) بود (جدول ۵). تیمارهای بقاوی‌ای

عنصر در ساختار پروتئین‌ها می‌باشد بنابراین در جایی که وفور نیتروژن باشد تولید پروتئین را نیز می‌تواند در پی داشته باشد. تجزیه واریانس داده‌ها نشان داد که اثر نوع بقاوی‌ای گیاهی در هر دو نوع خاک لومی رسی و لومی شنی بر درصد پروتئین کل گیاه معنی‌دار بود (جدول ۲). گیاه ذرت در تیمار دارای برگ‌داندن بقاوی‌ای گیاهی باقلا در نوع بافت خاک لومی رسی در مقایسه با سایر تیمارها، درصد پروتئین گیاه بیشتری ( $76/0$  درصد) داشت و پس از آن تیمار بقاوی‌ای گیاهی کلزا با  $6/5$  درصد بیشترین میزان پروتئین بافت ذرت را به خود اختصاص داد (جدول ۳). به دلیل وجود تفاوت معنی‌دار بین تیمارهای بقاوی از لحاظ پروتئین گیاه، به نظر می‌رسد که سهم بقاوی در آزاد نمودن تدریجی نیتروژن و به دنبال آن افزایش پروتئین گیاه و عملکرد دانه می‌تواند مؤثر باشد. نتایج پژوهشی با هدف بررسی تأثیر کاربرد ماشک و یولاف بر خصوصیات خاک و عملکرد ذرت، نشان داد که برگشت بقاوی‌ای ماشک به طور قابل توجهی میزان پروتئین بافت ذرت را افزایش داد (Astier et al., 2006).

نتایج آزمایش حاضر نشان داد که برآیند اثر متقابل بافت خاک و نوع گیاه پیش کاشت بر خصوصیات خاک و عملکرد دانه ذرت مثبت بود (جدول ۴). برگشت بقاوی‌ای گیاهی باقلا در هر دو نوع بافت خاک، عملکرد دانه ذرت را بهبود بخشید (جدول ۳) که دلیل آن را می‌توان تشیب و افزایش نیتروژن خاک توسط باقلا و کاهش نسبت کربن به نیتروژن در خاک بیان نمود (جدول ۵). همچنین به نظر می‌رسد که سهم بقاوی‌ای باقلا در آزاد نمودن تدریجی نیتروژن به خصوص در اواخر فصل رشد ذرت، در افزایش محتوای پروتئین و عملکرد آن مؤثر بوده است.

یکی از دلایل اصلی کاهش عملکرد دانه ذرت در تناوب با گیاهان کلزا و گندم (جدول ۳) می‌تواند بالا بودن نسبت کربن به نیتروژن خاک باشد (جدول ۵). علاوه بر نسبت کربن به نیتروژن بالا، از دیگر دلایل احتمالی آن می‌توان به اثرات دگرآسیبی بقاوی‌ای کلزا یا بقاوی‌ای گندم اشاره کرد (کرامبرگر و همکاران، ۲۰۰۹). بنابراین، در شرایط مزرعه‌ای، نوع و مقدار بقاوی‌ای گیاهی و بافت خاک در بهبود کیفیت خاک و افزایش عملکرد دانه ذرت نقش دارد. با اعمال مدیریت‌های زراعی مشابه، علاوه بر نیل به اهداف اقتصادی تولید، حرکت در راستای اهداف کشاورزی پایدار و کمنهاده نیز ممکن خواهد شد.

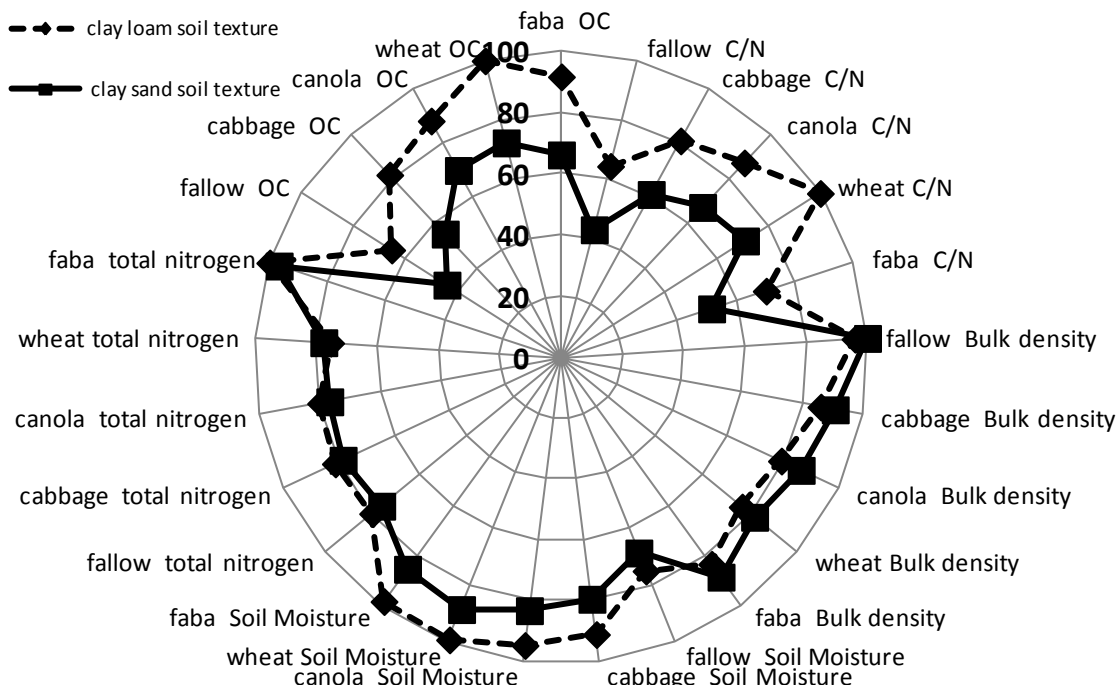
### کربن آلی خاک

نتایج تجزیه واریانس نشان داد که اثر نوع بافت خاک و نوع بقاوی‌ای گیاهی بر میزان کربن آلی خاک در عمق  $0-15$  سانتی‌متر خاک در سطح احتمال آماری ۱ درصد معنی‌دار بود (جدول ۴). همان‌طور که در شکل ۲ مشاهده می‌شود، به جز چگالی ظاهری

سانتی‌متری نشان داد که تیمار دارای بقایای گیاهی باقلا در بافت لومی رسی بیشترین میزان نیتروژن خاک (۰/۰۹۶ درصد) را داشت و سایر تیمارهای آزمایشی در یک گروه آماری قرار گرفتند (جدول ۵). نتایج برخی تحقیقات نشان داده است که افزودن بقایای گیاهی گندم به خاک هر چند سبب افزایش مقدار نیتروژن خاک می‌شود، اما بیشترین میزان نیتروژن خاک تحت تأثیر برگ‌داندن بقایای گیاهی بقولات مانند یونجه است، زیرا بقایای گیاهی گندم علاوه بر اینکه دیرتر تجربه و عناصر مغذی آنها آزاد می‌شود و به اندازه بقایای گیاهی بقولات که زودتر تجزیه می‌شوند غنی از نیتروژن نیستند (Sheikh Hosyny *et al.*, 2006).

گیاهی گندم، کلزا، کلم و شاهد در هر دو نوع بافت خاک در یک گروه آماری قرار داشتند و کمترین میزان کل نیتروژن خاک را دارا بودند (جدول ۵). گزارش شده است که بقایای یونجه بیشترین مقدار نیتروژن و بقایای گیاهی گندم و تیمار بدون بقایا، کمترین میزان نیتروژن دارد (Sheikh Hosyny *et al.*, 2006).

تجزیه واریانس داده‌های میزان کل نیتروژن خاک در عمق ۱۵-۳۰ سانتی‌متری نشان داد که میزان کل نیتروژن خاک تحت تأثیر نوع بقایای گیاهی و نوع خاک در سطح احتمال ۵ درصد دارای اختلاف آماری معنی‌دار است (جدول ۴). مقایسه میانگین داده‌ها برای هر دو نوع بافت خاک لومی رسی و لومی شنی در عمق ۱۵-۳۰



شکل ۲- تغییرات کربن آلی خاک، نیتروژن کل خاک، میزان رطوبت خاک، چگالی ظاهری خاک و نسبت کربن به نیتروژن بقایای باقلا، گندم، کلزا، کلم و آیش، در دو نوع بافت خاک لومی رسی و شنی رسی. (مبانی مقایسه برای کربن آلی گندم، برای نیتروژن کل باقلا، برای میزان رطوبت گندم، برای چگالی ظاهری آیش و برای نسبت کربن به نیتروژن، گندم بود)

Figure 2- Changes of soil organic carbon, soil total nitrogen, soil moisture content, soil bulk density and carbon to nitrogen ratio of beans, wheat, canola, cabbage remains and fallow, on two sandy clay and clay loam soils. (Wheat was the basis of comparison for wheat organic carbon, total nitrogen of beans, moisture content of wheat, bulk density for fallow and the ratio of carbon to nitrogen)

جدول ۴- تجزیه واریانس برخی خصوصیات فیزیکی خاک در اوسط فصل رشد ذرت در اعماق مختلف خاک مزرعه

Table 4- Analysis of variance (mean of squares) of some physical properties of at the middle of growing corn season at soil depth

میغ تغییرات S.O.V	درجه d.f	درصد کربن آلی OC (0-15	درصد کربن آلی OC 15-30	کل نیتروژن Total nitrogen 0-15	کل نیتروژن Total nitrogen 15-30	نسبت کربن به نیتروژن C/N 0-15	نسبت کربن به نیتروژن C/N 15-30	جرم مخصوص ظاهری Bulk density g/cm <sup>3</sup> 0-15	جرم مخصوص ظاهری Bulk density g/cm <sup>3</sup> 15-30	درصد رطوبت عشق Soil Moisture% 0-15	درصد رطوبت عشق Soil Moisture% 15-30
Soil texture	1	201.65 **	25 **.57	0.31 ns	6.41 *	32.3 *	33.7 *	9.07 *	22.06 *	46 * .27	05 ns .0
بافت خاک	Ea	6	0.00090	0.0042	0.00028	0.00006	1.01	0.68	0.0059	0.0064	071.2 44.2
بافت خاک	Residues	4	63.02 **	9.91 **	23.38 *	4.8 *	48.9 **	7.26 **	51.39 **	14.4 **	6 ** .27 5 ** .27
بافت خاک	Soil texture × residues	4	1.87 ns	1.09 *	0.16 ns	0.59 *	2.66 ns	0.77 ns	0.68 ns	1.40 ns	2.01 ns .1
بافت خاک	Eb	24	0.002	0.001	0.00010	0.00002	0.55	0.24	0.0016	0.0034	0.951 26.0
خراب تغییرات CV (%)	-	7.4	9.3	11.2	5.7	10.9	11.4	3.0	3.8	7.1	8.4

ns, \* and \*\* are non significant and differences at 5 and 1% probability levels, respectively.

\*\*\*: معنی دار و \*\*\*: غیرمعنی دار، ns: نیست و بقایه در سطح احتمال پنج و یک درصد

جدول ۵- اثر متفاوت بقایای گیاهی و بافت خاک بر خصوصیات فیزیکی و شیمیایی خاک در مرحله اواسط روش ذرت

Table 5- Effects of plant residues and soil type on Physical and chemical properties of soil at the middle of growing corn

تیمار Treatment	درصد گربن لی OC (%) 0-15	درصد گربن کربن از OC (%) 0-15	کل نیتروژن کل نیتروژن Total nitrogen (%) 15-30	نسبت کربن به نیتروژن C.N 0-15	جرم مخصوص ظاهری C.N 15-30	جرم مخصوص Bulk density g cm <sup>-3</sup> 0-15	درصد طبیعت Soil Moisture% 0-15	درصد رطوبت خاک Soil Moisture% 15-30
بـ	0.73300 b	0.447 ab	0.121 a	0.096 a	6.2 c	4.65 b	1.28 cd	1.48 d
Bean	0.80600 a	0.484 a	0.074 b	0.086 b	10.8 a	5.6 a	1.19 e	1.34 e
Wheat کزرا	0.71950 bc	0.421 ab	0.0813 b	0.089 b	8.8 b	5.2 ab	1.25 cd	1.37 de
Canola کلم	0.66850 c	0.39 ab	0.0875 b	0.087 b	7.6 b	5.1 ab	1.33 c	1.52 c
Cabbage نماد	0.42375 d	0.38 b	0.0837 b	0.087 b	5.05 c	4.6 b	1.44 b	1.74 a
Fallow بـ	0.59200 cd	0.285 d	0.122 a	0.089 b	5.01 c	3.17 d	1.37 bc	1.56 c
Bean	0.62700 c	0.324 c	0.082 b	0.084 bc	7.6 b	4.02 b	1.23 cd	1.48 d
Wheat کزرا	0.58925 cd	0.321 c	0.084 b	0.081 bc	7.005 b	3.9 c	1.33 c	1.53 c
Canola کلم	0.50900 d	0.23 e	0.087 b	0.082 bc	5.8 c	3.8 c	1.39 bc	1.62 b
Cabbage نماد	0.35950 e	0.212 e	0.087 b	0.077 c	4.1 d	2.7 e	1.54 a	1.77 a
Fallow							12.9 d	10.7 c

<sup>۱</sup> هر سوتون و برجی هر عامل میانگین های دارای یک حروف مشترک از نظر آماری در سطح احتمال پنج درصد با یکدیگر تفاوت معنی دار نداشت

<sup>۲</sup> Similar letters in each column show non-significant differences at 5% level of probability

درصد) را داشت (جدول ۵). بالا بودن محتوای کربن نسبت به نیتروژن در گندم دلیلی بر افزایش نسبت کربن به نیتروژن است و زیر خاک کردن بقایای گیاهی گندم و کلزا سبب کاهش معنی‌دار نیتروژن خاک و افزایش ناگهانی کربن آلی خاک می‌شود (Farhoodi *et al.*, 2007).

### جرم مخصوص ظاهری خاک

نتایج تجزیه واریانس بیانگر تأثیر معنی‌دار نوع بافت خاک و نوع بقایای گیاهی بر جرم مخصوص ظاهری خاک در عمق ۰-۱۵ سانتی‌متری بود (جدول ۴). مقایسه میانگین داده‌ها نشان داد که تیمار افزودن بقایای گندم در خاک لومی رسی کمترین میزان جرم مخصوص ظاهری خاک در عمق ۰-۱۵ سانتی‌متر (۱/۱۹ گرم بر سانتی‌متر مکعب) را داشت و تیمار شاهد بدون افزودن بقایای گیاهی در بافت لومی شنی با جرم مخصوص ظاهری ۱/۵۴ گرم بر سانتی‌متر مکعب، بیشترین جرم مخصوص ظاهری خاک را به خود اختصاص داد و سایر تیمارهای آزمایش از نظر جرم مخصوص ظاهری در یک گروه آماری قرار گرفتند (جدول ۵). نوع و میزان بقایای گیاهی در خاک می‌تواند سبب کاهش جرم مخصوص ظاهری خاک شود (Zhang *et al.*, 2007). برگرداندن بقایای گیاهی به خاک به مروز زمان سبب افزایش مواد آلی خاک و بهبود دانه‌بندی و ساختمان خاک دانه‌ها می‌شود که این موضوع منجر به کاهش وزن مخصوص ظاهری خاک می‌گردد (Farhoodi *et al.*, 2007).

جرم مخصوص ظاهری نوع بافت خاک در عمق ۱۵-۳۰ سانتی‌متری تفاوت معنی‌داری با یکدیگر داشتند (جدول ۴). مقایسه میانگین داده‌ها نشان داد که جرم مخصوص ظاهری خاک در عمق ۱۵-۳۰ سانتی‌متری در تیمارهای افزودن بقایای گیاهی گندم و کلزا در خاک لومی رسی کمترین میزان را داشت (۱/۳۶ و ۱/۲۷ گرم بر سانتی‌متر مکعب) و تیمار بدون افزودن بقایای گیاهی در هر دو نوع خاک لومی رسی و لومی شنی دارای بیشترین میزان جرم مخصوص و ظاهری خاک بود (جدول ۵). کمترین وزن مخصوص ظاهری خاک در عمق ۱۵-۰ سانتی‌متری مشاهده شد و با افزایش عمق، وزن مخصوص ظاهری خاک نیز افزایش یافت. با افزایش عمق خاک، مقدار مواد آلی خاک، نیتروژن کل خاک و مقدار فسفر خاک کاهش می‌یابد (Azimzadeh *et al.*, 2011).

### درصد رطوبت خاک

اثر نوع بافت خاک و نوع بقایای گیاهی بر درصد رطوبت خاک در عمق ۰-۱۵ سانتی‌متر به ترتیب در سطح احتمال ۵ و ۱ درصد معنی‌دار بود (جدول ۴). در بافت لومی رسی میزان رطوبت خاک در تیمارهای

بالا بودن نسبت کربن به نیتروژن گیاهان پوششی مثل گندم می‌توان دلیلی بر مصرف نیتروژن موجود در خاک جهت تجزیه بقایا Jahan *et al.* (2014) با برگرداندن بقایای گیاهانی مانند گندم و کلزا به خاک میزان نیتروژن خاک کاهش می‌یابد که دلیل اصلی آن بالا بودن نسبت کربن به نیتروژن در این گونه بقایا است. میکرووارگانیسم‌های خاک برای تجزیه مواد آلی و ادامه فعالیت، علاوه بر کربن به نیتروژن نیاز دارند و این نیتروژن را در درجه اول از خاک تأمین می‌کنند. با افزایش کربن آلی خاک و تشدید فعالیت میکرووارگانیسم‌ها، نیاز آنها به نیتروژن افزایش یافته و میزان زیادی از نیتروژن خاک توسط آنها جذب می‌گردد (Farhoodi *et al.*, 2007).

### نسبت کربن آلی به نیتروژن خاک

تجزیه واریانس داده‌ها نشان داد که نسبت کربن آلی به نیتروژن خاک در عمق ۰-۱۵ سانتی‌متر به طور معنی‌داری تحت تأثیر نوع بافت خاک و بقایای گیاهی قرار گرفت (جدول ۴).

مقایسه میانگین‌ها نشان داد که تیمار دارای بقایای گیاهی گندم در بافت خاک لومی رسی، بیشترین نسبت کربن به نیتروژن را به میزان ۱۰/۸ داشت و در بافت لومی شنی تیمار بدون بقایای گیاهی با نسبت کربن به نیتروژن ۴/۱، کمترین میزان نسبت کربن آلی به نیتروژن را داشتند (جدول ۵). بیان شده که درصد نیتروژن در بقایای یونجه، ۲/۹۸ درصد بود که بیش از ۲/۸ برابر نیتروژن بقایای ذرت (۱/۰۴) درصد می‌باشد (Sheikh Hosyni *et al.*, 2006). بنابراین، به نظر می‌رسد که نسبت کربن به نیتروژن و نیز نسبت لیگنین به نیتروژن نقش اصلی در میزان نیتروژن خاک‌های تیمار شده توسط بقایای گیاهی مختلف دارد (Vigil *et al.*, 1991). همچنین با تقسیم مقادیر همی‌سلولز، سلولز و لیگنین بر نیتروژن کل هریک از بقایای گیاهی ترتیب همی‌سلولز به نیتروژن، سلولز به نیتروژن و لیگنین به نیتروژن به گونه‌ای گردید که بیشترین مقادیر آنها متعلق به ذرت می‌باشد (Sheikh Hosyni *et al.*, 2006).

تجزیه واریانس داده‌ها نشان داد که در عمق ۱۵-۳۰ سانتی‌متری خاک اثر نوع بافت خاک و بقایای گیاهی بر نسبت کربن آلی به نیتروژن خاک به ترتیب در سطح احتمال ۵ و ۱ درصد معنی‌دار بود (جدول ۴). مقایسه میانگین داده‌ها نشان داد که تیمار حفظ بقایای گیاه گندم در عمق ۱۵-۳۰ سانتی‌متر در خاک لومی رسی بیشترین نسبت کربن به نیتروژن را به میزان ۵/۶ درصد و پس از آن تیمار افزودن بقایای گیاهی کلزا و کلم به ترتیب با ۵/۲ و ۵/۱ درصد به خود اختصاص دادند. در بافت لومی شنی تیمار شاهد بدون افزودن بقایای گیاهی، کمترین میزان نسبت کربن آلی به نیتروژن (به میزان ۲/۷

تیمارهای بقایای گیاهی گندم و باقلاء در خاک لومی رسی و تیمار گیاه گندم و کلزا در خاک لومی شنی به ترتیب با ۱۴/۹، ۱۴/۵، ۱۱/۷ و ۱۴/۲ درصد بیشترین رطوبت خاک را داشتند (جدول ۵). گزارش شده است که افزایش بقایای در شرایط حفاظتی سبب افزایش معنی‌دار رطوبت خاک در عمق ۰-۱۰ و ۱۰-۲۰ سانتی‌متر شد (Safari *et al.*, 2012). بیان شده است که مقدار رطوبت خاک تابعی از وزن مخصوص ظاهری و پوشش خاک با بقایای گیاهی است (Cavalaris *et al.*, 2002).

### نتیجه‌گیری

به طور کلی، نتایج این آزمایش نشان داد که بافت خاک لومی رسی نسبت به خاک لومی شنی از نظر اکثر ویژگی‌های مورد بررسی برتری داشت به طوری که در بافت لومی رسی وجود بقایای گیاهی باقلاء نسبت به شاهد ۷۵ درصد افزایش نیتروژن داشته و عملکرد دانه در این نوع تیمار به مقدار ۱۰۱۲۸/۶ کیلوگرم در هکتار بود. همچنین، همان طور که انتظار می‌رفت برگداندن بقایای باقلاء، به عنوان یک لگوم تثبیت‌کنندهٔ نیتروژن، بیشترین تأثیر را بر ویژگی‌های رشدی ذرت و خصوصیات کیفی خاک داشت.

برگداندن گیاه گندم، کلزا و باقلاء به ترتیب ۳/۲۱، ۴/۲۱ و ۵/۲۰ درصد بود در حالی که برگداندن بقایای کلم در مقایسه با شاهد تأثیر معنی‌داری بر درصد رطوبت خاک نداشت (افزایش ۹/۱۲ درصدی) (جدول ۵). بقایای گیاهی همانند سدی در سطح خاک عمل کرده و باعث کاهش رواناب شده و همچنین سبب افزایش نفوذ آب در خاک شده و در نتیجه رطوبت خاک را افزایش می‌شوند (Abbasi *et al.*, 2010). برخی نتایج بیانگر وجود تفاوت معنی‌دار در میانگین رطوبت وزنی خاک بین تیمارهای دارای کاه و کلش و بدون کاه کلش است که علت آن وجود بقایا بر سطح و درون خاک به عنوان مانع برای رسیدن اشعه خورشید به خاک دانسته شده است که به نوبه خود تبخیر آب را کاهش داده و در نتیجه سبب افزایش رطوبت ذخیره شده در خاک می‌گردد (Cavalaris *et al.*, 2002).

مقایسه درصد رطوبت در دو نوع بافت خاک نشان داد که در هر دو عمق مورد مطالعه، بیشترین درصد رطوبت خاک مربوط به خاک با بافت لومی رسی بود (جدول ۵) و دلیل آن این است که این نوع بافت خاک کربن آلی بیشتر و جرم مخصوص ظاهری کمتر نسبت به خاک با بافت لومی شنی دارد که خود دلیلی بر تبخیر کمتر و کاهش رواناب در خاک با بافت لومی رسی است.

تجزیه واریانس داده‌ها نشان داد که اثر نوع بقایای گیاهی بر درصد رطوبت خاک در سطح احتمال ۱ درصد معنی‌دار بود (جدول ۴).

### References

1. Abbasi, F., and Asoodar, M. A. 2010. The effect of stem cutting and a variety of post-harvest tillage on physical properties. Journal of Agricultural Engineering, Soil Science and Agricultural Machinery, Chamran University Press, 33 (2): 25-38.
2. Azimzadeh, M., and Koocheki, A., and Pala, M. 2011. Effect of different tillage methods on bulk density, soil moisture content and yield of wheat under dryland conditions. Journal of Agronomy Sciences of IRAN. 4 (3): 209-225.
3. Astier, M., Maass, J. M., Etchevers-Barra, J. D., Pena, J. J., and De Leon Gonzalez, F. 2006. Short-term green manure and tillage management effects on maize yield and soil quality in an Andisol. Soil and Tillage Research 88: 153-159.
4. Asoodar, M. A. Bakhshandeh, A. M., Afraseabi, H., and Shafeinia, A. 2006. Effects of press wheel weight and soil moisture at sowing on grain yield. Agronomy Journal 4: 39-47.
5. Bahrani, M., Raufat, M. B., and Ghadiri, H. 2007. Influence of wheat residue management on irrigated corn grain production in a reduced tillage system. Soil and Tillage Research 94: 305-309.
6. Cavalaris, C. K., and Gemtos, T. A. 2002. Evaluation of four conservation tillage methods in the sugar beet crop. Agricultural Engineering International: The CIGR Journal of Scientific Research and Development. Manuscript LW 01 008, 4: 1-24.
7. Clark, A. J., Decker, A. M., Meisinger, J. J., and McIntosh, M. S. 1997. Kill date of vetch, rye, and a vetchrye mixture. I. Cover crop and corn nitrogen. Agronomy Journal 89: 427-434.
8. Celik, I., Ortas, I., and Kilic, S. 2004. Effects of compost, mycorrhiza, manure and fertilizer on some physical properties of a Chromoxerert soil. Soil and Tillage Research 78: 59-67.
9. Ericson, N. A. 1993. Quality and storability in relation to fertigation of apple trees cv. Summerred. Acta Horticulture 326: 73-83.
10. Farhoodi, R., Cheche, M., and Majnon Hussein, N. 2007. Effect of wheat residue management on soil properties and on sunflower yield in double cropping system. Iranian Journal of field crop Science 39 (1): 11-21.
11. Ghuman, B. S., and Sur, H. S. 2001. Tillage and residue management effects on soil properties in a direct drill tillage system. Soil and Tillage Research 42: 209-219.

12. Haji Abbasi, M., Bsalt pour, A., and Malale, A. R. 2006. Effect of conversion of grasslands to agricultural lands on the physical and chemical characteristics of soils in the south and southwest. Journal of Water and Soil Science: Science and Technology of Agriculture and Natural Resources 11 (42): 525-534.
13. Heydari, A. 2004. Soil fertility improvement by stubbles management and soil tillage in grain corn wheat rotation system. Proceedings of 8th Soil Sciences Congress of Iran.
14. Jahan, M., Amir, M. B., Shabahang, J., Ahmadi, F., and Solymani, F. 2014. The effects of winter cover crops and plant growth promoting Rhizobacteria on some soil fertility aspects and crop yield in an organic production system of *Ocimum basilicum* L. Iranian Journal of Field Crops Research 11 (4): 562-572.
15. Jin, H., Qingjie, W., Hongwen, L., Lijin, L., and Huanwen, G. 2009. Effect of alternative tillage and residue cover on yield and water use efficiency in annual double cropping system in North China Plain. Soil and Tillage Research 104: 198-205.
16. Koocheki, A., Nakhforosh, A. R., and Zarif Ketabi, H. 1997. Organic farming. Ferdowsi University of Mashhad Press. 331Pp.
17. Koocheki, A., and Khajeh Hosseini, M. 2007. Modern agriculture. Ferdowsi University of Mashhad Press.
18. Kuo, S., and Jellum, E. J. 2002. Influence of winter cover crop and residue management on soil nitrogen availability and corn yield. Agronomy Journal 94: 501-508.
19. Limon-Ortega, A., Sayer, K. D., Drijber, R. A., and Francis, C. A. 2002. Soil attributes in a furrow- irrigated bed planting system in north-west Mexico. Soil and Tillage Research 63: 123-132.
20. Maiksteniene, S., and Arlauskiene, A. 2004. Effect of preceding crops and green manure on the fertility of clay loam soil. Agronomy Research 2 (1): 87-97.
21. Miller, P., McConkey, B., Clayton, G., Brandt, S., Baltensperger, D., and Neil, K. 2002. Pulse crop adaptation in the Northen Great Plains. Agronomy Journal 94: 261-272.
22. Pare, T., and Gregorich, E. G. 1999. Soil texture effects on mineralization of nitrogen from crop residues and the added nitrogen interaction. Communications in soil science and plant analysis 14 (6): 463-469.
23. Page, A. L. 1982. Methods of Soil Analysis. Agronomi 9, ASA, SSSA, Madison, Wisconsin, USA.
24. Safari, A., Asoodar, M. A., Qasmynzhad, M., and Abdali Mashhadi, A. 2012. Effect of residue management,, different conservation tillage and seeding on soil physical properties and wheat grain yield. Knowledge of sustainable agricultural production 23 (2): 49-59.
25. Sayer, K. D., Mezzalama, M., and Martinez, M. 2001. Tillage, crop rotation and crop residue management effects on maize and wheat production for rainfed conditions in Altiplane of central Mexico. CIMMYT.
26. Sheikh Hosseini, A., and Nurbkhsh, F. 2006. The Effect of soil and plant residues on net nitrogen mineralization. Pajouhesh and sazandegi 75: 127-133.
27. Silgram, M., and Chambers, B. J. 2002. Effects of longterm straw management and fertilizer nitrogen additions on soil nitrogen supply and crop yields at two sites in eastern England. Journal of Agricultural Sciences 139: 115-127.
28. Soon, Y. K., Clayton, G. W., and Rice, W. A. 2001. Tillage and previous effects on dynamics of nitrogen in a wheat-soil system. Agronomy Journal 93: 842-849.
29. Varamesh, S., Hosseini, S. M, Abdi, N., and Akbarinia, M. 2009. Effect of afforestation to increase carbon sequestration and improving soil characteristics, Journal of the forest 35: 25-1.
30. Vigil, M. F., and Kissel, D. E. 1991. Equations for estimating the amount of nitrogen mineralized from crop residues. Soil Science. Society of American Journal 55: 757-761.
31. Walkly, A., and Black, I. A. 1934. An Experimentation of Data. 39pp.
32. Wicks, G. A., Crutchfield, D. A., and Burnside, O. C. 1994. Influence of wheat (*Triticum aestivum*) straw mulch and metolacholor on corn (*Zea mays*) growth and yield. Weed Science 42: 141-147.
33. Wright, A. L., Hons, F. M., Lemon, R. G., McFarland, M. L. and Nichols, R. L. 2007. Stratification of nutrients in soil for different tillage regimes and cotton rotations. Soil. Till. Res. 96: 19-27.
34. Zhang, G. S., Chan, K. Y., Oates, A., Heenan, D. P., and Huang, G. B. 2007. Relationship between soil structure and runoff/soil loss after 24 years of conservation tillage. Soil and Tillage Research 92: 122-128.



## Effects of Plant Residues in Two Types of Soil Texture on Soil characteristics and corn (*Zea mays L.*) NS640 Yield in a Reduced -Tillage cropping System

E. Hesami<sup>1</sup>- M. Jahan<sup>2\*</sup>- M. Nassiri-Mahallati<sup>3</sup>- R. Farhoudi<sup>4</sup>

Received: 06-06-2016

Accepted: 03-01-2017

### Introduction

The impact of agronomy on the subsequent product in rotational cropping systems depends on factors such as plant type, duration of crop growth, soil moisture content, tillage type, irrigation method, the amount of nitrogen fertilizer, quantity and quality of returned crop residues to the soil. Prior cultivated crops improve the next crop yield by causing different conditions (nitrogen availability, organic matter and volume of available water) in soil. This study was conducted due to importance of corn cultivation in Khuzestan and necessity of increasing the soil organic matter, moisture conservation and in the other hand the lack of sufficient information about the relationship between soil texture, type of preparatory crop in low-tillage condition and some soil characteristics and corn growth habits. The purpose of this experiment was to evaluate the effect of residue of preparatory crops in low plowing condition in two soil types on corn yield and some soil characteristics.

### Materials and Methods

This experiment was carried out at Shooshtar city located in Khuzestan province. An experiment was performed by combined analysis in randomized complete block design in two fields and in two consecutive years with four replications. Two kinds of soil texture including: clay loam and clay sand. Five preparatory crops including: broad bean, wheat, canola, cabbage and fallow as control assigned as sub plots. SAS Ver. 9.1 statistical software was used for analysis of variance and comparison of means. Graphs were drawn using MS Excel software. All means were compared by Duncan test at 5% probability level.

### Results and Discussion

The soil texture and the type of preparatory crop influenced the characteristics of the soil and corn grain yield. Returning the broad bean residue into two types of soil caused the highest grain yield of corn 10128.6 and 9547.9 kg ha<sup>-1</sup>, respectively. The control treatment in sandy loam texture had the lowest corn seed yield (6111 kg.ha<sup>-1</sup>). Therefore, in these conditions, amount of plant residues and soil texture have played an important role in improving the soil quality and corn yield, which would be lead to economic objectives of sustainable and low input and cost production. Treatment of broad bean residues in depth of 0-15 cm resulted to the highest total nitrogen of 0.121% in clay loam soil and 0.122% in loam sand soil. The return of broad bean plant residues in both soil types improved corn grain yield which can be attributed for fixing and increasing the soil nitrogen by broad bean and decrease the ratio of carbon to nitrogen in soil. It seems that the contribution of broad bean residues released nitrogen gradually, particularly at the end of corn growing season.

The results showed that treatment of wheat residues in clay loam soil had the highest carbon to nitrogen ratio (8.10%), and in sandy loam soil, treatment without plant residues had the lowest ratio of carbon to nitrogen (1.4%). Increased carbon/nitrogen ratio was the result of high ratio of carbon content to nitrogen in wheat. Burying the remains of wheat and canola led to significant decrease in soil nitrogen during growing season and a sudden increase in soil organic carbon.

Mean comparisons showed that adding wheat residues to clay loam soil had the lowest soil bulk density in depth of 0-15 cm (1.19 g cm<sup>-3</sup>) and treatment of control (no adding plant residues) to sandy loam soil had the highest soil bulk density (1.54 g cm<sup>-3</sup>). The lowest soil bulk density was observed in depth of 0-15 cm and with increase in depth, soil bulk density increased, too. It seems that high percentage of the soil moisture can lead to low soil bulk density. Combination of clay loam soil with wheat, canola and broad bean residues caused soil moisture content of 21.3%, 20.4% and 20.5%, respectively, while returning the residue of cabbage did not have a

1- PhD Student, Ferdowsi University of Mashhad, International Campus- Dep. of Agronomy and Plant Breeding  
2 and 3- Associate Professor and Professor, Ferdowsi University of Mashhad, Faculty of Agriculture, Dep.of Agronomy and Plant Breeding

4- Assistant Professor, Department of Agronomy, Islamic Azad University, Shoushtar Branch, Shoushtar, Iran  
(\*- Corresponding Author Email: jahan@um.ac.ir)

significant influence on soil moisture in comparison with control (12.9%).

### Conclusions

In general, mixture of broad bean residues with both soil types had the positive effects on corn yield and soil characteristics compared to other crop residue.

**Acknowledgment:** We thank the supports of Deputy of Research and Technology, Ferdowsi University of Mashhad.

**Keywords:** Bulk density, Harvest index, Organic carbon





## ارزیابی نشانگرهای مبتنی بر رتروترنسپوزون‌ها در شناسایی مکان‌های مرتبط با صفات مهم زراعی و مقاومت به بیماری پوسیدگی اسکلروتینیایی یقه ساقه در آفتابگردان روغنی (*Helianthus annuus L.*) تحت شرایط مزرعه‌ای

رشید پاک نیا<sup>۱</sup>- فرج‌الله شهریاری<sup>۲\*</sup>- رضا درویش زاده<sup>۳</sup>- سعید ملک زاده<sup>۴</sup>

تاریخ دریافت: ۱۳۹۵/۰۶/۱۳

تاریخ پذیرش: ۱۳۹۵/۱۲/۱۱

### چکیده

آفتابگردان (*Helianthus annuus L.*) یکی از گیاهان دانه روغنی است. پوسیدگی طوفه یکی از مهمترین بیماری‌های آفتابگردان در دنیا می‌باشد که در شرایط محیطی مناسب باعث از بین رفتن کل محصول می‌شود. در این مطالعه به منظور تجزیه ارتباطی صفات مهم زراعی و مقاومت به قارچ اسکلروتینیا (*Sclerotinia sclerotiorum*) تعداد ۱۰۰ لاین خالص آفتابگردان روغنی در مزرعه‌ای در روستای واقاصلوی سفلی از توابع شهرستان ارومیه در قالب طرح لاتیس ساده  $10 \times 10$  در ۲ تکرار کشت شدند. پنج بوته از هر ژنتیپ در هر تکرار با جایه قارچی جمع‌آوری شده از گیاهان آفتابگردان آلدود همان مزرعه در سال قبل تلقیح شدند. صفات درصد پیشرفت آلدودگی قارچی بعد از ۸، ۱۲ و ۱۶ روز، وزن صد دانه گیاه آلدوده نشده، وزن صد دانه گیاه آلدود شده، افت و وزن صد دانه و افت عملکرد ارزیابی شدند. از طرفی بروفیل مولکولی جمعیت با ۲۸ آغازگر مبتنی بر رتروترنسپوزون (7 جفت آغازگر IRAP و 7 جفت آغازگر REMAP) تهیه شد. تجزیه ساختار ژنتیکی جمعیت به عنوان پیش نیاز تجزیه ارتباط با روش بیزین منجر به شناسایی ۲ زیر جمعیت شد. در تجزیه ارتباط بر اساس مدل خطی مخلوط (MLM)، ۲۷ نشانگر رتروترنسپوزونی مرتبط با صفات مورد مطالعه شناسایی شدند. بیشترین تعداد نشانگر برای صفات درصد پیشرفت آلدودگی بعد از ۴ روز و عملکرد تک بوته گیاه آلدود شده شناسایی شد. در این مطالعه چندین مکان مشترک برای صفات مورد مطالعه شناسایی شد. وجود نشانگرهای مشترک در میان برخی صفات بررسی شده می‌تواند ناشی از اثرات پلیوتربوپی و یا پیوستگی نواحی ژئومی دخیل در کنترل این صفات باشد. نتایج به دست آمده از این مطالعه اطلاعات ارزشمندی در زمینه مبنای ژنتیکی صفات مورد مطالعه ارائه می‌دهد که از این اطلاعات می‌توان در برنامه‌های مختلف و از جمله انتخاب به کمک نشانگر (MAS) در آفتابگردان استفاده نمود. می‌توان با توالی‌یابی مکان‌هایی که تغییرات قابل توجهی از صفات را توجیه می‌نمایند، ژن‌های کدکننده مقاومت به بیماری و صفات مهم زراعی را شناسایی نمود.

**واژه‌های کلیدی:** آفتابگردان، ساختار جمعیت، عدم تعادل لینکاژی، نشانگرهای مولکولی، نقشه‌یابی ارتباطی

جمله چهار محصول مهم دانه روغنی است که برای استحصال روغن خوارکی کشت می‌شود. روغن آفتابگردان به دلیل داشتن مقدار زیادی اسید چرب لینولئیک و فقدان کلسترول از مرغوبیت بالایی برخوردار است (Onemli and Gucer, 2010). در سال‌های اخیر روغن آفتابگردان به‌طور فزاینده برای اهداف صنعتی نیز استفاده می‌شود. سطح زیر کشت گیاه در دنیا ۲۵ میلیون هکتار و تولید سالیانه در حدود ۳۶ میلیون تن است (FAO). بیماری‌ها عامل اصلی محدودیت تولید آفتابگردان در دنیا می‌باشند و این گیاه میزان بیش از ۴۰ بیمارگر می‌باشد (Gulya *et al.*, 1997). عمدۀ بیماری قارچی که به‌طور قابل توجهی باروری آفتابگردان را در شرایط محیطی مناسب کاهش

### مقدمه

آفتابگردان (*Helianthus annuus L.*) با  $2n=34$  متعلق به خانواده Asteraceae می‌باشد و همراه با سویا، کلزا و بادام زمینی از

- ۱- دانش‌آموخته دکتری تخصصی بیوتکنولوژی کشاورزی، گروه بیوتکنولوژی گیاهی، دانشکده کشاورزی، دانشگاه فردوسی مشهد
- ۲- استاد، گروه بیوتکنولوژی گیاهی، دانشکده کشاورزی، دانشگاه فردوسی مشهد
- ۳- استاد، گروه اصلاح و بیوتکنولوژی گیاهی، دانشکده کشاورزی، دانشگاه ارومیه
- ۴- دانشیار، گروه بیوتکنولوژی گیاهی، دانشکده کشاورزی، دانشگاه فردوسی مشهد
- (\*)- نویسنده مسئول: Email: shahriari@um.ac.ir

DOI: 10.22067/gsc.v16i1.58597

ارتباط غیر تصادفی بین دو نشانگر یا دو ژن و یا یک نشانگر و یک ژن است. در جمعیت‌های طبیعی عدم تعادل می‌تواند توسط عوامل دیگری غیر از پیوستگی ژنی مانند چهش، مهاجرت، گزینش و رانده شدگی ژنتیکی طی دوره تکاملی یک جمعیت به وجود آید. ولی در جمعیت‌های مصنوعی تنها عامل ایجاد کننده عدم تعادل، پیوستگی ژنی می‌باشد. موفقیت در تجزیه ارتباطی بستگی به ساختار عدم تعادل پیوستگی در ژنوم دارد (Flint-Garcia *et al.*, 2003). در آراییدوپسیس با استفاده از تجزیه ارتباطی چهار مکان دخیل در پاسخ به ورنالیزاسیون (FRI)، و سه مکان دخیل در مقاومت به بیماری (RPMI, RPS5, RPS2) (Aranzana *et al.*, 2005) در مقایسه با شناسایی شده است (Campbell *et al.*, 2002). در مقایسه با نقشه‌یابی پیوستگی، تجزیه ارتباطی بهتر است زیرا منابع ژرمپلاسم موجود مانند لکلکسیون‌های ژنتیکی و اصلاحی می‌توانند به طور مستقیم مورد استفاده قرار بگیرند (Myles *et al.*, 2009; Speed *et al.*, 2012; Wang *et al.*, 2005 *al.*, 2012; Zhu, 2002a; Rafalski, 2002b; Rafalski, 2002a; (et al., 2008).

در آفتابگردان به عنوان یک گیاه دانه روغنی مهم و اقتصادی، پژوهش‌های زیادی در زمینه بررسی تنوع ژنتیکی و شناسایی نواحی ژنومی دخیل در صفات مهم با استفاده از نشانگرهای مولکولی صورت گرفته است (Anandhan *et al.*, 2010; Darvishzadeh, 2012; Ebrahimi and Sarrafi, 2012; Mandel *et al.*, 2013) که می‌توان به مکان‌یابی عوامل دخیل در کنترل صفات مهم زراعی (Abdi, 2014) و مکان‌یابی QTL‌های اشاره نمود. اخیراً در مطالعه‌ای با روش تجزیه ارتباطی یک ژن کاندید شناسایی شده است که ۲۰٪ از تغییرات فنوتیپی مقاومت به بیماری پوسیدگی اسکلروتینیایی در آفتابگردان را توجیه می‌کند (Fusari *et al.*, 2012). هدف از این مطالعه، شناسایی نشانگرهای مبتنی بر رتروترنسپوزون (IRAP) و REMAP (پیوسته با پوسیدگی اسکلروتینیایی در آفتابگردان روغنی) می‌باشد.

## مواد و روش‌ها

### مواد گیاهی و ارزیابی فنوتیپی

یکصد لاین خالص آفتابگردان روغنی که از نقاط مختلف جهان (فرانسه، آمریکا، مجارستان و ایران) تهیه شده است (جدول ۱) در قالب یک طرح لاتیس ساده  $10 \times 10$  در مزرعه آلووده به قارچ اسکلروتینیایی در روستای وفاصلوی سفلی از توابع شهرستان ارومیه با دو تکرار کشت شد. هر تکرار شامل ۱۰ بلوک (ناقص) و هر بلوک شامل

می‌دهد، پوسیدگی اسکلروتینیایی است که اولین بار در سال ۱۸۷۳ معرفی شد (Purdy, 1979). قارچ عامل بیماری در تمام مناطق رشد آفتابگردان متداول و گزارش شده است. عامل بیماری متعلق به رده آسکومیست<sup>۱</sup> بوده و توسط میسیلیا و اسکلروتیا در مرحله غیر جنسی تکثیر می‌شود (Masirevic and Gulya, 1992). گزارش شده است که این قارچ سالیانه منجر به خسارتی در حدود ۲۰۰ میلیون دلار در مزارع کشت آفتابگردان کشور آمریکا می‌شود (Bolton *et al.*, 2006).

یکی از راهکارهای تضمین پایداری غذا برای جمعیت رو به افزایش جهان، کاهش خسارت ناشی از بیمارگرها می‌باشد (Campbell *et al.*, 2002) به تزیادی آفتابگردان ایجاد مقاومت در برابر این بیماری می‌باشد. استفاده از ژنوتیپ‌های مقاوم بدون تردید یکی از اقتصادی‌ترین روش‌های کنترل بیماری به شمار می‌رود با این حال تاکنون ژنوتیپ کاملاً مقاوم در برابر بیماری پوسیدگی اسکلروتینیایی در آفتابگردان شناسایی نشده است هرچند که بعضی از ژنوتیپ‌ها مقاومت بیشتری در مقایسه با ژنوتیپ‌های دیگر نشان داده‌اند (Carson, 1991). مقاومت عمودی تا به حال در مقابل قارچ اسکلروتینیا در آفتابگردان زراعی شناسایی نشده است ولی تحقیقات نشان داده است که مقاومت به صورت افقی یا پلی‌ژنیک می‌باشد (Hahn, 2002; Ronicke *et al.*, 2005). در طی ۲۰ سال گذشته تلاش اصلی در تغییر روند روش‌های مبتنی بر گزینش فنوتیپی به سوی گزینش ژنوتیپی از طریق شناسایی جایگاه‌های صفات کمی در آفتابگردان بوده است. پیدایش تکنولوژی نشانگرهای DNA نقشه‌یابی مکان‌های ژنومی دخیل در مقاومت به بیماری‌ها را تسهیل کرده است. نشانگرهای مولکولی به علت خشی بودن و نداشتن آثار مستقیم بر صفت و نیز به دلیل عدم تأثیرپذیری از عوامل محیطی، ابزار مناسبی برای مکان‌یابی ژن‌های مختلف و گزینش غیرمستقیم برای صفت هدف می‌باشد (Andaya *et al.*, 1996). تجزیه پیوستگی<sup>۲</sup> و تجزیه ارتباطی<sup>۳</sup> روش‌هایی هستند که برای مکان‌یابی جایگاه‌های کنترل کننده صفات کمی به کار می‌روند. در تجزیه ارتباطی با اتکا بر عدم تعادل پیوستگی، روابط واریانس فنوتیپی و چند شکلی ژنتیکی ژرمپلاسم بدون توسعه نقشه‌یابی صفات در گونه‌های مختلف گیاهی به طور موفقیت‌آمیز در نقشه‌یابی صفات در گونه‌های مختلط گیاهی استفاده شده است (Bresegheello and Sorrells, 2006). اولین مطالعه تجزیه ارتباطی در خصوص شناسایی نشانگرهای پیوسته با مناطق ژنومی درگیر در زمان گلدهی و ژن dwarf8 در ذرت بوده است (Thornsberry *et al.*, 2001).

1- Ascomycetes

2- Linkage analysis

3- Association analysis

۵ بوته از هر ژنوتیپ در هر تکرار با جدایه قارچی جمع‌آوری شده از گیاهان آفتابگردان آلوده همان مزرعه در سال قبل تلقیح شدند و پیشرفت سرعت آلودگی بعد از ۴، ۸ و ۱۲ روز یادداشت‌برداری شد. همچینین بعد از برداشت طبق‌ها در مرحله رسیدگی فیزیولوژیک، وزن ۱۰۰ دانه در گیاهان آلوده شده، وزن ۱۰۰ دانه در گیاهان آلوده نشده، عملکرد تک گیاه در گیاهان آلوده نشده، افت وزن ۱۰۰ دانه و افت عملکرد تک گیاه اندازه‌گیری و محاسبه شد.

۱۰ کرت زراعی بود. در هر کرت ۲ ردیف به طول ۵ متر با فاصله بین ردیف ۶۵ سانتی‌متر و فاصله بین بوته ۲۵ سانتی‌متر در نظر گرفته شد. چهار روز قبل از کشت مزرعه آبیاری شد. پس از سبز شدن گیاهچه‌ها در مرحله ۴ برگی تنک کردن به منظور نگه داشتن یک بوته در هر کپه انجام گرفت. مبارزه با علف‌های هرز به صورت مکانیکی و بنابه نیاز انجام گرفت. بعد از رسیدن گیاهان به مرحله ۸ برگی کود اوره به مقدار ۱۰۰ کیلوگرم در هکتار به صورت سرک بین ردیف‌ها پخش شد و بلافاصله آبیاری انجام گرفت. در حین گلدهی، طبق‌ها جهت جلوگیری از خسارت پرندگان با پاکت‌های سفید رنگ پوشانده شدند.

جدول ۱- نام و منشاء لاین‌های آفتابگردان روغنی مورد مطالعه

Table 1- Name and origin of the studied oily sunflower lines

مرکز تحقیقاتی Research center	کشور Country	لاین Line	ردیف Row	مرکز تحقیقاتی Research center	کشور Country	لاین Line	ردیف Row
ASGROW	فرانسه	H100A/LC1064	51	IFVC	صریستان	803-1	1
ASGROW	فرانسه	H100A/90R78	52	USDA	آمریکا	HAR4	2
ASGROW	فرانسه	AS613	53	USDA	آمریکا	SDB1	3
ASGROW	فرانسه	H100A	54	USDA	آمریکا	SDR18	4
ASGROW	فرانسه	H209A/H566R	55	USDA	آمریکا	RHA274	5
ASGROW	فرانسه	H100A/83HR4	56	USDA	آمریکا	SDB3	6
ENSAT	فرانسه	H205A/H543R	57	USDA	آمریکا	HA335B	7
ENSAT	فرانسه	H209A/LC1064	58	USDA	آمریکا	PM1-3	8
ENSAT	فرانسه	AS5304	59	USDA	آمریکا	SDR19	9
ENSAT	فرانسه	LP-CSYB	60	USDA	آمریکا	HA337B	10
ENSAT	فرانسه	ENSAT-283	61	USDA	آمریکا	HA304	11
ENSAT	فرانسه	AS3211	62	USDA	آمریکا	RHA858	12
ENSAT	فرانسه	AS5306	63	USDA	آمریکا	RHA266	13
ENSAT	فرانسه	ENSAT-254	64	SPII	ایران	344	14
ENSAT	فرانسه	ENSAT-270	65	SPII	ایران	11*12	15
ENSAT	فرانسه	1009329 2 (100K)	66	SPII	ایران	26	16
ENSAT	فرانسه	1009337 (100K)	67	SPII	ایران	38	17
ENSAT	فرانسه	100935 0(100K)	68	SPII	ایران	346	18
ENSAT	فرانسه	ENSAT-699	69	SPII	ایران	260	19
ENSAT	فرانسه	AS3232	70	SPII	ایران	262	20
ENSAT	فرانسه	PAC2	71	SPII	ایران	1059	21
ENSAT	فرانسه	1009370-1 (100K)	72	SPII	ایران	36	22
ENSAT	فرانسه	1009370 3(100K)	73	SPII	ایران	30	23
ENSAT	فرانسه	ENSAT-695	74	SPII	ایران	28	24
ENSAT	فرانسه	AS6305	75	BRN	فرانسه	5DES20QR	25
ENSAT	فرانسه	AS0-1-POP-A	76	C.F	فرانسه	7CR16 D PRH6	26
ENSAT	فرانسه	CAY	77	ASGROW	فرانسه	110	27
ENSAT	فرانسه	703-CHLORINA	78	ASGROW	فرانسه	LC1064C	28
NOVARTIS	فرانسه	NS-R5	79	ASGROW	فرانسه	H158A*LC1064C	29
NOVARTIS	فرانسه	NS-B5	80	ASGROW	فرانسه	AS305	30
NOVARTIS	فرانسه	NSF1A4*R5	81	USDA	آمریکا	RHA265	31

NOVARTIS	فرانسه	NSF1A5*R5	82	ASGROW	فرانسه	H100B	32
NOVARTIS	فرانسه	AF1 POPA	83	ASGROW	فرانسه	SSD580	33
NOVARTIS	فرانسه	BF1 POPB	84	ASGROW	فرانسه	SSD581	34
INRAMONT	فرانسه	TMB51	85	ASGROW	فرانسه	5AS-F1/A2*R2	35
INRAMONT	فرانسه	QHP1	86	ASGROW	فرانسه	8ASB2	36
INRAMONT	فرانسه	D34	87	ASGROW	فرانسه	12ASB3	37
INRAMONT	فرانسه	H603R	88	ASGROW	فرانسه	15031	38
INRAMONT	فرانسه	PES	89	ASGROW	فرانسه	H158A/LC1064C	39
INRAMONT	فرانسه	SDB2	90	ASGROW	فرانسه	H543R/H543R	40
-	فرانسه	H049 C FSB	91	ASGROW	فرانسه	H156A/RHA274	41
-	مجارستان	F1250/03	92	ASGROW	فرانسه	H205A/83HR4	42
-	مجارستان	B454/03	93	ASGROW	فرانسه	H158A/H543R	43
RUSTICA	فرانسه	RT931	94	ASGROW	فرانسه	H209A/83HR4	44
RUSTICA	فرانسه	RT948	95	ASGROW	فرانسه	H157A/LC1064	45
Caussade semences	فرانسه	CSWW2X	96	ASGROW	فرانسه	H156A/H543R	46
Caussade semences	فرانسه	9CSAS	97	ASGROW	فرانسه	H100A/H543R	47
ENSAT	فرانسه	SF082	98	ASGROW	فرانسه	H100A/H543R	48
ENSAT	فرانسه	SF023	99	ENSAT	فرانسه	SF576	49
ENSAT	فرانسه	SF105	100	ENSAT	فرانسه	SF085	50

تگ پلی مراز (شرکت سیناژن، تهران، ایران) و ۱۰ میکرومول از هر آغازگر به همراه آب دیونیزه در دستگاه ترمال سایکلر انجام گرفت. برنامه دمایی واکنش زنجیره‌ای پلیمراز به صورت: ۴ دقیقه واپرسخت‌سازی اولیه در ۹۴ درجه سانتی‌گراد و ۳۶ چرخه شامل ۴۰ ثانیه در ۹۴ درجه سانتی‌گراد (جهت واپرسخت‌سازی)، ۴۰ ثانیه در دمای اتصال اختصاصی مربوط به هر آغازگر (جهت اتصال) و ۲ دقیقه در ۷۲ درجه سانتی‌گراد (جهت بسط) و بسط نهایی در ۷۲ درجه سانتی‌گراد به مدت ۱۰ دقیقه بود. تفکیک محصولات تکثیری با استفاده از ژل آگارز ۱/۸ درصد و بافر TBE ۰/۵x با ولتاژ ۶۵ ولت به مدت ۳ ساعت انجام و رنگ‌آمیزی با اتیدیوم برومايد انجام گرفت. برای تعیین اندازه باندها از نشانگر O'GeneRuler (شرکت فرمنتاز) استفاده شد.

**ارزیابی مولکولی**  
پروفیل مولکولی زوتیپ‌ها با نشانگرهای مبتنی بر رتروترنسپوزون در پژوهشکده زیست فناوری دانشگاه ارومیه تهیه شد. استخراج DNA به روش CTAB از بافت تازه برگی گیاهچه‌های ۱۵ روزه انجام گرفت و کیفیت و کمیت DNA با استفاده از الکتروفوروز ژل آگارز ۱٪ و با استفاده از اسپکتوفوتومتری تعیین شد. از ۲۸ آغازگر مبتنی بر رتروترنسپوزون شامل ۱۴ آغازگر IRAP و ۱۴ آغازگر REMAP استفاده شد (جدول ۲). واکنش‌های PCR در حجم نهایی ۲۰ میکرولیتر، حاوی ۲۰ نانوگرم DNA ژنومی، ۲ میکرولیتر بافر ۰/۷ (500 mM KCl, 500 mM Tris-HCl pH 8.4) ۱۰x PCR میکرولیتر کلرید منیزیم ۵۰ میلی‌مولار (شرکت سیناژن، تهران، ایران)، ۰/۲۵ میلی‌مول از هر ۱/۱ واحد آنزیم (Biofluxbiotech dNTP) جدول ۲- نام و توالی آغازگرهای مورد استفاده در این تحقیق

Table 2- Name and sequence of primers used in the present study

آغازگر رتروترنسپوزون Retrotransposon primer	آغازگر (۳'→۵') Primer sequences (۵'→۳')	توالی آغازگر (۵'→۳') Primer sequences (۵'→۳')	ISSR ISSR primer	آغازگر (۳'→۵') Primer sequences (۵'→۳')	توالی آغازگر (۳'→۵') Primer sequences (۵'→۳')
LTR- 1061	AGAGGGGAATGTGGGGTTTCC		UBC-818	CACACACACACACAG	
LTR-1062	TCTCTATTATAGCCGGAGAGGTG		UBC-826	ACACACACACACACAC	
LTR-1063	GATCCGGTTTCACGGACTTAC		UBC-840	GAGAGAGAGAGAGAGAYT	
LTR-1064	CGAAGAACAAACCGAACATCACC		UBC-857	ACACACACACACACACYG	
LTR-1065	AGCCTCTGAAAGACTCGTTCG		A13	GTGTGTGTGTGTCC	
CF	GGTTTAGGTTCGTAATCCACCGCG		UBC-812	GAGAGAGAGAGAGAGAA	
CR	ACAGACACCACTGGCACCAAC		UBC-864	ATGATGATGATGATGATG	
UF(U81)	TAACGGTGTCTGTTTGCAGG		UBC-880	GGAGAGGAGAGGAGA	
UR1(U82)	AGAGGGGAATGTGGGGTTTCC		-	-	

## نتایج و بحث

### آماره‌های توصیفی

جنبه‌های مهم توزیع مشاهدات صفات مورد مطالعه شامل شاخص‌های حداقل، حدکثر، میانگین و ضریب تغییرات در جدول ۳ ارائه شده است. ضریب تغییرات صفات مورد مطالعه بین ۰/۴۴ تا ۰/۴۸ درصد متغیر بود. بیشترین ضریب تغییرات در افت عملکرد تک بوته و افت وزن ۱۰۰ دانه مشاهده شد (جدول ۳). به دلیل این که پارامتر ضریب تغییرات تحت تأثیر واحد اندازه‌گیری صفت و یا دامنه تغییرات آن قرار نمی‌گیرد، نسبت به دیگر معیارهای تنوع از اهمیت بیشتری برخوردار است. با توجه به بالا بودن ضریب تغییرات برای لاین‌های مورد مطالعه می‌تواند به عنوان یک منبع اصلاحی خوب در نظر گرفته شود. بر مبنای صفت درصد پیشرفت آلوودگی در مراحل مختلف یادداشت‌برداری، چهار لاین (NSF1-A4×R5)، IRANI، NSF1-A4×R5 و ENSAT-254 (B454/03، ۲۱/۶۷، ۲۵/۰۰، ۳۶/۴۶، ۳۶/۷۵) مقاومت جزئی در برابر قارچ آلوودگی با میزان دادند.

### همبستگی‌های فنوتیپی

شناخت روابط بین صفات و برهم‌کنش آنها حداقل از دو جنبه اهمیت دارد، اول برای اصلاح غیر مستقیم عملکرد و دوم اینکه اصلاح‌گر درمی‌یابد که با اصلاح یک صفت، چه صفات دیگر خود به خود تغییر خواهند نمود. لذا در برنامه‌ریزی برای گزینش توجه به همبستگی صفات از اهمیت اساسی برخوردار است. همبستگی جزئی میزان ارتباط بین دو متغیر تصادفی را در حالی که تأثیر دیگر متغیرها حذف شده‌اند اندازه‌گیری می‌کند. صفات مربوط به درصد پیشرفت آلوودگی همبستگی جزئی مثبت و معنی‌دار در سطح احتمال ۱٪ با یکدیگر نشان دادند. هر سه صفت درصد پیشرفت بیماری با سایر صفات همبستگی جزئی منفی ولی غیر معنی‌دار نشان دادند. همبستگی منفی نشان‌دهنده کاهش عملکرد با افزایش درصد پیشرفت بیماری می‌باشد. بر اساس نتایج تجزیه همبستگی جزئی بیشترین همبستگی مثبت بین عملکرد تک بوته گیاهان آلووده شده با عملکرد تک بوته گیاهان آلووده نشده و همچنین افت عملکرد ۱۰۰ دانه با افت عملکرد تک بوته مشاهده شد.

### ارزیابی ساختار ژنتیکی

تجزیه مؤثر ساختار جمعیت و دسته‌بندی دقیق افراد به زیر جمعیت‌های مناسب با استفاده از ۲۳۱ نشانگر پلی مورف حاصل از آغازگر IRAP و آغازگر REMAP در نرم‌افزار TASSEL 2.1 انجام

### تجزیه و تحلیل داده‌ها

باندهای حاصل از نشانگرها به صورت یک (وجود باند) و صفر (عدم وجود باند) امتیازدهی و ماتریس حاصل برای بررسی ساختار جمعیت استفاده شد. ساختار جمعیت و دسته‌بندی دقیق ژنتیک‌ها به زیر جمعیت‌های مناسب و تهییه ماتریس  $Q^1$  با استفاده از روش Bayesian Structure در نرم‌افزار Rosenberg et al., 2002). این روش هریک از ژنتیک‌ها را طوری به زیر جمعیت‌های فرضی منتبه می‌کند که در هر زیر جمعیت میزان عدم تعادل پیوستگی حداقل و تعادل مرحله گامتی حدکثر باشد. مقادیر اولیه  $K$  (زیر جمعیت فرضی اولیه) بین ۱ تا ۱۰ در نظر گرفته شد و جهت افزایش دقت برای هر کدام از زیر جمعیت‌ها پنج تکرار منظور گردید برای این منظور از مدل Admixture و استقلال MCMC ۱۰۰۰۰۰ ۱۰۰۰۰۰۰ مرتبه اجرا در زمان<sup>۲</sup> و <sup>۳</sup> ۱۰۰۰۰۰۰۰ متساوية آلل‌ها با  $K=10$  مرتبه اجرا در زمان<sup>۲</sup> و <sup>۳</sup> ۱۰۰۰۰۰۰۰۰ متساوی می‌شود. نرم‌افزار Structure برای هر مقدار  $K$  (تعداد واقعی زیر جمعیت) یک ماتریس  $Q$  را محاسبه می‌کند که این ماتریس شامل برآورد ضرایب احتمال عضویت هر ژن‌تیپ در یکی از زیر جمعیت‌ها است. در باریلات حاصل، وقتی درصد عضویت یک ژن‌تیپ به آن کلاستر بیشتر یا مساوی ۷٪ باشد، ژن‌تیپ به آن کلاستر نسبت داده می‌شود، ولی در صورتی که درصد عضویت آن کمتر از این مقدار باشد، به عنوان ژن‌تیپ ترکیبی (مخلط شده) در نظر گرفته می‌شود (Spataro et al., 2011). تعداد واقعی زیر جمعیت توسط لگاریتم Likelihood برای هر Rosenberg et al., 2002)  $LnP(D)=L(K)$  تعیین می‌شود. از آن جایی که توزیع  $LnP(D)$  معمولاً عدد دقیق و واضحی از  $K$  واقعی را نشان نمی‌دهد،  $\Delta K$  مبنی بر برآورد ثانویه تغییر در Likelihood جهت برآورد دقیق مقدار واقعی  $K$  استفاده می‌شود (Evanno et al., 2005). شناسایی نشانگرهای مرتبط و دارای ارتباط معنی‌دار با صفات مورد ارزیابی بر اساس مدل خطی عمومی<sup>۴</sup> وابسته به ماتریس  $Q$  (ماتریس ضرایب ساختار به عنوان کوواریت) و مدل خطی مخلوط<sup>۵</sup> وابسته به ماتریس  $K+Q$  (ماتریس ضرایب ساختار جمعیت + ماتریس روابط خویشاوندی) که اثر نشانگر و ساختار جمعیت ثابت ولی Bradbury et al., 2007) اثر خویشاوندی تصادفی در نظر گرفته می‌شود (در نرم‌افزار TASSEL 2.1 انجام گرفت).

1- Q matrix

2- Burn in time

3- Markov Chain Monte Carlo

4- GLM: General linear model

5- MLM: Mixed linear model

(MLM) علاوه بر ماتریس ساختار جمعیت (ماتریس Q)، ماتریس روابط خویشاوندی (ماتریس K) بین افراد جمعیت نیز در تجزیه ارتباط به عنوان کواریت در نظر گرفته می‌شوند و بنابراین ارتباطات و پیوستگی‌های دروغین بین نشانگر و صفت به حداقل می‌رسد. نشانگرهای پیوسته با ۹ صفت بررسی شده با استفاده از دو مدل ارتباطی در جدول ۵ ارائه شده است. بر اساس مدل GLM ۲۵ نشانگر که ارتباط معنی‌داری ( $P < 0.01$ ) با صفات مورد مطالعه داشتند، شناسایی شدند. تعداد ۵ مکان مرتبط با درصد پیشرفت آلودگی بعد از ۴ روز، ۴ مکان مرتبط با پیشرفت آلودگی بعد از ۸ روز، ۳ مکان مرتبط با وزن صد دانه گیاه آلوده شده، ۳ مکان مرتبط با افت عملکرد وزن صد دانه و ۲ مکان مرتبط با افت عملکرد تک گیاه شناسایی گردید. برای صفات درصد پیشرفت آلودگی بعد از ۱۲ روز تعداد ۹ نشانگر و عملکرد تک بوته گیاه آلوده نشده تعداد ۷ نشانگر در سطح ۵٪ شناسایی شد. مقدار  $R^2$  (درصد تغییرات فنوتیپی توجیه شده) در محدوده ۸/۴ (cr9) تا ۲۴/۱ (cr6) (62655) متغیر بود. نشانگر 64a133 در سطح احتمال ۱٪ برای هر دو صفت عملکرد تک بوته گیاه آلوده شده و افت عملکرد صد دانه به صورت مشترک شناسایی شد. توالی‌یابی نشانگرهای آگاهی بخش با  $R^2$  بالا و مقایسه آنها با توالی‌های موجود در بانک‌های اطلاعاتی کارایی استفاده از آنها در برنامه‌های انتخاب به کمک نشانگر و همسان‌سازی ژن بر اساس نقشه را بالا می‌برد.

گرفت (شکل ۱ و ۲). با توجه به اینکه مقادیر حداکثر  $\Delta K$  در  $K=2$  به دست آمد، بنابراین ژنوتیپ‌های آفتابگردان مورد مطالعه به احتمال قوی دارای ۲ زیرجمعیت می‌باشند (شکل ۱). بر اساس نتایج ارائه شده در بارپلات (شکل ۲، ۱۵ ژنوتیپ ۱۵٪) متعلق به زیر ساختار اول (سبز) و ۵۱ ژنوتیپ (۵۱٪) متعلق به زیر ساختار دوم (قرمز) می‌باشند و ۳۴٪ از لاین‌ها دارای سهم عضویت کمتر از ۷٪ می‌باشند یعنی به ساختار مخلوط تعلق دارند. در مطالعات تجزیه ارتباط در حالت ایده‌آل نباید ساختاری در جمعیت مورد مطالعه وجود داشته باشد، یعنی جمعیت نباید به لحاظ ساختاری به زیر گروه‌های تقسیم شود، زیرا وجود ساختار در جمعیت مورد مطالعه می‌تواند عامل بازدارنده در جهت دستیابی به نتایج قابل اعتماد باشد و در صورتی که اثر عوامل ساختار جمیعت و روابط خویشاوندی در نظر گرفته نشوند، نتایج مثبت کاذب به وجود خواهد آمد (Carson, 1991). استفاده از مدل‌های آماری که اطلاعات مرتبط با ساختار ژنتیکی جمعیت (اطلاعات ماتریس Q) را در نظر می‌گیرند میزان خطأ را کاهش می‌دهد.

#### مکان‌یابی ارتباطی

چالش اصلی در تجزیه ارتباط متمایز ساختن روابط حقیقی بین نشانگرها و صفات از روابط کاذب ناشی از ساختار جمعیت و روابط خویشاوندی است. در این مطالعه برای شناسایی نشانگرهای مرتبط با صفات در آفتابگردان از تجزیه ارتباط به روش مدل خطی مخلوط (MLM) و مدل خطی عمومی (GLM) استفاده شد. در مدل خطی عمومی (GLM) تنها ساختار جمعیت، ولی در مدل خطی مخلوط

جدول ۳- آماره‌های توصیفی برای صفات ارزیابی شده در لاین‌های آفتابگردان روغنی

Table 3- Simple statistics for studied traits in oily sunflower lines

صفات Traits	میانگین $\pm SE$	حداقل Minimum	حداکثر Maximum	ضریب تغییرات CV%
درصد پیشرفت آلودگی بعد از ۴ روز Percentage of necrotic area after 4 days	65.43±2.15	15.00	100.00	31.81
درصد پیشرفت آلودگی بعد از ۸ روز Percentage of necrotic area after 8 days	74.54±2.03	20.00	100.00	26.47
درصد پیشرفت آلودگی بعد از ۱۲ روز Percentage of necrotic area after 12 days	82.29±1.73	25.00	100.00	20.44
وزن ۱۰۰ دانه آلوده نشده 100 seeds weight of non contaminated plants	5.78±0.20	2.10	10.75	32.98
وزن ۱۰۰ دانه آلوده شده 100 seeds weight of contaminated plants	4.86±0.18	1.55	9.85	35.26
افت وزن ۱۰۰ دانه 100 seeds weight loss	24.95±2.23	1.42	73.71	72.51
عملکرد تک بوته آلوده نشده Yield per plant in non contaminated plants	38.22±2.00	8.30	113.1	49.70
عملکرد تک بوته آلوده شده Yield per plant in contaminated plants	29.54±1.63	2.75	66.14	53.10
افت عملکرد تک بوته Per plant yield loss	29.91±2.83	0.00	89.91	78.48

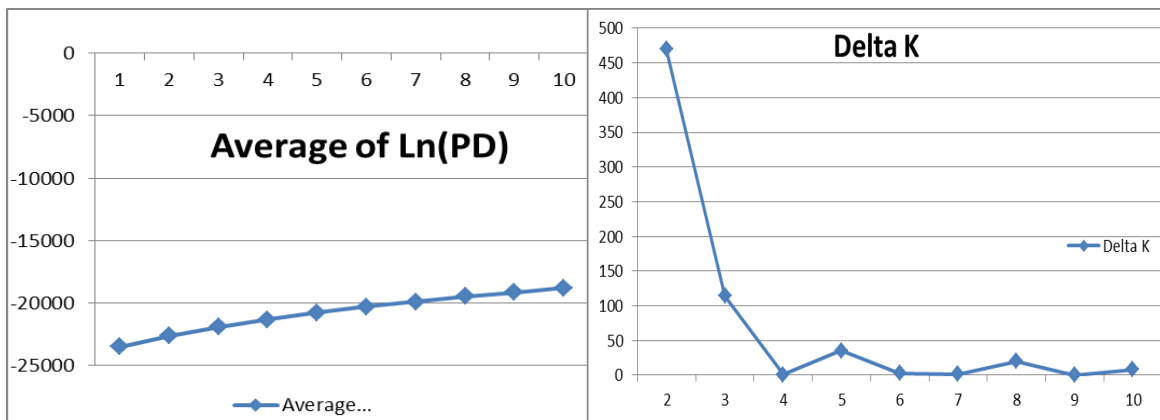
CV: Coefficient of variation

جدول ۴- ضرایب همبستگی جزئی صفات مورد مطالعه در لاین‌های خالص آفتابگردان

Table 4- Partial correlation coefficients among studied traits in oily sunflower lines

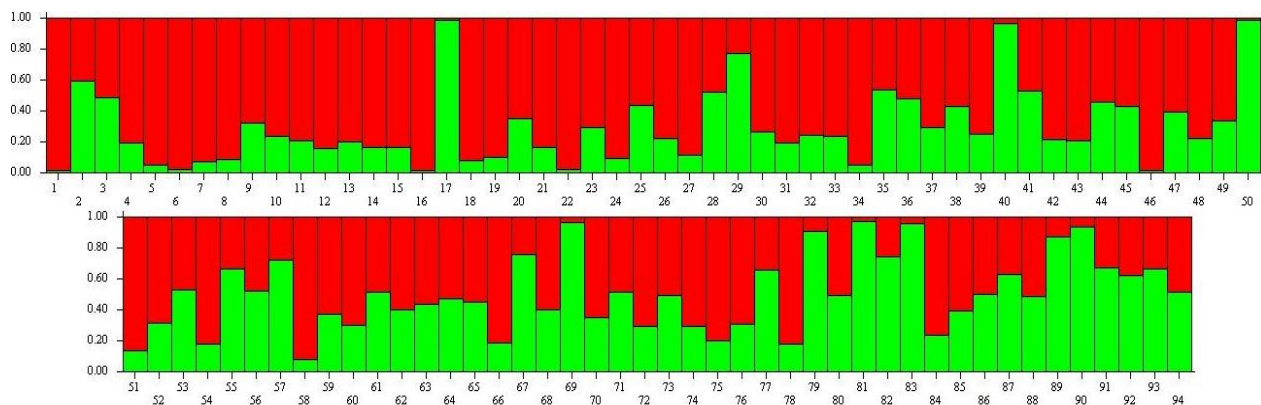
	درصد پیشرفت آلدگی بعد از ۸ روز Percentage of necrotic area after 4 days	درصد پیشرفت آلدگی بعد از ۸ روز Percentage of necrotic area after 8 days	درصد پیشرفت آلدگی بعد از ۱۲ روز Percentage of necrotic area after 12 days	وزن ۱۰۰ دانه ۱۰۰ seeds weight of non contaminated plants	وزن ۱۰۰ دانه ۱۰۰ seeds weight of contaminated plants	عملکرد تک بوته آلد شده Yield per plant in non contaminated plants	عملکرد تک بوته آلد شده Yield per plant in contaminated plants	افت عملکرد ۱۰۰ دانه 100 seeds weight loss
درصد پیشرفت آلدگی بعد از ۸ روز Percentage of necrotic area after 8 days		0.86**	-	-	-	-	-	-
درصد پیشرفت آلدگی بعد از ۱۲ روز Percentage of necrotic area after 12 days	0.76**		0.81**	-	-	-	-	-
وزن ۱۰۰ دانه ۱۰۰ seeds weight of non contaminated plants	-0.02 <sup>n.s</sup>	-0.00 <sup>n.s</sup>	0.05 <sup>n.s</sup>	-	-	-	-	-
وزن ۱۰۰ دانه ۱۰۰ seeds weight of contaminated plants	0.00 <sup>n.s</sup>	0.01 <sup>n.s</sup>	0.04 <sup>n.s</sup>	0.67**	-	-	-	-
عملکرد تک بوته آلد شده Yield per plant in non contaminated plants	-0.02 <sup>n.s</sup>	0.06 <sup>n.s</sup>	0.10 <sup>n.s</sup>	0.61**	0.43**	-	-	-
عملکرد تک بوته آلد شده Yield per plant in contaminated plants	0.04 <sup>n.s</sup>	0.05 <sup>n.s</sup>	0.10 <sup>n.s</sup>	0.43 <sup>n.s</sup>	0.65**	0.72**	-	-
افت عملکرد ۱۰۰ دانه 100 seeds weight loss	-0.03 <sup>n.s</sup>	0.00 <sup>n.s</sup>	0.02 <sup>n.s</sup>	0.22 <sup>n.s</sup>	-0.54 <sup>n.s</sup>	0.09 <sup>n.s</sup>	-0.36**	-
افت عملکرد تک بوته Per plant yield loss	-0.02 <sup>n.s</sup>	0.01 <sup>n.s</sup>	0.00 <sup>n.s</sup>	0.14 <sup>n.s</sup>	-0.40**	0.17 <sup>n.s</sup>	-0.50**	0.68**

\* و \*\* اختلاف معنی‌دار بهترین در سطوح احتمال ۵٪ و ۱٪. n.s اختلاف غیر معنی‌دار در سطح ۵٪.



شکل ۱- نمودارهای دوطرفه برای تعیین تعداد زیرجمعیت‌ها در ژرمپلاسم آفتابگردان روغنی مورد مطالعه ( $K=2$ ) بر اساس نشانگرهای مبتنی بر رتوترنسپوزون در نرم‌افزار Structure

Figure 1- Bilateral graphs for determining optimum subpopulations in studied oily sunflower germplasm ( $K=2$ ) based on retrotransposon markers in Structure software



شکل ۲- تجزیه کالاستر مبتنی بر مدل Bayesian ۱۰۰ لاین آفتابگردان روغنی مورد مطالعه بر اساس مکان‌های زنی حاصل از دو نشانگر IRAP و REMAP. هر رنگ یک زیرجمعیت را نشان می‌دهد. اعداد روی محور افقی و عمودی به ترتیب شماره افراد و ضریب تعلق هر فرد به کالاستر یا زیرجمعیت را نشان می‌دهد

Figure 2- Bayesian model based-cluster analysis of 100 oily sunflower lines by using IRAP and REMAP markers data. Numbers on the y-axis indicate the membership coefficient (Q) and on the x-axis indicate the individual's number.

شناسایی نشانگرهای مشترک برای برخی صفات بررسی شده در مطالعه حاضر می‌تواند ناشی از اثرات پلیوتوبی و یا پیوستگی نواحی ژنومی دخیل در کنترل این صفات باشد (Jun *et al.*, 2008). شناسایی نشانگرهای مشترک اهمیت زیادی در بهترزایی گیاهان دارد، زیرا گزینش هم‌زمان چند صفت را امکان‌پذیر می‌سازد (Tuberosa *et al.*, 2002).

در بسیاری از مناطق رشد آفتابگردان در دنیا، اسکلروتینیا (*Sclerotinia sclerotiorum*) یکی از بیماری‌های مهم آفتابگردان می‌باشد. در مطالعه‌ای مکان‌های کمی (QTL) مقاومت به بیماری پوسیدگی طبق در دو ژرمپلاسم آفتابگردان آمریکایی شناسایی شد. هر کدام از ۵ QTL شناسایی شده در حدود ۱۲/۹٪ از تغییرات فنتیپی را توجیه می‌نمودند. بر اساس اظهار محققین این QTL ها می‌توانند

در تجزیه ارتباط بر اساس مدل MLM در سطح احتمال ( $P<0.01$ ) در مجموع ۲۷ مکان زنی مرتبط با ۹ صفت مورد مطالعه شناسایی شدند (جدول ۵). از کل مکان‌های مرتبط با صفات مورد ارزیابی به ترتیب ۵ و ۴ مکان ارتباط معنی‌داری با صفات درصد پیشرفت سطح آلودگی بعد از ۴ و ۸ روز، ۲ و ۴ مکان زنی مرتبط با صفات وزن صد دانه گیاه آلوده نشده و شده، ۲ و ۵ مکان مرتبط با صفات عملکرد تک بوته گیاه آلوده نشده و شده و ۲ و ۳ مکان مرتبط با صفات افت عملکرد صد دانه و تک بوته شناسایی گردید. در مدل MLM نیز برای صفت درصد پیشرفت آلودگی بعد از ۱۲ روز تعداد ۹ نشانگر در سطح ( $P<0.05$ ) شناسایی گردید. در مدل MLM نشانگر 618403 به طور مشترک برای هر دو صفت درصد پیشرفت بیماری بعد از ۸ روز و افت وزن صد دانه در سطح احتمال ۱٪ شناسایی شد.

CM265 لاین اینبرد مقاوم از خزانه ژنی NDBLOS و لاین حساس به بیماری پوسیدگی ساقه ارزیابی شد.

در برنامه اصلاح آفتابگردان مفید باشد (Yue *et al.*, 2008). در یک مطالعه دیگر، حساسیت ۳۵۱ خانواده F<sub>3</sub> حاصل از تلاقی بین یک

جدول ۵- نشانگرهای رتروترنسپوزون پیوسته با صفات ارزیابی شده در لاین‌های آفتابگردان روغنی مورد مطالعه بر اساس مدل‌های GLM و

## MLM

Table 5- Identification of retrotransposon markers associated with studied traits in oily sunflower lines by using general and mixed linear models

Trait	صفت	نشانگر				Trait	نشانگر				صفت	نشانگر					
		GLM		MLM			GLM		MLM			GLM		MLM			
		Retrotranspon marker	رتروترنسپوزون	Retrotranspon marker	در سطح		Retrotranspon marker	رتروترنسپوزون	Retrotranspon marker	در سطح		Retrotranspon marker	رتروترنسپوزون	Retrotranspon marker	در سطح		
		P-Value	R <sup>2</sup>		F-Value	P-Value		P-Value	R <sup>2</sup>		P-Value		P-Value	F-Value	P-Value		
درصد پیشرفت آلوگی بعد از ۴ روز Percentage of necrotic area after 4 days	62655 CR5	0.000 0.001	0.241 0.154	62655 CR5	22.45 13.97	0.000 0.000	عملکرد تک بوته آلوه نشده Yield per plant in non contaminated plants	648185 618187	0.017 0.019	0.125 0.136	648185 618187	7.88 7.22	0.006 0.009	CF8261	0.034	0.103	
درصد پیشرفت آلوگی بعد از ۸ روز Percentage of necrotic area after 8 days	648403 UFUR15 618402	0.001 0.004 0.008	0.154 0.133 0.122	648403 618402 UR18402	11.92 9.36 8.68	0.001 0.003 0.004	وزن صد دانه آلوه نشده 100 seeds weight of non contaminated plants	61658 CR9	0.024 0.023	0.119 0.112	655	0.024	0.112	CRUR11	0.050	0.106	
درصد پیشرفت آلوگی بعد از ۱۲ روز Percentage of necrotic area after 12 days	64653 64654 CFCR6	0.002 0.007 0.008	0.167 0.142 0.131	618403 618572 CFCR6	8.17 8.06 7.28	0.005 0.006 0.009	وزن صد دانه آلوه شده 100 seeds weight of contaminated plants	651 CR9	0.005 0.010	0.111 0.084	651	0.005	0.111	64A131	9.71	0.003	
افت عملکرد تک بوته Per plant yield loss	UR16 618401 651 648407	0.016 0.017 0.019 0.023	0.071 0.066 0.082 0.061	651 UR16 618401 CF8261	6.41 6.29 5.96 5.57	0.0133 0.014 0.017 0.021	عملکرد تک بوته آلوه شده آلوه شده 100 seeds weight of contaminated plants	CFCR2 648184 648402 64A131	0.010 0.004 0.008	0.094 0.115 0.112 0.103	64A131	0.008	0.103	64A131	9.28	0.003	
	648408 618575 627 CF8261 648404	0.024 0.026 0.027 0.029 0.041	0.060 0.060 0.089 0.066 0.049	648408 618575 UFUR111 648404 658183	5.38 5.27 5.21 4.43 4.21	0.023 0.024 0.026 0.038 0.043					CF8261	7.14	0.009	UR18403 64A1311 64A133 CF8182	11.89 10.98 9.54 8.50	0.001 0.002 0.003 0.004	
	648574 63644	0.007 0.007	0.106 0.096	63644 CF3 CRUR14	9.56 8.23 7.21	0.003 0.005 0.009	افت وزن صد دانه weight loss	618571 618189 64A133 618403	0.005 0.007 0.009 0.010	0.126 0.121 0.112 0.111	CF8182	8.19	0.006	UR18403 64A1311 64A133 618571	10.98 9.54 8.50	0.001 0.002 0.003 0.005	

که ارتباط معنی‌داری بین ژن کاندید *HaRIC-B* و قوع پوسیدگی طبق توسط پاتوژن قارچی در سطح ۱٪ وجود دارد (Fusari et al., 2012). در مطالعه‌ای تنوع ژنتیکی ۱۵ ژنتوتیپ آفتابگردان از کشورهای مختلف دنیا با استفاده از ۳۸ نشانگر SSR با هدف شناسایی نشانگرهای مرتبط با مکان‌های ژنی در گیر در مقاومت به پوسیدگی ساقه در برابر ۷ جدایه بیمارگ قارچی *S. sclerotiorum* ارزیابی شد. در این مطالعه ۵ نشانگر اختصاصی برای مقاومت جزئی در برابر جدایه‌ها شناسایی شد که دو تا از نشانگرهای بین بعضی از جدایه‌ها مشترک بودند. نشانگر ORS1256 برای دو جدایه SSU35 و SSU55 و نشانگر ORS49 برای دو جدایه SSU53 و SSU87 به طور مشترک شناسایی شدند (Darvishzadeh, 2012). در یک تحقیق مکان‌های ژنی دخیل در مقاومت به پوسیدگی ساقه در آفتابگردان با استفاده از ۲۶۰ ژنتوتیپ و هفت ژن کاندید شناسایی شد. در این مطالعه ۲ ژن به صورت معنی‌دار ( $P < 0.01$ ) در حدود ۷/۴٪ از تغییرات فوتیبی را در جمعیت توجیه می‌نمودند (Talukder et al., 2014). فوزاری و همکاران (Fusari et al., 2012) با استفاده از مدل خطی یک ژن کاندید برای مقاومت به بیماری اسکلروتینیا در آفتابگردان شناسایی کردند که ۲۰ درصد از تغییرات فوتیبی را توجیه می‌نمود.

اصلاح مقاومت آفتابگردان در مقابل *S. sclerotiorum* به دلیل توارث پیچیده این صفت مشکل می‌باشد ولی منابع مقاومت و نشانگرهای شناسایی شده در این مطالعه در جهت بهبود و تولید ژنتوتیپ‌های مقاوم امید بخش می‌باشند. بر پایه نتایج این تحقیق چهار لاین (NSF1-A4×R5, ENSAT-254, B454/03, A4×R5) و ایرانی با کد ۲۸ با سطح مقاومت و منشاء ژنتیکی مختلف می‌توانند به عنوان والدین هیبرید (مقاآم) مورد استفاده قرار گیرند. در صورت اجرای آزمایش‌های تکمیلی از جمله اجرای آزمایش در چند محیط و برآورده تغییرات ناشی از آثار متقابل ژنتوتیپ در محیط و همچنین تأیید نشانگرهای شناسایی شده، از نشانگرهای شناسایی شده می‌توان در برنامه‌های اصلاحی از جمله انتخاب به کمک نشانگر بهره برد. می‌توان با توالی‌بایی مکان‌هایی که تغییرات قابل توجهی از صفات را توجیه می‌نمایند، ژن‌های کدکننده مقاومت به بیماری و صفات مهم زراعی را شناسایی نمود.

## نتیجه‌گیری

این پژوهش با استفاده از مجموعه متنوعی از لاین‌های آفتابگردان روغنی و آغازگرهای رتوترنسپوزون به منظور شناسایی نشانگرهای مرتبط با مقاومت به بیماری انجام گرفت. با استفاده از مدل خطی مخلوط (MLM) در مجموع ۲۷ مکان مرتبط با ۹ صفت

در این مطالعه، ارزیابی در شرایط آلودگی مصنوعی در مزرعه طی دو فصل زراعی انجام گرفت. برای ۳ صفت مرتبط با مقاومت (پوسیدگی برگ، پوسیدگی ساقه و سرعت رشد قارچ) و دو صفت مورفولوژیک واریانس ژنتوتیبی بسیار معنی‌دار بود و همبستگی بالایی بین صفات مشاهده شد. QTL‌هایی برای هر سه صفت مقاومت شناسایی شد اما هر کدام از QTL‌ها دارای اثرات کوچکی بودند (Micic et al., 2004). در مطالعه دیگر ژنتوتیک مقاومت به پوسیدگی ساقه ناشی از *S. sclerotiorum* در جمعیت حاصل از تلاقی بین دو لاین مقاوم (NDBLOS<sub>sel</sub>×K04) بررسی شد. نتایج نشان داد که مقاومت به اسکلروتینیا کمی و مناطق ژنومی مختلفی در این فرآیند دخیل می‌باشد و دو مکان کمی برای مقاومت به پوسیدگی ساقه شناسایی شد که یکی از آنها QTL بزرگ اثر بود (Wurschum et al., 2014).

پیوستگی ژنتیکی بین نشانگرهای و مکان‌های ژنی صفات کمی، محتمل‌ترین توجیه برای وجود رابطه بین نشانگرهای مولکولی و نمود صفات کمی است و استفاده از پیوستگی بین نشانگرهای مولکولی و ژن‌های کنترل کننده صفات کمی، فرآیند اصلاح نباتات را تسريع کرده است به طوری که به جای ارزیابی صفات، گزینش غیرمستقیم به کمک نشانگرهای پیوسته صورت می‌گیرد. نقشه‌بایی ارتباطی نقش کلیدی در شناسایی عوامل مؤثر در تغییرات کمی بازی می‌کند. اساس طراحی و انجام روش‌های تجزیه ارتباط نیاز به درک و فهم ساختار LD در یک گونه گیاهی است (Flint-Garcia et al., 2003). تجزیه ژنتوتیک صفات کمی از طریق نقشه‌بایی ارتباطی در گیاهان زراعی مختلف (*Arabidopsis*) مانند جو (Inostroza et al., 2008)، آرایدوبیسین (Sukumaran et al., 2012) (Aranzana et al., 2005)، سورگوم (Liue et al., 2010) و گندم (Roy et al., 2006) انجام شده است. در تحقیقی تجزیه ارتباط بین ۱۱ صفت زراعی در گندم و ۵۱۹ نشانگر شامل ۲۲۱ نشانگر SSR، ۴۳ نشانگر SAMPL و ۲۲۵ نشانگر AFLP بررسی شد. در نشانگرهای SSR بیشترین میزان ضریب تبیین مربوط به صفت شاخص برداشت با ۲۸٪ و در نشانگر SAMPL بیشترین میزان ضریب تبیین مربوط به صفت شاخص برداشت با ۲۰٪ در نشانگرهای AFLP بیشترین میزان ضریب تبیین مربوط به صفت شاخص برداشت با ۲۹٪ بود (Roy et al., 2006).

در تحقیقی واکنش ۹۴ لاین اینبرد آفتابگردان تحت شرایط مزرعه‌ای به صورت متنوعی در مقابل قارچ *Sclerotinia scleritiorum* مورد بررسی قرار گرفت. در این مطالعه ۴۳ ژن کاندید بر اساس مطالعات پروفایل رونوشت در آفتابگردان و کلزا آلوده شده با قارچ *S. sclerotiorum* انتخاب شدند. بررسی ارتباط بین ژنتوتیپ پوسیدگی طبق توسط پاتوژن قارچی و چند شکلی هاپلوتاپ در ژن‌های کاندید با استفاده از مدل خطی مخلوط (MLM) نشان داد

برنامه‌های بهترادی به منظور شناسایی والدین مناسب برای تهیه جمعیت‌های نقشه‌یابی، تهیه ارقام هیرید و نیز گزینش به کمک نشانگر MAS<sup>۱</sup> استفاده نمود.

مورد مطالعه شناسایی شدند. مکان‌های ژنی مرتبط با صفات زراعی و مقاومت به بیماری را می‌توان از طریق تلاقي‌های کلاسیک به زمینه ژنتیکی سایر ژنوتیپ‌ها انتقال داد. با تبدیل نشانگرهای شناسایی شده در تحقیق حاضر به نشانگرهای SCAR می‌توان از آن‌ها در

## References

- Abdi, N., Darvishzadeh, R., Jafari, M., Pirzad, A., and Haddadi, P. 2012. Genetic analysis and QTL mapping of agro-morphological traits in sunflower (*Helianthus annuus* L.) under two contrasting water treatment conditions. *Plant Omics* 5 (2): 149-158.
- Allinne, C., Maury, P., Sarrafi, A., and Grieu, P. 2009. Genetic control of physiological traits associated to low temperature growth in sunflower under early sowing conditions. *Plant Science* 177: 349-359.
- Anandhan, T., Manivannan, N., Vindhiyaman, P., and Jeykaumar, P. 2010. Single marker analysis in sunflower (*Helianthus annuus* L.). *Electronic Journal of Plant Breeding* 1 (4): 1227-1234.
- Andaya, V. C., Tabanao, D., Maramara, G., and Sebastian, L. S. 1996. Correlation of molecular diversity with heterosis in nine lowland rice. *Philippine Journal of Crop Science* 21: 4.
- Aranzana, M. J., Kim, S., Zhao, K., Bakker, E., Horton, M., Jakob, K., Lister, C., Molitor, J., Shindo, C., Tang, C., Toomajian, C., Traw, B., Zheng, H., Bergelson, J., Dean, C., Marjoram, P., and Nordborg, M. 2005. Genome-wide association mapping in *Arabidopsis* identifies previously known flowering time and pathogen resistance genes. *PLoS Genet* 1(5): e60.
- Bolton, M. D., Thomma, B. P. H. J., and Nelson, B. D. 2006. *Sclerotinia sclerotiorum* (Lib.) de Bary: biology and molecular traits of a cosmopolitan pathogen. *Molecular Plant Pathology* 7: 1-166.
- Bradbury, P. J., Zhang, Z., Kroon, D. E., Casstevens, T. M., Randoss, Y., and Buckler, E. S. 2007. TASSEL: software for association mapping of complex traits in diverse samples. *Bioinformatics* 23: 2633-2635.
- Breseghezzo, F., and Sorrells, M. E. 2006. Association mapping of kernel size and milling quality in wheat (*Triticum aestivum* L.) cultivars. *Genetics* 172: 1165-1177.
- Campbell, M. A., Fitzgerald, H. A., and Ronald, P. C. 2002. Engineering pathogen resistance in crop plants. *Transgenic Research* 11: 599-613.
- Carson, M. L. 1991. Relationship between phoma black stem severity and yield losses in hybrid sunflower. *Plant Disease* 75: 1150-1153.
- Darvishzadeh, R. 2012. Association of SSR markers with partial resistance to *Sclerotinia sclerotiorum* isolates to sunflower. *Australian Journal of Crop Science* 6 (2): 276-282.
- Ebrahimi, A., and Sarrafi, A. 2012. Genetic Variability and identification of markers in gamma-irradiation induced mutants of sunflower under water stress condition. *Iranian Journal of Genetics and Plant Breeding* 1 (2): 1-8.
- Evanno, G., Regnaut, E., and Goudet, J. 2005. Detecting the number of clusters of individuals using the software STRUCTURE: a simulation study. *Molecular Ecology* 14: 2611-2620.
- Eyyaznejad, N., and Darvishzadeh, R. 2014. Identification of QTLs for grain yield and some agro-morphological traits in sunflower (*Helianthus annuus* L.) using SSR and SNP markers. *Journal of Plant Molecular Breeding* 2 (2): 68-87
- Flint-Garcia, S. A., Thornsberry, J. M., and Buckler, E. S. 2003. Structure of linkage disequilibrium in plants. *Annual Review of Plant Biology* 54: 357-374.
- Fusari C. M., Rienzo J. A. D., Troglia C., Nishinakamasu V., Moreno M. V., Maringolo C., Quiroz F., Álvarez D., Escande A., Hopp E., Heinz R., Lia V. V., and Paniego N. B. 2012. Association mapping in sunflower for sclerotinia head rot resistance. *BMC Plant Biology* 12 (93): 1-13.
- Gulya, T. J., Rashid, K. Y., and Masirevic, S. N. 1997. Sunflower diseases. In *Sunflower technology and production*, Madison, Wisconsin, USA, p. 263-379.
- Hahn, V. 2002. Genetic variation for resistance to *Sclerotinia* head rot in sunflower inbred lines. *Field Crops Research* 77: 153-159.
- Inostroza, L., Pozo, A. D., Matus, I., Castillo, D., Hayes, P., Machado, S., and Corey, A. 2009. Association mapping of plant height, yield, and yield stability in recombinant chromosome substitution lines (RCSLs) using *Hordeum vulgare* subsp. *spontaneum* as a source of donor alleles in a *Hordeum vulgare* subsp. *Vulgare* background. *Molecular Breeding* 23: 365-376.
- Jun, T. H., Van, K., Kim, M. Y., Lee, S. H., and Walker, D. R. 2008. Association analysis using SSR markers to find QTL for seed protein content in soybean. *Euphytica* 62: 179-191.
- Liue, L., Wang, L., Yao, J., Zheng, Y., and Zhao, C. 2010. Association mapping of six agronomic traits on

- chromosome 4A of wheat (*Triticum aestivum* L.). *Molecular Plant Breeding* 1 (5): 1-10.
22. Mandel, J. R., Nambeesan, S., Bowers, J. E., Marek, L. F., Ebert, D., Rieseberg, L. H., Knapp, J. M., and Burk, J. M. 2013. Association mapping and the genomic consequence of selection in sunflower. *Genetics* 9 (3): 1-13.
  23. Masirevic, S., and Gulya, T. J. 1992. Sclerotinia and phomopsis-two devastating sunflower pathogens. *Field Crops Research* 30: 271-300.
  24. Micic, Z., Hahn, V., Bauer, E., Schon, C. C., Knapp, S. J., Tang, S., and Melchinger, A. E. 2004. QTL mapping of Sclerotinia midstalk rot resistance in sunflower. *Theoretical and Applied Genetics* 109: 1474-1484.
  25. Myles, S., Peiffer, J., Brown, P. J., Ersoz, E. S., Zhang, Z., Costich, D. E., and Buckler, E. S. 2009. Association mapping: critical considerations shift from genotyping to experimental design. *Plant Cell* 21: 2194-2202.
  26. Onemli, F., and Gucer, T. 2010. Response to drought of some wild species of *Helianthus* at seedling growth stage. *Helia* 33 (53): 45-54.
  27. Pritchard, J. K., Stephens, M., and Donnelly, P. 2000. Inference of population structure using multilocus genotype data. *Genetics* 155: 945-959.
  28. Purdy, L. H. 1979. *Sclerotinia sclerotiorum*: History, diseases and symptomatology, host range, geographic distribution and impact. *Phytopathology* 69: 875-880.
  29. Rafalski, J. A. 2002a. Applications of single nucleotide polymorphisms in crop genetics. *Current Opinion in Plant Biology* 5: 94-100.
  30. Rafalski, J. A. 2002b. Novel genetic mapping tools in plants: SNPs and LD-based approaches. *Plant Science* 162: 329-333.
  31. Rönicke, S., Hahn, V., and Friedt, W. 2005. Resistance to *Sclerotinia sclerotiorum* of 'high oleic' sunflower inbred lines. *Plant Breeding* 124: 376-381.
  32. Rosenberg, N. A., Pritchard, J. K., Weber, J. L., Cann, H. M., Kidd, K. K., Zhivotovsky, L. A., and Feldman, M. W. 2002. Genetic structure of human populations. *Science* 298: 2381-2385.
  33. Roy, J. K., Bandopadhyay, R., Rustgi, S., Balyan, H. S., and Gupta, P. K. 2006. Association analysis of agronomically important traits using SSR, SAMPL and AFLP markers in bread wheat. *Current Science* 90: 5-10.
  34. Spataro, G., Tiranti, B., Arcaleni, P., Bellucci, E., Attene, G., Papa, R., Spagnoletti Zeuli, P., and Negri, V. 2011. Genetic diversity and structure of a worldwide collection of *Phaseolus coccineus* L. *Theoretical and Applied Genetics* 122: 1281-1291.
  35. Speed, D., Hemani, G., Johnson, M. R., and Balding, D. J. 2012. Improved heritability estimation from genome-wide SNPs. *American Journal of Human Genetics* 91: 1011-1021.
  36. Sukumaran, S., Xiang, W., Bean, S. R., Pedersen, J. F., Kresovich, S., Tuinstra, M. R., Tesso, T. T., Hamblin, M. T., and Yu, J. 2012. Association mapping for grain quality in a diverse sorghum collection. *The Plant Genome* 5: 126-135.
  37. Talukder, I. Z., Hulke, S. B., Qi, L., Scheffler, E. B., Pegadaraju, V., McPhee, K., and Gulya, J. T. 2014. Candidate gene association mapping of Sclerotinia stalk rot resistance in sunflower (*Helianthus annuus* L.) uncovers the importance of COI1 homologs. *Theoretical and Applied Genetics* 127: 193-209.
  38. Thornsberry, J. M., Goodman, M. M., Doebley, J., Kresovich, S., and Nielsen, D. 2001. Dwarf8 polymorphisms associate with variation in flowering time. *Nature Genetics* 28: 286-89.
  39. Tuberosa, R., Salvi, S., Sanguineti, M. C., Landi, P., Maccaferri, M., and Conti, S. 2002. Mapping QTLs regulating morpho-physiological traits and yield in drought-stressed maize: case studies, shortcomings and perspectives. *Annals of Botany* 89: 941-963.
  40. Wang, W. Y. S., Barratt, B. J., Clayton, D. G., and Todd, J. A. 2005. Genome-wide association studies: theoretical and practical concerns. *Nature Reviews Genetics* 6: 109-118.
  41. Würschum, T., Anyanga, W. O., and Hahn, V. 2014. Inheritance of *Sclerotinia* Midstalk Rot Resistance in Elite Sunflower Breeding Germplasm. *Helia* 37 (61): 193-203.
  42. Yue, B., Radi, S. A., Vick, B. A., Cai, X., Tang, S., Knapp, S. J., Gulya T. J., Miller J. F., and Hu, J. 2008. Identifying quantitative trait loci for resistance to Sclerotinia head rot in two USDA sunflower germplasms. *Phytopathology* 98: 926-931.
  43. Zhu, C., Gore, M., Buckler, E. S., and Yu, J. 2008. Status and prospects of association mapping in plants. *Plant Genome* 1: 5-20.



## Evaluation of Retrotransposon-based Markers for Identification of Genetic Loci Associated with Agro-morphological Characteristics and Resistance to Sclerotinia Basal Stem rotin Oily Sunflower (*Helianthus annuus*L.) under Filed Conditions

R. Paknia<sup>1</sup> - F. Shahriari<sup>2\*</sup> - R. Darvishzadeh<sup>3</sup> - S. Malekzadeh<sup>4</sup>

Received: 03-09-2016

Accepted: 01-03-2017

### Introduction

Sunflower (*Helianthus annuus* L.) is one of the most important crops grown mainly for edible oil. *Sclerotinia sclerotiorum* (Lib.) de Bary is a common and widespread pathogen of sunflower. Sclerotinia stem rot is one of the most damaging diseases of sunflower in world, causing average yield reductions of 10 to 20%. It causes total production loss under favorable environmental conditions. Hence, plant improvement projects must focus on creating of new genotypes with higher resistance against diseases. Resistance to *S. sclerotiorum* (Lib.) de Bary has been described as quantitatively inherited with additive and dominant gene effects. Identification of chromosome regions controlling partial resistance to sclerotinia stem rot can increase understanding about the genetic control of the diseases and developing cultivars with improved partial resistance. In this study, retrotranposon-based molecular markers associated with resistance to disease as well as some important agromorphological traits identified using general and mixed linear models in Tassel software.

### Material and Method

A collection of 100 sunflower lines, kindly provided by several research centers in Europe, Iran and the United States, were evaluated using a 10×10 simple lattice design with two replications. Each plot comprised 2 lines 5 m long, with a spacing of 65 × 25 cm between lines and plants, respectively. The experiment was conducted in 2015 at a farm in 'Vaghaslo-e-Sofla' village on Urmia. Five plants per genotype in each replication were inoculated with a fungal isolate collected from naturally infected sunflower plants of this farm in previous year. Some resistant and agronomical traits including percentage of necrotic area after 4, 8, 12 days inoculation, 100 seeds weight of non contaminated plants, 100 seeds weight of contaminated plants, yield per plant in non contaminated plants, yield per plant in contaminated plants, 100 seeds weight loss, and per plant yield loss were measured. The genetic profile of population was prepared with 28 rerotranspon markers.

### Result and Discussion

Based on molecular marker data, the studied association panel was subdivided into two subpopulations (K=2). Association analysis using mixed linear model (MLM) identified 27 loci significantly ( $P<0.01$ ) associated with studied traits. Maximum number of markers (5) was identified for percentage of necrotic area after 4 days and yield per plant in contaminated plants. Some common markers were identified for studied traits. Common markers for traits can be due to pleiotropic effects or linkage between genomic regions involved in controlling traits. Results of the current study present useful information about the genetic basis of the studied traits and can be used in different sunflower breeding programs including marker aided selection. In future studies, coding regions of important agronomical and resistance traits could be identified by sequencing loci with highest  $R^2$ .

1- PhD in Agricultural Biotechnology, Department of Plant Biotechnology, Faculty of Agriculture, Ferdowsi University of Mashhad

2- Professor, Department of Plant Biotechnology, Ferdowsi University of Mashhad

3- Professor, Department of Plant Breeding and Biotechnology, Faculty of Agriculture, Urmia University

4- Associate Professor, Department of Plant Biotechnology, Ferdowsi University of Mashhad

(\*- Corresponding Author Email: fshahria@yahoo.com.au)

## Conclusions

In sum, 27 loci associated with genomic regions controlling studied agro-morphological and resistant traits were identified. By converting identified retrotranspos-based molecular markers to SCAR, it is possible to use them directly in breeding activities such as identification of appropriate parents for developing mapping population, developing hybrid cultivars as well as marker assisted selection programs.

**Keywords:** Association mapping, Linkage disequilibrium, Molecular marker, Population structure, Sunflower



## اثر زمان محلول‌پاشی عناصر ریزمغذی نانو بر صفات کمی و کیفی در ۱۸ ژنوتیپ گندم دوروم دیم

یحیی فیروزی شاهعلی بگلو<sup>۱</sup> - حسن فیضی<sup>۲\*</sup> - اصغر مهربان<sup>۳</sup> - مسعود علی پناه<sup>۴</sup>

تاریخ دریافت: ۱۳۹۵/۰۷/۰۲

تاریخ پذیرش: ۱۳۹۶/۰۷/۲۵

### چکیده

با توجه به کمبود عناصر کم‌صرف و نیاز مبرم به غنی‌سازی زیستی در گیاهان مهم و راهبردی در تعزیز جامعه انسانی همچون گندم، ضرورت ایجاد می‌کند تا هرگونه راهکاری برای بهینه کردن تولید و کیفیت این محصول مورد ارزیابی قرار گیرد. از طرف دیگر یکی از راههای ساده برای نیل به خودکفایی و جامعه‌ای سالم و تندرست، اضافه کردن عناصر کم‌صرف به خاک و یا مصرف آن به صورت محلول‌پاشی می‌باشد. به منظور بررسی اثرات زمان‌های مختلف محلول‌پاشی نانو کلات سوپرپلاس بر عملکرد و اجزای آن و درصد پروتئین دانه در ارقام و لاین‌های گندم دوروم دیم، آزمایشی در سال زراعی ۱۳۹۳-۹۴ در منطقه مغان به صورت اسپیلت‌پلات بر پایه طرح بلوك‌های کامل تصادفی در سه تکرار اجرا شد. تیمارهای آزمایشی شامل زمان محلول‌پاشی کود نانو کلات سوپرپلاس (شرکت بیوزر) با غلظت دو در هزار در چهار زمان (زمان پنجهزمنی، خوشده‌ی، دانه‌بندی و شاهد عدم محلول‌پاشی) به عنوان عامل اصلی و رقم و لاین‌های گندم دوروم در ۱۸ سطح به عنوان عامل فرعی بودند. صفات موردنظری شامل طول بوته، تعداد پنجه و پنجه بارور، طول پدانکل، طول خوشة، تعداد سنبلاچه، تعداد دانه در سنبله، وزن دانه در خوشة، وزن کاه، وزن دانه در کل بوته، وزن کل بوته، تعداد روز تا ظهور سنبله، تعداد روز تا رسیدن، وزن هزار دانه، درصد پروتئین و عملکرد دانه بودند. نتایج نشان داد که زمان محلول‌پاشی اثر معنی‌داری بر صفات موردنظری داشت. محلول‌پاشی در زمان پنجهزمنی مناسب‌ترین اثر و عدم محلول‌پاشی (شاهد) کمترین تأثیر معنی‌دار بر صفات اندازه‌گیری شده را داشت. ارقام نیز از نظر صفات موردنظری تفاوت معنی‌داری با هم نشان دادند. همچنین اثر مقابله زمان محلول‌پاشی × ارقام مختلف نشان داد که بیشترین درصد پروتئین و عملکرد دانه در محلول‌پاشی عناصر ریزمغذی در مرحله پنجهزمنی بهترتبی در لاین‌های L5 (۱۲/۲۳ درصد) و L16 (۲۹/۴۸ کیلوگرم در هکتار) به دست آمد. همچنین درصد پروتئین در مرحله پنجهزمنی در رقیم دهدشت (۹/۱۰ درصد) و کمترین عملکرد دانه در عدم محلول‌پاشی در رقم سیمره و مرحله دانه‌بندی در لاین L7 (۷۷۱/۷۰ کیلوگرم در هکتار) به دست آمد.

### واژه‌های کلیدی: اجزای عملکرد، پروتئین دانه، محلول‌پاشی، لاین، غلات

عناصر کم‌صرف رنج می‌برند، بنابراین نیاز به غنی‌سازی زیستی در گیاه مهمی همچون گندم ایجاد می‌کند تا هرگونه راهکاری برای بهینه کردن تولید و کیفیت این محصول مورد ارزیابی قرار گیرد از طرف دیگر یکی از راههای ساده برای نیل به خودکفایی و جامعه‌ای سالم و تندرست، اضافه کردن عناصر کم‌صرف به خاک و یا مصرف آن به صورت محلول‌پاشی می‌باشد. مصرف بی‌رویه کودهای شیمیایی مانند نیتروژن و فسفر، عدم کاربرد کودهای دارای عناصر کم‌صرف، وجود خاک‌های آهکی با ماده آلی کم و کشت‌متناوب اراضی سبب تشدید کمبود عناصر کم‌صرف در خاک‌های زیر کشت غلات کشور گردیده است. کمبود عنصر روی هم به عنوان پنجمین عامل بیماری و مرگ در کشورهای در حال توسعه محسوب می‌شود (Li et al., 2015). بیشتر از ۲۰ درصد مرگ و میر کودکان زیر ۵ سال در دنیا به کمبود آهن و روی نسبت داده می‌شود (Velu et al., 2014).

امروزه استفاده از کودهای نانو در کشاورزی نویدبخش رهایی از

### مقدمه

ریزمغذی‌ها عناصر معدنی ضروری موردنیاز برای گیاه و توسعه جوامع انسانی است. با این حال، عناصر کم‌صرف اغلب در خاک، محصول و مواد غذایی وجود ندارد. بنابراین ریزمغذی‌ها به عنوان کود برای افزایش بهره‌وری محصول، به ویژه هنگامی که استفاده از کودهای معمولی (NPK)، مؤثر نیست استفاده می‌شود (Dimkpa et al., 2016). با توجه به اینکه بیش از ۳ میلیارد نفر در دنیا از کمبود

- دانش‌آموخته کارشناسی ارشد مهندسی تولیدات گیاهی، دانشگاه تربت حیدریه
- استادیار گروه تولیدات گیاهی و پژوهشکده زعفران، دانشگاه تربت حیدریه
- عضو هیئت علمی مرکز تحقیقات، آموزش و ترویج کشاورزی استان اردبیل (معان)

- دانشیار گروه تولیدات گیاهی، دانشگاه تربت حیدریه
- نویسنده مسئول: (Email: h.feizi@torbath.ac.ir)
- DOI: 10.22067/gsc.v16i1.59050

گرفته شد و کشت بعد از انجام عملیات متداول تهیه زمین، پخش کود، دیسک، لولرکشی و فاروکشی با بذرکار مخصوص کشت آزمایشات ویتراشتایگر (مدل کوچک و آزمایشگاهی دستگاه‌های بذرکار دقیق است که به منظور کاشت بذر غلات در کرت‌های کوچک و آزمایشی جهت مراکز تحقیقاتی ساخته شده است و در اغلب مراکز تحقیقاتی وجود داشته و از آن در پیاده‌سازی طرح‌ها استفاده می‌شود) انجام گرفت. میزان کود مصرفی تحت شرایط دیم بر اساس عرف مناطق دیم کاری منطقه و نیاز خاک به میزان ۵۰ کیلوگرم در هکتار فسفات آمونیوم به صورت پایه و ۵۰ کیلوگرم در هکتار کود اوره به صورت سرک مصرف شد. در این بررسی تیمارهای آزمایشی شامل زمان محلول‌پاشی کود نانو کلات سوپر پلاس (شرکت بیوزر) با غلظت دو در هزار در چهار در محلول زمان (زمان پنجه‌زنی، ظهرور سنبله، دانه‌بندی و شاهد (عدم محلول‌پاشی)) به عنوان عامل اصلی ۱۸ ژنتیکی گندم دوروم (انتخابی از آزمایشات بین‌المللی مرکز تحقیقات) به عنوان عامل فرعی در قالب طرح اسپلیت‌پلات بر پایه بلوک‌های کامل تصادفی در سه تکرار مورد بررسی قرار گرفت. مساحت هر کرت ۶۰ خط به طول شش متر و فواصل خطوط ۲۰ سانتی‌متر و فاصله ۷/۲ بین بذرها حدود ۳ سانتی‌متر) مترمربع و مساحت کرت قبل برداشت ۶ مترمربع بود. محلول‌پاشی کود نانو کلات سوپر پلاس بنا بر میزان پیشنهادی شرکت سازنده به میزان دو در هزار و بر اساس سطح مورد نظر، محاسبه و تهیه گردید. این کود ترکیبی غنی از عناصر میکرو، بهویژه آهن٪۸، روی٪۶ و منگنز٪۴ بود. علاوه بر آن حاوی عناصر دیگر نظیر منیزیم، بور، مس، مولیبدن، کلسیم٪۲ و اسیدهای آمینه: هیدروکسی پرولین، اسید اسپارتیک، ترئونین، سرین، پروولین، گلوتامیک اسید، گلیسین، آلانین، آرژینین، متیونین، ایزوولوسین، لوسین، تیروزین، فنیل آلانین، لیزین، هیستیدین، والین، سیستئین، آسپاراژین و تریپتوфан (۱٪)، اسید آسکوربیک (۰/۳٪) بود. نوع کلات و نانو ذرات استفاده شده در این کود به گونه‌ای بود که قابلیت استفاده در شرایط محلول‌پاشی و کودآبیاری را با ارتیخشی بالا داشت و در هر مرحله از تیمارهای موردنظر محلول‌پاشی انجام شد.

همچنین در زمان برداشت از هر کرت تعداد ۱۰ بوته انتخاب شده و پس از انتقال به آزمایشگاه صفاتی همچون ارتفاع بوته، طول پدانکل، تعداد پنجه‌ها و پنجه‌های بارور، طول سنبله، تعداد سنبله‌ها در سنبله، تعداد دانه در سنبله، وزن دانه در سنبله، عملکرد دانه در بوته اندازه‌گیری شد. برای اندازه‌گیری عملکرد دانه ۰/۵ متر از انتهای خطوط کشت به عنوان اثرات حاشیه‌ای حذف و برداشت از سطح شش مترمربع انجام و توزین گردید. همچنین از هر کرت آزمایشی یک نمونه ۱/۵ کیلوگرمی به آزمایشگاه شیمی و تکنولوژی غلات ارسال شد تا درصد پروتئین هر نمونه تعیین گردد. در نهایت داده‌های به دست آمده مرتب و پردازش شده و با استفاده از نرم‌افزارهای SPSS و MSTATC تجزیه و تحلیل آماری و مقایسه میانگین‌ها با

محدودیت‌های فنی استفاده از کودها شده است. نانو کودها به دلیل آزادسازی آهسته و کنترل شده عناصر در ناحیه مناسبی از ریشه، راندمان مصرف بالایی دارند. بهمود کارایی جذب، افزایش راندمان به دلیل سرعت جذب بیشتر، عدم اثلاف کودها به وسیله آبشویی و جذب کامل کود گیاه به دلیل رهاسازی عناصر غذایی با سرعت مطلوب در تمام فصل رشد، از ویژگی‌های مطلوب این کودها محسوب می‌شود (Alavi Matin *et al.*, 2015). سالانه ۳۰۰ تا ۴۰۰ هزار تن گندم دوروم در ایران تولید می‌شود که ۶۰ درصد آن برای تولید ماکارونی قابل استحصال است و بقیه نیاز داخلی از خارج وارد می‌شود. سرانه مصرف ماکارونی در کشور پنج کیلوگرم در سال است (حدود یک چهارم یک فرد اروپایی) و با توجه به وجود مواد مغذی چون گلوتن و بتاکاروتون در ماکارونی و ضایعات بسیار پایین آن، لازم است که میزان مصرف آن افزایش یابد. بدین منظور دولت با اعمال سیاست‌های تشویقی چون نرخ بالاتر خرید گندم دوروم (حدود ۶٪) نسبت به گندم نان و ارائه جوايز صادراتی به صادرکنندگان این محصول، سعی در افزایش تولید و صادرات آن دارد (Emam, 2011). فرضی اصل و ولیزاده (Feizi Asl and Valizadeh, 2004) حد بحرانی آهن، منگنز و روی را در خاک‌های گندم دیم شمال غرب را به ترتیب ۸/۸ و ۱۱/۳ و ۸۸/۰ میلی‌گرم در کیلوگرم، گزارش نمودند. همچنین حمیدی اصیل و همکاران (Hamidi Asil *et al.*, 2014) حد بحرانی آهن، روی، مس، منگنز و بر را در منطقه قزوین به ترتیب ۱/۶۵، ۹/۱، ۰/۹ و ۳/۷۵ میلی‌گرم بر کیلوگرم خاک تعیین کردند. در دیگر مطالعه سیلیسپور (Seilsepour, 2007) با مصرف تואم ۸۶۷ کودهای آهن و روی میزان عملکرد گندم به طور متوسط کیلوگرم افزایش یافت. با توجه به اهمیت گندم دوروم دیم و نیاز کارخانه‌های ماکارونی و حتی مصرف مستقیم به صورت بلغور و فریکه و جایگزین کردن مقداری از برنج وارداتی مصرفی با آن و به با توجه به اینکه تنها یک ریزمندی در فرهنگ گندم استفاده می‌شود، این پژوهش به منظور بررسی اثر محلول‌پاشی نانو کلات سوپرپلاس بر عملکرد و اجزای آن و درصد پروتئین دانه در ارقام گندم دوروم دیم منطقه پارس‌آباد مغان اجرا شد.

## مواد و روش‌ها

این تحقیق در مزرعه مرکز تحقیقات کشاورزی مغان واقع در ۵۹ کیلومتری جنوب غرب شهرستان پارس‌آباد مغان اجرا گردید. این منطقه دارای اقلیم نیمه‌خشک با تابستان‌های گرم و زمستان‌های کمی سرد می‌باشد که در عرض جغرافیایی ۳۹ درجه و ۴۷ دقیقه و طول جغرافیایی ۸۸ درجه و ۷۸ دقیقه و در ارتفاع ۷۸ متری سطح دریا قرار دارد. برای اجرای طرح زمینی به وسعت ۲۵۰۰ متر مربع در مزرعه مرکز تحقیقات کشاورزی مغان که سال قبل آیش بود، در نظر

سوپرپلاس (پنجه زنی، سنبله بندی، دانه بندی و شاهد) و نیز ارقام مختلف بر طول بوته در سطح احتمال یک درصد تفاوت معنی داری داشت (جدول ۱). همچنین جدول مقایسه میانگین اثر زمان های مختلف محلول پاشی نشان داد که بیشترین ارتفاع بوته با مصرف سوپر پلاس در زمان دانه بندی (۷۳/۴۴ سانتی متر) به دست آمد که نسبت به شاهد ۶/۵۰ درصد افزایش نشان داد (جدول ۲). سی و سه مرده و همکاران (Ziaeyian, 2006) رابطه منفی بین ارتفاع گیاه و تعداد دانه در گندم را تحت شرایط دیم گزارش کردند. همچنین عدم معنی دار بودن اثر مصرف عناصر ریز مغذی بر ارتفاع بوته نیز گزارش شده است (El-Magid *et al.*, 2000). در مطالعه دیگر المgid و همکاران (Hussain *et al.*, 2005) مشاهده کردند که محلول پاشی ریز مغذی ها (آهن، روی و منگنز) در گندم در خاک رسی ارتفاع بوته را افزایش داد. جدول مقایسه میانگین اثر زمان های مختلف محلول پاشی نشان داد که بیشترین تعداد پنجه در زمان خوش دهی (۲/۵۲ متر مربع) به دست آمد که نسبت به شاهد ۱۱۰ درصد افزایش نشان داد که با نتایج (Torun *et al.*, 2001) مطابقت دارد (جدول ۲). حسین و همکاران (Malakooti *et al.*, 2009) گزارش کردند که محلول پاشی عناصر ریز مغذی در مرحله پنجه زنی و یا مرحله آبستنی و شیری، عملکرد دانه گندم را از طریق افزایش ارتفاع بوته، تعداد دانه در هر سنبله و وزن هزار دانه افزایش می دهد. بیشترین تعداد پنجه بارور با مصرف سوپر پلاس در زمان خوش دهی (۱/۸۹ عدد) به دست آمد که نسبت به شاهد ۲۸/۵۷ درصد افزایش نشان داد (جدول ۲). گزارش شده است که مصرف ۴۰ کیلوگرم در هکتار روی (عنصر کم مصرف) به علاوه محلول پاشی سولفات روی با غلظت ۳ در هزار سبب افزایش تعداد پنجه های بارور در نتیجه افزایش تعداد سنبله در بوته شد (Ziaeian and Malakouti, 2001). جدول نتایج تجزیه واریانس نشان داد که اثر متقابل، زمان محلول پاشی سوپرپلاس و نیز ارقام مختلف بر طول پدانکل در سطح احتمال یک درصد تفاوت معنی داری داشت (جدول ۱). بیشترین طول پدانکل با مصرف سوپر پلاس در زمان پنجه زنی (۱۲/۶۷ سانتی متر) به دست آمد که نسبت به شاهد ۹/۷۹ درصد افزایش نشان داد (جدول ۲). بیشترین طول سنبله با مصرف سوپر پلاس در زمان پنجه زنی (۷/۳۱ سانتی متر) به دست آمد که نسبت به شاهد ۴/۴۳ درصد افزایش نشان داد (جدول ۲). نتایج تجزیه واریانس نشان داد که اثر متقابل، زمان محلول پاشی سوپرپلاس و نیز ارقام مختلف بر تعداد سنبله در سطح احتمال یک درصد تفاوت معنی داری داشت (جدول ۱). بیشترین تعداد سنبله در با مصرف سوپر پلاس در زمان پنجه زنی (۱۴/۵۸ واحد سطح) به دست آمد که نسبت به شاهد ۷/۳۶ درصد افزایش نشان داد (جدول ۲). سیده و همکاران (Seadh *et al.*, 2009) افزایش تعداد سنبله در هر سنبله را با محلول پاشی روی گزارش کردند. نتایج تجزیه واریانس نشان داد که اثر متقابل، زمان محلول پاشی سوپرپلاس و نیز ارقام

استفاده از آزمون LSD پنج درصد و خوش بندی ارقام انجام شد و نتایج نهایی ارائه گردید.

## نتایج و بحث

### عملکرد دانه و اجزای عملکرد

عملکرد گندم و افزایش آن با اثر ترکیبی عوامل مهم رشد مانند نور، حرارت، رطوبت و تقاضه تعیین می گردد. به طور کلی برای افزایش عملکرد در واحد سطح توجه به سه موضوع تعداد سنبله در هر مترا مربع، تعداد دانه در هر سنبله و وزن هزار دانه ضرورت دارد. نتایج تجزیه واریانس نشان داد که اثر متقابل، زمان محلول پاشی و نیز ژنوتیپ های مختلف محلول پاشی نشان داد که درصد تفاوت معنی داری داشت (جدول ۱). در این مطالعه جدول مقایسه میانگین اثر زمان های مختلف محلول پاشی نشان داد که بیشترین عملکرد دانه با مصرف سوپرپلاس در زمان ظهر سنبله (۲۰۶۵ کیلوگرم در هکتار) به دست آمد که نسبت به شاهد ۹۳/۵۳ درصد افزایش داشت (جدول ۲). عملکرد دانه در غلات دانه ریز ناشی از اثرات اجزای عملکرد دخیل یعنی تعداد پنجه های بارور، تعداد دانه در سنبله و وزن دانه در سنبله می باشد. در گزارشی با کاربرد عناصر کم مصرف در ۱۰ استان کشور عملکرد گندم (آبی و دیم) افزایش یافت و دامنه افزایش عملکرد بین ۱۹۰۰-۳۵۰ کیلوگرم در هکتار بود (Malakooti *et al.*, 2009). همچنین در دیگر گزارش مشاهده شده که محلول پاشی روی و آهن در مقایسه با شاهد باعث افزایش عملکرد دانه و کیفیت آن می شود (Maralian, 2012). همچنین مقایسه اثر متقابل میانگین ها نشان داد که بیشترین عملکرد دانه در لاین ۱۶ L و در محلول پاشی در مرحله پنجه زنی (۲۹۴۸ کیلوگرم در هکتار) به دست آمد که نسبت به شاهد ۷۷۱/۷۰ کیلوگرم در هکتار (۲۸۲/۰۱ درصد افزایش نشان داد (جدول ۳). همچنین کمترین عملکرد دانه در رقم سیمده در شرایط عدم محلول پاشی و نیز لاین L و در محلول پاشی در مرحله دانه بندی (۷۷۱/۷۰ کیلوگرم در هکتار) به دست آمد که نسبت به شاهد ۱۰۲۳ کیلوگرم در هکتار) ۳۲/۶ درصد کاهش نشان داد (جدول ۳).

تأمین عنصر روی همراه با سایر عناصر مورد نیاز گیاه، تعداد سنبله در بوته، تعداد دانه در سنبله و در نتیجه عملکرد دانه گندم را افزایش داده و کمبود روی به دلیل افزایش پنجه های نابارور باعث می شود که در طول دوره رشد رویشی و زایشی این پنجه ها از مواد فتوسنتزی ساقه اصلی استفاده نموده و طول دوره رشد رویشی بیشتر شده و در نتیجه عملکرد دانه در واحد سطح کاهش می یابد (Rangel and Graham, 1995). وارگا و همکاران (Varga *et al.*, 2001) در آزمایشی نشان دادند که بین ارقام مختلف از نظر عملکرد دانه تفاوت معنی داری وجود دارد.

نتایج تجزیه واریانس نشان داد که اثر متقابل، زمان محلول پاشی

سوپرپلاس و نیز ارقام مختلف بر تعداد روز تا ظهرور سنبله<sup>۱</sup> (DHE) در سطح احتمال یک درصد تفاوت معنی‌داری داشت (جدول ۱). جدول مقایسه میانگین اثر زمان‌های مختلف محلول‌پاشی نشان می‌دهد که بیشترین تعداد روز تا ظهرور سنبله با مصرف سوپرپلاس ۰/۶۳ در زمان پنجه‌زنی (روز) به دست آمد که نسبت به شاهد ۰/۸۳ درصد افزایش نشان داد (جدول ۲). در این بررسی جدول مقایسه میانگین اثر زمان‌های مختلف محلول‌پاشی نشان می‌دهد که بیشترین تعداد روز تا رسیدن<sup>۲</sup> (DMA) با مصرف سوپرپلاس در زمان پنجه‌زنی ۰/۵۳ در روز به دست آمد که نسبت به شاهد ۰/۱۸ درصد افزایش معنی‌دار نشان داد (جدول ۲). همچنین نتایج تجزیه واریانس نشان داد که اثر متقابل، زمان محلول‌پاشی سوپرپلاس و نیز ارقام مختلف بر DMA در سطح احتمال یک درصد تفاوت معنی‌داری داشت (جدول ۱). در این پژوهش جدول مقایسه میانگین اثر زمان‌های مختلف محلول‌پاشی نشان داد که بیشترین وزن هزار دانه<sup>۳</sup> (TKW) با مصرف سوپرپلاس در زمان دانه‌بندی (۳۳/۵ گرم) به دست آمد که نسبت به شاهد ۵/۶۱ درصد افزایش نشان داد (جدول ۲). همچنین نتایج تجزیه واریانس نشان داد که اثر متقابل، زمان محلول‌پاشی سوپرپلاس و نیز ارقام مختلف بر TKW در سطح احتمال یک درصد تفاوت معنی‌داری داشت (جدول ۱).

همچنین محلول‌پاشی عنصر بر، به دلیل نقشی که در ساختن اسید مالیک و انتقال هیدرات‌های کربن و آنزیم‌ها دارد و عنصر روی، که سبب افزایش عملکرد و اجزای آن می‌شود، به همراه آهن می‌تواند باعث افزایش عملکرد دانه شود. وجود آهن در گیاه به دلیل افزایش فتوستتر باعث افزایش هیدرات‌های کربن و مواد پروتئینی می‌شود و از آنجایی که در نهایت ذخیره این مواد در دانه صورت می‌گیرد می‌توان اظهار داشت که محلول‌پاشی آهن باعث افزایش عملکرد دانه می‌شود (Tattari, 2004). کاربرد محلول‌پاشی عناصر آهن، منگنز، روی و منیزیم سبب افزایش عملکرد دانه، اجزای عملکرد و کلش و کربوهیدرات‌های دانه در گندم می‌شود (Kassab et al., 2004).

### درصد پروتئین

در این تحقیق بین زمان محلول‌پاشی نانو کلات سوپرپلاس (پنجه‌زنی، خوشده‌ی، دانه‌بندی و شاهد) و نیز ارقام مختلف بر درصد پروتئین در سطح احتمال یک درصد تفاوت معنی‌دار بود (جدول ۱) و جدول مقایسه میانگین اثر زمان‌های مختلف محلول‌پاشی نشان می‌دهد که بیشترین درصد پروتئین با مصرف سوپرپلاس در زمان پنجه‌زنی (۱۰/۸۵ درصد) به دست آمد که نسبت به شاهد ۳/۳۳ درصد

مختلف بر تعداد دانه در سنبله در سطح احتمال یک درصد تفاوت معنی‌داری داشت (جدول ۱). تعداد دانه در سنبله یکی از اجزای مهم عملکرد در گندم بوده و تحت شرایط مختلف محیطی می‌تواند بر عملکرد دانه تأثیر متفاوتی داشته باشد. بیشترین تعداد دانه در سنبله با مصرف سوپرپلاس در زمان پنجه‌زنی (۳۳/۸۸ دانه) به دست آمد که نسبت به شاهد ۲۳/۹۷ درصد افزایش نشان داد (جدول ۲). پهلوان راد و پسرک لی (Pahlavan-Rad and Pessarakli, 2009) در آزمایشی با کاربرد روی، آهن و منگنز بر عملکرد و اجزای عملکرد دانه گندم نشان دادند که اثر این عناصر بر صفت تعداد دانه در سنبله اثر معنی‌داری داشت. همچنین در گزارش‌های متعدد ارائه شده این مؤلفه را تاحدوی جزء ثابت عملکرد دانه دانسته‌اند، با این حال شرایط محیطی و زراعی بر پتانسیل آن تأثیر دارد (Fathi et al., 2002).

بیشترین وزن دانه در خوشه با مصرف سوپرپلاس در زمان پنجه‌زنی (۱/۲۷ گرم) به دست آمد که نسبت به شاهد ۲۷ درصد افزایش نشان داد (جدول ۲). نتایج تحقیقات همانترانجان و گرجی (Hemantaranjan and Grag, 1988) نشان داد که مصرف آهن و روی موجب افزایش معنی‌دار تعداد خوشه در متر مربع، طول خوشه و وزن هزار دانه گندم شد. این محققان اعلام نمودند که در اثر مصرف این عناصر مقدار کل کربوهیدرات‌ها، نشاسته و پروتئین دانه افزایش می‌یابد و با افزایش کربوهیدرات‌ها وزن هزار دانه و تعداد دانه در خوشه نیز افزایش یافته و موجب افزایش عملکرد دانه می‌شود.

در مطالعه‌ای وزن دانه در سنبله دارای بیشترین اثر مستقیم مثبت بر عملکرد دانه گندم در طی چهار سال زراعی داشت (Yagdi, 2009). این صفت اثرهای غیر مستقیم مثبت را نیز بر عملکرد دانه از طریق سایر صفات وارد نمود. بیشترین وزن کاه با مصرف سوپرپلاس در زمان دانه‌بندی (۳/۱۳ کیلوگرم در مترمربع) به دست آمد که نسبت به شاهد ۳۳/۲۳ درصد افزایش نشان داد (جدول ۲). بیشترین وزن دانه در کل بوته با مصرف سوپرپلاس در زمان پنجه‌زنی و خوشده‌ی (۱/۸۱ گرم در متر مربع) به دست آمد که نسبت به شاهد ۳۹/۲۳ درصد افزایش نشان داد (جدول ۲). نتایج تجزیه واریانس نشان داد که اثر متقابل، زمان محلول‌پاشی سوپرپلاس و نیز ارقام مختلف بر وزن کل بوته در سطح احتمال یک درصد تفاوت معنی‌داری داشت (جدول ۱). جدول مقایسه میانگین اثر زمان‌های مختلف محلول‌پاشی نشان داد که بیشترین وزن کل بوته با مصرف سوپرپلاس در زمان دانه‌بندی (۴/۹۲ کیلوگرم در مترمربع) به دست آمد که نسبت به شاهد ۲۸/۴۶ درصد افزایش نشان داد (جدول ۲). عناصر ریزمندی احتمالاً با افزایش دوام سطح سبز گیاه باعث افزایش تولید ماده خشک می‌شوند (Leilah et al., 1988). نتایج تجزیه واریانس نشان داد که اثر متقابل، زمان محلول‌پاشی

1- Days to heading

2- Days to maturity

3-1000 kernel weight

(Farajzadeh *et al.*, 2009)

افزایش نشان داد (جدول ۲). طبق مطالعه‌ای استفاده مطلوب آهن و روی در گندم باعث افزایش میزان پروتئین دانه می‌گردد

جدول ۱- تابع تجزیه واریانس صفات مورد بررسی

Table 1 - Analysis of variance results on studied traits

مکان نمونه	درجه آزادی d.f	وزن کاه Straw weight	وزن دانه Seed/ panicle	تعداد سنبچه Spikelets number	طول خواشه Panicle length	Mean squares			طول بازکل Peduncle length	تعداد بنججه Tiller number	تعداد بنججه Tiller number	طول بازکل Peduncle length	تعداد بنججه Tiller number
						تعداد دانه در سنبله در خواشه	تعداد دانه در وزن دانه	تعداد سنبچه Grain /spike					
Replication	2	1.09	0.01	3.34	1.22	0.26	1.12	0.88	0.18	0.18	3.93 **	245.01 **	4.39
محلول پاشی	3	3.58 **	0.70 n.s	422.36 **	10.33 **	0.92 n.s	13.98 **	2.51 **					
Foliar application													
خطای اصلی	6	0.35	0.01	6.52	0.39	0.20	0.72	0.10	0.29	0.29	4.91		
Mean error													
Cultivar	17	0.58 n.s	0.06 n.s	62.65 **	3.18 **	0.80 n.s	13.27 **	0.39 n.s	0.65 n.s	0.65 n.s	96.59 **		
محلول پاشی × رشته	51	1.29 **	0.12 n.s	50.40 **	6.08 **	1.24 **	11.06 **	0.46 n.s	0.44 n.s	0.44 n.s	65.12 **		
Foliar application × Cultivar													
E	136	0.40	0.02	7.24	0.66	0.20	1.68	0.15	0.22	0.22	4.14		
خطای فرعی													
ضریب CV (%)													
تغیرات													
	12.1	8.6	5.7	6.3	10.86	23.2	20.4	2.8					

ns, \* and \*\*: non-significant and significant at 5 % and 1 % probability levels, respectively.  
 \*\*\*: بترتیب معنی‌داری در سطوح احتمال ۵ و ۱ درصد و ns غیر معنی‌دار می‌باشد.

ادمه جدول ۱- نتایج تجزیه واریانس صفات مورد بررسی  
Continued Table 1 – Analysis of variance results on studied traits

مانع تغییرات	S.O.V	درجه آزادی df	عملکرد دانه Grain yield (kg ha <sup>-1</sup> )	درصد پروتئین Pro	Mean squares				
					تعداد دوز تا	تعداد دوز رسانیدن TKW	DMA	DHE	وزن کل بوته Total plant weight (kg ha <sup>-1</sup> )
Replication	2	307421.14	9.02	0.39	3.35	5.63	3.19	0.55	
محلول پاشی	3	1311305.9*	1.3**	40.32**	24.04**	93.97**	13.45**		
Foliar application									3.42**
خلطی محلول پاشی									
Foliar application error	6	140568.46	0.55	1.26	3.01	7.14	0.73	0.15	
Cultivar	17	571371.18**	1.52**	3.54**	9.48**	13.39**	1.39**		0.26 ns
محلول پاشی × رقمه	51	66539.88**	0.88 ns	3.55**	6.85**	14.49**	2.94**		0.47 ns
Foliar application × Cultivar									
خلطی اصلی E	136	18103.81	0.77	3.62	4.98	14.26	0.73	0.13	
ضریب تغییرات	-	24.1	8.2	5.8	1.4	/22.9	18.7	21.4	
CV(%)									

ns, \* and \*\*: non-significant and significant at 5 % and 1 % probability levels, respectively.  
\* پذیرتی معنی‌داری در سطوح احتمال ۵ و ۱ درصد و \*\* غیر معنی‌داری باشند.

نسبت به شاهد ۲۳/۵۴ درصد افزایش نشان داد (جدول ۳). همچنین کمترین درصد پروتئین در رقم دهدشت و در محلول پاشی در مرحله دانه‌بندی (۹/۱۰) (%) بهدست آمد که نسبت به شاهد (۹/۵۳) (%) در درصد کاهش نشان داد (جدول ۳).

همچنین در مطالعه بر روی تولید گندم نتایج نشان داد که میزان پروتئین دانه در عملکردهای بالا کاهش می‌باید (Bauder, 2003). همچنین نتایج مقایسه میانگین اثر متقابل زمان محلول پاشی × ارقام مختلف نشان داد که بیشترین درصد پروتئین در لاین L5 و در محلول پاشی در مرحله پنجه‌زنی (۱۲/۲۳ درصد) بهدست آمد که

جدول ۲- مقایسه میانگین اثرات زمان های مختلف محلول پاشی نانو کلات سوپر پلاس بر صفات مورد مطالعه  
Table 2- Means comparison of nano Super Plus application times effects on studied traits

تیمار Treatment	طول خوشة Panicle length (cm)	طول پدانکل Peduncle length (cm)	تعداد پنجه بارور Fertile tiller (No m <sup>-2</sup> )	تعداد پنجه Tiller number (No m <sup>-2</sup> )	طول بوته Plant height (cm)
محلول پاشی در پنجه زنی Tilling	7.31 A	12.67 A	1.472 B	2.278 A	72.51 A
محلول پاشی در خوشده Booting	7.08 B	11.65 B	1.88 A	2.519 A	72.64 A
محلول پاشی در دانه بندی Seed filling	7.17 AB	11.91 B	1.86 A	2.545A	73.44 A
عدم محلول پاشی No-Spraying	7.00 B	11.54 B	1.537 b	1.918 B	68.69 B
LSD 5%	0.2106	0.3985	0.1497	0.2532	1.043

میانگین هایی که دارای حروف مشابه هستند در سطح احتمال پنج درصد اختلاف معنی داری ندارند.

Means in each column, followed by similar letter are not significantly different at P ≤ 0.05

ادامه جدول ۲- مقایسه میانگین اثرات زمان های مختلف محلول پاشی نانو کلات سوپر پلاس بر صفات مورد مطالعه  
Continued Table 2- Means comparison of nano Super Plus application times effects on studied traits

تیمار Treatment	وزن دانه در سنبله Straw weight (kg m <sup>-2</sup> )	وزن کاه در خوشة Seed / panicle (g)	تعداد سنبله Grain /spike	تعداد سنبله Spikelets number (m <sup>2</sup> )
محلول پاشی در پنجه زنی Tilling	2.85 A	1.27 A	33.88 A	14.58 A
محلول پاشی در خوشده Booting	3.03 A	1.19 B	31.94 B	14.32 A
محلول پاشی در دانه بندی Seed filling	3.13 A	1.18 B	32.12 B	14.38 A
عدم محلول پاشی No-Spraying	2.54 B	1.00 C	27.33 C	13.58 B
LSD 5%	0.2798	0.0557	1.202	0.2948

میانگین هایی که دارای حروف مشابه هستند در سطح احتمال پنج درصد اختلاف معنی داری ندارند.

Means in each column, followed by similar letter are not significantly different at P ≤ 0.05

ادامه جدول ۲- مقایسه میانگین اثرات زمان های مختلف محلول پاشی نانو کلات سوپر پلاس بر صفات مورد مطالعه  
Continued Table 2- Means comparison of nano Super Plus application times effects on studied traits

تیمار Treatment	تعداد روز تا ظهرور سنبله DHE (Day)	وزن کل بوته Total plant weight (kg m <sup>-2</sup> )	وزن دانه در کل بوته Seed weight / plant (g m <sup>-2</sup> )
محلول پاشی در پنجه زنی Tilling	127.80 A	4.66 A	1.81 A
محلول پاشی در خوشده Booting	126.70 A	4.83 A	1.81 A
محلول پاشی در دانه بندی Seed filling	124.70 B	4.917 A	1.79 A
عدم محلول پاشی No-Spraying	127 A	3.828 B	1.30 B
LSD 5%	1.282	0.4026	0.1848

میانگین هایی که دارای حروف مشابه هستند در سطح احتمال پنج درصد اختلاف معنی داری ندارند.

Means in each column, followed by similar letter are not significantly different at P ≤ 0.05

ادامه جدول ۲- مقایسه میانگین اثرات زمان‌های مختلف محلول پاشی نانو کالات سوپر پلاس بر صفات مورد مطالعه  
Continued Table 2- Means comparison of nano Super Plus application times effects on studied traits

تیمار Treatment	Grain yield ( $\text{kg ha}^{-1}$ )	عملکرد دانه Pro (%)	درصد پروتئین TKW (g)	وزن هزار دانه DMA (Day)	تعداد روز تا رسیدن (Day)
محلول‌پاشی در پنجه‌زنی Tilling	2014 A	10.85 A	32.06 B	153.70 A	
محلول‌پاشی در خوش‌دهی Booting	2065 A	10.58 AB	32.20 A	152.70 A	
محلول‌پاشی در دانه‌بندی Seed filling	1547 AB	10.58 AB	33.50 A	152.90 A	
عدم محلول‌پاشی No-Spraying	1067 B	10.50 B	31.72 B	151.90 B	
LSD 5%	529.7	0.3486	0.5294	0.8175	

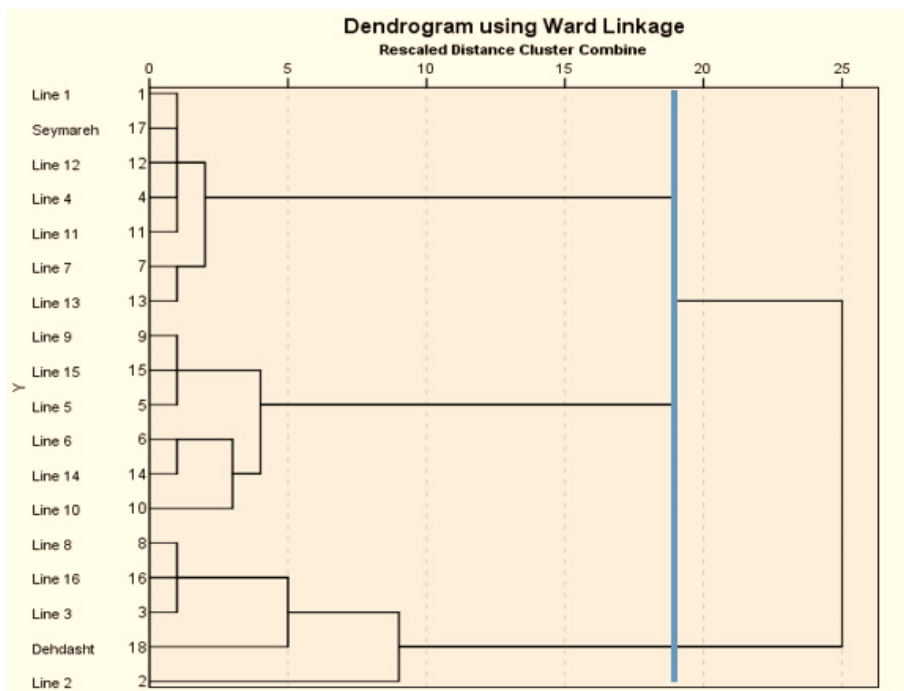
میانگین‌هایی که دارای حروف مشابه هستند در سطح احتمال پنج درصد اختلاف معنی‌داری ندارند.

Means in each column, followed by similar letter are not significantly different at  $P \leq 0.05$

نظر صفات عملکرد دانه مورد بررسی در سطح بالاتری نسبت به سایر خوش‌های قرار داشت. خوش دوم شامل ژنوتیپ‌های ۵، ۹، ۶، ۱۰، ۱۴، ۱، ۱۲، ۱۱، ۷، ۴ و ۲ است. خوش سوم شامل ژنوتیپ‌های ۱۳، ۱۵ و ۱۶ است. خوش‌های ۸، ۳، ۲ و ۱ دارای ژنوتیپ‌های ضعیف‌تر گروه‌بندی شده و معرفی می‌شوند. همچنین ژنوتیپ‌های ۱۰، ۱۱، ۱۲ و ۱۳ نسبت به سایر ژنوتیپ‌ها از نظر درصد پروتئین برتری نسبی دارند.

#### گروه‌بندی لاین‌ها براساس تجزیه خوش‌های

نتایج حاصل از تجزیه کلستر (خوش‌های) ۱۸ ژنوتیپ و رقم گندم دوروم با برش دندروگرام حاصل در فاصله ۱۸ واحد نشان داد که ژنوتیپ‌ها در دو خوش با خصوصیات درون گروهی مشابه و بین گروهی غیر مشابه گروه‌بندی شدند (شکل ۱). خوش اول دارای پنج ژنوتیپ و رقم شامل ژنوتیپ‌های ۲، ۳، ۸، ۱۶ و ۱۰ و رقم دهدشت که از



شکل ۱- دندروگرام لاین‌های گندم دوروم بر مبنای صفات درصد پروتئین و عملکرد دانه  
Figure 1- Dendrogram durum wheat lines based on traits, protein percentage and yield

جدول -۳- مقایسه میانگین اثرات متقابل زمان محلول‌پاشی × ارقام مختلف بر صفات موردمعالجه

Table 3- Mean comparison of interaction effects of Time spraying × Cultivars on studied traits

Treatment ۱	زمان محلول‌پاشی Spraying time	قیمت Cultivar	تعداد دانه عدد روز تا وزن هزار عدد دانه TKW (g)						تعداد دانه عدد سنبله DMA (Day)	تعداد دانه عدد سنبله DHE	وزن کل بوته Straw Weight (kg m <sup>-2</sup> )		تعداد سنبله عدد سنبله Grain /spike	تعداد سنبله عدد سنبله Panicle number (No m <sup>-2</sup> )	طول پستانک Peduncle length (cm)	طول چوبه خوش Peduncle length (cm)	طول چوبه Peduncle length (cm)	طول چوبه Peduncle length (cm)
			عکس Photo	عکس Photo	عکس Photo	عکس Photo	عکس Photo	عکس Photo			عکس Photo	عکس Photo						
L <sub>1</sub>	Tilling	L <sub>1</sub>	1715.	31.00	153.3	129.7	7.087	4.180	44.67	15.50	8.500	12.33	78.50					
L <sub>2</sub>	Tilling	L <sub>2</sub>	2751.	32.00	151.3	131.7	4.272	2.572	37.83	14.83	8.167	12.33	76.50					
L <sub>3</sub>	Tilling	L <sub>3</sub>	2282.	32.33	152.3	125.0	5.235	3.505	37.17	15.33	8.167	11.00	72.50					
L <sub>4</sub>	Tilling	L <sub>4</sub>	2174.	31.33	152.3	129.3	4.397	2.510	34.17	14.67	7.833	11.17	74.33					
L <sub>5</sub>	Tilling	L <sub>5</sub>	1844.	33.00	155.0	123.3	4.632	2.720	31.33	12.83	7.000	14.33	70.50					
L <sub>6</sub>	Tilling	L <sub>6</sub>	866.	31.67	151.0	130.7	5.275	3.965	26.33	13.17	6.333	3.00	69.83					
L <sub>7</sub>	Tilling	L <sub>7</sub>	1402.	31.33	152.7	125.0	2.795	1.772	28.50	12.67	5.833	11.00	71.50					
L <sub>8</sub>	Tilling	L <sub>8</sub>	2124.	34.00	151.0	126.0	4.442	2.713	36.17	16.17	8.000	13.50	80.50					
L <sub>9</sub>	Tilling	L <sub>9</sub>	1904.	32.67	156.0	126.0	4.778	3.228	34.83	17.33	7.500	16.17	72.67					
L <sub>10</sub>	Tilling	L <sub>10</sub>	2174.	30.67	154.3	128.3	4.918	2.755	38.00	15.17	8.000	13.17	68.00					
L <sub>11</sub>	Tilling	L <sub>11</sub>	850.7	31.33	153.0	128.7	5.240	3.025	34.17	14.00	6.500	12.50	78.17					
L <sub>12</sub>	Tilling	L <sub>12</sub>	1478.	30.67	155.0	127.3	5.843	3.517	32.17	15.00	7.167	13.67	75.00					
L <sub>13</sub>	Tilling	L <sub>13</sub>	2382.	32.33	156.3	126.7	4.215	2.032	29.83	15.33	7.667	13.17	66.50					
L <sub>14</sub>	Tilling	L <sub>14</sub>	1545.	34.00	155.3	125.0	4.388	2.748	36.83	14.50	7.000	12.33	66.83					
L <sub>15</sub>	Tilling	L <sub>15</sub>	2793.	34.00	152.0	128.0	4.082	2.598	31.17	14.33	6.667	10.17	65.33					
L <sub>16</sub>	Tilling	L <sub>16</sub>	2948.	30.67	155.0	130.3	3.793	2.367	31.50	14.50	7.167	12.67	67.33					
Seymareh	Tilling	Seymareh	2382.	31.67	154.0	130.0	4.160	2.248	32.00	13.50	6.667	13.00	75.50					
Dehdasht	Tilling	Dehdasht	2641.	32.33	152.0	130.0	4.318	2.903	33.17	13.67	7.333	12.50	75.67					
LSD ۵%		LSD ۵%	651.7	3.073	3.605	6.097	1.383	1.022	4.344	1.307	0.724	2.093	3.287					

ادامه جدول ۳- مقایسه میانگین اثرات مختلف زمان محلول‌بازاشی × ارقام مختلف بر صفات مورد مطالعه

Continued-Table 3 - Mean comparison of interaction effects of Time spraying × Cultivars on studied traits

تیمار ۲ Treatment 2	زمان محلول‌بازاشی Spraying time	نیوار ۱ Bootling	آردکند دانه Grain yield (kg ha <sup>-1</sup> )	وزن هزار TKW (g)	تعداد روز تاریخین DMA (Day)	تعداد روز تا تاریخین DHE	وزن کل بوته Total plant weight(kg m <sup>-2</sup> )	وزن کل یوته Straw Weight(kg m <sup>-2</sup> )	تعداد سنبله Grain number /spike	تعداد سنبله Spikelets number (No m <sup>-2</sup> )	طول خوش Panicle length	طول پستانک Peduncle length (cm)	طول چوبه Plant height (cm)
			جوانب Cultivar										
L <sub>1</sub>	1738.	33.67	150.7	128.0	5.110	3.215	36.33	14.33	7.333	10.50	73.50		
L <sub>2</sub>	2498.	31.67	152.3	127.0	5.588	3.680	29.00	14.50	7.167	10.50	69.50		
L <sub>3</sub>	2373.	32.67	156.0	128.0	4.700	2.942	30.67	13.67	7.167	12.17	74.83		
L <sub>4</sub>	1753.	34.33	150.0	128.0	5.015	3.098	35.17	13.67	7.333	13.17	75.33		
L <sub>5</sub>	2523.	34.67	152.7	127.0	4.273	2.672	42.83	15.33	7.167	8.667	68.00		
L <sub>6</sub>	2209.	32.67	152.3	125.7	4.340	2.640	31.00	13.83	7.333	12.33	75.17		
L <sub>7</sub>	2563.	33.67	154.0	127.7	4.343	2.643	32.67	13.83	7.333	12.33	75.17		
L <sub>8</sub>	2043.	33.67	152.3	127.3	6.075	3.727	30.50	14.83	7.167	14.83	74.17		
L <sub>9</sub>	2380.	35.00	153.7	127.0	4.600	2.888	32.67	13.33	6.833	12.00	76.83		
L <sub>10</sub>	2361.	35.33	151.0	124.0	5.130	3.117	33.83	15.67	7.333	10.33	73.67		
L <sub>11</sub>	2203.	30.67	150.7	125.3	5.412	3.558	33.17	13.67	7.000	14.33	73.00		
L <sub>12</sub>	2301.	33.00	151.7	124.7	2.438	1.718	21.17	11.83	6.167	8.00	60.83		
L <sub>13</sub>	1093.	33.00	154.7	126.7	6.248	3.938	33.00	14.83	7.333	10.00	71.33		
L <sub>14</sub>	1956.	33.00	153.7	127.0	6.242	3.893	33.00	14.83	7.167	14.83	81.17		
L <sub>15</sub>	1507.	33.67	152.3	127.3	4.630	2.750	24.83	13.83	6.833	12.17	70.00		
L <sub>16</sub>	1786.	31.67	154.0	126.3	3.173	2.003	32.00	16.00	6.667	11.17	66.83		
Seymareh	1916.	33.00	154.7	127.3	5.307	3.522	27.67	15.00	7.333	11.33	69.00		
Dehdasht	2031.	32.33	151.7	125.7	4.330	2.542	35.33	14.83	6.833	11.00	79.17		
LSD 5%	651.7	3.073	3.605	6.097	1.383	1.022	4.344	1.307	0.724	2.093	3.287		

آدمه جدول ۳ - مقایسه میانگین اثرات متقابل زمان محلول پاشی × ارقام مختلف بر صفات مورده مطالعه

Continued Table 3 - Mean comparison of interaction effects of Time spraying × Cultivars on studied traits

تیمار ۲ Treatment 2	زمان محلول پاشی Spraying time	گیاه کاربرد دانه Grain yield (kg ha) TKW (g)	وزن هزار دانه Straw weight(kg m <sup>-2</sup> )	تعداد روز تاریخی DMA (Day)	آدامه جدول ۳ - میانگین اثرات متقابل زمان محلول پاشی × ارقام مختلف بر صفات مورده مطالعه											
					Seed دنه‌دنی filling	L <sub>1</sub>	1858.	34.33	152.0	126.0	2.395	1.689	20.50	11.67	6.167	8.000
	Seed دانه‌دنی filling	L <sub>2</sub>	2480.	31.00	151.3	125.3	4.550	2.680	35.00	14.67	6.833	10.83	80.00			
	Seed دانه‌دنی filling	L <sub>3</sub>	1647.	33.00	154.0	125.3	3.417	2.170	35.50	16.33	7.000	11.17	67.00			
	Seed دانه‌دنی filling	L <sub>4</sub>	1146.	31.33	152.0	126.3	4.373	2.725	41.67	15.33	7.167	9.333	68.00			
	Seed دانه‌دنی filling	L <sub>5</sub>	1339.	34.00	155.7	123.3	5.458	3.607	29.67	14.83	7.167	10.50	69.33			
	Seed دانه‌دنی filling	L <sub>6</sub>	1915.	31.67	152.7	126.3	4.725	2.977	29.33	13.33	6.833	11.83	74.33			
	Seed دانه‌دنی filling	L <sub>7</sub>	771.7	35.00	155.3	126.0	4.715	2.963	35.67	14.33	7.167	11.00	73.67			
	Seed دانه‌دنی filling	L <sub>8</sub>	1468.	34.33	152.3	127.3	4.727	2.983	32.17	13.00	6.667	13.17	77.33			
	Seed دانه‌دنی filling	L <sub>9</sub>	1111.	33.00	153.7	127.3	5.190	3.165	35.33	14.00	7.500	13.83	76.67			
	Seed دانه‌دنی filling	L <sub>10</sub>	1505.	34.33	150.7	125.3	6.082	3.867	32.67	15.00	7.500	10.00	70.83			
	Seed دانه‌دنی filling	L <sub>11</sub>	2128.	34.33	151.7	127.7	5.680	3.628	34.00	16.00	7.500	10.67	80.00			
	Seed دانه‌دنی filling	L <sub>12</sub>	1493.	33.67	156.0	127.3	4.400	2.665	34.00	14.33	7.500	12.17	74.17			
	Seed دانه‌دنی filling	L <sub>13</sub>	1429.	35.33	151.3	122.3	5.470	3.458	25.83	13.83	6.833	12.00	70.50			
	Seed دانه‌دنی filling	L <sub>14</sub>	1669.	32.00	151.7	122.3	4.920	3.187	33.17	13.67	7.000	14.33	72.33			
	Seed دانه‌دنی filling	L <sub>15</sub>	1109.	34.67	152.0	119.7	5.233	3.445	26.83	14.83	7.167	11.17	69.50			
	Seed دانه‌دنی filling	L <sub>16</sub>	1838.	33.67	153.3	121.3	6.073	3.993	33.50	15.33	8.667	14.83	79.67			
	Seed دانه‌دنی filling	Seymareh	1298.	33.33	151.7	123.3	4.857	3.260	29.67	13.50	7.167	14.67	75.67			
	Seed دانه‌دنی filling	Dehdasht	1641.	34.00	154.7	122.3	6.235	3.893	33.67	14.83	7.167	14.83	82.00			
	LSD 5%		651.7	3.073	3.605	6.097	1.383	1.022	4.344	1.307	0.724	2.093	3.287			

ادامه جدول ۳- مقایسه میانگین اثرات مختلف زمان محلول‌بازی × ارقام مختلف بر صفات محصول مطالعه

Continued Table 3 - Mean comparison of interaction effects of Time spraying × Cultivars on studied traits

تیمار ۴ Treatment 4	زمان محلول پاشی	Cultivar	Spraying time	عدن هزار Grain yield (kg ha <sup>-1</sup> )	عدن هزار DWE (g)	عدن هزار DHE (Day)	عدن هزار TKW (g)	عدن کاه Straw Weight/kg m <sup>-2</sup> )	وزن کاه Total plant weigh(kg/m <sup>2</sup> )	عدن کاه Panicle length (No m <sup>-2</sup> )	طول پستانک Peduncle length (cm)	طول بوله Plant height (cm)
				تعداد روز تا رویدن DMA	تعداد روز تا ظفور سنبه DHE	تعداد دانه در سنبه TKW	تعداد دانه وزن کاه Straw	تعداد دانه وزن کاه Panicle	طول خوش Panicle length	طول پستانک Peduncle length	طول بوله Plant height (cm)	
Control	شاهد	L <sub>1</sub>	1111.	31.67	150.0	125.7	4.280	2.767	30.33	14.83	7.833	9.833
Control	شاهد	L <sub>2</sub>	1196.	31.00	152.3	126.3	3.727	2.432	30.50	13.00	6.833	10.00
Control	شاهد	L <sub>3</sub>	1584.	32.00	150.7	129.3	4.417	2.985	25.67	13.17	7.333	65.33
Control	شاهد	L <sub>4</sub>	1030.	32.00	152.3	125.7	4.968	3.218	32.50	14.50	6.500	12.50
Control	شاهد	L <sub>5</sub>	1065.	30.67	150.7	128.0	3.107	2.200	24.33	12.83	6.500	13.67
Control	شاهد	L <sub>6</sub>	858.0	32.33	152.7	126.3	3.318	2.238	26.00	18.17	8.333	8.667
Control	شاهد	L <sub>7</sub>	1023.	31.67	152.0	131.3	2.532	1.613	26.33	12.33	6.333	11.83
Control	شاهد	L <sub>8</sub>	1734.	31.33	151.0	130.3	2.862	1.838	23.00	9.833	5.167	11.50
Control	شاهد	L <sub>9</sub>	1341.	32.00	153.0	129.7	4.518	3.015	27.50	14.50	7.167	10.33
Control	شاهد	L <sub>10</sub>	1096.	31.67	151.0	124.3	3.355	2.240	26.17	13.33	7.167	15.17
Control	شاهد	L <sub>11</sub>	827.7	31.67	153.3	127.0	3.128	2.122	28.67	14.17	6.500	7.333
Control	شاهد	L <sub>12</sub>	1032.	31.67	151.7	131.0	5.192	3.358	29.33	14.67	7.833	14.33
Control	شاهد	L <sub>13</sub>	949.3	32.67	151.0	127.3	3.577	2.687	21.83	14.00	7.333	13.17
Control	شاهد	L <sub>14</sub>	1013.	31.67	151.3	123.3	3.743	2.472	25.83	13.83	7.000	12.50
Control	شاهد	L <sub>15</sub>	880.3	31.33	151.0	124.3	3.362	2.093	29.33	12.17	6.667	8.833
Control	شاهد	L <sub>16</sub>	771.7	33.33	153.3	125.0	3.903	2.485	26.00	12.33	6.833	13.00
Control	شاهد	Seymareh	775.7	31.33	150.7	124.0	3.262	2.138	24.83	10.83	6.333	13.00
Control	شاهد	Dehdashit	926.0	31.00	155.3	127.3	5.648	3.872	33.83	16.00	8.333	14.67
LSD 5%			651.7	3.073	3.605	6.097	1.383	1.022	4.344	1.307	0.724	2.093
												3.287

میانگین‌های که در هر سوتون دارای حروف مشابه هستند در مطلع احتمال پنج درصد اختلاف معنی‌دارند.  
Means in each column, followed by similar letter are not significantly different at  $P \leq 0.05$

## نتیجه‌گیری

مزارع گندم دوروم با نانو کلات سوپر پلاس حداقل در مراحل پنجه‌دهی و رسیدگی دانه صورت گیرد. بنابراین، به نظر می‌رسد که استفاده از نانو کلات سوپرپلاس ZFM (روی، آهن، منگنز) که شامل عناصر میکرو با اسیدهای آمینه به عنوان منبع ازت و با اسید آسکوربیک به عنوان یک آنتی اکسیدان قوی می‌تواند بسیار مؤثر باشد و می‌تواند به طور قابل توجهی عملکرد و اجزای عملکرد و درصد پروتئین را در گندم دوروم دیم افزایش دهد.

## سپاسگزاری

این تحقیق با حمایت مالی دانشگاه تربت حیدریه انجام شده است که بدین وسیله قدردانی و تشکر می‌شود.

محلول پاشی عناصر ریزمغذی (سوپر پلاس) سبب افزایش عملکرد دانه و اجزای عملکرد گندم دوروم گردید و با توجه به نتایج آزمایش بهترین و مناسب‌ترین زمان محلول پاشی سوپر پلاس برای ارقم گندم دوروم دیم در زمان پنجه‌زنی بود و در بین ارقام بیشترین درصد پروتئین و عملکرد دانه در مرحله پنجه‌زنی بهترین بود (لاین‌های L<sub>5</sub> ۱۲/۲۳ درصد) و L<sub>16</sub> (۲۹۴۸ کیلوگرم در هکتار) به دست آمد، بنابراین این لاین‌ها پتانسیل جایگزینی با ارقام موجود را دارند. تکرار این پژوهش طی چند سال و همچنین در مناطق دیگر نیز می‌تواند در تأیید نتایج حاصل مؤثر باشد. با توجه به کمبود روی و آهن در سطح وسیعی از افراد جامعه پیشنهاد می‌شود محلول پاشی

## References

1. Alavi Matin, S. M., Rahnama, A., and Meskarbashi, M. 2015. Effect of Type and rate of potassium fertilizer on agronomic characteristics of two cultivars durum wheat under saline stress. Research in Agricultural Science 2 (1): 177-188. (in Persian with English abstract).
2. Bauder, J., 2003. Wheat production. Montana State University. Water Quality and Irrigation Management web site.
3. Dimkpa, C. O., and Bindraban, P. S. 2016. Fortification of micronutrients for efficient agronomic production: a review. Agronomy for Sustainable Development 36 (1): 1-26.
4. El-Magid, A. A. A., Knany, R. E., and El-Fotoh, H. G. A. 2000. Effect of foliar application of some micronutrients on wheat yield and quality. Annals of Agricultural Science Cairo 1: 301-313.
5. Emam, Y. 2011. Cereal Production, Shiraz University Press. Fourth edition. 190 pp.
6. Farajzadeh Memari Tabrizi, E., Yarnia, M., Khorshidi, M. B., and Ahmadzadeh, V. 2009. Effect of micronutrients and their application method on yield, crop growth rate and net assimilation rate of corn cv. Jeta. Journal of Food, Agriculture and Environment 7 (2): 611-615.
7. Fathi, G., Mojedam, M., Siadat, S. A., and Mohammadi, G. N. 2002. Effect of Different Levels of Nitrogen and Cutting Time on Grain and Forage Yield of Karoon Cultiver of Barley. JWSS-Isfahan University of Technology, 5 (4): 97-106.
8. Feizi Asl, V., and Valizadeh, Gh. R. 2004. Effects of phosphorus and zinc fertilizer applications on nutrient concentrations in plant and grain yield in cv. Sardari (*Triticum aestivum* L.) under dryland conditions. Iranian Journal of Crop Sciences 6 (3): 223-238.
9. Gharachorloo, M. 2011. Management system designed to monitor the quality of wheat. Grain Research Center, (in Persian).
10. Hemantaranjan, A., and O. K. Garg. 1988. Iron and zinc fertilization with reference to the grain quality of *Triticum aestivum* L. J. Plant Nutr. 11: 1439-1450.
11. Hamidi Asil, S., Mostashari, M., and Moez Ardalan, M. 2014. A review of the effects of the sition of some of the micro elements and the determination of the critical level on wheat in the city of Qazvin. Iranian Journal of Agronomy and Plant Breeding 9 (4): 39-46.
12. Hussain, N., Khan, M. A., and Javad, M. A., 2005. Effect of foliar application of plant micronutrient mixture on growth and yield of wheat (*Triticum aestivum* L.). Pakistan Journal of Biological Sciences 8 (8): 1096- 1099.
13. Kassab, O. M., Zeing, H. A. E., and Ibrahim, M. M. 2004. Effect of water deficit and micronutrients foliar application on the productivity of wheat plants. Minufiya J. Agric. Res., 29:925-932.
14. Leilah, A. A., Badawi, M. A., EL-Moursy, S. A., and Attia, A. N. 1988. Response of soybean plants to foliar application of zinc and different levels of nitrogen. J. Agric. Sci. (Mansoura Univ., Egypt). 13: 556-563.
15. Li, M., Wang, S., Tian, X., Zhao, J., Li, H., Guo, C., Chen, Y., and Zhao, A. 2015. Zn distribution and bioavailability in whole grain and grain fractions of winter wheat as affected by applications of soil N and foliar Zn combined with N or P. Journal of Cereal Science 61: 26-32.
16. Malakooti, M. J., Malakooti, A., Majidi, A., Baybourdi, A., Salari, A., and Falahi, A. 2009. Comparative efficiency of enriched wheat flouring richens plant in the field of health promotion. J. of Food Sci. 6 (3): 118 Pp. (in Persian).
17. Maralian, H. 2012. Effect of supplementary nutrition with Fe, Zn chelates and urea on wheat quality and quantity. African Journal of Biotechnology 11 (11): 2661-2665.

18. Mozaffari, A., Saydat, S. A., Hashemi Dezfooli, S. A. 2006. Effect of Plant Density on Morphological and Physiological Characteristics of Four Cultivars of Durum Wheat (*Triticum turgidum var.durum*) under Dryland of Sarableh Region, Ilam. Research in Agricultural Science 2 (1): 47-56. (in Persian).
19. Pahlavan-Rad, M. R., and Pessarakli, M. 2009. Response of wheat plants to zinc, iron, and manganese applications and uptake and concentration of zinc, iron, and manganese in wheat grains. Communications in soil science and plant analysis 40 (7-8): 1322-1332.
20. Rangel, Z., and Graham, R. D. 1995. II. Importance of seed Zn content for growth on zinc-deficient soil. Plant Soil, 173: 267-274.
21. Seadh, S. E., El-Abady, M. I., El-Ghamry, A. M., and Farouk, S. 2009. Influence of micronutrients foliar application and nitrogen fertilization on wheat yield and quality of grain and seed. Journal of Biological Sciences 9 (8): 851-858.
22. Seilsepour, M. 2007. The study of Fe and Zn effects on quantitative and qualitative parameters of winter wheat and determination of critical levels of these elements in Varamin plain soils. Pajouhesh and Sazandegi In: Agronomy and Horticulture 20 (3): 123-133.
23. Siosemardeh, A., Ahmadi, A., Poustini, K., and Mohammadi, V. 2006. Evaluation of drought resistance indices under various environmental conditions. Field Crops Research 98: 222-229.
24. Tatari, M., 2004. The effects of various levels of salinity and irrigation times on growth and yield of cumin in Mashhad conditions. MSc thesis. Faculty of Agriculture, Ferdowsi University of Mashhad, Iran. 87p. (in Persian with English abstract).
25. Torun, A., Gürtekin, I., Kalayci, M., Yilmaz, A., Eker, S., and Cakmak, I. 2001. Effects of zinc fertilization on grain yield and shoot concentrations of zinc, boron, and phosphorus of 25 wheat cultivars grown on a zinc-deficient and boron-toxic soil. Journal of Plant Nutrition 24: 1817-1829.
26. Varga, B., Svecnjak, I., and Pospisil, A. 2001. Winter wheat cultivar performance as affected by production systems in Croatia. Agronomy Journal 93: 961- 966.
27. Velu, G., Ortiz-Monasterio, I., Cakmak, I., Hao, Y., and Singh, R. P. 2014. Biofortification strategies to increase grain zinc and iron concentrations in wheat. Journal of Cereal Science 59: 365-372.
28. Yagdi, K. 2009. Path coefficient analysis of some yield components in durum wheat (*Triticum durum Desf.*). Pakistan Journal of Botany 41: 745-751.
29. Ziaeian, A. H., Malakouti, M. J. 2001. Effects of Fe, Mn, Zn and Cu fertilization on the yield and grain quality of wheat in the calcareous soils of Iran. In: Plant Nutrition: Springer, pp. 840-841.
30. Ziaeian, A. 2006. Effects of potassium and zinc application on silage corn cultivation. Journal of Soil and Water Sciences 20 (1): 36-37.



## Effects of Foliar Application Time of Nano-micronutrients on Quantity and Qualitative Traits in Rainfed durum Wheat Genotypes in Moghan

Y. Firoozi<sup>1</sup> - H. Feizi<sup>2\*</sup> - A. Mehraban<sup>3</sup> - M. Alipanah<sup>4</sup>

Received: 23-09-2016

Accepted: 17-10-2017

### Introduction

Durum wheat (*Triticum turgidum* var.*durum*) because of the high protein content compared to other grain products plays a major role in providing the protein needed by humans. Different crop varieties have different performance potential even a figure from region to region does not have the same performance. Nano slow and controlled release fertilizers because of root elements in a good area, have high efficiency. In Iran, 300 to 400 tons of durum wheat annually produced which 60% is recoverable for production of pasta and other domestic needs is imported. Per capita consumption of pasta in the country is 5 kg per year (about one quarter of Europe) and with regard to nutrients such as gluten and beta-carotene in pasta and very low losses, it is necessary to increase the amount of its consumption. For this purpose, the government has taken incentive policies such as higher rates order of durum wheat (about 6%) compared to bread wheat and prizes export to exporters of this product, to increase its production and exports. This study aimed to evaluate the effect of foliar application time of Nano-chelate Super Plus on yield and its components and protein content in durum wheat varieties in Parsabad Moghan area was conducted.

### Materials and Methods

The study was conducted as the form of randomly split-plot based on randomized complete block design with three replications. Treatments include the application of Nano-chelate fertilizer Super Plus (Biozar) with a concentration of two per thousand in four levels, (tilling, flowering, seed and control (no application)) as the main factor and cultivars of durum wheat lines operating in 18 level as were minor. Studied traits including plant height, number of tillers and fertile tillers, peduncle length, ear length, number of spikelets, number of seeds per plant, grain weight, straw weight, total seed weight per plant, total plant weight, number of days to heading, days to maturity, grain weight, protein content and seed yield. Each plot area of 2.7 square meters (6 lines with a length of 6 m and 20 cm spacing) and a total area of 6 square meters plot was harvested. The company proposed application of Biozar at the dose of 2 per thousand, according to the desired level, calculated and prepared and was sprayed every step of the treatments in question. At each plot also a sample of 1.5 kg of grain was sent to the laboratory to determine protein content of each sample. Finally, the obtained data collected using the SPSS and MSTAT-C statistical analysis soft wares for analysis of variance, and Interaction between treatments and figures and data clustering was performed and the results were presented.

### Results and Discussion

Results showed that the highest grain yield obtained from spray at tilling stage in L16 ( $2948 \text{ kg ha}^{-1}$ ) compared to the control group ( $771.70 \text{ kg ha}^{-1}$ ) by 228.01%. Comparison of the interaction of means showed that the highest grain yield in the spray at tilling stage L16 ( $2948 \text{ kg ha}^{-1}$ ) as compared to the control group ( $771.70 \text{ kg ha}^{-1}$ ) 282.01% increase. Results of mean comparisons of the timing of application  $\times$  figures also showed the highest protein content in line L5 and the spray at tilling stage (12.23 %) as compared to control 23.54% increase. The lowest percentage of protein in the DEHDASHT and spraying at the seed (9.10%) respectively compared to control (9.53%) 4.73% decreased. So, it seems that the use of Nano-chelate Super plus ZFM (zinc, iron, manganese) which contains micro elements, amino acids as nitrogen source and as a powerful antioxidant ascorbic acid can be very effective to increasing yield and its components and also the protein content of durum wheat in dry land.

1- MSc Graduated student, Plant Production Department, University of Torbat Heydarieh, Iran

2- Assistant Professor, Plant Production Department and Saffron Institute, University of Torbat Heydarieh, Iran

3- Ardabil Agricultural and Natural Resources Research Center, Agricultural Research, Education and Extension Organization (AREEO), Ardebil, Iran

4- Associate Professor, Plant Production Department, University of Torbat Heydarieh, Iran

(\*- Corresponding Author Email: h.feizi@torbath.ac.ir)

## Conclusions

Nano-chelated Super Plus foliar application increased grain yield and yield components of durum wheat. According to the results the most appropriate timing of application of Super Plus for Durum Wheat was at the time of tillering and among the highest protein content and yield showed in the tillering stage to arrange in lines L5 (12.23 %) and L16 (2948 kg) respectively. Repeating this study for few years of research as well as in other areas could also be useful in confirming the results.

**Keyword:** Cereal, Line, Protein, Spray, Yield components



## تأثیر تنفس خشکی بر کارایی مصرف آب و اجزای آن در دو ژنتیپ و یک رقم ارزن دمروباها

مسعود خزاعی<sup>۱\*</sup> - محمد گلوبی<sup>۲</sup> - مهدی دهمرد<sup>۳</sup> - سید محسن موسوی نیک<sup>۳</sup> - غلامرضا زمانی<sup>۴</sup> - نفیسه مهدی نژاد<sup>۰</sup>

تاریخ دریافت: ۱۳۹۵/۰۷/۰۴

تاریخ پذیرش: ۱۳۹۶/۰۱/۳۰

### چکیده

در شرایط کمبود آب انتقال الگوی کشاورزی به سمت گیاهان سازگار با خشکی می‌تواند راهکار مناسبی برای مقابله با اثرات کمبود آب باشد. ارزن دمروباها گیاهی چهار کربنه با سازگاری خوب به نواحی خشک است که در شرایط تنفس بسته شدن جزوی روزنه، تعرق را بیشتر از فتوستتر کاهش داده و در نتیجه کارایی مصرف آب افزایش می‌یابد. به منظور بررسی تأثیر تنفس خشکی بر کارایی مصرف آب و اجزای آن آزمایشی در سال‌های زراعی ۹۳-۹۲ و ۹۴-۹۳ در مزرعه تحقیقاتی دانشکده کشاورزی بیرجند بهصورت کرت‌های خردشده در قالب طرح پایه بلوك‌های کامل تصادفی با چهار تکرار انجام شد. سطوح تنفس خشکی (شامل شاهد، تنفس ملایم و شدید بهترتبه با تأمین ۱۰۰، ۷۵ و ۵۰ درصد نیاز آبی گیاه) به عنوان عامل اصلی و ژنتیپ‌های kfm5 و kfm20 و رقم باستان به عنوان عامل فرعی در نظر گرفته شد. نتایج نشان داد که تنفس خشکی کارایی مصرف آب دانه را کاهش داد ولی تأثیر معنی‌داری بر کاهش کارایی مصرف آب عملکرد بیولوژیک نداشت. در تمام سطوح تنفس ژنتیپ باستان به علت شاخص برداشت بالاتر کارایی مصرف آب بالاتری از دو لاین دیگر در شرایط بدون تنفس (۸/۱۷٪ در برابر ۰/۶۲٪ و تنفس ۰/۵۶٪ در برابر ۰/۴۱٪) داشت و برای شرایط تنفس مناسب‌تر است. تحت تأثیر تنفس کاهش عملکرد دانه به واسطه کاهش شاخص برداشت و کل ماده خشک بود. کل ماده خشک ژنتیپ‌ها اختلافی نداشت و برتری رقم باستان به علت شاخص برداشت بالاتر بود. کارایی مصرف آب بالا در گیاه لازمه مقاومت و سازگاری در شرایط مواجهه با تنفس خشکی است و به همراه ساختار مخصوص قبل استفاده است، می‌توانند برای شناسایی ژنتیپ‌ها و ارقام مناسب برای شرایط خشک و کمبود آب مورد استفاده قرار گیرند.

**واژه‌های کلیدی:** شاخص برداشت، عملکرد دانه، کارایی مصرف آب، ماده خشک

مثبت با مقاومت گیاه به تنفس خشکی دارد (Erfani et al., 2013)

ولی برخی گونه‌ها با وجودی که تحمل خوبی به کمبود آب دارند، در شرایط بدون تنفس نمی‌توانند استفاده کارآمد از آب داشته باشند. عوامل مدیریتی نظیر کنترل علف‌های هرز و آفات، بهبود تکنیک شخم و زمان کاشت نیز که عوامل محدودکننده رشد را کاهش می‌دهد بدون افزایش تبخیر و تعرق کارایی مصرف آب را افزایش می‌دهد. این عوامل هردوی عملکرد و کارایی مصرف آب را افزایش می‌دهد (Kafi et al., 2010). تأثیر تنفس خشکی بر کارایی مصرف آب بسته به گونه گیاهی، مرحله فنولوژیکی مواجهه با تنفس و شدت تنفس متفاوت است (Keshavars et al., 2012; Kumari, 1988).

اختلاف بیشتر کارایی مصرف آب بر اساس مسیر فتوستزی است و گونه‌های چهار کربنه کارایی مصرف آب بالاتری نسبت به سه کربنه دارند. فتوستز بالا و سرعت رشد تحت شرایط نور و درجه حرارت بالا به همراه مقاومت روزنهای بالاتر گونه‌های چهار کربنه باعث کارایی مصرف آب بالاتر آن‌ها شده است.

در وضعیت محدودیت آب انتقال الگوی کشاورزی به سمت

تنفس خشکی به عنوان مهم‌ترین عامل محدودکننده تولید محسوب می‌شود که از طریق تأثیر بر عواملی که وضعیت مورفو‌فیزیولوژیکی گیاه را تغییر می‌دهد (jaleel et al., 2009)، اثرات شدیدی بر رشد و عملکرد گیاهان زراعی در نواحی مختلف جهان می‌گذارد (Daei et al., 2012). تنفس خشکی کارایی مصرف آب را در گیاهان تحت تأثیر قرار می‌دهد و اغلب تحقیقات در این زمینه به منظور دست یافتن به کارایی مصرف بالا با حفظ تولید بالا متمرکز است (Gardner et al., 2010). کارایی مصرف آب گیاه همبستگی

۱- کارشناس ارشد آموزشی دانشگاه بیرجند و داشجوی سابق دکتری زراعت

گرایش فیزیولوژی گیاهان زراعی، دانشکده کشاورزی، دانشگاه زابل

۲ و ۳ و ۵- بهترتبه استاد، دانشیار و استادیار، گروه زراعت و اصلاح نباتات،

دانشکده کشاورزی، دانشگاه زابل

۴- دانشیار، گروه زراعت و اصلاح نباتات، دانشکده کشاورزی، دانشگاه بیرجند

(Email: mkhazaee@birjand.ac.ir)

DOI: 10.22067/gsc.v16i1.59043

\*(\*)- نویسنده مسئول:

خداbandloo و همکاران (Khodabandloo *et al.*, 2014) کاهاش عملکرد دانه را در زمان مواجهه با تنفس در ارزن دمروباهی گزارش کردند و بخشی از کاهاش عملکرد در این شرایط را به علت کاهاش شاخص برداشت دانه دانستند. ثقہ‌الاسلام و همکاران (Seghataleslami *et al.*, 2008) نیز در تحقیقی تأثیر تنفس خشکی در مراحل مختلف رشد را بر شاخص برداشت دانه در ارقام ارزن مورد بررسی قرار دادند و تغییرات متفاوتی را در شاخص برداشت دانه، پانیکول و دانه در پانیکول در ارقام مختلف ارزن گزارش کردند و ابراز نمودند که تنفس در اغلب مراحل رشد باعث کاهاش شاخص برداشت شد ولی تنفس در مرحله ظهور خوش کمترین شاخص برداشت را نشان داد. یاداو و باتاگار (Yadav and Bhatagar, 2001) گزارش کردند که در ارزن کاهاش ۵۰ درصدی عملکرد دانه در شرایط تنفس به کاهاش شاخص برداشت مربوط می‌شود. بالاترین و پایین‌ترین شاخص برداشت به ترتیب در تیمار شاهد (بدون تنفس) و تنفس شدید مشاهده شد. در شرایط تنفس، کاهاش شاخص برداشت در ارزن عموماً به علت محدودیت منبع نیست و بیشتر با ظرفیت پنجه‌زنی بالای آن مرتبط است. در شرایط محدودیت آب پنجه‌های جدید برای دریافت مواد فتوسترنی با دانه رقابت می‌کنند و در این حالت ظرفیت پنجه‌زنی به عنوان یک خصوصیت منفی برای تولید دانه در ارزن محسوب می‌شود (Keshavars *et al.*, 2013). تحقیق حاضر به منظور بررسی تأثیر تنفس خشکی بر کارایی مصرف آب و نقش آن در کاهاش عملکرد در دو ژنتیپ و یک رقم ارزن انجام شد.

## مواد و روش‌ها

به منظور بررسی تأثیر تنفس خشکی بر کارایی مصرف آب و شاخص برداشت در ارزن آزمایشی در سال‌های زراعی ۱۳۹۲-۹۳ و ۱۳۹۳-۹۴ در مزرعه تحقیقاتی دانشکده کشاورزی دانشگاه بیرجند به صورت کرت‌های خردشده در قالب طرح پایه بلوک‌های کامل تصادفی با چهار تکرار انجام شد. سطوح مختلف تنفس خشکی (شامل شاهد، تنفس متوسط و تنفس شدید به ترتیب بر اساس ۱۰۰، ۷۵ و ۵۰ درصد تأمین نیاز آبی گیاه) به عنوان عامل اصلی و ژنتیپ‌های ارزن دمروباهی (شامل باستان به عنوان رقم مورد کشت در منطقه و لاین‌های امیدبخش KFM5 و KFM20) به عنوان عامل فرعی در نظر گرفته شد. عملیات تهیه زمین شامل شخم پاییزه و بهاره و دیسک و تسطیح در بهار ۹۳ و ۹۴ انجام شد. قبل از کاشت نمونه‌گیری از خاک در عمق صفر تا ۳۰ سانتی‌متر انجام و کودپاشی بر اساس نتایج آزمون خاک از منابع اوره ( $\text{NH}_4\text{CO}_3$ )، فسفات دی آمونیم ( $\text{HPO}_4(\text{NH}_4)$ ) و سولفات پتانسیم ( $\text{K}_2\text{SO}_4$ ) به ترتیب به میزان ۲۵۰، ۲۵۰ و ۱۰۰ کیلوگرم در هکتار انجام گردید. برخی خصوصیات فیزیکی و شیمیایی خاک مزرعه در جدول ۱ آمده است.

گیاهان سازگار با خشکی می‌توانند راهکار مناسبی برای مقابله با اثرات کمبود آب باشند (Seghataleslami *et al.*, 2008). ارزن دمروباهی (Setaria italica) یک گیاه چهار کرینه با سازگاری خوب به نواحی Hatfield *et al.*, (2001) است که کارایی مصرف آب بالای دارد. در این گیاه افزایش میزان بسته شدن روزنه تحت تأثیر تنفس ملایم، تعرق را بیشتر از فتوسترن تحت تأثیر قرار می‌دهد و درنتیجه کارایی مصرف آب افزایش می‌یابد ولی تنفس شدید باعث بسته شدن کامل روزنه شده و در نتیجه کارایی مصرف آب کاهاش می‌یابد (Kafi *et al.*, 2010). گزارش شد که ارزن در مواجهه با تنفس ملایم کارایی مصرف آب بالاتری را نسبت به شاهد نشان داد و در این شرایط افزایش فواصل آبیاری منجر به افزایش نسبت برگ به ساقه شد که همبستگی مثبت با کارایی مصرف آب دارد (Heidari Zooleh *et al.*, 2011). Keshavars *et al.* (2012) با افزایش شدت تنفس در ارزن کاهاش کارایی مصرف آب را گزارش کردند. همچنین ابراز داشتند که در اغلب محصولات زراعی بهبود کارایی مصرف آب باعث بهبود در زیست‌توده تولیدی نمی‌شود و علت اصلی بهبود عملکرد افزایش شاخص برداشت است.

در تحقیقی دیگر که تأثیر تنفس خشکی بر رشد ارزن در دو سال مورد بررسی قرار گرفت، افزایش میزان آب مصرفی باعث افزایش کارایی مصرف آب دانه و کاهاش کارایی مصرف آب زیست‌توده بالای سطح خاک شد. تأثیر تنفس بر کارایی مصرف آب در دو سال آزمایش نیز متفاوت بود (Maman *et al.*, 2003).

با وجود اهمیت استفاده از گیاهان با راندمان مصرف آب بالا، هدف نهایی از تولید محصولات عملکرد قابل برداشت بیشتر است که تحت تنفس خشکی در گیاهان تغییرات متفاوتی را نشان می‌دهد (Jaleel *et al.*, 2009). در مراحل مختلف رشد اندام‌های گیاهی برای دریافت آسیمیلات‌های فتوسترنی باهم رقابت می‌کنند و تنش‌های محیطی علاوه بر کاهاش فتوسترن کل، تخصیص مواد فتوسترنی بین اندام‌های مختلف را نیز تحت تأثیر قرار می‌دهد. کاهاش و یا افزایش عملکرد دانه یا از طریق تغییر کل ماده خشک تولیدی و یا تغییر در سهم عملکرد دانه صورت می‌گیرد. نسبت عملکرد دانه به کل ماده خشک تولیدی که به عنوان شاخص برداشت شناخته می‌شود می‌تواند یک معیار به منظور مقایسه قابلیت گونه‌های زراعی در تخصیص مواد فتوسترنی به دانه مورداستفاده قرار گیرد (Keshavars *et al.*, 20013). عملکرد بیولوژیک و شاخص برداشت در یولاف (Avena fatua) انعطاف‌پذیری دارد و لاین‌های با عملکرد بیولوژیک بالا و شاخص برداشت ۴۰-۵۰٪ بالاترین عملکرد دانه را دارند. در حالی که در اغلب غلات دانه‌ریز افزایش عملکرد دانه اساساً به علت افزایش شاخص برداشت است. گیاه هیچ ماده خشک اضافی تولید نمی‌کند و فقط ماده خشک بیشتری را به عملکرد اقتصادی اختصاص می‌دهد (Gardner *et al.*, 2010).

جدول ۱- برخی از خصوصیات فیزیکی و شیمایی خاک  
Table 1- Some physical and chemical properties of soil

K (ppm)	P (ppm)	% N	بافت Texture	رس % % Clay	سیلت % % Silt	شن % % Sand	EC mS.cm <sup>-1</sup>	pH
232	5.1	0.025	loam	24.7	30.0	45.3	7.9	7.9

آن پس از جدا نمودن اجزای عملکرد و خشک کردن نمونه ها در آون به مدت ۴۸ ساعت و در دمای ۷۸ درجه سانتی گراد تعیین شد. سپس پانیکول ها کوبیده شد و دانه ها جدا و توزین گردید و عملکرد دانه و شاخص برداشت دانه، سنبله و دانه در سنبله با استفاده از معادله  $3$  تعیین شد.

(۳)  $*(100 - \text{ماده خشک تولیدی} / \text{عملکرد دانه}) = \text{شاخص برداشت داده ها}$  با استفاده از نرم افزار SAS نسخه ۹/۱ مورد تجزیه واریانس مرکب قرار گرفت. مقایسه میانگین داده ها با استفاده از آزمون حداقل اختلاف معنی دار (LSD) و در سطح احتمال پنج درصد انجام شد.

## نتایج و بحث

برهم کنش بین سال، تنش و ژنوتیپ بر هیچ یک از صفات مورد بررسی به جز عملکرد بیولوژیک معنی دار نشد (جدول ۲) که نشان می دهد صفات مورد بررسی در ژنوتیپ های ارزن مستقل از سطوح مختلف تنش در هر یک از سال های آزمایش است و افزایش تنش در دو سال آزمایشی تأثیر مشابهی بر صفات مورد مطالعه در سه ژنوتیپ داشت (جدول ۲). برهم کنش تنش و ژنوتیپ نیز بر هیچ کدام از صفات مورد بررسی از نظر آماری معنی دار نشد (جدول ۱)، که نشان می دهد اثر گذاری تنش بر صفات مورد بررسی مستقل از ژنوتیپ های ارزن است. تنش تأثیر معنی داری بر کارایی مصرف آب بیولوژیک در سه ژنوتیپ نداشت (جدول ۲) ولی در دو سال بین ژنوتیپ ها اختلاف معنی داری از نظر کارایی مصرف آب بیولوژیک مشاهده شد. رقم باستان در دو سال بالاترین کارایی مصرف آب بیولوژیک را داشت و اختلاف معنی داری با دو ژنوتیپ دیگر داشت، ولی اختلاف دو ژنوتیپ دیگر معنی داری نبود (جدول ۳).

برخلاف کارایی مصرف آب بیولوژیک تأثیر تنش بر کارایی مصرف آب دانه مستقل از سال های آزمایش نبود به گونه های که در سال دوم برخلاف سال اول تنش تأثیر معنی داری بر کارایی مصرف آب دانه در مقایسه با شاهد نداشت. در دو سال افزایش تنش باعث کاهش کارایی مصرف آب دانه شد. بالاترین کارایی مصرف آب دانه در سال اول از تیمار شاهد به دست آمد و اختلاف معنی داری با سایر سطوح تنش داشت. در سال دوم نیز بالاترین کارایی مصرف آب دانه

کاشت در اول تیرماه ماه صورت گرفت. هر کرت شامل چهار خط به طول شش متر، فاصله بین خطوط ۵۰ سانتی متر و فاصله بوته ها روی ردیف های کاشت چهار سانتی متر در نظر گرفته شد. بین هر کرت فرعی و کرت مجاور یک خط نکاشت و بین کرت های اصلی ۱/۵ متر فاصله در نظر گرفته شد. آبیاری تا مرحله چهار تا شش برگی به صورت معمول صورت گرفت و از مرحله چهار برگی پس از تنک کردن بوته به تراکم ۵۰ بوته در متر مربع تنش خشکی اعمال شد (Azari and Mirzaei, 2012). کنترل علف های هرز به صورت وجبی دستی تا مرحله چهار برگی صورت گرفت. تیمار آبیاری پس از تخلیه رطوبتی تا ۶۰ درصد آب قابل استفاده و از طریق اندازه گیری میزان تبخیر از تشتک تبخیر کلاس A (به روش FAO) و تعیین میزان تخلیه رطوبت خاک، بر اساس میزان رطوبت تعیین شده در آزمایش خاک انجام شد. بدین ترتیب که در تیمار شاهد آبیاری تا حد ظرفیت زراعی در عمق توسعه ریشه (اضافه کردن ۱۰۰ درصد تخلیه رطوبتی) و در تیمار تنش ملایم و شدید به ترتیب ۷۵ و ۵۰ درصد تیمار شاهد تا پایان دوره رویش انجام شد (بر اساس آزمایش خاک میزان آب مصرفی در ۶۰ درصد تخلیه رطوبتی در هر نوبت آبیاری در تیمار شاهد ۶۰۰ و در تنش ملایم و شدید به ترتیب ۴۵۰ و ۳۰۰ لیتر در هر کرت بود).

کارایی مصرف آب دانه با محاسبه نسبت عملکرد دانه به حجم آب مصرفی و کارایی مصرف آب بیولوژیک با محاسبه نسبت کل ماده خشک تولید شده به حجم آب مصرفی بر حسب گرم ماده خشک تولیدی (دانه و کل) به ازای لیتر آب مصرفی با استفاده از معادلات زیر تعیین شد (Ehdaei, 1995).

$$(1) \quad WUE_{seed}: SY/WU$$

$$(2) \quad WUE_{biological}=DM/WU$$

در این معادله، SY عملکرد دانه و DM میزان ماده خشک بر حسب گرم، WU میزان آب مصرفی بر حسب لیتر، WUE کارایی مصرف آب دانه و بیولوژیک و بر حسب گرم ماده خشک به ازای لیتر آب مصرفی است. برای تعیین عملکرد دانه، ماده خشک و شاخص برداشت در زمان رسیدگی فیزیولوژیک (رقم باستان ۹۰ و دو ژنوتیپ دیگر ۱۱۰ روز پس از کاشت)، پس از حذف دو خط حاشیه و نیم متر ابتدا و انتهای کرت، از سطح یک مترمربع به صورت تصادفی برداشت به صورت برش از سطح خاک انجام شد. ماده خشک تولیدی و اجزای

اب (al., 2013)، ولی شدت تأثیر تنفس خشکی بر کارایی مصرف آب علاوه بر اینکه به گونه گیاهی بستگی دارد به مرحله فنولوژیکی مواجهه با تنفس و شدت تنفس نیز وابسته است (Keshavars et al., 2012; Kumari, 1988).

حیدری زوله و همکاران (Heidari Zooleh et al., 2011) نیز گزارش کردند که در روش‌های مختلف آبیاری راندمان مصرف آب تحت تأثیر تنفس ملایم، افزایش و در تنفس شدید کاهش یافت و علت آن را افزایش نسبت برگ به ساقه و کوچک و ضخیم‌تر شدن برگ‌ها تحت تأثیر تنفس بیان نموده‌اند. تغییر خصوصیات مورفولوژیکی گیاه نظیر افزایش ضخامت برگ می‌تواند باعث واکنش متفاوت کارایی مصرف آب در ارقام مختلف شود و ارقام مورد مطالعه نیز از این نظر متفاوت بودند. نتایج تحقیقات دیگری کاهش کارایی مصرف آب دانه و عملکرد بیولوژیک را تحت شرایط مواجهه با تنفس در ارزن گزارش کردند و ابراز داشتند در اغلب محصولات زراعی بهبود کارایی مصرف آب باعث بهبود در زیست توده تولیدی نمی‌شود و علت اصلی بهبود عملکرد افزایش شاخص برداشت است (Keshavarz et al., 2013; Khodabandloo et al., 2014).

نتایج تحقیق نشان داد در دو سال افزایش تنفس در دو ژنوتیپ و رقم باستان باعث کاهش شاخص برداشت دانه شد (جدول ۳). بینترین میزان کاهش شاخص برداشت دانه در تنفس ملایم و شدید KFM5 به ترتیب مربوط به رقم باستان (۳۸ درصد) و ژنوتیپ KFM20 کمترین (۳۹ درصد در مقایسه با شاهد) بود و ژنوتیپ KFM20 کاهش حساسیت را به افزایش تنفس نشان داد (جدول ۳). در هیچ‌یک از سطوح تنفس اختلاف معنی‌داری بین رقم باستان و ژنوتیپ‌ها مشاهده نشد. بررسی تأثیر تنفس بر شاخص برداشت دانه در دو سال نشان داد در سه سطح تنفس نه تنها شاخص برداشت دانه در سال اول بیشتر از سال دوم بود میزان کاهش آن تحت تأثیر تنفس نیز در سال اول بالاتر بود (جدول ۳). معنی‌داری برهمنگش بین سال و ژنوتیپ نیز نشان می‌دهد که شاخص برداشت دانه در ژنوتیپ مستقل از سال‌های آزمایش نیست. با وجود عدم اختلاف معنی‌دار ژنوتیپ‌ها در سال اول، در سال دوم شاخص برداشت دانه رقم باستان به‌طور معنی‌داری بیشتر از دو ژنوتیپ دیگر بود (جدول ۳).

بین دو سال آزمایشی اختلاف معنی‌داری از نظر شاخص برداشت دانه وجود داشت. در تمام تیمارهای آزمایشی شامل اثرات ساده و متقابل شاخص برداشت دانه در سال اول بیشتر از سال دوم بود (جدول ۳).

تأثیر تنفس بر شاخص برداشت پانیکول مستقل از سال آزمایش نبود (جدول ۱) به‌گونه‌ای که در سال اول تنفس شدید منجر به کاهش معنی‌دار شاخص برداشت پانیکول شد ولی در سال دوم کاهش شاخص برداشت معنی‌دار نبود (جدول ۳).

از شاهد حاصل شد ولی اختلاف آن با سایر سطوح تنفس معنی‌دار نبود (جدول ۳). در دو سال رقم باستان بالاترین کارایی مصرف آب دانه را نیز نشان داد و اختلاف معنی‌داری با دو ژنوتیپ دیگر داشت. در سال اول ژنوتیپ KFM20 از نظر کارایی مصرف آب اختلاف معنی‌داری با ژنوتیپ KFM5 نداشت ولی در سال دوم کارایی مصرف آب در این ژنوتیپ به طور معنی‌داری کمتر از ژنوتیپ KFM5 بود (جدول ۳). در دو ژنوتیپ و رقم باستان کارایی مصرف آب در سال اول به‌طور معنی‌داری بالاتر از سال دوم بود ولی شدت کاهش در ژنوتیپ KFM20 به میزان ۵۴ درصد نسبت به سال اول بیشتر از ژنوتیپ KFM5 و رقم باستان دیگر بود. در تحقیقی دیگر نیز تأثیر تنفس بر کارایی مصرف آب در دو سال آزمایش متفاوت بود و علت افزایش Maman (et al., 2003) در تحقیق حاضر میانگین درجه حرارت در سال دوم پایین‌تر از سال اول بود که می‌تواند در کاهش کارایی مصرف آب دانه در سال دوم مؤثر باشد. تغییرات اقلیمی نظیر افزایش درجه حرارت و غلظت دی‌اکسید کربن از طریق افزایش سرعت فتوسنتز می‌تواند کارایی مصرف آب را تحت تأثیر قرار دهد.

در تمام سطوح تنفس کارایی مصرف آب دانه در رقم باستان بالاتر از دو ژنوتیپ دیگر بود و بیشتر از سایر ژنوتیپ‌ها تحت تأثیر تنفس نیز قرار گرفت به‌طوری که در تنفس متوسط با وجود برتری اختلاف معنی‌داری با دیگر ژنوتیپ‌ها نداشت. در تمام تیمارهای آزمایشی کارایی مصرف آب دانه نیز در سال دوم به‌طور معنی‌داری کمتر از سال اول بود (جدول ۲).

تنفس شدید منجر به کاهش معنی‌دار کارایی مصرف آب شد و رقم باستان با ۳۰ درصد کاهش نسبت به شاهد کمترین کاهش را نشان داد ولی کاهش کارایی مصرف آب بیولوژیک در هیچ‌یک از ژنوتیپ‌ها از نظر آماری معنی‌دار نبود. در واقع مکانیسم تقلیلی دی‌اکسید کربن در شرایط خشک می‌شود (Larcher, 1995). در گیاهان چهارکربنه تنفس ملایم، تعرق را بیشتر از فتوسنتز کاهش می‌دهد و در نتیجه حتی منجر به افزایش کارایی می‌شود، ولی تنفس شدید به‌واسطه بسته شدن کامل روزنہ محدودیت‌های متابولیکی را نیز افزایش داده و در نتیجه کارایی مصرف آب را کاهش می‌دهد (et al., 2010; Zhang and Kirkham, 1995). تشدید و یا تداوم تنفس خشکی علاوه بر محدودیت روزنہ‌ها از طریق تأثیر بر سایر عوامل مؤثر بر فتوسنتز، آسیمیلاسیون چهارکربنه‌ها را نیز محدود می‌کند (Lawlor, 2002; Ripley et al., 2007). مقاومت روزنہ عامل اصلی محدودکننده آسیمیلاسیون دی‌اکسید کربن در شروع و تنفس ملایم خشکی و در حین تنفس ملایم خشکی است (Cornic, 2000) کارایی مصرف آب بالاتر رقم باستان در تمام سطوح تنفس نشان دهنده تحمل بیشتر این رقم به تنفس خشکی است (Erfani et

جدول ۲- نتایج حاصل از تالیف میانگین مربوط (تجزیه مركب) برای کارایی مصرف آب و اجزای آن و عملکرد تحت تأثیر زنوتیپ ارزن و تنش خشکی در دو سال آزمایش  
Table 2- Combine analysis of variance (mean square) for water used efficiency, harvest index and yield of millet genotypes under drought stress in two years

منابع تنفس	Source of variation	d.f	Water use efficiency			Harvest index			Yield					
			بیولوژیک	Biological	Seed	دایه	Grain	دانه	بانیکول	Ear	Seed per panicle	دانه	Grain	بیولوژیک
سال	Year (Y)	1	0.226 <sup>ns</sup>	1.002*	3550 **	5260 **	0.1 <sup>ns</sup>	230075*	30586 <sup>ns</sup>					
خطای اصلی	Error a	6	0.306	0.169	1404	804	2020	28206	279336					
تنش	Stress (S)	2	0.005 <sup>ns</sup>	0.473 <sup>ns</sup>	2556 <sup>ns</sup>	2170 <sup>ns</sup>	1372 <sup>ns</sup>	252453*	1053087*					
سال*تنش	Y*S	2	0.177 <sup>ns</sup>	0.161*	652**	183*	1182*	22355*	46262 <sup>ns</sup>					
خطای فرعی	Error b	12	0.104	0.027	321	223	1746	5121	21887					
رقم	Variety (V)	2	1.462 **	0.225 <sup>ns</sup>	46 <sup>ns</sup>	953 <sup>ns</sup>	2271 <sup>ns</sup>	8792ns	46079 <sup>ns</sup>					
سال*رقم	Y*V	2	0.006 <sup>ns</sup>	0.043*	608 **	1183 **	134 <sup>ns</sup>	12595*	5662... <sup>ns</sup>					
تنش*رقم	S*V	4	0.192 <sup>ns</sup>	0.022 <sup>ns</sup>	198 <sup>ns</sup>	205 <sup>ns</sup>	190 <sup>ns</sup>	3998 <sup>ns</sup>	171415 <sup>ns</sup>					
سال*تنش*رقم	Y*S*V	4	0.074 <sup>ns</sup>	0.020 <sup>ns</sup>	39 <sup>ns</sup>	88 <sup>ns</sup>	*447	4868 <sup>ns</sup>	61197*					
خطا	Error c	36	0.041	0.015	18	16	33	2443	5826					
	CV%		11.37	22.82	14.33	10.07	8.02		9.78					

\*, \*\* and ns means significant at 0.05 and 0.01 probability level and non-significant respectively  
\*, \*\*, ns and ns = بترتیب نشان دهنده معنی داری در سطح ۰/۰۵ و ۰/۰۱ و عدم معنی داری

**جدول ۳- مقایسه میانگین کارایی مصرف آب، شاخص برداشت و عملکرد تحت تأثیر رقم باستان و دو ژنوتیپ ارزن و تنفس خشکی در سال‌های ۹۴ و ۹۳**

**Table 3- Mean comparison of simple and interaction effects on water use efficiency, harvest index and yield in bastan and two genotypes of millet and drought stress levels in two years**

سال Year	تنفس Stress	ژنوتیپ Genotype	کارایی مصرف آب Water use efficiency		شاخص برداشت Harvest index			عملکرد Yield	
			بیولوژیک Biological g L <sup>-1</sup>	دانه Seed g L <sup>-1</sup>	دانه Grain	دانه پانیکول Ear	دانه در پانیکول Seed per panicle	دانه Seed (g m <sup>-2</sup> )	بیولوژیک Biological (g m <sup>-2</sup> )
93			1.739	0.659	36.60	49.08	72.33	297.2	759.11
94			1.851	0.422	22.56	31.98	72.66	184.1	800.33
LSD (0.05)			0.319	0.236	21.61	0.1635	25.91	96.85	304.78
S <sub>1</sub>			1.811	0.692	37.79	47.80	78.41	353.2	931.3
S <sub>2</sub>			1.781	0.497	27.13	39.25	68.76	216.0	772.5
S <sub>3</sub>			1.733	0.432	23.82	34.53	69.57	152.4	635.4
LSD (0.05)			0.522	0.498	0.3171	16.80	42.70	140.1	267.17
S <sub>1</sub>	Bastan		1.952	0.817	41.34	52.33	78.32	368.0	878.50
S <sub>2</sub>			2.055	0.550	25.25	38.87	63.31	213.0	796.58
S <sub>3</sub>			2.016	0.576	25.04	36.32	68.28	187.2	720.25
S <sub>1</sub>	KFM5		1.818	0.668	37.17	50.71	71.87	367.4	1000.2
S <sub>2</sub>			1.770	0.521	28.87	44.10	64.85	241.0	818.71
S <sub>3</sub>			1.523	0.349	22.86	36.21	63.69	131.2	571.42
S <sub>1</sub>	KFM20		1.664	0.589	34.86	40.40	85.03	324.1	915.33
S <sub>2</sub>			1.518	0.421	27.50	33.81	85.54	194.9	694.25
S <sub>3</sub>			1.638	0.369	23.58	31.07	76.76	138.7	614.42
LSD (0.05)			0.205	0.196	8.66	13.02	29.34	167.7	343.36
93	S <sub>1</sub>		1.827	0.901	49.06	58.48	83.82	461.89	936.33
93	S <sub>2</sub>		1.749	0.590	32.31	46.08	67.62	258.53	760.78
93	S <sub>3</sub>		1.611	0.483	28.44	42.68	65.25	171.1b	580.22
94	S <sub>1</sub>		1.796	0.482	26.52	37.10-	72.99	244.41	926.33
94	S <sub>2</sub>		1.813	0.404	21.95	32.43	69.90	174.3	784.16
94	S <sub>3</sub>		1.914	0.380	19.20	26.39	73.89	133.67	690.50
LSD (0.05)			0.286	0.146	15.94	13.28	37.17	98.13	131.61
93	Bastan		2.004	0.736	34.21	46.34	70.43	293.49	786.89
93	KFM5		1.630	0.613	36.27a	51.74	68.16	296.87	764.11
93	KFM20		1.553	0.626	36.33	49.16	78.10	277.1	726.33
94	Bastan		2.085	0.559	26.87	38.67	69.49	218.8	810.00
94	KFM5		1.778	0.413	23.00	35.58	65.44	196.25	729.41
94	KFM20		1.661	0.294	17.81	21.69	81.85	137.33	761.58
LSD (0.05)			0.167	0.101	3.552	3.32	4.76	61.78	63.31

S<sub>3</sub> و S<sub>2</sub> و S<sub>1</sub> به ترتیب تأمین ۱۰۰، ۷۵ و ۵۰ درصد نیاز آبی گیاه

S<sub>1</sub>, S<sub>2</sub> and S<sub>3</sub> are 100, 75 and 50 percent plant water requirement respectively

کاهش شاخص برداشت پانیکول به ترتیب در رقم باستان (۳۲ درصد) و ژنوتیپ KFM20 (۲۵ درصد در مقایسه با شاهد) بود و ژنوتیپ KFM20 از این نظر حساسیت کمتری به افزایش تنفس داد (جدول ۳). در تمام سطوح تنفس شاخص برداشت پانیکول در رقم باستان بیشتر از دو ژنوتیپ دیگر بود ولی در تنفس شدید اختلاف ارقام معنی دار نبود که نشان می دهد باستان بیشتر تحت تأثیر تنفس قرار

شاخص برداشت پانیکول در ژنوتیپ نیز مستقل از سال‌های آزمایش نبود به طوری که در سال اول رقم باستان کمترین ولی در سال دوم بیشترین شاخص برداشت پانیکول را داشت (جدول ۳). شاخص برداشت در این رقم کمتر از دو ژنوتیپ دیگر تحت تأثیر سال آزمایش بود. با افزایش شدت تنفس شاخص برداشت پانیکول در دو ژنوتیپ و رقم باستان کاهش نشان داد. بیشترین و کمترین میزان

نیز طول دوره رشد با هم اختلاف داشتند و به همین علت تأثیرپذیری متفاوتی را در شرایط تنش نشان دادند (Vadez *et al.*, 2012). در دیگر ارقام ارزن نیز واکنش متفاوتی به تنش گزارش شد (Khazaie *et al.*, 2005).

کاهش عملکرد دانه تحت تأثیر تنش در مرحله رشد رویشی می‌تواند به علت کاهش کل ماده خشک تولیدی به‌واسطه کاهش سطح برگ فعال فتوستتری برگ باشد. عکس العمل برگ پرچمی بیشتر از سایر برگ‌ها است و در غلات بیشترین نقش را در رشد اندام‌های زایشی گیاه دارد. بنابراین عملکرد دانه را بیش از عملکرد بیولوژیک تحت تأثیر قرار داده و در نتیجه کارایی مصرف آب نسبت به کارایی تبخیر و تعرق بیشتر تحت تأثیر تنش قرار می‌گیرد (Hui *et al.*, 2012). علاوه بر این اعمال تنش در دوره رشد زایشی می‌تواند از طریق کاهش رشد طولی و قطر پانیکول به علت کاهش طول دوره زایشی باعث کاهش عملکرد دانه شود (Alizadeh *et al.*, 2007) و نه تنها از طریق کاهش سرعت فتوستتر و کاهش سرعت انتقال مواد، رشد اندام‌های زایشی را تحت تأثیر قرار می‌دهد از این طریق نیز باعث کاهش رشد رویشی زایشی شود. در تحقیق حاضر اعمال تنش در دو مرحله رشد رویشی و زایشی از طریق کاهش سرعت فتوستتر تغییر در سهم عملکرد دانه باعث کاهش عملکرد دانه شد. کاهش سرعت فتوستتر به علت واکنش بسته شدن روزنه صورت می‌گیرد و یکی از مکانیسم‌های مقاومت، به علت کاهش میزان آب در سلول است. افزایش طول ریشه به منظور نفوذ عمقی ریشه در جستجوی آب و اجتناب از تنش و نیز سنتر اسمولیت‌های پرولین و هیدرات‌کربن تحت تنش خشکی منجر به کاهش سهم عملکرد دانه از آسیمیلات‌های فتوستتری می‌شود. در مطالعه حاضر کاهش شاخص برداشت دانه، سنبله و دانه در سنبله شاخصی از کاهش تخصیص آسیمیلات‌های فتوستتری به اندام‌های زایشی تحت شرایط تنش است. البته شاخص برداشت به اندازه بوته، شرایط محیطی و رقم نیز وابسته است ولی اعتقاد بر این است که کاهش اندازه گیاه، به‌واسطه تنش در تعیین شاخص برداشت تأثیر دارد و به‌خودی خود نقشی در کاهش شاخص برداشت ندارد (Prihar and Stewart, 1991). تعداد سنبله بیشتر در ژنوتیپ KFM20 خصوصاً در شرایط محدودیت آب باعث شده پنجه‌های جدید برای دریافت مواد فتوستتری با دانه رقابت کنند. در این شرایط تنش پنجه‌های جدید توانایی پایینی برای تولید خوش‌های بارور دارند که می‌تواند علت کاهش بیشتر شاخص برداشت دانه و درنتیجه عملکرد پایین دانه در مقایسه با ژنوتیپ و رقم دیگر شود (Gardner *et al.*, 2010). دیگر تحقیقات نیز کاهش شاخص برداشت دانه، پانیکول و دانه در پانیکول را تحت شرایط تنش خصوصاً در مرحله ظهر خوش در ارقام مختلف ارزن گزارش کردند و ابراز نمودند که میزان کاهش شاخص برداشت در ارقام مختلف متفاوت بود (Khodabandloo *et al.*, 2014; Seghateslami *et al.*, 2008).

گرفت. در تمام تیمارهای آزمایشی شامل اثرات ساده و متقابل شاخص برداشت پانیکول در سال اول بیشتر از سال دوم بود (جدول ۳).

در دو سال ژنوتیپ KFM20 بیشترین شاخص برداشت دانه در پانیکول را داشت و از این نظر اختلاف معنی‌داری با ژنوتیپ و رقم دیگر داشت (جدول ۳). ژنوتیپ KFM5 در هر دو سال کمترین شاخص برداشت دانه در پانیکول را داشت ولی اختلاف معنی‌داری با رقم باستان نداشت. در هر سه ژنوتیپ و رقم با افزایش شدت تنش شخص‌های برداشت دانه در پانیکول کاهش یافت ولی اختلاف از نظر آماری معنی‌دار نبود. در هیچ‌یک از سطوح تنش اختلاف معنی‌داری از نظر شاخص برداشت دانه بین ژنوتیپ‌ها و رقم باستان نیز مشاهده نشد (جدول ۳). اثر اصلی تنش خشکی و سال بر شاخص برداشت دانه در پانیکول از نظر آماری معنی‌دار نشد (جدول ۲).

در هر دو سال با افزایش شدت تنش عملکرد دانه کاهش معنی‌داری نشان داد ولی عملکرد دانه و میزان کاهش آن تحت تأثیر تنش در سال اول بیشتر از سال دوم بود. دو سال از نظر عملکرد بیولوژیک اختلافی معنی‌داری نداشتند (جدول ۳). اثر گذاری تنش بر عملکرد دانه مستقل از سال‌های آزمایش نبود (جدول ۲). در سال اول اختلاف معنی‌داری بین ژنوتیپ‌ها و رقم باستان مشاهده نشد ولی در سال دوم عملکرد دانه در ژنوتیپ KFM20 به‌طور معنی‌داری کمتر از ژنوتیپ و رقم دیگر بود (جدول ۳). در دو ژنوتیپ و رقم باستان با افزایش تنش عملکرد دانه به‌طور معنی‌داری کاهش یافت ولی کاهش کل ماده خشک تولیدی معنی‌دار نبود (جدول ۳). در هیچ‌یک از سطوح تنش اختلاف معنی‌داری از نظر عملکرد بین دو ژنوتیپ و رقم باستان مشاهده نشد. اثر اصلی تنش خشکی بر عملکرد دانه و خشک از نظر آماری معنی‌دار شد (جدول ۱). بیشترین عملکرد دانه و ماده خشک در دو سال آزمایش مربوط به تیمار بدون تنش (۱۰۰٪ درصد تأمین نیاز رطوبتی) بود و اختلاف معنی‌داری با تنش شدید داشت (جدول ۳). در هر سطح تنش اختلاف معنی‌داری بین ماده خشک کل در دو سال وجود نداشت ولی عملکرد دانه در سال اول به‌طور معنی‌داری بیشتر از سال دوم بود (جدول ۳).

تنش خشکی تخصیص مواد فتوستتری بین اندام‌های مختلف را نیز تحت تأثیر قرار داده (Gardner *et al.*, 2010) و از طریق توسعه ریشه به بخش‌های عمیق تر خاک توسعه اندام‌های هوایی را کاهش می‌دهد (Anjum *et al.*, 2011). جلوگیری از توسعه اندام‌های هوایی، سهم بیشتری از آسیمیلات‌ها را به ریشه اختصاص می‌دهد (Kafi *et al.*, 2010). یکسان نبودن تأثیر تنش خشکی بر عملکرد دانه و شاخص برداشت در ارقام ارزن می‌تواند به علت تنوع ژنتیکی بالای ارزن دمروباھی از نظر خصوصیات مورفولوژیکی باشد (Brunda *et al.*, 2014). ژنوتیپ‌ها و رقم موردمطالعه نیز از نظر ویژگی‌های مورفولوژیکی نظیر اندازه برگ، طول سنبله، قطر سنبله، قطر ساقه و

برداشت دانه بالاتر و در شرایط تنفس ارقام با کارایی مصرف آب دانه و ماده خشک بالا مناسب باشد.

تجزیه همبستگی عملکرد دانه برای هریک از ارقام نیز نشان داد در همه ارقام کارایی مصرف آب دانه و شاخص برداشت دانه، پانیکول و ماده خشک به ترتیب بالاترین همبستگی را با عملکرد دانه نشان داد. رگرسیون گام‌به‌گام متغیرهای مؤثر بر عملکرد دانه نشان داد در ژنتیک KFM5 و KFM20 کارایی مصرف آب دانه و ماده خشک و در رقم باستان به ترتیب شاخص برداشت دانه، کارایی مصرف آب دانه و ماده خشک بیشترین تأثیر را بر عملکرد دانه داشتند و کارایی مصرف آب بیولوژیک و شاخص برداشت پانیکول در همه ارقام تأثیر منفی داشت.

### نتیجه‌گیری

انتظار می‌رود در شرایط مواجهه با تنفس ارقام و ژنتیک‌های با کارایی مصرف آب دانه و شاخص برداشت دانه بالاتر، عملکرد دانه بالاتری تولید کنند و بنابراین در بین ژنتیک‌ها و رقم مورد مطالعه رقم باستان به دلیل کارایی مصرف آب دانه و شاخص برداشت دانه بالا در شرایط تنفس مناسب‌تر باشد. در این رقم همبستگی بیشتر شاخص برداشت دانه با عملکرد دانه نیز به استفاده کارآمدتر از آب کمک می‌کند، حال آن‌که این شاخص در دو ژنتیک دیگر اهمیت کمتری دارد. در شرایط آبیاری مناسب ژنتیک KFM5 به‌واسطه بالاتر بودن شاخص برداشت دانه از نظر عملکرد دانه وضعیت خوبی داشت ولی از این نظر اختلاف معنی‌داری با رقم باستان نداشت و لذا هر دو برای این شرایط قابل توصیه هست.

پاداو و باتاگار (Yadav and Bhatagar, 2001) گزارش کردند که کاهش ۵۰ درصدی عملکرد در شرایط تنفس به کاهش شاخص برداشت مربوط می‌شود. بالاترین و پایین‌ترین شاخص برداشت به ترتیب در تیمار شاهد (بدون تنفس) و تنفس شدید مشاهده شد. کاهش شاخص برداشت ارزن در سال دوم را می‌توان به علت کاهش درجه حرارت در حین گلدهی دانست.

تجزیه همبستگی بین عملکرد دانه و شاخص‌های مورد بررسی به تفکیک سال آزمایش، سطوح تنفس و ژنتیک‌ها نشان داد در دو سال آزمایش عملکرد دانه بالاترین همبستگی را به ترتیب با شاخص برداشت دانه، کارایی مصرف آب دانه و کل ماده خشک نشان دادند. رگرسیون گام‌به‌گام متغیرهای مؤثر بر عملکرد دانه نیز در دو سال نشان داد به ترتیب کارایی مصرف آب دانه و شاخص برداشت دانه بیشترین تأثیر را بر عملکرد دانه داشتند. در سال اول اثرگذاری شاخص برداشت دانه بیشتر از سال دوم نشان داد.

تجزیه همبستگی عملکرد دانه برای سه سطح تنفس نیز نشان داد در تمام سطوح تنفس به ترتیب کارایی مصرف آب، شاخص برداشت دانه، شاخص برداشت پانیکول و ماده خشک بالاترین همبستگی را با عملکرد دانه نشان داد. رگرسیون گام‌به‌گام متغیرهای مؤثر بر عملکرد دانه نیز در هر یک از سطوح تنفس نشان داد به ترتیب کارایی مصرف آب دانه و شاخص برداشت دانه و ماده خشک بیشترین تأثیر را بر عملکرد دانه داشتند. با افزایش شدت تنفس سهم کارایی مصرف آب دانه و کل ماده خشک تولیدی افزایش و در عوض سهم شاخص برداشت دانه و پانیکول در عملکرد دانه کاهش نشان داد. در تمام سطوح تنفس کارایی مصرف آب بیولوژیک منفی بر عملکرد دانه داشت. به نظر می‌رسد در شرایط آبیاری مناسب ارقام با شاخص

جدول ۴- ضرایب همبستگی بین عملکرد دانه با برخی صفات مورد بررسی به تفکیک سال، سطوح تنفس خشکی و ژنتیک ارزن

Table 4- Correlation coefficient between seed yield with water used efficiency and its component in divided for each years, stress levels and Genotype

عملکرد دانه	Seed yield	کارایی مصرف آب		شاخص برداشت دانه	شاخص برداشت	شاخص برداشت دانه	ماده خشک DM
		دانه Seed	بیولوژیک Biological		Seed HI	panicle HI	
دو سال	Two years	0.94**	0.40*	0.94**	0.85**	0.53**	0.74**
سال اول	First yeas	0.94**	0.58**	0.94**	0.91**	0.85**	0.93**
سال دوم	Second year	0.86**	0.41*	0.89**	0.82**	-0.19 <sup>ns</sup>	0.81**
بدون تنفس	No stress	0.96**	0.44*	0.95**	0.92**	0.49*	0.37 <sup>ns</sup>
تنش ملایم	Medium stress	0.98**	0.63**	0.94**	0.83**	0.50*	0.61**
تنش شدید	Severe stress	0.99**	0.64**	0.83**	0.64**	0.43*	0.74**
رقم باستان	Bastan	0.96**	0.45*	0.97**	0.94**	0.82**	0.83**
KFM5	KFM5	0.97**	0.56**	0.93**	0.82**	0.69**	0.76**
KFM20	KFM20	0.97**	0.28 <sup>ns</sup>	0.92**	0.85**	0.47*	0.65**

\*, \*\* و ns به ترتیب نشان‌دهنده معنی‌داری در سطح ۰/۰۵ و عدم معنی‌داری

\*، \*\* and ns means significant at 0.05 and 0.01 probability level and non-significant respectively

DM: Dry matter, WUE (Water used efficiency), HI (Harvest index)

## References

1. Alizadeh, O., Majidi, E., Nadian, H., Noor Mohammadi, Gh., and Amerian, M. 2007. Effects of drought stress and nitrogen rate on corn yield and components of yield. Journal of Agricultural Sciences Islamic Azad University 13 (23): 427-434. (in Persian).
2. Anjum, F., Yaseen, M., Rasul, E., Wahid, A., and Anjum, S. 2003. Water stress in barley, effect on chemical composition and chlorophyll content. Pakistan Journal of Agriculture Science 40: 45-49.
3. Azari, A., Mirzaei, M. R. 2012. Effect of sowing date on grain yield and yield components of Foxtail millet promising Lines. Seed and Plant Production Journal 1: 2-28.
4. Brunda, S. M., Kamatar, M. Y., Naveenkumar, K. L., and Hundekar, R. 2014. Study of genetic variability, heritability and genetic advance in foxtail millet in both rainy and post rainy season. IOSR Journal of Agriculture and Veterinary Science 7 (11): 34-37.
5. Cornic, G. 2000. Drought stress inhibits photosynthesis by decreasing stomata aperture not by affecting ATP synthetase. Trend in Plant Science 5 (5): 187-188.
6. Dai, H. P., Shan, C. J., Wei, A. H., Yang, T., Sa, W. Q., and Feng, B. L. 2012. Leaf senescence and photosynthesis in foxtail millet (*Setaria italica* L.) varieties exposed to drought conditions. Australian Journal of Crop Science 6 (2): 232-237.
7. Ehdaie, B., 1995. Variation in water-use efficiency and its components in wheat: II. Pot and field 121talic121ent. Crop Sci.35:1617-1626.
8. Erfani, M., Alizadeh, O., and Miri, H. R. 2013. Physiological aspects of panicum under different water supply, weeding and growth regulators for competitive ability against weed. International Journal of Farming Allied Sciences 2: 1241-1254.
9. Gardner F. P., Brenet Pearce, R., and Mitchell, R. L. 2010. Physiology of crop plants. Scientific Publishes, Hainglaj Offset Printers, Jodhpur. (India). Pp: 327.
10. Hatfield, J. L., Saure, T. J., and Prueger, J. H. 2001. Managing soil to achieve greater water use efficiency: A review. Agronomy 93: 271-280.
11. Heidari-zoleh, H., Jahansooz, M. R., Yunusa, I., Hosseini, S. M. B., Chaichi, M. R., and Jafari, A. A. 2011. Effect of alternate irrigation on root-divided Foxtail Millet. Australian Journal of Crop Science 5: 205-213.
12. Hui-Ping, D. et al. 2012. Leaf senescence and photosynthesis in foxtail millet (*Setaria italica* L.) varieties exposed to drought conditions. Australian Journal of Crop Science 6 (2): 232-237.
13. Jaleel, C., Manivannan, P., Wahid, A., Farooq, M., Somasundaram, R., and Panneerselvam. 2009. Drought stress in plants: a review on morphological characteristics and pigments composition. International Journal of Agriculture and Biology 11: 100-105.
14. Kafi, M., Borzoei, A., Salehi, M., Kamandi, A., Masoumi, A., and Nabati, J. 2010. Physiology of Environmental Stress in Plant.Ferdowsi University of Mashhad publication. 502p. (in Persian).
15. Keshavars, L., Farahbakhsh, H., and Golkar, P. 2012. The effects of drought stress and absorbent polymer on morph-physiological traits of Pear Millet. International Research Journal of Applied and Basic Sciences 3 (1): 148-154.
16. Keshavars, L., Farahbakhsh, H., and Golkar, P. 2013. Effects of different irrigation and superabsorbent levels on physio-morphological traits and forage yield of Millet. American-Eurasian Journal Agriculture and environment Science 13 (7): 1012-1018.
17. Khodabandloo, Sh., Sepehri, A., Ahmadvand, G., and Keshtkar, A. H. 2014. Effect of silicon on millet grain yield and water use efficiency under drought stress. Crops Improvement. 16 (2): 416-399.
18. Kumari, S. 1988. The effect of soil moisture stress on the development and yield of millet. Agronomy Journal 57: 480-487.
19. Lawlor, D. W., and Cornic, G. 2002. Photosynthetic carbon assimilation and associated metabolism in relation to water deficit in higher plant. Plant Cell and Environment 25 (2): 275-294.
20. Larcher, W. P. 1995. Physiological plant ecology. New York, USA. 506 p.
21. Maman, N., Lyon, D. J., Mason, S., Galusha, T. D., and Higgins, R. 2003. Pearl millet and grain sorghum yield response to water supply in Nebraska. Agronomy Journal 95: 1618-1624.
22. Prihar, S. S., and Stewart, B. A. 1991. Sorghum harvest index in relation to plant size, environment, and cultivar. Agronomy Journal 83: 603-608.
23. Seghatoleslami, M. J., Kafi, M., and Majidi, E. 2008. Effect of drought stress at different growth stages

- on yield and water use efficiency of five proso Millet. (*Panicum milliaceum*) genotypes. Pakistan Journal of Botany 40 (4): 1427-1432.
24. Seghatoleslami, M. J., Kafi, M., Majidi, E., Darvish, F., and Nourmohammadi, Gh. 2008. Effect of deficit irrigation on yield and water use efficiency of three millet species. Journal of Agricultural sciences Islamic Azad University 11 (4): 121-131.
25. Vadez, V., Hash, T., Binder, F., and Kholova, J. 2012. Phenotyping pearl millet for adaptation to drought. Plant Physiology 3: 158-169.
26. Yadav, O. P., and Bhatnagar, S. K. 2001. Evaluation of indices for identification of pearl millet cultivars adapted to stress and non-stress conditions. Field Crops Research 70 (3): 201-208.
27. Zhang, J., and Kirkham, M. B. 1995. Water relations of water-stressed, split-root C4 (*Sorghum binocolor*) and C3 (*Helianthus annuus*) plants. American Journal of Botany 82 (10): 1220-1229.



## Effect of Drought Stress on Water Use Efficiency and Its Components in Several Genotypes and Cultivars of Foxtail Millet (*Setaria italica* L.)

M. Khazaei<sup>1\*</sup> - M. Galavi<sup>2</sup> - M. Dahmardeh<sup>3</sup> - S. M. Moosavi-Nik<sup>3</sup> - Gh. Zamani<sup>4</sup> - N. Mahdi-Nejad<sup>5</sup>

Received: 25-09-2016

Accepted: 19-04-2017

### Introduction

According to NASA reports about atmospheric earth conditions, in the 30 years later, 45 countries will face with severe droughts and Iran is in the fourth place in this list. Water shortage is one of the most important limiting factors of production that affects plants growth by changing physiological conditions. Using adapted plants is a proper strategy to deal with the effects of water shortage on the status of water restrictions. Foxtail millet is a C<sub>4</sub> plant with good compatibility to dry areas and it has high water use efficiency. In medium stress partial stomata closure reduces transpiration more than photosynthesis in this plant and as a result, increase water use efficiency.

### Materials and Methods

This experiment was carried out as split-plot layout based on randomized complete blocks design with four replications at the Agricultural Research Station, University of Birjand in 2014-2015. The main factor was drought stress in three levels including 100, 75 and 50 percent of plant water requirement (no stress as control, moderate stress and severe stress, respectively) and the sub-factor was millet genotype in three levels (including Bastan, KFM5 and KFM20). At four leaf stage, 75 plants per square meter were maintained and applied stress. Water use efficiency, evapotranspiration efficiency, harvest index for seed and ear, economic and biological yield were measured at maturity. Data were analyzed with the SAS software ver 9.1 and the means were compared with Tukey's test.

### Results and Discussion

The results showed that water use efficiency (WUE) was significantly decreased with increasing the intensity of drought stress in all three genotypes but not evapotranspiration efficiency (ETE, ratio of total dry matter to water used). Bastan cultivar had higher water use efficiency in all stress levels and was more affected under moderate stress while it was less affected under severe stress (33 and 31 percent compared to the control, respectively). The evapotranspiration efficiency (ETE) was similar in all three genotypes and did not change under stress condition. The water use efficiency was different in two years but drought stress had a similar effect on its. The drought stress reduced seed yield through its impact on water use efficiency, harvest index and total dry matter within two years. The highest and lowest seed yield were observed in control (152 g m<sup>-2</sup>) and severe stress (171 g m<sup>-2</sup>), respectively. Significant genotypic variation was observed for WUE (ratio of grain yield to water used), and harvest index (HI, ratio of grain yield to total dry matter). Bastan cultivar had higher WUE than two other lines in well-watered (0.82 vs. 0.63 g kg<sup>-1</sup>) and drought (0.56 vs. 0.42 g kg<sup>-1</sup>) field conditions, due mainly to higher HI in well-watered (41.04 vs. 36.01 percent) and drought (26.2 vs. 25.5 percent). Drought stress had not a similar effect on harvest index in three genotypes. At all stress levels, water use efficiency, harvest index and dry matter had a higher direct effect on seed yield, respectively. Also, the results showed that the negative correlation between seed yield and evapotranspiration was not significant.

1- PhD student of Department of Crop Physiology, Faculty of Agriculture, Zabol University and MSc Birjand University

2, 3, 5- Professor and Associated professor and Assistant professor of Faculty of Agriculture, Zabol University

4- Associated Professor of Faculty of Agriculture, Birjand University

(\*- Corresponding Author Email: mkhazaei@birjand.ac.ir)

## Conclusions

Total dry matter was similar in the three genotypes but Bastan cultivar was better than the other lines and it is advisable to drought stress conditions due to higher water use efficiency and harvest index. As respects high crop water use efficiency is necessary for adaptation and resistance to drought stress and harvest index is an indicator of the amount of product to be used, WUE and HI can be used to identify suitable genotypes and cultivars for water shortages and drought conditions.

**Keywords:** Dry matter, Evapotranspiration efficiency, Harvest index, Seed yield



## اثر محلول‌پاشی کود روی بر عملکرد دانه و محتوی روى دانه برنج رقم سازندگی

احمد رمضانی<sup>۱\*</sup>- محمود صالحی<sup>۲</sup>- مصلح الدین رضابی<sup>۳</sup>

تاریخ دریافت: ۱۳۹۵/۰۷/۱۹

تاریخ پذیرش: ۱۳۹۵/۱۲/۱۱

### چکیده

به منظور بررسی اثر محلول‌پاشی کود روی بر عملکرد دانه و میزان روى دانه برنج رقم سازندگی، آزمایشی بر پایه طرح بلوک کامل تصادفی با سه تکرار در مرکز تحقیقات کشاورزی و منابع طبیعی اصفهان در سال‌های ۱۳۹۲ و ۱۳۹۳ اجرا شد. تیمارها شامل: نانو اکسید روی با غلظت ۱۵۰ و ۳۰۰ میلی‌گرم در لیتر، سولفات‌روی با غلظت‌های سه و شش گرم در لیتر، آب مقطر (شاهد اول) و بدون محلول‌پاشی (شاهد دوم) بود. نتایج نشان داد حداکثر عملکرد دانه  $8968/3$  کیلوگرم در هکتار در تیمار شش گرم در لیتر سولفات‌روی به دست آمد که نسبت به شاهد اول  $10/1$  درصد و نسبت به شاهد دوم  $11/8$  درصد بیشتر بود. همچنین حداکثر مقدار روی دانه  $37/8$  میلی‌گرم بر کیلوگرم در تیمار شش گرم در لیتر سولفات‌روی به دست آمد که نسبت به شاهد اول  $16/6$  درصد و نسبت به شاهد دوم  $19/5$  درصد بیشتر بود. این در حالی بود که بین مقدار روی دانه دو تیمار سولفات‌روی و دو تیمار نانو اکسید روی، تفاوت معنی‌داری مشاهده نشد. بر اساس نتایج این پژوهش محلول‌پاشی نانو اکسید روی و سولفات‌روی می‌تواند سبب افزایش عملکرد و بهبود محتوای روی دانه در راستای غنی‌سازی زیستی دانه برنج گردد.

**واژه‌های کلیدی:** تغذیه برگی، سولفات‌روی، غنی‌سازی زیستی، کمبود روی، نانو اکسید روی

### مقدمه

متماطل به قلیایی با میزان روى کافی در شرایط غرقابی، محلول‌پاشی با سولفات‌روی ۵ درصد در آغاز خوش‌دهی در مقایسه با مصرف آن در خاک در همان مرحله، باعث افزایش مقدار روی دانه برنج به میزان  $1/8$  برابر شد (Rehman *et al.*, 2012). در تحقیقی دیگر چاکرالحسینی و همکاران (Chakeralhosseini *et al.*, 2009) با بررسی اثرات میزان، منبع و روش مصرف کود روی بر صفات کمی و کیفی برنج رقم چرام گزارش کردن مصرف روی به‌طور معنی‌داری باعث افزایش عملکرد (۵۶/۹ درصد) شد و بیشترین عملکرد با محلول‌پاشی سولفات‌روی (با غلظت سه گرم در لیتر) توأم با مصرف  $40$  کیلوگرم سولفات‌روی در خاک، حاصل شد. در یک آزمایش مزرعه‌ای که به منظور بررسی اثر کاربرد مجزا و ترکیبی عناصر روی، آهن و منگنز به دو صورت مصرف خاکی و محلول‌پاشی بر رشد و عملکرد برنج رقم ساخا<sup>۴</sup> در مصر انجام شد، نتایج نشان داد که استفاده از عناصر کم مصرف به صورت مجزا یا ترکیبی افزایش قابل توجهی بر رشد برنج داشت و کاربرد ترکیبی عناصر روی، آهن و منگنز بیشترین اثر مثبت را در گیاه، در هر دو روش مصرف خاکی و محلول‌پاشی داشت (Zayed *et al.*, 2011).

یکی از کاربردهای علم نانو در کشاورزی مدیریت تغذیه گیاه

برنج (Oryza sativa L.) غذای اصلی  $2/5$  میلیارد نفر از جمعیت جهان است و در بین محصولات آبی، تنها محصولی است که بیشترین زمین را برای تولید مواد غذایی اشغال کرده است، به‌طوری که  $9$  درصد از زمین‌های زراعی دنیا زیر کشت این محصول قرار دارد (Depar *et al.*, 2011)

کمبود روی پس از نیتروژن، فسفر و پتاسیم مهم‌ترین عامل کاهش عملکرد (Rehman, 2014) و کیفیت تغذیه‌ای برنج است (Cakmak *et al.*, 1999). نتایج برخی مطالعات نشان می‌دهد محلول‌پاشی سولفات‌روی در جیران کمبود عنصر روی و افزایش محلول روی دانه برنج مؤثر بوده است (Jiang *et al.*, 2008; Stomph *et al.*, 2011). گزارش شده در یک خاک رسی‌شنی

۱- استادیار پژوهش، بخش تحقیقات زراعی و باغی، مرکز تحقیقات و آموزش کشاورزی و منابع طبیعی اصفهان، سازمان تحقیقات، آموزش و ترویج کشاورزی، اصفهان، ایران

۲- به ترتیب استادیار و مریض پژوهش، بخش تحقیقات خاک و آب، مرکز تحقیقات و آموزش کشاورزی و منابع طبیعی اصفهان، سازمان تحقیقات، آموزش و ترویج کشاورزی، اصفهان، ایران

(\*)- نویسنده مسئول:  
(Email: Ramazaani@yahoo.com  
DOI: 10.22067/gsc.v16i1.59475

تحقیق حاضر با توجه به اهمیت روی در تنذیه انسان و کمبود آن در کشورهایی که غلات غذای اصلی مردم را تشکیل می‌دهند (Rehman, 2014) با هدف بررسی تأثیر محلول‌پاشی نانو اکسید روی و سولفات‌روی بر غلظت عناصر روی، منگنز و آهن در شاخساره گیاه، عملکرد دانه و مقدار روی دانه برنج رقم سازندگی در اصفهان اجرا شد.

### مواد و روش‌ها

این تحقیق در سال‌های ۱۳۹۲ و ۱۳۹۳ در قالب طرح بلوك کامل تصادفی در سه تکرار در مزرعه تحقیقاتی مرکز تحقیقات کشاورزی و منابع طبیعی اصفهان با طول جغرافیایی ۵۱ درجه و ۳۳ دقیقه شرقی و عرض جغرافیایی ۳۱ درجه و ۳۲ دقیقه اجرا شد. تیمارهای آزمایش شامل محلول‌پاشی سولفات‌روی با غلظت‌های سه و شش گرم در لیتر (Shivay *et al.*, 2008) (Prasad *et al.*, 2012) آب غلظت (شاهد اول) و عدم محلول‌پاشی (شاهد دوم) بود. محلول‌پاشی مقطر (شاهد اول) و عدم محلول‌پاشی (شاهد دوم) بود. محلول‌پاشی در مراحل پنجه‌زنی و شیری دانه (Rehman *et al.*, 2012) (Cakmak *et al.*, 2010; Malakouti *et al.*, 2004) انجام شد. نانو اکسید روی مورد استفاده تولید شرکت تحقیقاتی نانو مواد آمریکا<sup>۱</sup> با خلوص ۹۹ درصد (حاوی ۸۰ درصد عنصر روی) و متوسط قطر ذرات ۱۰-۳۰ نانومتر و سطح ۰/۲۵، ۰/۰ و ۰/۷۵ میلی‌گرم در لیتر (Prasad *et al.*, 2012) با محظوظ ریزی با همکاران (Khot *et al.*, 2012) (Kamari *et al.*, 2014) با بررسی اثر محلول‌پاشی نانو اکسید روی در پنج غلظت (صفر، ۱۳۳/۳ میلی‌گرم در لیتر و ۲۶/۳ درصدی عملکرد غلاف شد. این در حالی بود که وقتی غلظت تیمار نانو دو برابر شد اثر آن بازدارنده بود.

مشخصات فیزیکی و شیمیایی خاک مزرعه در جدول ۱ نشان داده شده است. بر اساس اطلاعات جدول ۱ خاک محل آزمایش دارای بافت لومی رسی و مقدار روی کمتر از حد بحرانی بود (Malakouti *et al.*, 2004). رقم برنج مورد استفاده در این آزمایش رقم سازندگی بود، که رقم تجاری مورد کشت در اصفهان است. خزانه‌گیری به روش جبهه‌ای با مصرف ۱۲۰ گرم بذر به ازای هر سینی نشا انجام شد و گیاهچه‌ها پس از ۳۰ روز با آرایش کاشت ۲۵×۲۵ سانتی‌متر به صورت چهار تا شش گیاهچه در کپه توسط کارگر در زمین اصلی کاشته شد. به منظور تقویت خاک مقدار ۱۰۰، ۲۰۰ و ۳۰۰ کیلوگرم در هکتار به ترتیب سوپر فسفات تریپل، سولفات پتاسیم و اوره بر اساس آزمون اولیه خاک مصرف گردید.

است. با بهره‌گیری از نانوکودها، عناصر غذایی به آرامی و با سرعت مناسب در تمام طول فصل رشد گیاه آزاد می‌شوند و به دلیل کاهش شدید آبشویی عناصر، گیاهان قادر به جذب بیشترین مقدار مواد غذایی خواهند بود. به علاوه از مهمترین مزیت‌های نانوکودها، می‌توان به راندمان بالا و کاهش مقدار کود مصرفی اشاره کرد که باعث کاهش آلوودگی آب و خاک و محیط زیست می‌گردد (Amirjani *et al.*, 2014). با این حال کاربرد نانو مواد در زمینه کشاورزی، نسبتاً جدید و نیازمند تحقیقات بیشتری است و لازم است در این رابطه، جالش‌هایی نظری غیر قابل پیش‌بینی بودن واکنش گیاهان مختلف به مواد نانو، مسمومیت گیاهی ناشی از به کارگیری غلظت‌های بالای مواد نانو، کاهش مقدار جذب و فتوستنتز گیاه با کاربرد مواد نانو با ابعاد بزرگ را در نظر بگیرند. همچنین خواص ترکیبات نانو (ابعاد و اندازه‌ها) نفوذ و جذب آنها از طریق پوست را نیز تشید کرده و ممکن است خطراتی را برای انسان و محیط زیست ایجاد کند (Khot *et al.*, 2012). کمری و همکاران (Kamari *et al.*, 2014) با بررسی اثر محلول‌پاشی نانو اکسید روی در پنج غلظت (صفر، ۰/۰ و ۰/۷۵ میلی‌گرم در لیتر) نشان دادند که عملکرد، سرعت ظهور برگ، عملکرد و اجزای عملکرد دانه به طور معنی‌داری تحت تأثیر محلول‌پاشی با نانو اکسید روی قرار گرفت. پراساد و همکاران (Prasad *et al.*, 2012) با محظوظ ریزی با میزان ۲ میلی‌گرم در لیتر و ۷۰ روز پس از کاشت گزارش کردند مصرف نانو اکسید روی و سولفات‌روی به ترتیب باعث افزایش ۲۶/۳ و ۲۹/۵ درصدی عملکرد غلاف شد. این در حالی بود که وقتی غلظت تیمار نانو دو برابر شد اثر آن بازدارنده بود.

تحقیقات متعددی در موسسه تحقیقات برنج کشور در رابطه با مصرف روی در زراعت برنج انجام شده است. گزارش شده آغشته کردن نشاهای برنج قبل از نشکاری در محلول چهار در هزار اکسید روی باعث افزایش عملکرد در شالیزارهای مازندران شد (Soleimani, 1999). در پژوهشی دیگر گزارش شده آغشته کردن نشاهای برنج در محلول دو درصد اکسید روی قبل از انتقال به خزانه و مصرف ۴۰ کیلوگرم در هکتار سولفات‌روی تأثیری بر عملکرد برنج در گیلان نداشت (Safarpour, 1997). ساداتی (Saadati, 1998) با آغشته کردن نشاهای برنج در محلول ۲، ۴ و ۴ درصد به ترتیب اکسید روی، سولفات‌روی و سکوسترنین قبل از انتقال به خزانه و مصرف خاکی این ترکیبات به میزان ۲۰ کیلوگرم در هکتار گزارش کرد روی باعث افزایش عملکرد برنج در مازندران شد و بیشترین عملکرد در تیمار ۲۰ کیلوگرم در هکتار سولفات‌روی به دست آمد. گزارش شده ۲۰ کیلوگرم در هکتار سولفات‌روی در مناطق مختلف استان گیلان باعث افزایش و در برخی دیگر باعث کاهش عملکرد برنج گردید (Davatgar, 2005).

جدول ۱- مشخصات فیزیکی و شیمیایی خاک مزرعه قبل از آزمایش

Table 1- Physical and chemical properties of field soil before experiment

	mg kg <sup>-1</sup>										
		(%)	pH	Texture	EC (dS m <sup>-1</sup> )	Depth (cm)					
Fe <sub>(ava)</sub>	Mn <sub>(ava)</sub>	N	OC								
28.8	6.05	0.76	2.8	210	12.54	0.09	0.89	7.3	Clay loam	2.65	0-30

و ۳۷/۸ میلی گرم بر کیلوگرم) در مرحله پنجه‌زنی و شیری دانه در تیمار شش میلی گرم بر لیتر سولفات‌روی و حداقل آن به ترتیب ۲۴/۲ (۳۰/۵ میلی گرم بر کیلوگرم) در تیمار شاهد اول و شاهد دوم حاصل شد (جدول ۳). در مرحله پنجه‌زنی تأثیر هر دو سطح تیمار سولفات‌روی به همراه سطح دوم نانو اکسید روی بر افزایش غلظت عنصر روی در شاخصاره گیاه معنی دار بود ولی اثر ۱۵۰ میلی گرم در لیتر نانو اکسید روی معنی دار نبود. در مرحله شیری دانه نیز اثر هر دو سطح نانو اکسید روی و هر دو سطح سولفات‌روی بر افزایش غلظت عنصر روی در شاخصاره مؤثر بود (جدول ۳). بنابراین محلول‌پاشی باعث افزایش غلظت روی در بافت‌های گیاه شد. افزایش غلظت روی در بافت‌های گیاه به‌ویژه بعد از گلددهی می‌تواند به عنوان یک منبع قوی، مقدار روی دانه (مقصد) را بهبود بخشد.

نکته قابل توجه این است که علی‌رغم اینکه غلظت محلول سولفات‌روی نسبت به تیمارهای نانو مورد استفاده در آزمایش ۲۰ برابر بیشتر بود، ولی تفاوت معنی داری بین مقدار روی جذب شده توسط شاخصاره گیاه در تیمارهای نانو و سولفات‌روی در مرحله شیری دانه وجود نداشت. امیرجانی و همکاران (2014) (Amirjani *et al.*, 2014) و پراساد و همکاران (2012) (Prasad *et al.*, 2012) نیز جذب بیشتر نانو اکسید روی را در مقایسه با سولفات‌روی و کلات‌روی در گیاه گزارش کرده‌اند. رحمان و همکاران (2014) (Rehman, 2014) گزارش کرده‌که مصرف خاکی سولفات‌روی در زمان پنجه‌زنی یا آغاز خوشده‌ی باعث افزایش مقدار روی در خاک، گیاه و دانه شد. به‌طوری‌که افزایش غلظت روی در بافت‌های سبز گیاه باعث افزایش ۲/۵ برابر محتوای روی دانه نسبت به تیمار شاهد بود. این افزایش با بالا رفتن میزان روی قابل جذب خاک، بهبود جذب روی توسط گیاه و افزایش انتقال مجدد روی از برگ‌ها به دانه در دوره پرشدن دانه همراه بود.

سطح مطلوب روی در برگ‌های برنج ۳۰ میلی گرم در کیلوگرم گزارش شده است (Malakouti and Kavousi, 2004). این محققین پیشنهاد کرده‌اند غلظت روی در برگ‌های برنج از ۲۰ میلی گرم در کیلوگرم بیشتر باشد. مقدار عنصر روی اندازه‌گیری شده در شاخصاره برنج در این آزمایش قبل از محلول‌پاشی در زمان پنجه‌زنی در دامنه ۲۰-۲۳ میلی گرم در کیلوگرم بود که اندکی کمتر از حد مطلوب بود، واکنش مثبت گیاه به محلول‌پاشی نیز موید این مطلب است (جدول ۲ و ۳).

تمامی کود فسفر و پتاسیم و نیمی از کود نیتروژن در زمان تهیه بستر استفاده شد. ۵۰ درصد اوره باقیمانده در مراحل پنجه‌زنی و آغاز ظهور سنبله جوان به‌طور مساوی تقسیط و به صورت سرک مصرف شد. برای تعیین غلظت عناصر آهن، منگنز و روی نمونه‌گیری از شاخصاره گیاه در مراحل پنجه‌زنی و ظهور خوشه (بک روز قبل از محلول‌پاشی و ۱۰ روز پس از محلول‌پاشی) و از دانه برنج در زمان برداشت انجام شد. در هر مرحله تعداد ۴ کپه از هر کرت کفبر شد. نمونه‌ها ابتدا به مدت ۴۸ ساعت در دمای ۷۵ درجه سانتی‌گراد خشک شد و سپس بروش هضم‌تر در بالان ژوژه توسط اسید سولفوریک<sup>۱</sup>، اسید سالیسیلیک<sup>۲</sup> و آب اکسیژنه<sup>۳</sup> عصاره آن‌ها تهیه گردید (Emami, 1996). غلظت عناصر آهن، منگنز و روی شاخصاره و میزان روی دانه برنج سفید به‌وسیله دستگاه جذب اتمی تعیین گردید. برای تعیین عملکرد دانه ۵ مترمربع از مرکز هر کرت برداشت شد و عملکرد دانه (بر اساس رطوبت ۱۴ درصد) محاسبه شد. تجزیه‌های آماری و رسم نمودارها با استفاده از نرم‌افزارهای اس. ا. اس و اکسل و مقایسه میانگین‌ها با استفاده از آزمون حداقل تفاوت معنی دار (LSD) انجام شد. همچنین با انجام آزمون بارتلت و اطمینان از یکنواختی اشتباهات آزمایشی تجزیه مركب داده‌ها برای دو سال آزمایش انجام شد.

## نتایج و بحث

نتایج تجزیه واریانس داده‌ها نشان داد غلظت عناصر آهن، منگنز و روی شاخصاره گیاه در مراحل پنجه‌زنی و شیری دانه و مقدار روی دانه و عملکرد دانه به‌طور معنی داری تحت تأثیر تیمارهای محلول‌پاشی قرار گرفتند (جدول ۲).

### تأثیر محلول‌پاشی کود روی بر غلظت عنصر روی در شاخصاره گیاه

نتایج تجزیه واریانس داده‌ها نشان داد تأثیر محلول‌پاشی کود روی بر غلظت عنصر روی شاخصاره گیاه در مراحل پنجه‌زنی و شیری دانه در سطح احتمال یک درصد معنی دار بود (جدول ۲). مقایسه میانگین‌ها نشان داد که حداقل غلظت روی شاخصاره به ترتیب ۲۸/۸

1- H<sub>2</sub>SO<sub>4</sub>

2- C<sub>7</sub>H<sub>6</sub>O<sub>3</sub>

3- H<sub>2</sub>O<sub>2</sub>

جدول ۲- تجزیه واریانس تأثیر محلول پاشی کود روی بر غلظت عناصر آهن، منگنز و روی شاخص‌ساز در مراحل پنجه‌زنی و شیری دانه، عملکرد دانه و مقدار روی دانه طی دو سال  
Table 2- Analysis of variance of zinc foliar application effects on shoots Fe, Mn and Zn concentration at tillering and grain milk stages, grain yield and grain zinc content of rice during two years

تغییرات منابع	S.O.V	d.f		Fe	Tillering	Milk stage	Mn	Tillering	Milk stage	Zn	Grain zinc content	Grain Yield
		دوجه	آهن	منگنز	پنجه‌زنی	شیری دانه	پنجه‌زنی	شیری دانه	پنجه‌زنی	روی	شیری دانه	روی
سال	Year	1	576.12 <sup>ns</sup>	148.66 <sup>ns</sup>	444.11 <sup>ns</sup>	113.76 <sup>ns</sup>	9.66 <sup>ns</sup>	11.26 <sup>ns</sup>	9.49 <sup>ns</sup>	277808.06 <sup>ns</sup>		
تکرار (در سال)	Rep(year)	4	1904.34	457.02	1195.80	343.77	3.14	3.68	3.65	3301445.87		
محلول پاشی	Foliar spray	5	692.81 <sup>**</sup>	945.86 <sup>**</sup>	378.57 <sup>*</sup>	256.51 <sup>*</sup>	12.94 <sup>**</sup>	15.19 <sup>**</sup>	3.87 <sup>*</sup>	894940.41 <sup>*</sup>		
محلول پاشی	Foliar spray × year	5	29.44 <sup>ns</sup>	49.30 <sup>ns</sup>	69.85 <sup>ns</sup>	16.37 <sup>ns</sup>	3.01 <sup>ns</sup>	3.28 <sup>ns</sup>	0.53 <sup>ns</sup>	1838.66 <sup>ns</sup>		
خطا	Error	20	17.45	74.54	65.55	14.23	1.31	1.35	1.24	1928.74		
ضریب تغییرات	CV (%)	-	21.2	16.1	10.1	9.8	16.1	11.7	13.4	12.2		

ns, \* and \*\* : Not significant and significant at 5% and 1% probability levels respectively; df: Degrees of freedom; S.O.V: Source of Variation; Rep: Replication

جدول ۳- مقایسه میانگین‌های غلظت عناصر آهن، منگنز و روی (میلی‌گرم بر کیلوگرم) شاخصاره گیاه در زمان پنجه‌زنی و شیری دانه تحت تأثیر تیمارهای محلول پاشی طی دو سال

Table 3- Mean comparison of shoots Fe, Mn and Zn concentrations ( $\text{mg kg}^{-1}$ ) at tillering and grain milk stages under zinc foliar application treatments during two years

تیمارهای آزمایشی Treatments	روی/Zn		آهن/Fe		منگنز/Mn	
	پنجه‌زنی	شیری دانه	پنجه‌زنی	شیری دانه	پنجه‌زنی	شیری دانه
Tillering			Tillering		Tillering	
ZnO-150mg L <sup>-1</sup>	26.5 <sup>bc</sup>	35.3 <sup>ab</sup>	208.4 <sup>b</sup>	96.3 <sup>b</sup>	186.1 <sup>ab</sup>	95.4 <sup>ab</sup>
ZnO-300mg L <sup>-1</sup>	28.3 <sup>ab</sup>	35.1 <sup>ab</sup>	202.3 <sup>c</sup>	92.4 <sup>b</sup>	179.4 <sup>bc</sup>	91.3 <sup>b</sup>
SO <sub>4</sub> Zn-3g L <sup>-1</sup>	28.4 <sup>ab</sup>	37.6 <sup>a</sup>	198.2 <sup>c</sup>	92.3 <sup>b</sup>	174.3 <sup>c</sup>	80.7 <sup>c</sup>
SO <sub>4</sub> Zn-6g L <sup>-1</sup>	28.8 <sup>a</sup>	37.8 <sup>a</sup>	194.6 <sup>d</sup>	87.8 <sup>b</sup>	171.2 <sup>c</sup>	84.1 <sup>c</sup>
Control 1	24.2 <sup>d</sup>	31.6 <sup>c</sup>	216.8 <sup>a</sup>	119.4 <sup>a</sup>	190.9 <sup>a</sup>	99.7 <sup>a</sup>
Control 2	25.2 <sup>dc</sup>	30.5 <sup>c</sup>	221.9 <sup>a</sup>	113.9 <sup>a</sup>	187.6 <sup>ab</sup>	96.2 <sup>a</sup>

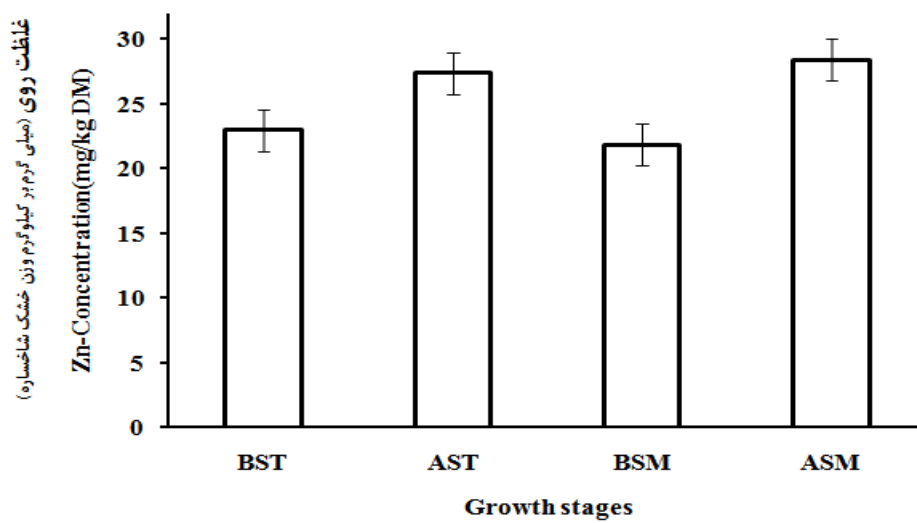
در هر ستون میانگین‌های دارای حداکثر یک حرف مشترک تفاوت معنی‌داری در سطح احتمال ۵٪ بر اساس آزمون LSD دارد.

Mean in each column followed by similar letter(s) are not significantly different at 5% probability levels using LSD Test

### گزارش کرده‌اند.

نتایج تجزیه واریانس اخلاقی با در نظر گرفتن محلول پاشی به عنوان عامل اصلی و زمان نمونه‌گیری به عنوان عامل فرعی در قالب طرح اسپلیت‌پلات نشان داد، اثر زمان در سطح احتمال ۵ درصد معنی‌دار شد. به عبارت دیگر بین میزان روی تیمارها قبل و بعد از محلول پاشی اختلاف معنی‌داری در سطح احتمال ۵ درصد مشاهده شد (شکل ۱).

مقدار روی مناسب در مرحله پنجه‌زنی را در برگ‌های جوان و اندام هوایی ۲۵ تا ۵۰ و حد بحرانی آن را برای کمبود و سمیت به ترتیب کمتر از ۱۰ و بیشتر از ۵۰۰ میلی‌گرم در کیلوگرم گزارش کرده‌اند (Dobermann and Fairhurst, 2000). مقادیر مشابهی نیز در مرحله پنجه‌زنی توسط ملکوتی و کاووسی (Malakouti and Forno, et al., 2004) گزارش شده‌است. فورنو و همکاران (Kavousi, 2004) نیز سطح بحرانی روی در اندام هوایی ارقام حساس به کمبود روی را ۱۵ و برای ارقام غیرحساس ۱۸ میلی‌گرم در کیلوگرم



شکل ۱- تأثیر محلول پاشی کود روی بر میزان عنصر روی شاخصاره برنج در مراحل مختلف رشد طی دو سال

Figure 1- Effect of zinc foliar application on rice shoots zinc concentration in different growth stages during two years.  
AST: قبل از محلول پاشی در مرحله پنجه‌زنی، BST: قبیل از محلول پاشی در مرحله شیری دانه و ASM: بعد از محلول پاشی در مرحله شیری.

BST and AST: Respectively before and after spray at tillering stage, ASM and BSM: Respectively before and after spray at micle stage

آهن بافت‌های گیاه می‌تواند ناشی از افزایش وزن خشک یا کاهش جذب منگنز و آهن باشد. یعنی جذب این دو عنصر به‌وسیله برنج در حضور روی کاهش می‌یابد. این در حالی است که دامنه کفایت آهن و منگنز بخش هوایی برنج به ترتیب  $60-100$  و  $150-50$  میلی‌گرم بر کیلوگرم ماده خشک گزارش شده‌است (Dobermann and Fairhurst, 2000).

#### تأثیر محلول‌پاشی کود روی بر عملکرد دانه

تأثیر محلول‌پاشی کود روی بر عملکرد دانه در سطح احتمال یک درصد معنی‌دار بود (جدول ۲). محلول‌پاشی نانواکسید روی و سولفات‌روی باعث افزایش عملکرد نسبت به دو تیمار شاهد شد. این افزایش در هر دو تیمار نانو اکسید روی ( $150$  و  $300$  میلی‌گرم در لیتر) و هر دو تیمار سولفات‌روی (سه و شش گرم در لیتر) نسبت به تیمارهای شاهد معنی‌داری بود. حداقل عملکرد دانه ( $8968/3$  کیلوگرم در هکتار) در تیمار شش گرم در لیتر سولفات‌روی حاصل شد و تیمارهای  $150$  میلی‌گرم در لیتر نانواکسید روی، سه گرم در لیتر سولفات‌روی و  $300$  میلی‌گرم در لیتر نانواکسید روی به ترتیب در رتبه‌های بعدی قرار داشتند و بین شاهد اول و شاهد دوم تفاوت معنی‌داری مشاهده نشد (شکل ۲).

از آنجا که عنصر روی یک بخش ساختمانی آنزیم‌های کربونیک آنھیدراز، الكل دھیدروژناز، مس- روی- سوپراکسید دسموتاز و RNA پلیمراز بوده (Auld, 2001) و سنتز اکسین در گیاهان نیز توسط آن کنترل می‌شود (Skoog, 1940) وجود روی کافی باعث افزایش سنتز آنزیم‌ها و هورمون‌ها در کنار متابولیسم عناصر اصلی شده که سبب تحريك مؤلفه‌های رشد گیاه و افزایش عملکرد می‌شود. همچنین اثر مطلوب روی به دلیل تأثیر مستقیم آن بر کیفیت اکسین تولیدی است که رشد گیاه را بهبود می‌بخشد (Wijebandara *et al.*, 2009).

گزارشات متعددی مبنی بر افزایش عملکرد برنج در اثر مصرف کود روی به صورت آغشته کردن گیاهچه‌ها در محلول اکسید روی (Saadati, 1998; Soleimani, 1999) و مصرف خاکی سولفات‌روی (Saadati, 1998; Davatgar, 2005) و محلول‌پاشی اکسید و Soleimani, 1999; Chakerhosseini, ) (Chakerhosseini, 2009). چاکرالحسینی و همکاران (2009) گزارش کردند که مصرف کود روی به طور معنی‌داری باعث افزایش عملکرد شد، به طوری که بیشترین عملکرد با تعذیه برگی (با غلظت سه درهزار) توأم با مصرف  $40$  کیلوگرم در خاک سولفات‌روی، حاصل شد. کاراک و داس (Karak and Das, 2006) با محلول‌پاشی سولفات‌روی و کلات روی بر عملکرد برنج، نشان دادند که محلول‌پاشی باعث افزایش معنی‌دار عملکرد دانه شد و بیشترین

همچنین تفاوت معنی‌داری از نظر نوع و میزان محلول به کار رفته مشاهده شد. به عبارت دیگر هر دو سطح سولفات‌روی و هر دو سطح نانو اکسید روی توانستند در مقایسه با دو تیمار شاهد غلظت روی شاسخاره گیاه را افزایش دهند. در شکل ۱ مشاهده می‌شود که در زمان پنجه‌زنی، مقدار روی در اندام هوایی گیاه در تیمارهای مختلف در دامنه  $20/7$  تا  $23/6$  میلی‌گرم بر کیلوگرم بوده که بعد از محلول‌پاشی به  $26/7$  تا  $29/7$  میلی‌گرم بر کیلوگرم افزایش یافته است. در حالی که این مقدار در زمان شیری دانه کاهش یافته ( $18/6$  میلی‌گرم بر کیلوگرم) است و مجدداً بعد از محلول‌پاشی افزایش یافته است ( $27/5$  تا  $27/9$  میلی‌گرم بر کیلوگرم). به نظر می‌رسد علت کاهش مقدار روی در شاسخاره گیاه در فاصله زمانی دو محلول‌پاشی رشد و توسعه سریع بیوماس گیاه بوده که باعث ترقیق غلظت روی در بافت‌های گیاه شده است (اثر رقت).

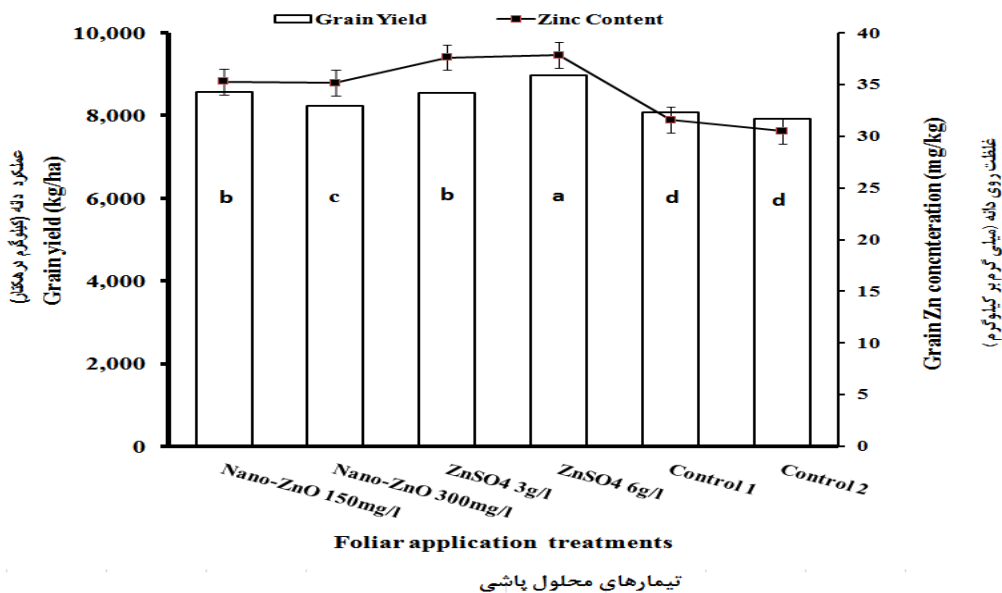
#### تأثیر محلول‌پاشی کود روی بر غلظت منگنز و آهن در شاسخاره گیاه

نتایج تجزیه واریانس داده‌ها نشان داد تأثیر محلول‌پاشی بر غلظت آهن شاسخاره گیاه در مراحل پنجه‌زنی و شیری دانه در سطح احتمال یک درصد معنی‌دار بود (جدول ۲). مقایسه میانگین‌ها نشان داد که حداقل غلظت آهن شاسخاره در مرحله پنجه‌زنی ( $216/8$ ) و  $221/9$  میلی‌گرم بر کیلوگرم) به ترتیب در تیمار شاهد اول و شاهد دوم به دست آمد و حداقل آن ( $198/2$  و  $194/6$  میلی‌گرم بر کیلوگرم) به ترتیب در تیمار  $6$  و  $3$  میلی‌گرم بر لیتر سولفات‌روی حاصل شد. در مرحله شیری دانه نیز تقریباً روند مشابه مشاهده شد (جدول ۳). به نظر می‌رسد افزایش جذب غلظت روی در اندام هوایی در اثر محلول‌پاشی کود روی باعث کاهش غلظت آهن در ساقه و برگ‌ها شده است. به عبارت دیگر افزایش غلظت روی باعث کاهش غلظت آهن گردیده است.

نتایج تجزیه واریانس مرکب داده‌ها نشان داد تأثیر محلول‌پاشی بر غلظت منگنز شاسخاره گیاه در مرحله پنجه‌زنی در سطح احتمال یک درصد و در مرحله شیری دانه در سطح احتمال  $5$  درصد معنی‌دار بود (جدول ۲). مقایسه میانگین‌ها نشان داد که حداقل غلظت منگنز شاسخاره در مرحله پنجه‌زنی ( $187/6$  و  $190/9$  میلی‌گرم بر کیلوگرم) به ترتیب در تیمار شاهد اول و شاهد دوم به دست آمد و حداقل آن ( $171/2$  و  $174/3$  میلی‌گرم بر کیلوگرم) به ترتیب در تیمار شیری دانه نیز روند تقریباً مشابه شد (جدول ۳). گزارش شده با افزایش غلظت روی در بافت‌های برنج مقدار منگنز و آهن شاسخاره کاهش یافت (Reinhold, 1971). به اعتقاد این محققین کاهش مقدار منگنز و

همکاران (Prasad *et al.*, 2012) گزارش کردند مصرف نانو اکسید روی و سولفات‌روی بهترین باعث افزایش عملکرد غلاف در بادام زمینی گردید. اگرچه در این آزمایش عملکرد دانه در تیمار محلول‌پاشی با ۱۵۰ میلی گرم بر لیتر نانو اکسید روی بیشتر از تیمار ۳۰۰ میلی گرم بر لیتر بود ولی این تفاوت معنی‌دار نبود. کاهش عملکرد دانه در تیمار محلول‌پاشی با ۳۰۰ میلی گرم بر لیتر نانو اکسید روی در مقایسه با ۱۵۰ میلی گرم بر لیتر را می‌توان به اثرات آنتاگونیستی روی و فسفر نسبت داد. چون معمولاً با افزایش غلظت روی جذب فسفر کاهش می‌باشد. به علاوه افزایش روی باعث افزایش ساختار پروتئینی گیاه شده و در حضور نیتروژن زیست توده را افزایش می‌دهد ولی به علت به هم خوردن تعادل هورمونی (افزایش اکسین و کاهش جبرلین) عملکرد دانه کاهش یافته است (John *et al.*, 2014).

افزایش با محلول‌پاشی کلات‌روی به دست آمد. گزارش ولی‌نژاد (Valinejad, 2001) حاکی از افزایش عملکرد دانه برنج در ۴۵ درصد از اراضی شرق استان مازندران در اثر محلول‌پاشی سولفات‌روی بود. این افزایش در مناطقی بود که میزان روی خاک کمتر از حد بحرانی گزارش شده بود. کمری و همکاران (Kamari *et al.*, 2014) نیز گزارش کردند که عملکرد دانه به‌طور معنی‌داری تحت تأثیر محلول‌پاشی نانو اکسید روی قرار گرفت. افزایش عملکرد دانه در اثر محلول‌پاشی کود روی در محصولات دیگر از جمله گندم و بادام‌زمینی نیز گزارش شده است. محلول‌پاشی سولفات‌روی و اکسید آهن و ترکیبی از سولفات‌روی و اکسید آهن، باعث افزایش عملکرد دانه گندم و کیفیت آن در مقایسه با شاهد شد و بیشترین عملکرد و کیفیت دانه در تیمار ترکیبی آهن و روی به دست آمد (Habib, 2009). پراساد و



شکل ۲- تأثیر محلول‌پاشی کود روی بر عملکرد دانه و مقدار روی دانه برنج

Figure 2- Effect of zinc foliar application on rice grain yield and grain zinc content

ستون‌هایی که دارای حداقل یک حرف مشترک هستند، تفاوت معنی‌داری در سطح احتمال ۵ درصد بر اساس آزمون LSD ندارند.

Mean in each column followed by similar letter(s) are not significantly different at 5% probability levels using LSD Test

= نانو اکسید روی، ZnSO<sub>4</sub> = سولفات‌روی، Nano-ZnO = کاهش اول و ۲ = کاهش دوم

Nano-ZnO:Nano Zinc Oxide, ZnSO<sub>4</sub>: Zinc Sulfate

محلول‌پاشی نسبت به تیمارهای شاهد معنی‌دار بود ولی بین تیمارهای سولفات‌روی و نانو اکسید روی تفاوت معنی‌داری مشاهده نشد (جدول ۳). به نظر می‌رسد که افزایش محتوای روی دانه در اثر محلول‌پاشی ترکیبات روی ناشی از افزایش انتقال مجدد روی از برگ‌ها در طول دوره پر شدن دانه بوده است. به علاوه بیشتر بودن محتوای روی دانه در تیمارهای سولفات‌روی می‌تواند به بالاتر بودن غلظت محلول سولفات‌روی مرتبط باشد. به اعتقاد رحمان و همکاران (Rehman *et al.*, 2012) محلول‌پاشی با ترکیبات روی باعث افزایش انتقال مجدد

تأثیر محلول‌پاشی عنصر روی بر محتوای روی در دانه بین تیمارهای مختلف محلول‌پاشی کود روی از نظر محتوای روی دانه تفاوت معنی‌داری در سطح احتمال یک درصد مشاهده شد (جدول ۲). مقایسه میانگین‌ها حاکی از افزایش محتوای روی دانه در تمام تیمارها در مقایسه با دو تیمار شاهد بود. به‌طوری‌که بیشترین میزان روی دانه بهترین تیمارهای سولفات‌روی با غلظت شش و سه گرم در لیتر، تیمارهای نانو اکسید روی با غلظت ۱۵۰ و ۳۰۰ میلی گرم در لیتر بودند. این افزایش در تمام تیمارهای

روی از برگ‌ها به دانه در طول دوره پرشدن دانه می‌شود. گزارش ۳۷/۶ میلی‌گرم بر کیلوگرم) در تیمار سولفات‌روی شش گرم در لیتر به دست آمد که نسبت به شاهد اول و دوم به ترتیب ۱۰/۲ و ۱۳/۷ درصد بیشتر بود (جدول ۳).

### نتیجه‌گیری

به طور کلی نتایج این بررسی نشان داد، در میان تیمارهای روی، بهترین تیماری که منجر به تولید حداکثر عملکرد و مقدار روی دانه گردید، مصرف شش گرم در لیتر سولفات‌روی بود. این در حالی بود که بین تیمارهای سولفات‌روی و نانو اکسید روی از نظر محتوای روی دانه تفاوت معنی‌داری مشاهده نشد. از آنجا که از ویژگی‌های مواد نانو استفاده از میزان بسیار کم این مواد است، این فناوری می‌تواند ضمن افزایش عملکرد، محتوای روی دانه برنج را نیز ارتقا دهد، به نحوی که باعث جبران کمبود روی در رژیم غذایی افراد، صرفه‌جویی در میزان روی مصرفی و کاهش آلودگی محیط زیست گردد. از طرفی با توجه به اینکه سرانه مصرف برنج در کشور در سال حدود ۴۰ کیلوگرم (۱۱۰ گرم در روز) (Anonymous, 2016) (Anonymous, 2016) و متوسط نیاز روزانه افراد به عنصر روی ۱۰-۱۵ میلی‌گرم گزارش شده است (Rengel et al., 1998)، می‌توان با غنی‌سازی زیستی برنج با مصرف کودهای روی و افزایش محتوای روی برنج به طور متوسط به ۳۵ میلی‌گرم بر کیلوگرم، حدود یک سوم نیاز روزانه به عنصر روی (۳/۵ میلی‌گرم) را تأمین کرد. بر اساس نتایج این پژوهش می‌توان با محلول‌پاشی سولفات‌روی و نانو اکسید روی عملکرد و محتوای روی دانه را بهبود بخشد، به علاوه با مصرف نانو اکسید روی مقدار مصرف کود را به طور قابل توجهی کاهش داد. با این حال با توجه به اینکه کاربرد نانو مواد در زمینه کشاورزی، نسبتاً جدید است، تحقیقات بیشتری در این زمینه مورد نیاز است.

روی از برگ‌ها به دانه در طول دوره پرشدن دانه می‌شود. گزارش شده محلول‌پاشی کود روی در مرحله آبستنی و مرحله گرده‌افشانی برنج سبب انتقال بیشتر روی از برگ پرچم به دانه، هم در ژنوتیپ‌های با میزان روی دانه بالا و هم در ژنوتیپ‌های با مقدار روی پایین شد (Wu et al., 2010).

افزایش محتوای روی دانه برنج در اثر محلول‌پاشی کود روی توسط سایر محققین نیز گزارش شده است (Jiang et al., 2008; Stomph et al., 2011). در پژوهشی افزایش معنی‌دار محتوای روی دانه برنج با محلول‌پاشی کود روی از نوع سولفات‌روی و کلات روی را گزارش کردند (Karak and Das, 2006). در تحقیق مشابهی که با محلول‌پاشی سولفات‌روی ۵ درصد در مرحله شروع خوش‌دهی برنج انجام شد گزارش شده که محلول‌پاشی در افزایش دو برابری مقدار روی دانه مؤثر بود (Phattarakul et al., 2011). همچنین گزارش شده است که محلول‌پاشی با سولفات‌روی ۵ درصد در آغاز خوش‌دهی در مقایسه با مصرف کود روی در خاک در همان مرحله غلظت روی دانه را ۱/۸ برابر بیشتر کرد. به اعتقاد این پژوهشگران محلول‌پاشی می‌تواند از مشکلات باند شدن روی در خاک جلوگیری کرده، اما زمان محلول‌پاشی برای افزایش غلظت روی دانه باید در اطراف زمان گل‌دهی باشد (Rehman et al., 2012).

میزان افزایش محتوای روی دانه به عوامل متعددی از جمله ژنوتیپ، نوع کود و غلظت آن و زمان مصرف آن بستگی دارد. در تحقیقی مورت و همکاران (Morete et al., 2011) در محلول غذایی آگار، توع زیادی برای مقدار روی دانه در بین ارقام برنج هم در شرایط وفور روی (۱۸-۳۸/۳ میلی‌گرم در کیلوگرم) و هم در شرایط کمبود روی در بافت‌ها (۱۱/۸-۳۱/۸ میلی‌گرم در کیلوگرم) در شرایط کشت غربابی برنج گزارش کرده‌اند. همچنین گزارش شده که تنوع ژنوتیپی در غلظت روی دانه برنج ممکن است به علت تفاوت در Gao (فرآیندهای فیزیولوژیکی تعیین کننده تجمع روی در دانه باشد).

### References

- Amirjani, M. R., Askari, M., and Askari, F. 2014. Effect of nano zinc oxide on alkaloids, enzymatic and antienzymatic antioxidant contents and some physiological parameters of *Catharanthus roseus*. Cell and Tissue Journal 5 (2): 173 -183. (in Persian with English abstract).
- Anonymous. 2016. Iranian Ministry of Jihad-Agriculture. first volume. Crops. Available at <http://www.maj.ir/Portal/Home/Default.aspx?CategoryID=95a8e7d0-e5f0-4f2d-a241-92106c74dcc>.
- Auld, D. S. 2001. Zinc coordination sphere in biochemical zinc sites. In Zinc Biochemistry, Physiology, and Homeostasis. Springer. Netherlands.
- Cakmak, I., Kalayci, M., Ekiz, H., Braun, H. J., and Yilmaz, A. 1999. Zinc deficiency as an actual problem in plant and human nutrition in Turkey: a NATO Science for Stability Project. Field Crops Research 60: 175-188.
- Cakmak, I., Kalayci, M., Kaya, Y., Torun, A. A., Aydin, N., Wang, Y., Arisoy, Z., Erdem, H., Yazici, A., Gokmen, O., and Ozturk, L. 2010. Biofortification and localization of zinc in wheat grain. Journal of Agricultural and Food Chemistry 58 (16): 9092-9102.
- Chakerhosseini, M. R., Mohtashami, R., and Owliae, H. R. 2009. Effects of rate, source, and method of zinc fertilizer application on quantitative and qualitative characteristics of rice (Choram 1). Journal of Research in Agricultural Science 5 (1): 33-43. (in Persian with English abstract).

7. Davatgar, N. 2005. Estimation of different form of Zinc in wetland soils and their availability to plant rice. Rice Research Institute. Agricultural research, education & extension organization. Registration number: 1045569. (in Persian with English abstract).
8. Dobermann, A., and Fairhurst, T. 2000. Rice: nutrient disorders & nutrient management (Vol. 1). International Rice Research Institute.
9. Depar, N., Rajpar, I., Memon, M. Y., and Imtiaz, M. 2011. Mineral nutrient densities in some domestic and exotic rice genotypes. Pakistan Journal of Agriculture: Agricultural Engineering Veterinary Sciences.
10. Emami, A. 1996. Methods of plant analysis. First volume. Technical Bulletin No. 982. Soil and Water Research Institute. Tehran, Iran. (in Persian).
11. Forno, D. A., Yoshida, S., and Asher, C. J. 1975. Zinc deficiency in rice. Plant and Soil. 42 (3): 537-550.
12. Gao, X., Hoffland, E., Stomph, T., Grant, C. A., Zou, C., and Zhang, F. 2012. Improving zinc bioavailability in transition from flooded to aerobic rice. A review. Agronomy for sustainable development 32 (2): 465-478.
13. Habib, M. 2009. Effect of foliar application of Zn and Fe on wheat yield and quality. African Journal of Biotechnology 8 (24).
14. Jiang, W., Struik, P. C., Van Keulen, H., Zhao, M., Jin, L. N., and Stomph, T. J. 2008. Does increased zinc uptake enhance grain zinc mass concentration in rice? Annals of Applied Biology 153 (1): 135-147.
15. John, L. W., Jamer, D. B., Samuel, L. T., and Warner, L. W. 2014. Soil fertility and fertilizers: An introduction to nutrient management. Person Education. Delhi. pp. 106-153.
16. Kamari, H., Seyed Sharifi, R., and Sedeghi, M. 2014. The effect of foliar application of nano-zinc oxide and free-living nitrogen-fixing bacteria on yield and morpho-physiological characteristics of triticale. Crop Physiology Journal 22 (4): 52-37. (in Persian with English abstract).
17. Karak, T., and Das, D. 2006. Effect of foliar application of different sources of Zn application on the changes in Zn content, uptake and yield of rice (*Oryza sativa* L.). In 18<sup>th</sup> World Congress of Soil Science. Philadelphia., Pennsylvania. USA.
18. Khot, L. R., Sankaran, S., Maja, J. M., Ehsani, R., and Schuster, E. W. 2012. Applications of nanomaterials in agricultural production and crop protection: a review. Crop Protection 35: 64-70.
19. Malakouti, M. J., and Kavousi, M. 2004. Balanced nutrition of rice. First Edition. Ministry of Jihad-e-Agriculture, Deputy Agronomy Affairs. Press the Senate. Tehran. (in Persian).
20. Morete, M. J., Impa, S. M., Rubianes, F., and Beebout, S. E. J. 2011. Characterization of zinc uptake and transport in rice under reduced conditions in agar nutrient solution. 14<sup>th</sup> Philippines Society of Soil Science and Technology. In Scientific Conference (pp. 25-27).
21. Phattarakul, N., Mongon, J., and Rerkasem, B. 2011. Variation in rice grain zinc and their response to zinc fertilizer. In 3<sup>rd</sup> International Zinc Symposium (pp. 10-14). Hyderabad. India.
22. Prasad, T. N. V. K. V., Sudhakar, P., Sreenivasulu, Y., Latha, P., Munaswamy, V., Reddy, K. R., Sreeprasad, T. S., Sajanlal, P. R., and Pradeep, T. 2012. Effect of nanoscale zinc oxide particles on the germination, growth and yield of peanut. Journal of Plant Nutrition 35 (6): 905-927.
23. Quijano-Guerta, C., Kirk, G. J. D., Portugal, A. M., Bartolome, V. I., and McLaren, G. C. 2002. Tolerance of rice germplasm to zinc deficiency. Field Crops Research. 76: 123-130.
24. Rehman, H. U. 2014. N-Zn dynamics under different rice production systems (Doctoral dissertation. University of Agriculture. Faisalabad).
25. Rehman, H. U., Aziz, T., Farooq, M., Wakeel, A., and Rengel, Z. 2012. Zinc nutrition in rice production systems: a review. Plant and soil 361 (1-2): 203-226.
26. Reinhold, J. G. 1971. High phytate content of rural Iranian bread: a possible cause of human zinc deficiency. The American journal of clinical nutrition 24 (10): 1204-1206.
27. Rengel, Z., Römheld, V., and Marschner, H. 1998. Uptake of zinc and iron by wheat genotypes differing in tolerance to zinc deficiency. Journal Plant Physiology 152: 433-438.
28. Saadati, N. 1998. The effect of different sources of zinc (Zn) on yield of rice, (var. Tarom) in peat lands. Rice Research Institute. Agricultural research, education & extension organization. Final report of research project 12 pages. (in Persian).
29. Safarpour, R., and Naqavi, S. 1997. Determination of zinc requirement of rice in paddies of Guilan province. Rice Research Institute. Agricultural research, education & extension organization. Extension issue, 42 pages. (in Persian with English abstract).
30. Soleimani, A. 1999. Effects of zinc on rice farming. Gorgan and Gonbad Agricultural Organization. Rice Research Institute. Extension issue, 8 pages. (in Persian).
31. Shivay, Y. S., Kumar, D., Prasad, R., and Ahlawat, I. P. S. 2008. Relative yield and zinc uptake by rice from zinc sulphate and zinc oxide coatings onto urea. Nutrient Cycling in Agroecosystems 80 (2):181-188.
32. Skoog, F. 1940. Relationships between zinc and auxin in the growth of higher plants. American Journal of Botany 939-951.
33. Stomph, T. J., Hoebe, N., Spaans, E., and Van der Putten, P. E. L. 2011. The relative contribution of post-flowering

- uptake of zinc to rice grain zinc density. In 3<sup>rd</sup> International Zinc Symposium. (pp. 10-14). Hyderabad. India.
34. Valinejad, M. 2001. Determination of critical level of potassium and zinc in several paddy fields of Mazandaran province. Soil Science master's thesis. Islamic Azad University, Science and Research Branch of Tehran. Tehran, Iran. (in Persian with English abstract).
35. Wijebandara, D. M. D. I., Dasog, G. S., Patil, P. L., and Hebbar, M. 2009. Effect of nutrient levels and biofertilizer on growth and yield of paddy under System of Rice Intensification (SRI) and conventional methods of cultivation. Tropical Agricultural Research 20: 343-353.
36. Wu, C.Y., Lu, L. L., Yang, X. E., Feng, Y., Wei, Y. Y., Hao, H. L., Stoffella, P. J., and He, Z. L. 2010. Uptake, translocation, and remobilization of zinc absorbed at different growth stages by rice genotypes of different Zn densities. Journal of agricultural and food chemistry 58 (11): 6767-6773.
37. Zayed, B. A., Salem, A. K. M., and El Sharkawy, H. M. 2011. Effect of different micronutrient treatments on rice (*Oryza sativa* L.) growth and yield under saline soil conditions. World Journal of Agricultural Sciences 7 (2): 179-184.



## Effects of Foliar Application of Zinc Fertilizer on Grain Yield and Zinc Content of Rice Grain cv. Sazandegi

A. Ramazani<sup>1\*</sup>- M. Solhi<sup>2</sup>- M. Rezaei<sup>3</sup>

Received: 10-10-2016

Accepted: 01-03-2017

### Introduction

Rice (*Oryza sativa* L.) is one of the major staples feeding more than half of the world population. It is grown in more than 100 countries, predominantly in Asia and provides 21% of energy and 15% of protein requirements of human populations globally. Zinc deficiency is one of the important abiotic factors limiting rice productivity worldwide and also a widespread nutritional disorder affecting human health. Chakeralhossein *et al.*, (2009) evaluated the effects of rate, sources and application methods of zinc fertilizer on quantity and quality of rice and reported that, application of zinc fertilizer significantly increased yield and grain Zn content. The greatest yield enhancement (56.9%) was obtained in 3 g L<sup>-1</sup> ZnSO<sub>4</sub> along with application of 40 kg ha<sup>-1</sup> ZnSO<sub>4</sub> as soil application methods. In slightly alkaline sandy clay soil with sufficient Zn under flooded conditions, soil and plant Zn concentration were increased 1.8 times with foliar spray of 0.5 %w/v ZnSO<sub>4</sub> which was applied at panicle initiation compared to soil application of ZnSO<sub>4</sub> at the same stage. In a field experiment during two years in Egypt, the effects of Zn, Fe and Mn as single or combined application in soil and foliar spray to the rice growth and yield were evaluated. The results showed that the single or combine application of Zn, Fe and Mn significantly improved rice growth and yield. According to Zn deficiency is a widespread nutritional disorder affecting human health in many countries, especially where people rely on cereal-based food, the aim of this study was to investigate the effect of foliar application of nano-ZnO and zinc sulfate on yield and grain zinc content of rice.

### Materials and Methods

A field experiment was conducted as randomized complete block design with three replications at the Isfahan Agricultural Research Center during 2013-2014. Treatments were consisted of six zinc foliar application levels: 150 and 300 mg L<sup>-1</sup> nano-ZnO, 3 and 6 g L<sup>-1</sup> ZnSO<sub>4</sub>, distilled water as the first control (Control 1) and no spray as the second control (Control 2). Rice plants were foliar sprayed until runoff using a hand-sprayer, at the tillering and grain milk stages. Nano-zinc oxide had a purity of greater than 99%, average particle diameter of 10-30 nm and specific surface area of > 30 m<sup>2</sup> g<sup>-1</sup>. Also zinc sulfate was used with purity of 99%.

### Results and Discussion

The results showed that Fe, Mn and Zn concentrations of plant shoot at tillering and grain milk stages, and also grain yield and grain zinc content were significantly affected by zinc foliar application ( $P<0.05$ ). Foliar application of nano-zinc oxide and zinc sulfate increased zinc concentration of plant shoot at tillering and grain milk stages. The highest shoot zinc concentration of 28.8 and 37.8 mg kg<sup>-1</sup> were obtained in 6 mg L<sup>-1</sup> zinc sulfate at tillering and grain milk stages, respectively. While the lowest shoot zinc concentration (24.2 and 30.5 mg kg<sup>-1</sup>) were observed in the first control treatment at tillering stage and in the second control treatment at grain milk stage, respectively. At tillering stage, foliar application of 3 and 6 mg L<sup>-1</sup> zinc sulfate and 300 mg L<sup>-1</sup> nano-zinc oxide increased shoot zinc concentration, whereas there was no significant difference between 150 mg L<sup>-1</sup> nano-zinc oxide and two controls treatments. At grain milk stage, all zinc foliar application treatments increased shoot zinc concentration compared to the control treatments. The maximum grain zinc content (37.8 mg kg<sup>-1</sup>) was obtained with 6 g L<sup>-1</sup> zinc sulfate which was 16.6 and 19.5% higher than first and second control treatments, respectively. Zinc foliar application significantly ( $P<0.05$ ) increased grain yield. Foliar application of nano-zinc oxide and zinc sulfate significantly improved grain yield compared to the control treatments. The highest grain yield was obtained in 6 g L<sup>-1</sup> zinc sulfate followed by 150 mg L<sup>-1</sup> nano zinc oxide, 3 g L<sup>-1</sup> zinc sulfate and 300

1- Assistant Professor of Horticultural Crops Research Department, Isfahan Agricultural and Natural resources Research and Education Center, AREEO, Isfahan, Iran

2 and 3- Respectively, Assistant Professor and Researcher of Soil and Water Department, Isfahan Agricultural and Natural resources Research and Education Center, AREEO, Isfahan, Iran

(\*- Corresponding Author Email: Ramazani@yahoo.com)

mg L<sup>-1</sup> nano-zinc oxide, respectively. Also, there were no significant difference between first and second controls. Zinc is a structural part of carbonic anhydrase, alcohol dehydrogenase, Cu/Zn-superoxide dismutase and RNA polymerase and serves as a cofactor for all 6 classes of enzymes (oxidoreductases, transferases, hydrolases, lyases, isomerase and ligases) and auxin synthesis in plants is also controlled by Zn. Adequate zinc in plants increases the synthesis of enzymes and hormones, metabolism of essential elements and stimulates plant growth and yield.

### Conclusions

According to rice consumption per capita in Iran is 40 kg (110 g day<sup>-1</sup>) and the average daily human zinc requirement is 10-15 mg, zinc biofortification of rice and improving zinc of rice grain to 35 mg kg<sup>-1</sup> will provide about one third of people's daily zinc requirement (3.5 mg).

**Keywords:** Biofortification, Foliar application, Nano-ZnO, Zinc deficiency, ZnSO<sub>4</sub>



## تغییرات نسبت کربن به نیتروژن خاک و پاسخ رشدی گیاه دارویی شاهدانه (*Cannabis sativa L.*) در واکنش به سطوح مختلف کودهای دامی و شیمیایی

سمانه لاله<sup>۱\*</sup> - مجید جامی الاحمدی<sup>۲</sup> - سهیل پارسا<sup>۳</sup>

تاریخ دریافت: ۱۳۹۵/۰۸/۲۳

تاریخ پذیرش: ۱۳۹۶/۰۲/۱۸

### چکیده

یکی از نکات مهم در بهبود مدیریت زراعی و تولید گیاهان دارویی، ارزیابی سیستم‌های مختلف تغذیه گیاه است. جهت بررسی تأثیر سطوح مختلف کودهای دامی و شیمیایی بر گیاه دارویی شاهدانه، آزمایشی در سال ۱۳۹۴-۱۳۹۳ به صورت اسپلیت فاکتوریل در قالب طرح پایه بلوك‌های کامل تصادفی با سه تکرار در مزرعه‌ی تحقیقاتی دانشکده کشاورزی دانشگاه بیرجند انجام گرفت. تیمارهای مورد آزمایش شامل کود دامی (صفر، ۲۰، و ۳۰ تن در هکتار کود گاوی پوسیده شده) به عنوان کرت اصلی و کود نیتروژن (صفر، ۵۰ و ۱۰۰ کیلوگرم نیتروژن خالص در هکتار از منبع کود اوره) به همراه کود فسفر (صفر و ۸۰ کیلوگرم فسفر خالص در هکتار از منبع کود سوبرفسفات تریپل) به صورت فاکتوریل به عنوان کرت فرعی بودند. نمونه‌برداری در دو مرحله‌ی رویشی و زایشی گیاه انجام گرفت. نتایج آزمایش نشان داد که اثر کود دامی در مرحله‌ی رویشی بر ارتفاع و قطر ساقه، وزن خشک ساقه و برگ معنی‌دار نبود، اما کود شیمیایی نیتروژن اثر معنی‌داری بر ویژگی‌های رشد داشت. در سطح صفر، ۱۰ و ۲۰ تن در هکتار کود دامی با افزایش سطح کود نیتروژن، عملکرد بیولوژیک و دانه افزایش یافت. با افزایش سطح کود دامی و نیتروژن شاخص برداشت کاهش یافت، به طوری که کاربرد ۳۰ تن در هکتار کود دامی و ۱۰۰ کیلوگرم در هکتار نیتروژن، از طریق افزایش بیشتر رشد رویشی این شاخص را به ترتیب ۱۸/۲۰ و ۱۳/۰۷ درصد کاهش دادند. افزایش سطح کودهای نیتروژن و دامی در کاهش ساقه C/N خاک در مرحله زایشی مؤثر بود. اضافه نمودن فسفر سبب افزایش معنی‌دار عملکرد دانه (۱۳ درصد)، وزن خشک ساقه (۶/۴۳ درصد) و برگ (۱۵/۲۱) در مرحله زایشی شد. بر طبق نتایج آزمایش کاربرد تلقیقی ۳۰ تن در هکتار کود دامی و ۵۰ کیلوگرم در هکتار نیتروژن و همچنین ۲۰ تن در هکتار کود دامی و ۱۰۰ کیلوگرم در هکتار نیتروژن سطوح مناسبی برای تغذیه‌ی شاهدانه هستند.

واژه‌های کلیدی: اوره، سوبرفسفات تریپل، کود گاوی

### مقدمه

تغذیه‌ی گیاهان دارویی و حاصلخیزی خاک است. در میان عناصر غذایی مختلف، نیتروژن نقش اساسی در دستیابی به عملکرد بالای کمی و کیفی گیاهان دارویی ایفا می‌کند. نیتروژن عنصری ضروری و اساسی است که در ترکیب با سایر عناصر، مواد بسیار ارزشمندی نظیر آمینواسیدها، نوکلئیک اسیدها، کلروفیل، آلکالوئیدها و بازهای پورینی را نیز تولید می‌کند (Wahba *et al.*, 2014). فسفر بعد از نیتروژن یکی از عناصر اصلی مورد استفاده گیاهان است که در تجمع و تولید اسیدهای چرب، گسترش ریشه، فتوستتر، گل‌دهی و گرده‌افشانی تأثیر دارد. این عنصر با دخالت در تمام فرآیندهای بیوشیمیایی، در ترکیبات انرژی‌زا و در مکانیسم‌های انتقال انرژی نقش دارد. تأثیر فسفر در تولید محصول بهتر و با کیفیت برتر، تشکیل و پایداری گل‌دهی، مقاومت به ورس و در نهایت بالابردن عملکرد دانه نیز تأیید شده است (Valadabadi *et al.*, 2007).

در گیاه دارویی بارهنگ (*Plantago major*) کاربرد ۱۵۰ کیلوگرم در هکتار سوبرفسفات گیاه دارویی شاهدانه یا بنگ (*Cannabis sativa L.*) متعلق به خانواده Cannabinaceae، بومی ایران است که جهت استفاده از یافع، ساخت کاغذ، استخراج روغن، تولید ترکیبات دارویی و مخدو در مناطق گرم کشت می‌شود (Zaman, 2003). این گیاه علفی، یکساله و دو پایه می‌باشد. دانه شاهدانه در تغذیه انسان به دلیل کاهش کلستروول و فشار خون اهمیت دارد (Oomah *et al.*, 2002).

یکی از نکات مهم در زمینه‌ی کاشت گیاهان دارویی توجه به

۱- دانشجوی دکتری، گروه زراعت و اصلاح نباتات، دانشکده کشاورزی، دانشگاه بیرجند

۲- دانشیار، گروه زراعت و اصلاح نباتات، دانشکده کشاورزی، دانشگاه بیرجند

۳- استادیار، گروه زراعت و اصلاح نباتات، دانشکده کشاورزی، دانشگاه بیرجند

\*)- نویسنده مسئول: (Email: Samaneh\_Laleh@birjand.ac.ir)  
DOI: 10.22067/gsc.v16i1.60300

(Mallanagouda, 1995)

نسبت کربن به نیتروژن نقش مهمی در تولید محصول، کیفیت خاک از نظر تأثیر بر ویژگی‌های فیزیکی، شیمیایی و بیولوژیکی خاک از قبیل نگهداری آب خاک، سیکل مواد غذایی، جریان گاز و رشد Pouryousef *et al.*, 2010). یکی از عوامل تأثیرگذار در نسبت C/N خاک، اضافه نمودن رودی کربن از طریق کودهای آلی بهویژه کود دامی به تهیای یا ترکیب با کودهای غیرآلی است (Jokubauskaite *et al.*, 2015). در بررسی خرازی و همکاران (Kharrazi *et al.*, 2012)، با اعمال کود دامی به خاک، میزان کل کربن آلی و همچنین نسبت C/N در خاک کاهش و میزان نیتروژن موجود در بستر با گذشت زمان افزایش یافت. افزایش میزان نیتروژن با گذشت زمان، به حضور کرم‌های خاکی در خاک و ضایعات نیتروژنی ترشح شده، هورمون‌های محرک رشد و آنزیم‌های تولید شده از آن‌ها در خاک نسبت داده شد و از طرفی تجزیه مواد آلی بهویژه کرم‌های خاکی و میکرووارگانیسم‌ها و تبدیل کربن آلی به گاز دی اکسید کربن و خروج آن از بستر، در کاهش نسبت C/N مؤثر بود.

شكل‌گیری عملکرد در گیاهان در بردارنده‌ی مجموعه‌ای از فرآیندهای مؤثر در مراحل مختلف رشد گیاه است که بررسی این مراحل و نقش تعزیه در آن، در شناخت عوامل مؤثر بر تولید، مؤثر خواهد بود. امروزه با وجود استفاده روز افزون از گیاهان دارویی و نقش تعزیه‌ای خاک در تولید آن‌ها، نیاز است مطالعات بیشتری در زمینه تأثیر تعزیه بر گیاهان دارویی انجام گیرد. شاهدانه یکی از گیاهان دارویی مهم در این زمینه است که به دلیل ممانعت‌های قانونی، جایگاه اصلی خود را در بین گیاهان زراعی بهویژه در ایران پیدا نکرده است. لذا هدف این تحقیق، بررسی تأثیر کودهای شیمیایی (نیتروژن و فسفر) و آلی (گاوی) بر گیاه دارویی شاهدانه در مراحل رویشی و زایشی بود.

## مواد و روش‌ها

این آزمایش در سال زراعی ۱۳۹۴-۱۳۹۳ در مزرعه تحقیقاتی دانشکده کشاورزی دانشگاه بیرجند (عرض جغرافیایی ۵۳ درجه و ۳۲ دقیقه شمالی، طول جغرافیایی ۱۳ درجه و ۵۵ دقیقه شرقی با ارتفاع ۱۴۸۰ متر از سطح دریا) روی گیاه دارویی شاهدانه (*Cannabis sativa* L.) (توده‌ی بومی خوسف) انجام گرفت. آب و هوای منطقه بر اساس طبقه‌بندی اقلیم دومارتن با ضریب خشکی  $6/4$  جزء Aclimیه‌ای خشک با تابستان‌های گرم می‌باشد (Khamchin, 2009). آزمایش به صورت اسپلیت فاکتوریل در قالب طرح پایه بلوك‌های کامل تصادفی با سه تکرار به اجرا در آمد. از چهار سطح کود دامی (صفر، ۱۰، ۲۰ و ۳۰ تن

تریپل، سبب افزایش وزن خشک و ترک بوته و سطح برگ آن شد (abdipoor *et al.*, 2013). گزارش شده است که تأمین این عناصر مهم غذایی برای گیاه تنها از طریق کودهای شیمیایی به مرور زمان سبب تخرب ساختمان خاک، کاهش شدید در مقدار مواد آلی و در نهایت سبب کاهش نسبت کربن به نیتروژن و افزایش وزن مخصوص ظاهری خاک‌های زراعی خواهد شد (Javaheri *et al.*, 2016). در اراضی زراعی ایران به علت وضعیت بیولوژیک نامطلوب خاک، کاربرد کودهای آلی به تنهایی نیز ممکن است مشکلاتی از جمله کاهش عملکرد را در پی داشته باشد (Pourazizi and Fallah, 2013)، هرچند که کاربرد کودهای آلی در کشاورزی پایدار، مزایای زیادی نظیر افزایش کیفیت محصول، باروری و حاصلخیزی خاک، افزایش ماده آلی و ظرفیت نگهداری رطوبت در خاک و بهبود pH و فعالیت میکروبی آن دارد. با توجه به این که کاربرد بی‌رویه کودهای شیمیایی باعث بروز مشکلات و خسارات جدی به محیط زیست شده است و مصرف کودهای دامی به تنهایی نیز به علت فراوانی کم، هزینه بالا، متعادل نبودن مواد غذایی و اسیدی نمودن خاک محدود شده است (Akande *et al.*, 2010). در سال‌های اخیر توجه زیادی به استفاده تلفیقی از کودهای آلی و شیمیایی شده است. مطالعاتی نیز در زمینه تأثیر استفاده‌ی تلفیقی از کودهای شیمیایی و دامی روی گیاهان دارویی انجام گرفته است. به طور مثال در گیاه زمزاری (*Rosemarinus officinalis* L.) ارتفاع بوته، وزن ترک بوته و سطح برگ و عملکرد گیاه تحت تأثیر معنی‌دار تیمار ترکیبی کود شیمیایی و دامی قرار گرفت و کود دامی در مقایسه با کود شیمیایی تأثیر بیشتری بر این صفات داشت (Hosseini valiki and Ghanbari, 2014). در بررسی مقادیر مختلف کود دامی، کودهای شیمیایی و نیز کاربرد تلفیقی آن‌ها در گیاه رازیانه (*Foeniculum vulgare*) مشخص شد که مصرف کود دامی و شیمیایی (NPK) به ترتیب موجب افزایش ۷۸ و ۶۹ درصدی محصول رازیانه گردید، در حالی که کاربرد تلفیقی آن‌ها تولید را تا ۱۲۲ درصد افزایش داد (Eslami khalili *et al.*, 2014). در بررسی چهار سطح کودی شامل: شاهد (عدم مصرف کود)، کود شیمیایی (۱۰۰ کیلوگرم در هکتار اوره + ۱۰۰ کیلوگرم در هکتار فسفات آمونیوم)، کود دامی (۱۵ تن در هکتار) و تیمار تلفیقی (۵۰ کیلوگرم در هکتار اوره + ۵۰ کیلوگرم در هکتار فسفات آمونیوم + ۷/۵ تن در هکتار کود دامی) در کشت بهاره گیاه دارویی بابونه آلمانی (*Matricaria chamomilla* L.)، بیشترین شاخص برداشت در تیمار تلفیقی (۵۰/۴۹ درصد) و کمترین آن در شاهد (۸۱/۶۶ درصد) گزارش شد (Shams *et al.*, 2012). رشد و عملکرد گیاه دارویی گشنیز (*Coriandrum sativum*) در تیمار تلفیقی کود شیمیایی (NPK) و کود دامی بیشتر از کاربرد جداگانه هر یک از آن‌ها بود، دلیل این افزایش به نقش کود دامی در افزایش جذب عناصر غذایی توسعه گیاه و بهبود خواص فیزیکی و شیمیایی خاک نسبت داده شده است

متر و طول ردیفها نیز چهار متر در نظر گرفته شد. عملیات کشاورزی به ترتیب شامل شخم، دیسک، لولر و اضافه کردن کود دامی و شیمیایی سولفات پتاسیم (۱۰۰ کیلوگرم در هکتار در هر کرت اصلی) در محدوده های تعیین شده، ایجاد جو و پشته توسط فاروئر و حفر نهر آبیاری و زه آب توسط نهرکن انجام شد. مشخصات فیزیکی و شیمیایی خاک محل آزمایش و کود دامی مصرفی در جدول ۱ ارائه شده است.

در هکتار کود گاوی پوسیده شده) به عنوان کرت اصلی و سه سطح کود نیتروژن (صفراً، ۵۰ و ۱۰۰ کیلوگرم نیتروژن خالص در هکتار از منبع کود اوره) به همراه دو سطح فسفر (صفراً و ۸۰ کیلوگرم فسفر خالص در هکتار از منبع کود سوپرفسفات تریپل) به عنوان کرتهای فرعی و به صورت فاکتوریل استفاده شد. به منظور جلوگیری از اختلاط اثر تیمارها، فاصله‌ی بین کرتهای اصلی دو متر، فاصله‌ی بین کرتهای فرعی دو ردیف کاشت نشده، فاصله‌ی بین تکرارها چهار

جدول ۱- ویژگی‌های فیزیکی و شیمیایی خاک و کود دامی قبل از شروع آزمایش

Table 1- Physical and chemical properties of the soil and animal manure before the start of the experiment

اسیدیت هدايت الکتریکی	کربن آلی	نیتروژن کل	نسبت کربن به نیتروژن	C/N	فسفر Phosphorus (ppm)	سیلت Silt (%)	شن Sand (%)	رس Clay (%)	بافت Texture	عمق dept h (cm)
خاک (Soil)									لومی شنی	
کود دامی (Animal manure)	7.98	9.75	0.52	0.06	8.66	6.3	26	20	54	رسی Loamy sandy clay 0-20

نمونه‌گیری، ارتفاع و قطر ساقه، وزن خشک ساقه و برگ گیاهان در سطح یک مترمربع از کرتهای آزمایشی اندازه‌گیری شد، که در مرحله‌ی زایشی نمونه‌برداری تنها از بوته‌های ماده صورت گرفت. در مرحله‌ی زایشی همچنین عملکرد بیولوژیک و دانه به همراه شاخص برداشت دانه در یک متر مربع از هر کرت مورد ارزیابی قرار گرفت. شاخص برداشت از تقسیم عملکرد دانه به کل وزن خشک تعیین شد. در مرحله‌ی زایشی ضرایب تخصیص برگ، ساقه و دانه از تقسیم وزن خشک هر کدام از این اجزاء بر وزن خشک کل بوته به دست آمد. نمونه‌گیری در هر کرت در مراحل رویشی و زایشی انجام گرفت. نیتروژن کل گیاه و خاک به روش کجلدال (Bremner, 1965) و کربن خاک به روش والکی بلاک (Jafari Haghghi, 2003) تعیین شد.

بررسی نرمال بودن داده‌ها و همچنین همسنگی صفات مورد ارزیابی توسط IBM SPSS Statistics 22 انجام گرفت. تجزیه و تحلیل آماری داده‌ها با استفاده از برنامه آماری (V.9.1) SAS و مقایسه میانگین‌ها توسط آزمون LSD در سطح احتمال پنج درصد انجام شد.

کاشت شاهدانه در اوایل خرداد ماه با فواصل بین ردیف ۶۰ سانتی‌متر و فاصله روی ردیف ۳۰ سانتی‌متر در پنج ردیف با عمق کاشت سه تا چهار سانتی‌متر انجام شد. کاشت با دست و به صورت ردیفی در کنار پشتنهای انجام گرفت. اعمال تمامی کود سوپرفسفات تریپل و نیمی از کود اوره قبل از کاشت و به صورت خطی با روش کود کاری دستی انجام شد. تنک اول در مرحله‌ی دو تا چهار برگی و تنک دوم دو هفته پس از تنک اول انجام گرفت. پس از اتمام تنک نیز نیمی دیگر از تیمارهای کود اوره به صورت سرک (به جز شاهد) اعمال شد. وجین علفهای هرز در دو مرحله همزمان با تنک گیاه اعمال شد. در طی آزمایش هیچ نوع کود شیمیایی دیگری به جز تیمارهای کودی و یا علفکش و قارچ‌کشی مصرف نشد. آبیاری اول به صورت سنگین بالافاصله پس از کاشت اعمال شد و آبیاری دوم به فاصله چهار روز پس از آبیاری اول جهت تسهیل جوانه‌زنی انجام گرفت و پس از آن تا زمان رسیدگی دانه‌ها دور آبیاری ۱۰ روز تنظیم شد.

در مرحله رویشی (ظهور یازدهمین جفت برگ) و زایشی یعنی در مرحله رسیدگی دانه‌ها (همزمان با مرحله رشدی سخت شدن ۵۰ درصد دانه‌ها) (Mediavilla *et al.*, 1998) نمونه‌گیری از گیاه و خاک انجام گرفت. رسیدگی دانه‌ها در آبان‌ماه بود. در هر دو مرحله

## نتایج و بحث

### ارتفاع ساقه

در صد داشتند (جدول ۳). قطر ساقه در مرحله زایشی تحت تأثیر سطوح ۵۰ و ۱۰۰ کیلوگرم در هکتار نیتروژن به ترتیب  $۱۴/۲۴$  و  $۳۰$  درصد افزایش یافت (جدول ۴). سطوح ۲۰ و ۳۰ تن در هکتار کود دامی از نظر این صفت اختلاف معنی‌داری را با یکدیگر نشان ندادند در حالی که این دو سطح اختلاف معنی‌داری در مقایسه با شاهد نشان دادند (جدول ۴). ساقه شاهدانه یک بخش چوبی در برگرفته شده با کامبیوم آوندی (بافت رویشی) و یک حلقه بیرونی از سلول‌های آبکشی، بافت اپیدرمی و کورتکس دارد (Saadati *et al.*, 2015). لذا احتمال می‌رود که افزایش قطر ساقه مرتبط با افزایش رشد سلول‌های اپیدرمی و یا کامبیوم آوندی و یا افزایش هر دو باشد. همچنین با وجود همبستگی مثبت قطر ساقه با وزن خشک ساقه ( $۰/۰۶۱$ ) و برگ ( $۰/۰۴۲$ ) (جدول ۹) می‌توان نتیجه گرفت که افزایش وزن خشک و رشد بهتر گیاه با ساخت و تجمع بیشتر مواد در ساقه همراه بوده است و این عامل سبب افزایش قطر ساقه در شاهدانه شده است. یزدانی و همکاران (Yazdani *et al.*, 2015) نیز کاربرد کودهای آلی را در افزایش ارتفاع و قطر ساقه و وزن خشک پیکر رویشی گیاه دارویی مرزن‌جوش (*Majorana hortensis* L.) مؤثر دانستند.

### وزن خشک ساقه

در مرحله رویشی وزن خشک ساقه تنها تحت تأثیر کود نیتروژن قرار گرفت (جدول ۲). در مرحله زایشی اثر کودهای دامی و نیتروژن در سطح یک درصد، کود فسفر و همچنین اثر متقابل کود دامی و نیتروژن در سطح پنج درصد بر وزن خشک ساقه معنی‌دار بودند (جدول ۳)، وزن خشک ساقه پاسخ مثبتی به افزایش کود فسفر نشان داد و میزان  $۸۰$  کیلوگرم در هکتار فسفر در مقایسه با عدم کاربرد فسفر توانست  $۶/۴۲$  درصد وزن خشک ساقه را افزایش دهد (جدول ۴). در آزمایشی روی گیاه دارویی بابونه (*Matricaria chamomilla* L.). نیز کاربرد  $۵۰$  کیلوگرم در هکتار فسفر توانست وزن گیاه را افزایش دهد، همچنین فسفر در جذب نیتروژن و تشکیل بافت‌های گیاهی نقش داشته و کمبود آن در کاهش محصول مؤثر است (Zeinali *et al.*, 2014). در مراحل رویشی و زایشی اگرچه وزن خشک ساقه متأثر از ارتفاع و قطر ساقه بود، اما در مرحله رویشی وزن خشک ساقه همبستگی قوی‌تری با ارتفاع بوته ( $۰/۰۳۱$ ) و در مرحله زایشی همبستگی قوی‌تری با قطر ساقه ( $۰/۰۶۱$ ) داشت (جدول ۸ و ۹). به نظر می‌رسد که در مرحله رویشی گیاه از طریق افزایش طول ساقه سعی در افزایش ماده خشک ساقه نموده تا این طریق بتواند در این مرحله از رشد، استفاده بیشتری از نور داشته باشد و در مرحله زایشی پس از رسیدن به حدی که ارتفاع مطلوب گیاه است، با افزایش بیشتر قطر ساقه بتواند در ایجاد ساقه مستحکم‌تر جهت رشد بیشتر و تحمل بیشتر بخش‌های زایشی خود اقدام نماید.

در مرحله رویشی اثر کود نیتروژن و در مرحله زایشی اثر کودهای نیتروژن و دامی بر ارتفاع ساقه بسیار معنی‌دار بود (جدول ۲ و ۳). در مراحل رویشی و زایشی با افزایش سطح نیتروژن ارتفاع ساقه به طور معنی‌داری افزایش یافت، به طوری که سطوح  $۵۰$  و  $۱۰۰$  کیلوگرم نیتروژن به ترتیب سبب افزایش  $۱۵/۳۵$  و  $۳۰/۲۸$  درصد در مرحله رویشی و  $۲۳$  و  $۳۷/۴۵$  درصد در مرحله زایشی گیاه در مقایسه با شاهد دشند (جدول ۴). به عبارت دیگر با پیشرفت رشد گیاه، ارتفاع بوته بین سطوح بالا و پایین نیتروژن به‌ویژه به‌علت کاهش رشد در شرایط عدم صرف نیتروژن در گیاهان شاهد، افزایش یافت. دسترسی به مواد غذایی کافی، به‌خصوص نیتروژن از طریق تأثیر بر تقسیم و بزرگ شدن سلول‌ها در افزایش طول سلول‌های ساقه گیاه مؤثر دانستند و محرومیت از نیتروژن را نیز در ایجاد گیاهانی با ارتفاع کوتاه، شاخ و برگ‌های زرد و در نتیجه تولید عملکرد پایین تأثیرگذار ذکر کردند.

در مرحله زایشی کاربرد  $۱۰$ ،  $۲۰$  و  $۳۰$  تن در هکتار کود دامی توانستند به ترتیب سبب افزایش  $۴/۵۶$ ،  $۱۸/۲۸$  و  $۱۹/۹۵$  درصدی ارتفاع ساقه نسبت به شاهد شوند. این در حالی بود که سطوح  $۲۰$  و  $۳۰$  تن در هکتار کود دامی اختلاف معنی‌داری را با یکدیگر نشان ندادند (جدول ۴). یکی از عوامل تعیین‌کننده ارتفاع بوته، تأمین عناصر غذایی مورد نیاز گیاه است، کودهای آلی با تأمین تدریجی عناصر غذایی این عمل را به خوبی انجام داده و باعث افزایش ارتفاع بوته می‌شوند (Tahami *et al.*, 2010). با توجه به عدم تأثیرپذیری ارتفاع بوته از کود دامی در مرحله رویشی و تأثیرپذیری آن در مرحله زایشی، به نظر می‌رسد که با وجود استفاده از کود دامی پوسیده شده در این آزمایش، نیاز به گذشت زمان جهت تأثیرپذیری تدریجی گیاه از کودهای دامی بوده است. سینگ و همکاران (Singh and Chauhan, 1994) کمبود مواد غذایی را یکی از عوامل مؤثر در تعیین ارتفاع جو (*Hordeum vulgare*) (دانستند و در شرایط عدم کمبود مواد غذایی، افزایش ارتفاع بوته را ناشی از افزایش تعداد و طول میانگره‌ها بیان نمودند.

### قطر ساقه

قطر ساقه در مرحله رویشی تحت تأثیر تیمارهای کودی قرار نگرفت (جدول ۲)، در حالی که در مرحله زایشی کودهای نیتروژن و دامی بر قطر ساقه اثر معنی‌داری به ترتیب در سطوح یک و پنج

جدول ۲- تجربه واریانس صفات اندازه‌گیری شده در مرحله روشی شاهدانه  
Table 2- Analysis of variance for the measured traits in vegetative stage of hemp

منابع تغییر	منابع تغییر	میانگین مربعات						نسبت کربن به نیتروژن خاک	نسبت کربن به نیتروژن خاک
		d.f	ارتفاع ساقه	قطر ساقه	وزن خشک برگ	وزن خشک ساقه	Leaf dry weight	Soil carbon	Soil nitrogen
Replication	نکار	2	79.09 ns	1.39 ns	0.83 ns	78.15 ns	0.001 ns	0.00007 ns	4.19 ns
	کود دامی	3	80.73 ns	1.06 ns	0.71 ns	5.53 ns	0.098 **	0.00005 ns	35.67 ns
Animal manure (A)	خطای اصلی	6	77.35	0.67	0.65	3.65	0.003	0.00001	5.12
Error a									
Nitrogen fertilizer (B)	خطای فرعی	2	513.59 **	1.32 ns	5.59 **	61.54 *	0.010 ns	0.00077 *	16.54 ns
Phosphorus fertilizer (C)	خطای فرعی	1	107.55 ns	0.23 ns	0.64 ns	11.22 ns	0.016 ns	0.0002 ns	5.30 ns
A × B		6	37.96 ns	0.48 ns	0.62 ns	1.55 ns	0.002 ns	0.0003 ns	26.19 ns
A × C		3	66 ns	0.26 ns	0.20 ns	9.56 ns	0.009 ns	0.00016 ns	16.59 ns
B × C		2	39.84 ns	0.33 ns	1.63 ns	2.45 ns	0.001 ns	0.00018 ns	10.35 ns
A × B × C		6	10.73 ns	0.26 ns	1.09 ns	1.99 ns	0.007 ns	0.00019 ns	9.63 ns
Error b		40	66.20	0.69	0.66	4.77	0.005	0.00015	13.62
ضریب تغییرات CV (%)	-		23.1	30.7	19.5	17.7	11.1	18.2	31.3

ns: عدم وجود اختلاف معنادار در سطح بی و پنج درصد  
ns: Non-significant, \* and \*\*: significant at 1% and 5% levels, respectively.

جدول ۳- تجزیه واریانس صفات اندازه‌گیری شده در مرحله زایشی شاهدانه  
Table 3- Analysis of variance for the measured traits in reproductive stage of hemp

میانگین مربوط									
میابع تغییر	درجه زادی d.f	ارتفاع ساقه	قطر ساقه	وزن خشک ساقه	وزن خشک برگ	عملاکرد دانه	عملاکرد دانه	شاخص برداشت	کربن خاک
Source of variation		Shoot height	Shoot diameter	Shoot dry weight	Leaf dry weight	Seed yield	Biological yield	Harvest index	Soil carbon
کار	2	527.46 <sup>ns</sup>	0.33 <sup>ns</sup>	8.80 <sup>ns</sup>	361.32 <sup>ns</sup>	7790.902 <sup>ns</sup>	907918.1 <sup>ns</sup>	33.58 <sup>ns</sup>	0.006 <sup>ns</sup>
Replication									0.0005 <sup>ns</sup>
کود اتمامی									0.52 <sup>ns</sup>
Animal manure (A)	3	1189.62*	0.70*	86.30**	6104.96**	908520.58**	26989652.5**	85.05*	0.0354**
خطا اصلی	6	177.28 <sup>ns</sup>	0.19	10.12	237.97	56383.001	705494.4	11.69	0.0027
Error a								0.00012	1.66
نیتروژن									
Nitrogen fertilizer (B)	2	4876.57**	3.74**	428.35**	12490.24**	2593403.301**	67710979.5**	83.84*	0.0066 <sup>ns</sup>
فسفور								0.0002*	1.002 <sup>ns</sup>
Phosphorus	1	81.70 <sup>ns</sup>	0.28 <sup>ns</sup>	45.72*	2493.41**	862275.831*	14163231.6**	7.01 <sup>ns</sup>	0.0002 <sup>ns</sup>
Fertilizer (C)									0.1 <sup>ns</sup>
A × B	6	278.59 <sup>ns</sup>	0.04 <sup>ns</sup>	13.24*	526.81 <sup>ns</sup>	301240.082**	2786038.6**	23.82 <sup>ns</sup>	0.00031 <sup>ns</sup>
A × C	3	210.87 <sup>ns</sup>	0.40 <sup>ns</sup>	1.16 <sup>ns</sup>	61.89 <sup>ns</sup>	63734.433 <sup>ns</sup>	15283.19 <sup>ns</sup>	20.84 <sup>ns</sup>	0.0015 <sup>ns</sup>
B × C	2	329.30 <sup>ns</sup>	0.05 <sup>ns</sup>	0.37 <sup>ns</sup>	76.26 <sup>ns</sup>	16121.192 <sup>ns</sup>	95683.8 <sup>ns</sup>	13.7 <sup>ns</sup>	0.0032 <sup>ns</sup>
A × B × C	6	415.23 <sup>ns</sup>	0.15 <sup>ns</sup>	1.03 <sup>ns</sup>	247.67 <sup>ns</sup>	17615.217 <sup>ns</sup>	607858.4 <sup>ns</sup>	8.25 <sup>ns</sup>	0.0037 <sup>ns</sup>
خطا فرعی	40	288.99	0.24	5.08	337.48	38846.54	784938.4	24.01	0.0039
Error b								0.00006	1.29
ضریب تغییرات CV (%)	-	18.7	16.4	13.8	22.1	12	12.2	19.1	10.5
								11.4	13.3

\*: عدم وجود اختلاف معنی‌دار در سطح ۵٪ و \*\*: بهترین و وجود اختلاف معنی‌دار در سطح ۱٪ ns : Non-significant, \* and \*\* significant at 1% and 5% levels, respectively.

جدول ۴- مقایسه میانگین اثرات ساده کودهای دامی، نیتروژن و فسفر بر صفات اندازه‌گیری شده در مراحل رویشی و زایشی شاهدانه  
Table 4- Mean comparisons of simple effects of animal manure, nitrogen and phosphorus on measured traits in vegetative and reproductive stages of hemp

		ارتفاع ساقه		قطر ساقه		وزن خشک ساقه		وزن خشک برگ	
		Shoot height (cm)		Shoot diameter (cm)		Shoot dry weight (g plant <sup>-1</sup> )		Leaf dry weight (g plant <sup>-1</sup> )	
		1	2	1	2	1	2	1	2
کود دامی	0	32.61a	81.92b	1.44a	2.76b	3.91a	22.83b	11.66a	63.27b
Animal manure (ton ha <sup>-1</sup> )	10	34.50a	85.66b	1.86a	2.97ab	3.91a	25.24ab	12.11a	72.16b
	20	36.38a	96.90a	1.87a	3.17a	4.07a	26.90a	12.70a	96.05a
	30	37.38a	98.27a	2a	3.17a	4.28a	27.82a	12.81a	101.45a
کود نیتروژن	0	30.54b	75.48c	1.55a	2.63c	4.35a	20.91c	10.57b	57.80c
Nitrogen fertilizer (kg ha <sup>-1</sup> )	50	35.33a	92.84b	1.80a	3.01b	3.71b	27.28b	12.64a	90.00b
	100	39.79a	103.75a	2.02a	3.42a	4.09b	28.91a	13.72a	101.87a
کود فسفر	0	36.44a	91.75a	1.73a	2.96a	4.06a	24.90b	11.91a	77.35b
Phosphorus fertilizer (kg ha <sup>-1</sup> )	80	34.00a	89.62a	1.85a	3.08a	4.25a	26.50a	12.70a	89.12a

ستون‌هایی که حداقل دارای یک حرف مشترک هستند، قادر تفاوت معنی دار بر اساس آزمون LSD در سطح پنج درصد می‌باشند.

۱ و ۲ به ترتیب مراحل رویشی و زایشی شاهدانه هستند.

The columns that share at least one letter have no significant differences according to LSD test at 5 percent of probability. 1 and 2 are vegetative and reproductive stages of hemp respectively.

دامی و تطابق بیشتر نیتروژن قابل دسترس با نیاز گیاه موجب شده تا وزن خشک ساقه افزایش یابد (Mooleki *et al.*, 2004). افزایش میزان کود نیتروژن در تلفیق با کود دامی بسته به میزان کود مصرفی تا حد می‌تواند ضمن افزایش ماده خشک تولیدی گیاه، تعادل بین تولید متabolیت‌های اولیه و ثانویه را حفظ نماید و با افزایش بیشتر آن به دلیل تنفس شدید املاح، وزن خشک گیاه کاهش می‌یابد (Abbaszadeh *et al.*, 2007).

### وزن خشک برگ

وزن خشک برگ در مرحله رویشی تحت تأثیر کود نیتروژن افزایش معنی داری داشت (جدول ۲)، به طوری که سطح ۵۰ و ۱۰۰ کیلوگرم نیتروژن در هکتار در مقایسه با شاهد به ترتیب سبب افزایش ۱۹/۵۸ و ۲۹/۸۰ درصد وزن خشک برگ شدند (جدول ۳). در مرحله زایشی اثرات کودهای دامی، نیتروژن و فسفر بر وزن خشک برگ در سطح یک درصد معنی دار بودند (جدول ۳). اگرچه وزن خشک برگ در تیمارهای ۲۰ و ۳۰ تن در هکتار کود دامی اختلاف معنی داری را با یکدیگر نشان ندادند اما در مقایسه با شاهد به ترتیب سبب افزایش ۵۱/۸۰ و ۶۰/۳۴ درصد وزن خشک برگ در بوته شدند.

پاسخ وزن خشک ساقه به کود نیتروژن برای سطوح مختلف کود دامی نشان داد که استفاده تلفیقی کود دامی به همراه کود شیمیایی نیتروژن اثر مثبتی در مقایسه با کاربرد تنها کود دامی داشت (جدول ۵). با افزایش سطح کود نیتروژن در سطوح ۰، ۱۰ و ۲۰ تن در هکتار کود دامی، وزن خشک ساقه نیز افزایش یافت. در تیمار ۳۰ تن در هکتار کود دامی، با افزایش نیتروژن تا ۵۰ کیلوگرم در هکتار، وزن خشک ساقه افزایش، ولی با کاربرد ۱۰۰ کیلوگرم در هکتار این صفت اندکی کاهش یافت (جدول ۵). کودهای دامی با تأمین مواد آلی مورد نیاز میکرووارگانیسم‌های خاک سبب تکثیر آن‌ها شده و با افزایش جمعیت میکروارگانیسم‌ها، روند تجزیه مواد آلی تسريع می‌یابد و با تسريع این روند، منجر به افزایش آزادسازی مواد مورد نیاز گیاه به سیستم خاک- گیاه می‌شوند (Jahanban and Lotififar, 2011). کودهای آلی با ایجاد تغییرات مثبت بر خواص فیزیکی و شیمیایی خاک و تأمین به موقع عناصر مورد نیاز گیاه در طی رشد، می‌توانند شرایط بهینه‌ای را برای افزایش وزن گیاه فراهم آورند. نتایج مشابهی در رابطه با اثر مثبت کود دامی بر گیاهان دارویی ریحان (*Ocimum Matricaria* (Tahami *et al.*, 2010) (*Matricaria L.* (*basilicum L.* (*chamomilla L.* Fallahi, 2009)) نیز گزارش شده است. کاربرد کود دامی به همراه کود شیمیایی نیتروژن با افزایش قابلیت دسترسی گیاه به مواد غذایی و همچنین بهمود معدنی شدن نیتروژن توسط کود

جدول ۵- مقایسه میانگین اثرات متقابل کود دامی و نیتروژن بر صفات اندازه‌گیری شده شاهدانه  
Table 5- Mean comparisons for interaction effects of animal manure and nitrogen levels on measured traits in hemp

کود دامی Animal manure (ton ha <sup>-1</sup> )	نیتروژن Nitrogen fertilizer (kg ha <sup>-1</sup> )	وزن خشک ساقه Shoot dry weight (g plant <sup>-1</sup> )	عملکرد بیولوژیکی Biological yield (kg ha <sup>-1</sup> )	عملکرد دانه Seed yield (kg ha <sup>-1</sup> )
0	0	16.97 g	4286.53 g	1284.37 e
	50	22.45 ef	5988.52 f	1491.46 de
	100	27.09 bc	7309.11 de	1931.99 c
10	0	20.7 f	4542.14 g	1397.58 de
	50	26.48 cd	6550.06 ef	1818.34 c
	100	29.56 ab	7994.35 cd	1859.12 c
20	0	21.93 ef	5678.46 f	1491.51 de
	50	27.48bc	8898.99 bc	2201.74 b
	100	30.13 a	10099.33 a	2539.65 a
30	0	24.06 de	6327.90 ef	1517.13 d
	50	30.73 a	9697.22 ab	2204.87 b
	100	28.69 abc	8935.57 bc	1845.80 c

ستون‌هایی که حداقل دارای یک حرف مشترک هستند، قادر تفاوت معنی‌دار بر اساس آزمون LSD در سطح پنج درصد می‌باشند.

The columns that share at least one letter have no significant differences according to LSD test at 5 percent of probability.

### ضرایب تخصیص برگ، ساقه و دانه

ضرایب تخصیص گیاه در مرحله زایشی نشان داد که به طور کلی با افزایش سطح کود دامی، تخصیص مواد به ساقه و دانه کاهش و به برگ‌ها افزایش یافت. به طوری که کاربرد ۳۰ تن در هکتار کود دامی در مقایسه با شاهد به ترتیب ۱۸/۲۰ و ۱۵/۰۳ درصد تخصیص مواد به دانه و ساقه را کاهش داد. این در حالی بود که این سطح از کود دامی سبب افزایش ۱۵/۳۶ درصد تخصیص مواد به برگ‌های گیاه شد (جدول ۶). نتایج نیز نشان داد که سطح کود دامی ۲۰ تن در هکتار در مقایسه با شاهد نیز سبب کاهش ۱۵/۰۳ درصد تخصیص مواد به ساقه شد، ولی تخصیص مواد به برگ‌های گیاه در این تیمار افزایش یافت که این افزایش، اختلاف معنی‌داری را با شاهد نشان نداد (جدول ۶). نتایج این آزمایش با نتایج خرم دل و همکاران (Khorramdel et al., 2016) مطابقت داشت. این محققان با بررسی اثر کود دامی بر رشد گیاه دارویی زیره سیاه (*Bunium persicum* BioSS)، افزایش تخصیص مواد فتوستنتزی به جوانه‌های رویشی و برگ‌های زیره سیاه را تحت تأثیر کود دامی گزارش کردند.

با افزایش سطح نیتروژن تخصیص مواد به برگ‌ها افزایش یافت، به طوری که سطوح ۵۰ و ۱۰۰ کیلوگرم در هکتار نیتروژن به ترتیب سبب افزایش معنی‌دار ۸/۸۷ و ۱۲/۸۳ درصد اختصاص مواد به برگ‌های گیاه شدند. این در حالی بود که ضریب تخصیص مواد به ساقه نیز در سطوح ۵۰ و ۱۰۰ کیلوگرم نیتروژن در هکتار در مقایسه با شاهد به ترتیب ۹/۸۷ و ۱۵/۱۱ درصد کاهش یافت و تنها سطح ۱۰۰ کیلوگرم در هکتار نیتروژن در مقایسه با شاهد ۱۳/۰۷ درصد تخصیص

در مرحله زایشی سطوح ۵۰ و ۱۰۰ کیلوگرم نیتروژن در هکتار در مقایسه با شاهد به ترتیب سبب افزایش ۵۵/۷۰ و ۷۶/۲۴ درصد وزن خشک برگ شد (جدول ۴). این افزایش در مرحله زایشی بیشتر از مرحله رویشی بود. به نظر می‌رسد که با افزایش رشد، اختلالات ایجاد شده بین سطوح تیمارهای مربوط به نیتروژن و کود دامی به علت نیاز بیشتر به عناصر غذایی با پیشرفت رشد گیاه و همچنین کاهش سطح مواد غذایی خاک در شاهد افزایش یافته باشد. تحقیقات نشان می‌دهد که عنصر نیتروژن با افزایش تقسیم و تورسانس سلول‌های مریستمی سبب افزایش رشد رویشی در گیاهان می‌شود (Makkizadeh et al., 2012).

سطح ۸۰ کیلوگرم فسفر در هکتار در مقایسه با عدم مصرف کود فسفر، وزن خشک برگ را ۱۵/۲۱ درصد افزایش داد. محققان نقش مثبت فسفر بر افزایش رشد و قوی تر شدن ریشه‌ها را در افزایش رشد اندام‌های هوایی گیاه مؤثر می‌دانند. در شرایط عدم استفاده از کود فسفر و یا سطوح پایین آن طول ریشه کوتاه‌تر، سطح ریشه کوچک‌تر و زیست‌توده ریشه کمتر می‌شود در حالی که فراهمی آن از طریق افزایش رشد ریشه سبب افزایش فراهمی و جذب عناصر غذایی در خاک و در نتیجه افزایش فتوستنتز و رشد گیاه می‌شود. افزایش رشد بخش‌های هوایی گیاه در اثر کود فسفر می‌تواند ناشی از نقش فسفر در تولید ATP و تأمین انرژی لازم برای تثبیت کربن و نیتروژن در گیاه باشد (Markaryan et al., 2016).

تخصیص مواد به برگ‌ها شده باشند (Khorramdel *et al.*, 2016). این در حالی است که کاربرد ۳۰ تن در هکتار مشابه کاربرد ۱۰۰ کیلوگرم در هکتار نیتروژن با کاهش تخصیص مواد از ساقه و دانه سبب افزایش تخصیص مواد به برگ‌ها شده است.

مواد به دانه را کاهش داد (جدول ۶). به نظر می‌رسد که کاربرد ۲۰ تن در هکتار کود دامی و همچنین سطح ۵۰ کیلوگرم در هکتار نیتروژن با وجود کاهش جزئی تخصیص مواد به دانه که معنی‌دار نبودند، بیشتر از طریق تخصیص مواد از ساقه به برگ‌ها سبب افزایش

جدول ۶- مقایسه میانگین اثرات ساده کود دامی، نیتروژن و فسفر بر صفات اندازه‌گیری شده در مرحله زایشی شاهدانه

Table 6- Mean comparisons of simple effects of animal manure, nitrogen and phosphorus on measured traits in reproductive stage of hemp

		تخصیص برگ Leaf allocation (%)	تخصیص ساقه Shoot allocation (%)	تخصیص دانه Seed allocation (%)	عملکرد بیولوژیک Biological yield (kg ha <sup>-1</sup> )	عملکرد دانه Seed yield (kg ha <sup>-1</sup> )	شاخص برداشت Harvest index (%)
Animal manure (ton ha <sup>-1</sup> )	کود دامی	0	52.34b	20.08a	27.58a	5861.4c	1555.94c
	10	53.31b	20.08a	26.60a	6562.2b	1691.68bc	26.60a
	20	57.24ab	17.06b	25.70a	8225.6a	1855.93b	25.70a
	30	60.38a	17.06b	22.56b	8320.2a	2077.63a	22.56b
Nitrogen fertilizer (kg ha <sup>-1</sup> )	کود نیتروژن	0	52.05b	20.25a	27.69a	5358.8c	1422.65c
	50	56.67a	18.25b	25.07ab	7783.7b	1919.10b	25.07ab
	100	58.73a	17.19b	24.07b	8584.6a	2044.14a	24.07b
Phosphorus fertilizer (kg ha <sup>-1</sup> )	کود فسفر	0	54.79a	19.28a	25.92a	6798.8b	1685.86b
	80	56.84a	17.85a	25.30a	7685.9a	1904.73a	25.30a

ستون‌هایی که حداقل دارای یک حرف مشترک هستند، فاقد تفاوت معنی‌دار بر اساس آزمون LSD در سطح پنج درصد می‌باشند.

The columns that share at least one letter have no significant differences according to LSD test at 5 percent of probability.

نیتروژن در این سطح از کود دامی عملکرد بیولوژیک را ۴۱/۲۰ درصد افزایش داد، اما در مقایسه با سطح ۵۰ کیلوگرم در هکتار نیتروژن عملکرد بیولوژیک را ۷/۸۵ درصد کاهش داد (جدول ۵). به نظر می‌رسد که در سطح ۳۰ تن در هکتار کود دامی، افزودن مقداری بیش از ۵۰ کیلوگرم در هکتار نیتروژن از طریق افزایش نیتروژن گیاه، سبب کاهش رشد گردیده باشد. چرا که وضعیت نیتروژن اثرات قابل توجهی بر مقدار کربوهیدرات‌های گیاه دارد. احیای نیتریت و نیترات و ساخت اسیدهای آمینه، نیازمند سوخت و ساز هیدرات‌های کربن طی عمل تنفس است، پس افزایش نیتروژن سبب کاهش هیدرات‌های کربن و در نتیجه کاهش رشد گیاه می‌شود (Ghobanli *et al.*, 2005).

برتری نقش مکملی کودهای تلفیقی دامی و شیمیایی در گیاه از آن جهت است که در ابتدای رشد گیاهان، کود شیمیایی مواد غذایی قابل جذب را برای رشد گیاه فراهم می‌کند و در دوره‌های بعدی رشد، کود دامی مواد غذایی پرمصرف و کم‌صرف لازم را در اختیار گیاه قرار می‌دهد. با بهبود معدنی شدن عناصر غذایی در تعذیه تلفیقی کود زیستی گاوی و کود شیمیایی نیتروژن برای گیاه، ریشه توسعه بیشتری می‌یابد. ریشه‌های توسعه یافته گیاه با افزایش جذب بهتر آب و عناصر غذایی به ویژه نیتروژن در افزایش سنتر ترکیباتی مانند

وقتی شرایط محیطی مناسب باشد و عناصر غذایی کافی در اختیار گیاه باشد تئوری GDB<sup>۱</sup> (موازنیه‌ی رشد-تمایز) به سمت تولید رویشی سوق می‌یابد و تخصیص مواد فتوستنتزی و تولید پروتئین اندام رویشی افزایش می‌یابد (Jabbari *et al.*, 2009).

### عملکرد بیولوژیک

عملکرد بیولوژیک بیانگر این است که گیاه چه مقدار فتوستنتز حقیقی خود را قادر است به صورت فتوستنتر خالص درآورد (Majidian *et al.*, 2008). اثر کودهای دامی، نیتروژن، فسفر و اثر متقابل کودهای دامی و نیتروژن بر عملکرد بیولوژیک در سطح یک درصد معنی‌دار بود (جدول ۳). عملکرد بیولوژیک با کاربرد ۸۰ کیلوگرم در هکتار فسفر در مقایسه با عدم کاربرد آن ۱۳ درصد عملکرد بیولوژیک را افزایش داد (جدول ۶). در سطوح صفر، ۱۰ و ۲۰ تن در هکتار کود دامی استفاده از سطوح مختلف نیتروژن در افزایش عملکرد بیولوژیک شاهدانه مؤثر بود. در سطح ۳۰ تن در هکتار کود دامی کاربرد ۱۰۰ کیلوگرم در هکتار نیتروژن در مقایسه با عدم اعمال

اثر مثبت کاربرد کودهای دامی در تلفیق با کود شیمیایی نیتروژن در مقایسه با کاربرد تنها کود دامی بود و ثانیاً اهمیت سطوح تلفیقی کود شیمیایی نیتروژن با کود دامی را نشان داد، به طوری که با کاربرد کود دامی مصرفی برای گیاه دارویی شاهدانه به مقدار ۳۰ تن در هکتار، مصرف کود نیتروژن کاهش یافته و افزایش سطح نیتروژن در این سطح از کود دامی نه تنها باعث افزایش اتلاف کود مصرفی شد، بلکه سبب افت عملکرد بیولوژیک و دانه نیز گردید.

نیتروژن نقش اساسی در ساختمان کلروفیل دارا بوده و از طرفی مهم‌ترین عنصر در ساخت پروتئین‌ها می‌باشد و افزایش آن در شرایط مطلوب تا حد مشخصی، موجب افزایش میزان پروتئین می‌گردد. با افزایش پروتئین‌ها، گیاه به توسعه‌ی بخش‌های رویشی خود می‌پردازد که افزایش این بخش‌ها، افزایش مواد فتوستتری را به دنبال دارد. با افزایش مواد فتوستتری، عملکرد دانه نیز افزایش می‌یابد (Asadi and Daneshian *et al.*, 2013). اسدی و خادمی (Khademi, 2014) مصرف کودهای شیمیایی کمتر از نیاز واقعی و نیز در مقادیر بالاتر از نیاز واقعی را منجر به کاهش عملکرد گیاهان دانستند.

پروتئین، کربوهیدرات‌ها و غیره مؤثر است (Moradi, 2015). عملکرد بیولوژیک با وزن خشک ساقه (۰/۷۴)، (۰/۹۷) و عملکرد دانه (۸۱/۰) همبستگی مثبت و معنی‌داری داشت (جدول ۹).

#### عملکرد دانه

تأثیر کودهای دامی، نیتروژن، فسفر و اثر متقابل کود دامی و نیتروژن بر عملکرد دانه در سطح یک درصد معنی‌دار بود (جدول ۳). کاربرد ۸۰ کیلوگرم در هکتار فسفر در مقایسه با عدم کاربرد آن ۱۳ درصد عملکرد دانه را افزایش داد (جدول ۶). با مصرف فسفر نیز توسعه ریشه افزایش یافته و در نتیجه جذب آب و املاح بیشتر شد، که خود سبب افزایش رشد رویشی و گسترش بوته و در نهایت افزایش عملکرد دانه گردید (Valadabadi *et al.*, 2007) در سطح صفر، ۱۰ و ۲۰ تن در هکتار کود دامی استفاده از سطوح مختلف نیتروژن در افزایش عملکرد دانه گیاه مؤثر بود. در سطح ۳۰ تن در هکتار کود دامی کاربرد ۱۰۰ کیلوگرم نیتروژن در هکتار در مقایسه با سطح شاهد همین سطح از کود دامی ۵۰ کیلوگرم در هکتار نیتروژن در این سطح از کود دامی، عملکرد بیولوژیک ۱۶/۲۸ درصد عملکرد دانه را افزایش داد، اما در مقایسه با سطح ۵۰ کیلوگرم در هکتار نیتروژن در این سطح از کود دامی، عملکرد بیولوژیک ۱۶/۲۸ درصد کاهش یافت (جدول ۵). این موضوع اولاً نشان‌دهنده‌ی

جدول ۷- مقایسه میانگین اثرات ساده کود دامی، نیتروژن و فسفر بر صفات اندازه‌گیری شده خاک در مراحل رویشی و زایشی شاهدانه

Table 7- Mean comparisons of simple effects of animal manure, nitrogen and phosphorus on measured traits of soil in vegetative and reproductive stages of hemp

	کربن خاک Soil carbon (%)	نیتروژن خاک Soil nitrogen (%)		نسبت کربن به نیتروژن خاک Soil C/N ratio	
		1	2	1	2
کود دامی	0	0.54c	0.55c	0.061a	0.057b
Animal manure (ton ha <sup>-1</sup> )	10	0.61b	0.57bc	0.067a	0.07a
	20	0.68a	0.59b	0.068a	0.075a
	30	0.70a	0.65a	0.069a	0.077a
کود نیتروژن	0	0.61a	0.57a	0.063b	0.067b
Nitrogen fertilizer (kg ha <sup>-1</sup> )	50	0.64a	0.61a	0.066b	0.071a
	100	0.65a	0.59a	0.074a	0.073a
کود فسفر	0	0.62a	0.58a	0.065a	0.069a
Phosphorus fertilizer (kg ha <sup>-1</sup> )	80	0.65a	0.60a	0.069a	0.072a

ستون‌هایی که حداقل دارای یک حرف مشترک هستند، فاقد تفاوت معنی‌دار بر اساس آزمون LSD در سطح پنج درصد می‌باشند.

۱ و ۲ به ترتیب مراحل رویشی و زایشی شاهدانه هستند.

The columns that share at least one letter have no significant differences according to LSD test at 5 percent of probability. 1 and 2 are vegetative and reproductive stages of hemp respectively.

است و بیانگر چگونگی تسهیم مواد پرورده بین اندام‌های رویشی

گیاه و دانه می‌باشد (Majidian *et al.*, 2008). اثر کودهای دامی و

نیتروژن بر شاخص برداشت در سطح پنج درصد معنی‌دار بود (جدول

#### شاخص برداشت

شاخص برداشت تحت تأثیر دو عامل عملکرد بیولوژیک و دانه

### نسبت کربن به نیتروژن خاک

نسبت کربن به نیتروژن خاک در مرحله رویشی تحت تأثیر تیمارهای کودی قرار نگرفت (جدول ۲)، اما در مرحله زایشی کود دامی در سطح یک درصد اثر معنی داری بر این نسبت داشت (جدول ۳). با وجود کربن کم خاک مورد آزمایش (جدول ۱)، استفاده از کودهای دامی در افزایش کربن آلی خاک مؤثر بودند (جدول ۷). وجود همبستگی مثبت و معنی دار این صفت با کربن خاک و همبستگی منفی و معنی دار آن با نیتروژن خاک در مراحل رویشی و زایشی خاکی از چگونگی تأثیر کربن و نیتروژن خاک بر این نسبت است (جدوال ۸ و ۹). با توجه به فقیر بودن خاک مورد آزمایش از نظر درصد کربن، نیتروژن و نسبت C/N، به نظر می رسد که اضافه نمودن کود دامی با درصد بالاتر کربن، نیتروژن و نسبت C/N، توانست در افزایش نسبت کربن به نیتروژن خاک مؤثر باشد (جدول ۱).

(۳). به طور کلی با افزایش سطح کود دامی شاخص برداشت کاهش یافت که این کاهش تنها در سطح ۳۰ تن در هکتار کود دامی با کاهش ۱۸/۲۰ درصد در مقایسه با شاهد معنی دار بود (جدول ۶). با افزایش کود نیتروژن نیز شاخص برداشت شاهدانه کاهش یافت، به طوری که سطح ۱۰۰ کیلوگرم در هکتار نیتروژن در مقایسه با شاهد ۱۳/۰۷ درصد این شاخص را به طور معنی داری کاهش داد (جدول ۶). با توجه به اینکه در سطح ۱۰۰ کیلوگرم در هکتار نیتروژن در مقایسه با شاهد افزایش هر دو صفت عملکرد بیولوژیک و دانه مشاهده گردید، به نظر می رسد کاهش معنی دار شاخص برداشت ناشی از افزایش بیشتر رشد رویشی در مقایسه با افزایش عملکرد Shahsawari and Saffari (۲۰۰۵) نیز بیان کردند که با وجود افزایش هر دو عامل مؤثر بر شاخص برداشت تحت تأثیر نیتروژن، کاهش شاخص برداشت به علت افزایش بیشتر مخرج کسر (عملکرد بیولوژیک) به نسبت افزایش صورت کسر (عملکرد دانه) است.

جدول ۸- ضرایب همبستگی بین صفات اندازه گیری شده در مرحله رویشی شاهدانه  
Table 8- Correlation coefficient between measured traits in reproductive stage of hemp

نسبت کربن به نیتروژن خاک نیتروژن خاک Soil C/N ratio (7)	کربن خاک Soil carbon(5)	وزن خشک Leaf dry weight (4)	وزن خشک برگ Shoot dry weight (3)	قطر ساقه Shoot diameter (2)	ارتفاع ساقه Shoot height (1)
1					
0.374**	1				
0.318**	0.214*	1			
0.307**	0.042 ns	0.305**	1		
0.302*	0.186 ns	0.301*	0.239*	1	
0.254*	0.163 ns	0.183 ns	0.107 ns	0.133 ns	1
-0.015 ns	0.108 ns	0.019 ns	0.054 ns	0.421**	-0.687**
					1

ns : عدم وجود اختلاف معنی دار، \* و \*\* به ترتیب وجود اختلاف معنی دار در سطح یک و پنج درصد

ns : Non-significant, \* and \*\* significant at 1% and 5% levels, respectively.

آمونیومی و نیتروژن نیتراتی و محدودیت نیتروژن معدنی قابل جذب برای گیاه به دلیل افزایش نسبت N/C این کودها دانستند، اما با گذشت زمان و کاهش موجودی نیتروژن در خاک در سطح صفر کود دامی و آزادسازی تدریجی نیتروژن از کود دامی سبب شد تا سطوح ۲۰، ۱۰ و ۳۰ تن در هکتار کود دامی در مقایسه با شاهد به ترتیب ۲۵/۹۲، ۱۲/۹۶ و ۳۰/۲۰ درصد نیتروژن خاک را افزایش دهند که خود در کاهش نسبت کربن به نیتروژن خاک در این مرحله از رشد مؤثر بود (جدول ۷). افزایش میزان نیتروژن خاک با گذشت زمان، به حضور کرم‌های خاکی در خاک و ضایعات نیتروژنی ترشح شده، هورمون‌های محرك رشد و آنزیم‌های تولید شده از آن‌ها در خاک نسبت داده شد و از طرفی تجزیه مواد آلی به وسیله کرم‌های خاکی و میکرووارگانیسم‌ها

وجود مقادیر پایین نسبت کربن به نیتروژن در هر دو مرحله رویشی و زایشی نیز به دلیل استفاده از کود پوسیده شده در این آزمایش بود. اضافه نمودن کود دامی در مرحله رویشی سبب افزایش معنی دار کربن خاک شد به طوری که سطوح کود دامی ۲۰، ۱۰ و ۳۰ تن در هکتار مقایسه با شاهد به ترتیب سبب افزایش ۲۵/۹۲ و ۲۹/۶۲ درصدی کربن خاک شدند. همچنین در مرحله رویشی با وجود افزایش نسبت N/C خاک تحت تأثیر افزایش سطح کود دامی مصرفی، اختلاف معنی داری بین سطوح کود دامی با شاهد مشاهده نشد (جدول ۷). پورعزیز و همکاران (Pourazizi and Fallah, 2013) کارایی کمتر کودهای گاوی در اوایل فصل رشد را ناشی از رقابت بین میکرووارگانیسم‌های خاک و گیاه برای جذب نیتروژن

کاهش نسبت C/N مؤثر بود (Kharrazi et al., 2012)

و تبدیل کربن آلی به گاز دی اکسید کربن و خروج آن از بستر، در

جدول ۹- ضرایب همبستگی بین صفات اندازه‌گیری شده در مرحله زایشی شاهدانه

Table 9- Correlation coefficient between measured traits in reproductive stage of hemp

ارتفاع ساقه Shoot height (1)	وزن خشک ساقه Shoot dry weight (2)	وزن خشک برگ ساقه Leaf dry weight (3)	وزن خشک برگ Leaf dry weight (4)	کربن خاک Soil carbon (5)	نیتروژن خاک Soil nitrogen (6)	نسبت کربن به نیتروژن خاک Soil C/N ratio (7)	عملکرد دانه Seed yield (8)	عملکرد بیولوژیک Biological yield (9)	شاخص برداشت Harvest index (10)
(1)	1								
(2)	0.553**	1							
(3)	0.597*	0.610**	1						
(4)	0.512**	0.420**	0.627**	1					
(5)	0.259*	0.192 ns	0.350**	0.369**	1				
(6)	0.227 ns	0.298*	0.419**	0.447**	0.457**	1			
(7)	-0.017 ns	-0.159 ns	-0.174 ns	-0.192 ns	0.305**	-0.689**	1		
(8)	0.456**	0.503**	0.750**	0.682**	0.293*	0.419**	-0.213 ns	1	
(9)	0.553**	0.495**	0.749**	0.976**	0.383**	0.476**	-0.211 ns	0.815**	1
(10)	0.359**	0.186 ns	-0.326**	-0.705**	-0.210 ns	-0.265*	0.122 ns	0.073 ns	-0.59**

ns : عدم وجود اختلاف معنی دار، \* و \*\* به ترتیب وجود اختلاف معنی دار در سطح ۱٪ و پنج درصد

ns: Non- significant, \* and \*\* significant at 1% and 5% levels, respectively.

مربوط به آن در خاک و جذب توسط گیاه، نیاز به گذشت زمان باشد تا مواد بتوانند مورد استفاده گیاه قرار گیرند، لذا کود دامی در مرحله ریویشی اثر معنی داری بر صفات اندازه گیری شده نداشت، اما در مرحله زایشی علاوه بر تأثیر مثبت کود شیمیایی نیتروژن، تأثیر مثبت کود دامی بر صفات رشد مشاهده گردید. اضافه نمودن فسفر به خاک اثر معنی داری بر صفات اندازه گیری شده در مرحله ریویشی نشان نداد، اما در مرحله زایشی بر افزایش وزن خشک ساقه، برگ و عملکرد دانه و بیولوژیک مؤثر بود. با توجه به اهمیت گیاه دارویی شاهدانه در زمینه های تولید بذر، الیاف، روغن، ترکیبات دارویی و همچنین توانایی رشد آن در اقلیم های گوناگون نیاز است تا در تحقیقات و توسعه کشاورزی پایدار بیشتر مورد استفاده و بررسی قرار گیرد.

### نتیجه گیری

کاهش مصرف کودهای شیمیایی و استفاده از کودهای آلی در تولید گیاهان دارویی و فرآوردهای آنها، شرط اصلی سالم و طبیعی بودن آن هاست. نتایج این آزمایش نشان داد که استفاده از سطح ۳۰ تن در هکتار کود دامی در تلفیق با مقادیر مناسبی از کود نیتروژن می تواند در کاهش مصرف کود شیمیایی نیتروژن در مرحله زایشی مؤثر باشد. نتایج نشان داد که مصرف بیش از ۵۰ کیلوگرم در هکتار نیتروژن برای سطح کود دامی ۳۰ تن در هکتار، سبب کاهش وزن خشک ساقه، عملکرد بیولوژیک و دانه شد. کود دامی در مرحله زایشی در کاهش نسبت C/N مؤثر بود. در مرحله ریویشی تنها کود شیمیایی نیتروژن تأثیر مثبت معنی داری بر ارتفاع، وزن خشک ساقه و برگ داشت، به نظر می رسد با وجود استفاده از کود پوسیده دامی در این آزمایش، برای آزادسازی مواد معدنی از کود دامی و اکتشهای

### References

- Abbaszadeh, B., Sharifi, E., Aedakani, M. R., Aliabadi, H., and Alizadeh, A. 2007. Effect of nitrogen fertilizer on quantities and qualities yield of medicinal plant balm (*Melissa officinalis* L.). 2nd National Conference of Ecological Agriculture. Iran, Gorgan, 16-17 October: 927-939. (in Persian).
- Abdipoor, M., Farahbakhsh, J., and Panahi, Kh. 2013. The effects of different levels of nitrogen phosphorous on *Plantago major* extract in Yasouj. National Conference on Water and Wastewater Engineering. Iran, Tehran. (in Persian).
- Akande, M. O., Olwatoyinbo, F. I., Makinde, E. A., Adepoju, A. S., and Adepoji, I. S. 2010. Response of okra to organic and inorganic fertilization. Journal of Nature and Science 8 (11): 261-266.

4. Asadi, F., and Khademi, Z. 2014. Changes in Nutrients (N, P, K) Concentration in Various Parts of Corn during Different Growth Stages. Iranian Journal Soil Research 24 (4): 485- 498. (in Persian with English abstract).
5. Bremner, J. M. 1965. Total nitrogen. Methods of soil analysis. Part 2. American of Agronomy. Mandison. WI, P. 1148-1158.
6. Daneshian, J., Rahmani, N., and Alimohammadi, M. 2013. Effects of nitrogen and manure fertilizer application on yield and yield components of calendula (*Calendula officinalis* L.) under water deficit stress conditions. Journal of Crop Production Research 5 (3): 251-260. (in Persian with English abstract).
7. Diepen Brock, W. 2000. Yield analysis of winter oil seed rape: A review. Field Crops Research 67: 35-49.
8. Eslami khalili, F., Pirdashti, H., Bahmanyar, M. A., and Taghavi Ghsemkheili, F. 2014. Effect of organic and chemical fertilizer on soil properties and nutrient concentration in pot marigold (*Calendula officinalis* L.). Iranian Journal of Medicinal and Aromatic Plants 30 (3): 476-485. (in Persian with English abstract).
9. Fallahi, J. 2009. Effects of biofertilizers and chemical fertilizers on quantity and quality characterize of Chamomile (*Matricaria Chamomilla* L.) as a medicinal plant. Thesis. Faculty of Agriculture. Ferdowsi University of Mashhad, Iran. (in Persian).
10. Ghobanli, M., Hashem moghaddam, Sh., and Fallah, A. 2005. Study of Interaction Effects of Irrigation and Nitrogen on Some Morphological and Physiological Characteristic of Rice Plant (*Oryza sativa* L.). Journal of Agricultural Sciences 12 (2): 415- 428. (in Persian with English abstract).
11. Hosseini valiki, R., and Ghanbari, S. 2015. Comparative examination of the effect of manure and chemical fertilizers on yield and yield components of rosemary (*Rosemarinus officinalis* L.). International Journal of Agronomy and Agricultural Research 6 (2): 29-37.
12. Jabbari, R., Amini Dehaghi, M., Modares Sanavy, M. A., and Kordenaeij, A. 2009. Effects of application methods of nitrogen fertilizer in semi arid and moderate cool conditions on morphological and composition on Thyme (*Thymus vulgaris* L.). Journal of Crop Breeding 1 (3): 78-94. (in Persian with English abstract).
13. Jafari Haghghi, M. 2003. Soil analysis methods- sampling and analysis physical and chemical with emphasis on Theory and Applied principles. Neday Zahi Publication 236p. (in Persian).
14. Jahanban, L., and Lotififar, O. 2011. Study of the effective organism (EM) application effect on efficacy of chemical and organic fertilizers in corn cultivation (*Zea maiz* S.C704). Plant Production Technology 11 (2): 43-52. (in Persian with English abstract).
15. Javaheri, A. M., Rashidi, N., and Baghizadeh, A. 2016. Influence of organic farm yard manure, potassium and boron on quantity and quality of sugar beet in Bardsir region. Journal of Sugar Beet 21 (1): 43-56. (in Persian with English abstract).
16. Jokubauskaite, I., Slepetiene, A., and Karcauskiene, D. 2015. Influence of different fertilization on the dissolved organic carbon, nitrogen and phosphorus accumulation in acid and limed soils. Eurasian Journal of Soil Science 4 (2): 137-143.
17. Kharrazi, M., Unesi, H., and Abedini, J. 2012. Effect of corn waste blended with cow dung and paper on vermicompost qualities using *Eisenia fetida*. Agronomy Journal (Pajouhesh & Sazandegi) 103: 179-191. (in Persian with English abstract).
18. Khamchin moghaddam, F., and Rezaee pajand, H. 2009. Criticising de morttome regionalization method according to linear moments for maximum daily precipitation in Iran. Journal of Technical- Engineering 2 (2): 93-103. (in Persian with English abstract).
19. Khorramdel, S., Rezvani moghadam, P., and Asady, Gh. A. 2016. Effects of different levels of animal manure and bulb weights on yield and yield components of caraway (*Bunium persicum* Biss.). Journal of Plant Production Research 22 (4): 133-155. (in Persian with English abstract).
20. Majidian, M., Ghalavand, A., Karimian, N., and Kamgar haghghi, A. A. 2008. Effects of nitrogen different amounts, manure and irrigation water on yield and yield components of corn. Electronic Journal of Crop Production 1 (2): 67-85. (in Persian with English abstract).
21. Makkizadeh, M., Chaichi, M., Nasrollahzadeh, S., and Khavazi, K. 2012. Effect of different types of nitrogen fertilizers on quantitative and qualitative characteristics of *Satureja hortensis* L. Iranian Journal of Medicinal and Aromatic Plants 28 (2): 330- 341. (in Persian with English abstract).
22. Mallanagouda, B. 1995. Effects of NPK and FYM on growth parameters of onion, garlic and coriander. Journal of Medical and Aromatic Plant Science 4: 916-918. (in Persian with English abstract).
23. Markaryan, Sh., Najafi, N., Asgharnejad, N., and Avestan, Sh. 2016. Interactive effects of *Ensifer meliloti* (*Sinorhizobium meliloti*) and phosphorus on some growth characteristics of alfalfa under soil water deficit conditions. Journal of Soil Biology 3 (2): 163-178. (in Persian with English abstract).
24. Mediavilla, V., Jonquera, M., Schmid-Slembrouck, I., and Soldati, A. 1998. Decimal code for growth stage of hemp (*Cannabis sativa* L.). Journal of the International Hemp Association 5 (2): 65, 68-74.
25. Mooleki, S. P., Schoenau, J. J., Chales, J. L., and Wen, G. 2004. Effect of rat, frequency and incorporation of freedlot cattle manure on soil nitrogen availability, crop performance and nitrogen use efficiencyn in east-central Saskatchewan. Canadian Journal of Soil Science 84: 199-210.

26. Moradi, S. 2015. Impact of sheep manure, urea and triple superphosphate on onion morphological properties. International Journal of Farming and Allied Sciences 4 (2): 167-170.
27. Oomah, B., Busson, M., Godfrey, D., and Drover, J. 2002. Characteristics of hemp (*Cannabis sativa L.*) seed oil. Food Chemistry 76: 33-43.
28. Pourazizi, M., and Fallah, S. 2013. Optimization of application of nitrogen fertilizers for growth and yield of forage sorghum under low- input conventional farming systems. Journal of Crop Production and Processing 3 (9): 81-91. (in Persian with English abstract).
29. Pouryousef, M., Mazaheri, D., Chaiechi, M. R., Rahimi, A., and Tavakoli, A. 2010. Effect of different soil fertilizing treatments on some of agro morphological traits and mucilage of isabgol (*Plantago ovata* Forsk). Electronic Journal of Crop Production 3: 193-213. (in Persian with English abstract).
30. Saadati, A., Pourtahmasi, K., Salami, S. A., and Oladi, R. 2015. Xylem and bast fiber properties of six Iranian hemp populations. Iranian Journal of Natural Resources 68 (1): 121-132. (in Persian with English abstract).
31. Shahsawari, N., and Saffari, M. 2005. The effect of different levels of nitrogen on the function and elements of the varieties of wheat in Kerman. Pajouhesh and Sazandegi 66: 82-87. (in Persian with English abstract).
32. Shams, A., Abadian, H., Akbari, Gh., Kolai, A., and Zeinali, H. 2012. Effect of organic and chemical fertilizers on Amount of Essence, biological yield and harvest index of *Matricaria chamomile*. Annals of Biological Research 3 (8): 3856-3860.
33. Singh, R. V., and Chauhan, S. P. S. 1994. Response of barley to the levels and sources of nitrogen with and without zinc in relation to yield and water use under dryland conditions. Bhartiya Krishi Anusandhan Patrika 6: 43-48.
34. Tahami, S. M. K., Rezvani Moghaddam, P., and Jahan, M. 2010. Comparison the effect of organic and chemical fertilizers on yield and essential oil percentage of basil (*Ocimum basilicum* L.). Journal of Agroecology 2 (1): 70-82. (in Persian with English abstract).
35. Wahba, H. E., Motawe, H. M., and Ibrahim, A. Y. 2014. Effect of nitrogen fertilizers on productivity of *Urtica pilulifera* plant. Bioscience 6 (1): 49-56.
36. Valadabadi, S. A., Alimohammadi, M., and Daneshian, J. 2007. The evaluation of nitrogen (N) and phosphorous (P) consumption on yield and growth of sweet corn (*Zea mays* var *saccharata*). Plant and Ecosystem 12: 53-65. (in Persian with English abstract).
37. Yazdani biouki, R., Bannayan avval, M., Khazaei, H. R., and Sodaeeizadeh, H. 2015. Investigating some quantitative and qualitative characteristics of wild marjoram (*Origanum vulgare* sub sp. *Virid.*) as affected by different levels of azocompost and urea. Agroecology Journal 6 (4): 798-811. (in Persian with English abstract).
38. Zaman, S. 2003. Plant medicinales. Ghoghnos, iran, p: 134. (in Persian).
39. Zeinali, H., Moslehi Yazddeli, A., Safaei, L., Jaberalansar, Z., Akhondi, A., and Skanderi, Z. 2014. Effects of different N.P.K fertilizer levels on quantitative and qualitative traits of *Matricaria chamomilla* L. Iranian Journal of Medicinal and Aromatic Plants 30 (4): 511-518. (in Persian with English abstract).



## Changes in Soil C/N Ratio and Response of Growth of Hemp (*Cannabis sativa L.*) to Different Levels of Animal Manure and Chemical Fertilizers

S. Laleh<sup>1\*</sup> - M. Jami Al-Ahmadi<sup>2</sup> - S. Parsa<sup>3</sup>

Received: 13-11-2016

Accepted: 08-05-2017

### Introduction

Hemp is used in the food, drug, and natural fibers. Assessment of various systems of plant nutrition is one of the ways to improve field management and production of medicinal plants. Nitrogen is considered a necessary element in plant nutrition. Nitrogen uptake as ammonium compounds form, serves as starting material for amino acid biosynthesis and additional N-containing compound such as pyrimidine, purine bases, chlorophyll, proteins, nucleic acid, vitamins and other organic compounds, therefore, the higher plants require larger amount of nitrogen. Phosphorus is the second most important nutrient in plants. Studies show that application of animal manure provides different nutrients for plants. Application of animal manure in soil at the optimal level for plant growth provides opportunities for soil fertility, conservation, sustainability, and protection against degradation but they need time to release their nutrient. Various studies showed that the combined usage of the animal manure and chemical fertilizers (like N and P) has positive effects on soil, growth and yield of plant with the aim of protecting the environment. Organic and inorganic fertilizers are effective on soil C/N ratio. Soil C/N ratio is important factor for plant and soil. It is important to study the different stages of plant growth responses to organic and chemical fertilizers for plants production. Therefore, the present study was undertaken to evaluate the effect of organic amendments enriched with chemical fertilizers of nitrogen and phosphorus and studying changes of soil C/N ratio in vegetative and reproductive stages of hemp.

### Materials and Methods

To study the effect of different levels of animal manure and chemical fertilizers, a split factorial experiment, based on complete randomized blocks design with three replications was conducted at the Research Farm of Faculty of agriculture, University of Birjand, during the growing season 2013-2014. Experimental factors were animal manure (0, 10, 20 and 30 ton  $\text{ha}^{-1}$  well-rotted farmyard manure) as the main plot, and factorial application of three levels of N (0, 50 and 100 kg N  $\text{ha}^{-1}$  as Urea) with two levels of P (0 and 80 kg  $\text{P}_2\text{O}_5 \text{ ha}^{-1}$  as triple superphosphate) as sub-plot. Hemp were planted on rows 60 cm apart, with 30 cm distance between plants within a row, at the depth of 3-4 cm. In during experiment didn't use any poison and pesticide. Measurements were performed in both vegetative (11th leaf pair) and reproductive (50% of seeds hard) stages. Measured traits included leaf, shoot weight, shoot height and diameter per square meter in sub-plot for female plants of hemp in vegetative and reproductive stages. Seed weight measured in reproductive stage too. Nitrogen of soil was determined by Kjeldahl method and soil carbon was measured by Walleky & Black method. Finally, all variables were analyzed by SAS software ver 9.1. The means were compared using LSD test at the 0.05 probability level.

### Results and Discussion

The results showed that the measured traits were not affected by animal manure in the vegetative stage, but nitrogen fertilizer had significant effect on growth traits in this growth stage. Using manure and nitrogen fertilizers increased height and shoot diameter, leaf and shoot dry weight in reproductive stage. Biological and seed yield increased with increasing of nitrogen levels in different treatments of 0, 10 and 20 ton  $\text{ha}^{-1}$  animal manure. Combined usage of 30 ton  $\text{ha}^{-1}$  animal manure and 100 kg N  $\text{ha}^{-1}$  decreased biological and seed yields. Combined usage of 30 ton  $\text{ha}^{-1}$  animal manure and 50 kg N  $\text{ha}^{-1}$  and 20 ton  $\text{ha}^{-1}$  animal manure and 100 kg N  $\text{ha}^{-1}$  increased biological and seed yields. Harvest index decreased with increasing rate of animal manure and nitrogen fertilizers. So harvest index decreased 18.20 and 13.07 % in treatments of 30 ton  $\text{ha}^{-1}$  animal manure and 100 kg N  $\text{ha}^{-1}$  respectively, due to increasing the growth of hemp. Leaf allocation increased with increasing

1- PhD student, Department of Agronomy and Plant Breeding, University of Birjand, Iran

2- Associate Professor, Department of Agronomy and Plant Breeding, University of Birjand, Iran

3- Assistant Professor, Department of Agronomy and Plant Breeding, University of Birjand, Iran

(\* Corresponding Author Email: Samaneh\_Laleh@birjand.ac.ir)

animal manure and nitrogen fertilizer levels. Phosphorus increased seed yield (13%), shoot dry weight (42.6%) and leaf dry weight (15.21%) in the reproductive stage. Soil C/N ratio decreased with increasing growth of hemp. In reproductive stage, using animal manure decreased C/N ratio due to release of nitrogen to the soil.

### Conclusions

Combined usage of manure and chemical fertilizer were more effective than manure alone. Animal manure and nitrogen fertilizer were effective on soil C/N ratio. Results indicated that combined use of animal manure and chemical fertilizers must be done carefully and use of appropriate amounts of animal manure and chemical fertilizer can be effective in reducing the use of chemical fertilizers.

**Keywords:** Cow manure, Triple superphosphate, Urea



## کاربرد مفهوم زمان‌گرمایی جهت مدل‌سازی پاسخ جوانه‌زنی کلزا (*Brassica napus L.*) به دما

ابوالفضل درخشان<sup>۱</sup>- عبدالمهدي بخشنده<sup>\*</sup>- سيد عط الله سيادت<sup>۱</sup>- محمد رضا مرادي تلاوت<sup>۱</sup>- بهرام اندرزيان<sup>۲</sup>

تاریخ دریافت: ۱۳۹۵/۰۹/۰۱

تاریخ پذیرش: ۱۳۹۶/۰۴/۲۱

### چکیده

مدل‌های مبتنی بر مفهوم زمان‌گرمایی ابزار مفیدی برای توصیف و پیش‌بینی جوانه‌زنی و رهایی بذر از خواب در رابطه با زمان و دما هستند. هدف از این مطالعه ارزیابی دقیق پیش‌بینی رهیافت‌های مختلف زمان‌گرمایی در توصیف جوانه‌زنی سه رقم بهاره کلزا (ساری‌گل، دلگان و آزمون جوانه‌زنی برای هر رقم در ۱۱ دمای ثابت ۸، ۱۲، ۱۶، ۲۰، ۲۴، ۲۸، ۳۲، ۳۴، ۳۵ و ۳۶ درجه سانتی‌گراد و چهار تکرار انجام شد و کل آزمایش سه مرتبه تکرار گردید. معیارهای نکوبی برازش (AICc و RMSE) نشان داد که وقتی  $T_b$  (دما پایه) و  $\theta_{Tm}$  (زمان‌گرمایی لازم برای تکمیل جوانه‌زنی در دماهای پیش‌بینی) برای کل جمیعت بذری ثابت فرض شد و توزیع نرمال برای توصیف تنوع  $\theta_{T(g)}$  (زمان‌گرمایی لازم برای تکمیل جوانه‌زنی هر کسر بذری معین در دماهای زیر بینه) در دماهای زیر بینه (دماهای زیر بذری معین) در دماهای پیش‌بینی به کار رفت، مدل برازش بهتر و دقیق‌تری از دوره‌های زمانی جوانه‌زنی هر سه رقم دلگان و آزمون RGS003 به ترتیب ۵/۶۶ و ۷/۱۳ درجه سانتی‌گراد برآورد شد. برآورد  $\theta_{Tm}$  برای ارقام مختلف بین ۳۱/۶۲ تا ۳۱/۵۵ درجه سانتی‌گراد ساعت متغیر بود. در رقم ساری‌گل ۳۳/۹۸ و  $\theta_{T(50)}$  به ترتیب ۳۶۹/۲۷ درجه سانتی‌گراد ساعت و ۳۴/۳۲ درجه سانتی‌گراد ساعت، در رقم دلگان به ترتیب ۳۷۸/۷۶ درجه سانتی‌گراد ساعت و درجه سانتی‌گراد و در رقم RGS003 به ترتیب ۳۵۷/۸۹ درجه سانتی‌گراد ساعت و ۳۴/۴۲ درجه سانتی‌گراد پیش‌بینی شد. دمای بینه برای درصد های مختلف جوانه‌زنی ( $T_o$ ) ثابت نبود.  $T_o$  برای ارقام ساری‌گل، دلگان و آزمون RGS003 به ترتیب ۳۱/۸۵، ۳۱/۷۸ و ۳۲/۰۶ درجه سانتی‌گراد تعیین شد.

**واژه‌های کلیدی:** تابع توزیع تجمعی، توزیع نرمال، دمای کاردینال، شاخص آکائیک، واحدهای گرمایی

### مقدمه

گرمایی<sup>۳</sup> یا واحدهای حرارتی<sup>۴</sup> همواره به عنوان یک اصل پذیرفته شده برای کمی‌سازی رشد گیاه و فرآیندهای نموی مطرح بوده (Soltani et al., 2011) و به طور گسترده برای مدل‌سازی تغییرات خواب (and Sinclair, 2011) و جوانه‌زنی بذر (Garcia-Huidobro et al., 2004)، جوانه‌زنی بذر (Steadman, 2004)، سبز شدن گیاه‌چه (Qiu et al., 1982; Covell et al., 1986) و سایر مراحل نمو فنولوژیک (Soltani and Sinclair, 2006) استفاده شده است.

در مدل‌های جوانه‌زنی-گرمایی<sup>۵</sup> فرض می‌شود که سرعت جوانه‌زنی برای هر کسر بذری معین ( $GR_g$ ) با افزایش دما از  $T_o$  تا  $T_b$  به طور خطی افزایش و با افزایش بیشتر دما تا  $T_m$  به طور خطی کاهش می‌یابد (Bradford, 2002). در بیشتر این مدل‌ها، تنوع زمان جوانه‌زنی برای هر کسر معین ( $g$ ) از جمعیت بذری در دامنه دماهای زیر بینه به عنوان پیامدی از تنوع مقادیر زمان‌گرمایی مورد نیاز برای جوانه‌زنی آن کسر ( $\theta_{T(g)}$ ) فرض شده است. در این حالت،  $T_b$  برای

دما یکی از مهم‌ترین عوامل مؤثر بر جوانه‌زنی بذر است. دماهای پایه ( $T_b$ ), بینه ( $T_o$ ) و بیشینه ( $T_m$ ) گسترهای از این عامل زیست‌محیطی را تعریف می‌کنند که در آن جوانه‌زنی بذر یک گونه معین رخ می‌دهد. بذرها در دماهای کمتر از  $T_m$  یا بیشتر از  $T_b$  قادر به جوانه‌زنی نیستند، در حالی که سرعت و درصد جوانه‌زنی در  $T_o$  در حداقل است. روابط گوناگونی برای توصیف اثر دما بر جوانه‌زنی با هدف تعیین تاریخ کاشت بینه گیاهان زراعی یا زمان سبز شدن گونه‌های علف‌هرز در محیط‌های مختلف ارائه شده است (Soltani et al., 2006; Mesgaran et al., 2014).

۱- گروه مهندسی تولید و زنتیک گیاهی، دانشکده کشاورزی، دانشگاه علوم کشاورزی و منابع طبیعی خوزستان

۲- بخش تحقیقات اصلاح و تهییه نهال و بذر، مرکز تحقیقات و آموزش کشاورزی و منابع طبیعی خوزستان، سازمان تحقیقات، آموزش و ترویج کشاورزی

(Email: bakhshandeh@ramin.ac.ir)  
۳- نویسنده مسئول:  
DOI: 10.22067/gsc.v16i1.60457

3- Thermal time

4- Heat unit

5- Thermal-germination model

فرض‌های مدل زمان گرمایی در مورد جوانه‌زنی سه رقم بهاره کلزا مورد آزمون قرار گرفت و در نهایت بهترین فرض‌ها جهت مدل‌سازی پاسخ جوانه‌زنی به دما و تعیین دماهای کاردینال برای این ارقام به کار رفت.

## مواد و روش‌ها

آزمایش در سال ۱۳۹۵ در آزمایشگاه تکنولوژی بذر دانشگاه کشاورزی و منابع طبیعی رامین خوزستان اجرا شد. در این مطالعه پاسخ جوانه‌زنی بذر سه رقم بهاره کلزا (ساری‌گل، دلگان و RGS003) به دما مورد ارزیابی قرار گرفت. آزمون جوانه‌زنی در انکوباتورهایی با دماهای ثابت ۸، ۱۲، ۱۶، ۲۰، ۲۴، ۲۸، ۳۲، ۳۳، ۳۴ و ۳۶ (±۰/۲) درجه سانتی‌گراد انجام شد. این رژیم‌های دمایی هم دامنه دمایی زیر بهینه و هم دامنه دمایی بیش‌بهینه برای جوانه‌زنی ارقام کلزا را پوشش داد. برای هر رقم، آزمون جوانه‌زنی در قالب طرح کاملاً تصادفی با چهار تکرار اجرا شد. در هر تکرار، ۱۰۰ بذر روی کاغذ صافی و اتمن شماره یک در پتروی دیش پلاستیکی ۹ سانتی‌متری قرار گرفت و سپس کاغذهای صافی با هفت میلی‌لیتر آب مقطر مرطوب شدند. برای کاهش تلفات آب از طریق تبخیر، پتروی دیش‌ها با پارافیلم پوشانده شدند و آبیاری پتروی دیش‌ها در صورت نیاز انجام شد. به‌منظور هم دمایی آب مقطر با دمای انکوباتور، آب مقطر ۲۴ ساعت قبل از شروع آزمایش در انکوباتور قرار گرفت. بذرها که ریشه‌چه آنها به اندازه دو میلی‌متر یا بیشتر خارج شده بود، جوانه‌زده در نظر گرفته شدند. تعداد بذرها جوانه‌زده روزانه چهار یا پنج مرتبه به مدت ۲۱ روز شمارش شد. کل آزمایش سه مرتبه تکرار شد و میانگین داده‌های جوانه‌زنی هر رقم در هر دما برای تجزیه آماری مورد استفاده قرار گرفت.

در صد جوانه‌زنی تجمعی برای هر رقم و رژیم دمایی در هر ساعت شمارش محاسبه گردید. سپس، زمان صرف شده برای رسیدن جوانه‌زنی تجمعی به زیرمجموعه‌های ۱۰، ۵۰ و ۹۰ درصد از حداکثر جوانه‌زنی در هر رژیم دمایی با درون‌یابی از منحنی پیش‌رفت این فرآیند در برابر زمان محاسبه شد (Soltani *et al.*, 2006). سرعت جوانه‌زنی ( $GR_g$ ; عکس زمان جوانه‌زنی برای هر کسر بذری معین) به عنوان تابعی از دما به‌طور جداگانه برای هر رقم و کسر جوانه‌زنی ترسیم شد و داده‌ها جهت اجرای رویه‌های رگرسیون غیر خطی توسط بازرسی بصری به دو گروه دماهای زیر بهینه و بیش‌بهینه تقسیم شدند (Covell *et al.*, 1986; Hardegree, 2006). جوانه‌زنی بذرها درون یک جمعیت بذری به دلیل تنوع پاسخ هر بذر به دما (یا تنوع سرعت جوانه‌زنی بذرها در یک دمای ثابت و کل دماهای مورد آزمون)

کل جمعیت بذری ثابت در نظر گرفته می‌شود (Covell *et al.*, 1986; Bradford, 2002). در دامنه دمایی  $T_m$  بیش‌بهینه، تنوع در  $GR_g$  در میان کسرهای بذری پیامدی از تنوع زیر (نماینده  $t_{m(g)}$ ) است، درحالی که زمان گرمایی مورد نیاز برای جوانه‌زنی همه بذرها ( $\theta_{Tm}$ ) ثابت در نظر گرفته می‌شود (Ellis *et al.*, 1986). بنابراین، در دامنه دمایی زیر بهینه،

$$\theta_{T(g)} = (T - Tb)t_g \quad (1)$$

از آنجا که  $GR_g$  به عنوان عکس زمان جوانه‌زنی کسر  $g$  جمعیت بذری ( $t_g$ ) تعریف می‌شود، معادله (1) را می‌توان به صورت زیر بازنویسی کرد:

$$GR_g = 1/t_g = (T - Tb)/\theta_{T(g)} \quad (2)$$

در دامنه دمایی بیش‌بهینه،

$$\theta_{Tm} = (T_{m(g)} - T)t_g \quad (3)$$

یا

$$GR_g = 1/t_g = (T_{m(g)} - T)/\theta_{Tm} \quad (4)$$

برای هر کسر جوانه‌زنی،  $GR_g$  را می‌توان با استفاده از دو خط راست توصیف کرد. شبیه این دو خط معادل  $\theta_{Tm}$  و  $\theta_{T(g)}$  است و نقطه تقاطع آنها به عنوان  $T_o$  تعریف می‌شود. همچنین، دو نقطه‌ای که در آن  $GR_g$  معادل صفر است به ترتیب به عنوان  $T_b$  و  $T_m$  کسر جوانه‌زنی Covell *et al.*, 1986; Ellis *et al.*, 1986 معین  $g$  (تعریف می‌شوند). این مدل به‌طور گسترده برای مقایسه زمان جوانه‌زنی گونه‌های مختلف یا برای یک گونه در زیستگاه‌ها و شرایط آب و هوایی مختلف (Alvarado and Bradford, 2002) است. این مدل به‌طور گسترده برای در زیستگاه‌ها و شرایط آب و هوایی مختلف (Chantre *et al.*, 2009) و تعیین اثر تیمارهای پرایمینگ (Hardegree and Van Vactor, 2000) استفاده شده است. با این وجود، فرضیات این مدل در مورد جوانه‌زنی برخی گونه‌های گیاهی صادق نبوده است. برای مثال، چنتر و همکاران (Chantre *et al.*, 2009) گزارش کردند که پاسخ جوانه‌زنی سنتگدانه (*Lithospermum arvense* L.) به دما با در نظر گرفتن توزیع نرمال برای هر دو  $T_b$  و  $T_m$  جمعیت بذری به‌طور دقیق‌تری شبیه‌سازی شد. ژانگ و همکاران (Zhang *et al.*, 2012) از توزیع نرمال برای توصیف تنوع درون *Lolium multiflorum* جمعیت بذری گونه‌های چچم یکساله (Lam. و چندساله (*Lolium perenne* L.)) استفاده کردند. هارددگری (Hardegree, 2006) نیز گزارش کرد که هنگامی که  $T_m$  ثابت فرض شد و  $\theta_{Tm}$  در داخل جمعیت بذری بر مبنای توزیع لوگ‌نرمال تغییر کرد، مدل برآشش بهتری به جوانه‌زنی چهار گونه علف مرتقی در پاسخ به دما داشت.

درک بهتری از الگوهای جوانه‌زنی بذر در غربال ارقام و گیاهان زراعی از نظر دامنه تحمل به دماهای پایین و بالا و همچنین برای شناسایی مناطق جغرافیایی که در آن یک گونه یا ژنوتیپ قادر به جوانه‌زنی و استقرار موفقیت‌آمیزی است، مفید می‌باشد. در این مطالعه،

**مدل ۳.** در این مدل  $\theta_T$  و  $T_m$  برای کل جمعیت بذری ثابت در نظر گرفته شد. در حالی که، تنوغ  $T_{b(g)}$  در دماهای زیر بهینه و  $\theta_{Tm(g)}$  در دماهای بیش‌بهینه بر حسب توزیع نرمال توصیف شد. برای این مدل، پیشرفت جوانه‌زنی در طی زمان در دماهای زیر بهینه با استفاده از رابطه زیر پیش‌بینی شد:

$$p(T_{b(g)}) = \varphi\left[\left(T_{b(g)} - T_{b(50)}\right) / \sigma_{Tb}\right] \quad (9)$$

که در این معادله  $\varphi$ ، نسبت جوانه‌زنی بذرها برای هر  $T_b$  معین؛  $T_{b(50)}$ ، میانگین توزیع نرمال (دمایی که در آن جوانه‌زنی ۵۰ درصد از جمعیت بذری متوقف می‌شود) و  $\sigma_{Tb}$ ، انحراف استاندارد توزیع نرمال (اندازه پراکنش توزیع  $T_{b(g)}$ ) است. در این مدل، پیشرفت جوانه‌زنی در طی زمان در دماهای بیش‌بهینه با استفاده از معادله (۶) پیش‌بینی شد.

**مدل ۴.** در این مدل  $\theta_T$  و  $T_m$  برای کل جمعیت بذری ثابت در نظر گرفته شد. در حالی که، تنوغ  $T_{b(g)}$  در دماهای زیر بهینه و  $T_{m(g)}$  در دماهای بیش‌بهینه بر حسب توزیع نرمال توصیف شد. در این مدل، پیشرفت جوانه‌زنی در طی زمان در دماهای زیر بهینه با استفاده از معادله (۹) و در دماهای بیش‌بهینه با استفاده از معادله (۸) پیش‌بینی شد.

برآش مدل‌های جوانه‌زنی-گرمایی به داده‌های تجمعی ارقام مختلف کلزا با استفاده از نرم‌افزار SAS و با رویه NLMIXED PROC و به روش بهینه‌سازی پیش فرض Dual Quasi-Newton در این نرم‌افزار انجام شد. برای ارزیابی برآش مدل‌ها از شاخص ریشه میانگین مربعات خطأ (RMSE<sup>۴</sup>) و برای انتخاب بهترینتابع توزیع از شاخص آکائیک (AIC<sup>۵</sup>) استفاده شد (Burnham and Anderson, 2002).

$$AIC = n \times \ln(RSS/n) + 2K \quad (10)$$

که RSS<sup>۶</sup> جمع مربعات باقیمانده؛  $n$ ، تعداد نمونه و  $K$ ، تعداد پارامترهای مدل مورد نظر می‌باشد. بهترین مدل در مقایسه مدل‌ها، مدلی است که کمترین میزان AIC<sub>c</sub> محاسبه شده را دارا باشد.

## نتایج و بحث

بذر هر سه رقم کلزا در دمای ۳۲ درجه سانتی‌گراد سرعت جوانه‌زنی بیشتری نسبت به رژیمهای دمایی کمتر و بیشتر از این حد دارا بودند. بنابراین، دمای بهینه برای جوانه‌زنی ( $T_o$ ) جهت انجام رویه‌های رگرسیون غیر خطی و برآورد پارامترهای هر یک از مدل‌ها معادل ۳۲ درجه سانتی‌گراد فرض شد. برآورد پارامترها با استفاده از هر یک از مدل‌ها و همچنین معیارهای ارزیابی نکوبی برآش برای هر سه رقم کلزا در جدول ۱ ارائه شده است. بر مبنای مدل‌های ۱ و ۲،

از یک تابع توزیع تجمعی<sup>۱</sup> دوجمله‌ای<sup>۲</sup> تبعیت می‌کند. از این‌رو، جوانه‌زنی مشاهده شده بر اساس تابع توزیع تجمعی توزیع نرمال بر حسب قضیه حد مرکزی<sup>۳</sup> شبیه‌سازی شد (Chantre et al., 2009). چهار مدل جوانه‌زنی-گرمایی جهت مدل‌سازی پاسخ جوانه‌زنی ارقام بهاره کلزا به دما مورد مقایسه قرار گرفت:

**مدل ۱.** در این مدل  $T_b$  و  $T_m$  برای کل جمعیت بذری ثابت در نظر گرفته شد. در حالی که، تنوغ  $\theta_{T(g)}$  در دماهای زیر بهینه و  $\theta_{Tm(g)}$  در دماهای بیش‌بهینه با استفاده از یک تابع توزیع نرمال توصیف شد. برای این مدل، پیشرفت جوانه‌زنی در طی زمان در دماهای زیر بهینه با استفاده از معادله زیر پیش‌بینی شد:

$$p(\theta_{T(g)}) = \varphi\left[\left(\theta_{T(g)} - \theta_{T(50)}\right) / \sigma_{\theta T}\right] \quad (5)$$

که در این معادله  $\varphi$ ، نسبت جوانه‌زنی بذرها برای هر  $\theta_T$  معین؛  $\Phi$ ، تبدیل لاپلاس انتگرال یا تابع توزیع تجمعی برای توزیع نرمال استاندارد با میانگین صفر و خطای استاندارد یک؛  $\theta_{T(50)}$  میانگین توزیع نرمال (زمان‌گرمایی مورد نیاز برای جوانه‌زنی ۵۰ درصد از جمعیت بذری در دماهای زیر بهینه) و  $\sigma_{\theta T}$ ، انحراف استاندارد توزیع نرمال (اندازه پراکنش توزیع  $\theta_{T(g)}$ ) است. برای دماهای بیش‌بهینه، جوانه‌زنی با استفاده از معادله (۶) پیش‌بینی شد:

$$p(\theta_{Tm(g)}) = \varphi\left[\left(\theta_{Tm(g)} - \theta_{Tm(50)}\right) / \sigma_{\theta Tm}\right] \quad (6)$$

که در این معادله  $\varphi$ ، نسبت جوانه‌زنی بذرها برای هر  $\theta_{Tm}$  معین؛  $\theta_{Tm(50)}$ ، میانگین توزیع نرمال (زمان‌گرمایی مورد نیاز برای جوانه‌زنی ۵۰ درصد از جمعیت بذری در دماهای بیش‌بهینه) و  $\sigma_{\theta Tm}$ ، انحراف استاندارد توزیع نرمال (اندازه پراکنش توزیع  $\theta_{Tm(g)}$ ) است. در این معادله  $\Phi$  بهصورت زیر تعریف می‌شود:

$$\varphi(x) = \frac{1}{\sqrt{2\pi}} \int_0^x e^{-t^2/2} dt \quad (7)$$

**مدل ۲.** در این مدل  $T_b$  و  $T_m$  برای کل جمعیت بذری ثابت در نظر گرفته شد. در حالی که، تنوغ  $\theta_{T(g)}$  در دماهای زیر بهینه و  $\theta_{Tm(g)}$  در دماهای بیش‌بهینه با استفاده از یک تابع توزیع نرمال توصیف شد. در این مدل، پیشرفت جوانه‌زنی در طی زمان در دماهای زیر بهینه با استفاده از رابطه (۵) پیش‌بینی شد. جوانه‌زنی ارقام کلزا در پاسخ به دماهای بیش‌بهینه با استفاده از معادله (۸) توصیف شد:

$$p(T_{m(g)}) = 1 - \left[ \varphi\left[\left(T_{m(g)} - T_{m(50)}\right) / \sigma_{Tm}\right] \right] \quad (8)$$

که در این معادله  $\varphi$ ، نسبت جوانه‌زنی بذرها برای هر  $T_m$  معین؛  $T_{m(50)}$ ، میانگین توزیع نرمال (دمایی که در آن ۵۰ درصد از جمعیت بازدارندگی گرمایی جوانه‌زنی نشان می‌دهند) و  $\sigma_{Tm}$ ، انحراف استاندارد توزیع نرمال (اندازه پراکنش توزیع  $T_{m(g)}$ ) است.

1- Cumulative distribution function

2- Binomial

3- Central limit theorem

پراکنش  $\sigma_{Tm}$ ) در رقم دلگان ( $T_{m(g)}$ ) درجه سانتی گراد) به طور معنی‌داری کوچکتر از  $\sigma_{Tm}$  دو رقم دیگر کلزا برآورد شد (جدول ۱). معیارهای نکوبی برازش (AICc و RMSE) نشان دادند که وقتی  $T_b$  و  $\theta_{Tm}$  برای کل جمعیت بذری ثابت فرض شد و توزیع نرمال برای توصیف تنوع  $\theta_{T(g)}$  در دماهای زیر بهینه و  $T_{m(g)}$  در دماهای بیش‌بهینه به کار رفت (مدل جوانه‌زنی-گرمایی ۲)، مدل برازش بهتر و دقیق‌تری به داده‌های جوانه‌زنی هر سه رقم کلزا داشت. بر عکس، در هر سه رقم کلزا بیشترین مقادیر AICc و RMSE وقتی به دست آمد که هر دوی  $\theta_T$  و  $T_m$  برای کل جمعیت بذری ثابت فرض شد (مدل (۳) جدول ۱). روابط بین  $\theta_{T(g)}$  مشاهده شده و پیش‌بینی شده (مدل‌های ۳ و ۴) مشاهده شده و پیش‌بینی شده (مدل‌های ۱ و ۳) و  $T_{m(g)}$  مشاهده شده و پیش‌بینی شده (مدل‌های ۲ و ۴) برای ارقام مختلف کلزا در شکل‌های (۱-۳) ارائه شده است. چنانچه مقادیر واقعی و پیش‌بینی شده منطبق بر هم باشند، بدیهی است که مدل به درستی الگوهای جوانه‌زنی مشاهده شده را توضیح می‌دهد. تطابق بیشتر رابطه بین  $\theta_T$  واقعی و پیش‌بینی شده و  $T_m$  واقعی و پیش‌بینی شده برای کسرهای مختلف جوانه‌زنی در این اشکال حاکی از آن است که مدل جوانه‌زنی-گرمایی ۲ در هر سه رقم کلزا دوره‌های زمانی جوانه‌زنی در پاسخ به دما را بهتر از سایرین توضیح داده است.

بر اساس توزیع تجمعی وارونه توزیع نرمال و خروجی‌های مدل ۲، زمان گرمایی مورد نیاز در دماهای زیر بهینه برای رسیدن درصد جوانه‌زنی نهایی به ۱۰ (۰) و ۹۰ درصد ( $\theta_{T(90)}$ ) از حداکثر در رقم ساری گل به ترتیب معادل  $273/32$  و  $465/22$  درجه سانتی گراد ساعت برآورد شد (شکل ۱). همچنین،  $T_m$  برای احتمال جوانه‌زنی ۱۰ (۰) و ۹۰ درصد ( $T_{m(90)}$ ) برای این رقم به ترتیب معادل  $35/07$  و  $33/57$  درجه سانتی گراد پیش‌بینی شد (شکل ۱). برای رقم دلگان،  $\theta_{T(10)}$  و  $\theta_{T(90)}$  به ترتیب معادل  $241/05$  و  $516/00$  درجه سانتی گراد ساعت و  $T_{m(10)}$  و  $T_{m(90)}$  به ترتیب معادل  $34/30$  و  $33/66$  درجه سانتی گراد پیش‌بینی شد (شکل ۲). در رقم  $RGS003$ ،  $\theta_{T(10)}$  و  $\theta_{T(90)}$  به ترتیب معادل  $263/52$  و  $452/26$  درجه سانتی گراد ساعت و  $T_{m(10)}$  و  $T_{m(90)}$  به ترتیب معادل  $35/27$  و  $33/56$  درجه سانتی گراد پیش‌بینی شد (شکل ۳). این پارامترها به همراه سایر خروجی‌های مدل جوانه‌زنی-گرمایی ۲ جهت محاسبه سرعت جوانه‌زنی زیر جمعیت‌های جوانه‌زنی درصد (روابط (۲) و (۴)) مورد استفاده قرار گرفت (شکل ۱، ۵۰ و ۹۰ درصد (روابط (۲) و (۴))) مقدار  $T_o$  برای هر رقم کلزا در هر زیر جمعیت از طریق محاسبه نقطه قطع توابع پاسخ دمایی زیر بهینه و بیش‌بهینه تعیین شد (Hardegree, 2006). بر این اساس، مقدار  $T_o$  محاسبه شده برای زیر جمعیت‌های مختلف ثابت نبود. مقدار  $T_o$  برای  $10$  ( $T_{o(10)}$ )،  $50$  ( $T_{o(50)}$ ) و  $90$  درصد ( $T_{o(90)}$ ) جوانه‌زنی رقم ساری گل به ترتیب معادل  $31/85$ ،  $31/85$  و  $31/64$  درجه سانتی گراد تعیین شد (شکل ۴A).

حداقل دمای لازم برای جوانه‌زنی ( $T_b$ ) رقم دلگان معادل  $7/13$  درجه سانتی گراد برآورد شد که این مقدار به طور معنی‌داری بزرگتر از برآورد  $T_b$  برای رقم ساری گل ( $5/66$  درجه سانتی گراد) و  $RGS003$  ( $5/86$  درجه سانتی گراد) بود. بر اساس همین دو مدل، زمان گرمایی مورد نیاز برای جوانه‌دار شدن نیمی از جمعیت بذری در دماهای زیر بهینه ( $\theta_{T(50)}$ ) برای ارقام مختلف کلزا بین  $357/82$  (دلگان) تا  $378/76$  (دلگان) درجه سانتی گراد ساعت متغیر بود. همچنین، اندازه پراکنش  $\sigma_{T(g)}$  در رقم دلگان ( $107/09$  درجه سانتی گراد ساعت) به طور معنی‌داری بیشتر از ارقام ساری گل ( $74/87$  درجه سانتی گراد ساعت) و  $RGS003$  ( $73/64$  درجه سانتی گراد ساعت) بود (جدول ۱). زمان گرمایی مورد نیاز برای جوانه‌زنی همه بذرها در دماهای زیر بهینه در مدل‌های جوانه‌زنی-گرمایی ۳ و ۴ ثابت فرض شد. بر این اساس، ثابت  $\theta_T$  برای ارقام ساری گل، دلگان و  $RGS003$  به ترتیب معادل  $371/90$ ،  $383/81$  و  $362/65$  درجه سانتی گراد ساعت برآورد شد که از این نظر تنها بین ارقام دلگان و  $RGS003$  اختلاف معنی‌داری وجود داشت (جدول ۱). میانگین توزیع  $T_b$  جمعیت بذری  $RGS003$  ( $T_{b(50)}$ ) بر مبنای این مدل‌ها برای ارقام ساری گل و (به طور متوسط  $5/56$  درجه سانتی گراد) به طور معنی‌داری کوچکتر از رقم دلگان ( $7/41$  درجه سانتی گراد) برآورد شد. همچنین، برآورد اندازه پراکنش توزیع ( $\sigma_{Tb}$ ) برای رقم دلگان ( $146$  درجه سانتی گراد) به طور معنی‌داری بزرگتر از دو رقم دیگر کلزا (به طور متوسط  $0/95$  درجه سانتی گراد) بود (جدول ۱).

برآورد دمای بیشینه برای جوانه‌زنی ( $T_m$ ) بر مبنای مدل‌های ۱ و ۳ برای ارقام مختلف کلزا بین  $34/23$  (دلگان) تا  $34/17$  (ساری گل) درجه سانتی گراد متغیر بود. بر مبنای این مدل‌ها، زمان گرمایی مورد نیاز برای جوانه‌زنی نیمی از جمعیت بذری در دماهای بیش‌بهینه ( $\theta_{Tm(50)}$ ) برای رقم  $RGS003$  معادل  $27/83$  درجه سانتی گراد ساعت برآورد شد که به طور معنی‌داری کمتر از  $\theta_{Tm(50)}$  برآورد شده برای رقم ساری گل ( $33/08$  درجه سانتی گراد ساعت) و برای این رقم نیز به طور معنی‌داری کمتر از برآورد  $\theta_{Tm(50)}$  برای رقم دلگان ( $39/04$  درجه سانتی گراد ساعت) بود. اندازه پراکنش توزیع ( $\sigma_{\theta Tm}$ ) برای رقم  $D$  درجه سانتی گراد دلگان ( $10/03$ ) درجه سانتی گراد ساعت) به طور معنی‌داری کوچکتر از ارقام ساری گل و (به طور متوسط  $19/35$  درجه سانتی گراد ساعت) برآورد شد (جدول ۱).

میان ارقام کلزا از نظر ثابت  $\theta_{Tm}$  برآورد شده با مدل‌های جوانه‌زنی-گرمایی ۲ یا ۴ اختلاف معنی‌داری وجود نداشت و به طور متوسط برای همه ارقام حدود  $33/31$  درجه سانتی گراد ساعت به دست آمد. بر اساس این دو مدل، برآورد میانگین ( $T_{m(50)}$ ) برای رقم دلگان ( $33/98$  درجه سانتی گراد) به طور معنی‌داری کوچکتر از برآورد این پارامتر برای رقم ساری گل ( $34/32$  درجه سانتی گراد) یا ( $34/42$  درجه سانتی گراد) بود. به طور مشابه، اندازه  $RGS003$

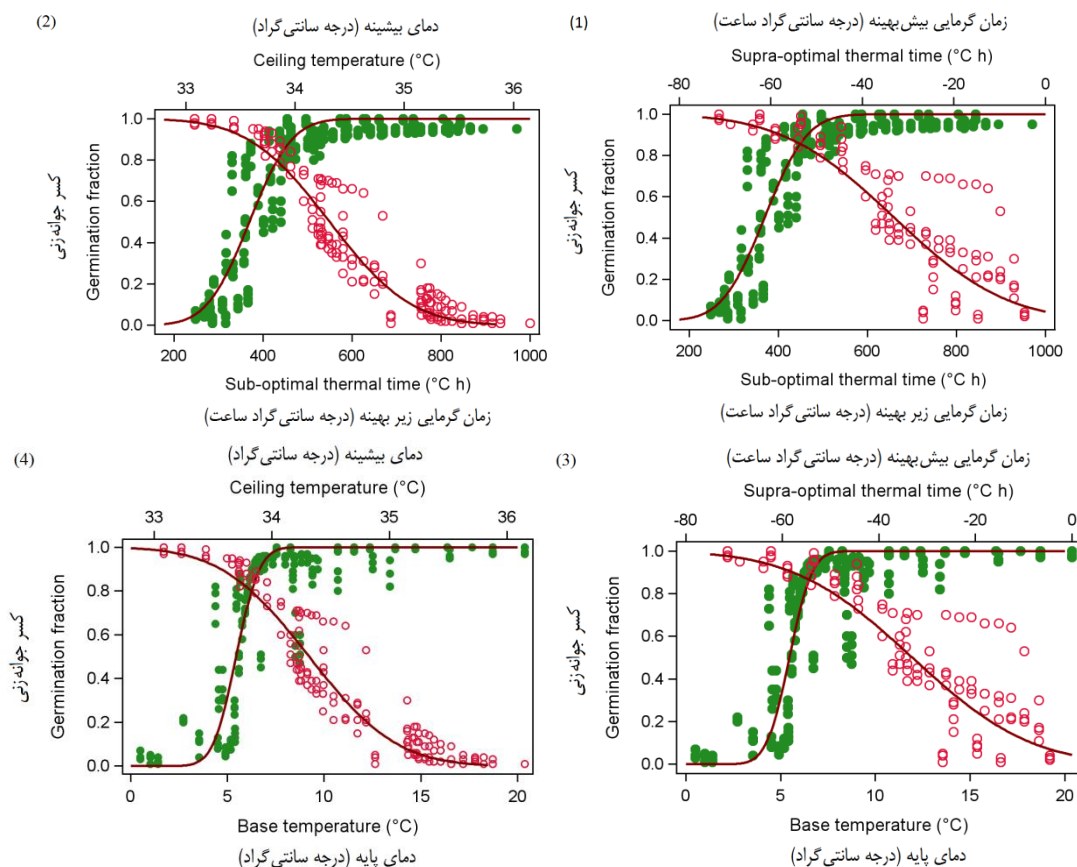
جدول ۱- برآورد پارامترها و ارزیابی نجوبی بروزش برای مدل‌های مختلف جوانه‌زنی-گرمایی بروزش به جوانه‌زنی تجمعی ارقام که در دامنه‌ای از دمایان ثابت

Table 1- Parameters estimates and goodness of fit assessment for different thermal-germination models fitted to cumulative germination of oilseed rape cultivars across a range of constant temperatures

Parameter $s^*$	Sarigol				Dalgan				RG003			
	Model 1	Model 2	Model 3	Model 4	Model 1	Model 2	Model 3	Model 4	Model 1	Model 2	Model 3	Model 4
$T_b$ (°C)	5.66±0.04	5.66±0.04	-	-	7.13±0.02	7.13±0.02	-	-	5.86±0.04	5.86±0.04	-	-
$\theta_{T(50)}$ (°C h)	369.27±3.55	369.27±3.55	-	-	378.76±4.01	378.76±4.01	-	-	357.89±3.51	357.89±3.51	-	-
$\sigma_{\theta T}$ (°C h)	74.87±3.23	74.87±3.23	-	-	107.09±4.52	107.09±4.52	-	-	73.64±3.19	73.64±3.19	-	-
$\theta_T$ (°C h)	-	-	371.90±2.57	371.90±2.57	-	-	383.81±7.74	383.81±7.74	-	-	362.65±2.1	362.65±2.17
$T_{b(50)}$ (°C)	-	-	5.46±0.05	5.46±0.05	-	-	7.41±0.08	7.41±0.08	-	-	5.66±0.05	5.66±0.05
$\sigma_{Tb}$ (°C)	-	-	0.95±0.06	0.95±0.06	-	-	1.46±0.10	1.46±0.10	-	-	0.95±0.05	0.95±0.05
$T_m$ (°C)	34.23±0.01	-	34.23±0.01	-	34.17±0.01	-	34.17±0.01	-	34.22±0.01	-	34.22±0.01	-
$\theta_{Tm(50)}$ (°C h)	33.08±1.02	-	33.08±1.02	-	39.04±0.73	-	39.04±0.73	-	27.83±1.03	-	27.83±1.03	-
$\sigma_{Tm}$ (°C h)	19.31±1.10	-	19.31±1.10	-	10.03±0.88	-	10.03±0.88	-	19.40±1.11	-	19.40±1.11	-
$\theta_{Tm}$ (°C h)	-	34.55±0.83	-	34.55±0.83	-	33.76±0.77	-	33.76±0.77	-	31.62±0.83	-	31.62±0.83
$T_{m(50)}$ (°C)	-	34.32±0.03	-	34.32±0.03	-	33.98±0.25	-	33.98±0.25	-	34.42±0.03	-	34.42±0.03
$\sigma_{Tm}$ (°C)	-	0.59±0.03	-	0.59±0.03	-	0.25±0.02	-	0.25±0.02	-	0.67±0.03	-	0.67±0.03
RMSE	0.1122	0.0952	0.1100	0.1174	0.1158	0.1391	0.1377	0.1206	0.0984	0.1292	0.1087	-
AICc	-938.8	-1142.0	-805.0	-963.4	-1022.0	-1042.0	-778.9	-793.1	-821.1	-1066.0	-738.4	-945.7

\* $T_b$ =The base temperature for the entire seed population;  $\theta_{T(50)}$ =The thermal time required for 50% germination of seed population at sub-optimal temperatures;  $\sigma_{\theta T}$ =Standard deviation of the normal distribution of sub-optimal thermal time;  $\theta_T$ =The thermal time required to complete germination at sub-optimal temperatures;  $T_{b(50)}$ =The base temperature for 50% germination of seed population;  $\theta_{Tb}$ =Standard deviation of the normal distribution of base temperatures in seed population;  $T_m$ =The maximum temperature for the entire seed population;  $\theta_{Tm(50)}$ =The thermal time required for 50% germination of seed population at supra-optimal temperatures;  $\sigma_{Tm}$ =Standard deviation of the normal distribution of supra-optimal thermal time;  $\theta_{Tm}$ =The thermal time required to complete germination at supra-optimal temperatures;  $T_{m(50)}$ =The maximum temperature to inhibit 50% germination of seed population in seed population; AICc= Akaike Information Criteria.

نمای پایه کل جمعیت بذری؛  $\theta_T$ = زمان گرمایی موردنیاز برای جوانه‌زنی. ۵- درصد از جمعیت بذری در دمایان زیاده کل جمعیت بذری ( $\theta_{Tm(50)}$ ):  $T_m$ = دمای پیشنهادی اساتیدار توزیع زرمال دهی پایه جمعیت بذری ( $\theta_{Tm(50)}$ ):  $T_{m(50)}$ = دمای پیشنهادی لازم برای تکمیل جوانه‌زنی در دمایان پیشنهادی:  $\sigma_{Tm}$ = دامای پیشنهادی توزیع زرمال دهی پیشنهادی:  $\theta_{Tm}$ = زمان گرمایی لازم برای میانگین مراعات کمالاً تکمیل جوانه‌زنی در دمایان پیشنهادی:  $\theta_{Tm}$ = رشته میانگین مراعات کمالاً تکمیل جوانه‌زنی در دمایان پیشنهادی:  $\sigma_{Tm}$ = انحراف استاندارد توزیع زرمال دهی پیشنهادی:  $\sigma_{Tm}$ = انحراف اساتیدار توزیع زرمال دهی پیشنهادی:  $\sigma_{Tm}$ = RMSE:  $\sigma_{Tm}$ = Standard deviation of seed population;  $\sigma_{Tm}$ = Standard deviation of the normal distribution of maximum temperatures in seed population;  $T_{m(50)}$ = The maximum temperature to inhibit 50% germination of seed population in seed population; AICc= Akaike Information Criteria.



شکل ۱- روابط بین زمان گرمایی زیر بهینه مشاهده شده (دایره‌های پر) و پیش‌بینی شده، زمان گرمایی بیش‌بهینه مشاهده شده (دایره‌های خالی) و پیش‌بینی مشاهده شده (دایره‌های خالی) و پیش‌بینی شده برای کسرهای مختلف جوانه‌زنی رقم ساری گل بر مبنای مدل‌های جوانه‌زنی-گرمایی ۱ تا ۴.

Figure 1- Relations between observed (filled circles) and predicted sub-optimal thermal time, observed (filled circles) and predicted base temperature, and observed (open circles) predicted supra-optimal thermal time and observed (open circles) and predicted maximum temperature for different germination fractions of cv. Sarigol based on the thermal-germination models 1-4.

بازدارندگی گرمایی<sup>۱</sup> جوانه‌زنی نشان می‌دهند، یعنی چنانچه دما از حد معینی فراتر رود جوانه‌زنی کسر معینی از جمعیت بذری متوقف خواهد شد. به این ترتیب، احتمال جوانه‌زنی هر زیر جمعیت حاصل ترکیبی از دو توزیع نرمال تجمعی برای هر دوی زمان گرمایی و دماهای بیشینه خواهد بود.

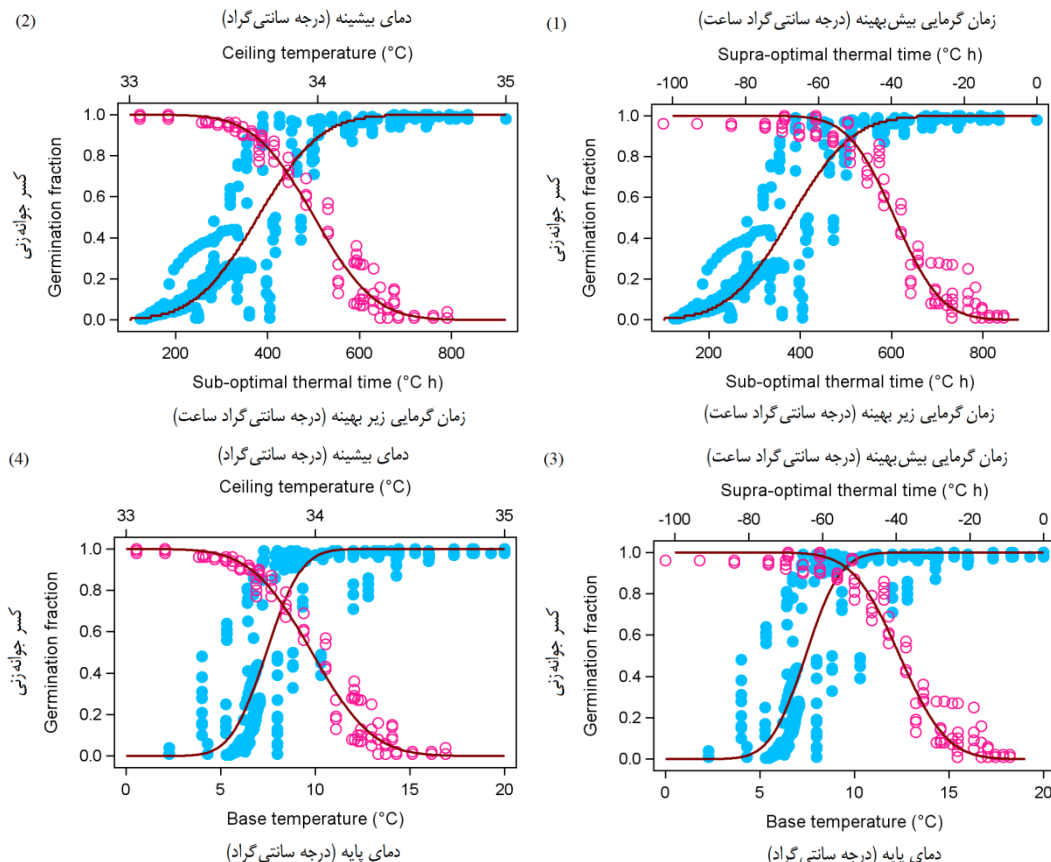
برخلاف نتایج این پژوهش، چتر و همکاران (Chantre *et al.*, 2009) گزارش کردند که  $T_b$  برای درصدهای مختلف جوانه‌زنی علف‌هزار سنگدانه متغیر بود و از این‌رو مدل زمان گرمایی مشمول این فرض پیش‌بینی دقیق تری از پیشرفت جوانه‌زنی ارائه داد. عدم ثبات و تنوع  $T_b$  درون جمعیت بذری در چندین مطالعه دیگر گزارش شده است (Forcella *et al.*, 2000; Wang *et al.*, 2004; Hardegree, 2006). اما، نکته‌ای که باید به آن توجه داشت این

همچنین، ( $T_{o(10)}$ ،  $T_{o(50)}$  و  $T_{o(90)}$ ) برای رقم دلگان به ترتیب معادل ۳۰/۹۶ و ۳۲/۰۱ درجه سانتی‌گراد (شکل ۴B) و برای رقم RGS003 به ترتیب معادل ۳۲/۰۸ و ۳۲/۰۶ درجه سانتی‌گراد محاسبه شد (شکل ۴C).

بر اساس نتایج مشاهده شده، دقیق‌ترین رهیافت زمان گرمایی برای شبیه‌سازی پاسخ جوانه‌زنی هر سه رقم بهاره کلزا به دماهای ثابت با فرض توزیع نرمال برای هر دوی زمان گرمایی زیر بهینه و دماهای بیشینه در جمعیت بذری به دست آمد. بر مبنای این رویکرد، یک حداقل دما برای جوانه‌زنی کل بذرهای هر جمعیت لازم است. در حالی که، در دماهای بیش‌بهینه یک مقدار ثابت زمان گرمایی برای جوانه‌زنی کل جمعیت بذری وجود دارد، جوانه‌زنی هر کسر معین از جمعیت بذری در دماهای زیر بهینه به تجمع واحدهای معین زمان گرمایی وابسته است. بذرها در دماهای بیش‌بهینه فرآیند

جمعیت‌های بذری غیر زراعی ممکن است با تنوع ژنتیکی داخل این جمعیت‌ها (Wang *et al.*, 2004) یا ناهمگونی شرایط محیطی در دوره بلوغ بذر (Baskin and Baskin, 1998) در ارتباط باشد.

است که در اغلب این گزارش‌ها مدل‌های جوانه‌زنی-گرمایی برای گونه‌های غیر زراعی توسعه یافته‌اند. در حالی که، در همه مدل‌های راهه شده برای ارقام گیاهان زراعی  $T_b$  به عنوان یک ویژگی ثابت جمعیت بذری گزارش شده است (Garcia-Huidobro *et al.*, 2004).



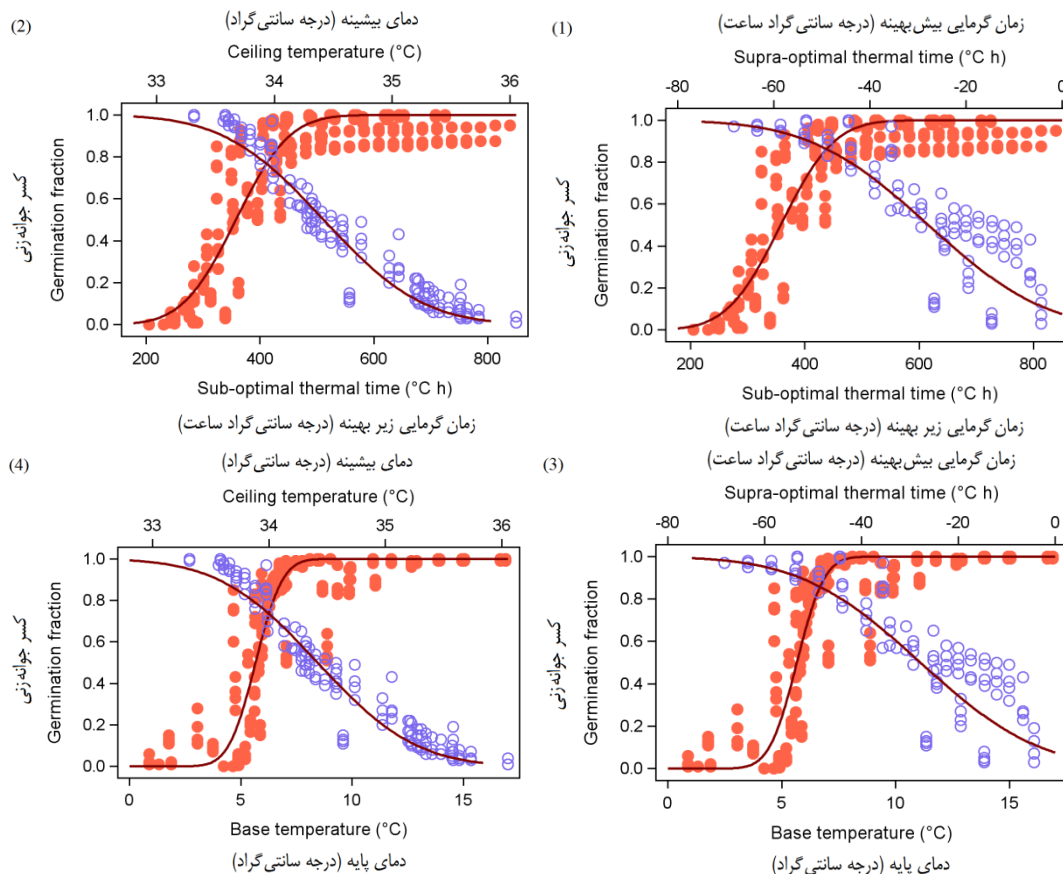
شکل ۲- روابط بین مقادیر زمان‌گرمایی مشاهده شده (دایره‌های پر) و پیش‌بینی شده در دماهای زیر بهینه، دمای پایه مشاهده شده (دایره‌های پر) و پیش‌بینی شده، زمان‌گرمایی پیش‌بینی مشاهده شده (دایره‌های خالی) و پیش‌بینی شده و دمای پیش‌بینی مشاهده شده (دایره‌های خالی) و پیش‌بینی شده برای کسرهای مختلف جوانه‌زنی رقم دلگان بر مبنای مدل‌های جوانه‌زنی-گرمایی ۱ تا ۴.

**Figure 2- Relations between observed (filled circles) and predicted sub-optimal thermal time, observed (filled circles) and predicted base temperature, and observed (open circles) predicted supra-optimal thermal time and observed (open circles) and predicted maximum temperature for different germination fractions of cv. Dalgan based on the thermal-germination models 1-4.**

دمایی کوچکی رخ داد. به طوری که، در رقم دلگان تنها با ۲/۲ درجه‌سانتی‌گراد افزایش دما از دمای بهینه ( $T_{o(50)} = 31/78$  درجه سانتی‌گراد) پاسخ بازدارندگی گرمایی جوانه‌زنی در درصد از RGS003 جمعیت بذری مشاهده شد. همچنین، در ارقام ساری گل و بهترین ۲/۴۷ و ۲/۳۶ درجه سانتی‌گراد افزایش دما از  $T_{o(50)}$  برای کاهش ۵۰ درصدی جوانه‌زنی جمعیت بذری لازم بود. پاسخ بازدارندگی گرمایی جوانه‌زنی بذر اغلب با چرخه زندگی سالانه متداول در اقلیم‌های مدیترانه‌ای با زمستان‌های مرطوب و تابستان‌های خشک در ارتباط است (Nascimento *et al.*, 2013).

همه خروجی‌های مدل زمان‌گرمایی از نظر زیست‌شناسختی معنی‌دار هستند و از این‌رو می‌توانند برای مقایسه واکنش جوانه‌زنی ارقام و گونه‌ها به دما مورد استفاده قرار گیرند. پاسخ جوانه‌زنی ارقام کلزا مورد مطالعه به دماهای پایین متفاوت بود، به طوری که برای  $T_b$  جوانه‌زنی رقم دلگان (۷/۱۳ درجه سانتی‌گراد) بیشتر از ارقام ساری گل و RGS003 (۵/۷۱ درجه سانتی‌گراد) به دست آمد. در این خصوص،  $T_b$  برای ظهور گیاهچه ارقام بهاره کلزا در سطح خاک بین ۷/۸۹ تا ۱۰/۹۴ درجه سانتی‌گراد گزارش شده است (Jafari *et al.*, 2012). در هر سه رقم کلزا فرآیند بازدارندگی گرمایی جوانه‌زنی بذر در گستره

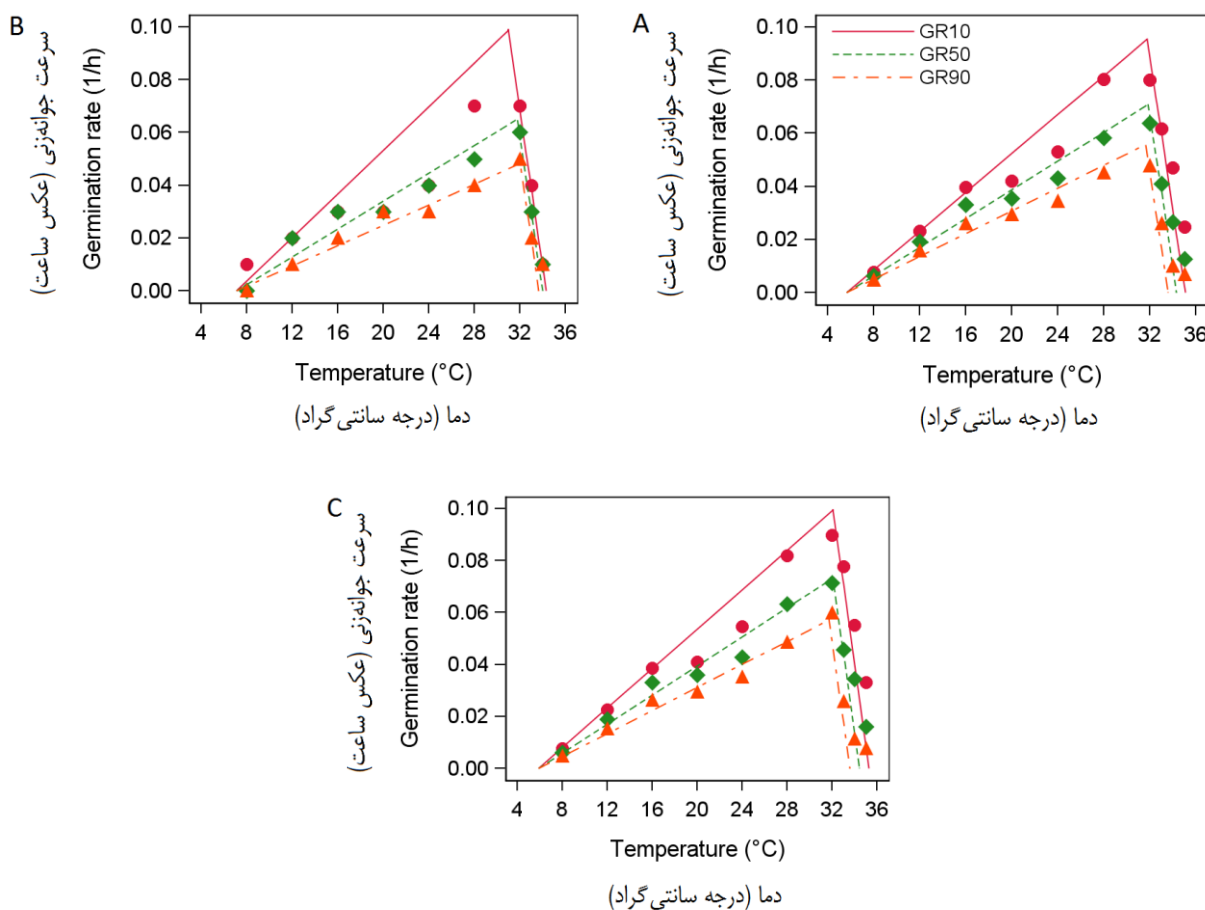
تعیین کننده زمان تا جوانه‌زنی کسرهای مختلف جمعیت بذری است. بنابراین، هرچه این پارامترها کوچکتر باشند گستره یا اندازه پراکنش زمان جوانه‌زنی کسرهای مختلف بذری کوچکتر و در نتیجه یکنواختی جوانه‌زنی جمعیت بذری در دماهای زیر بهینه بیشتر می‌باشد.  $\sigma_{Tm}$  گسترهای از دماهای بیش بهینه را نشان می‌دهد که در آن دماها جوانه‌زنی جمعیت بذری محتمل است. بنابراین، هرچه این پارامتر کوچکتر باشد گستره دماهایی که بذرها قادر به جوانه‌زنی هستند کوچکتر و یکنواختی جوانه‌زنی جمعیت بذری در دماهای بیش بهینه بیشتر است. هرچند تفاوت چشمگیری میان ارقام کلزا از نظر سرعت جوانه‌زنی در سطوح دمایی زیر بهینه یا بیش بهینه مشاهده نشد، اما یکنواختی جوانه‌زنی جمعیت بذری رقم دلگان در سطوح دمایی زیر بهینه کمتر از ارقام دیگر و گستره دماهای محتمل برای جوانه‌زنی این رقم کوچکتر از ارقام دیگر کلزا بود.



شکل ۳- روابط بین مقادیر زمان گرمایی مشاهده شده (دایره‌های پر) و پیش‌بینی شده در دماهای زیر بهینه، دمای پایه مشاهده شده (دایره‌های پر) و پیش‌بینی شده، زمان گرمایی بیش بهینه مشاهده شده (دایره‌های خالی) و پیش‌بینی شده و دمای پایه (دایره‌های خالی) و پیش‌بینی شده برای کسرهای مختلف جوانه‌زنی جوانه‌زنی-گرمایی ۱ تا ۴.

Figure 3- Relations between observed (filled circles) and predicted sub-optimal thermal time, observed (filled circles) and predicted base temperature, and observed (open circles) predicted supra-optimal thermal time and observed (open circles) and predicted maximum temperature for different germination fractions of cv. RGS003 based on the thermal-germination models 1-4.

جوانه‌زنی بذرهایی که در اوایل تابستان ریزش می‌کنند تا فرآرسیدن دماهای خنک‌تر و بارش‌های مطمئن‌تر فصل پاییز به تأخیر می‌افتد (Huo and Bradford, 2015). بنابراین، این پاسخ بازدارندگی جوانه‌زنی در ارقام کلزا، هرچند در دامنه دمایی کوچک، نوعی تطبیق‌پذیری اکولوژیکی محسوب می‌شود و می‌تواند به بقاء بذر آنها تحت شرایط متغیر دمای خاک در طی فصل تابستان و ظهور به عنوان علف‌هرز خودرو در فصل پاییز کمک کند. پارامترهای  $\theta_{T(50)}$  و  $\theta_{Tm}$  به ترتیب معیاری از سرعت جوانه‌زنی جمعیت بذری در سطوح دمایی زیر بهینه و بیش بهینه هستند. هرچه این پارامترها کوچکتر باشند سرعت جوانه‌زنی جمعیت بذری در سطوح گوناگون دمایی بیشتر است. همچنین، پارامترهای  $\sigma_{\theta T}$  و  $\sigma_{Tm}$  به ترتیب معیاری از یکنواختی جوانه‌زنی جمعیت بذری در سطوح دمایی زیر بهینه و بیش بهینه هستند. در مدل جوانه‌زنی-گرمایی نوع  $T$  در دماهای زیر بهینه  $\theta_T$  در مدل جوانه‌زنی-گرمایی ۱ تا ۴.



شکل ۴- رابطه بین سرعت جوانه‌زنی مشاهده شده (نمادها) و پیش‌بینی شده (خطوط) و دما برای کسرهای ۱۰ (GR10)، ۵۰ (GR50) و ۹۰ درصد (GR90) جوانه‌زنی در ارقام ساریگل (A)، دلگان (B) و (C) RGS003 (B)

**Figure 4- Relation between observed (symbols) and predicted (lines) germination rate and temperature for fractions 10, 50 and 90% germination in Sarigol (A), Dalgan (B) and RGS003 (C) cultivars**

وقتی  $T_b$  و  $\theta_{Tm}$  برای کل جمعیت بذری ثابت فرض شد و توزیع نرمال برای توصیف تنوع  $\theta_{T(g)}$  در دماهای زیر بهینه و  $T_{m(g)}$  در دماهای بیش‌بهینه به کار رفت، مدل برآش بهتر و دقیق‌تری به دوره‌های زمانی جوانه‌زنی هر سه رقم بهاره کلزا در پاسخ به دماهای ثابت داشت. این مدل جوانه‌زنی-گرمایی الگوهای جوانه‌زنی مشاهده شده در ارقام مختلف کلزا را به خوبی توصیف کرد. آستانه‌های گرمایی که در این مطالعه برای ارقام کلزا تعیین شد تفاوت جوانه‌زنی این جمعیت‌های بذری در پاسخ به دما را به خوبی توضیح می‌دهد.

آستانه‌های گرمایی که در این مطالعه برای ارقام بهاره کلزا تعیین شد مقادیر اولیه مورد نیاز برای پیش‌بینی زمان از آبتوشی تا جوانه‌زنی بذر را به عنوان نخستین مرحله نموی گیاه زراعی در اختیار قرار می‌دهد. برای پیش‌بینی دقیق سبز شدن این گیاه می‌توان زمان گرمایی مورد نیاز برای این مرحله را به مقدار مورد نیاز از جوانه‌زنی تا ظهرور در سطح خاک اضافه کرد.

### نتیجه‌گیری

در مجموع، ارزیابی فرض‌های مدل زمان‌گرمایی نشان داد که

### References

1. Alvarado, V., and Bradford, K. J. 2002. A hydrothermal time model explains the cardinal temperatures for seed germination. *Plant, Cell & Environment* 25 (8): 1061-1069.
2. Baskin, C. C., and Baskin, J. M. 1998. Seeds: ecology, biogeography, and evolution of dormancy and germination. San Diego, CA: Academic Press.

3. Bradford, K. J. 2002. Applications of hydrothermal time to quantifying and modeling seed germination and dormancy. *Weed Science* 50 (2): 248-260.
4. Burnham, K. P., and Anderson, D. R. 2002. *Model Selection and Multimodel Inference: A Practical Information-Theoretic Approach*. Springer, New York, USA.
5. Chantre, G. R., Batlla, D., Sabbatini, M. R., and Orioli, G. 2009. Germination parameterization and development of an after-ripening thermal-time model for primary dormancy release of *Lithospermum arvense* seeds. *Annals of Botany* 103 (8): 1291-1301.
6. Covell, S., Ellis, R. H., Roberts, E. H., and Summerfield, R. J. 1986. The influence of temperature on seed germination rate in grain legumes. I. A comparison of chickpea, lentil, soybean, and cowpea at constant temperatures. *Journal of Experimental Botany* 37 (5): 705-715.
7. Ellis, R. H., Covell, S., Roberts, E. H., and Summerfield, R. J. 1986. The influence of temperature on seed germination rate in grain legumes. II. Intraspecific variation in chickpea (*Cicer arietinum* L.) at constant temperatures. *Journal of Experimental Botany* 37 (10): 1503-1515.
8. Forcella, F., Benech-Arnold, R. L., Sanchez, R., and Ghersa, C. M. 2000. Modelling seedling emergence. *Field Crops Research* 67 (2): 123-139.
9. Garcia-Huidobro, J., Monteith, J. L., and Squire, G. R. 1982. Time, temperature and germination of pearl millet (*Pennisetum typhoides* S. & H.). I. Constant temperature. *Journal of Experimental Botany* 33 (2): 288-296.
10. Hardegree, S.P. 2006. Predicting germination response to temperature. III. Model validation under field-variable temperature conditions. *Annals of Botany* 98 (4): 827-834.
11. Hardegree, S. P., and Van Vactor, S. S. 2000. Germination and emergence of primed grass seeds under field and simulated-field temperature regimes. *Annals of Botany* 85 (3): 379-390.
12. Huo, H., and Bradford, K. J. 2015. Molecular and hormonal regulation of thermoinhibition of seed germination. PP 3-33 in J.V. Anderson ed. *Advances in Plant Dormancy*. Springer International Publishing Switzerland.
13. Jafari, N., Esfahani, M., and Sabouri, A. 2012. Assessment of non-linear regression models to evaluate response of seedling emergence rate to temperature in three oil seed rape seed cultivars. *Iranian Journal of Field Crop Science* 42 (4): 857-868. (in Persian with English abstract).
14. Mesgaran, M. B., Rahimian Mashhad, H. R., Alizadeh, H., Ohadi, S., and Zare, A. 2014. Modeling the germination responses of wild barley (*Hordeum spontaneum*) and littleseed canary grass (*Phalaris minor*) to temperature. *Iranian Journal of Weed Science* 9 (2): 105-118. (in Persian with English abstract).
15. Nascimento, W. M., Huber, D. J., and Cantliffe, D. J. 2013. Carrot seed germination and respiration at high temperature in response to seed maturity and priming. *Seed Science and Technology* 41 (1): 164-169.
16. Qiu, J., Bai, Y., Coulman, B., and Romo, J. T. 2006. Using thermal time models to predict seedling emergence of orchardgrass (*Dactylis glomerata* L.) under alternating temperature regimes. *Seed Science Research* 16 (4): 261-271.
17. Soltani, A., and Sinclair T. R. 2011. A simple model for chickpea development growth and yield. *Field Crops Research* 124 (2): 252-260.
18. Soltani, A., Robertson, M. J., Torabi, B., Yousefi-Daz, M., and Sarparast, R. 2006. Modelling seedling emergence in chickpea as influenced by temperature and sowing depth. *Agricultural and Forest Meteorology* 138 (1-4): 156-167.
19. Steadman, K. J. 2004. Dormancy release during hydrated storage in *Lolium rigidum* seeds is dependent on temperature, light quality, and hydration status. *Journal of Experimental Botany* 55 (398): 929-937.
20. Wang, R., Bai, Y., and Tanino, K. 2004. Effect of seed size and sub-zero imbibitions temperature on the thermal time model of winterfat (*Eurotia lanata* (Pursh) Moq.). *Environmental and Experimental Botany* 51 (3): 183-197.
21. Zhang, H., McGill, C. R., Irving, L. J., Kemp, P. D., and Zhou, D. 2012. A modified thermal time model to predict germination rate of ryegrass and tall fescue at constant temperatures. *Crop Science* 53 (1): 240-249.



## Application of Thermal-time Concept to Modeling Oilseed Rape (*Brassica napus* L.) Seed Germination Response to Temperature

A. Derakhshan<sup>1</sup>- A. Bakhshandeh<sup>1\*</sup>- S. A. Siadat<sup>1</sup>- M. R. MoradiTlavat<sup>1</sup>- B. Andarzian<sup>2</sup>

Received: 21-11-2016

Accepted: 12-07-2017

### Introduction

In seed plants, seed germination is one of the important life history events, because it determines the time when a new life cycle is initiated. Temperature (T) is one of the most important environmental determinants of capacity and rate of germination. Base, optimum and ceiling T (cardinal temperatures) characterize the limit of this environmental factor over which the germination of a particular species can occur. The thermal-time approach has been successful in describing germination time courses in response to T, and most models predicting crop phenological development use a thermal-time scale to normalize for T variation over time. A clear understanding of the seed germination patterns is helpful in screening for tolerance of crops and cultivars to either low or high temperatures and in identifying geographical areas where a species or genotype can germinate and establish successfully by using the critical lower and upper temperatures for germination. Information on cardinal temperatures is lacking for germination of spring oilseed rape (*Brassica napus* L.), as one of the world's major oilseed crops. The aim of the present work was to evaluate the relative accuracy of different thermal-time approaches for the description of germination in three cultivars of spring oilseed rape.

### Materials and Methods

Germination responses of three spring oilseed rape cultivars were investigated at different constant temperatures. The seeds were incubated in the dark using germinators with controlled environments at eleven constant T regimes of 8, 12, 16, 20, 24, 28, 32, 33, 34, 35 and 36 °C with a range of  $\pm 0.2$  °C over a 21-day period. These T regimes cover both the sub- and supra-optimal T ranges. The trial was replicated three times with 4 Petri-dishes in each replication, for a total of 12 Petri-dishes for each cultivar at each T regime. The germinated seeds (criterion, radicle protrusion of > 2 mm) were counted and removed at frequent time intervals (every 4-8 h). Germination counts at each replicate of each T regime were pooled by cultivar across trials for data analysis. Cumulative germination percentage was calculated for every cultivar and T regime for every count-hour. The time taken for cumulative germination to reach subpopulation percentiles of 10, 50 and 90% of maximum in each T regime were calculated by interpolation from the progress of germination (%) versus time curve. Experimentally obtained cumulative-germination curves were used to perform a non-linear regression procedure to assess the relative accuracy of different thermal-germination models in predicting germination response under constant incubation temperatures. Assessment of goodness-of-fit was performed by the Akaike information criterion (AIC).

### Results and Discussion

The most accurate approach for simulating the thermal-germination response of all three spring oilseed rape cultivars achieved by assuming a normal distribution of both thermal-time required to complete the germination of each given seed fraction in sub-optimal T range ( $\theta_{T(g)}$ ) and maximum germination temperatures ( $T_{m(g)}$ ), while base T ( $T_b$ ) or supra-optimal thermal-time ( $\theta_{Tm}$ ) were considered constant for the entire population. According to this model, the base T for different cultivars ranged from 5.66 (cv. Sarigol) to 7.13 °C (cv. Dalgan). Estimated  $\theta_{Tm}$  varied between 31.62 to 34.55 °C h for different spring oilseed rape cultivars. A  $\theta_{T(50)}$  of 369.27 °C h and a  $T_{m(50)}$  of 34.32 °C were identified for seed population of cv. Sarigol. The  $\theta_{T(50)}$  was estimated to be 378.76 °C h for cv. Dalgan and 357.89 °C h for cv. RGS003. The  $T_{m(50)}$  for germination of cv. Dalgan and cv. RGS003 was estimated to be 33.98 and 34.42 °C, respectively. In all three cultivars, calculated values for optimum T ( $T_o$ ) were not constant across subpopulations. The  $T_{o(50)}$  was estimated to be 31.85 °C for cv. Sarigol, 31.78 °C for cv. Dalgan and 32.06 °C for cv. RGS003. Thermal-time analysis, although an empirical method, is considered by

1- Department of Plant Production and Genetics Engineering, Faculty of Agriculture, Khuzestan University of Agricultural Sciences and Natural Resources

2- Seed and Plant Improvement Department, Research and Education Center of Agricultural and Natural Resources of Khuzestan, Agricultural Research Education and Extension Organization (AREEO)

(\*- Corresponding Author Email: Abakhshandeh@ramin.ac.ir)

many researchers to have physiologically and ecologically relevant parameters and, in its standard form, provides several useful indices of seed germination behavior in response to T. Despite its popularity, the generality of its assumptions has not been examined systematically. If these assumptions do not hold, at least approximately, in a particular situation, misleading interpretations can easily arise.

### Conclusions

The thermal thresholds for seed germination identified in this study explain the differences in seed germination detected among populations of different spring oilseed rape cultivars. The thermal-time model described here gave an acceptable explanation of the observed seed germination patterns.

**Keywords:** Akaike information criterion, Cardinal temperatures, Cumulative distribution function, Normal distribution, Thermal units



## اثرات تاریخ کاشت، کود زیستی حاوی باکتری‌های حل کننده فسفات و محلول پاشی عناصر روی و بور بر صفات فیزیولوژیک و زراعی گندم نان (رقم افلاک)

حسین کمائی<sup>۱</sup> - حمید رضا عیسوند<sup>۲\*</sup> - فرهاد نظریان<sup>۳</sup>

تاریخ دریافت: ۱۳۹۵/۰۹/۲۵

تاریخ پذیرش: ۱۳۹۶/۰۴/۲۱

### چکیده

به منظور بررسی اثرات تاریخ کاشت، کود زیستی حاوی باکتری‌های حل کننده فسفات و محلول پاشی عناصر روی و بور بر صفات فیزیولوژیک و زراعی گندم نان (رقم افلاک)، آزمایشی به صورت اسپلیت فاکتوریل در قالب طرح پایه بلوك‌های کامل تصادفی با ۱۶ تیمار و سه تکرار در سال زراعی ۱۳۹۴-۹۵ در شهرستان رامهرمز اجرا گردید. عامل‌های آزمایشی شامل تاریخ کاشت در دو سطح مناسب (۳۰ آبان) و تأخیری (۱۵ دی) به عنوان عامل اصلی و کاربرد کود زیستی حاوی باکتری‌های حل کننده فسفات در دو سطح عدم بذر مال و بذر مال و محلول پاشی عناصر روی و بور در چهار سطح با آب (شاهد)، روی، بور و روی + بور (هر کدام سه لیتر در هکتار) به صورت فاکتوریل به عنوان عامل فرعی بودند. نتایج نشان داد که با تأخیر در کاشت به دلیل تنفس گرمای انتهایی غیر از میزان بروگ کلروفیل برگ (SPAD)، شخص پایداری غشای سلول، حداقل عملکرد کوتانومی فتوسیستم II (Fv/Fm)، عملکرد دانه، عملکرد بیولوژیک و شخص برداشت به طور معنی داری کاهش یافت. اثر متقابل تلقیح بذر با کود زیستی حاوی باکتری‌های حل کننده فسفات و محلول پاشی عناصر روی و بور غیر از شخص برداشت، صفات شخص کلروفیل برگ (SPAD)، میزان پروولین برگ، شخص پایداری غشای سلول، Fv/Fm، عملکرد دانه و عملکرد بیولوژیک را به ترتیب به طور معنی داری به میزان ۱۲/۲۹٪، ۳/۳۷٪، ۳٪ و ۴/۴۸٪، ۳/۰۲٪، ۱۷/۲۵٪ و ۲۲/۰۴٪ تحت تاریخ کاشت تأخیری بهبود بخشید. در این آزمایش مشاهده شد که تیمار تلقیح بذر با کود زیستی حاوی باکتری‌های حل کننده فسفات نسبت به تیمار محلول پاشی عناصر روی و بور همچنین محلول پاشی عنصر روی نسبت به بور تأثیر بیشتری در بهبود صفات فیزیولوژیک و افزایش عملکرد دانه و بیولوژیک گندم نان (رقم افلاک) در هر دو تاریخ کاشت مناسب و تأخیری داشت.

**واژه‌های کلیدی:** تنفس گرم، عناصر ریزمندی، غلات، کلروفیل

### مقدمه

گندم نان (*Triticum aestivum* L.) یکی از منابع مهم غذایی در میان محدود گیاهان زراعی عمدۀ جهان به شمار می‌رود (Modhej and Fathi, 2008). گندم از نظر میزان تولید، مهمترین گیاه زراعی در جهان بوده و تولید آن در سال زراعی ۲۰۱۴-۲۰۱۵ به حدود ۷۱۷ میلیون تن رسید (Mansouri and Hosseinpour, 2015).

در ایران سالانه حدود ۶/۵ میلیون هکتار به زیر کشت گندم می‌رود (۲/۵ میلیون هکتار آبی و ۴ میلیون هکتار دیم) که حدود ۱۰ درصد از این سطح زیر کشت (حدود ۶۵۰ هزار هکتار) در مناطق

جنوبی از جمله خوزستان با تنفس گرمای انتهایی فصل در طی گل‌دهی و دوره پر شدن دانه مواجه می‌شود که باعث کاهش ۵ تا ۴۰ درصدی عملکرد در این مناطق می‌شود (Jalal Kamali and Duveiller, 2008). تنفس گرمای انتهایی ناشی از تأخیر در کاشت موجب کاهش شخص کلروفیل برگ (SPAD) و حداقل عملکرد کوتانومی فتوسیستم II (Graham and McDonald, 2001) (Kumar et al., 2012; Molassiotis et al., 2006)، تجمع ROS و کاهش شخص پروولین (Mohammadi et al., 2010; Moshattati et al., 2012) در این مناطق پایداری غشای سلول (Rasheed et al., 2012) و تسریع در رسدگی و کاهش عملکرد دانه، عملکرد بیولوژیک و شخص برداشت (Mohammadi, 2012; Moshattati et al., 2010) گردید.

برای رفع کمبود فسفر مورد نیاز گیاهان، این عنصر ضروری و پرمصرف به صورت کودهای شیمیایی فسفردار به خاک اضافه می‌شود که مقادیر زیادی از فسفر موجود در این کودها بعد از ورود به خاک نامحلول شده و در خاک‌های آهکی به ترکیبات نامحلول کلسیم و منیزیم و در خاک‌های اسیدی به فسفات آهن و الومینیوم تبدیل شده

۱- دانشجوی دکتری فیزیولوژی گیاهان زراعی، دانشگاه لرستان

۲- دانشیار، گروه زراعت و اصلاح نباتات، دانشکده کشاورزی، دانشگاه لرستان

۳- استاد، گروه زراعت و اصلاح نباتات، دانشکده کشاورزی، دانشگاه لرستان

(Email: eisvand.hr@lu.ac.ir)

DOI: 10.22067/gsc.v16i1.61058

ROS (Cakmak *et al.*, 1996)، محافظت غشاء در مقابل افزایش شاخص پایداری غشاء سلول (Marschner, 1995)، افزایش کارایی فتوسنتز (Yadavi *et al.*, 2014)، افزایش محیطی (Ghasemian *et al.*, 2012)، افزایش تحمل گیاه به تنش‌های محیطی (Graham *et al.*, 2010) و افزایش عملکرد گندم نان (Abdoli *et al.*, 2001 and McDonald, 2001) گزارش دادند. این آزمایش با هدف بررسی اثرات تاریخ کاشت، کود زیستی حاوی باکتری‌های حل‌کننده فسفات و محلول‌پاشی عناصر روی و بور بر صفات فیزیولوژیک و زراعی گندم نان (Triticum aestivum L.) (رقم افالاک) اجرا گردید.

## مواد و روش‌ها

این آزمایش طی سال زراعی ۱۳۹۴-۹۵ به صورت اسپلیت فاکتوریل در قالب طرح پایه بلوک‌های کامل تصادفی با ۱۶ تیمار و سه تکرار در مزرعه‌ای واقع در شهرستان رامهرمز با عرض جغرافیایی ۳۱ درجه و ۱۶ دقیقه شمالی و طول جغرافیایی ۴۹ درجه و ۳۷ دقیقه شرقی با ارتفاع ۱۶۰ متر از سطح دریا اجرا گردید. عامل‌های آزمایشی شامل تاریخ کاشت در دو سطح مناسب (۳۰ آبان‌ماه) و تأخیری (۱۵ دی‌ماه) به منظور مصادف شدن مرحله پر شدن دانه با تنش گرمایی انتهایی (Radmehr, 1997) به عنوان عامل اصلی و کود زیستی حاوی باکتری‌های حل‌کننده فسفات در دو سطح عدم بذر مال و بذر مال با کود زیستی فسفاته (بارور-۲) و چهار سطح محلول‌پاشی با آب (شاهد)، روى (سه لیتر در هکتار)، بور (سه لیتر در هکتار) و روى (سه لیتر در هکتار) + بور (سه لیتر در هکتار) بر اساس نتایج آزمون خاک و توصیه کودی مرکز تحقیقات کشاورزی و منابع طبیعی استان خوزستان در سه مرحله پنج‌هزاری (Aown *et al.*, 2012)، غلاف رفت (Zoz *et al.*, 2012) و گرده‌افشانی (Asthir *et al.*, 2012) به صورت فاکتوریل به عنوان عامل فرعی بودند. برای محلول‌پاشی عنصر غذایی روى از کلات - روى هفت و نیم درصد و برای محلول‌پاشی عنصر غذایی بور از بور پنج درصد (محصولات شرکت زرافشان) استفاده گردید. در این آزمایش از رقم گندم افالاک استفاده گردید. رقم افالاک گندم دارای ویژگی‌هایی همچون تیپ رشد بهاره، میانگین ارتفاع بوته ۹۴ سانتی‌متر، متوسط رس، میانگین وزن هزار دانه ۴۰ گرم، نیمه مقاوم به خوابیدگی، متتحمل به ریزش، متتحمل به گرمای، نیمه حساس به خشکی و میانگین عملکرد دانه ۶۵۰۰ کیلوگرم در هکتار بوده و مخصوص کشت در مناطق گرم و خشک جنوب می‌باشد (Modhej and Fathi, 2008).

خاک محل آزمایش دارای بافت رسی سیلتی با نفوذپذیری اندک بود. از مشخصات این خاک می‌توان به میزان پایین پتاسیم، عناصر ریزمغذی و ماده آلی و میزان بالای فسفر، اسیدیته و شوری اشاره کرد (جدول ۱). آمار ایستگاه

و از دسترس گیاه خارج می‌شود (Naiman *et al.*, 2009). کود زیستی فسفاته (بارور-۲) شامل مجموعه‌ای از باکتری‌های حل‌کننده فسفات از جنس‌های *Bacillus* و *Pseudomonas* می‌باشد که قادرند فسفر نامحلول در خاک را به فرم محلول دسترس گیاه تبدیل کنند (Yousefpoor and Yadavi, 2013). آزمایش‌های مختلف نشان داد که تلقيق بذور گندم با کود زیستی فسفاته حاوی باکتری‌های حل‌کننده فسفات نسبت به عدم تلقيق موجب افزایش عملکرد دانه (Bahari Saravi and Pyrdaashti, 2013) و افزایش مقاومت گیاهان در شرایط تنش‌های محیطی شد (Koochaki *et al.*, 2008).

در اکثر مناطق ایران pH خاک بالا بوده و آنها آهکی هستند. بنابراین، در این نوع از خاک‌ها حلالیت عناصر غذایی کم مصرف کمتر می‌باشد و این موضوع جذب عناصر غذایی کم مصرف توسط گیاه را کاهش می‌دهد و در نهایت نیاز گیاهان به این عناصر افزایش می‌یابد (Mousavi *et al.*, 2007). بنابراین، بهتر است این عناصر به صورت محلول روی برگ‌ها پاشیده شوند. علاوه بر این، محلول‌پاشی عناصر غذایی را سریعتر در مقایسه با کاربرد خاکی برای گیاهان فراهم می‌کند (Yassen *et al.*, 2010). مقاومت به تنش‌های مختلف از طریق محلول‌پاشی عناصر غذایی کم مصرف افزایش می‌یابد (Ghasemian *et al.*, 2010). روی یک عنصر غذایی ضروری کم مصرف برای گیاهان است که نقش بسیار مهمی در سنتز پروتئین و کربوهیدرات‌ها، اعمال متابولیکی سلول، محافظت غشاء در مقابل رادیکال‌های آزاد اکسیژن و سایر فرآیندهای مرتبط با سازگاری گیاهان به تنش‌ها داشت (Marschner, 1995). محلول‌پاشی عنصر غذایی روی موجب افزایش شاخص پایداری غشاء سلول نسبت به شرایط عدم محلول‌پاشی شد (Yadavi *et al.*, 2014). بور، به عنوان یک عنصر غذایی کم مصرف، به طور مستقیم یا غیرمستقیم در بسیاری از فرآیندهای فیزیولوژیکی و بیوشیمیایی در طول رشد گیاه مانند طویل شدن سلول، تقسیم سلولی، بیوسنتز دیواره سلولی، فعلیت غشاء و فرآیندهای غشایی، متابولیسم نیتروژن، فتوسنتز برگ و سنتز اوراسیل دخیل می‌باشد (Zhao, 2011). محلول‌پاشی بور موجب افزایش تجمع پرولین در برگ شد، که تجمع پرولین می‌تواند یک مکانیزم سریع برای حفاظت سلولی و تورژسانس بافت‌ها در پاسخ به تنش باشد (Moeinian *et al.*, 2011). بور می‌تواند فعالیت آنتی اکسیدانت‌های گیاهی را افزایش دهد و در نتیجه آسیب انواع اکسیژن Waraich *et al.*, (ROS) ناشی از تنش دما را کاهش دهد (2012). محلول‌پاشی روى و بور و اثر متقابل آنها بر روی گیاه گندم موجب افزایش عملکرد دانه، عملکرد بیولوژیک و شاخص برداشت نسبت به عدم کاربرد محلول‌پاشی شد (Ali *et al.*, 2009).

دانشمندان بسیاری تأثیر مثبت عناصر غذایی کم مصرف به خصوص عنصر غذایی روی را بر افزایش فعالیت آنتی اکسیدانت

۱۰ میلی‌متر آب مقطر انتقال یافت. این نمونه‌ها در دمای آزمایشگاه ۲۵ درجه سانتی‌گراد) بر روی شیکر با ۱۰۰ دور در دقیقه برای مدت ۲۴ ساعت قرار داده شد و  $EC_1$  (نشت اولیه) آن‌ها با استفاده از دستگاه هدايت الکترونیکی تعیین گردید. سپس نمونه‌ها در اتوکلاو و در دمای هدايت الکترونیکی تعیین گردید.  $EC_2$  (نشت ثانویه) آن‌ها با استفاده از دستگاه ۱۲۰ درجه سانتی‌گراد به مدت ۲۰ دقیقه قرار گرفتند و  $EC_2$  (نشت ثانویه) آن‌ها اندازه‌گیری و شاخص پایداری غشای سلول (CMSI) با استفاده از معادله ۱ تعیین شد (Lutts *et al.*, 1996).

$$(1) CMSI = \frac{1 - (EC_1 / EC_2)}{1 - (EC_1 / EC_2)} \times 100$$

که در این معادله  $EC_1$  هدايت الکترونیکی اولیه (نشت اولیه) و  $EC_2$  که در این معادله  $EC_1$  هدايت الکترونیکی اولیه (نشت اولیه) و هدايت الکترونیکی ثانویه (نشت ثانویه) می‌باشد. برای اندازه‌گیری هدايت الکترونیکی عملکرد کواتسومی فتوسیستم II (Fv/Fm) از دستگاه فلئورسانس متر کلروفیل مدل (walz, Germany) و طبق معادله ۲ استفاده شد. اندازه‌گیری تنها یک بار در مرحله پر شدن دانه و بلافضله پس از اندازه‌گیری محتوا کلروفیل برگ از برگ‌های مورد نظر در ساعت اولیه صبح و بعد از ۳۰ دقیقه تاریکی توسط کلیپس‌های مخصوص انجام شد (Van Kooten and Snel, 1990).

$$(2) Fv/Fm = (Fm-F0)/Fm$$

که در این معادله  $Fm$  فلئورسانس حداقل در شرایط سازگار شده با تاریکی،  $F0$  فلئورسانس حداقل در شرایط سازگار شده با تاریکی و  $Fv$  فلئورسانس متغیر ( $Fm-F0$ ) می‌باشد. بهمنظور محاسبه عملکرد دانه، کل سنبله‌های برداشت شده از سطح یک متر مربع در هر کرت پس از حذف  $0.5$  متر از ابتدا و انتهای خطوط کشت مورد نظر با دست خرمون کوبی و سپس دانه‌های به دست آمده توزین و عملکرد دانه به دست آمده در سطح یک متر مربع به هکتار تبدیل شد. برای اندازه‌گیری عملکرد بیولوژیک در مرحله رسیدگی گیاه، پس از حذف  $0.5$  متر از ابتدا و انتهای خطوط کشت مورد نظر در سطح یک متر مربع کل بوته‌ها کف بر و برای هر کرت به طور جداگانه وزن گردید. هم‌چنین شاخص برداشت از طریق تقسیم عملکرد دانه بر عملکرد بیولوژیک به صورت درصد محاسبه گردید. برای تجزیه و تحلیل داده‌ها از نرم‌افزار آماری SAS استفاده شد. در صورت معنی‌دار بودن مقادیر  $F$ ، میانگین‌ها با آزمون LSD و در سطح احتمال پنج درصد مورد مقایسه قرار گرفتند. برای رسم نمودارها از نرم افزار Excel استفاده شد.

## نتایج و بحث

### شاخص کلروفیل برگ (SPAD)

نتایج تجزیه واریانس داده‌ها نشان داد که کلیه اثرات اصلی و متقابل تاریخ کاشت، کود زیستی حاوی باکتری‌های حل کننده فسفات و محلول پاشی عناصر روی و بور بر شاخص کلروفیل برگ (SPAD) گندم نان (رقم افلاک) در سطح  $1\%$  معنی‌دار بودند (جدول ۳). مقایسه

هواشناسی شهرستان رامهرمز به منظور نشان دادن مواجهه مراحل حساس رشد و نمو گندم با دمای بالای انتهای فصل در جدول ۲ آورده شده است. هر کرت، شامل هفت ردیف کاشت سه متری با فاصله ردیف  $20$  سانتی‌متر و تراکم  $400$  بوته در متر مربع بود. در این آزمایش براساس نتایج آزمون خاک مقدار  $350$  کیلوگرم کود اوره در هکتار (در سه مرحله یک سوم قبل از کاشت همراه با کود سولفات پتاسیم و گوگرد، یک سوم در شروع طویل شدن ساقه و یک سوم آخر در آغاز گل‌دهی)،  $150$  کیلوگرم در هکتار کود سولفات پتاسیم و  $300$  کیلوگرم در هکتار گوگرد مصرف گردید. در این آزمایش به دلیل بالا بودن میزان فسفر از دادن کودهای فسفره به زمین زراعی اجتناب گردید. از حدود  $5$  کیلوگرم بذرهای گندم رقم افلاک مورد نیاز جهت کاشت در هر دو تاریخ کاشت، حدود  $2/5$  کیلوگرم آن قبل از کاشت ابتدا روی نایلون‌های جداگانه در سایه پنهان شد و با کمی آب آنها را مروط و سپس با محتوای مورد نیاز یک بسته  $100$  گرمی کود زیستی فسفاته (بارور-۲) (حدود  $1/25$  گرم) مخلوط و اجازه داده شد خشک شود. سپس اقدام به کشت کلیه بذرها به روش دستی و در عمق سه سانتی‌متری شد. آبیاری، کوددهی، مبارزه با علفهای هرز و آفات به گونه‌ای انجام شد که گیاه با تنفس دیگری غیر از تنفس گرمای انتهایی مواجه نگردد. صفات فیزیولوژیک اندازه‌گیری شده در این آزمایش شامل شاخص کلروفیل برگ (SPAD)، میزان پرولین برگ، شاخص پایداری غشای سلول، ماکریم عملکرد کواتسومی فتوسیستم  $(Fv/Fm)$  بودند. برای تعیین شاخص کلروفیل برگ در شرایط مزرعه‌ای تعداد  $10$  بوته از هر کرت آزمایشی در مرحله پر شدن دانه به طور تصادفی انتخاب و از هر بوته  $5$  برگ و از هر برگ  $3$  نقطه با دستگاه کلروفیل سنج دیجیتال مدل SPAD-502 عدد را قرائت و عدد میانگین به عنوان شاخص کلروفیل برگ (SPAD) ثبت گردید. به منظور اندازه‌گیری میزان پرولین  $0/2$  گرم از بافت سبز برگ‌های پرچم  $10$  بوته تصادفی از هر کرت در مرحله پر شدن دانه به همراه  $5$  میلی‌لیتر اتانول  $95$  درصد در هاون کوییده و از کاغذ صافی واتمن شماره  $2$  عبور داده شد. به  $2$  میلی‌لیتر از این محلول،  $2$  میلی‌لیتر اسید استیک خالص و  $2$  میلی‌لیتر اسید ناین هیدرین اضافه و به مدت یک ساعت در حمام بن ماری در دمای  $100$  درجه قرار داده شد.  $4$  میلی‌لیتر تولوئن اضافه و به مدت  $15-20$  ثانیه به شدت به هم زده و میزان نور جذبی در  $520$  نانومتر در دستگاه اسپکتوفوتومتر قرائت شد. میزان پرولین استخراجی براساس میلی‌مول بر گرم وزن تر از جدول استاندارد به دست آمد (Bates *et al.*, 1973). شاخص پایداری غشای سلول از طریق اندازه‌گیری میزان نشت الکترولیت‌های برگ ارزیابی شد. برای این منظور  $10$  برگ پرچم توسعه یافته به طور تصادفی در مرحله پر شدن دانه، از هر کرت برداشت و به آزمایشگاه انتقال و از هر کدام به وسیله پانچ، دیسک‌های  $20$  میلی‌متری تهیه شد. قطعات حاصل پس از آن که سه مرتبه شسته شدند به لوله‌های آزمایش حاوی

کاربرد مجزای عنصر غذایی روی در این آزمایش هم خوانی داشت، اما با نتایج به دست آمده از اثرات متقابل این عنصر با کود زیستی حاوی باکتری‌های حل‌کننده فسفات مطابقت نداشت.

### میزان پرولین برگ

نتایج تجزیه واریانس داده‌ها نشان داد که کلیه اثرات اصلی و متقابل تاریخ کاشت، کود زیستی حاوی باکتری‌های حل‌کننده فسفات و محلول‌پاشی عناصر روی و بور بر میزان پرولین برگ گندم نان (رقم افلاک) در سطح ۱٪ معنی‌دار بودند (جدول ۳). مقایسه میانگین اثرات متقابل سطوح مختلف تاریخ کاشت × کود زیستی حاوی باکتری‌های حل‌کننده فسفات × محلول‌پاشی عناصر روی و بور بر میزان پرولین برگ گندم نان (رقم افلاک) نشان داد که بیشترین میزان این صفت در اثرات متقابل تاریخ کاشت مناسب آبان‌ماه × بذر مال با کود زیستی حاوی باکتری‌های حل‌کننده فسفات × محلول‌پاشی عناصر روی با میانگین ۶۳/۷ و کمترین آن با ۲۴/۳۳ درصد کاهش در اثرات متقابل تاریخ کاشت تأخیری ۱۵ دی‌ماه × عدم بذر مال با کود زیستی حاوی باکتری‌های حل‌کننده فسفات × محلول‌پاشی عناصر بور با میانگین ۴۸/۲ به دست آمد (شکل ۱).

میانگین اثرات متقابل سطوح مختلف تاریخ کاشت × کود زیستی حاوی باکتری‌های حل‌کننده فسفات × محلول‌پاشی عناصر روی و بور بر شاخص کلروفیل برگ (SPAD) گندم نان (رقم افلاک) نشان داد که بیشترین میزان این صفت در اثرات متقابل تاریخ کاشت مناسب آبان‌ماه × بذر مال با کود زیستی حاوی باکتری‌های حل‌کننده فسفات × محلول‌پاشی عناصر روی با میانگین ۶۳/۷ و کمترین آن با ۲۴/۳۳ درصد کاهش در اثرات متقابل تاریخ کاشت تأخیری ۱۵ دی‌ماه × عدم بذر مال با کود زیستی حاوی باکتری‌های حل‌کننده فسفات × محلول‌پاشی عناصر بور با میانگین ۴۸/۲ به دست آمد (شکل ۱).

این نتایج با یافته‌های Graham and McDonald, 2001 مبنی بر کاهش شاخص کلروفیل برگ (SPAD) در ژنتیپ‌های مختلف گندم تحت تنش گرم و Abd El-Gawad, 2008 مبنی بر افزایش شاخص کلروفیل برگ (SPAD) در نتیجه کاربرد باکتری‌های حل‌کننده فسفات در ذرت مطابقت داشت. Graham and McDonald, 2001 گزارش دادند که اثر متقابل کاربرد روی و تنش گرم با شاخص کلروفیل برگ (SPAD) معنی‌دار نبود اگرچه با افزایش غلظت روی شاخص کلروفیل برگ (SPAD) افزایش نشان داد. این یافته Graham and McDonald, 2001 با نتایج حاصل از

جدول ۱- خصوصیات فیزیکی و شیمیایی خاک محل آزمایش

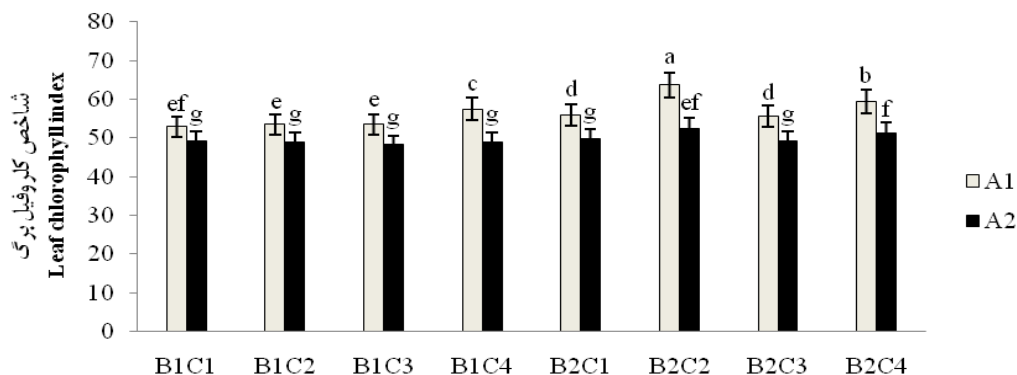
Table 1- Soil physical and chemical properties of experimental location

بور B (kg <sup>-1</sup> )	روی Zn (kg <sup>-1</sup> )	آهن Fe (kg <sup>-1</sup> )	مس Cu (mg kg <sup>-1</sup> )	من Sand (%)	سیلت Silt (%)	شن Clay (%)	رس K (mg kg <sup>-1</sup> )	فسفر P (mg kg <sup>-1</sup> )	پتاسیم O.C (%)	مواد آلی هدایت الکتریکی E.C	بافت خاک Soil texture (dS m <sup>-1</sup> )	
0.71	0.63	2.80	0.90	11	42	47	140	18.6	0.92	7.64	5.8	رسی سیلتی Silty clay

جدول ۲- آمار ایستگاه هواشناسی در طی دوره آزمایش در شهرستان رامهرمز (۱۳۹۴-۹۵)

Table 2- Weather station statistics during the experimental period in the Ramhormoz city (2015-16)

ماه Month	میانگین دمای هوا Mean of air temperature (°C)			رطوبت نسبی RH (%)	بارندگی Precipitation (mm)
	حداکثر Maximum	حداقل Minimum	برآورد نسبی RH (%)		
آبان November	31.5	17.2	42		20.7
آخر December	25.3	11.1	59		86.4
دی January	18.1	8.8	67		67.7
بهمن February	19	9.1	62		49.7
اسفند March	24.7	12.2	52		40.4
فروردین April	32.5	16.7	43		29.4
اردیبهشت May	38.1	23.2	43		29.6



شکل ۱- اثر متقابل تاریخ کاشت × کود زیستی حاوی باکتری‌های حل‌کننده فسفات × محلول‌پاشی عناصر روی و بور بر شاخص کلروفیل برگ (SPAD) گندم نان (رقم افلاک)

**Figure 1- Interaction of planting date × bio-fertilizer containing phosphate solubilizing bacteria × elements foliar application of zinc and boron on leaf chlorophyll index (SPAD) of bread wheat (Aflak cultivar)**

A1: تاریخ کاشت مناسب (۳۰ آبان)، A2: تاریخ کاشت تأخیری (۱۵ دی)، B1: عدم بذر مال، B2: بذر مال با کود زیستی حاوی باکتری‌های حل‌کننده فسفات، C1: محلول‌پاشی با آب، C2: محلول‌پاشی با روی (سه لیتر در هکتار)، C3: محلول‌پاشی با بور (سه لیتر در هکتار) + محلول‌پاشی با روی (سه لیتر در هکتار).

در هر ستون میانگین‌های دارای حروف مشترک تفاوت معنی‌داری در سطح احتمال پنج درصد با آزمون LSD ندارند.

A1: optimum planting date (21 November), A2: late planting date (5 January), B1: seed non-inoculation, B2: seed inoculation with phosphate bio-fertilizer, C1: foliar application by water (control), C2: foliar application by Zinc ( $3 \text{ lit h}^{-1}$ ), C3: foliar application by Boron ( $3 \text{ lit h}^{-1}$ ) and C4: foliar application by Zinc ( $3 \text{ lit h}^{-1}$ ) + Boron ( $3 \text{ lit h}^{-1}$ ).

Means in each column followed by similar letters are not significantly different at 0.05 probability level by LSD test.

جدول ۳- تجزیه واریانس صفات فیزیولوژیک و زراعی گندم نان (رقم افلاک) تحت تأثیر تیمارهای مختلف

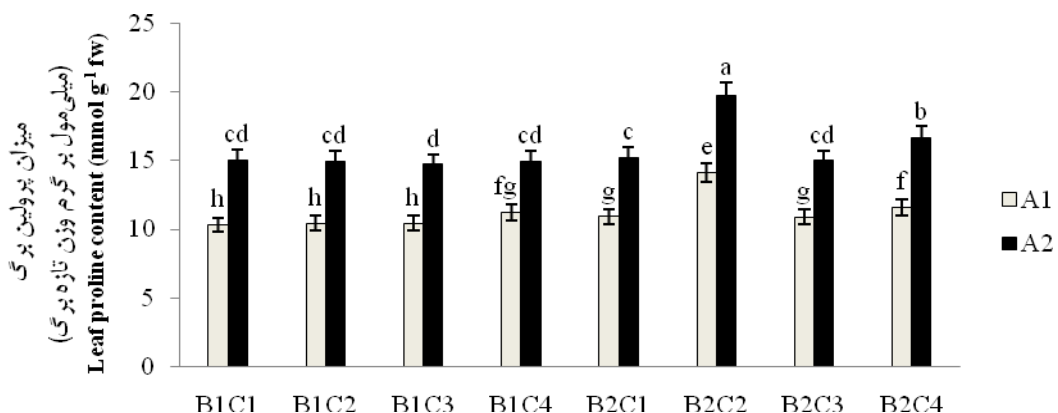
**Table 3- Analysis of variance physiological and agronomic traits of bread wheat (Aflak cultivar) affected by of different treatments**

منابع تغییرات S.O.V	درجه آزادی d.f	شاخص کلروفیل برگ Leaf chlorophyll index	میزان پرولین برگ Leaf proline content	شاخص غشای سلول Cell membrane stability index	حداکثر عملکرد کواتومی فتوسیستم (II) Fv/Fm	حداکثر عملکرد دانه Grainyield	عملکرد بیولوژیک Biological yield	شاخص برداشت Harvest index
(Replication)	2	0.0447 <sup>n.s</sup>	0.0019 <sup>n.s</sup>	0.104 <sup>n.s</sup>	0.000003 <sup>n.s</sup>	166.71 <sup>n.s</sup>	6432.41 <sup>n.s</sup>	0.078 <sup>n.s</sup>
A (تاریخ کاشت)	1	543.784 <sup>**</sup>	148.657 <sup>**</sup>	1695.276 <sup>**</sup>	0.00335 <sup>**</sup>	27503421.81 <sup>**</sup>	86240112.31 <sup>**</sup>	186.71 <sup>**</sup>
(Planting date)								
Error a	2	0.278	0.015	0.442	0.000006	5552.94	43262.32	0.836
خطای الف (کود زیستی)	1	113.098 <sup>**</sup>	27.195 <sup>**</sup>	343.684 <sup>**</sup>	0.0051 <sup>**</sup>	2452134.72 <sup>**</sup>	31242116.23 <sup>**</sup>	26.31 <sup>**</sup>
(bio-fertilizer)								
C (محلول‌پاشی)	3	29.336 <sup>**</sup>	10.863 <sup>**</sup>	97.601 <sup>**</sup>	0.00036 <sup>**</sup>	2341657.21 <sup>**</sup>	3814251.54 <sup>**</sup>	38.21 <sup>**</sup>
(Foliar application)								
A×B	1	19.840 <sup>**</sup>	0.637 <sup>**</sup>	0.136 <sup>n.s</sup>	0.00002 <sup>*</sup>	123028.58 <sup>**</sup>	851132.006 <sup>**</sup>	2.01 <sup>n.s</sup>
B×C	3	18.722 <sup>**</sup>	10.285 <sup>**</sup>	68.205 <sup>**</sup>	0.00052 <sup>**</sup>	2573523.96 <sup>**</sup>	9276412.22 <sup>**</sup>	9.23 <sup>**</sup>
A×C	3	7.613 <sup>**</sup>	0.413 <sup>**</sup>	8.569 <sup>**</sup>	0.00001 <sup>*</sup>	692.64 <sup>n.s</sup>	111356.47 <sup>n.s</sup>	1.57 <sup>n.s</sup>
A×B×C	3	6.931 <sup>**</sup>	0.600 <sup>**</sup>	9.505 <sup>**</sup>	0.000014 <sup>**</sup>	24652.34 <sup>*</sup>	531897.08 <sup>**</sup>	3.61 <sup>**</sup>
Error b	28	0.965	0.066	1.62	0.00007	8614.23	52321.6	0.86
CV ضریب تغییرات (%)		1.8	1.9	1.8	0.2	5.8	7.8	2.5

\*: به ترتیب، غیر معنی‌دار و معنی‌دار بودن در سطح احتمال پنج درصد و یک درصد ns, \* and \*\*: Non significant and significant at  $P<0.05$  and  $P<0.01$ , respectively

خشکی مطابقت داشت. Karmollachaab and Gharineh, 2013 کاهش میزان پرولین در نتیجه کاربرد عنصر روی را در هر دو شرایط تنش و عدم تنش و Moeinian *et al.*, 2011 افزایش تجمع پرولین در نتیجه محلول‌پاشی عنصر بور را در شرایط تنش خشکی گزارش دادند، که با نتایج این آزمایش هم‌خوانی نداشت.

این نتایج با یافته‌های Dhyani *et al.*, 2013 مبنی بر افزایش میزان پرولین در برگ گندم با تأخیر در کاشت و قرار گرفتن در معرض تنش گرمای انتهایی و Parvazi Shandi *et al.*, 2013 مبنی بر افزایش تجمع پرولین در برگ گیاه گندم در نتیجه تلقیح بذر با کود زیستی حاوی باکتری‌های حل‌کننده فسفات تحت شرایط تنش



شکل ۲- اثر متقابل تاریخ کاشت × کود زیستی حاوی باکتری‌های حل‌کننده فسفات × محلول‌پاشی عناصر روی و بور بر میزان پرولین برگ گندم نان (رقم افلاک)

**Figure 2- Interaction of planting date × bio-fertilizer containing phosphate solubilizing bacteria × elements foliar application of zinc and boron on leaf proline content of bread wheat (Aflak cultivar)**

A1: تاریخ کاشت مناسب (۳۰ آبان)، A2: تاریخ کاشت تأخیری (۱۵ دی)، B1: عدم بذر مال، B2: بذر مال با کود زیستی حاوی باکتری‌های حل‌کننده فسفات، C1: محلول‌پاشی با آب، C2: محلول‌پاشی با روی (سه لیتر در هکتار)، C3: محلول‌پاشی با بور (سه لیتر در هکتار) + محلول‌پاشی با بور (سه لیتر در هکتار).

در هر ستون میانگین‌های دارای حروف مشترک تفاوت معنی‌داری در سطح احتمال پنج درصد با آزمون LSD ندارند.

A1: optimum planting date (21 November), A2: late planting date (5 January), B1: seed non-inoculated, B2: seed inoculation with phosphate bio-fertilizer, C1: foliar application by water (control), C2: foliar application by Zinc (3 lit h⁻¹), C3: foliar application by Boron (3 lit h⁻¹) and C4: foliar application by Zinc (3 lit h⁻¹)+ Boron (3 lit h⁻¹).

Means in each column followed by similar letters are not significantly different at 0.05 probability level by LSD test.

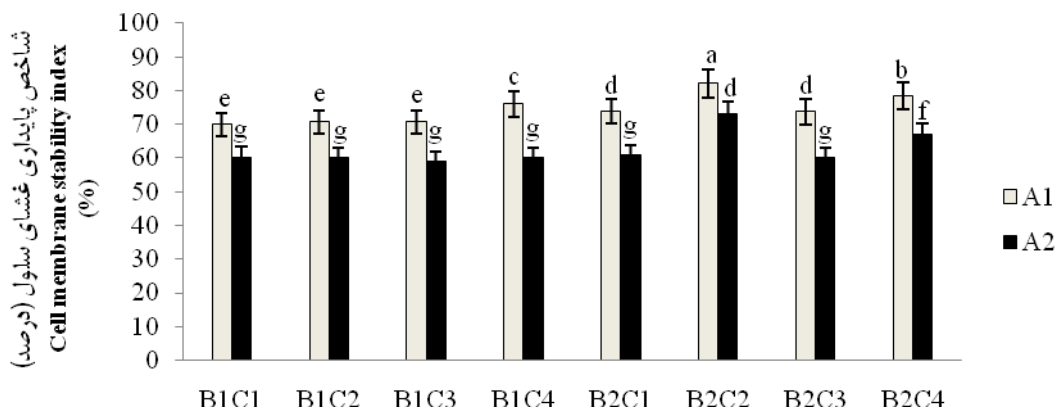
متقابل تاریخ کاشت تأخیری ۱۵ دی ماه × عدم بذر مال با کود زیستی حاوی باکتری‌های حل‌کننده فسفات × محلول‌پاشی عنصر بور با میانگین ۵۹/۰ درصد بدست آمد (شکل ۳). این نتایج با یافته‌های Lee *et al.*, 2005 افزایش میزان نشت الکتروولیتها در شرایط درجه حرارت بالا مطابقت داشت. Parvazi Shandi *et al.* (2013) در آزمایش خود نشان دادند که تلقیح بذر با کود زیستی حاوی باکتری‌های حل‌کننده فسفات موجب کاهش شاخص پایداری غشای سلول (افزایش نشت الکتروولیتها) برگ پرچم گیاه گندم تحت شرایط تنش خشکی شد، که با نتایج این آزمایش هم‌خوانی نداشت. Yadavi *et al.* (2014) گزارش دادند که محلول‌پاشی عنصر روی موجب افزایش شاخص پایداری غشای سلول (کاهش نشت الکتروولیتها) نسبت به شرایط عدم محلول‌پاشی شد. بور می‌تواند فعالیت آنتی اکسیدانت‌های گیاهی

### شاخص پایداری غشای سلول

نتایج تجزیه واریانس داده‌ها نشان داد که غیر از اثر متقابل تاریخ کاشت × کود زیستی حاوی باکتری‌های حل‌کننده فسفات، کلیه اثرات اصلی و متقابل تاریخ کاشت، کود زیستی حاوی باکتری‌های حل‌کننده فسفات و محلول‌پاشی عناصر روی و بور بر شاخص پایداری غشای سلول برگ پرچم گندم نان (رقم افلاک) در سطح ۱٪ معنی‌دار بودند (جدول ۳). مقایسه میانگین اثرات متقابل سطوح مختلف تاریخ کاشت × کود زیستی حاوی باکتری‌های حل‌کننده فسفات × محلول‌پاشی عناصر روی و بور بر شاخص پایداری غشای سلول برگ پرچم گندم نان (رقم افلاک) نشان داد که بیشترین میزان این صفت در اثرات متقابل تاریخ کاشت مناسب ۳۰ آبان ماه × بذر مال با کود زیستی حاوی باکتری‌های حل‌کننده فسفات × محلول‌پاشی عنصر روی با میانگین ۸۲/۱۳ درصد و کمترین آن با ۲۳/۰۷ درصد کاهش در اثرات

هم خوانی نداشت، بلکه تأثیر این عناصر در افزایش شاخص پایداری غشاء سلول بیشتر به صورت اثرات متقابل با کود زیستی حاوی باکتری‌های حل کننده فسفات بود.

را افزایش دهد و در نتیجه آسیب ROS ناشی از تنفس دما بر شاخص پایداری غشاء سلول را کاهش دهد (Waraich *et al.*, 2012). یافته‌های محققین فوق مبنی بر افزایش شاخص پایداری غشاء سلول در نتیجه کاربرد مجزای عناصر روی و بور با نتایج این آزمایش



شکل ۳- اثر متقابل تاریخ کاشت × کود زیستی حاوی باکتری‌های حل کننده فسفات × محلول‌پاشی عناصر روی و بور بر شاخص پایداری غشاء سلول گندم نان (رقم افلاک)

**Figure 3- Interaction of planting date × bio-fertilizer containing phosphate solubilizing bacteria × elements foliar application of zinc and boron on cell membrane stability index of bread wheat (Aflak cultivar)**

A1: تاریخ کاشت مناسب (۳۰ آبان)، A2: تاریخ کاشت تأخیری (۱۵ دی)، B1: عدم بذر مال، B2: عدم بذر مال با کود زیستی حاوی باکتری‌های حل کننده فسفات، C1: محلول‌پاشی با آب، C2: محلول‌پاشی با روی (سه لیتر در هکتار)، C3: محلول‌پاشی با بور (سه لیتر در هکتار) + محلول‌پاشی با بور (سه لیتر در هکتار).

در هر ستون میانگین‌های دارای حروف مشترک تفاوت معنی‌داری در سطح احتمال پنج درصد با آزمون LSD ندارند.

A1: optimum planting date (21 November), A2: late planting date (5 January), B1: seed non-inoculated, B2: seed inoculation with phosphate bio-fertilizer, C1: foliar application by water (control), C2: foliar application by Zinc ( $3 \text{ lit h}^{-1}$ ), C3: foliar application by Boron ( $3 \text{ lit h}^{-1}$ ) and C4: foliar application by Zinc ( $3 \text{ lit h}^{-1}$ ) + Boron ( $3 \text{ lit h}^{-1}$ ).

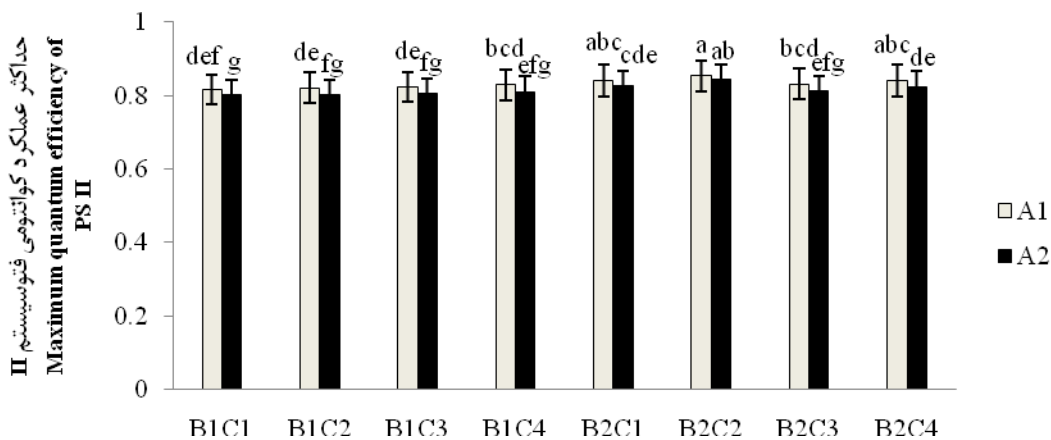
Means in each column followed by similar letters are not significantly different at 0.05 probability level by LSD test.

بذر مال با کود زیستی حاوی باکتری‌های حل کننده فسفات × محلول‌پاشی با آب (شاهد) با میانگین ۶۰/۸۰٪ به دست آمد (شکل ۴). Lu and Zhang (2000) گزارش دادند که در دمای نسبتاً بالا هیچ تغییری در حداکثر عملکرد کوانتوسومی فتوسیستم II (Fv/Fm) II مشاهده نکردند. این یافته Lu and Zhang, 2000 تا نتایج این آزمایش هم خوانی نداشت. همچنین این نتایج با نتایج به دست آمده توسط Shool and Shamshiri, 2014 مبنی بر افزایش حداکثر عملکرد کوانتوسومی فتوسیستم II (Fv/Fm) در نتیجه کاربرد کود زیستی حاوی باکتری‌های حل کننده فسفات مطابقت داشت. در گیاهان محلول‌پاشی عناصر غذایی کم مصرف به صورت مجزا و ترکیبی باعث کاهش نسبت فلورسانس کلروفیل (Fv/Fm) در شرایط تنفس خشکی گردید (Babaeian *et al.*, 2011). نتایج آزمایشات مزرعه‌ای و گلستانی Graham and McDonald, 2001 نشان داد که کاهش در حداکثر عملکرد کوانتوسومی فتوسیستم II (Fv/Fm) II ناشی از درجه حرارت بالا، از طریق افزایش کاربرد عنصر روی به خصوص در ژنتیک‌های گندمی که با کمبود روی مواجه هستند کاهش یافت. نتایج این آزمایش با

حداکثر عملکرد کوانتوسومی فتوسیستم II (Fv/Fm) II  
نتایج تجزیه واریانس داده‌ها نشان داد که غیر از اثر متقابل تاریخ کاشت × کود زیستی حاوی باکتری‌های حل کننده فسفات و تاریخ کاشت × محلول‌پاشی عناصر روی و بور (معنی‌دار بودن در سطح ۵٪)، کلیه اثرات اصلی و متقابل تاریخ کاشت، کود زیستی حاوی باکتری‌های حل کننده فسفات و محلول‌پاشی عناصر روی و بور بر حداکثر عملکرد کوانتوسومی فتوسیستم II (Fv/Fm) II گندم نان (رقم افلاک) در سطح ۱٪ معنی‌دار بودند (جدول ۳). مقایسه میانگین اثرات متقابل سطوح مختلف تاریخ کاشت × کود زیستی حاوی باکتری‌های حل کننده فسفات × محلول‌پاشی عناصر روی و بور بر حداکثر عملکرد کوانتوسومی فتوسیستم II (Fv/Fm) II گندم نان (رقم افلاک) نشان داد که بیشترین میزان این صفت در اثرات متقابل تاریخ کاشت مناسب ۳۰ آبان ماه × بذر مال با کود زیستی حاوی باکتری‌های حل کننده فسفات × محلول‌پاشی عنصر روی با میانگین ۰/۸۵٪ و کمترین آن با ۶/۲۰٪ درصد کاهش در اثرات متقابل تاریخ کاشت تأخیری ۱۵ دی ماه × عدم

داشت.

یافته‌های Babaeian *et al.*, 2011 هم‌خوانی نداشت اما با نتایج به دست آمده توسط Graham and McDonald, 2001 هم‌خوانی



شکل ۴- اثر متقابل تاریخ کاشت × کود زیستی حاوی باکتری‌های حل‌کننده فسفات × محلول‌پاشی عناصر روی و بور بر حداکثر عملکرد کوانتومی فتوسیستم II گندم نان (رقم افلاک)

**Figure 4- Interaction of planting date × bio-fertilizer containing phosphate solubilizing bacteria × elements foliar application of zinc and boron on maximum quantum efficiency of PSII (Fv/Fm) of bread wheat (Aflak cultivar)**

A1: تاریخ کاشت مناسب (۳۰ آبان)، A2: تاریخ کاشت تأخیری (۱۵ دی)، B1: عدم بذر مال با کود زیستی حاوی باکتری‌های حل‌کننده فسفات، C1: محلول‌پاشی با آب، C2: محلول‌پاشی با روی (سه لیتر در هکتار)، C3: محلول‌پاشی با بور (سه لیتر در هکتار) + محلول‌پاشی با بور (سه لیتر در هکتار).

در هر ستون میانگین‌های دارای حروف مشترک تفاوت معنی‌داری در سطح احتمال پنج درصد با آزمون LSD ندارند.

A1: optimum planting date (21 November), A2: late planting date (5 January), B1: seed non-inoculated, B2: seed inoculation with phosphate bio-fertilizer, C1: foliar application by water (control), C2: foliar application by Zinc (3 lit h<sup>-1</sup>), C3: foliar application by Boron (3 lit h<sup>-1</sup>) and C4: foliar application by Zinc (3 lit h<sup>-1</sup>) + Boron (3 lit h<sup>-1</sup>).

Means in each column followed by similar letters are not significantly different at 0.05 probability level by LSD test.

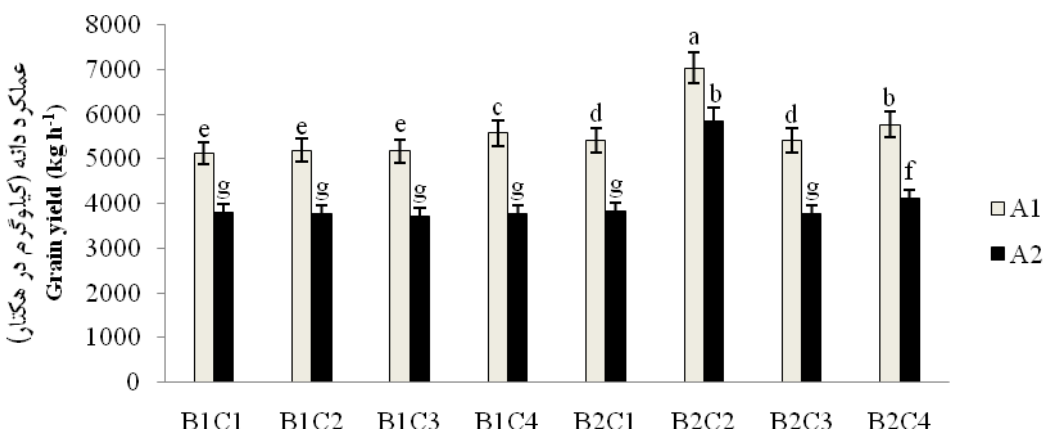
فسفات × محلول‌پاشی عنصر بور با میانگین ۳۷۲۹/۴۴ کیلوگرم در هکتار به دست آمد (شکل ۵). نتایج این آزمایش با نتایج به دست آمده توسط ۲۰۱۲ Mohammadi, Dhyani *et al.*, 2013 و ۲۰۱۲ Mohammadzadeh, 2013 مطابقت داشت. تلقیح بذور گندم با کود زیستی حاوی باکتری‌های حل‌کننده فسفات نسبت به عدم تلقیح موجب افزایش عملکرد دانه و اجزای فسفر زیستی، سبب افزایش مقاومت گیاهان در شرایط تنش‌های محیطی و افزایش عملکرد گردید (Koochaki *et al.*, 2008). نتایج به دست آمده توسط محققین فوق با نتایج این آزمایش مطابقت داشت. محلول‌پاشی با عناصر غذایی کم مصرف موجب افزایش عملکرد و اجزایی عملکرد گندم گردید (Zain *et al.*, 2015). محلول‌پاشی عناصر روی و بور و اثر متقابل آنها بر روی گیاه گندم موجب افزایش عملکرد دانه نسبت به عدم کاربرد محلول‌پاشی گردید (Ali *et al.*, 2009). نتایج به دست آمده توسط محققین فوق مبنی بر افزایش

#### عملکرد دانه

نتایج تجزیه واریانس داده‌ها نشان داد که غیر از اثر متقابل تاریخ کاشت × کود زیستی حاوی باکتری‌های حل‌کننده فسفات × محلول‌پاشی عناصر روی و بور (معنی‌دار بودن در سطح ۵%) کلیه اثرات اصلی و متقابل تاریخ کاشت، کود زیستی حاوی باکتری‌های حل‌کننده فسفات و محلول‌پاشی عناصر روی و بور بر عملکرد دانه گندم نان (رقم افلاک) در سطح ۱٪ معنی‌دار بودند (جدول ۳). مقایسه میانگین اثرات متقابل سطوح مختلف تاریخ کاشت × کود زیستی حاوی باکتری‌های حل‌کننده فسفات × محلول‌پاشی عناصر روی و بور بر عملکرد دانه گندم نان (رقم افلاک) نشان داد که بیشترین میزان این صفت در اثرات متقابل تاریخ کاشت مناسب ۳۰ آبان‌ماه × بذر مال با کود زیستی حاوی باکتری‌های حل‌کننده فسفات × محلول‌پاشی عنصر روی با میانگین ۷۰۵۴/۶۵ کیلوگرم در هکتار و کمترین آن با ۴۷/۱۳ درصد کاهش در اثرات متقابل تاریخ کاشت تأخیری ۱۵ دی‌ماه × عدم بذر مال با کود زیستی حاوی باکتری‌های حل‌کننده

حل کننده فسفات مشاهده گردید و در کاربرد مجازی آنها مشاهده نگردید.

عملکرد دانه با کاربرد عناصر روی و بور تنها در کاربرد تلفیقی روی + بور و اثرات متقابل این عناصر با کود زیستی حاوی باکتری‌های



شکل ۵- اثر متقابل تاریخ کاشت × کود زیستی حاوی باکتری‌های حل کننده فسفات × محلول‌پاشی عناصر روی و بور بر عملکرد دانه گندم نان (رقم افلاک)

**Figure 5- Interaction of planting date × bio-fertilizer containing phosphate solubilizing bacteria × elements foliar application of zinc and boron on grain yield of bread wheat (Aflak cultivar)**

A1: تاریخ کاشت مناسب (۳۰ آبان)، A2: تاریخ کاشت تأخیری (۱۵ دی)، B1: عدم بذر مال با کود زیستی حاوی باکتری‌های حل کننده فسفات، C1: محلول‌پاشی با آب، C2: محلول‌پاشی با روی (سه لیتر در هکتار)، C3: محلول‌پاشی با بور (سه لیتر در هکتار) + محلول‌پاشی با روی (سه لیتر در هکتار).

در هر ستون میانگین‌های دارای حروف مشترک تفاوت معنی‌داری در سطح احتمال پنج درصد با آزمون LSD ندارند.

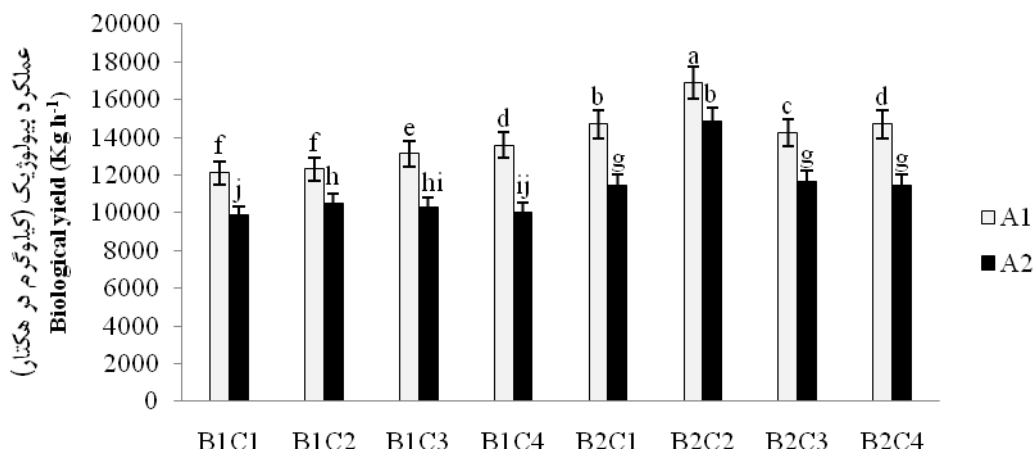
A1: optimum planting date (21 November), A2: late planting date (5 January), B1: seed non-inoculated, B2: seed inoculation with phosphate bio-fertilizer, C1: foliar application by water (control), C2: foliar application by Zinc ( $3 \text{ lit h}^{-1}$ ), C3: foliar application by Boron ( $3 \text{ lit h}^{-1}$ ) and C4: foliar application by Zinc ( $3 \text{ lit h}^{-1}$ ) + Boron ( $3 \text{ lit h}^{-1}$ ).

Means in each column followed by similar letters are not significantly different at 0.05 probability level by LSD test.

فسفات × محلول‌پاشی با آب (شاهد) با میانگین ۹۸۶/۲ کیلوگرم در هکتار به دست آمد (شکل ۶). Moshatati *et al.* (2012) گزارش دادند که تنش گرمای انتهایی ناشی از تأخیر در کاشت موجب تسریع در مراحل رشد و نمو و کاهش عملکرد بیولوژیک در گیاه گندم شد، که با نتایج این آزمایش هم خوانی داشت. استفاده از کود زیستی به انحلال فسفر خاک کمک کرد و میزان فسفر قابل دسترس را در خاک افزایش داد و دسترسی بیشتر گیاه به فسفر سبب رشد بهتر Trolore ریشه و به دنبال آن رشد بیشتر اندام‌های هوایی گیاه گردید (Trollope *et al.*, 2003)، که می‌تواند توجیه کننده افزایش بیولوژیک گندم در نتیجه کاربرد کود زیستی حاوی باکتری‌های حل کننده فسفات باشد. همچنین Ali *et al.*, 2009 در آزمایش خود نشان دادند که کاربرد عناصر روی و بور موجب افزایش عملکرد بیولوژیک در گیاه گندم گردید، که این نتیجه آنها با نتایج این آزمایش مطابقت داشت.

### عملکرد بیولوژیک

نتایج تجزیه واریانس داده‌ها نشان داد که غیر از اثر متقابل تاریخ کاشت × محلول‌پاشی عناصر روی و بور، کلیه اثرات اصلی و متقابل تاریخ کاشت، کود زیستی حاوی باکتری‌های حل کننده فسفات و محلول‌پاشی عناصر روی و بور بر عملکرد بیولوژیک گندم نان (رقم افلاک) در سطح ۱٪ معنی‌دار بودند (جدول ۳). مقایسه میانگین اثرات متقابل سطوح مختلف تاریخ کاشت × کود زیستی حاوی باکتری‌های حل کننده فسفات × محلول‌پاشی عناصر روی و بور بر عملکرد بیولوژیک گندم نان (رقم افلاک) نشان داد که بیشترین میزان این صفت در اثرات متقابل تاریخ کاشت مناسب ۳۰ آبان ماه × بذر مال با کود زیستی حاوی باکتری‌های حل کننده فسفات × محلول‌پاشی عناصر روی با میانگین ۱۶۹۳۴/۱۲ کیلوگرم در هکتار و کمترین آن با ۴۱/۶۱ درصد کاهش در اثرات متقابل تاریخ کاشت تأخیری ۱۵ دی ماه × عدم بذر مال با کود زیستی حاوی باکتری‌های حل کننده



شکل ۶- اثر متقابل تاریخ کاشت × کود زیستی حاوی باکتری‌های حل کننده فسفات × محلول‌پاشی عنصر روى و بور بر عملکرد بیولوژیک گندم نان (رقم افلاک)

**Figure 6- Interaction of planting date × bio-fertilizer containing phosphate solubilizing bacteria × elements foliar application of zinc and boron on biological yield of bread wheat (Aflak cultivar)**

A1: تاریخ کاشت مناسب (۳۰ آبان)، A2: تاریخ کاشت تأخیری (۱۵ دی)، B1: عدم بذر مال، B2: بذر مال با کود زیستی حاوی باکتری‌های حل کننده فسفات، C1: محلول‌پاشی با آب، C2: محلول‌پاشی با روی (سه لیتر در هکتار)، C3: محلول‌پاشی با بور (سه لیتر در هکتار) + محلول‌پاشی با بور (سه لیتر در هکتار).

در هر ستون میانگین‌های دارای حروف مشترک تفاوت معنی‌داری در سطح احتمال پنج درصد با آزمون LSD ندارند.

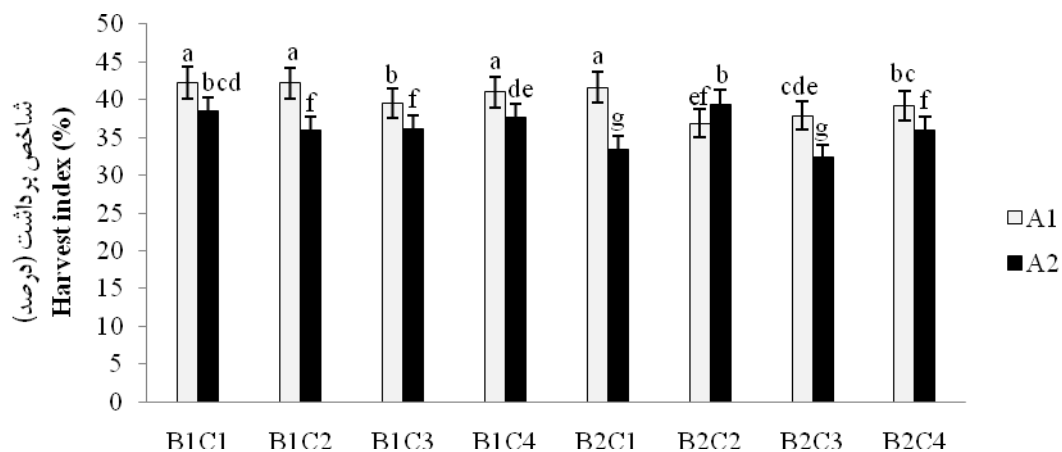
A1: optimum planting date (21 November), A2: late planting date (5 January), B1: seed non-inoculated, B2: seed inoculation with phosphate bio-fertilizer, C1: foliar application by water (control), C2: foliar application by Zinc ( $3 \text{ lit h}^{-1}$ ), C3: foliar application by Boron ( $3 \text{ lit h}^{-1}$ ) and C4: foliar application by Zinc ( $3 \text{ lit h}^{-1}$ ) + Boron ( $3 \text{ lit h}^{-1}$ ).

Means in each column followed by similar letters are not significantly different at 0.05 probability level by LSD test.

کود زیستی فسفاته سبب توسعه بیشتر ریشه، استفاده بهتر گیاه از آب و مواد غذایی خاک، رشد زایشی بیشتر، افزایش عملکرد، در نتیجه افزایش شاخص برداشت شد (Mansouri, 2013). در این آزمایش برخلاف یافته Mansouri, 2013 شاخص برداشت با کاربرد کود زیستی حاوی باکتری‌های حل کننده فسفات نسبت به عدم کاربرد کاهش نشان داد. Abdoli *et al.* (2014) گزارش دادند که محلول‌پاشی عنصر غذایی روی در مراحل مختلف فنولوژیک، غیر از شاخص برداشت سبب افزایش عملکرد و اجزای عملکرد گندم نسبت به عدم محلول‌پاشی شد، که این یافته آن‌ها با نتایج این آزمایش Jafari هم‌خوانی داشت. همچنین نتایج این پژوهش با نتایج Moghadam *et al.*, 2012 مبنی بر افزایش شاخص برداشت با محلول‌پاشی عنصر بور در گیاه گندم نسبت به عدم کاربرد مطابقت نداشت. در این آزمایش مشاهده شد که محلول‌پاشی عنصر روى و بور موجب کاهش شاخص برداشت نسبت به تیمار شهد گردید. دلیل آن را می‌توان به بیشتر بودن عملکرد بیولوژیک و افزایش مخرج کسر در محاسبه شاخص برداشت در تیمارهای اعمال محلول‌پاشی با عنصر روى و بور نسبت به تیمار شاهد نسبت داد.

### شاخص برداشت

نتایج تجزیه واریانس داده‌ها نشان داد که غیر از اثر متقابل تاریخ کاشت × کود زیستی حاوی باکتری‌های حل کننده فسفات و تاریخ کاشت × محلول‌پاشی عنصر روى و بور، کلیه اثرات اصلی و متقابل تاریخ کاشت، کود زیستی حاوی باکتری‌های حل کننده فسفات و محلول‌پاشی عنصر روى و بور بر شاخص برداشت گندم نان (رقم افلاک) در سطح ۱٪ معنی‌دار بودند (جدول ۳). مقایسه میانگین اثرات متقابل سطوح مختلف تاریخ کاشت × کود زیستی حاوی باکتری‌های حل کننده فسفات × محلول‌پاشی عنصر روى و بور بر شاخص برداشت گندم نان (رقم افلاک) نشان داد که بیشترین میزان این صفت در اثرات متقابل تاریخ کاشت مناسب ۳۰ آبان ماه × عدم بذر مال در اثرات متقابل تاریخ کاشت تأخیری ۱۵ دی ماه × بذر مال با کود زیستی حاوی باکتری‌های حل کننده فسفات × محلول‌پاشی با آب با میانگین ۴۲/۴ درصد و کمترین آن با ۱۰/۱ درصد کاهش در اثرات متقابل تاریخ کاشت تأخیری ۱۵ دی ماه × بذر مال با کود زیستی حاوی باکتری‌های حل کننده فسفات × محلول‌پاشی عنصر بور با میانگین ۳۲/۳ درصد به دست آمد (شکل ۷). نتایج این آزمایش با یافته‌های Dhyani *et al.*, 2013 مبنی بر کاهش شاخص برداشت با تأخیر در کاشت مطابقت داشت. استفاده از



شکل ۷- اثر متقابل تاریخ کاشت × کود زیستی حاوی باکتری‌های حل‌کننده فسفات × محلول‌پاشی عناصر روی و بور بر شاخص برداشت گندم نان (رقم افلاک)

**Figure 7- Interaction of planting date × bio-fertilizer containing phosphate solubilizing bacteria × elements foliar application on harvest index of bread wheat (Aflak cultivar)**

A1: تاریخ کاشت مناسب (۳۰ آبان)، A2: تاریخ کاشت تأخیری (۱۵ دی)، B1: عدم بذر مال، B2: عدم بذر مال با کود زیستی حاوی باکتری‌های حل‌کننده فسفات، C1: محلول‌پاشی با آب، C2: محلول‌پاشی با روی (سه لیتر در هکتار)، C3: محلول‌پاشی با بور (سه لیتر در هکتار) + محلول‌پاشی با بور (سه لیتر در هکتار).

در هر ستون میانگین‌های دارای حروف مشترک تفاوت معنی‌داری در سطح احتمال پنج درصد با آزمون LSD ندارند.

A1: optimum planting date (21 November), A2: late planting date (5 January), B1: seed non-inoculated, B2: seed inoculation with phosphate bio-fertilizer, C1: foliar application by water (control), C2: foliar application by Zinc ( $3 \text{ lit h}^{-1}$ ), C3: foliar application by Boron ( $3 \text{ lit h}^{-1}$ ) and C4: foliar application by Zinc ( $3 \text{ lit h}^{-1}$ ) + Boron ( $3 \text{ lit h}^{-1}$ ).

Means in each column followed by similar letters are not significantly different at 0.05 probability level by LSD test.

حل‌کننده فسفات و محلول‌پاشی عناصر روی و بور، کاربرد عنصر روی نسبت به کاربرد تلفیقی آن با بور توانست تأثیر بیشتری در کاهش اثرات مضر ناشی از تأخیر در کاشت داشته باشد. بین صفات فیزیولوژیک اندازه‌گیری شده و صفات زراعی غیر از شاخص برداشت ارتباط مثبت و معنی‌داری مشاهده شد، به‌طوری‌که بهبود صفات فیزیولوژیک تحت اعمال تیمارهای تلقیح بذر با کود زیستی حاوی باکتری‌های حل‌کننده فسفات و محلول‌پاشی عناصر روی و بور موجب افزایش عملکرد گندم و عملکرد بیولوژیک گندم نان (رقم افلاک) تحت تاریخ‌های کاشت مناسب و تأخیری گردید. بنابراین، می‌توان نتیجه گرفت که از روش‌های مدیریتی مناسب از جمله تاریخ کاشت مطلوب، تلقیح بذر با کود زیستی حاوی باکتری‌های حل‌کننده فسفات و محلول‌پاشی عناصر غذایی کم مصرف به خصوص روی می‌توان در جهت بهبود صفات فیزیولوژیک و زراعی گندم نان در مناطق گرم‌سیری از جمله شهرستان رامهرمز بهره برد.

## نتیجه‌گیری

تأخر در کاشت به دلیل تنفس گرمای انتهایی غیر از میزان پرولین موجب کاهش شاخص کلروفیل برگ (SPAD)، میزان پرولین برگ، شاخص پایداری غشاء سلول، عملکرد دانه، عملکرد بیولوژیک و شاخص برداشت گندم نان (رقم افلاک) گردید. تیمار تلقیح بذر با کود زیستی حاوی باکتری‌های حل‌کننده فسفات نسبت به تیمار محلول‌پاشی عناصر روی و بور غیر از شاخص برداشت تأثیر بیشتری در بهبود صفات فیزیولوژیک و زراعی گندم نان (رقم افلاک) نشان داد. با این حال، کاربرد مجزای هر دو عامل نیز غیر از شاخص برداشت موجب کاهش اثرات زیان‌بار تنفس گرمای انتهایی ناشی از تأخیر در کاشت بر صفات مورد اندازه‌گیری، گردید. در بین سطوح مختلف محلول‌پاشی، کاربرد تلفیقی عناصر روی + بور غیر از شاخص برداشت در بهبود صفات فیزیولوژیک و زراعی گندم نان (رقم افلاک) مؤثرتر بود. در بین اثرات متقابل کود زیستی حاوی باکتری‌های

## References

1. Abdoli, M., Esfandiari, E., Mousavi, B., and Sadeghzadeh, B. 2014. Effects of foliar application of zinc sulfate at different phenological stages on yield formation and grain zinc content of bread wheat (cv. Kohdasht). Azarian Journal of Agriculture 1 (1): 11-17. (in Persian).
2. Abd El-Gawad, A. M. 2008. Employment of bio-organic griculture technology for *Zea mays* L. cultivation in

- some desert soils. Research Journal of Agriculture and Biological Sciences 4: 553-565.
3. Ahmadi Lahijani, M. J., and Emam, Y. 2013. Responses of wheat genotypes to late-season drought stress using physiological indicators. Journal of crop production and processing 3 (9): 163-175. (in Persian).
  4. Ali, S., Shah, A., Arif, M., Miraj, G., Ali, I., Sajjad, M., Farhatollah, M., Khan, Y., and Khan, M. 2009. Enhancement of wheat grain yield components through foliar application of zinc and boron. Sarhad Journal of Agriculture 25 (1): 15-19.
  5. Aown, M., Raza, S., Saleem, M. F., Anjum, S. A., Khaliq, T., and Wahid, M. A. 2012. Foliar application of potassium under water deficit conditions improved the growth and yield of wheat (*Triticum aestivum L.*). The Journal of Animal & Plant Sciences 22 (2): 431-437.
  6. Asgarnejad, M. R., Zarei, Gh., and Zarezadeh, A. 2015. Effects of planting date and plant density on yield and yield components of *Brassica nigra* under Abarkooch climatic conditions. Journal of Crop Production 8 (3): 183-198. (in Persian).
  7. Asthir, B., Thapar, R., Farooq, M., and Singh Bains, N. 2012. Exogenous application of thiourea improves the performance of late sown wheat by inducing terminal heat resistance. International Journal of Agriculture and Biology 15: 1337-1342.
  8. Babaeian, M., Heidari, M., and Ghandari, M. 2011. Effect of drought stress and foliar micronutrients on physiological characteristics and nutrient uptake in sunflower (*Helianthus annus L.*). Iranian Journal of Filed Crop Science 2 (4): 377-391. (in Persian).
  9. Bahari Saravi, H., and Pyrdashti, H. A. 2013. Evaluation of plant growth promoting bacteria (PGPR) and phosphate solubilizing (PSM) on yield and yield components wheat (N80 cultivar) at different levels of nitrogen and phosphorus in greenhouse conditions. Iranian Journal of Field Crops Research 10 (4): 681-689. (in Persian).
  10. Barr, H. D., and Weatherley, P. E. 1962. A re-examination of the relative turgidity technique for estimating water deficit in leaves. Australian Journal of Biological Science 15 (1): 413-428.
  11. Bates, L. S., Waldern, R. P., and Teare, E. D. 1973. Rapid determination of free proline for water stress studies. Plant and Soil 39: 205-207.
  12. Cakmak, I., Wolfgang, H. P., and Bonnie, M. C. 1996. Biofortification of durum wheat with zinc and iron. Cereal Chemistry 87 (1): 10-20.
  13. Dhyani, K., Ansari, M. V., Roa, Y., Verma, R. S., Shukla, A., and Tuteja, N. 2013. Comparative physiological response of wheat genotypes under terminal heat stress. Plant Signaling and Behavior 8 (6) e24564: 1-6.
  14. Ghasemian, V., Ghalavand, A., Soroosh Zadeh, A., and Pirzad, A. 2010. The effect of iron, zinc and manganese on quality and quantity of soybean seed. Journal of Phytology 2: 73-79.
  15. Graham, A. W., and McDonald, G. K. 2001. Effect of zinc on photosynthesis and yield of wheat under heat stress. Proceedings of the 10th Australian Agronomy Conference 2001, Australian Society of Agronomy. Hobart, Tasmania, Australia.
  16. Jafari Moghadam, M., Heidari Sharifabad, H., Noormohamadi, G., Sadeghian Motahar, Y., and Siadat, A. 2012. The Effect of Zinc, Boron and Copper Foliar Application, on Yield and Yield Components in Wheat (*Triticum aestivum L.*). Annals of Biological Research 3 (8): 3875-3884.
  17. Jalal Kamali, M. R., and Duveiller, E. 2008. Wheat Production and Research in Iran: A Success Story. In International Symposium on Wheat Yield Potential, Challenges to International Wheat Breeding. 2008. Mexico, D.F. CIMMYT.
  18. Karmollachaab, A., and Gharineh, M. H. 2013. Effect of Zinc Element on Growth, Yield Components and some Physiological Characteristics of Maize under NaCl Salinity Stress. Iranian Journal of Field Crops Research 11 (3): 446-453. (in Persian).
  19. Koochaki, A., Tabrizi, L., and Ghorbani, R. 2008. Effect of biofertilizers on agronomic and quality criteria of Hyssop (*Hyssopus officinalis*). Iranian Journal of Field Crops Research 6 (1): 127-138. (in Persian).
  20. Kumar, R., Goswami, S., Sharma, S. K., Singh, K., Gadpayle, K. A., and Kumar, N. 2012. Protection against heat stress in wheat involves change in cell membrane stability, antioxidant enzyme, osmolyte, H<sub>2</sub>O<sub>2</sub> and transcript of heat shock protein. International Journal of Plant Physiology and Biochemistry 4 (4): 83-91.
  21. Lee, D. G., Ahsan, N., Lee, S. H., and Kang, K. Y. 2005. A proteomic approach in analyzing heat-responsive proteins in rice leaves. Proteomics. 7 (18): 3369-3383.
  22. Lu, C. M., and Zhang, J. H. 2000: Heat-induced multiple effects on PSII in wheat plants. Journal of Plant Physiology 156: 259-265.
  23. Lutts, S., Kinet, J. M., and Bouharmont, J. 1996. NaCl-induced senescence in leaves of rice (*Oryza sativa L.*) cultivars differing in salinity resistance. Journal of Annals of Botany 78: 389-398.
  24. Mansouri, I. 2013. Response of promising line N8119 of wheat to application of phosphate bio-fertilizer. Agricultural Crop Management (Journal of Agriculture) 15 (1): 125-134. (in Persian).
  25. Mansouri, H., and Hosseinpour, S. 2015. The parent specialized company and government commercial of Iran. Cereal Research Centre. International Grains Council: 97-93. (in Persian).
  26. Marschner, H. 1995. Mineral Nutrition of Higher Plants, 2nd ed. Academic Press, New York.

27. Modhej, A., and Fathi, Gh. 2008. Wheat Physiology. Islamic Azad University Puplication (Shushtar branch). pp 317. (in Persian).
28. Moeinian, M. R., Zargari, K., and Hassanpour, J. 2011. Effect of boron foliar spraying application on quality characteristics and growth parameters of wheat grain under drought stress. American-Eurasian Journal of Agricultural and Environmental Science 10 (4): 593-599.
29. Mohammadi, M. 2012. Effects of kernel weight and sourcelimitation on wheat grain yield under heat stress. African Journal of Biotechnology 11 (12): 2931-2937.
30. Molassiotis, A., Sotiropoulos, T., Tanou, G., Diamantidis, G., and Therios, I. 2006. Boron-induced oxidative damage and antioxidant and nucleolytic responses in shoot tips culture of the apple rootstock EM9 (*Malus domestica Borkh*). Environmental and Experimental Botany 56 (1): 54-62.
31. Moshattati, A., Alami-Saied, Kh., Siadat, S. A., Bakhshandeh, A. M., and Jalal-Kamali, M. R. 2010. Evaluation of terminal heat stress tolerance in spring bread wheat cultivars in Ahwaz conditions. Iranian Journal of Crop Sciences 12 (2): 85-99. (in Persian).
32. Mousavi, S. R., Galavi, M., and Ahmadvand, G. 2007. Effect of Zinc and manganese foliar application on yield, quality and enrichment on potato. Asian Journal of Plant Sciences 6 (1): 1256-1260.
33. Naiman, A. D., Latronico, A., and Salomon, G. 2009. Inoculation of wheat *Azospirillum brasiliense* and *Pseudomonas fluorescens*: Impact on the production and culturable rhizosphere microflora. European Journal of Soil Biology 45 (1): 44-51.
34. Parvazi Shandi, S., Pazoki, A. R., Asgharzadeh, A., Azadi, A., and Paknejad, F. 2013. Effect of irrigation interval, humic acid and plant growth promoting rhizobacteria on physiological characteristics of kavir cultivar wheat. Crop Physiology Journal 5 (18): 19-33. (in Persian).
35. Radmehr, M. 1997. Effect of heat stress on physiology of growth and development of wheat. Ferdowsi University Press. pp. 201. (in Persian).
36. Shool, A., and Shamshiri, M. H. 2014. Effect of arbuscular mycorrhizal fungi and *Pseudomonas fluorescence* on chlorophyll fluorescence and photosynthetic pigments of pistachio seedlings (*Pistacia vera* cv. *Qazvini*) under four water regimes. European Journal of Experimental Biology 4 (3): 246-252.
37. Trollope, S. N., Hedley, M. J., Kirk, N., Bolan, S., and Loganathan, P. 2003. Changes in phosphorous fractions, pH, and phosphates activity in rhizosphere of two rice genotypes. Australian Journal of Soil Research 41 (1): 471-499.
38. VanKooten, O., and Snel, J. F. H. 1990. The use of chlorophyll flurescence nomenclature in plant strees physiology. Photosynthesis Research 25 (3): 147-150.
39. Wang, J. M., Zhao, H., Huang, D., and Wang, Z. 2012. Different increases in maize and wheat grain zinc concentrations caused by soil and foliar applications of zinc in Loess Plateau, China. Field Crops Research 135 (1): 89-96.
40. Waraich, E. A., Ahmad, R., Halim, A., and Aziz, T. 2012. Alleviation of temperature stress by nutrient management in crop plants: a review. Journal of Soil Science and Plant Nutrition 12 (2): 221-244.
41. Yadavi, A. R., Saeidi Aboueshaghi, R., Movahhedi Dehnavi, M., and Balouchi, H. 2014. Effect of micronutrients foliar application on grain qualitative characteristics and some physiological traits of bean (*Phaseolus vulgaris* L.) under drought stress. Indian Journal of Fundamental and Applied Life Sciences ISSN 4 (4): 124-131.
42. Yassen, A., Abou El-Nour, E., and Shedeed, S. 2010. Response of wheat to foliar Spray with urea and micronutrients. Journal of American Science 6 (9): 14-22.
43. Yousefpoor, Z., and Yadavi, A. R. 2013. Effect of Biological and Chemical Fertilizers of Nitrogen and Phosphorus on Quantitative and Qualitative Yield of Sunflower. Journal of Sustainable Agriculture and Production Science 24 (1): 95-112. (in Persian).
44. Zain, M., Khan Qadri, R. W., Ashraf, U., Hussain, S., Minhas, S., Siddique, A., Muzammil Jahangir, M., and Bashir, M. 2015. Foliar application of micronutrients enhances wheat growth, yield and related attributes. American Journal of Plant Sciences 6 (7): 864-869.
45. Zhao, Ai-Qing. 2011. Combined effect of iron and zinc on micronutrient levels in wheat (*Triticum aestivum* L.). Journal of Environmental Biology 32 (2): 235-239.
46. Zoz, T., Steiner, F., Fey, R., Dalazen Castagnara, D., and Pereira Seidel, E. 2012. Response of wheat to foliar application of zinc. Ciência Rural, Santa Maria 42 (5): 784-787.



## Effects of Planting Date, Bio-fertilizer Containing P Solubilizing Bacteria and Elements Foliar Application of Zinc and Boron on Physiological and Agronomic Traits of Bread Wheat (Aflakcultivar)

H. Kamaei<sup>1</sup>- H. R. Eisvand<sup>2\*</sup>- F. Nazarian<sup>3</sup>

Received: 15-12-2016

Accepted: 12-07-2017

### Introduction

Wheat, being a major source of human food, occupies a significant portion of cultivated area of globe mostly located in altitude from a few meters to more than 3,000 m above sea level. High temperature resulting from delay in planting date is one major environmental factor limiting growth and productivity of wheat. Plants need phosphorus in relatively large quantities, and its role cannot be played by any other elements. Phosphate bio-fertilizers bacteria such as *Bacillus* and *Pseudomonas* increased soil soluble phosphorus by secreting organic acids and phosphatase enzyme. In most of the Iranian soils pH is high and they are also calcareous. In this type of soils, solvability of micronutrients is less and it decreases absorption of micronutrients by plant, finally requirement of plants increases to this elements. This experiment was conducted to study the effects of planting date, Bio-fertilizer containing phosphate solubilizing bacteria and elements foliar application of zinc and boron on physiological and agronomic traits of bread wheat (Aflakcultivar).

### Materials and Methods

To study the effects of planting date, bio-fertilizer containing phosphate solubilizing bacteria and elements foliar application of zinc and boron on physiological and agronomic traits of bread wheat (Aflakcultivar), an experiment was conducted at split factorial design based on randomized complete blocks with 16 treatments and three replications in Ramhormoz city in farming Year 2015-16. The experimental factors were included planting date in two levels (21 November and 5 January) as the main factor and use of bio-fertilizer in two levels of seed non-inoculated and seed inoculation with phosphate solubilizing bacteria and elements foliar application of zinc and boron in four levels by water (control), zinc ( $3 \text{ L ha}^{-1}$ ), boron ( $3 \text{ L ha}^{-1}$ ) and zinc ( $3 \text{ L ha}^{-1}$ ) + boron ( $3 \text{ L ha}^{-1}$ ) to form of factorial as sub factor. Solutions for foliar application were prepared by using Zinc-chelate (7.5%) and Boron (5%). In this experiment, traits measured were involved leaf chlorophyll index (SPAD), leaf proline content, cell membrane stability index, maximum quantum efficiency of PSII (Fv/Fm), grain yield, biological yield and harvest index. To determine leaf chlorophyll index (SPAD), digital chlorophyll meter (SPAD-502) was used. To determine leaf proline content Bates *et al.*, (1973) method was used. To determine cell membrane stability index (CMSI) Luttset *et al.*, (1996) method was used and according to equation 1. The Fv/Fm was measured with a portable Photosynthetic Efficiency Analyser PEA (Walz, Germany) and according to equation 2.

$$1: \text{CMSI} = (1 - (\text{EC}_1 / \text{EC}_2)) \times 100$$

$$2: \text{Fv/Fm} = (\text{Fm}-\text{F0})/\text{Fm}$$

Where in this equation EC<sub>1</sub> is primary electrical conductivity, EC<sub>2</sub> is secondary electrical conductivity, Fm is the maximum fluorescence, F0 is the minimum fluorescence, and Fv is the variable fluorescence (Fm-F0). Grain yield was estimated after physiological maturity and through total spikes harvested from the level of  $1 \text{ m}^{-2}$  per plot and after removing 0.5 m from the beginning and end respective planting rows. To measure the biological yield at maturity, after removing 0.5 m from the beginning and end respective planting rows from the level of  $1 \text{ m}^{-2}$  per plot all the plants were harvested and weighted for each plot separately. Harvest index was determined by the equation grain yield/biological yield  $\times 100$ . Analysis of variance was performed by using general linear model (GLM) procedure of statistical analysis system (SAS version: 9.1). Traits means were compared by LSD test at 5% probability level.

### Results and Discussion

The results showed that with delay in planting due to terminal heat stress all traits such as leaf chlorophyll

1- PhD student, Faculty of Agriculture, Lorestan University

2- Associate Professor, Department of Agronomy and plant Breeding, Faculty of Agriculture, Lorestan University

3- Professor, Department of Agronomy and plant Breeding, Faculty of Agriculture, Lorestan University

(\*- Corresponding Author Email: eisvand.hr@lu.ac.ir)

index (SPAD), cell membrane stability index, Fv/Fm, grain yield, biological yield and harvest index except leaf proline content decreased significantly. Seed inoculation with bio-fertilizer containing phosphate solubilizing bacteria improved significantly all physiological and agronomic traits of bread wheat (Aflakcultivar) except harvest index in both the optimum planting dates and delayed. Between the different levels elements foliar application of zinc and boron, combined application of zinc+boron was more effective on physiological and agronomic traits of bread wheat (Aflakcultivar), and could reduce the harmful effects caused by the delay in planting. The interaction of seed inoculation with bio-fertilizer containing phosphate solubilizing bacteria and elements foliar application of zinc and boron except harvest index improved significantly harmful effects caused by the delay in planting on traits leaf chlorophyll index (SPAD), leaf proline content, cell membrane stability index, Fv/Fm, grain yield and biological yield to values 3.37%, 12.29%, 6.48%, 3.02%, 17.25% and 24.04%, respectively. Between interaction of bio-fertilizer containing phosphate solubilizing bacteria and elements foliar application of zinc and boron, the use of zinc nutrient than application of combining it with boron was more effective in reducing the harmful effects resulting from delay in planting.

### Conclusions

In general it can be concluded that the optimum planting date (21 November), seed inoculation with bio-fertilizer containing phosphate solubilizing bacteria and elements foliar application of zinc and boron especially zinc, is three strategies appropriate management to improve physiological and agronomic traits of bread wheat (Aflakcultivar) in the Ramhormoz city.

**Keywords:** Cereals, Chlorophyll, Heat stress, Micronutrients





## بررسی اثر تراکم بر میزان فتوستنر و شاخص‌های رشد اکو‌تیپ‌های حنا (*Lawsonia inermis* L.)

امین پسندی پور<sup>۱</sup> - حسن فرج بخش<sup>۲\*</sup>

تاریخ دریافت: ۱۳۹۵/۰۹/۲۹

تاریخ پذیرش: ۱۳۹۶/۰۵/۳۱

### چکیده

تعیین تراکم بهینه یکی از عوامل مهم برای به دست آوردن حداکثر عملکرد در هر شرایط اقلیمی و هر رقم گیاهی می‌باشد. حنا با نام علمی *Lawsonia inermis* L. گیاهی چند ساله است که از لحاظ دارا بودن خواص دارویی و کاربردهای صنعتی از ارزش بالایی برخوردار است. این تحقیق به منظور بررسی واکنش‌های زراعی فیزیولوژیک اکو‌تیپ‌های مختلف گیاه حنا (شهداد، به و روبار) به تراکم‌های مختلف کاشت (۲۵، ۳۳، ۵۰ و ۱۰۰ بوته در مترمربع) در شرایط آب و هوایی کرمان به صورت فاکتوریل و در قالب طرح پایه بلوك‌های کامل تصادفی با سه تکرار انجام شد. نتایج نشان داد اکو‌تیپ‌های مورد بررسی از لحاظ شاخص‌های سرعت رشد محصول، سرعت رشد نسبی و میزان هدایت روزنامه‌ای تفاوت معنی داری با یکدیگر داشتند و بیشترین میانگین این صفات مربوط به اکو‌تیپ شهداد بود. بین تراکم‌های مورد بررسی نیز از لحاظ اکثر صفات اندازه‌گیری شده اختلاف معنی داری از لحاظ آماری مشاهده شد. نتایج مقایسه میانگین حاکی از حصول بیشترین مقدار شاخص سرعت رشد محصول و مترین میزان فتوستنر، هدایت روزنامه و تعرق از تراکم ۱۰۰ بوته در مترمربع بود. بهطور کلی در این تحقیق اگرچه رقم شهداد بتری معنی داری در سرعت رشد نسبی و سرعت رشد محصول نسبت به دو اکو‌تیپ به و روبار داشت ولی عملکرد خشک کل و خشک برگ این اکو‌تیپ‌ها با یکدیگر تفاوت معنی داری نداشت. نتایج این تحقیق نشان داد که تراکم ۱۰۰ بوته در مترمربع این گیاه برای سال اول کاشت از نظر عملکردی مناسب‌تر از سایر تراکم‌ها بوده ولی برای سال‌های دوم به بعد با توجه به رشد پیکره گیاه نیاز به تحقیق بیشتر می‌باشد.

**واژه‌های کلیدی:** اکو‌تیپ، سرعت رشد محصول، عملکرد، فاصله روی ریدیف، هدایت روزنامه

(Chaudhary *et al.*, 2010)

این گیاه بومی شمال آفریقا و جنوب آسیا بوده که در کشورهای آسیای جنوبی مانند هند، ایران، پاکستان و امارات متحده عربی به طور گسترده‌ای در مراسم‌های مذهبی جوامع هندو و مسلمان مورد استفاده قرار می‌گیرد (Kumar Singh *et al.*, 2015).

محصول گیاه حنا ماده‌ای طبیعی و غیرسمی و قادر اثرات شدید است و با توجه به سایر مزیت‌های آن از جمله ارزانی و در دسترس بودن آن برای مردم کشورهای در حال توسعه می‌تواند به عنوان یک شناس واقعی برای درمان و پیشگیری عفونت‌های پوستی مطرح شود (Behdani *et al.*, 2009). این گیاه دارای اثر ضد باکتری خصوصاً در باکتری‌های مولد کچلی تربکوفایتون، اسپوروتربیکوم و کریپتوکوس است؛ اثر ضد باکتری و ضد قارچی حنا را به لاوسون نسبت می‌دهند (Al-Rubiay *et al.*, 2008). از جمله دیگر خواص حنا اثر ضد سرطانی آن است، عصاره کلروفرمی حنا بر علیه لاین سلولی کبد و پستان دارای اثرات سیتوتوکسیت قوی بوده و با سرکوب بیان ژن

هنا (*Lawsonia inermis* L.) گیاهی است بوته‌ای با شاخه‌های زیاد و بدون کرک و ارتفاع آن به چهار متر نیز می‌رسد. برگ‌های حنا کوچک، بیضوی، نوک تیز، لبه‌دار و قهوه‌ای متمایل به سبز تا قهوه‌ای تیره به صورت متقابل روی شاخه قرار دارند. شاخه‌های حنا دارای مقطع مربعی شکل بوده و به رنگ سبز هستند که با افزایش سن گیاه به قرمز متمایل می‌شوند. گل آذین این گیاه خوش‌های و بزرگ است که دارای تعداد زیادی گل کوچک و معطر می‌باشد. میوه گیاه حنا کپسولی به رنگ قهوه‌ای است. در زمان رسیدن، میوه‌ها به صورت نامنظم باز شده و چهار قسمت می‌شوند. هر بوته تعداد زیادی بذر تولید می‌کند. بذرهای گیاه حنا هرمی، صاف، سخت و به رنگ قهوه‌ای متمایل به خرمایی هستند که اندازه آنها دو میلی‌متر است

۱ و ۲- بهترتبی دانشجوی دکترا (عضو انجمن پژوهشگران جوان) و دانشیار، گروه

زراعت و اصلاح نباتات، دانشکده کشاورزی، دانشگاه شهید باهنر کرمان

(Email: hfarahbakhsh@yahoo.com) - نویسنده مسئول:

DOI: 10.22067/gsc.v16i1.61146

عملکرد در واحد سطح تأثیر می‌گذارد. شناخت و بررسی شاخص‌های رشد در تجزیه و تحلیل عوامل مؤثر در عملکرد از اهمیت زیادی برخوردار بوده و به کمک آنها می‌توان با توصیف کمی رشد و نمو، تولید محصول را ارزیابی کرد (Moradkhajati and Shokuhfar, 2016). با توجه به اهمیت گیاه حنا و با عنایت به این که در مورد بهبود روش کاشت این گیاه تاکنون تحقیقی صورت نگرفته است، این تحقیق به منظور تعیین مناسب‌ترین اکوتیپ و تراکم کاشت برای تولید ماده خشک برگی و همچنین بررسی سازگاری و امکان کاشت گیاه حنا در منطقه کرمان انجام شد.

## مواد و روش‌ها

این تحقیق در سال ۱۳۹۴ در مزرعه تحقیقاتی دانشگاه شهید باهنر کرمان به صورت فاکتوریل در قالب طرح پایه بلوک‌های کامل تصادفی با سه تکرار اجرا گردید. آزمایش شامل چهار تراکم بوته (۲۵، ۳۳، ۵۰ و ۱۰۰ بوته در مترمربع) و سه اکوتیپ (شهداد، روبدار و بم) بود. به دلیل ریز بودن بذور و همچنین مشکلات جوانه‌زنی از روش نشاء‌کاری استفاده شد. کاشت در اواسط فروردین ماه و در شرایط گلخانه درون سینی‌های نشاء ۱۰۵ خانه‌ای با عمق پنج سانتی‌متر و حجم ۲۵ سی سی انجام شد. سینی‌های نشاء با مخلوطی از شن ریز (۵۰ درصد) و کوکوپیت (۵۰ درصد) پر شده و بذور به صورت سطحی روی آن کشت شدند. آبیاری سینی‌های نشاء تا سبز شدن گیاهان به صورت روزانه ادامه یافت و پس از آن تا زمان انتقال به صورت یک روز در میان انجام شد. انتقال نشاء‌ها به زمین اصلی در اواخر خرداد ماه و هنگامی که گیاه‌چه‌ها در مرحله شش تا هشت برگی بودند صورت پذیرفت. کاشت در مزرعه در پلات‌های سیمانی یک متر مکعبی که مجهز به زهکش بودند انجام شد. تمامی کود پتساس و فسفر و یک سوم کود ازت مورد نیاز بعد از عملیات تهیه بستر به خاک اضافه شد. نتایج آزمون خاک در جدول ۱ نشان داده شده است. نشاء‌ها در ردیف‌هایی با فاصله ۲۰ سانتی‌متری از یکدیگر و همچنین فواصل روى ردیف ۵، ۱۰، ۱۵ و ۲۰ سانتی‌متر کشت گردیدند.

در این تحقیق شاخص‌های رشدی از قبیل شاخص سطح برگ (LAI)، سرعت رشد گیاه (CGR)، سرعت رشد نسبی (RGR)، نسبت سطح برگ (LAR)، سطح ویژه برگ (SLA)، وزن مخصوص برگ (BMD)، دوام سطح برگ (LAD) و دوام زیست توده (SLW) محاسبه شدند. شاخص‌های رشد طی دو مرحله نمونه‌برداری در اوایل و اواسط شهریور ماه اندازه‌گیری شدند (Koocheki and Sarmadnia, 2006).

Myc-c که در رشد سلولی نقش مهمی دارد، باعث مهار رشد سلول‌های سلطانی می‌شود (Endrini *et al.*, 2007). همچنین حنا در طب سنتی در درمان بیماری‌های مختلف از جمله اختلال قاعدگی، ادم، رماتیسم، برونشیت و هموروئید مورد استفاده قرار می‌گیرد (Bich *et al.*, 2004).

عملیات کاشت حنا در استان کرمان از اواسط اسفند تا اواخر اردیبهشت ماه متغیر می‌باشد. بررسی فنولوژیکی این گیاه نشان داد که به طور متوسط بین ۱۲ تا ۱۴ روز پس از کاشت بذرها جوانه زده و از خاک خارج می‌شوند. شکفتن گل‌ها در گیاه به طور متوسط حدود ۹۰ روز پس از کاشت آغاز می‌شود و به طور مداوم ادامه می‌باشد. سرعت گلدهی با شروع ماههای گرم (تیر و مرداد) کند شده ولی مجدداً در اواخر دوره رشد با خنک‌تر شدن هوا سرعت می‌گیرد. در مناطق مختلف نیز رسیدگی کامل میوه از اواخر مهر تا اواخر آبان ماه می‌باشد. تعداد چین برداشتی تحت تأثیر تاریخ کاشت، تعداد آبیاری و چند ساله بودن گیاه بین دو تا سه چین متغیر است. کل دوره رشد گیاه به طور متوسط بین ۱۹۰ تا ۲۲۰ روز استان کرمان متغیر می‌باشد (Pour *et al.*, 2018).

تراکم یکی از عوامل مهم در تعیین عملکرد محصولات زراعی محسوب می‌شود. به عنوان یک اصل کلی همواره در تراکم‌های بیش از تراکم مطلوب، رقابت درون‌گونه‌ای باعث کاهش عملکرد شده و بالعکس در تراکم‌های کمتر از حد مطلوب از امکانات محیطی اعم از نور، فضاء، آب و خاک به نحو مطلوب استفاده نشده و در نهایت عملکرد نیز کاهش خواهد یافت (Martin and Deo, 2000). لذا، حداقل بهره‌برداری از عوامل لازم جهت رشد گیاه وقتی حاصل می‌شود که جمعیت گیاهی حداقل فشار را بر تمام عوامل تولید وارد نماید. تراکم کاشت به عوامل مختلفی مانند خصوصیات گیاه زراعی و طول دوره رشد آن، زمان و روش کاشت، وضعیت حاصلخیزی خاک، عملیات مدیریتی در مزرعه و روش برداشت بستگی دارد (Nour-Mohamadi *et al.*, 2010).

جامعه گیاهی در تراکم‌های بالا در مراحل ابتدایی رشد وزن خشک بیشتری نسبت به تراکم‌های پایین تولید می‌کند (Morrison, 1990). همچنین بیان شده است در تراکم‌های پایین غلات با اینکه مقدار سرعت رشد محصول در ابتدای دوره رشد کمتر است ولی سرعت افزایش آن بیشتر است (Lebaschi, 1992). با بررسی اثر تراکم بوته بر میزان فتوستنت خالص و هدایت روزنده‌ای گیاه سویا (Glycine max) بیان شد با افزایش تراکم بوته از ۳۰۰ هزار به ۵۰۰ هزار بوته در هکتار، میزان فتوستنت خالص کاهش ولی میزان هدایت روزنده‌ای افزایش یافته است (Sadeghi *et al.*, 2015).

نحوه توزیع و تراکم بوته‌ها در مزرعه بر جذب و بهره‌وری گیاه از عوامل محیطی تأثیر گذاشته و از طریق تغییر در شاخص‌های رشد، بر

جدول ۱- نتایج تجزیه فیزیکی شیمیایی خاک مزرعه محل انجام آزمایش  
Table 1- A synopsis of physic-chemical properties of soil

مشخصات خاک	Soil properties	عمق ۰ تا ۶۰ سانتی‌متر 0 to 60 cm depth
بافت خاک	Soil texture	Sandy-Loam
نیتروژن	Nitrogen (%)	0.05
فسفر	Phosphorus (ppm)	16
پتاسیم	Potassium (ppm)	242
هدایت الکتریکی	EC (dS/m)	4.31
اسیدیته	pH	8.07
ماده آلی	Organic matter (%)	0.06

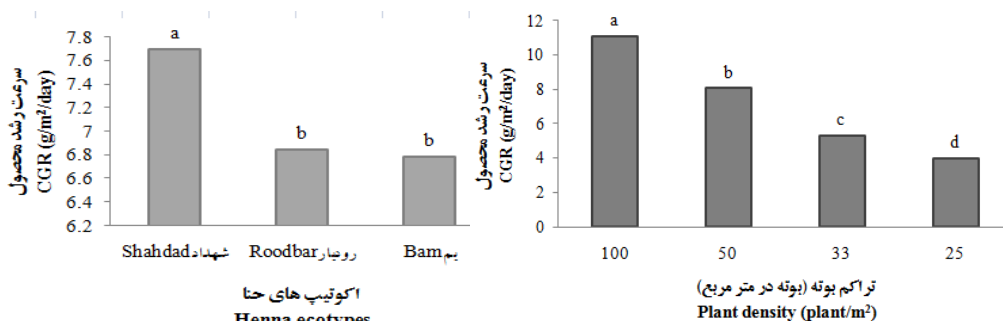
تراکم‌های ۱۰۰ و ۲۵ بوته در مترمربع بود (شکل ۱). تحقیق بر روی ارقام آفتبارگردان نشان داد که سرعت رشد محصول در تراکم ۱۲ بوته در مترمربع نسبت به تراکم ۶ بوته در مترمربع افزایش یافت (Ghalandari *et al.*, 2009). افزایش سرعت رشد محصول در تراکم‌های بالاتر گیاهی را می‌توان به دلیل افزایش تعداد گیاه در واحد سطح و در نتیجه افزایش شاخص سطح برگ نیز افزایش یافت. تحقیق نیز با افزایش تراکم، شاخص سطح برگ نیز افزایش یافت. مطابق با نتایج این تحقیق گزارش شده است با افزایش تراکم در گیاه جو از ۲۵۰ تا ۴۰۰ بذر در مترمربع، سرعت رشد محصول نیز افزایش یافت (Moradkhajati and Shokuhfar, 2016).

**سرعت رشد نسبی (RGR):** سرعت رشد نسبی افزایش ماده خشک به بیوماس کل گیاه در واحد زمان است (Campos *et al.*, 2008) و نشان‌دهنده توانایی گیاهان در جذب و کارایی مصرف منابع است. تراکم‌های مختلف از نظر سرعت رشد نسبی تفاوت معنی‌داری با یکدیگر نشان ندادند ( $P>0.05$ ) ولی بین اکوتبهای مورد بررسی تفاوت معنی‌داری ملاحظه شد (جدول ۲). اکوتبه شهداد با میانگین ۰/۱۸ گرم در گرم در روز به طور معنی‌داری در مقایسه با اکوتبهای روبار و بم از سرعت رشد نسبی بیشتری برخوردار بود (شکل ۲).

میزان فتوسنتز خالص، هدایت روزنہای و تعرق نیز در اواسط دوره رشد گیاه با استفاده از دستگاه فتوسنتز متر مدل CI-340 ساخت CID Bio- Science آمریکا اندازه‌گیری شدند. در اوخر مهر ماه با برداشت گیاهان از ارتفاع ۵ سانتی‌متری سطح خاک و خشک کردن آنها در آون تهويه‌دار در حرارت ۷۵ درجه سانتی‌گراد به مدت ۴۸ ساعت، عملکرد خشک برگ و عملکرد خشک کل محاسبه گردید. آزمایش به صورت فاکتوریل در قالب طرح بلوک‌های کامل تصادفی با سه تکرار انجام شد. جهت محاسبات آماری و مقایسه میانگین‌ها، نرم‌افزارهای SAS و MSTAT-C مورد استفاده قرار گرفتند. مقایسه میانگین‌ها با آزمون LSD در سطح احتمال پنج درصد انجام گرفت.

## نتایج و بحث

**سرعت رشد محصول (CGR):** نتایج تجزیه واریانس نشان داد که اثر تیمار اکوتب و تراکم در سطح احتمال یک درصد ( $P<0.001$ ) برای این شاخص معنی‌دار گردید (جدول ۲). همان‌طور که در شکل ۱ مشاهده می‌شود بیشترین سرعت رشد محصول مربوط به اکوتب شهداد بود که اختلاف معنی‌داری با دو اکوتب دیگر داشت درحالی که بین اکوتبهای روبار و بم اختلاف معنی‌داری از این حیث وجود نداشت. افزایش تراکم کاشت منجر به افزایش معنی‌داری این شاخص گردید به گونه‌ای که بیشترین و کمترین آن به ترتیب مربوط به



شکل ۱- اثر اکوتب و تراکم کاشت بر سرعت رشد محصول گیاه حنا  
Figure 1- The effect of ecotype and planting density on CGR of Henna plant

## جدول ۲- تجزیه واریانس شاخص‌های رشد گیاه حنا

Table 2- Variance analysis of Henna growth indexes

منابع تغییرات S.O.V	درجه آزادی d.f	سرعت رشد محصول CGR	سرعت رشد نسبی RGR	شاخص سطح برگ LAI	نسبت سطح برگ LAR	سطح ویژه برگ SLA	وزن مخصوص برگ SLW	دوم سطح برگ LAD	دوم بیomas BMD
بلوک	Block	2	0.191	0.000001	0.0032	5.671	19.534	$5.8 \times 10^{-7}$	104041.6
اکوپیپ	Ecotype (E)	2	3.082**	0.00002**	0.002ns	1.707ns	154.3ns	$1 \times 10^{-6}ns$	40081ns
تراکم	Density(D)	3	89.33**	0.0000005ns	6.966**	10895ns	155.1ns	$1.8 \times 10^{-6}ns$	9368958**
تراکم×اکوپیپ	E×D	6	0.198ns	0.000001ns	0.013ns	7.669ns	109.5ns	$9.6 \times 10^{-7}ns$	4130**
خطا	Error	22	0.180	0.0000007	0.017	5.827	66.63	$7 \times 10^{-7}$	115552ns
ضریب تغییرات	C.V	-	5.9	5.06	6.52	5	7.2	8.99	7.3ns
									9.218
									2.48

و \*\* بهترتب غیر معنی دار و معنی دار در سطح احتمال یک درصد.

ns and \*\*: no significant and significant at the 1% probability levels.

## جدول ۳- تجزیه واریانس فتوستتر خالص، سرعت تعرق، هدایت روزندهای و عملکرد گیاه حنا

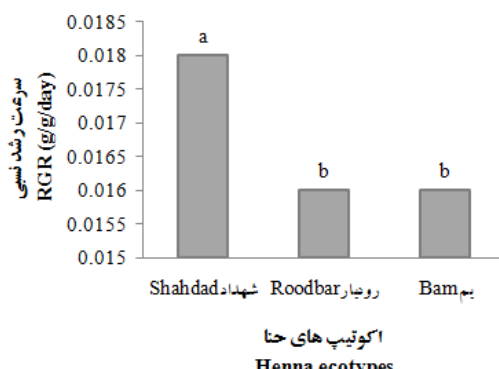
Table 3- Variance analysis of net photosynthesis, transpiration rate, stomatal conductance and yield in Henna

منابع تغییرات S.O.V	درجه آزادی d.f	فتوستتر خالص Net photosynthesis	سرعت تعرق Transpiration rate	هدایت روزندهای Stomatal conductance	عملکرد خشک کل برگ	عملکرد خشک برگ Leaf dry yield
بلوک	Block	2	0.483	0.181	32.695	6136
اکوپیپ	Ecotype (E)	2	0.538ns	0.094ns	444.8*	79.426 ns
تراکم	Density(D)	3	13.328**	11.458**	2422**	772002**
تراکم×اکوپیپ	E×D	6	0.175ns	0.0310ns	33.16ns	854.3ns
خطا	Error	22	0.618	0.175	119.26	5552
ضریب تغییرات	C.V	-	4.37	4.49	4.77	11.61
						7.45

ns \*\* و \* بهترتب غیر معنی دار و معنی دار در سطح احتمال ۱ و ۵ درصد.

ns, \*\* and \*: no significant and significant at the 1% and 5% probability levels, respectively

تراکم کاشت حاصل شد که نسبت به تراکم ۵۰ بوته در مترمربع ۳۹/۲ درصد افزایش نشان داد (شکل ۳).



شکل ۲- اثر اکوپیپ بر سرعت رشد نسبی گیاه حنا  
Figure 2- The effect of ecotype on RGR of Henna plant

تفاوت زیادی بین ارقام یک گونه گیاهی از نظر سرعت نسبی رشد می‌تواند وجود داشته باشد (Poorter, 1989) که این تفاوت ناشی از فاکتورهای فیزیولوژیکی، مورفولوژیکی، شیمیایی و یا الگوی اختصاص مواد بوده که همگی در تغییر سرعت رشد نسبی مؤثر هستند. اگرچه ارقام با سرعت رشد نسبی بالاتر قادرند به سرعت اندازه خود را افزایش دهند و فضای بیشتری را به خود اختصاص دهند اما ارقام با سرعت رشد نسبی کمتر نیز سیاست اختصاص کمتر مواد فتوستتری و شیمیایی جذب شده در بخش‌های ساختمانی را دارند و بیشتر به ذخیره‌سازی برای مراحل بعدی رشد می‌پردازند (Poorter, 1989).

**شاخص سطح برگ (LAI):** طبق نتایج تجزیه واریانس، تنها اثر ساده تراکم بر شاخص سطح برگ در سطح یک درصد معنی دار بود (جدول ۲). بیشترین شاخص سطح برگ (۳/۱۶) در بالاترین سطح

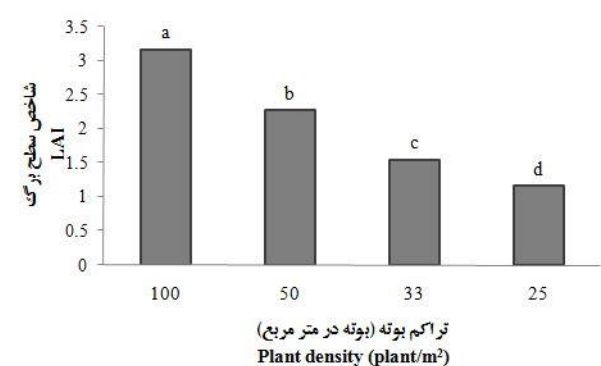
**مخصوص برگ (SLW):** اثرات ساده اکوتیپ و تراکم کاشت و همچنین اثر متقابل آنها اثر معنی‌داری بر روی هیچ‌یک از شاخص‌های نسبت سطح برگ، سطح ویژه برگ و وزن مخصوص برگ نداشتند (جدول ۲).

**دوم سطح برگ (LAD) و دوام بیوماس (BMD):** دوام سطح برگ در سطح یک درصد تحت تاثیر تراکم کاشت قرار گرفت ولی اثر ساده اکوتیپ و اثر متقابل اکوتیپ در تراکم برای این شاخص معنی‌دار نگردیدند (جدول ۲). مقایسه میانگین اثر تراکم کاشت نشان داد که کمترین دوام سطح برگ مربوط به تراکم ۱۰۰ بوته در متر مربع بود که اختلاف معنی‌داری از لحاظ آماری با سایر تراکم‌ها داشت (شکل ۴). اختلاف بین سایر تراکم‌های کاشت معنی‌دار نبود. نتایج به دست آمده نشان داد اثر تراکم بوته بر شاخص دوام بیوماس در سطح احتمال یک درصد معنی‌دار بود (جدول ۲). مقایسه میانگین‌ها نشان داد افزایش تراکم کاشت از ۲۵ به ۳۳ و ۵۰ بوته در متر مربع منجر به تغییر معنی‌داری در شاخص دوام بیوماس نگردید در حالی که در تراکم ۱۰۰ بوته در متر مربع این شاخص به طور معنی‌داری در مقایسه با سایر سطوح تراکم کاهش یافت (شکل ۴).

افزایش فاصله ردیف کاشت در کلزا، منجر به افزایش مقدار دوام سطح برگ به دلیل فضای زیادتر بین بوته‌ها گردید (Morrison *et al.*, 1990). مطالعه فواصل ردیف ۲۵، ۵۰، ۷۵ و ۱۰۰ سانتی‌متر در گیاه سویا نشان داد که بیشترین دوام سطح برگ در فاصله ردیف کاشت ۵۰ سانتی‌متر به دست آمد (Board and Harville, 1996). برخلاف نتایج به دست آمده در این تحقیق، با کاهش فاصله ردیف کاشت در گیاه گلنگ، دوام سطح برگ افزایش یافت (Pourhadian *et al.*, 2008). آنها بیان کردند با افزایش تراکم بوته اندازه بوته کوچک‌تر شده و تعداد برگ و شاخص سطح برگ در بوته کاهش می‌یابد. اما افزایش تراکم بوته در واحد سطح باعث افزایش موارد فوق در واحد سطح شده و افزایش دوام سطح برگ را به دنبال دارد.

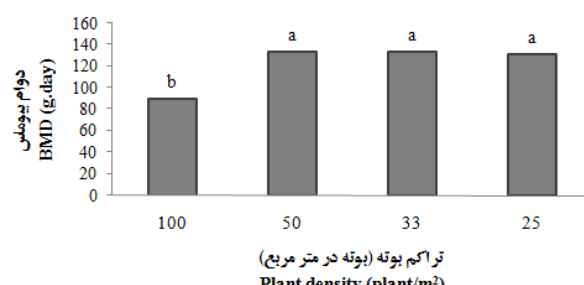
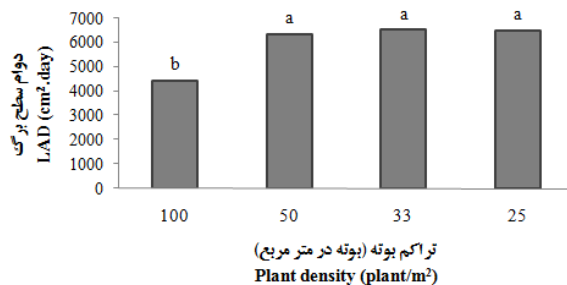
همچنین کمترین شاخص سطح برگ (۱/۱۶) از تراکم ۲۵ بوته در متر مربع (فاصله روی ردیف ۲۰ سانتی‌متر) به دست آمد. افزایش شاخص سطح برگ گیاه حنا در نتیجه افزایش تراکم کاشت با نتایج Kuhlase به دست آمده از سایر تحقیقات بر روی سیب‌زمینی شیرین (Holshouser and Jones, 2003; Bannayan *et al.*, 2010) مطابقت دارد. همچنین گزارش شده است افزایش تراکم کاشت تا حدی که باعث دستیابی به بیشترین شاخص سطح برگ شود، موجب تجمع ماده خشک بیشتری می‌گردد (Grogton *et al.*, 1988). در تحقیق حاضر نیز افزایش تراکم کاشت تا ۱۰۰ بوته در متر مربع باعث افزایش وزن خشک برگ و وزن خشک کل گیاه حنا شد.

بیشتر بودن تعداد گیاه در واحد سطح می‌تواند دلیل بالاتر بودن شاخص سطح برگ در تراکم ۱۰۰ بوته در متر مربع باشد. هرچه تراکم گیاهی بالاتر رود سطح برگ بیشتری تولید می‌گردد و در نتیجه شاخص سطح برگ بالاتر می‌رود. این نتایج با یافته‌های سایر محققین Armin *et al.*, 2008; Moradkhajati and Shokuhfar, 2016



شکل ۳- اثر تراکم کاشت بر شاخص سطح برگ گیاه حنا  
Figure 3- The effect of planting density on LAI of Henna plant

#### نسبت سطح برگ (LAR)، سطح ویژه برگ (SLA) و وزن



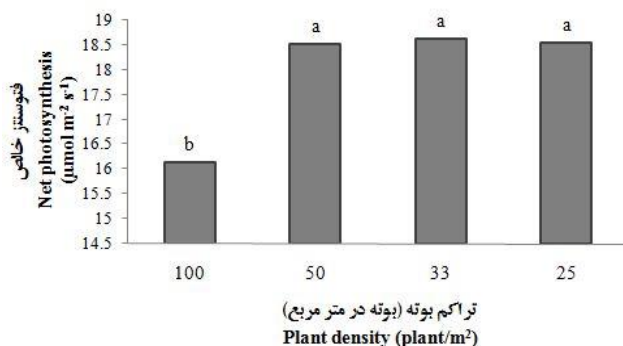
شکل ۴- اثر تراکم کاشت بر دوام سطح برگ و دوام بیوماس گیاه حنا  
Figure 4- The effect of planting density on LAD and BMD of Henna plant

انداختن آب جذب شده در گیاه را علی‌رغم وجود نیروی ثقل و مقاومت‌های اصطکاکی موجود در مسیر آب، تأمین می‌کند. در این تحقیق اکوتیپ اثر معنی‌داری بر سرعت تعرق نداشت (جدول ۳) ولی بین تراکم‌های مورد بررسی تفاوت‌هایی ملاحظه شد به‌طوری‌که تراکم ۱۰۰ بوته در مترمربع با میانگین  $7/60$  میلی‌مول بر مترمربع بر ثانیه به‌طور معنی‌داری در مقایسه با سایر تراکم‌ها از سرعت تعرق کمتری برخوردار بود (شکل ۶). شدت تعرق تابع اختلاف فشار بخار، مقاومت در برخوبی جریان آب و توانایی گیاه و خاک از نظر انتقال آب به جایگاه تعرق می‌باشد. همچنین شدت تشعشع خورشید، درجه حرارت، رطوبت نسبی و باد از سایر عوامل محیطی تأثیرگذار بر تعرق می‌باشد (Koocheki and Sarmadnia, 2006). به نظر می‌رسد در تراکم ۱۰۰ بوته در مترمربع به علت افزایش رطوبت نسبی کانوپی و از طرفی کاهش رطوبت خاک به علت تراکم بالا، میزان تعرق کاهش یافته است. از آنجا که تعرق روزنه‌ای نقش اصلی را در تنظیم دمای برگ دارد با کاهش تعرق، دمای برگ افزایش یافته و در نهایت منجر به کاهش میزان فتوستز می‌گردد که نتایج اندازه‌گیری میزان فتوستز خالص (شکل ۵) مکمل این مطلب است.

**فتوستز خالص:** این صفت تنها تحت تأثیر اثر ساده تراکم قرار گرفت (جدول ۳). مقایسه میانگین اثر تراکم کاشت بر فتوستز خالص نشان داد که فتوستز خالص در تراکم ۲۵ بوته در مترمربع برابر  $18/55$  میکرومول بر مترمربع بر ثانیه بود که با افزایش تراکم تا ۵۰ بوته در مترمربع تغییر معنی‌داری نکرد (شکل ۵). فتوستز خالص در تراکم ۱۰۰ بوته در مترمربع ( $16/14$  میکرومول بر مترمربع بر ثانیه) به‌طور معنی‌داری نسبت به سایر تراکم‌های کاشت کاهش پیدا کرد. با این بودن فتوستز خالص در تراکم ۱۰۰ بوته در مترمربع می‌تواند به دلیل بالا بودن رقابت بین بوته‌ها برای جذب نور و مواد غذایی، افزایش سایه‌اندازی و در نتیجه افزایش تنفس و کاهش فتوستز خالص باشد (Taiz and Zeiger, 1998). مطابق با نتایج این تحقیق کمترین میزان فتوستز خالص گیاه سویا در بالاترین تراکم (۵۰۰ هزار بوته در هکتار) به دست آمده است (Sadeghi *et al.*, 2015).

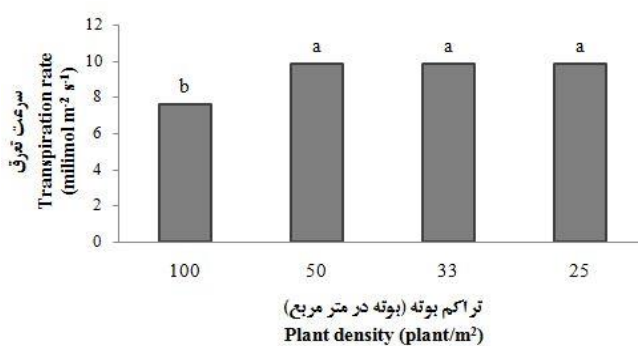
همچنین گزارش شده است با افزایش تراکم و در نتیجه شاخص سطح برگ، فتوستز خالص کاهش می‌یابد (Viddicombe and Thelen, 2002).

**سرعت تعرق:** تعرق عمدتاً نیروی محرکه جهت به جریان



شکل ۵- اثر تراکم کاشت بر فتوستز خالص گیاه حنا

Figure 5- The effect of planting density on net photosynthesis of Henna plant

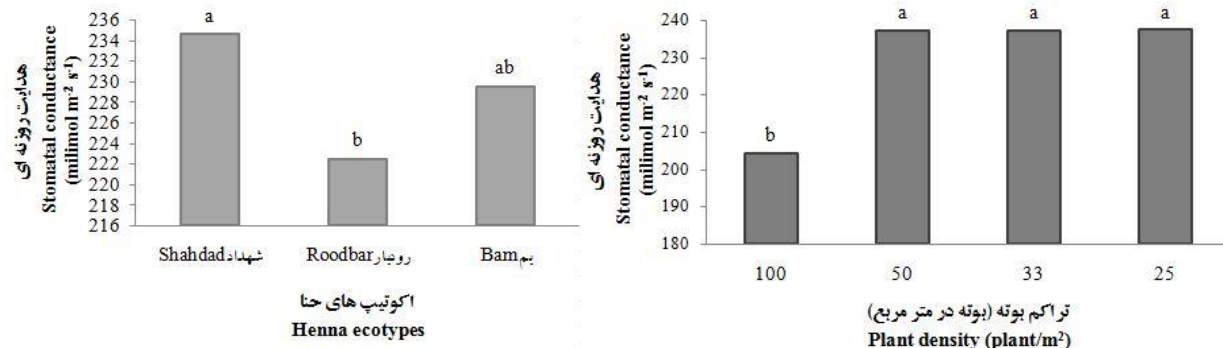


شکل ۶- اثر تراکم کاشت بر سرعت تعرق گیاه حنا

Figure 6- The effect of planting density on evaporation rate of Henna plant

تأثیر تراکم گیاه قرار می‌گیرد (Tanzarella *et al.*, 1984). بررسی‌های دیگر نشان دادند که تعداد روزنے در هر واحد از سطح برگ ممکن است در بین گونه‌های گیاهی، ارقام و کلون‌ها تغییر کند (Caglar and Tekin, 1999; Misirli *et al.*, 1998). در این تحقیق به نظر می‌رسد رقابت بر سر جذب آب در تراکم بالا (۱۰۰ بوته در مترمربع) گیاهان را در معرض کمبود آب قرار داده باشد و گیاهان نیز از طریق کاهش هدایت روزنے‌ای سعی در حفظ رطوبت خود داشته‌اند چرا که کاهش موازی در فتوسنتز و هدایت روزنے‌ای در شرایط کمبود رطوبت خاک به دفعات گزارش شده است (Koc *et al.*, 2003).

**هدایت روزنے‌ای:** هدایت روزنے‌ای به‌طور معنی‌داری تحت تأثیر اکوئیپ و تراکم کاشت قرار گرفت (جدول ۳). بیشترین میزان هدایت روزنے‌ای مربوط به اکوئیپ شهداد (۲۳۴/۶ میلی‌مول بر مترمربع بر ثانیه) بود که تفاوت معنی‌داری با اکوئیپ بم (۲۲۹/۶ میلی‌مول بر مترمربع بر ثانیه) نداشت (شکل ۷). همچنان مقایسه میانگین اثر تراکم کاشت برای این صفت نشان داد که بین تراکم‌های ۳۳، ۲۵ و ۵۰ بوته در مترمربع اختلاف معنی‌داری وجود ندارد در حالی که تراکم ۱۰۰ بوته در مترمربع با اختلاف معنی‌داری کمترین مقدار هدایت روزنے‌ای (۲۰۴/۳ میلی‌مول بر مترمربع بر ثانیه) را به خود اختصاص داد (شکل ۷). در بررسی گونه‌های مختلف باقالا (*Vicia faba* L.) را به خود اختصاص نشان داده شد که تراکم، فراوانی و تعداد روزنے‌ها در هر برگچه تحت



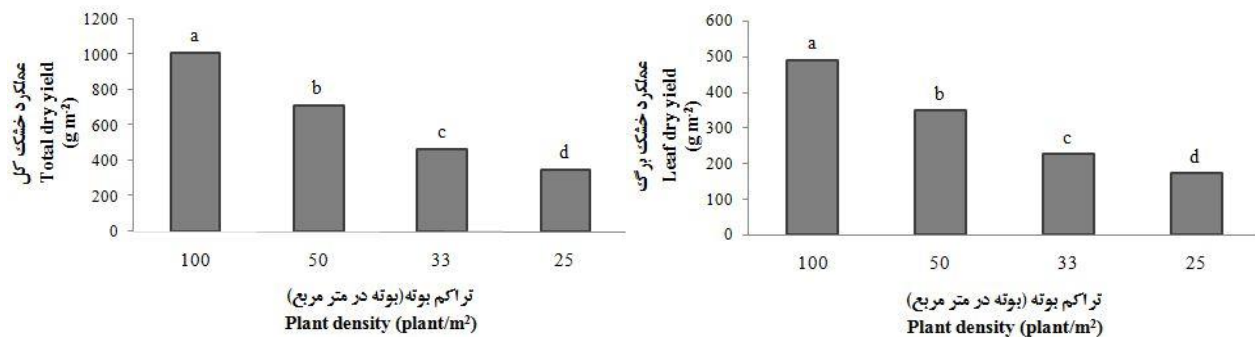
شکل ۷- اثر اکوئیپ و تراکم کاشت بر هدایت روزنے‌ای گیاه حنا

Figure 7- The effect of ecotype and planting density on stomatal conductance of Henna plant

کمترین عملکرد خشک کل (۳۴۸/۸ گرم در مترمربع) از تراکم ۲۵ بوته در مترمربع (فاصله روی ردیف ۲۰ سانتی‌متر) به‌دست آمد. اثر متقابل اکوئیپ در تراکم برای عملکرد خشک کل معنی‌دار نگردید. در مواردی که اندام هوایی گیاه به عنوان بخش اقتصادی مطرح باشد، کشت‌های متراکم و ایجاد سطح بالای شاخص سطح برگ می‌تواند در افزایش ماده خشک مؤثر باشد و عملکرد ماده خشک می‌تواند تحت تأثیر تراکم قرار گیرد (Yaghoubnejad, 2004). محققین گزارش کردند که تراکم ۵۰ بوته در مترمربع گیاه گلنگ نسبت به تراکم ۴۰ بوته در مترمربع دارای وزن خشک بیشتری بود (Pourhadian and Khajepour, 2008). همچنان آنها بیان کردند با افزایش تراکم بوته در واحد سطح، رقابت بین بوته‌ها به دلیل کاهش فضای قابل دسترس گیاه تشدید شده و باعث کاهش وزن خشک هر بوته می‌شود اما افزایش تعداد بوته در مترمربع باعث جبران این کاهش شده و افزایش ماده خشک در واحد سطح را به دنبال دارد.

**عملکرد خشک برگ و عملکرد خشک کل:** نتایج تجزیه واریانس نشان داد که اثر تراکم در سطح احتمال یک درصد ( $P<0.001$ ) برای عملکرد خشک برگ معنی‌دار گردید (جدول ۳). بیشترین عملکرد خشک برگ مربوط به اکوئیپ شهداد (۳۲۲/۵ گرم در مترمربع) بود که اختلاف معنی‌داری با اکوئیپ رودبار (۳۰۸/۳ گرم در مترمربع) نداشت. در این تحقیق افزایش تراکم کاشت منجر به افزایش معنی‌دار عملکرد خشک برگ گردید به گونه‌ای که بیشترین و کمترین عملکرد خشک برگ به ترتیب مربوط به تراکم‌های ۱۰۰ و ۲۵ بوته در مترمربع بود (شکل ۸).

طبق نتایج تجزیه واریانس، اثر ساده اکوئیپ بر عملکرد خشک کل معنی‌دار نبود ولی اثر ساده تراکم در سطح یک درصد معنی‌دار شد (جدول ۳). بیشترین عملکرد خشک کل (۱۰۱ گرم در مترمربع) در بالاترین سطح تراکم کاشت حاصل شد که نسبت به تراکم ۵۰ بوته در مترمربع ۴۱/۱ درصد افزایش نشان داد (شکل ۸). همچنان



شکل ۸- اثر تراکم کاشت بر عملکرد خشک برگ و خشک کل گیاه حنا  
Figure 8- The effect of planting density on total and leaf dry yield of Henna plant

مورد تراکم مناسب ضروری به نظر می‌رسد. همچنین اگرچه میزان عملکرد به دست آمده از این تحقیق با میزان عملکرد از کشت سال اول حنا در مناطق بومی زیر کشت آن (تحقیقات در حال چاپ نویسنده‌گان) تقریباً همخوانی دارد ولی در پایان فصل رشد و با اولین کاهش دمای شدید، بوته‌های حنا دچار سرمادگی شده و برای سال بعد امکان رویش مجدد نداشتند.

## نتیجه‌گیری

به طور کلی بین اکوتبپ‌های مورد بررسی از لحاظ عملکرد در شرایط آب و هوایی کرمان اختلاف وجود نداشت. همچنین بیشترین عملکرد به تراکم ۱۰۰ بوته در مترمربع اختصاص داشت. البته با استثنای توجه نمود که حنا گیاهی چند ساله بوده و این تراکم کاشت برای سال اول از نظر اقتصادی توجیه‌پذیر است ولی برای بوته‌های با سن بیشتر از یک سال با توجه به تغییر در اندازه پیکره گیاه، تحقیق در

## References

- Al-Rubaiy, K. K., Jaber, N. N., Al-Mhaawe, B. H., and Alrubaiy, L. K. 2008. Antimicrobial efficacy of henna extracts. *Oman Medical Journal* 23: 253-6.
- Armin, M., Noormohammadi, Gh., Darvish F., Zand, S., and Baghestani, M. 2008. Study on some ecophysiological difference in more and less competitive winter wheat cultivars on competition with wild oat at different wheat densities. *Journal of Pajouhesh and Sazandegi* 80: 119-127. (in Persian with English abstract).
- Bannayan, M., Rahmati, M., Ghani A., and Ghavidel, H. 2010. Quantitative analysis of growth and production of two local and commercial cultivars of radish (*Raphanus sativus L.*) in response to different levels of planting density. *Iranian Journal of Field Crop Research* 8 (6): 1002-1011. (in Persian with English abstract).
- Behdani, M., Ghazvini, K., Mohammadzadeh, A. R., and Sadeghian, A. 2009. Antibacterial activity of Henna extracts against *Staphylococcus aureus* and *Pseudomonas aeruginosa*. *Ofogh-e-Danesh. GMUHS Journal* Vol. 15: 46-52. (in Persian with English abstract).
- Bich, D. H., Chung, D. Q., Chuong, B. X., Dong, N. T., Dam, D. T., Hien, P. V., Lo, V. N., Mai, P. D., Man, P. K., Nhu, D. T., Tap, N., and Toan, T. 2004. *The Medicinal Plants and Animals in Vietnam*. Hanoi Science and Technology Publishing House, Hanoi, Vol. 1, p. 224.
- Board, J. E., and Harville, B. G. 1996. Explantions for greater light interception in narrow- vs- wide-row soybean. *Crop Science* 32: 198-202.
- Caglar, S., and Tekin, H. 1999. The stomata density of pistachio cultivars on different pistacia rootstocks. *Turkish Journal of Agriculture and Forestry* 23: 1029-1032.
- Campos, V. M., Pasin, L. A. A. P., and Barja, P. R. 2008. Photosynthetic activity and growth analysis of the plant *Costus spicatus* cultivated under different light conditions. *The European Physical Journal Special Topics* 153: 527-529.
- Chaudhary, G., Goyal, S., and Poonia, P. 2010. *Lawsonia inermis* Linnaeus: A Phytopharmacological Review. *International Journal of Pharmaceutical Sciences and Drug Research* 2: 91-98.
- Endrini, S., Rahmat, A., Ismail, P., and Taufiq-Yap, Y. H. 2007. Comparing of the cytotoxicity properties and mechanism of *Lawsonia inermis* and *Strobilanthe crispus* extract against several cancer cell lines. *Journal of Medical Science* 7: 1098-1102.
- Pasandi Pour, A., Farahbakhsh, H., and Moradi, R. 2018. Assessing effect of climatic-management factors on yield and growth characteristics of henna (*Lawsonia inermis* L.) as a medicinal-industrial plant in Kerman province. *Agroecology*. (In Press). (in Persian with English abstract).

12. Ghalandari, R., Rhimzadeh Khoei, F., Toorchi, M., and Behtari, B. 2009. Effect of Plant Density on Growth and Yield of Three Sunflower Hybrids (*Helianthus annuus* L.) as a Second Crop. Journal of Sustainable Agriculture and Production Science 2 (20): 27-40. (in Persian with English abstract).
13. Grogton, K. F., Schneiter, A. A., and Nagle, B. J. 1988. Row spacing, plant population and genotype with row spacing effects on yield and yield components of dry bean. Agronomy Journal 80: 631-634.
14. Holshouser, D. L., and Jones, B. P. 2003. Early-maturing double crop soybean requires higher plant population to meet leaf area requirement. Crop Management 2. doi: 10.1094/CM-2003-0408-01-RS.
15. Koc, M., Barutcular, C., and Genc, I. 2003. Photosynthesis and productivity of old and modern durum wheat's in Mediterranean environment. Crop Science 43: 2089-2098.
16. Koocheki, A., and Sarmadnia, G. 2006. Physiology of crop plants. Jahade-e-Daneshgahi Mashhad Press. (in Persian).
17. Kuhlase, L. M., Ossom, E. M., and Rhykerd, R. L. 2009. Effects of plant populations on morphological and physiological parameters of intercropped sweet potato (*Ipomoea batatas* L.) and groundnut (*Arachis hypogaea* L.). Academic Journal of Plant Science 2 (1): 16-24.
18. Kumar Singh, D., Luqman, S., and Kumar Mathur, A. 2015. *Lawsonia inermis* L. – A commercially important primaeva dyed and medicinal plant with diverse pharmacological activity: A review. Industrial Crops Products 65: 269-286.
19. Lebaschi, M. H. 1992. Investigate the different aspect of dual purpose using of Barley and Oat variety. M. Sc. Thesis in Agronomy. Isfahan Industrial Univ.
20. Martin, R. J., and Deo, B. 2000. Effect of plant population on calendula (*Calendula officinalis* L.) flower production. New Zealand Journal of Crop and Horticultural Science 28 (1): 37-44.
21. Misirli, A., Topuz, F., and Zeybekoglu, N. 1998. Research on variation of female and male figs in terms of leaf properties and stomatal distribution. Acta Horticulture 480: 129-132
22. Moradkhajati, P., and Shokuhfar, A. 2016. Growth Analysis, Yield and Yield Components of Three Barley Cultivars (*Hordeum vulgare* L.) under Different Seeding Rates. Journal of Crop Ecophysiology 10 (2): 461-476. (in Persian with English abstract).
23. Morrison, M. J., McVetty, P. B. E., and Scar, R. 1990. Effect of altering plant density on growing characteristics of summer rape. Canadian Journal of Plant Science 70: 139-149.
24. Nour-Mohamadi, G., Siadat, A., and Kashani, A. 2010. Agronomy, Vol. 1. Cereal Crops. Shahid Chamran University Press. (in Persian).
25. Poorter, H. 1989. Interspecific variation in relative growth rate: On ecological causes and physiological consequences. p. 45-68. In Lambers, et al., (Eds.) Causes and consequences of variation in growth rate and productivity of higher plants. SPB Acad. Publishing.
26. Pourhadian, H., and Khajepour, M. R. 2008. Effects of row spacing and planting density on growth indices and yield of safflower, local variety of Isfahan Koseh in summer planting. Journal of Science and Technology of Agriculture and Natural Resources 11 (42): 17-31. (in Persian with English abstract).
27. Rafiei Alhoseini, M., and Salehi, F. 2002. Effect of plant density on grain yield and arable characteristics of three Sunflower varieties in Shahrekord. 8<sup>th</sup> Iranian Crop Science Congress, Gilan, Iran.
28. Sadeghi, H., Heidari Sharifabd, H., Hamidi, A., Noormohammadi, Gh., and Madani, H. 2015. Effect of planting date and plant density on net photosynthesis, stomatal conductance, leaf chlorophyll index and grain yield of soybean in Meghan and Karaj areas. Journal of Plant Ecophysiology 7 (23): 83-94. (in Persian with English abstract).
29. Taize, L., and Zeiger, E. 1998. Plant physiology. 2nd Ed. Sinauer Associates, Sunderland.
30. Tanzarella, O. A., Depace, C., and Filippetti, A. 1984. Stomata frequency and size in *Vicia faba* L. Crop Science 24: 1070-1076.
31. Viddicombe, W. D., and Thelen, K. D. 2002. Row width and plant density effects on corn grain production in the Northern cron Belt. Agronomy Journal 94: 1020-1023.
32. Yaghoubnejad, F. 2004. Effect of row space, plant space and variety on growth, tuber size and potato yield. M. Sc. Thesis in Agronomy. Isfahan Industrial Univ.



## The Effect of Plant Density on Photosynthesis and Growth Indices of Henna (*Lawsonia inermis L.*) Ecotypes

A. Pasandi Pour<sup>1</sup>- H. Farahbakhsh<sup>2\*</sup>

Received: 19-12-2016

Accepted: 22-08-2017

### Introduction

One of the most important factors to obtain the maximum performance or yield in every climatic condition and for each plant varieties is determining the optimum plant density. Henna (*Lawsonia inermis L.*) is a perennial plant with high value in terms of having medicinal properties and industrial applications. The dye which is derived from green leaves of henna is used for decorating the body with intricate designs and the principle coloring matter is lawsone, 2-hydroxy-1, 4-naphthoquinone. The main purpose of this study was to evaluate the agro-physiological reaction of different henna ecotypes to different planting densities in Kerman weather conditions.

### Materials and Methods

The study was carried out as a factorial experiment based on complete randomized block design with three replications in Shahid Bahonar University in 2015. The experiment consisted of four plant densities (25, 33, 50 and 100 plants  $m^{-2}$ ) and three ecotypes (Shahdad, Roodbar and Bam). Due to its small seeds and germination problems the planting method used was transplanting. In this study, growth indices such as leaf area index (LAI), crop growth rate (CGR), relative growth rate (RGR), leaf area ratio (LAR), specific leaf area (SLA), specific leaf weight (SLW), leaf area duration (LAD) and biomass duration (BMD) were calculated. The net photosynthesis, stomatal conductance and transpiration rate were measured in the middle of growing period by photosynthesis meter (CI-340 model, CID Bio- Science companies, USA). At the end, the results were analyzed using the SAS v. 9.1 and MSTATC software's and diagrams were drawn by Excel software.

### Results and Discussion

The results showed that the studied ecotypes were significantly different in terms of CGR, RGR and stomatal conductance. The highest average of CGR belonged to Shahdad ecotype while there was no significant difference between Roodbar and Bam ecotypes in this case. Shahdad ecotype with the RGR of 0.018 g.g.day had the highest average of this trait. This difference could be due to physiological, morphological and chemical factors as well as allocating pattern of photosynthates, all affects the relative growth rate. The maximum value of stomatal conductance was recorded for Shahdad ecotype ( $234.6 \text{ mmol m}^{-2} \text{ s}^{-1}$ ), that was not significantly different with Bam ecotypes ( $229.6 \text{ mmol m}^{-2} \text{ s}^{-1}$ ). There are some reports showing that the number of stomata per unit of leaf area may be changed with plant species and varieties. The differences in studied densities were statistically significant for the measured traits. Results showed that the maximum of CGR was recorded for 100 plants  $m^{-2}$  density. Increase in CGR at the higher densities could be due to the increased number of plants per unit area producing a higher leaf area index. In this research LAI increased with increasing in planting density and the highest average of this trait was obtained from 100 plants  $m^{-2}$ . LAD and BMD were affected significantly by planting density ( $P<0.01$ ). The results of mean comparisons showed that average of LAD and BMD decreased with increasing in plant density from 50 to 100 plants  $m^{-2}$ . The same result was obtained for net photosynthesis, transpiration rate and stomatal conductance. Low net photosynthesis in 100 plants  $m^{-2}$  density could be due to high competition between plants for light and food absorption, increase in shading and consequently increasing in respiration. The results showed that total dry yield and leaf dry yield were significantly affected by planting densities. The highest and lowest values of mentioned traits belonged to densities of 100 and 25 plants  $m^{-2}$  respectively.

### Conclusions

Generally between ecotypes evaluated in terms of performance, there was no difference in Kerman weather conditions. Also the highest yield was belonged to 100 plants  $m^{-2}$  density. It should be noted that henna is a perennial plant and this planting density for the first year is economically justified but for more than one year old plants, according to changes in body size of the plant, research on the appropriate density seems to be necessary.

**Keywords:** CGR, Ecotype, Row spacing, Stomatal conductance, Yield

1 and 2- PhD Student and Associate Professor respectively, Department of Agronomy and Plant Breeding, Shahid Bahonar University, Kerman

(\*- Corresponding Author Email: hfarahbakhsh@yahoo.com)



## ارزیابی پاسخ به تنش خشکی در برخی از لاین‌های موتانت برنج با استفاده از شاخص‌های تحمل به تنش

هاشم امین‌پناه<sup>۱</sup> - پیمان شریفی<sup>۱\*</sup> - علی اکبر عبادی<sup>۲</sup>

تاریخ دریافت: ۱۳۹۵/۱۰/۲۴

تاریخ پذیرش: ۱۳۹۶/۰۶/۲۱

### چکیده

مجموعه‌ای از ۱۸ ژنوتیپ برنج شامل ۱۴ لاین موتانت M5 و چهار رقم والدینی آنها تحت تنش خشکی در مرحله زایشی و بدون تنش در دو آزمایش جداگانه به صورت طرح بلوک‌های کامل تصادفی با سه تکرار در موسسه تحقیقات برنج کشور، رشت در سال زراعی ۱۳۹۳-۹۴ مورد بررسی قرار گرفتند. نتایج تجزیه واریانس نشان داد که اثر خشکی، ژنوتیپ و اثرباره متقابل دو فاکتور بر صفات عملکرد دانه، ارتفاع بوته، مساحت برگ پرچم، تعداد پنجه و درصد باروری دانه معنی‌دار بود. تنش خشکی در مرحله زایشی باعث کاهش عملکرد دانه (۵۹/۴٪)، درصد باروری دانه (۱۹/۰٪)، ارتفاع بوته (۹/۰٪)، مساحت برگ پرچم (۸/۵٪) و طول خوشة (۱/۶٪) شد. شاخص تحمل به تنش (STI)، میانگین بهره‌وری (MP)، میانگین هندسی بهره‌وری (GMP) و میانگین هارمونیک (HM) به عنوان شاخص‌های برتر بودند و از آنها برای معرفی ژنوتیپ‌های مقاوم و یا متحمل به تنش خشکی و با عملکرد بالا در شرایط دارای تنش خشکی و بدون تنش استفاده شد. با توجه به شاخص‌های مذکور، ژنوتیپ‌های ۱، ۲، ۳، ۴ و ۵ (لاین‌های موتانت ۱۴ از رقم طارم محلی) و (لاین موتانت M5 از رقم هاشمی) متحمل به تنش خشکی و ژنوتیپ‌های ۱۴ (لاین موتانت از رقم خزر)، ۱۵ (هاشمی)، ۱۶ (خزر) و ۱۷ (طارم) حساس به تنش خشکی شناسایی شدند. بنابراین موتاسیون سبب ایجاد تحمل به تنش خشکی در نتایج شده است و لذا می‌توان از لاین‌های فوق در پروژه‌های معرفی ارقام مقاوم یا متحمل به خشکی استفاده نمود.

**واژه‌های کلیدی:** تجزیه مؤلفه‌های اصلی، لاین موتانت، عملکرد دانه، مرحله زایشی

شناسایی ژنوتیپ‌های متحمل به خشکی، شاخص‌های مختلفی به عنوان معیار انتخاب ژنوتیپ‌ها بر اساس عملکرد آن‌ها در شرایط تنش و بدون تنش پیشنهاد شده است که از جمله می‌توان به شاخص تحمل به تنش<sup>۳</sup> (TOL) و میانگین بهره‌وری<sup>۴</sup> (MP) (Rosielie and Fisher, 1981) و شاخص حساسیت به تنش<sup>۵</sup> (SSI) (Hamblin, 1981) و شاخص میانگین هندسی<sup>۶</sup> (and Mourer, 1987) اشاره نمود. شاخص میانگین هندسی بهره‌وری<sup>۶</sup> (GMP) به مقادیر نسبتاً زیاد Ys و Yp حساسیت ندارد و در مقایسه با MP دارای اثر ارجیبی به سمت بالا نیست. شاخص تحمل به تنش<sup>۷</sup> (STI)، معیار مناسبی برای انتخاب ژنوتیپ‌ها جهت دستیابی به عملکرد بالا در شرایط تنش و بدون تنش می‌باشد و ژنوتیپ‌هایی که دارای عملکرد بالا در شرایط تنش و بدون تنش می‌باشند، را از هم جدا می‌کند (Fernandez, 1992). شاخص‌های دیگر برای ارزیابی

### مقدمه

برنج (*Oryza sativa L.*) در بین گیاهان زراعی بالاترین نیاز آبی را دارد و زراعت آن، ۲ تا ۳ برابر بیشتر از سایر گیاهان زراعی مانند گندم و ذرت به آب نیاز دارد (Yang and Zhang, 2010). از آنجا که احتمال وقوع تنش خشکی در مرحله زایشی تأثیر مرحله رویشی بیشتر است و تنش خشکی در مرحله زایشی تأثیر بیشتری بر عملکرد دانه و اجزای آن دارد، به طور معمول، در ارزیابی ژنوتیپ‌های برنج، اثرات تنش خشکی در انتهای فصل مورد توجه می‌باشد (Venuprasad *et al.*, 2008). برای ارزیابی آسان‌تر ژنوتیپ‌ها در مواجهه با تنش خشکی و

- دانشیار، گروه زراعت و اصلاح نباتات، واحد رشت، دانشگاه آزاد اسلامی، رشت، ایران  
- استادیار و عضو هیأت علمی موسسه تحقیقات برنج کشور، سازمان تحقیقات، آموزش و ترویج کشاورزی، رشت، ایران  
- نویسنده مسئول: Email: sharifi@iaurusht.ac.ir  
DOI: 10.22067/gsc.v16i1.61793

3- Tolerance Index

4- Mean Productivity

5- Stress Susceptibility Index

6- Geometric Mean Productivity Index

7- Stress Tolerance Index

برنج کشور در رشت (با عرض جغرافیایی ۳۷ درجه و ۲۸ دقیقه شمالی، طول جغرافیایی آن ۴۹ درجه و ۲۸ دقیقه شرقی و ارتفاع ۲۰/۲۶ متر پایین تر از سطح دریا) انجام شد. این تحقیق به صورت دو آزمایش جداگانه در قالب طرح پایه بلوك‌های کامل تصادفی با سه تکرار و در دو شرایط نرمال و تنش خشکی اجرا شد. مواد گیاهی مورد استفاده در این آزمایش شامل تعداد ۱۴ لاین موتانت (۷ لاین موتانت از رقم هاشمی، شش لاین موتانت از رقم طارم محلی و یک لاین موتانت از رقم خزر) به همراه چهار رقم (هاشمی، طارم محلی، خزر و گیلانه) بودند. لاین‌های موتانت از پروژه‌ای مشترک با پژوهشکده کشاورزی هسته‌ای به دست آمده بودند. جهت جلوگیری از ورود آب باران (بارندگی) به کرت‌های تحت تنش خشکی، از پوشش پلاستیکی به عنوان پناهگاه (شیلتر) استفاده شد. در آزمایش مربوط به تنش کمبود آب انتهای فصل، آبیاری در مراحل آغازش جوانه‌های گل یعنی ظهور خوشه جوان (۵۰ روز بعد از نشاء کاری) به طور کامل قطع گردید. از زمانی که رطوبت خاک به ۴۰ درصد رسید، تنش کم‌آبی شروع شد. مساحت هر کرت ۱۳ مترمربع و فاصله نشاء‌ها ۲۵ سانتی‌متر روی ردیف و ۲۵ سانتی‌متر بین ردیف و تعداد نشاء‌ها در هر کپه ۳ عدد بود. در طول دوره رشد و همچنین زمان رسیدگی صفات ارتفاع بوته (میانگین ارتفاع بلندترین پنجه از ناحیه طوقه در سطح خاک تا نوک خوشه بدون اختساب ریشک بر حسب سانتی‌متر)، طول برگ پرچم (از زیر برگ پرچم تا نوک آن بر حسب سانتی‌متر)، عرض برگ پرچم (از پهن‌ترین قسمت برگ پرچم بر حسب سانتی‌متر)، تعداد پنجه بارور (میانگین تعداد پنجه بارور در ۱۰ کپه تصادفی از هر کرت)، طول خوشه (میانگین طول ۱۰ خوشه اصلی از ۱۰ کپه در هر کرت، از گره زیر خوشه تا انتهای خوشه بدون در نظر گرفتن ریشک)، بر حسب سانتی‌متر)، طول خروج خوشه از غلاف (میانگین خروج خوشه‌ها از بالای غلاف برگ پرچم تا گره زیر خوشه در زمان رسیدگی)، تعداد دانه‌پر (تعداد دانه‌های پر در خوشه‌های اصلی در ۱۰ کپه تصادفی از هر کرت بعد از رسیدن کامل دانه‌ها) و تعداد دانه‌پوک (تعداد دانه‌های پوک و معیوب در خوشه‌های اصلی ۱۰ کپه تصادفی از هر کرت) و طول و عرض شلتونک (طول و عرض ۵۰ شلتونک در هر کپه و در ۱۰ کپه از هر کرت بر حسب میلی‌متر توسط دستگاه کولیس) اندازه‌گیری شدند. برای اندازه‌گیری صفات مورد مطالعه، از هر واحد آزمایشی ۱۰ کپه به طور تصادفی انتخاب شد و میانگین آنها مورد تجزیه و تحلیل آماری قرار گرفت. همچنین مساحت برگ پرچم (طول و عرض برگ پرچم در ضریب ۰/۷۵)، باروری دانه (از تقسیم تعداد دانه پر بر تعداد کل دانه‌ها) و نسبت طول به عرض دانه نیز محاسبه شدند. محصول هر ترکیب تیماری در زمان رسیدن کامل از هشت مترازمربع هر واحد آزمایشی پس از حذف حاشیه، برداشت و با رطوبت ۱۴ درصد محاسبه شد و به عنوان عملکرد دانه در نظر گرفته شد.

پس از برداشت، با استفاده از عملکرد ژنتیکی‌ها در شرایط بدون

ژنتیکی‌ها در شرایط تنش، میانگین هارمونیک<sup>۱</sup> (HM) (Fernandez, 1992)، شاخص پایداری عملکرد<sup>۲</sup> (YSI) (Bouslama and Gavuzzi et al., 1984) و شاخص عملکرد<sup>۳</sup> (YI) (Schapaugh, 1984) هستند.

مطالعات متعددی در کشور برای ارزیابی عملکرد برنج در شرایط تنش خشکی صورت گرفته است. از جمله در تحقیقی نشان داده شد که شاخص‌های تحمل به تنش، میانگین هندسی، شاخص میانگین تولید و میانگین هارمونیک بهترین شاخص‌ها جهت گزینش ژنتیکی‌های پرمحصلو برنج در هر دو محیط تنش خشکی و بدون تنش بودند (Ghiassy Oskoee et al., 2012). در تحقیقی دیگر نشان داده شد که شاخص‌های STI، HM و GMP همبستگی مثبت و معنی‌داری با عملکرد دانه در هر دو شرایط تنش و بدون تنش خشکی داشتند و به عنوان شاخص‌های مناسب جهت گزینش ارقام پرمحصلو در هر دو محیط تنش و بدون تنش شناسایی شدند (Safaei Chaeikar et al., 2008).

شاخص‌های GMP و STI به عنوان بهترین شاخص معرفی شدند و مناسب‌ترین ژنتیکی‌ها بر اساس این شاخص‌ها شناسایی شدند (Erfani et al., 2012). در مطالعه‌ای دیگر با ارزیابی شاخص‌های GMP و STI به عنوان ژنتیکی در ۱۵ رقم برنج، شاخص‌های GMP و STI به عنوان مناسب‌ترین شاخص‌ها برای شناسایی ژنتیکی HM تحمل به تنش خشکی در مرحله زایشی معرفی شدند (Kohansal et al., 2010). در تحقیقی دیگر، با ارزیابی شاخص‌های مقاوم و یا متحمل به تنش خشکی در مرحله زایشی معرفی شدند (Vajargah et al., 2010). در تحقیقی دیگر، با ارزیابی شاخص‌های مقاوم و یا متحمل به تنش خشکی در نسل F5 نشان داده شد که شاخص‌های GMP، STI و HM همبستگی مثبت و بالایی با عملکرد دانه در شرایط تنش و بدون تنش داشتند و به عنوان شاخص‌های مناسب برای انتخاب ژنتیکی‌های مقاوم و یا متحمل به خشکی در ۵۰ لاین نسل (Rahimi et al., 2013).

با توجه به در معرض تنش خشکی قرار گرفتن ژنتیکی‌های برنج در کشور و از طرفی کمبود منابع متحمل به خشکی، هدف از تحقیق حاضر بررسی واکنش لاین‌های موتانت تنش در برابر تنش خشکی و معرفی شاخص‌های بتر و در نهایت شناسایی لاین یا لاین‌های برتر و متحمل به تنش خشکی بود.

## مواد و روش‌ها

آزمایش حاضر در سال زراعی ۹۴-۱۳۹۳ در مؤسسه تحقیقات

1- Harmonic Mean

2- Yield Stability Index

3- Yield Index

خروج خوش از غلاف در سطح احتمال پنج درصد معنی‌دار بود. همچنین تفاوت بسیار معنی‌داری بین ژنتیپ‌ها از نظر تمام صفات مورد مطالعه وجود داشت. اثر معنی‌دار ژنتیپ در سطح احتمال یک درصد بر صفات مورد مطالعه بیانگر وجود تنوع ژنتیکی بین ژنتیپ‌ها است. برخی از این صفات می‌توانند در ایجاد تحمل به خشکی در ژنتیپ‌های مورد مطالعه استفاده شوند. اثر متقابل ژنتیپ در خشکی برای صفات عملکرد دانه، ارتفاع بوته، مساحت برگ پرچم، تعداد پنجه، طول خروج خوش از غلاف، طول خوش و درصد باروری دانه در سطح احتمال یک درصد معنی‌دار بود (جدول ۱). این امر نشان‌دهنده آن است که تغییرات قابل ملاحظه و بسیار معنی‌داری بین ژنتیپ‌ها در شرایط تنش خشکی و آبیاری نرمال وجود داشت و همچنین واکنش ژنتیپ‌های مختلف در شرایط متفاوت رطوبتی برای صفات مورد مطالعه یکسان نبود و ژنتیپ‌ها عکس العمل‌های متفاوتی در دو شرایط تنش خشکی و آبیاری نرمال داشتند. در تطابق با نتیجه حاضر، محققین دیگری نیز اثر متقابل ژنتیپ در تنش خشکی را بر صفات فوق گزارش نمودند (Safaei Chaeikar *et al.*, 2008; Ghiasi Oskooe *et al.*, 2013).

نتایج مقایسه میانگین‌ها حاکی از آن بود که مقادیر صفات عملکرد دانه، ارتفاع بوته، مساحت برگ پرچم، طول خروج خوش از غلاف، تعداد پنجه و درصد باروری دانه در شرایط آبیاری نرمال در مقایسه با تنش خشکی بیشتر بود (داده‌ها ارائه نشده‌اند). تجزیه واریانس ساده داده‌ها نشان داد که ژنتیپ‌ها در هر دو شرایط آبیاری نرمال و تنش خشکی برای صفات ارتفاع بوته، مساحت برگ پرچم، تعداد پنجه، طول خوش، درصد باروری دانه و عملکرد دانه دارای اختلاف معنی‌دار بودند (داده‌ها ارائه نشده‌اند). در شرایط آبیاری نرمال بیشترین میزان ارتفاع بوته (۱۶۸/۶۷ سانتی‌متر) مربوط به ژنتیپ ۱۷ بود. ژنتیپ ۱۴ بیشترین میزان مساحت برگ پرچم (۳۶/۹۰ سانتی‌متر مربع) و طول خروج خوش از غلاف (۱۱/۳۳ سانتی‌متر) را دارا بود. بیشترین تعداد پنجه (۲۰/۶۷ سانتی‌متر) مربوط به ژنتیپ ۸ بود. بیشترین میزان طول خوش (۳۱/۶۷ سانتی‌متر) مربوط به ژنتیپ ۱۱ بود. بیشترین درصد باروری دانه (۹۵/۶۱ درصد) مربوط به ژنتیپ ۱۳ بود. بیشترین میزان طول به عرض دانه (۴/۶۲) و عملکرد دانه (۴۹۵۵/۶۷) کیلوگرم در هکتار به ترتیب مربوط به ژنتیپ‌های ۱۵ و ۴ بود. در شرایط تنش خشکی، بیشترین میزان ارتفاع بوته (۱۵۷/۳۳) مساحت برگ پرچم (۳۰/۶۵ سانتی‌متر مربع) و تعداد پنجه بارور (۲۴/۳۳) به ترتیب مربوط به ژنتیپ‌های ۱۵، ۱۵ و ۱۸ بود. بیشترین میزان طول خوش (۳۱/۳۳ سانتی‌متر) و درصد باروری دانه (۸۴/۲۹) نیز به ترتیب مربوط به ژنتیپ بود.

تنش (Yp) و تنش خشکی (Ys) و میانگین عملکرد کلیه ژنتیپ‌ها در شرایط بدون تنش ( $\bar{Y}_P$ ) و تنش ( $\bar{Y}_S$ )، شاخص‌های تحمل به تنش خشکی به شرح زیر محاسبه شدند:

۱- شاخص حساسیت به تنش (Fischer and Maurer, 1978)

$$SSI = \frac{1 - (Y_S/Y_p)}{SI}$$

که در آن شاخص تنش<sup>۱</sup> (SI) از طریق رابطه زیر محاسبه می‌شود:

$$SI = 1 - \frac{\bar{Y}_S}{\bar{Y}_P} = \frac{(\bar{Y}_P - \bar{Y}_S)}{\bar{Y}_P}$$

۲- شاخص تحمل (Rosielle and Hamblin, 1981)

$$TOL = Y_p - Y_s$$

۳- متوسط عملکرد یا میانگین بهره‌وری تولید (Rosielle and

$$MP = \frac{Y_p + Y_s}{2} \quad (Hamblin, 1981)$$

۴- میانگین هندسی قابلیت تولید (Fernandez, 1992)

$$GMP = \sqrt{Y_p Y_s}$$

۵- شاخص تحمل به تنش (Fernandez, 1992)

$$STI = \frac{Y_p Y_s}{(\bar{Y}_p)^2}$$

۶- شاخص عملکرد (Gavuzzi *et al.*, 1997)

$$YI = \frac{Y_s}{\bar{Y}_s}$$

۷- شاخص پایداری عملکرد (Bouslama and Schapaugh,

$$YSI = \frac{Y_s}{Y_p} \quad (1984)$$

۸- میانگین هارمونیک (Fernandez, 1992)

$$HM = \frac{2(Y_p \times Y_s)}{Y_p + Y_s}$$

تجزیه واریانس و مقایسه میانگین عملکرد دانه و سایر صفات زراعی در ارقام مورد مطالعه، همبستگی بین شاخص‌ها و رسم شکل

بعدی به کمک نرم‌افزار SAS ver 9.2 انجام شد.

## نتایج و بحث

تجزیه واریانس مرکب و مقایسه میانگین‌ها

نتایج حاصل از تجزیه واریانس مرکب داده‌ها نشان داد که اثر خشکی بر صفات عملکرد دانه، ارتفاع بوته، تعداد پنجه و درصد باروری دانه در سطح احتمال یک درصد و مساحت برگ پرچم و طول

## جدول ۱- تجزیه واریانس مرکب عملکرد دانه و برخی از صفات مورفولوژیکی برنج در شرایط تنفس و بدون تنفس

Table 1- Combined analysis of variance for grain yield and some of the rice morphological traits under non-stress and drought stress conditions

SOV	منابع تغییرات	درجہ آزادی df	میانگین مربعات (Mean squares)								عملکرد دانه Grain yield
			نسبت طول به عرض دانه Grain length to width ratio	درصد باروری دانه grain fertility percentage	طول خروج خوشہ از غلاف Panicle exit length	طول خوشہ Panicle length	تعداد پنجه Tiller number	مساحت برگ پرچم Flag leaf area	ارتفاع بوته Plant height		
D	خشکی	1	0.32 <sup>ns</sup>	7744.62**	62.86*	5.55 <sup>ns</sup>	176.33**	124.33*	5097.81**	191818709.5**	
R(D)	تکرار درون خشکی	4	0.07	51.21	5.80	1.34	1.43	12.93	17.73	350094.5	
G	ژنتیپ	17	0.46**	462.19**	22.33**	29.34**	29.55**	70.93**	1011.14**	820879.8**	
D*G	ژنتیپ × خشکی	17	0.15 <sup>ns</sup>	120.88**	3.25**	3.71**	22.21**	38.36**	195.52**	341037.8**	
Error	خطا	68	0.16	25.80	1.83	1.39	4.33	4.64	9.49	37354.7	
CV	ضریب تغییرات		10.1	6.3	18.3	4.2	12.5	9.0	2.2	6.1	

ns، \* و \*\*: بهترتب غیر معنی دار و معنی دار در سطح احتمال پنج و یک درصد

ns, \* and \*\*: not-significant and significant at 5 and 1 percent level of probability, respectively

می‌کنند (Ghiasi Oskoee *et al.*, 2013). ژنتیپ‌های ۸، ۱۰، ۱۴، ۱۵ و ۱۸ که در شرایط آبیاری نرمال بیشترین عملکرد دانه را داشتند، از نظر تمام صفات درصد باروری دانه، طول خوشہ، طول خروج خوشہ از غلاف، تعداد پنجه و مساحت برگ پرچم و یا برخی از آنها نیز دارای مقادیر بالایی بودند، بهطوری که کاهش و عدم پایداری در این اجزا باعث کاهش عملکرد این ژنتیپ‌ها در شرایط تنفس خشکی شد. بیشترین میزان کاهش صفات مورد مطالعه تحت شرایط تنفس خشکی، مربوط به عملکرد دانه (۵۹/۴۷ درصد) بود. پس از آن نیز صفات درصد باروری دانه (۱۹/۰۸ درصد)، طول خروج خوشہ از غلاف (۱۸/۶۹ درصد)، ارتفاع بوته (۹/۳۵ درصد)، مساحت برگ پرچم (۸/۵۹ درصد) و طول خوشہ (۱/۶۱ درصد) در رتبه‌های بعدی از نظر کاهش تحت تأثیر تنفس خشکی بودند. بنابراین می‌توان چنین نتیجه گرفت که کاهش شدید عملکرد دانه ناشی از کاهش اجزای آن و برخی از صفات مورفولوژیک مطالعه شده می‌باشد. این نتایج با یافته‌های محققین دیگر (Ghiasi Oskoee *et al.*, 2012; Safaei *et al.*, 2008) مطابقت دارد. بنابراین می‌توان اظهار داشت که کاهش عملکرد دانه در شرایط تنفس خشکی بهترتب ناشی از افزایش تعداد دانه پوک، کاهش درصد باروری دانه، طول خروج خوشہ از غلاف، مساحت برگ پرچم و طول خوشہ بود. درصد کاهش مساحت برگ پرچم در اثر تنفس خشکی برابر ۸/۵۹ درصد بود، با توجه به اینکه برگ پرچم یکی از اجزای فعال در فتوسنتز می‌باشد، کاهش

همچنین بیشترین میزان طول خروج خوشہ از غلاف (۹/۶۷ سانتی‌متر)، نسبت طول به عرض دانه (۴/۷۸) و عملکرد دانه ۲۷۸/۳۳ کیلوگرم در هکتار بهترتب مربوط به ژنتیپ‌های ۷، ۱۸ و ۱ بود (داده‌ها ارائه نشده‌اند). در شرایط تنفس خشکی کمترین میزان عملکرد دانه ۶۴۲/۶۷ کیلوگرم در هکتار) مربوط به ژنتیپ ۱۵ بود، که در مقایسه با شرایط آبیاری نرمال با کاهش ۸۲ درصدی مواجه شد. دلیل این کاهش شدید عملکرد می‌تواند ناشی از کاهش طول خروج خوشہ از غلاف و همچنین پابلندی بوته‌ها باشد که منتج به افزایش تعداد دانه پوک می‌شود. در تطابق با این نتیجه، یکی از مهمترین دلایل اثرات خشکی، ممانعت از رشد طولی بالاترین میانگره یعنی دمگل عنوان شده است که منجر به باقی ماندن خوشہ درون غلاف برگ پرچم و از دست رفتن محصول می‌شود (Otooole and Namuco, 1983) و بالاترین مقدار عملکرد را به خود اختصاص دادند و مقدار کاهش عملکرد آنها بهترتب برابر با ۴۲، ۴۲، ۴۸، ۵۴، ۵۶، ۴۹، ۴۸ و ۵۰ درصد بود. کمترین کاهش عملکرد دانه (۴۲ درصد) مربوط به ژنتیپ ۱ با بیشترین میزان عملکرد دانه بود که می‌توان آن را به وجود بوته‌های پاکوتاه در مقایسه با شرایط آبیاری نرمال و عدم تغییر چشمگیر در مساحت برگ پرچم دانست. در تطابق با این نتیجه، گزارش شده است که گیاهان کوچک با سطح برگ کمتر و شاخص سطح برگ کوچک‌تر به طور نسبی آب کمتری در نواحی با کمبود آب مصرف

هر دو محیط تنش و بدون تنش دارای عملکرد مناسب باشند، موفق نبود، به طوری که ژنتیپ‌های ۱۷، ۱۱ و ۶ با عملکرد نسبتاً پایین در هر دو محیط به عنوان ژنتیپ‌های متحمل شناسایی شدند (جدول ۲). در واقع شاخص TOL، به نوعی تغییر حاصل از شرایط تنش را بیان می‌کند. یعنی ژنتیپ‌هایی که دارای شاخص تحمل پایینی هستند، تغییرات کمتری نشان می‌دهند و برعکس. پایین بودن درصد تغییرات به عنوان یک فاکتور تحمل به تنش، بیشتر ارزش فیزیولوژیک دارد تا زراعی، بنابراین، انتخاب بر اساس شاخص TOL، باعث گزینش ژنتیپ‌هایی با عملکرد به نسبت پایین در محیط عادی و عملکرد پایین در شرایط تنش می‌گردد، که چنین ژنتیپ‌هایی از نظر اشنازیدر و همکاران (Schnider *et al.*, 1997) به علت پایین بودن عملکرد از نظر زراعی مناسب نیستند. در نتیجه پایین بودن شاخص تحمل الزاماً به معنی بالا بودن عملکرد در شرایط بدون تنش نیست، بلکه ممکن است عملکرد یک ژنتیپ در شرایط بدون تنش پایین باشد و در شرایط تنش نیز بافت کمتری همراه باشد که این باعث کوچک ماندن شاخص تحمل به تنش می‌شود و در نتیجه این ژنتیپ به عنوان ژنتیپ متتحمل معرفی می‌گردد.

ژنتیپ‌های ۱، ۱۷، ۱۱ و ۶ که به ترتیب کمترین مقادیر شاخص حساسیت محیطی (SSI) را داشتند، جزو ارقام متتحمل بودند. از نظر این شاخص ژنتیپ ۱۵، حساس‌ترین ژنتیپ بود. گزینش ژنتیپ‌ها بر اساس این شاخص منجر به شناسایی ژنتیپ‌های متحمل به تنش ولی با پتانسیل عملکرد پایین می‌شود و این شاخص قادر به تفکیک ژنتیپ‌های متحمل به تنش از ارقام با پتانسیل عملکرد پایین نیست. به عبارتی دو ژنتیپ با عملکرد دانه بالا و پایین، در صورت داشتن اختلاف عملکرد یکسان در شرایط تنش و عدم تنش برای هر دو ژنتیپ مقدار SSI یکسانی خواهند داشت. ارزیابی ژنتیپ‌ها با استفاده از SSI مواد آزمایشی را صرفاً بر اساس مقاومت و حساسیت به تنش دسته‌بندی می‌کند به عبارت دیگر با استفاده از این شاخص می‌توان ژنتیپ‌های حساس و متتحمل را بدون توجه به پتانسیل عملکرد آنها مشخص کرد (Fischer and Maurer, 1978) و بهمنظور یافتن ژنتیپ‌های متحمل این شاخص کارایی بالایی دارد. در واقع در شاخص حساسیت (SSI) تغییر یا آسیب وارد به ژنتیپ‌ها در شرایط تنش مدنظر قرار می‌گیرد. به این معنی که اگر ژنتیپی در هر دو شرایط تنش و بدون تنش دارای عملکرد بالاتری باشد، اما درصد تغییرات زیادی را نشان دهد، به عنوان ژنتیپ متتحمل شناسایی نمی‌شود. به همین دلیل انتخاب بر اساس این شاخص، باعث کاهش پتانسیل عملکرد در محیط‌های مناسب و بدون تنش می‌شود (Schnider *et al.*, 1997).

مساحت برگ پرچم که ناشی از کاهش طول و عرض آن است، می‌تواند یکی از دلایل کاهش تعداد دانه پر در خوش و در نتیجه عملکرد دانه باشد. محققین دیگری نیز به تأثیر کاهش طول و عرض برگ پرچم در برجسته باعث کاهش فتوسنتز، تعداد دانه پر در خوش، تعداد دانه در خوش و تعداد خوش در بوته یعنی اجزای عملکرد می‌گردد (Lafitte *et al.*, 2004; Safaei Chaeikar *et al.*, 2008) در تطابق با نتیجه تحقیق حاضر مبنی بر تأثیر منفی تنش خشکی بر تعداد دانه‌های پر در دانه و در نتیجه درصد باروری دانه، در تحقیقی نشان داده شد که بیشترین تعداد دانه پر در ساقه در تیمار با رطوبت ۱۰۰ درصد ظرفیت زراعی خاک و کمترین میزان آن در تیمار با Zubaer *et al.*, (2007). همچنین نشان داده شده است که تعداد گلچه‌های غیربارور در شرایط تنش خشکی شدید در مقایسه با شرایط بدون تنش به میزان ۸۱ درصد ظرفیت زراعی خاک مشاهده شد (Davatgar *et al.*, 2009). همچنین ظهار شده است، در شرایطی که تنش خشکی نزدیک به مرحله گلده‌ی (که حساس‌ترین مرحله رشد است) اتفاق بیفتد، اجزای اصلی عملکرد تحت تأثیر قرار خواهد گرفت (Fischer *et al.*, 2003).

### ارزیابی شاخص‌های تحمل به تنش خشکی

بیشترین میزان شاخص‌های YI، STI، GMP، MP و YSI مربوط به ژنتیپ شماره ۱ بود. از آنجا که میزان بالای عددی شاخص‌های فوق نشان‌دهنده تحمل نسبی به تنش است، پس می‌توان نتیجه گرفت که ژنتیپ شماره ۱ متتحمل‌ترین ژنتیپ بود. شدت تنش (SI) برابر با ۵۹/۰ بود. همچنین کمترین میزان شاخص تحمل به تنش (TOL)، که مقادیر پایین آن نشان‌دهنده تحمل نسبی ارقام است، مربوط به ژنتیپ ۱۷ بود و پس از آن ژنتیپ‌های ۱۱، ۱، ۶ و ۷ قرار داشتند. بنابراین، ژنتیپ‌های فوق متتحمل به تنش خشکی بودند. بر اساس این شاخص، ژنتیپ‌های ۱۴، ۱۵، ۱۶، ۱۸ و ۱۰ به تنش خشکی حساس بودند. گزینش بر اساس سطوح پایین شاخص TOL، منجر به انتخاب ژنتیپ‌هایی می‌شود که عملکرد آن‌ها در محیط دارای تنش در مقایسه با محیط بدون تنش، کاهش کمتری داشته باشد. از آنجا که ممکن است عملکرد رقمی در شرایط بدون تنش کم باشد (همانند ژنتیپ ۱۷) و در شرایط تنش خشکی با کاهش کمتری مواجه شود و به عنوان رقم متتحمل معرفی شود، بنابراین پایین بودن شاخص TOL لزوماً نشانگر بالا بودن عملکرد Rosielle and Hamblin (1981). با بررسی عملکرد ژنتیپ‌ها در هر دو شرایط تنش و بدون تنش مشخص شد که شاخص TOL در گزینش ژنتیپ‌هایی که در

**جدول ۲- برآورد شاخص‌های مقاومت به خشکی ژنوتیپ‌های مورد مطالعه بر اساس عملکرد دانه**  
**Table 2- Drought stress tolerance indices and grain yield in the studied rice varieties**

شماره ژنوتیپ Geno- type code	نام ژنوتیپ Genot- ype name	دانه در شوابط نرمال Yp (kg ha <sup>-1</sup> )	عملکرد دانه در شوابط تنش خشکی Ys (kg ha <sup>-1</sup> )	شاخص حساسیت به تشنج SSI	میانگین بهره‌وری تولید MP	شاخص تحمل TOL	میانگین هندسی قابلیت تولید GMP	تحمل شاخص تشنج به STI	شاخص حملکرد YI	شاخص حملکرد پایداری YSI	میانگین همونیک HM
1	TM6- 230- VE-7- 5-1	4915	2788	0.73	3851.50	2126.33	3701.85	0.68	1.53	0.57	3558.02
2	TM6- 230- VE-8- 4-1	4587	2163	0.89	3375.00	2424.00	3149.87	0.49	1.19	0.47	2939.76
3	TM6- 250- 10-7-1	4784	2178	0.92	3481.17	2605.67	3228.18	0.52	1.20	0.46	2993.58
4	TM6- B-2-1- E	4956	2194	0.94	3574.83	2761.67	3297.38	0.54	1.21	0.44	3041.47
5	TM6- B-7-1	4761	1966	0.99	3363.50	2795.67	3059.28	0.47	1.08	0.41	2782.58
6	TM6- B-19-2	4248	1971	0.90	3109.50	2277.00	2893.58	0.42	1.08	0.46	2692.65
7	HM5- 250-E- 1-1	4633	2375	0.82	3504.00	2258.00	3317.13	0.55	1.31	0.51	3140.23
8	HM5- 250-E- 3-2	4428	1697	1.04	3062.50	2731.67	2741.06	0.37	0.93	0.38	2453.36
9	HM5- 250-7- 1	4645	1684	1.07	3164.67	2960.67	2797.09	0.39	0.93	0.36	2472.21
10	HM5- 250-7- 6	4667	1638	1.09	3152.17	3029.00	2764.50	0.38	0.90	0.35	2424.51
11	HM5- 300-E- 1	4078	1878	0.91	2978.00	2200.67	2767.26	0.38	1.03	0.46	2571.44
12	HM5- 300-3- 1	4572	1723	1.05	3147.50	2849.67	2806.53	0.39	0.95	0.38	2502.50
13	HM5- 300-5- 1	4473	2024	0.92	3248.67	2449.33	3008.99	0.45	1.11	0.45	2787.00
14	KM5- 200-4- 2-E	4378	726	1.40	2552.17	3651.67	1783.22	0.16	0.40	0.17	1245.96
15	Khaza r	4022	643	1.41	2332.17	3379.00	1607.67	0.13	0.35	0.16	1108.24
16	Hashe mi	4157	1621	1.03	2889.00	2536.67	2595.70	0.34	0.89	0.39	2332.17
17	Tarom Gilane h	3597	1859	0.81	2728.00	1737.33	2586.00	0.33	1.02	0.52	2451.39
18		4779	1576	1.13	3177.33	3203.33	2744.10	0.37	0.87	0.33	2369.95
Max		4955.67	2788.33	1.41	3851.50	3651.67	3701.85	0.68	1.53	0.57	3558.02
Min		3596.67	642.67	0.73	2332.17	1737.33	1607.67	0.13	0.35	0.16	1108.24
Mean		4482	1817								
SI		0.59									

YP, grain yield under non-stress condition; YS, grain yield under stress condition; SSI, stress susceptibility index; TOL, tolerance index; MP, mean productivity; GMP, geometric mean productivity; STI, stress tolerance index; HM, harmonic mean; YI, yield Index; YSI, yield stability index.

1992) از یکدیگر وجود دارد. بر اساس شاخص GMP، ژنوتیپ‌های ۱، ۴، ۷، ۱۴، ۱۵، ۱۶، ۱۷، ۱۸ و ۲۰ حساس به خشکی متحمل و ژنوتیپ‌های ۲، ۳، ۴، ۵، ۶، ۸ و ۱۹ بخوبی مقاوم هستند. شاخص GMP برخلاف شاخص میانگین بهره‌وری (MP) حساسیتی به مقادیر نسبتاً زیاد Yp و Ys ندارد و در مقایسه با MP دارای اریبی به سمت بالا نیست (Fernandez, 1992). بر اساس شاخص STI، ژنوتیپ‌های ۱، ۷، ۱۴، ۱۵ و ۲۰ جزء ژنوتیپ‌های متحمل و ژنوتیپ‌های ۱۶، ۱۷، ۱۸ و ۲۱ جزء ژنوتیپ‌های حساس بودند.

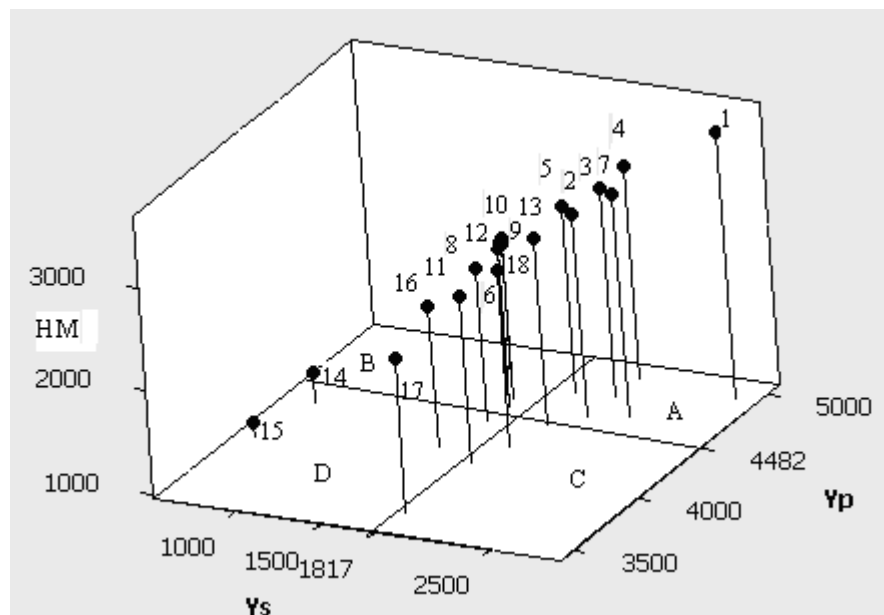
انتخاب براساس شاخص MP باعث گزینش ژنوتیپ‌هایی با پتانسیل عملکرد بالا می‌شود. بر اساس این شاخص، پس از ژنوتیپ شماره ۱، ژنوتیپ‌های ۴، ۷، ۳ و ۲ متتحمل‌ترین ژنوتیپ‌ها به تنفس خشکی بودند. همچنین بر اساس این شاخص، ژنوتیپ‌های ۱۴، ۱۵، ۱۶ و ۱۷ جزء ژنوتیپ‌های حساس بودند. از بین ارقام شاهد فقط ژنوتیپ ۱۸ از تحمل نسبی به خشکی از نظر این شاخص برخوردار بود (جدول ۲). با استفاده از شاخص‌های TOL و MP، امکان تفکیک ژنوتیپ‌های گروه B و C بر اساس تقسیم‌بندی فرناندرز (Fernandez, 1992)

گرفتند، که نشان دهنده عملکرد بالا این ژنتیپ‌ها در هر دو محیط تنش و بدون تنش می‌باشد. همچنین این نمودار نشان داد که ژنتیپ‌های ۱۵، ۱۴، ۱۶ و ۸ در ناحیه D قرار گرفته بودند.

**تجزیه همبستگی شاخص‌های تحمل به تنش خشکی**  
 همبستگی بین شاخص‌های تحمل به خشکی و عملکرد می‌تواند به عنوان معیاری مناسب برای انتخاب بهترین ژنتیپ‌ها و شاخص‌ها استفاده شود (جدول ۳). نتایج ضرایب همبستگی نشان داد که عملکرد دانه در شرایط آبیاری نرمال بهترین ترتیب با شاخص‌های میانگین تولید (MP)، میانگین هندسی بهره‌وری (GMP) (STI)، تحمل به تنش (STI) و میانگین هارمونیک (HM) همبستگی مثبت و معنی‌دار داشت، که بیشترین آن مربوط به شاخص میانگین هندسی بهره‌وری ( $r=+0.783$ ) بود. در شرایط آبیاری نرمال شاخص SSI دارای همبستگی منفی با عملکرد دانه بودند. در شرایط تنش خشکی نیز شاخص‌های YI، STI، GMP، HM و MP دارای همبستگی مثبت و بالایی با عملکرد دانه بودند. در این شرایط نیز دو شاخص SSI و STI دارای همبستگی منفی و معنی‌دار با عملکرد دانه بودند. در تطابق با این نتیجه، در تحقیقی همبستگی منفی بین دو شاخص فوق و عملکرد دانه در شرایط تنش خشکی گزارش شد (Safaei Chaeikar *et al.*, 2008).

ژنتیپ‌های متتحمل فوق، ضمن داشتن بالاترین مقادیر شاخص STI از نظر میانگین عملکرد نیز در هر دو شرایط محیطی به گروه ژنتیپ‌های پرمحصول تعلق داشتند. بر اساس شاخص HM، ژنتیپ‌های ۱، ۲، ۳، ۴، ۷، ۱۰، ۱۳ و ۱۷ متتحمل‌ترین و ژنتیپ‌های ۱۵، ۱۶، ۱۸ و ۲۰ حساس‌ترین ژنتیپ‌ها به تنش خشکی بودند. بر اساس شاخص YI، متتحمل‌ترین ژنتیپ‌ها عبارت بودند از ژنتیپ‌های ۱، ۲، ۳، ۴ و ۲ و حساس‌ترین ژنتیپ‌ها نیز شامل ژنتیپ‌های ۱۴، ۱۵، ۱۸، ۱۶ و ۱۰ بودند. بر اساس شاخص YSI نیز ژنتیپ‌های ۱، ۲، ۷، ۱۷، ۱۱، ۶ و ۱۰ متتحمل و ژنتیپ‌های ۱۵، ۱۶، ۱۴، ۱۸، ۱۰ و ۹ حساس به تنش خشکی بودند. در مجموع انتخاب بر اساس شاخص‌های MP، GMP، HM، STI و YI نتایج مشابهی داشت و بر اساس آنها ژنتیپ‌های ۱، ۲، ۳، ۴، ۷ و ۱۷ به عنوان ژنتیپ‌های متتحمل به تنش خشکی و ژنتیپ‌های ۱۵، ۱۶ و ۱۷ به عنوان حساس به تنش خشکی بودند (جدول ۲).

از شاخص‌های MP، STI، GMP، HM با توجه به برتری آنها در شناسایی ژنتیپ‌های مطلوب، می‌توان برای رسم نمودار سه‌بعدی استفاده نمود و همزمان روابط بین سه متغیر عملکرد در شرایط تنش و بدون تنش و یکی از شاخص‌ها را مطالعه کرد. از این‌رو، از شاخص HM به دلیل داشتن همبستگی بیشتر با عملکرد دانه در شرایط تنش خشکی برای نمودار سه بعدی استفاده شد (شکل ۱). بررسی نمودار سه بعدی نشان داد که ژنتیپ‌های ۱، ۲، ۳، ۷، ۴ و ۵ در گروه A قرار



شکل ۱- پردازش سه‌بعدی ارقام مورد مطالعه بر اساس شاخص‌های YP (عملکرد دانه برنج در شرایط بدون تنش)، Ys (عملکرد دانه برنج در شرایط تنش) و HM (میانگین هارمونیک)

Figure 1- Three dimensional dispersion of the studied varieties based on YP (rice grain yield under non-stress condition), YS (rice grain yield under stress condition) and HarM (harmonic mean)

Safaei Chaeikar *et al.*, 2008; Ghiasi Oskooe *et al.*, 2012). ژنوتیپ‌های ۱، ۲، ۳، ۴، ۷ و ۲ براساس شاخص‌های مذکور در رده بالایی قرار داشتند و با توجه به این که در این تحقیق، این شاخص‌ها به عنوان برترین شاخص‌ها برای شناسایی ژنوتیپ‌های متتحمل بودند، پس می‌توان ژنوتیپ‌های فوق را به عنوان متتحمل‌ترین ژنوتیپ‌ها به تنش خشکی در تحقیق حاضر معرفی نمود. همچنین ژنوتیپ‌های ۱۵، ۱۶ و ۱۷ که کمترین مقدار این شاخص‌ها را داشتند، می‌توانند به عنوان حساس‌ترین ژنوتیپ‌ها در این تحقیق معرفی گردند. در تطابق با این نتیجه، در تحقیقی ارقام هاشمی و خزر به عنوان ارقام حساس به خشکی در مراحل رویشی و زایشی معرفی شده بودند (Kohansal Vajargah *et al.*, 2010).

شاخص‌هایی که در هر دو محیط دارای همبستگی بالایی با عملکرد دانه باشند، قادر به جدا کردن و شناسایی ژنوتیپ‌های با عملکرد دانه بالا در هر دو محیط می‌باشند و از این‌رو می‌توانند به عنوان شاخص‌های مناسب معرفی شوند (Fernandez, 1992). این بدان معنی است که در صورت گزینش بر اساس هر یک از این شاخص‌ها، به طور غیرمستقیم ژنوتیپ‌های با عملکرد بیشتر انتخاب خواهد شد. لذا در تحقیق حاضر از شاخص‌های STI، GMP و HM برای معرفی ژنوتیپ‌های متتحمل به تنش خشکی استفاده شد. در همین راستا، سایر محققین نیز شاخص‌های STI، GMP و HM را به عنوان شاخص‌های برتر معرفی کردند که قادر به شناسایی ژنوتیپ‌های مقاوم با عملکرد بالا هستند (Erfani *et al.*, 2012; Rahimi *et al.*, 2013; Kohansal Vajargah *et al.*, 2010;

جدول ۳- ضرایب همبستگی بین عملکرد در شرایط تنش و غرقاب و شاخص‌های تحمل در ۱۸ ژنوتیپ برنج  
Table 3- Correlation coefficients among tolerance and susceptibility indices in the 18 rice genotypes

		شاخص حساسیت به در شرایط نرمال	شاخص تنش خشکی	میانگین بهره‌وری TOL	شاخص تحمل TOL	میانگین بهره‌وری قابلیت تولید	شاخص تنش GMP	میانگین بهره‌وری قابلیت تولید	شاخص تحمل YI	شاخص عملکرد YI	شاخص پایداری YSI	میانگین هارمونیک HM
Yp	1	.443	-.148	.783**	.261	.606**	.633**	.443	.148	.513*		
Ys		1	-.950**	.905**	-.750**	.978**	.972**	1.000**	.950**	.993**		
SSI			1	-.729**	.913**	-.874**	-.850**	-.950**	-1.000**	-.922**		
MP				1	-.396	.967**	.976**	.905**	.729**	.933**		
TOL					1	-.605**	-.580*	-.750**	-.913**	-.690**		
GMP						1	.991**	.978**	.874**	.994**		
STI							1	.972**	.850**	.980**		
YI								1	.950**	.993**		
YSI									1	.922**		
HM										1		

جدول ۴- مقادیر ویژه و بردارهای حاصل از تجزیه به مؤلفه‌های اصلی برای شاخص‌های مقاومت به خشکی

Table 4- Principal component analysis using tolerance and susceptibility indices

میانگین هارمونیک HM	شاخص پایداری YSI	شاخص عملکرد YI	شاخص تحمل YI	میانگین بهره‌وری قابلیت تولید	شاخص تحمل GMP	میانگین بهره‌وری TOL	شاخص حساسیت GMP	شاخص تنش GMP	میانگین بهره‌وری قابلیت تولید	شاخص تحمل YI	شاخص عملکرد YI	شاخص پایداری YSI	میانگین بهره‌وری قابلیت تولید	شاخص حساسیت TOL	میانگین بهره‌وری SSSI	شاخص تنش SSSI	میانگین بهره‌وری Yp	میانگین بهره‌وری Ys	عملکرد دانه در دانه در شرایط نرمال	درصد واریانس نرمال	مقادیر ویژه Eigen value	Principal component
1	8.27	82.8	0.16	0.34	-0.32	0.32	-0.25	0.34	0.34	0.35	0.33	0.35										
2	1.69	17	0.68	-0.02	0.26	0.31	0.52	0.13	0.15	-0.02	-0.26	0.04										
3	0.017	0.2	-0.06	0.21	0.26	0.12	-0.27	-0.39	0.60	0.21	-0.26	-0.41										

رطوبتی باشند. محققین دیگری نیز نتایجی مشابه با نتایج آزمایش Ghiassy Oskoee *et al.*, 2012; Erfani *et al.*, 2012; Erfani *et al.*, 2012

### تجزیه به مؤلفه‌های اصلی شاخص‌های تحمل به تنش خشکی

تجزیه به مؤلفه‌های اصلی برای بررسی بیشتر روابط بین ژنتیک‌ها از نظر اطلاعات مربوط به شاخص‌های مقاومت به خشکی انجام گرفت. نتایج این تجزیه نشان داد که بیشترین تغییرات بین داده‌ها توسط دو مؤلفه اصلی اول توجیه گردید، به طوری که این دو مؤلفه حدود ۹۹/۸ درصد از تغییرات داده‌ها را توجیه می‌نمود. مؤلفه اصلی اول ۸۲/۸ درصد از تغییرات داده‌ها را توجیه می‌کرد و دارای ضرایب منفی برای شاخص‌های SSI و TOL بود، در حالی که برای عملکرد در شرایط شاهد و تنش خشکی و شاخص‌های GMP، MP، YI، STI و HM ضرایب مثبت ملاحظه شد (جدول ۴). با توجه به مقادیر مثبت ضرایب فوق در مؤلفه اصلی اول، انتخاب بر اساس این مؤلفه می‌تواند موجب گرینش ژنتیک‌های دارای عملکرد بالا در هر دو شرایط تنش و عدم تنش شود. بنابراین، این مؤلفه را می‌توان به عنوان پتانسیل عملکرد و تحمل به تنش خشکی نام نهاد. مؤلفه اصلی دوم ۱۷ درصد از تغییرات داده‌ها را توجیه می‌کرد و ارتباط مثبتی با شاخص‌های SSI و TOL داشت. این مؤلفه همچنین ارتباط منفی با عملکرد دانه در شرایط تنش نشان داد. از آن جایی که مقادیر بیشتر این شاخص‌ها نشان‌دهنده حساسیت ژنتیک به تنش می‌باشد، بنابراین می‌توان این عامل را تحت عنوان مؤلفه حساسیت به خشکی نام گذارد و انتخاب بر اساس این مؤلفه سبب گرینش و جداسازی ژنتیک‌هایی با تحمل پایین و حساسیت بالا به خشکی می‌شود. هرچه مقدار این مؤلفه کمتر باشد، ژنتیک‌هایی انتخاب می‌شوند که دارای مقادیر کمتر SSI و TOL و عملکرد دانه بیشتر در شرایط تنش

### نتیجه گیری

در مجموع نتایج حاصل از این تحقیق نشان داد که اثر خشکی بر صفات عملکرد دانه، ارتفاع بوته، مساحت برگ پرچم، تعداد پنجه، طول خروج خوش از غلاف و درصد باروری دانه معنی دار بود. همچنین تفاوت بسیار معنی داری بین ژنتیک‌ها از نظر تمام صفات فوق وجود داشت. با بررسی شاخص‌های تحمل به تنش مشخص گردید که شاخص‌های GMP، MP، STI و HM شاخص‌های برتر برای شناسایی ژنتیک‌های متتحمل به خشکی و با عملکرد بالا بودند و لذا از این شاخص‌ها برای معرفی ژنتیک‌های مقاوم و یا متتحمل به تنش خشکی انتهای فصل استفاده شد. در نتیجه با توجه به شاخص‌های مذکور، ژنتیک‌های ۱، ۲، ۳، ۴ و ۵ (لاین‌های موتانت M5 از رقم طارم محلی) و (لاین موتانت M5 از رقم هاشمی) متتحمل به تنش خشکی و ژنتیک‌های ۱۴ (لاین موتانت از رقم خزر)، ۱۵ (هاشمی)، ۱۶ (خزر) و ۱۷ (طارم) حساس به تنش خشکی شناسایی شدند. لذا به نظر می‌رسد که استفاده از موتاسیون توانسته باشد به نحو چشمگیری تحمل به خشکی را در نتاج ایجاد نماید و از این رو می‌توان از لاین‌های فوق در پروژه‌های معرفی ارقام مقاوم و یا متتحمل به تنش خشکی استفاده نمود.

### References

1. Bouslama, M., and Schapaugh, W. T. 1984. Stress tolerance in soybean. Part I: Evaluation of three screening techniques for heat and drought tolerance. *Crop Science* 24: 933-937.
2. Davatgar, N., Neishabouri, M. R., Sepaskhah, A. R., and Soltan, A., 2009. Physiological and morphological responses of rice (*Oryza sativa* L.) to varying water stress management strategies. *International Journal of Plant Production* 3: 19-32.
3. Dehghani, H., Omidi, H., and Sabaghnia, N. 2008. Graphic analysis of trait relations for rapeseed using the biplot method. *Agronomy Journal* 100 (5): 1443-1449.
4. Erfani, F., Shokrpour, M., Momeni, A., and Erfani, A. 2012. Evaluation of drought tolerance in rice varieties using yield-based indices at vegetative and reproductive stage. *Sustainable Agriculture and Production Science* 23 (4): 136-147. (in Persian).
5. Fernandez, G. C. J. 1992. Effective Selection Criteria for Assessing Plant Stress Tolerance. In: Kuo, C. G. (Ed.). *Adaptation of Food Crops to Temperature and Water Stress Tolerance*. Proceedings of the International Symposium on Adaptation of Vegetables and Other Food Crops to Temperature and Water Stress. AVRDC Publication, Tainan, Shanhua, Taiwan. Pp, 257-270.
6. Fischer, K. S., Lafitte, R., Fukai, S., Atlin, G., and Hardy, B. 2003. Breeding Rice for Drought-Prone Environments. Los Baños: IRRI, 98.
7. Fischer, R., and Maurer, R. 1978. Drought resistance in spring wheat cultivars. I. Grain yield responses. *Crop and Pasture Science* 29: 897-912.
8. Gavuzzi, P., Rizza, F., Palumbo, M., Campaline, R. G., Ricciardi, G. L., and Brighi, B. 1997. Evaluation of field and laboratory of drought and heat stress in winter cereals. *Canadian Journal of Plant Science* 77 (4): 523-531.
9. Ghiassy Oskoee, M., Farahbakhsh, H., Sabouri, H., and Mohammadinejad, G. 2013. Evaluation of rice cultivars in

- drought and normal conditions based on sensitive and tolerance indices. Electronic Journal of Crop Poduction 6 (4): 55-75. (in Persian).
10. Ghiassy Oskooe, M., Farahbakhsh, H., Sabouri, H., and Mohammadinejad, G. 2012. Effect of drought stress on yield and yield components in rice landraces and improved cultivars under Gonbad Kavous environmental condition. Cereal Research 2 (3): 165-179. (in Persian).
  11. Kohansal Vajargah, F., Amiri, E., Paknejad F., Vazan S., Kohansal Vajargah, S., and Motamedi. M. 2010. Determination of the suitable drought resistance indices in rice varieties. Journal of Crop Production Research 2 (4): 299-313. (in Persian).
  12. Lafitte, H. R., Price, A. H., and Courtois, B. 2004. Yield response to water deficit in an upland rice mapping population: Associations among traits and genetic markers. Field Crops Research 6: 1237-1246.
  13. O'Toole, J. C., Namuco, and O. S. 1983. Role of panicle exertion in water-stress induced sterility. Crop Science 23: 1093-1097.
  14. Rahimi, M., Dehghani, H., Rabiei, B., and Tarang, A. R. 2013. Evaluation of rice segregating population based on drought tolerance criteria and biplot analysis. International Journal of Agriculture and Crop Sciences 5 (3): 194-199
  15. Rosielle, A., and Hamblin, J. 1981. Theoretical aspects of selection for yield in stress and non-stress environment. Crop Science 21: 943-946.
  16. Safaei Chaeikar, S., Rabiei, B., Samizadeh, H., and Esfahani, M. 2008. Evaluation of tolerance to terminal drought stress in rice (*Oryza sativa L.*) genotypes. Iranian Journal of Crop Sciences 9 (4): 315-331. (in Persian).
  17. Schnider, K. A., Rosales-Serna, R., Ibarra-Perez, F., Cazares-Enriques, B., Acosta-Gallegos, J. A., Ramirez-Vallejo, P., Wassimi, N., and Kelly, J. D. 1997. Improving common bean performance under drought stress. Crop Science 37: 43-50.
  18. Venuprasad, R., Sta Cruz, M. T., Amante, M., Magbanua, R., Kumar, A., and Atlin, G. N. 2008. Response to two cycles of divergent selection for grain yield under drought stress in four rice breeding populations. Field Crops Research 107: 232-244.18.
  19. Yang, J., and Zhang, J. 2010. Crop management technique to enhance harvest index in rice. Journal of Experimental Botany 61 (12): 3177- 3189.
  20. Zubaer, M., Chowdhury, A., Islam, M., Ahmed, T., and Hasan, M. 2007. Effects of water stress on growth and yield attributes of aman rice genotypes. International Journal of Sustainable Crop Production 2: 25-30.



## Evaluation of Drought response in Some Rice Mutant Lines Using Stress Tolerance Indices

H. Aminpanah<sup>1</sup>- P. Sharifi<sup>1\*</sup>- A. A. Ebadi<sup>2</sup>

Received: 13-01-2017

Accepted: 12-09-2017

### Introduction

Drought is a major problem that limits the adoption of high-yielding rice varieties in drought-prone rainfed rice environments. To improve crop productivity, it is necessary to understand the mechanism of plant responses to drought conditions with the ultimate goal of improving crop performance in the vast areas of the world where rainfall is limiting or unreliable. Safaei Chaeikar *et al.* (2008) reported that MP, GMP, HM and STI indices, which showed the highest correlation with grain yield under both optimal and stress conditions, can be used as the best indices to introduce drought-tolerant genotypes in rice breeding programs. They also were introduced Nemat, Sepidrood, IR64, IR50 and Bejar genotypes as tolerant varieties. The present study was conducted to determine how drought affects grain yield in rice mutant lines and also to test this hypothesis in order to identify the most suitable indices/genotypes.

### Materials and Methods

A field trial was conducted at Iranian Rice Research Centers in North of Iran, Rasht (latitude 37°28', longitude 49°28'E and altitude 7m below the sea level), during the 2014-2015 growing season. The seeds were sown in a nursery on the 10 May and 25 day old seedlings were transplanted to the field. Two separately experiment was carried out under reproductive stage drought stress and controlled conditions based on randomized complete block design with three replications, in four-row plots of three m length. Transplanting was done using 1 seedling per hill; at hill spacing of 25 cm × 25 cm. 18 rice genotypes were consisted 14 M5 mutant lines and their four parental cultivars.

### Results and Discussion

Analysis of variance indicated significant effects of drought stress, genotype and interaction effects of two factors on grain yield, plant height, flag leaf area, tiller number and grain fertility percentage. Drought stress at reproductive stage caused reduction in grain yield (59.47%), grain fertility percentage (19.08%), plant height (9.35%), flag leaf area (8.59%) and panicle length (1.61%). Different drought indices probably measure similar aspect of drought tolerance/resistance. Significant yield reduction was observed under drought stress in majority of the rice genotypes studied. Drought tolerance indices were varied significantly indicating genotypic variability. Selection based on these stress tolerance indices will results in identification of drought tolerant genotypes for rainfed ecosystems. The stress tolerance index (STI), mean productivity (MP), geometric mean productivity (GMP) and harmonic mean (HM) were superior in genotype indicating that they can be used as alternative for each other to select drought tolerant genotypes with high yield performance in both stress and non-stress conditions. To determine the most desirable drought tolerance criteria, the correlation coefficients between Yp, Ys and other quantitative indices of drought tolerance were calculated. The results indicated that there were positive and significant correlations among Yp and MP, GMP, STI and HM. There were also significant and positive correlation between Ys and YI, HM, GMP, YSI, STI and MP. In this experiment, the principal component analysis was performed on eight indices and grain yield under stress and non-stress in 18 rice genotypes. Results showed that the first two components explained 82.8% and 17% of total variation, respectively. The relationship between principal components and studied indices showed that the higher values of first and the lower values of second components were related to drought tolerance and sensitivity to stress, respectively. Selection based on a combination of indices may provide a more useful criterion for improving rice drought-tolerant lines; therefore, studies of correlation coefficients are useful in finding out the degree of overall linear association between any two attributes. According to these drought stress indices, G1, G2, G3, G4 and G5 (M5 mutant lines of local lanrace, Tarom) and (M5 mutant line of Hashemi) were as drought tolerant and G14 (mutant lines of Khazar), G15 (Hashemi), G16 (Khazar) and G17 (Tarom) were sensitive to drought stress.

1- Associate professor, Department of Agronomy and Plant Breeding, Rasht Branch, Islamic Azad University, Rasht, Iran

2- Assistant Professor, Rice Research Institute of Iran, Agricultural Research Education and Extension Organization (AREEO), Rasht, Iran

(\*- Corresponding Author Email: sharifi@iaurasht.ac.ir)

## Conclusions

Results of present study showed that MP, GMP, YI and STI are best indices for selecting and specifying of rice tolerant genotypes in arid areas. The use of mutation caused drought resistant on the progenies and the above lines can be used in a project of introduction of drought tolerant rice varieties.

**Keywords:** Grain yield, Mutant line, Principal components analysis, Reproductive stage



## واکنش چند رقم گندم نان به محلول پاشی فرم‌های مختلف روی و آهن در دو منطقه با خاک متفاوت

الیاس آرزمجو<sup>۱\*</sup>- محمد علی بهدانی<sup>۲</sup>- سهراب محمودی<sup>۳</sup>- بهزاد صادق‌زاده<sup>۴</sup>

تاریخ دریافت: ۱۳۹۵/۱۰/۲۸

تاریخ پذیرش: ۱۳۹۶/۰۴/۲۱

### چکیده

روی (Zn) و آهن (Fe) از عناصر ریزمغذی ضروری برای رشد گیاه و انسان هستند و کمبود آن‌ها در رژیم غذایی، یک مشکل بزرگ تغذیه‌ای در دنیا به حساب می‌آید. به منظور بررسی اثر محلول پاشی فرم‌های مختلف روی و آهن بر اجزای عملکرد، صفات فنولوژیک، مورفو‌لولوژیک و عملکرد دانه برخی ارقام گندم در دو منطقه با خصوصیات خاک متفاوت، آزمایشی به صورت فاکتوریل در قالب بلوك‌های کامل تصادفی با سه تکرار و در سال زراعی ۱۳۹۴-۹۵ به اجرا درآمد. عوامل مورد بررسی عبارت بودند از: ارقام گندم (شامل روشن و بک‌کراس روشن [ارقام قدیمی‌آییمی]، بم و افق [ارقام جدید]), مصرف روی در سه سطح محلول پاشی با آب (شاهد)، سولفات‌روی و کلات‌روی و مصرف آهن نیز در سه سطح محلول پاشی با آب (شاهد)، سولفات‌آهن و کلات‌آهن (معادل ۲/۵ کیلوگرم در هکتار). نتایج نشان داد که ارقام جدید از ارتفاع و طول پدانکل کمتر و طول دوره پر شدن دانه، طول سنبله، تعداد دانه در سنبله، عملکرد دانه و شاخص برداشت بیشتری برخوردار بودند. محلول پاشی روی و آهن منجر به بهبود خصوصیات رشدی و عملکرد دانه شد و محلول پاشی سولفات‌روی و سولفات‌آهن در هر دو منطقه مورد بررسی (به‌خصوص در منطقه امیرآباد با شوری و pH بیشتر خاک) نتیجه بهتری در مقایسه با فرم کلات‌هه این عناصر داشت. درنهایت با توجه به نتایج این تحقیق، کشت ارقام جدید بم و افق و محلول پاشی فرم‌های سولفات‌های روی و آهن برای تولید گندم در شرایط اقلیمی مشابه توصیه می‌گردد.

### واژه‌های کلیدی: اجزای عملکرد، شوری، عملکرد دانه، عناصر ریزمغذی

است (Malakouti, 2007). کمبود عناصر ریزمغذی، بیش از نیمی از جمعیت دنیا به ویژه زنان و کودکان را در برمی‌گیرد. مقدار عنصر روی و آهن توصیه شده مجاز در رژیم غذایی انسان به ترتیب ۱۵ و ۱۰ میلی‌گرم در روز است (Fang *et al.*, 2008). آهن یکی از مهم‌ترین ریزمغذی‌های است که حدود ۲ میلیارد نفر از جمیعت دنیا از فقر آن رنج می‌برند و این موضوع عامل اصلی کم‌خونی نیز به شمار می‌رود (Stein, 2010). کمبود روی نیز بسیار شایع بوده و نوزادان تازه متولد شده، کودکان و زنان باردار و افراد مسن بیشتر دچار کمبود آن هستند (Salgueiro *et al.*, 2006). کمبودهای این عناصر، دو عامل اصلی بیماری در کشورهای کم‌درآمد بوده و جمعاً بیش از سه میلیارد نفر از جمعیت دنیا دچار کمبود آهن و روی بوده و این عدد همچنان روبرو به افزایش است (Welch and Graham, 2004).

عناصر کم‌صرف روی و آهن برای فعالیت‌های متابولیکی در گیاهان ضروری هستند (Alloway, 2008). روی نقش بسیار مهمی در سنتز پروتئین و کربوهیدرات‌ها، اعمال متابولیکی سلول، محافظت عشاء در برابر رادیکال‌های آزاد اکسیژن و سایر فرآیندهای مرتبط با سازگاری گیاهان به تنفس‌ها دارد و در سنتز پروتئین‌ها و هورمون‌های گیاهی نظیر اکسین به کار نیز می‌رود. از دیگر نقش‌های روی می‌توان

### مقدمه

گندم‌های (*Triticum aestivum* L.) رشد کرده در خاک‌های فقیر از نظر روی و آهن، عملکرد دانه پایینی تولید کرده و محتوی روی و آهن اندکی دارند. بیش از ۴۰ درصد اراضی زیر کشت گندم دچار کمبود شدید روی و ۳۷ درصد اراضی دچار کمبود شدید آهن هستند و میزان کمبود روی در خاک‌های ایران نیز ۸۰ درصد است (Alloway, 2008). خاک‌های بسیاری از نواحی کشور ما نیز آهکی بوده و دارای pH بالا و ماده آلی پایین می‌باشند و بروز کمبود روی و آهن در آن‌ها بسیار رایج است. این کمبود فرآگیر روی و آهن در خاک‌های ایران باعث کاهش غلظت این عناصر در گیاهان زراعی شده و درنتیجه کمبود این عناصر در دام‌ها و انسان‌ها را موجب شده

۱، ۲ و ۳- به ترتیب دانشجوی دکتری، استاد و دانشیار گروه زراعت و اصلاح نباتات، دانشگاه بیرجند

۴- استادیار موسسه تحقیقات کشاورزی دیم کشور، مرکز تحقیقات کشاورزی و منابع طبیعی استان آذربایجان شرقی، سازمان تحقیقات، آموزش و ترویج کشاورزی، مراغه، ایران

(Email: Elias.arazmjo@gmail.com  
DOI: 10.22067/gsc.v16i1.61570)  
\*- نویسنده مسئول:

Fernandez *et al.*, 2009; Rodriguez-Lucena (et al., 2010). در مقایسه‌ای بین ارقام مختلف گندم بهاره از لحاظ پاسخ به کوددهی آهن (بدون مصرف و مصرف ۲۰ کیلوگرم سکوسترین آهن در هکتار) در یک خاک آهکی گزارش گردیده است که در اثر مصرف ۲۰ کیلوگرم سکوسترین آهن، عملکرد دانه حدود ۱۴ درصد افزایش یافت و عملکرد دانه در همه ارقام گندم مورد Khoshgoftarmanesh (2012). بررسی اثر محلول پاشی آهن و روی در بهبود خصوصیات کمی و کیفی دانه سه رقم گندم نشان داد که محلول پاشی آهن و روی، افزایش معنی دار عملکرد دانه، تعداد پنجه بارور، میزان Maralian (*et al.*, 2009) مصرف عناصر ریز معدنی آهن و روی باعث افزایش ارتفاع و طول سنبله گندم شده است (Seilsepour, 2003). محلول پاشی آهن همچنین موجب افزایش معنی دار تعداد سنبله در متر مربع و عملکرد دانه گندم شده است (Izedi Kherameh *et al.*, 2012).

خاک یک سیستم پیچیده و پویاست که از اجزا و ترکیبات گوناگونی تشکیل شده است. خصوصیات فیزیکی و شیمیایی خاک به دلیل نقش مهمی که در حمایت از رشد گیاه دارد، حائز اهمیت است. این خصوصیات، تعیین کننده چگونگی اثر متقابل گیاه با خاک، جذب آب و مواد غذایی، نفوذ ریشه‌ها، دمای خاک و فعالیت میکروارگانیسم‌های خاکزی می‌باشد. علاوه بر کاربرد کود، می‌توان از پتانسیل ژنتیکی گیاهان کارا در جذب و تجمع روی حل مشکل کمبود روی در خاک بهره‌برداری نمود. در بررسی ژنتوتیپ‌های جو در پنج خاک مختلف از نظر بافت و pH، جمع‌آوری شده از مناطق مختلف استرالیای غربی، گزارش گردید که واکنش ژنتوتیپ کارا از نظر جذب و تجمع روی در اندازه‌هایی و بذر در خاک‌های مختلف پایدار بود (Sadeghzadeh *et al.*, 2016). اختلاف بین گونه‌های غلات و بین ارقام یک گونه در پاسخ به کمبود روی گزارش شده است (Sadeghzadeh and Rengel, 2009). گندم از غلاتی است که در آن اختلاف در پاسخ ارقام نسبت به کود روی زیاد است. در آزمایشی در ۲۵ محل مختلف با تیمارهای روی، آهن، منگنز و مس مشخص گردید که تیمارهای حاوی روی به طور معنی داری باعث افزایش عملکرد دانه گندم (۱۵٪)، وزن هزار دانه، تعداد دانه در سنبله و Ziaeian and Malakouti (2001). ارزیابی کارایی روی در ارقام متفاوت گندم در یک خاک آهکی دچار کمبود روی حاکی از آن بود که علائم کمبود روی از قبیل ظهور لکه‌های کمرنگ و نکروزه و کاهش ارتفاع بوته در ارقام الوند و مهدوی بیشتر بود (Moshiri *et al.*, 2010).

مطالعات در زمینه اثربخشی فرم‌های مختلف روی و آهن بر عملکرد و صفات زراعی ارقام گندم نان جدید در مقایسه با ارقام

به تنظیم میزان بازبودن روزنه‌ها، فعالیت آنزیم کربنیک آههیدراز، ساخته شدن تریپتوфан، مشارکت در متabolیسم نیتروژن، جزء فلزی آنزیم‌های مختلف و یا به عنوان یک کوفاکتور عاملی، ساختاری یا تنظیمی، اشاره کرد (Sadeghzadeh and Rengel, 2011). کمبود روی در خاک‌ها به خصوص در نواحی خشک و نیمه‌خشک به عنوان یک عامل محدود کنندهٔ تغذیه‌ای محسوب می‌شود (Sadeghzadeh, 2013)، که برای جبران این کمبود راهکارهای مختلفی از جمله محلول پاشی روی پیشنهاد شده است. آهن نیز از عناصر ضروری برای رشد سلول‌های گیاهی، توسعه سلول‌های مختلف مربوط به فتوستتر و تنفس می‌باشد. آهن در تعدادی از آنزیم‌ها و عوامل کاهش‌دهنده در فرآیندهای اصلی مربوط به سوخت و ساز گیاه شامل فتوستتر، تنفس، حفاظت سلولی، تثبیت نیتروژن و بسیاری از روابط دیگر به عنوان عامل همراه نقش دارد (Barton and Abadia, 2006). فعالیت بسیاری از سیستم‌های آنزیمی و ترکیبات گیاهی مانند کاتالاز، سیتوکروم، هماتین، هم و سیتوکروم اکسیداز به طور قابل ملاحظه‌ای با کمبود آهن کاهش می‌یابد. همچنین به نظر می‌رسد که آهن نقش مهمی در متabolیسم اسید نوکلئیک کلروفیل است و سنتز کلروفیل داشته باشد و عدم حضور آن باعث ایجاد کلروز در گیاه می‌شود. آهن بخشی از گروه کاتالیزوری بسیاری از آنزیم‌های اکسیداسیون و احیا بوده و عنصری ضروری برای سنتز کلروفیل است (Barton and Abadia, 2006).

به دلیل کارایی بالای انتقال روی در آوندهای آبکش گندم (Haslett *et al.*, 2001)، محلول پاشی روی مؤثرترین روش برای بهبود غلظت روی در دانه شناسایی شده که می‌تواند بسته به نوع خاک و شرایط اقلیمی، غلظت آن را دو تا سه برابر افزایش دهد (Cakmak, 2008). سه نوع ترکیب مختلف به عنوان کودهای روی مورد استفاده قرار می‌گیرند که شامل ترکیبات غیرآلی، کلات‌های سنتزی و کمپلکس‌های آلی طبیعی هستند؛ این ترکیبات به طور قابل توجهی از نظر مقدار روی، قیمت و میزان اثرگذاری بر گیاهان زراعی در انواع مختلف خاک‌ها با یکدیگر متفاوتند. منابع غیرآلی روی شامل اکسید روی (ZnO)، کربنات‌روی (ZnCO<sub>3</sub>، سولفات‌روی (ZnSO<sub>4</sub>)، نیترات‌روی (Zn(NO<sub>3</sub>)<sub>2</sub>) و کلرید روی (ZnCl<sub>2</sub>) هستند که سولفات‌روی رایج‌ترین آن‌هاست و در سراسر دنیا مورد استفاده قرار می‌گیرد. لیگاندهای کلات‌کننده سنتزی مورد استفاده برای روی نیز شامل EDTA، DTPA و HEDTA هستند که ابته EDTA تا به امروز گستردگرین کاربرد را دارد (Alloway, 2008).

فرم‌های مختلف کلاته و غیرآلی از کودهای حاوی آهن از جمله Fe-citrate، FeEDDHA، FeDTPA، FeSO<sub>4</sub> و FeIDHA وجود دارند. با این وجود، اثربخشی ترکیبات آهن برای غلبه بر کمبود آن به میزان زیادی به پایداری آن‌ها، توانایی نفوذ از طریق کوتیکول برگ و قابلیت جایه‌جایی آن‌ها متعاقب انتشار به درون

انجام گردید. کاشت به کمک دستگاه بذر کار مخصوص آزمایش های غلات روی دو پشتہ (هر پشتہ سه ردیف به فاصله ۲۰ سانتی متر) و به طول ۵ متر به مساحت ۶ متر مربع با ۱/۵ متر فاصله بین تکرارها انجام گردید. کاشت در هر دو منطقه در سال زراعی ۱۳۹۴-۹۵ و در تاریخ های ۱۶ و ۱۷ آبان انجام گردید. میزان بذر برای کاشت ۵۰۰ دانه در متر مربع و بر اساس وزن هزار دانه ارقام مورد بررسی منظور شد. علوفه های هرز در اواسط فروردین ماه به صورت دستی و چین شدند. محلول پاشی تیمارهای مورد نظر در دو مرحله شامل طوبیل شدن ساقه ها و ابتدای گله ها و جهت جلوگیری از سوختگی برگ ها، صبح زود انجام شد.

صفات مورفولوژیک، فنولوژیک، عملکرد دانه و اجزای عملکرد شامل تعداد روز تا ظهور سنبله، تعداد روز تا رسیدگی فیزیولوژیک، طول دوره پر شدن دانه، ارتفاع بوته، طول سنبله، طول پدانکل، تعداد دانه در سنبله، وزن هزار دانه، عملکرد دانه، زیست توده و شاخص برداشت یادداشت برداری و اندازه گیری شدند. قبل از برداشت برای اندازه گیری ارتفاع بوته، طول سنبله و طول پدانکل، تعداد پنج بوته به طور تصادفی انتخاب و به کمک خط کش اندازه گیری بر روی ساقه اصلی انجام شد. جهت تعیین زیست توده، گیاهان کل کرت با رعایت اثر حاشیه برداشت و توزین گردید، سپس بوجاری و عملکرد دانه آنها نیز ثبت شد. برای اندازه گیری تعداد دانه در سنبله، در مرحله رسیدگی فیزیولوژیک از تعداد ۵ بوته نمونه برداری از سنبله ها انجام و پس از بوجاری، تعداد دانه در سنبله میانگین گیری گردید. برای وزن هزار دانه نیز دو دسته ۱۰۰۰ تایی از هر کرت شمارش و وزن هزار دانه آنها به ثبت رسید.

داده های جمع آوری شده از دو منطقه با استفاده از نرم افزار آماری SAS و پس از انجام آزمون بارتلت، جهت اطمینان از همگنی واریانس خطای صفات مورد بررسی، بر اساس آزمایش فاکتوریل در قالب طرح بلوك های کامل تصادفی مورد تجزیه مرکب قرار گرفت. مقایسه میانگین ها نیز بر اساس آزمون LSD محافظت شده در سطح احتمال پنج درصد انجام گردید.

## نتایج و بحث

نتایج حاکی از تأثیر معنی دار منطقه بر صفات تعداد روز تا ظهور سنبله و رسیدگی، طول دوره پر شدن دانه، ارتفاع بوته، طول پدانکل و طول سنبله بود. به علاوه ارقام مورد بررسی نیز از نظر تعداد روز تا ظهور سنبله، طول دوره پر شدن دانه، ارتفاع بوته، طول پدانکل و طول سنبله اختلاف معنی داری با یکدیگر داشتند. محلول پاشی روی اثر معنی داری بر ارتفاع بوته و طول سنبله، و محلول پاشی آهن نیز تنها اثر معنی داری بر ارتفاع بوته گندم داشت. تعداد روز تا ظهور سنبله و ارتفاع بوته تحت تأثیر اثر متقابل منطقه در رقم قرار گرفت و اثرات

قدیمی در خاک های مناطق مختلف ایران خیلی محدود است. بنابراین هدف اصلی از این آزمایش، بررسی محلول پاشی آهن و روی از فرم های مختلف بر واکنش چند رقم گندم نان قدیمی و جدید در دو منطقه با خصوصیات خاک متفاوت بوده است.

## مواد و روش ها

به منظور ارزیابی تأثیر محلول پاشی فرم های مختلف عناصر ریزمذذی روی و آهن بر عملکرد و خصوصیات فنولوژیک و مورفولوژیک ارقام قدیم و جدید گندم نان، آزمایشی به صورت فاکتوریل در قالب طرح پایه بلوك های کامل تصادفی با سه تکرار و ۱۳۹۴-۹۵ در دو منطقه با خصوصیات خاک متفاوت طی سال زراعی ۱۳۹۴-۹۵ انجام گردید. ارقام مورد استفاده در این آزمایش چهار رقم گندم نان شامل: روشن و بک کراس روشن (ارقام قدیمی)، بم و افق (ارقام جدید) بودند. مصرف روی در سه سطح شامل شاهد (محلول پاشی با آب آبیاری) و محلول پاشی سولفات روی ( $ZnSO_4 \cdot 7H_2O$ ) و کلات روی ( $ZeEDTA$ ) و مصرف آهن نیز در سه سطح شامل شاهد (محلول پاشی با آب آبیاری) و محلول پاشی سولفات آهن ( $FeSO_4 \cdot 7H_2O$ ) و کلات آهن ( $FeEDDHA$ ) انجام شد. سولفات روی و کلات روی به ترتیب حاوی ۲۴ و ۱۴ درصد روی خالص و سولفات آهن و کلات آهن به ترتیب حاوی ۱۹ و ۶ درصد آهن خالص بودند. تیمارهای محلول پاشی معادل ۲/۵ کیلوگرم در هکتار از منابع ذکر شده بودند (Yang et al., 2011). لازم به ذکر است اسیدیته محلول های مورد نظر جهت محلول پاشی در هر منطقه، با استفاده از  $HNO_3$  یک دهم نرمال (برای سولفات روی و سولفات آهن) و  $HCl$  یک دهم نرمال (برای کلات روی و کلات آهن) خنثی گردید. نمونه برداری از عمق ۰-۳۰ سانتی متری خاک محل های آزمایش برای تعیین خصوصیات فیزیکی و شیمیایی و میزان مورد نیاز کودهای اوره، سولفات پتاسیم و سوپرفسفات تریپل انجام شد. آزمایش اول در منطقه امیرآباد و در مزرعه تحقیقاتی دانشکده کشاورزی بیرجند با بافت خاک لومی رسی شنی (واقع در ۵ کیلومتری جاده بیرجند-کرمان با عرض چهارمایی ۳۲ درجه و ۵۶ دقیقه شمالی، طول جغرافیایی ۵۹ درجه و ۱۳ دقیقه شرقی، ارتفاع ۱۴۸۰ متر از سطح دریا) انجام گردید. آزمایش دوم در منطقه محمدیه و در مرکز تحقیقات و آموزش کشاورزی و منابع طبیعی استان خراسان جنوبی با بافت خاک لومی (واقع در ۲۰ کیلومتری جاده بیرجند-کرمان با عرض چهارمایی ۳۲ درجه و ۵۲ دقیقه شمالی، طول جغرافیایی ۵۹ درجه و ۱۲ دقیقه شرقی، ارتفاع ۱۴۹۱ متر از سطح دریا) انجام گردید. خصوصیات فیزیکی و شیمیایی خاک هر دو محل در جدول ۱ آورده شده است. هر دو زمین محل اجرای آزمایش در سال قبل به صورت آیش بود. عملیات تهییه بستر شامل شخم پاییزه، دیسک و لولر در اوایل مهر ماه

آن‌ها می‌گردد (Munns and James, 2003). همچنین نتایج حاکی از کاهش بهترتب ۱۷/۶، ۱۰/۵ و ۴/۸ درصدی ارتفاع بوته، طول سنبله و طول پدانکل در امیرآباد (با شوری و pH بالاتر خاک) نسبت به محمدیه بود (جدول ۳). کاهش معنی‌دار ارتفاع بوته و طول سنبله با افزایش شوری در گندم گزارش شده است (Haghbahari and Seyyed Sharifi, 2014).

متقابل منطقه در آهن و منطقه در رقم در آهن بر طول سنبله معنی‌دار بودند (جدول ۲). مقایسه میانگین داده‌ها حاکی از کاهش بهترتب ۹/۸، ۶/۱، ۴/۵ درصدی تعداد روز تا ظهرور سنبله، تعداد روز تا رسیدگی و طول دوره پر شدن دانه در منطقه امیرآباد در مقایسه با محمدیه بود (جدول ۳) که احتمالاً pH بالاتر و شوری بیشتر خاک امیرآباد دلیل این کاهش بوده است. در شرایط تنفس شوری، طول دوره رویشی و زایشی ژنتیپ‌های گندم کاهش یافته و باعث زودرسی

جدول ۱- نتایج تجزیه فیزیکی و شیمیایی خاک محل‌های مورد نظر

Table 1- The results of physico-chemical analysis of investigated location's soils

محل Location	شن Sand (%)	سیلت Silt (%)	رس Clay (%)	بافت خاک Soil texture	اسیدیه pH	هدایت الکتریکی EC (dS m <sup>-1</sup> )	فسفر P (ppm)	روی Zn (ppm)	آهن Fe (ppm)	پتانسیم Absorbable K (ppm)	کربن C (%)	ماده آلی O.M. (%)
امیرآباد Amirabad	60.9	18	21.1	شنبه Sandy clay loam لومری رسی -	8.13	10.8	7.8	0.84	2.81	184	0.09	0.15
محمدیه Mohamadieh	38	42	20	لومی Loam	7.6	4.4	9.1	1.16	4.36	140	0.31	0.54

این نظر غیر معنی‌دار بود (جدول ۳). در آزمایشی در خصوص تأثیر کاربرد روی، آهن و منگنز بر گندم گزارش شد که کاربرد روی و آهن باعث افزایش طول سنبله گردید (Pahlavan Rad *et al.*, 2008). محلول پاشی آهن نیز افزایش معنی‌دار ۶/۸ درصدی ارتفاع بوته در تیمار سولفات‌آهن را در مقایسه با شاهد به دنبال داشت ضمن اینکه اختلاف بین فرم‌های سولفاته و کلاته آهن نیز با یکدیگر معنی‌دار نبود (جدول ۳). برتری ارتفاع بوته در شرایط کاربرد آهن می‌تواند به دلیل تأمین مقداری کافی آهن قابل دسترس گیاه و نقش این عنصر در سنتر کلروفیل جهت افزایش فتوستنت در زمان رشد رویشی گیاه باشد (Barton and Abadia, 2006). در بررسی اثرات تغذیه آهن بر رشد گیاه گزارش شده است که ارتفاع بوته با کاربرد آهن افزایش می‌یابد (Khoshgoftarmanesh *et al.*, 2012). بررسی اثر متقابل منطقه در رقم برای صفت تعداد روز تا ظهرور سنبله حاکی از آن بود که بیشترین تعداد روز تا ظهرور سنبله با ۱۰/۷/۴ روز مربوط به رقم روشن در منطقه محمدیه بود و بین ارقام بکراس روشن، بهم و افق از این نظر اختلاف معنی‌داری در این منطقه وجود نداشت. ضمن این که کمترین تعداد روز تا ظهرور سنبله مربوط به ارقام بکراس روشن و افق بود (جدول ۴). همچنین اثر متقابل منطقه در رقم بر ارتفاع بوته نشان داد که رقم روشن در هر دو منطقه محمدیه (۱۱۱ سانتی‌متر) و امیرآباد (۹۰/۳ سانتی‌متر) بیشترین ارتفاع بوته را داشت و کمترین ارتفاع بوته نیز مربوط به رقم افق در امیرآباد (۶۷/۷ سانتی‌متر) بود (جدول ۴).

بیشترین تعداد روز تا ظهرور سنبله (۱۰۴/۵ روز) و کمترین طول دوره پر شدن دانه (۳۹/۸ روز) مربوط به رقم روشن بود. کمترین تعداد روز تا ظهرور سنبله نیز با میانگین ۱۰۱ روز به رقم افق اختصاص داشت (جدول ۳). به طور کلی، ارقام جدید از تعداد روز تا ظهرور سنبله کمتر و طول دوره پر شدن دانه بیشتری در مقایسه با ارقام قدیمی برخوردار بودند. همچنین ارتفاع بوته و طول پدانکل ارقام گندم از قدیم به جدید روندی کاهشی و طول سنبله نیز روندی افزایشی داشت. ارتفاع بوته و طول پدانکل رقم روشن به طور معنی‌داری نسبت به سایر ارقام بالاتر بود و اختلاف ارتفاع ارقام بهم و افق نیز به طور مشترک و در یک گروه آماری، کمتر بود. از نظر طول سنبله نیز رقم افق و پس از آن رقم بهم دارای طول سنبله بیشتری بودند و کمترین طول سنبله نیز به رقم روشن اختصاص داشت (جدول ۳). تاکنون در بیشتر برنامه‌های اصلاحی، گزینش برای ارتفاع بوته کمتر صورت گرفته که موجب افزایش مقاومت به خوابیدگی، اختصاص بیشتر زیست‌توده کل به عملکرد دانه و پاسخ مثبت به عملیات مدیریتی نظیر کودپذیری بیشتر را فراهم آورده است (Soufizadeh *et al.*, 2007). کاهش ارتفاع بوته گندم طی زمان در نتیجه مشارکت ژن‌های جدید پاکوتاهی بوده است (Slafer and Araus, 2007).

محلول پاشی روی، افزایش معنی‌دار ارتفاع بوته و طول سنبله گندم را به دنبال داشت به گونه‌ای که مصرف سولفات‌روی باعث افزایش ۴/۷ و ۵/۱ درصدی ارتفاع بوته و طول سنبله ارقام گندم در مقایسه با شاهد گردید و اختلاف بین سولفات‌روی و کلات‌روی نیز از

جدول ۲- تجزیه واریانس صفات ارقام گندم در شرایط محلول پاشی روی و آهن در دو منطقه با خاک متفاوت  
Table 2- Analysis of variance of wheat cultivars investigated traits under foliar application of Zn and Fe in two different locations with different soils

میانگین محولات										Mean squares					
متابع تغییر		درجه ازادی		طول دوده پرشدن		ارتفاع بوته		طول بذانک		وزن هزار دانه		عمدکرد دانه		زیست توده	
S.O.V	df	df	df	رسیدگی	رسیدگی	Plant height	Spike	Peduncle length	No. Grain per 1000	Grain yield	Biomass	Biomass	HI	شدت	شدت
Location		منطقه	1	1227.89**	4555.85**	1053.37*	13787.22*	58.28**	169.07*	1183.79 ns	1154.78*	189.58**	1034.19**	387.10**	
r(Location)	بلوک دانل منطقه	4	31.62	9.29	49.97	806.60	1.39	21.37	157.17	54.93	4.34	23.30	14.34		
Cultivar	زم	3	121.07**	18.20 ns	187.01**	7965.13**	2.23**	1142.87**	898.32**	333.06**	1.80**	1.52 ns	240.83**		
Zn	روی	2	1.19 ns	1.28 ns	2.18 ns	353.96**	3.80**	29.11 ns	391.79**	109.42*	2.93**	15.80**	21.44 ns		
Fe	آهن	2	0.89 ns	3.01 ns	4.34 ns	591.71**	0.97 ns	23.96 ns	125.58 ns	8.57 ns	3.07**	8.44 ns	73.94 ns		
Cultivar*Zn	زم*روی	6	2.60 ns	0.52 ns	2.26 ns	45.12 ns	0.46 ns	24.52 ns	86.31 ns	30.18 ns	0.09 ns	1.91 ns	11.44 ns		
Cultivar*Fe	زم*آهن	6	3.20 ns	2.06 ns	5.63 ns	54.90 ns	0.39 ns	12.88 ns	132.10 ns	37.47 ns	0.75 ns	5.07 ns	5.38 ns		
Zn*Fe	روی*آهن	4	1.26 ns	0.63 ns	2.52 ns	46.66 ns	0.40 ns	8.16 ns	50.84 ns	20.82 ns	1.53**	10.07*	2.88 ns		
Location*Cultivar	منطقه*زم	3	18.94*	1.93 ns	21.39 ns	154.93*	0.46 ns	7.00 ns	511.13**	72.45 ns	0.12 ns	1.31 ns	0.65 ns		
Location*Zn	منطقه*روی	2	0.61 ns	1.83 ns	3.93 ns	8.77 ns	0.11 ns	1.00 ns	42.87 ns	5.32 ns	0.39 ns	3.72 ns	0.82 ns		
Location*Fe	منطقه*آهن	2	0.47 ns	1.68 ns	0.84 ns	113.80 ns	1.23*	2.34 ns	19.66 ns	6.03 ns	0.50 ns	3.01 ns	5.94 ns		
Location*Cultivar*Zn	منطقه*زم*روی	6	0.55 ns	0.62 ns	0.62 ns	46.31 ns	0.20 ns	11.37 ns	45.83 ns	26.35 ns	0.49 ns	3.15 ns	2.20 ns		
Location*Cultivar*Fe	منطقه*زم*آهن	6	2.02 ns	0.30 ns	2.59 ns	47.85 ns	0.82*	30.35 ns	22.69 ns	16.52 ns	0.78 ns	7.38*	5.83 ns		
Location*Zn*Fe	منطقه*روی*آهن	4	2.65 ns	2.31 ns	6.90 ns	27.45 ns	0.12 ns	13.93 ns	55.18 ns	18.58 ns	0.47 ns	4.29 ns	7.56 ns		
Location*Cultivar*Zn*Fe	منطقه*زم*روی*آهن	24	2.67 ns	0.96 ns	3.17 ns	48.17 ns	0.34 ns	11.27 ns	47.31 ns	32.92 ns	0.32 ns	2.96 ns	10.22 ns		
Experiment error	خالی از مداخله	140	5.07	8.82	12.21	56.79	0.34	14.28	62.99	30.71	0.41	3.08	7.11		
Coefficient variation	ضروری تغییرات	-	2.2	2.0	8.2	9.1	6.2	10.9	15.5	17.3	16.3	16.1	7.4		

\* and \*\* are significantly different at  $\alpha=0.05$  and  $\alpha=0.01$ , respectively and ns is non-significant

جدول ۲- تجزیه واریانس صفات ارقام گندم نان به محلول پاشی فرم های مختلف روی و آهن در دو منطقه با خاک متفاوت

جدول - ۳- نتایج مقایسه میانگین اثرات منطقه، رنگ، روی و آهن بر صفات مواد بدروزی

Table 3- Mean comparison results for effects of location, cultivar, Zn and Fe on investigated traits

موقعیت		زمانیه رسیدگی		ارتفاع بونه		طول سنبله		طول دارو پرشنده		تعداد دانه در سنبله		وزن هزار دانه		نخلخانه	
Treatment	Day to maturity	Day to heading	Grain filling period	Plant height (cm)	Spike length (cm)	Peduncle length (cm)	Spikes per spike	Grains per spike	No. Grain per spike	Weight (g)	grains weight	Grain yield (ton ha <sup>-1</sup> )	Biomass (ton ha <sup>-1</sup> )	Zinc content (%)	Iron content (%)
<b>مطالعه</b>															
Mohammadiyah	۱۰۴.۸	۱۴۹.۵	۴۴.۷	۹۰.۸	۹.۹۱	۳۵.۵	۵۳.۵	۳۴.۴	۴.۹۰	۱۳.۰۷	۳۷.۶				
Amirabad	۱۰۰.۱	۱۴۰.۳	۴۰.۳	۷۴.۸	۸.۸۷	۳۳.۸	۴۸.۸	۲۹.۸	۳.۰۲	۸.۶۹	۳۴.۹				
LSD <sub>(0.05)</sub>	2.12	1.15	2.67	10.73	0.44	1.75	4.73	2.80	0.79	1.82	1.43				
<b>نژد</b>															
Roshan	104.5	144.3	39.8	100.7	9.15	40.9	45.4	35.3	3.72	11.10	33.3				
R. Backcross	101.7	144.6	42.9	79.9	9.33	33.1	51.4	32.6	3.94	10.75	36.5				
Bam	102.6	145.6	43.0	76.5	9.43	34.6	52.6	30.7	4.03	10.92	36.6				
Ofoogh	101.0	145.2	44.2	74.1	9.64	30.0	55.0	29.7	4.15	10.74	38.4				
LSD <sub>(0.05)</sub>	0.85	1.13	1.32	2.87	0.22	1.44	3.01	2.11	0.24	0.67	1.01				
<b>چهارمحال و بختیاری</b>															
Zn foliar application															
Irrigation water	۱۰۲.۶	۱۴۴.۹	۴۲.۳	۸۰.۳	۹.۱۲	۳۴.۰	۴۸.۵	۳۰.۸	۳.۷۴	۱۰.۴۲	۳۵.۶				
ZnSO <sub>4</sub> .7H <sub>2</sub> O	۱۰۲.۴	۱۴۵.۱	۴۲.۷	۸۴.۴	۹.۵۵	۳۵.۳	۵۳.۰	۳۳.۳	۴.۱۴	۱۱.۳۵	۳۶.۴				
Zn-EDTA	۱۰۲.۳	۱۴۴.۸	۴۲.۵	۸۳.۷	۹.۴۸	۳۴.۶	۵۱.۸	۳۲.۲	۴.۰۱	۱۰.۸۶	۳۶.۶				
LSD <sub>(0.05)</sub>	0.74	0.98	1.15	2.48	0.19	1.24	2.61	1.83	0.21	0.58	0.88				
<b>جهلون</b>															
Fe foliar application															
Irrigation water	۱۰۲.۴	۱۴۴.۷	۴۲.۳	۷۹.۶	۹.۲۷	۳۴.۰	۴۹.۶	۳۲.۳	۳.۷۵	۱۰.۶۰	۳۵.۱				
FeSO <sub>4</sub> .7H <sub>2</sub> O	۱۰۲.۳	۱۴۵.۱	۴۲.۸	۸۵.۰	۹.۵۰	۳۵.۱	۵۲.۲	۳۱.۷	۴.۱۶	۱۱.۲۶	۳۶.۹				
Fe-EDDHA	۱۰۲.۶	۱۴۵.۰	۴۲.۴	۸۳.۹	۹.۳۹	۳۴.۹	۵۱.۵	۳۲.۲	۳.۹۸	۱۰.۷۷	۳۶.۷				
LSD <sub>(0.05)</sub>	0.74	0.98	1.15	2.48	0.19	1.24	2.61	1.83	0.21	0.58	0.87				

جدول ٤- تأثير مطابق معايير ميزانية المزن وروي زر اهن بر بزن و موز بزر سبي

Table 4- Mean comparison results for interaction effects of location in cultivar, location in Fe and Zn on investigated traits

جدول ۵- تابع همبستگی ساده بین صفات مورود بررسی

صفات مورود بررسی	درو تا ظهر سبلنه	درو تا رسیدگی	تعداد دانه در گل پستانک	طول سبلنه	وزن دانه	عملکرد دانه	زیست توده	بازدید
Investigated traits	Day to heading (1)	Day to maturity (2)	Grain filling period (3)	Peduncle length (6)	No. Grain per spike (7)	1000 grains weight (8)	Grain yield (9)	Harvest index (11)
(1)	1.00							
(2)	-0.37*	1.00						
(3)	-0.94**	0.60**	1.00					
(4)	0.79**	-0.55**	-0.83**	1.00				
(5)	-0.43**	0.42*	0.50**	-0.26 ns	1.00			
(6)	0.88**	-0.39*	-0.85**	0.88**	-0.30 ns	1.00		
(7)	-0.59**	0.55***	0.68***	-0.53***	0.60***	-0.53***	1.00	
(8)	0.54**	-0.42*	-0.59**	0.62**	-0.28 ns	0.58**	-0.33*	1.00
(9)	-0.37*	0.33 ns	0.42*	-0.14 ns	0.57**	-0.26 ns	0.64**	-0.28 ns
(10)	0.11 ns	-0.06 ns	-0.11 ns	0.32 ns	0.25 ns	0.23 ns	0.10 ns	1.00
(11)	-0.73**	0.61**	0.81**	-0.62**	0.60**	-0.72**	0.66**	0.59**
							-0.57**	0.59**
							-0.03 ns	1.00

\* and \*\* are significantly different at  $\alpha=0.05$  and  $\alpha=0.01$ , respectively and ns is non-significant  
 و: بدترتب مفهی در مساح احتلال یک درصد و عالم مفهی باشد.  
 \*\*: بدترتب مفهی در مساح احتلال یک درصد و عالم مفهی باشد.

(and Vazan, 2011). همچنین در بررسی ارقام معرفی شده گندم نان در شش دهه گذشته گزارش شد که تعداد دانه در سنبله ارقام جدید به طور معنی داری افزایش داشته و بتایراین ارقام جدید دارای حداکثر کارایی در انتقال مواد غذایی از اندام ساقه به دانه بوده‌اند (Khodarahmi and Vazan, 2011). به طور کلی، افزایش عملکرد گندم در طی انقلاب سبز عمده‌آ از طریق افزایش تعداد دانه در واحد سطح (ناشی از افزایش تعداد سنبله یا دانه در سنبله) و به هزینه کاهش سهم اندام‌های رقیب (ساقه، پدانکل و غیره) صورت گرفته است (Slafer and Savin, 1994). بر اساس نتایج همبستگی ساده، عملکرد دانه ارتباط مثبت و معنی داری با صفات طول دوره پر شدن دانه، طول سنبله، تعداد دانه در سنبله و شاخص برداشت و ارتباط منفی و معنی داری نیز با صفت تعداد روز تا ظهرور سنبله داشت (جدول ۵). در دهه‌های اخیر سهم تعداد دانه در واحد سطح در تعیین عملکرد بیشتر بوده و تحقیقات انجام شده نشان می‌دهد که عملکرد دانه همبستگی زیادی با این جزء عملکرد دارد (Slafer and Savin, 1994; Collaku and Harrison, 2002). در گندم رابطه مثبت و معنی داری را بین شاخص برداشت و عملکرد دانه گزارش کردند که این نتیجه حاکی از آن است که با افزایش عملکرد دانه، نسبت عملکرد اقتصادی به عملکرد بیولوژیک افزایش یافته است. همبستگی عملکرد دانه و زیست‌توده نیز در این آزمایش مثبت و معنی دار بود (جدول ۵) و به اعتقاد برخی، افزایش عملکرد دانه در آینده بستگی به افزایش زیست‌توده دارد (Ye et al., 2011). البته سهم هریک از ویژگی‌های یاد شده در عملکرد دانه ممکن است در واریته‌ها، سیستم‌های زراعی، سال‌ها و اقلیم‌های مختلف، متفاوت باشد (Fischer, 2011).

محلول پاشی روی از منابع سولفات‌روی و کلاتر روی منجر به افزایش عملکرد دانه و اجزای عملکرد گندم در مقایسه با شاهد گردید اما اختلاف بین این دو از لحاظ آماری معنی دار نبود. محلول پاشی سولفات‌روی به ترتیب باعث افزایش  $10/7$  و  $8/9$  درصدی و کلاتر روی باعث افزایش  $7/2$  و  $4/2$  درصدی عملکرد دانه و زیست‌توده در مقایسه با شاهد گردید. تعداد دانه در سنبله و وزن هزار دانه گندم نیز با محلول پاشی سولفات‌روی به ترتیب  $9/3$  و  $8/1$  درصد در مقایسه با شاهد افزایش نشان دادند (جدول ۳). گزارش‌های متعددی در ارتباط با اثرات مثبت روی بر عملکرد و اجزای عملکرد کیا‌هان مختلف ارائه شده است (Thalooth et al., 2000; Bukvic et al., 2003; Potarzycki and Grzebisz, 2009). افزایش وزن هزار دانه با کاربرد روی با نتایج محققین مطابقت دارد (Dasalkar et al., 1992; Fageria and Baligar, 2005). در مطالعه‌ای

مقایسه میانگین اثر متقابل منطقه در آهن بر طول سنبله نیز حاکی از عدم اختلاف معنی دار بین تیمارهای مختلف محلول پاشی آهن در محمدیه بود به طوری که همه در گروه آماری برتر قرار گرفتند. در منطقه امیرآباد (شوری و pH بالاتر خاک) نیز محلول پاشی سولفات‌آهن موجب شد ارقام گندم از طول سنبله بیشتری برخوردار باشد (جدول ۴).

بین صفات وزن هزار دانه، عملکرد دانه، زیست‌توده و شاخص برداشت در دو منطقه اجرای آزمایش تفاوت معنی داری وجود داشت. ارقام مورد بررسی از نظر تمامی این صفات به جز زیست‌توده اختلاف آماری معنی داری با یکدیگر نشان دادند. محلول پاشی روی نیز اثر معنی داری بر تعداد دانه در سنبله، وزن هزار دانه، عملکرد دانه و زیست‌توده داشت. اثر محلول پاشی آهن نیز بر عملکرد دانه معنی داری بود. بررسی مقایسه میانگین‌های اثر متقابل حاکی از اثر معنی دار روی در آهن بر عملکرد دانه و زیست‌توده، اثر معنی دار منطقه در رقم بر تعداد دانه در سنبله و اثر معنی دار منطقه در رقم در آهن بر زیست‌توده بود (جدول ۲). بر اساس مقایسه میانگین‌های، صفات وزن هزار دانه،  $33/5$ ،  $38/4$ ،  $13/3$  و  $7/1$  درصد در منطقه امیرآباد (با شوری و pH بالاتر خاک) در مقایسه با محمدیه کاهش پیدا کردند. تعداد دانه در سنبله نیز  $8/8$  درصد کاهش غیرمعنی دار در این منطقه داشت (جدول ۳). یکی از دلایل کاهش تعداد دانه در سنبله در خاک‌های شور، کاهش طول سنبله‌هاست که در این آزمایش نیز مشاهده گردید. کاهش معنی دار وزن هزار دانه در خاک شور نیز می‌تواند به دلایل کاهش مواد فتوسترنزی در مرحله پر شدن دانه، کاهش شدت رشد در اثر پتانسیل اسمزی و کاهش طول دوره پر شدن دانه‌ها باشد.

بر اساس نتایج، ارقام جدید گندم از تعداد دانه در سنبله، عملکرد دانه و شاخص برداشت بیشتر و وزن هزار دانه نسبتاً کمتری در مقایسه با ارقام قدیمی برخوردار بودند. در بین ارقام گندم، رقم افق دارای بیشترین تعداد دانه در سنبله، عملکرد دانه و شاخص برداشت و کمترین وزن هزار دانه بود. کمترین تعداد دانه در سنبله، عملکرد دانه و شاخص برداشت و بیشترین وزن هزار دانه و زیست‌توده نیز به رقم روش اختصاص داشت (جدول ۳)، علی‌رغم کاهش زیاد ارتفاع بوته، زیست‌توده ارقام گندم نسبت به رقم روش تغییر چندانی نکرده است و در حقیقت ارقام جدید برخلاف ارقام قدیم، به جای آن که مواد فتوسترنزی تولیدی خود را صرف افزایش شاخ و برگ و به تبع آن ارتفاع نمایند، آن‌ها را به دانه‌ها تخصیص داده و باعث افزایش عملکرد دانه می‌گردند بدون آن که تغییری در زیست‌توده نهایی ایجاد شود (Soufizadeh et al., 2014). ارتفاع کمتر بوته باعث کاهش خوابیدگی و افزایش شاخص برداشت شده است. افزایش شاخص Khodarahmi برداشت و عملکرد دانه ارقام جدید گزارش شده است (

افزایش دهد (Kamaraki and Galavi, 2012). مقایسه میانگین اثر متقابل روی در آهن نشان داد محلول‌پاشی سولفات‌روی و فرم‌های مختلف آهن و همچنین محلول‌پاشی کلاتر‌روی و سولفات‌آهن دارای بیشترین عملکرد دانه و زیست‌توده بودند (جدول ۴). مصرف توانم کودهای آهن و روی، میزان عملکرد دانه گندم را به طور متوسط ۸۶۷ کیلوگرم افزایش داده است (Seilsepour, 2008). بررسی اثر متقابل منطقه در رقم بر تعداد سنبله نیز نشان داد که بیشترین تعداد دانه در سنبله با  $60/4$  دانه مربوط به رقم افق در منطقه محمدیه (شوری کم‌تر خاک) و پس از آن ارقام بک‌کراس روشن و به در این منطقه بودند و کمترین تعداد دانه نیز مربوط به رقم روشن در هر دو منطقه بود (جدول ۴).

### نتیجه‌گیری

نتایج این آزمایش حاکی از تنوع بالای صفات مختلف در بین ارقام مورد بررسی بود. ارقام قدیمی (روشن و بک‌کراس روشن) ارتفاع بوته، طول پدانکل و وزن هزار دانه بیشتری داشتند و در مقابل ارقام جدید (بم و افق) دارای طول دوره پر شدن دانه، طول سنبله، تعداد دانه در سنبله، عملکرد دانه و شاخص برداشت بالاتری بودند. محلول‌پاشی روی و آهن و استفاده توان آن‌ها موجب بهبود خصوصیات مورفولوژیکی، عملکرد دانه و اجزای عملکرد در هر دو منطقه مورد بررسی گردید. با توجه به افزایش عملکرد دانه در شرایط محلول‌پاشی روی و آهن (به خصوص در منطقه امیرآباد با شوری و pH پیشتر خاک)، استفاده از این کودها در زراعت گندم توصیه می‌شود. به طور کلی، نتایج نشان داد که محلول‌پاشی روی و آهن از فرم سولفات‌های، مؤثرتر از فرم کلاتره است. کودهای سولفات‌های از نظر هزینه نیز مقرر به صرفه‌تر از کودهای کلاتره هستند.

افزایش عملکرد دانه در اثر مصرف روی به نقش آن برای افزایش تولید تنظیم‌کننده‌های رشد مثل ایندول‌استیک‌اسید و کربوهیدرات‌ها و متابولیسم نیتروژن که سبب افزایش عملکرد و اجزای عملکرد می‌شود و همچنین فراهم‌بودن عناصر کم‌صرف و پر‌صرف در مراحل بعدی رشد که سبب افزایش تجمع اسیمیلات‌ها در دانه و سنجینی تر شدن آن می‌گردد، نسبت داده شده است. همچنین نتایج نشان داد که سولفات‌روی نتایج بهتری در مقایسه با کلاتر‌روی به دنبال دارد که این موضوع احتمالاً به این دلیل است که سولفات‌روی به طور همزمان عناصر روی و سولفور را برای گیاه فراهم می‌کند.

محلول‌پاشی سولفات‌آهن نیز بیشترین عملکرد دانه را با  $4/16$  تن در هکتار به خود اختصاص داد و محلول‌پاشی با آب آبیاری نیز با  $3/75$  تن در هکتار از عملکرد دانه کمتری برخوردار بود ضمن اینکه اختلاف بین دو فرم آهن نیز معنی‌دار نبود. علی‌رغم عدم تأثیر معنی‌دار آهن بر اجزای عملکرد و زیست‌توده، محلول‌پاشی سولفات‌آهن باعث افزایش  $5/2$  درصدی تعداد دانه در بوته و  $6/2$  درصدی زیست‌توده در مقایسه با شاهد گردید (جدول ۳). آهن از طریق افزایش فعالیت فتوسترنزی و تولید مواد پروتئینی و کربوهیدرات‌ها در گیاه می‌تواند باعث افزایش تعداد دانه شود (Yilmaz et al., 1997). افزایش تعداد دانه تحت تأثیر آهن با نتایج سایر محققین در این زمینه مطابقت دارد (Raesee et al., 2015). عنصر آهن در ساخت کلروفیل و انتقال الکترون در فتوسترنز نقص حیاتی دارد و فرودوکسین، پروتئین حامل آهن است که در انتقال الکترون درگیر است (Ahmadi et al., 2005). بنابراین طبیعی است که با افزایش آهن برگ، میزان کلروفیل برگ افزایش یافته، فعالیت فتوسترنزی بیشتر شده و در نهایت افزایش عملکرد را در پی داشته باشد. از طرف دیگر، آهن از طریق افزایش فعالیت فتوسترنزی و تولید مواد پروتئینی و کربوهیدرات‌ها در گیاه می‌تواند وزن خشک گیاه را

### References

1. Ahmadi, A., Ehsanzadeh, P., and Jabbari, F. 2005. Introduction to plant physiology. Tehran University Press. 681p. (in Persian).
2. Alloway, B. J. 2008. Zinc in Soils and Crop Nutrition. Int. Zinc Assoc. (IZA), Belgium, 128p.
3. Barton, L. L., and Abadia, J. 2006. Iron nutrition in plants and rhizospheric microorganisms. Dordrecht: Springer. 477p.
4. Bukvic, G., Antunovicm, M., Popovic, S., and Rastija, M. 2003. Effect of P and Zn fertilization on biomass, yield and its uptake by maize lines (*Zea mays* L.). Plant, Soil and Environment 49: 505-510.
5. Cakmak, I. 2008. Enrichment of cereal grains with zinc: agronomic or genetic biofortification? Plant and Soil 302: 1-17.
6. Collaku, A., and Harrison, S. A. 2002. Losses in wheat due to water logging. Crop Sci 42: 444-450.
7. Dasalkar, J. S., Rudraksha, G. B., Law, B. T., and Rachewad, S. N. 1992. Direct and residual effect of different zinc source on growth, yield and quality of sorghum and wheat. Annals of Plant Physiology 6: 21-23.
8. Fageria, N. K. and Baligar, V. C. 2005. Encyclopedia of soils in the environment. In: Hillel D (Eds.), Nutrient Availability. San Diego, CA: Elsevier 63- 71.
9. Fang, Y., Wang, L., Xin, Z., Zhao, L., An, X., and Hu, Q. 2008. Effect of Foliar Application of Zinc, Selenium, and Iron Fertilizers on Nutrients Concentration and Yield of Rice Grain in China. J. Agric. Food Chemistry 56: 2079-2084.

10. Fernandez, V., Orera, I., Abadia, J., and Abadia, A. 2009. Foliar iron fertilization of fruit trees: present knowledge and future perspectives - a review. *The Journal of Horticultural Science and Biotechnology* 84: 1-6.
11. Fischer, R. A. 2011. Wheat physiology: a review of recent development. *Crop and Pasture Science* 62: 95-114.
12. Graham, R. D., Ascher, J. S., and Hynes, S. C. 1992. Selecting zinc-efficient cereal genotypes for soils of low zinc status. *Plant and Soil* 146: 241-250.
13. Haghbahari, M., and Seyyed Sharifi, R. 2014. Influence of seed inoculation with plant growth promoting rhizobacteria (PGPR) on yield, grain filling rate and period of wheat in different levels of soil salinity. *Environmental stresses in crop sciences* 6 (1): 65-75. (in Persian with English abstract).
14. Haslett, B. S., Reid, R. J., and Rengel, Z., 2001. Zinc mobility in wheat: uptake and distribution of zinc applied to leaves or roots. *Annals of Botany* 87 (3): 379-386.
15. Izedi Kherameh, H., Balouchi, H., and Shabani, S. 2012. Effect of soil application of Fe and ZnSO<sub>4</sub> on grain yield and yield components of wheat at different sowing dates. *Plant Ecophysiology* 4 (1): 37-46. (in Persian with English abstract).
16. Kamaraki, H., and Galavi, M. 2012. Evaluation of foliar Fe, Zn and B micronutrients application on quantitative and qualitative traits of safflower (*Carthamus tinctorius* L.). *Agroecology* 4 (3): 201-206. (in Persian with English abstract).
17. Khodarahmi, M., and Vazan, S. 2011. Trends in morphological and quantitative traits in bread wheat using introduced varieties during the last six decades in Iran. *Journal of Agronomy and Plant Breeding* 6 (1): 29-42. (in Persian with English abstract).
18. Khoshgoftarmash, A. H., Razizadeh, E. S., Eshghizadeh, H. R., Sharifi, H. R., Savaghebi, Gh., Afuni, D., and Tadayonnejad, M. 2012. Comparison of different spring wheat genotypes based on their response to iron fertilization in a calcareous soil. *Journal of Water and Soil* 15 (58): 99-107. (in Persian with English abstract).
19. Malakouti, M. J. 2007. Zinc is a neglected element in the life cycle of plants. *Middle Eastern and Russian Journal of Plant Science and Biotechnology* 1 (1): 1-12.
20. Maralian, H., Didar Taleshmikail, R., Shahbazi, K., and Torabi Giglou, M. 2009. Study of the Effects of Foliage Application of Fe and Zn on Wheat Quality and Quantity Properties. *Agricultural Research* 8 (4): 47-59. (in Persian with English abstract).
21. Moshiri, F., Ardalani, M., Tehrani, M. M., and Savaghebi, Gh. 2010. Zinc efficiency of wheat cultivars in a calcareous soil with low zinc status. *Journal of Water and Soil* 24 (1): 145-153. (in Persian with English abstract).
22. Munns, R., and James, A. 2003. Screening methods for salinity tolerance: a case study with tetraploid wheat. *Plant and Soil* 253: 201-218.
23. Pahlavan Rad, M. R., Keykha, G., and Naroui Rad, M. R. 2008. Effects of application of Zn, Fe and Mn on yield, yield component, nutrient concentration and uptake in wheat grain. *Pajouhesh and Sazandegi* 79: 142-150. (in Persian with English abstract).
24. Potarzycki, J., and Grzebisz, M. 2009. Effect of zinc foliar application on grain yield of maize and its yielding components. *Plant, Soil and Environment* 55: 519-527.
25. Raesee, N., Vakili, S. M. A., Sarhady, G., and Rorkynegad, F. 2015. Effects of manure, iron and zinc fertilizers on yield and yield components of Cumin (*Cuminum cyminum* L.). *Iranian Journal of Medicinal and Aromatic Plants* 31 (1): 138-149. (in Persian with English abstract).
26. Rodriguez-Lucena, P., Apaolaza-Hernandez, L., Lucena, J. J. 2010. Comparison of iron chelates and complexes supplied as foliar sprays and in nutrient solution to correct iron chlorosis of soybean. *Journal of Plant Nutrition and Soil Science* 173: 120-126.
27. Sadeghzadeh, B. 2013. A review of zinc nutrition and plant breeding. *Journal of Soil Science and Plant Nutrition* 13 (4): 905-927.
28. Sadeghzadeh, B., and Rengel, Z. 2011. Zinc in soils and crop nutrition. In: Hawkesford M. J, Barraclough, P. B. (eds.), *The molecular and physiological basis of nutrient use efficiency in crops*. Wiley: 335-375.
29. Sadeghzadeh, B., Rengel, Z., and Li, C. 2009. Differential zinc efficiency of barley genotypes grown in soil and chelator-buffered nutrient solution. *Journal of Plant Nutrition* 32 (10): 1744 -1767.
30. Sadeghzadeh, B., Sadeghzadeh, N., and Sepehr, E. 2016. Barley genotypes differing in zinc efficiency when grown in various soil types. *International Journal of Plant and Soil Science* 12: 1-13.
31. Salgueiro, M. J., Zubillaga, M., Lysionek, A., Sarabia, M. I., Caro, R., De Paoli, T., Hager, A., Weill, R., and Boccio, J. 2006. Zinc as an essential micronutrient: a review. *Nutrition Research* 20 (5): 737-755.
32. Seilsepour, M. 2003. The effect of micronutrients iron, zinc and manganese on yield and yield components of wheat in saline conditions. *Proceedings of the 7<sup>th</sup> Congress of Crop Sciences*, Karaj, Iran. (in Persian).
33. Seilsepour, M. 2008. The study of Fe and Zn effects on quantitative and qualitative parameters of winter wheat and determination of critical levels of these elements in Varamin plain soils. *Pajouhesh and Sazandegi* 76: 123-133. (in Persian with English abstract).
34. Slafer, G. A., and Savin, R. 1994. Sink relationships and grain mass at different positions within the spike in wheat. *Field Crops Research* 37: 39-49.

35. Slafer, G. A., and Araus, J. L. 2007. Physiological traits for improving wheat yield under a wide range of conditions. In: Spiertz, J. H. J., Struik, P. C., van Laar H. H. (Eds.), Scale and Complexity in Plant Systems Research. Gene-Plant-Crop Relations: 147-156.
36. Soufizadeh, S., Zand, E., Rahimian Mashhadi, H., and Deihimfard, R. 2007. Comparison of grain yield, nitrogen use efficiency and protein content of some old and new wheat varieties. Iranian Journal of Agricultural Sciences 1 (20): 13-37. (in Persian with English abstract).
37. Soufizadeh, S., Zand, E., Deihimfard, R., and Esmailzade, S. 2014. Investigation of changes in grain yield and some morphophysiological characteristics of wheat (*Triticum aestivum* L.), maize (*Zea mays* L.) and rice (*Oryza sativa* L.) in recent decades in Iran. Iranian Journal of Field Crops Research 12 (3): 343-359. (in Persian with English abstract).
38. Stein, A. J. 2010. Global impacts of human mineral malnutrition, Plant and Soil 335: 133-154.
39. Thalooth, M., Tawfik, M., and Magda Mohamed, H. 2006. A comparative study on the effect of foliar application of Zinc, Potassium and Magnesium on growth, yield and some chemical constituents of Mungbean plants growth under Water stress conditions. World Journal of Agricultural Sciences 2: 37-46.
40. Welch, R. M., and Graham, R. D. 2004. Breeding for micronutrients in staple food crops from a human nutrition perspective. Journal of Experimental Botany 55: 353-364.
41. Yang, X. W., Tian, X. H., Gale, W. J., Cao, Y. X., Lu, X. C., and Zhao, A. Q. 2011. Effect of soil and foliar application on zinc concentration and bioavailability in wheat grain grown on potentially zinc-deficient soil. Cereal Research Communication 39 (4): 535-543.
42. Ye, Y. L., Wang, G. L., Huang, Y. F., Zhu, Y. J., Meng, Q. F., Chen, X. P., Zhang, F. S., and Cui, Z. L. 2011. Understanding physiological processes associated with yield-trait relationships in modern wheat varieties. Field Crops Research 124: 316-322.
43. Yilmaz, A., Ekiz, H., Torun, B., Guttekin, I., Karanlik, S., Bagci, S. A., and Cakmak, I. 1997. Effect of different zinc application methods on grain yield and zinc concentration in wheat cultivars grown on zinc deficient calcareous soils. Journal of Plant Nutrition 20: 461-471.
44. Ziaeian, A. H., and Malakouti, M. J. 2001. Effects of Fe, Mn, Zn and Cu fertilization of wheat in the calcareous soils of Iran. In W.J. Horst et al. (Eds.) Plant Nutrition-Food Security and Sustainability of Agro-Ecosystems 840-841.



## Response of Some Bread Wheat Cultivars to Foliar Application of Zn and Fe Different Forms in Two Locations with Different Soil Properties

E. Aratzmjo<sup>1\*</sup> - M. A. Behdani<sup>2</sup> - S. Mahmoodi<sup>2</sup> - B. Sadeghzadeh<sup>3</sup>

Received: 17-01-2017

Accepted: 12-07-2017

### Introduction

Zinc (Zn) and iron (Fe) are essential mineral nutrients for plant and human growth, and dietary Zn and Fe deficiencies are a worldwide nutritional problem. The Recommended Dietary Allowance (RDA) of Zn and Fe are 15 mg and 10 mg per day for human, respectively. However, micronutrient deficiencies affect more than half of the world's population, especially women and preschool children. Iron is one of the most important micronutrients, and approximately two billion people suffer from iron deficiency worldwide. Zinc deficiency is also considered to be quite common and affects newborn, children, pregnant women and elderly. Micronutrient malnutrition in human in developing countries is derived from deficiencies of these elements in staple food. It is believed that increasing the micronutrient concentrations in these crops could increase the dietary intake of these elements in these regions significantly. More than 80% of arable soils in Iran are zinc-deficient with an average yield depression of around 50%. It is, therefore, highly important to develop cost-effective and quick solutions to the Zn and Fe deficiency problem.

### Materials and Methods

In order to evaluate the effect of foliar application of zinc and iron different forms on yield components, phonological and morphological traits and grain yield of some wheat cultivars in two locations with different physico-chemical soil properties, two experiments in factorial arranged in randomized complete block design with three replications conducted during 2015-16 cropping season. Experimental treatments were included: wheat cultivars Roshan, Roshan Back cross (old cultivars), Bam and Ofogh (new cultivars), zinc application in three levels of foliar application of water (control), zinc sulfate and chelated zinc and iron application in three levels of foliar application of water (control), iron sulfate and chelated iron (equivalent to 2.5 kg ha<sup>-1</sup>). The first experiment was conducted at the Research Farm of Birjand University located in Amirabad region which the soil texture was sandy clay loam, with 8.1 pH, 0.15% organic matter, 30 ppm available P and 184 ppm available K. The second experiment was conducted at the South Khorasan Agricultural and Natural Resources Research and Education Center located in Mohammadieh region which the soil texture was loam, with 7.6 pH, 0.54% organic matter, 30 ppm available P and 140 ppm available K. At the end of growth stage wheat traits included days to heading, days to physiological maturity, grain filling period, plant height, spike length, peduncle length, number of grain per spike, 1000 grains weight, grain yield, biomass and harvest index were measured. Data analyses were performed using two-way analysis of variance (ANOVA) with SAS 9.1. Means of treatments were compared between locations, cultivars and foliar application of zinc and iron according to protected Least Significance Differences (LSD) test at the 5% level.

### Results and Discussion

Results showed that location had a significant effect on all traits except for number of grains per spike. Grain yield and yield components were higher in soil of Mohammadieh against Amirabad. Investigated cultivars also were significantly different in all traits but days to heading and biomass. The higher number of grain per spike, grain yield and harvest index and relatively lower 1000 grains weight were related to new wheat cultivars. New cultivars also possessed less height and peduncle length and more grain filling period and spike length. Zinc foliar application significantly increased plant height, spike length, number of grain per spike, 1000 grains weight, grain yield and biomass but no significant effects were observed on days to heading and maturity, grain filling period, peduncle length and harvest index. Zinc sulfate treatment increased grain yield and biomass by 9.6

1, 2 and 3- Ph.D. Student, Professor and Associate professor, Department of Agronomy and Plant Breeding, University of Birjand, respectively

4- Assistant professor, Dryland Agricultural Research Institute, East Azarbaijan Agricultural and Natural Resources Research Center, AREEO, Maragheh, Iran

(\*- Corresponding Author Email: Elias.aratzmjo@gmail.com)

and 8.2 percent and chelated zinc increased these traits by 6.7 and 4.1 percent compared to control treatment, respectively. Iron foliar application significantly increased plant height and grain yield with no significant effects on other measured traits.

### Conclusions

Foliar application of zinc and iron can improve growth traits and grain yield; and foliar application of zinc and iron sulfate had better result contrasting these nutrients chelated forms especially in Amirabad region with higher pH and EC. Finally according to the results of this study, cultivating new cultivars of Bam and Ofogh and foliar application of zinc and iron sulfate in similar climate, especially in saline condition, are suggested for wheat production.

**Keywords:** Grain yield components, Micronutrients, Salinity, Yield



## تأثیر انواع شخم و گیاهان پوششی بر عملکرد و اجزای عملکرد گندم

زهراء شریفی<sup>۱</sup>- سید وحید اسلامی<sup>۲\*</sup>- مجید جامی الاحمدی<sup>۲</sup>- سهراب محمودی<sup>۲</sup>

تاریخ دریافت: ۱۳۹۵/۱۱/۱۳

تاریخ پذیرش: ۱۳۹۶/۰۳/۲۱

### چکیده

به منظور بررسی اثر کاربرد گیاهان پوششی در یک نظام زراعی مبتنی بر گندم و همچنین مطالعه اثر روش‌های شخم در این نظام، آزمایشی در سال زراعی ۱۳۹۳-۹۴ در مزرعه دانشکده کشاورزی دانشگاه بیرجند به صورت کرت‌های خرد شده در قالب طرح پایه بلوك‌های کامل تصادفی در سه تکرار اجرا شد. سه نوع روش خاک‌ورزی (شامل عدم خاک‌ورزی، خاک‌ورزی کاهشی و خاک‌ورزی رایج) به عنوان عامل اصلی و گیاهان پوششی در ۵ سطح (شامل خلر، منداب، جو ترش، تریتیکاله و عدم کشت گیاه پوششی به عنوان شاهد) به عنوان عامل فرعی در نظر گرفته شد. نتایج نشان داد که اثر روش خاک‌ورزی بر تعداد سنبله در مترمربع، وزن سنبله در مترمربع، عملکرد بیولوژیک و عملکرد دانه معنی دار ( $P<0.05$ ) بود به طوری که سیستم عدم خاک‌ورزی و خاک‌ورزی کاهشی نسبت به خاک‌ورزی رایج، تعداد سنبله در مترمربع، عملکرد بیولوژیک و عملکرد دانه بیشتری تولید کردند. همچنین نوع گیاه پوششی تأثیر معنی داری بر عملکرد دانه، وزن سنبله در متر مربع و وزن هزار دانه گندم ( $P<0.01$ )، تعداد سنبله در متر مربع، تعداد دانه در سنبله و عملکرد بیولوژیک ( $P<0.05$ ) داشت، به طوری که در تیمار گیاه پوششی خلر و منداب، بیشترین عملکرد دانه گندم (به ترتیب  $6511/1$  و  $6422/2$  کیلوگرم در هکتار) مشاهده شد. به طور کلی یافته‌های این پژوهش، موفقیت کشت گیاهان پوششی خلر و منداب و اعمال روش‌های خاک‌ورزی حفاظتی را در بهبود عملکرد گندم نشان داد.

**واژه‌های کلیدی:** شخم کاهشی، عدم شخم، کشاورزی پایدار، کشاورزی حفاظتی

### مقدمه

موجب شده که با توجه به کشاورزی بوم‌شناختی، بحث پایداری در کشاورزی مورد توجه قرار گرفته (FAO, 2013) و کشاورزی حفاظتی به عنوان راه حل پایدار برای افزایش حاصلخیزی خاک مطرح باشد (Hobs *et al.*, 2008).

کشاورزی حفاظتی از طریق مدیریت تلفیقی منابع بیولوژیکی، آب و خاک در ترکیب با ورودی‌های خارجی به حفظ، بهبود و استفاده مؤثرتر از منابع طبیعی کمک می‌کند. کشاورزی حفاظتی به حفظ محیط و همچنین افزایش و پایداری تولیدات کشاورزی کمک می‌کند (Jat *et al.*, 2012). امروزه استفاده از روش کشاورزی حفاظتی به عنوان بخشی لاینک از زراعت و کشت و کار مطرح شده است. استفاده از کشاورزی حفاظتی می‌تواند راه حل مناسبی برای کاهش تخریب زمین زراعی و افزایش تولید محصول بوده و بر اصول (۱) کاهش خاک‌ورزی (۲) پوشش خاک توسط محصول و بقایای گیاهی و (۳) تناوب محصول پایه‌گذاری شده است (Araya *et al.*, 2012).

کشاورزی حفاظتی راهکار مناسبی برای حفظ و اصلاح منابع کشاورزی با هدف افزایش تولید و پایداری محصول همراه با حفظ محیط زیست است (Jat *et al.*, 2012). این روش بر پایه حفاظت از آب، خاک و گیاه بنا شده و یکی از راه‌های مؤثر برای برونو رفت از پس از جنگ جهانی دوم، اولویت کلیدی افزایش عملکرد بود و سیاست کشورهای اروپایی در جهت ترویج عملیات شدید مکانیزاسیون و مصرف سطح زیادی از نهادهای مثل انرژی، کود نیتروژن و آفت‌کش‌ها بود (Tilman *et al.*, 2002). این سیاست، به سرعت باعث افزایش عملکرد شد. اما تأثیرات نامطلوبی (مثل آلودگی آب‌های زیزمنی، کاهش ماده آلی خاک، فرسایش خاک و از دست رفتن تنوع زیستی) بر محیط زیست داشت (Tilman *et al.*, 2002). این موضوع بسیاری از دانشمندان محیط زیست را در مورد وضعیت آینده جهان نگران کرد. تأثیرات نامطلوب کودها و آفت‌کش‌ها بر محیط زیست منجر به توجه بیشتر و استفاده از روش‌هایی گردیده که در آن نیازی به مصرف مواد شیمیایی نبوده یا کم باشد و این هدف

۱- دانشجوی دکترا، گروه زراعت و اصلاح نباتات، دانشکده کشاورزی، دانشگاه بیرجند

۲- دانشیار، گروه زراعت و اصلاح نباتات، دانشکده کشاورزی، دانشگاه بیرجند

(\*)- نویسنده مسئول: sveslami@birjand.ac.ir

DOI: 10.22067/gsc.v16i1.62248

تریپاتی و همکاران (Tripathi *et al.*, 2013) در مورد تأثیر عدم شخم و شخم رایج روی عملکرد گندم انجام دادند، اختلاف معنی‌داری بین عملکرد گندم در روش عدم شخم و شخم رایج وجود نداشت. در تحقیقی که عثمان و همکاران (Usman *et al.*, 2013) در مورد تأثیر روش‌های مختلف خاکورزی (عدم خاکورزی، خاکورزی کاهشی و خاکورزی رایج) و میزان نیتروژن (۰، ۸۰، ۱۲۰ و ۲۰۰ کیلوگرم در هکتار) بر عملکرد گندم انجام دادند بیشترین عملکرد دانه گندم در تیمار عدم خاکورزی و ۲۰۰ کیلوگرم در هکتار نیتروژن بهدست آمد.

گیاهان پوششی عمدتاً برای تولید بیوماس زیاد و پوشش خاک کشت می‌شوند و برای خرید و فروش کشت نمی‌شوند (Fageria *et al.*, 2005) در واقع گیاهان پوششی برای محافظت خاک از فرسایش و از دست دادن مواد غذایی توسط آبشویی یا رواناب، کشت می‌شوند (Reeves, 1994) و همچنین باعث بهبود وضعیت رطوبت و درجه حرارت خاک می‌شوند (Carvalho and Lourenco, 2014). برگ‌داندن بقایای گیاهی به خاک به مرور زمان سبب افزایش مواد آلی خاک و بهبود ابعاد خاکدانه‌ها می‌شود و به تبع آن سبب افزایش تخلخل و خلل و فرج خاک می‌شود (Teasdale, 1996). این موضوع منجر به کاهش وزن مخصوص ظاهری خاک می‌گردد (Duiker and Carrera *et al.*, 2004). کاررا و همکاران (Curran, 2005) پژوهشی را در مورد تأثیر گیاهان پوششی روی عملکرد ذرت شیرین (Zea mays) انجام دادند، عملکرد ذرت شیرین در مخلوط ماشک ۳۰ گل خوشهای (Vicia villosa)-چاودار (Secale cereale) درصد بیشتر از شاهد (خاک برنه-بدون گیاه پوششی) بود. در پژوهشی که رادیستی و همکاران (Radicetti *et al.*, 2013) در مورد تأثیر روش شخم و گیاه پوششی روی عملکرد فلفل (Capsicum annum) انجام دادند، گیاه پوششی ماشک گل خوشهای باعث بیشترین عملکرد فلفل شد (تیمارهای گیاه پوششی شامل کانولا (Brassica napus)، یولاف (Avena sativa)، ماشک (Miguez and Bollero, 2005) گل خوشهای). میگوثر و بولرو (Zea mays) گزارش نمودند که گیاهان پوششی بقولات زمستانه عملکرد ذرت افزایش نمودند که گیاهان پوششی بقولات زمستانه عملکرد ذرت (Sing *et al.*, 2011) را بدون مصرف کود نیتروژن به طور قابل ملاحظه افزایش دادند.

به نظر می‌رسد یکی از راهکارهای عملی برای تقویت و حاصلخیزی خاک، استفاده از گیاهان پوششی قبل از کشت گیاه اصلی همراه با به کارگیری روشنی از خاکورزی است که در تلفیق با کشت گیاهان پوششی مناسب با شرایط محیطی منطقه منجر به ایجاد عملکردی پایدار برای گیاه زراعی شود. کشاورزان منطقه خراسان جنوبی از روش شخم رایج در کشت و کار گندم استفاده می‌کنند و گیاهان پوششی هیچ جایگاهی در سیستم زراعی آن‌ها ندارد. لذا هدف از این تحقیق، بررسی تأثیر گیاهان پوششی و سیستم‌های مختلف

بحران خشکسالی و مدیریت آب و جبران مواد آلی خاک کشاورزی در مناطق خشک و نیمه خشک است. کاهش فشرده‌گی خاک، حفظ رطوبت و جلوگیری از فرسایش و پیشگیری از بهم خوردن ساختمان خاک از دیگر مزایای کشاورزی حفاظتی است (Jat *et al.*, 2012). اختلاف عملکرد بین سیستم‌های کشاورزی حفاظتی و سیستم‌های غذایی قابل دسترس بین ۲۰ تا ۱۲۰ درصد گزارش شده است (Piggin *et al.*, 2011). بهبود خصوصیات خاک در کشاورزی حفاظتی از طریق دو عامل است: ۱) سهم بیشتری از آب بارندگی وارد خاک می‌شود و ۲) توزیع بهتر فضاهای خاک که در نتیجه آن سهم Shaxson, (2006) تکنولوژی‌های رایج تولید محصول در مقایسه با کشاورزی Bhushan *et al.*, (2007) و حاصلخیزی خاک را کاهش می‌دهند (Jat *et al.*, 2013). شخم عمیق منجر به تعییر خصوصیات خاک (مثل ساختار خاک، تراکم حجمی، هدایت هیدرولیکی، نفوذپذیری، محتوی رطوبت خاک، محتوی کربن خاک، بیوماس میکروبی و فعالیتشان) می‌شود (Osunbitan *et al.*, 2005; Allen *et al.*, 2011). محققین مشاهده کردند که شخم عمیق خاک تأثیر منفی روی سلامتی و پارامترهای کیفی خاک داشت (Karlen *et al.*, 2013). عدم شخم، معدنی شدن ماده آلی خاک را کاهش می‌دهد و به ترسیب کربن آلی در خاک کمک می‌کند و باعث بهبود ساختار خاک و رشد ریشه، نفوذ آب، ظرفیت نگهداری آب و ظرفیت تبادل کاتیونی می‌شود (Carvalho and Lourenco, 2014). علاوه بر این، عدم شخم فشرده‌گی خاک و هزینه‌های تولید محصول را کاهش می‌دهد (Carvalho and Parihar *et al.*, 2016). در مطالعه‌ای که (Lourenco, 2014) در سیستم کشت بدون شخم ۱۱/۶ درصد بیشتر از دادند عملکرد ذرت در سیستم کشت شخم رایج بود. حذف بقایای گیاهی به همراه عملیات شخم عمیق منجر به کاهش سطح کربن آلی خاک و کاهش مواد غذایی خاک می‌شود (Sing *et al.*, 2011). ساماراجیوا و همکاران (Samarajeewa *et al.*, 2006) دریافتند که سیستم‌های شخم حفاظتی تولید بیشتری را نسبت به سیستم‌های شخم رایج داشتند که در نتیجه بهبود کیفیت خاک و کارایی استفاده از آب گیاه بود. عملکرد محصولات علوفه‌ای تحت شرایط شخم کاهشی در مقایسه با شخم رایج بیشتر بود (Gadermaier *et al.*, 2011). ژائو و همکاران (Zhao *et al.*, 2007) عدم شخم را با حفظ بقایا و شخم زدن خاک را با حذف بقایا با هم مقایسه کردند، نتایج نشان داد که عدم شخم حدود ۷ درصد عملکرد گندم (*Triticum aestivum*) و سیب زمینی (*Solanum tuberosum*) را بهبود داد. در تحقیقی دیگر مشخص شد عملکرد گندم در سیستم عدم شخم در مقایسه با سیستم شخم رایج بهمراه بیشتر بود (De Vita *et al.*, 2007). در تحقیقی که

هیچ‌گونه خاکورزی صورت نگرفت و در تیمار خاکورزی کاهشی بقایا تا عمق ۱۵ سانتی‌متری با خاک مخلوط شد و در خاکورزی رایج، بقایا بهوسیله گاوآهن برگرداندار تا عمق ۳۰ سانتی‌متری با خاک مخلوط شدند. در دو تیمار خاکورزی کاهشی و خاکورزی رایج، پس از شخم زدن عملیات تستیح زمین با لولر صورت گرفت. سپس در نیمه اول آبان ماه ۹۳ گندم رقم آنفارم (۴) (بم) ۳۰۰ بذر در مترمربع با وزن هزار دانه ۴۳ گرم و با فاصله بین ردیف ۱۲ سانتی‌متر) کاشت شد. این رقم گندمی است دابل هاپلوبئید (DH4-209-1577F3) (DH4-209-1577F3) با شجره ۲۲ Vee's.,/Nac//1-66-22 Vee's.,/Nac//1-66-22 متحمل به گرما و تا حدودی خشکی با منشاء سیمیت و گندم T.Aest ۵/Ti/4/La/3/Fr//Kal/Gb که از دورگاهی بخش تحقیقات غلات است. در کرت‌هایی که تیمار عدم خاکورزی اعمال شده بود برای کاشت گیاه گندم از دستگاه کشت مستقیم (مدل ICARDA No.Till., INDIA COMPANY) استفاده شد و در کرت‌هایی که تیمار خاکورزی رایج و خاکورزی کاهشی (کم عمق) اعمال شده بود برای کاشت گیاه گندم از دستگاه خطی کار غلات استفاده شد.

به‌منظور تأمین نیاز کودی گیاه پوششی، کود اوره به میزان ۵۰ کیلوگرم در هکتار پیش از کشت گیاه پوششی به خاک اضافه شد. به‌منظور تأمین فسفر مورد نیاز گیاه اصلی (گندم)، کود سوپرفسفات تریپل به میزان ۱۰۰ کیلوگرم در هکتار و کود اوره به میزان ۱۰۰ کیلوگرم در هکتار (کود اوره در دو نوبت به خاک اضافه شد: ۱- قبل از کاشت گندم به میزان ۵۰ کیلوگرم در هکتار و ۲- ۵۰ کیلوگرم در هکتار کود اوره در زمان ساقه‌دهی گندم) و کود پتابیم به میزان ۱۵۰ کیلوگرم در هکتار به خاک اضافه شد. در طی فصل رشد گندم، آبیاری‌ها به فاصله ۱۰ روز و به صورت نشتی (جوی و پشته) انجام شد. برای اطلاع از خصوصیات خاک مزرعه، به نمونه‌گیری از عمق ۰ تا ۳۰ سانتی‌متر خاک اقدام شد (جدول ۱). میزان بارش در سال زراعی موردنظر ۱۳۷/۵ میلی‌متر بود.

قبل از خاتمه دادن به رشد گیاهان پوششی، برای تعیین میزان بقایای آنها، یک نمونه ۰/۲۵ مترمربعی (کوادرات ۰/۵ × ۰/۵ متری) به صورت تصادفی از هر گیاه پوششی گرفته و گیاهان موجود در هر کوادرات برداشت و در آون با دمای ۷۰ درجه سانتی‌گراد خشک و وزن خشک آن محاسبه شد. میزان بقایای اندازه‌گیری شده برای گیاه پوششی خلر، منداب، جو ترش و تربیتکاله به ترتیب برابر ۲۹/۰۶ ± ۴۰/۱۳، ۱۷۴۶/۶۷ ± ۴۸/۰۷، ۱۷۰۶/۶۷ ± ۴۸/۰۷ و ۲۹۰۶/۶۷ ± ۴۶/۰۴ کیلوگرم در هکتار بود. برای اندازه‌گیری نسبت C:N خاک، قبل از کاشت گیاه پوششی و بعد از برداشت گیاه اصلی نمونه‌برداری از خاک صورت گرفت و نسبت C:N خاک نیز اندازه‌گیری شد.

خاکورزی بر عملکرد و اجزای عملکرد گندم در منطقه بیرون گند بود.

## مواد و روش‌ها

این تحقیق طی سال زراعی ۱۳۹۳-۹۴ در مزرعه تحقیقاتی داشکده کشاورزی داشنگاه بیرون گند به صورت کرت‌های خرد شده در قالب طرح پایه بلوک‌های کامل تصادفی با سه تکرار انجام شد. عامل اصلی شامل روش خاکورزی (عدم خاکورزی، خاکورزی کاهشی و خاکورزی متداول) و نوع گیاه پوششی در پنج سطح (خلر (Lathyrus sativus)، منداب (Hordeum vulgare)، تربیتکاله (Triticosecale witmack) و شهد بدون کشت گیاه پوششی) به عنوان عامل فرعی در نظر گرفته شد. گیاهان پوششی انتخاب شده بر مبنای انطباق با شرایط اقلیمی، سبزشدن سریع و تولید سطح سبز یکنواخت در سطح مزرعه، رشد رویشی مناسب و تولید مقدار بالای کاه، قابلیت رقابت بالا با علف‌های هرز و تحمل نسبی به تنش‌های محیطی انتخاب شدند. ولیکن دلایل اختصاصی برای انتخاب هر گیاه نیز وجود داشت که از آن جمله می‌توان به قابلیت تثبیت نیتروژن در خلر، تولید گلوكوزینولات‌ها به عنوان ماده دگرآرسیب و بازدارنده رشد علف‌های هرز در منداب و بسته شدن سریع کنوبی در جو و تربیتکاله اشاره داشت. ابتدا عملیات آمده‌سازی زمین شامل شخم، دیسک و تستیح صورت گرفت. اندازه کرت‌های فرعی ۱۵ متر مربع (۵ متر طول و ۳ متر عرض) و فاصله بین بلوک‌ها ۸ متر بود. در مرداد ماه ۱۳۹۳ کشت بذر گیاهان پوششی به صورت همزمان و به صورت ردیفی صورت گرفت. گیاهان پوششی جو ترش و تربیتکاله با دستگاه خطی کار غلات و گیاهان پوششی خلر و منداب با دست کشت شدند. تربیتکاله با تراکم گیاه ۴۰۰ بذر در متر مربع (وزن هزار دانه ۵۰ گرم)، جو ترش ۴۰۰ بذر در متر مربع (وزن هزار دانه ۴۵ گرم)، خلر با تراکم ۲۵۰ بذر در متر مربع (وزن هزار دانه ۹۵ گرم) و منداب ۸۰ بذر در متر مربع (وزن هزار دانه ۴ گرم) کاشته شد. بعد از کاشت گیاهان پوششی بلافضله آبیاری به صورت سیفونی انجام شد. پس از سبز شدن هر هفت روز یک بار تا زمان برداشت گیاهان پوششی آبیاری صورت گرفت و در اواسط مهر ماه ۹۳ قبل از کاشت گندم، ابتدا با پاشش علف‌کش تماسی پاراکوات با استفاده از سمپاش پشتی به میزان ۳ لیتر در هکتار به رشد گیاهان پوششی خاتمه داده و سپس بقایای گیاهان پوششی در سطح مزرعه باقی گذاشته شد. عملیات آمده‌سازی زمین برای کشت گیاه اصلی صورت گرفت. در این راستا ابتدا سه سطح تیمار خاکورزی اعمال شدند، به صورتی که در کرت‌های اصلی شامل خاکورزی متداول (شخم عمیق با گاوآهن برگردان در عمق ۳۰ سانتی‌متر) و خاکورزی کاهشی (شخم با گاوآهن چیزی) بقایای گیاهان پوششی با خاک مخلوط شد. در تیمار بدون خاکورزی تمام بقایا روی سطح خاک نگهداری شد و

جدول ۱- برخی خصوصیات فیزیکی و شیمیایی خاک مزرعه آزمایشی در عمق ۰ تا ۳۰ سانتی‌متری  
Table 1- Some physical and chemical properties of the soil of experiment field in depth of 0-30 cm

کربن آلی (%) C (%)	N (%)	(pH)	هدايت الکتریکی عصاره اشباع EC (dS m <sup>-1</sup> )	کلاس بافت خاک Soil texture	شن (%) Sand (%)	سیلت (%) Silt (%)	رس (%) Clay (%)
0.385	0.044	8.2	3.83	لومی شنی Sandy loam	63	28	9

دانه، دانه‌ها از بقایا کاملاً جدا و وزن شدند. تعداد دانه در سنبله از شمارش تعداد دانه‌های ۲۰ سنبله که به صورت تصادفی از هر کرت انتخاب شده بود، شمارش شد. تجزیه آماری اطلاعات به دست آمده با استفاده از نرم‌افزار ماسکرو (ver 1.019) DSAASTAT و رسم شکل‌ها توسط نرم‌افزار EXCEL صورت گرفت. مقایسه میانگین‌ها با روش FLSD در سطح احتمال پنج درصد انجام شد.

در این راستا کربن آلی به روش والکلی و بلک (Walkly and Black, 1934) و اندازه‌گیری نیتروژن به روش میکروکجلاس صورت پذیرفت (Bremner, 1996). در پایان فصل رشد عملکرد و اجزای عملکرد گیاه گندم تعیین شد. در خداد ۹۴ برای اندازه‌گیری عملکرد دانه، عملکرد بیولوژیک و اجزای عملکرد (وزن هزار دانه، تعداد سنبله در متر مربع، تعداد دانه در سنبله، وزن سنبله در متر مربع)، از هر کرت، مساحت یک مترمربع برداشت شد و برای اندازه‌گیری عملکرد

جدول ۲- نتایج تجزیه واریانس (میانگین مربعات) عملکرد و اجزای عملکرد گندم و N/C خاک تحت تأثیر روش شخم و نوع گیاه پوششی  
Table 2- Analysis of variance (Mean squares) of yield and yield components of wheat and soil C/N as affected by different tillage methods and cover crop types

منابع تغییرات	df	تعداد سنبله در متر مربع Spike.m <sup>-2</sup>	وزن سنبله در مترمربع Spike Weight per m <sup>2</sup>	عملکرد دانه Grain yield	تعداد دانه در سبله Grain.Spike <sup>-1</sup>	وزن هزار دانه Thousands-kernel weight	عملکرد بیولوژیک Biological yield	نسبت کربن به نیتروژن خاک Soil C/N
تکرار Replication	2	395.8	4224.3	416702.2	27.36	27.55	4701902.2	6.50
روش خاکورزی Tillage type	2	20324.6*	81190.4*	1612702.2*	44.82 ns	0.43 ns	23674168.9*	11.10 ns
خطای عامل اصلی Main plot error	4	1903.3	11513.1	109902.2	57.86	7.30	2115128.9	5.04
گیاه پوششی Cover crop	4	16825.2*	44155.9**	3830586.7**	54.98*	38.90**	17348675.6*	103.77**
روش خاکورزی × گیاه پوششی Tillage type × cover crop	8	2465.5 ns	7924.2 ns	366746.7 ns	27.46 ns	6.21 ns	2658302.2 ns	2.65 ns
خطای عامل فرعی Sub plot error	24	5320.4	4239.0	248480	19.8	3.41	5618320	1.71
ضریب تغییرات CV%		8.6	13.6	5.7	19.8	6.4	10.4	25.5

\* و \*\*: به ترتیب نشان‌دهنده تفاوت غیرمعنی‌دار و معنی‌دار در سطح احتمال ۵ و ۱ درصد هستند

ns, \* and \*\* represent non-significant and significant differences at 1 and 5% probability levels, respectively

تأثیر روش خاکورزی بر عملکرد بیولوژیک گندم و عملکرد دانه گندم معنی دار بود ( $P<0.05$ ) (جدول ۲). بررسی تأثیر روش خاکورزی بر عملکرد دانه و عملکرد بیولوژیک گندم نشان داد که عملکرد بیولوژیک و عملکرد دانه گندم در تیمار عدم خاکورزی و خاکورزی کاهشی در مقایسه با تیمار خاکورزی متداول به طور معنی داری افزایش یافت (شکل ۱). در این آزمایش یکی از دلایل افزایش عملکرد دانه گندم در تیمار خاکورزی کاهشی و عدم خاکورزی را می‌توان افزایش تعداد سنبله گندم در مترمربع در تیمار خاکورزی کاهشی و عدم خاکورزی دانست. در تحقیق امینی و همکاران (Amini *et al.*, 2014) بیشترین عملکرد دانه گندم مربوط به تیمار کم خاکورزی و کاربرد ۳۰ درصد بقاوی گندم بود که با تیمار بی خاکورزی و ۳۰ درصد بقاوی در یک گروه آماری قرار گرفتند. در مطالعه‌ای که ژانگ و همکاران (Zhang *et al.*, 2015) انجام دادند عملکرد ذرت در سیستم شخم کاهشی و عدم شخم در مقایسه با شخم رایج در تنابو کشت سویا-ذرت افزایش یافت و سه فرضیه را برای تأثیر شخم روی عملکرد ذرت بیان کردند (۱) تأثیر روی شرایط تغذیه‌ای خاک، (۲) نگهداری آب خاک و (۳) تأثیر روی درجه حرارت خاک. در پژوهشی دیگر متوسط عملکرد دانه گندم در روش خاکورزی با گاو آهن قلمی (خاکورزی حفاظتی) و بدون خاکورزی، ۲۵-۴۲ درصد بیشتر از روش خاکورزی مرسوم بود (Hemmat and Eskandari, 2006). همت و اسکندری (Hemmat and Eskandari, 2004) حدی به انتلاف آب بیشتر و یا توسعه کمتر ریشه ارتباط دادند. در مطالعه‌ای که شائو و همکاران (Shao *et al.*, 2016) انجام دادند عملکرد گندم در سیستم عدم شخم و شخم کاهشی در مقایسه با شخم رایج ۷/۹ تا ۱۲ درصد افزایش یافت و این افزایش عملکرد را به افزایش آب قبل دسترس در بهار در سیستم عدم شخم نسبت دادند. به نظر می‌رسد عملکرد بیشتر تحت شرایط عدم شخم و شخم حفاظتی در نتیجه افزایش ماده غذایی (Kascuk *et al.*, 2010) کاهش جمعیت علف‌های هرز (Chauhan *et al.*, 2007)، بهبود سلامت فیزیکی خاک (Jat *et al.*, 2013)، بهتر شدن وضعیت آب خاک (Govaerts *et al.*, 2009) و بهبود کارایی استفاده از مواد غذایی در مقایسه با شخم رایج می‌باشد (Unger and Jones, 1998). روش خاکورزی تأثیر معنی داری بر تعداد دانه در سنبله گندم و وزن هزار دانه آن نداشت (جدول ۲). همچنین در تحقیقی دیگر روش خاکورزی تأثیر معنی داری روی تعداد دانه در سنبله و وزن هزار دانه گندم نداشت (Hemmat and Eskandari, 2004).

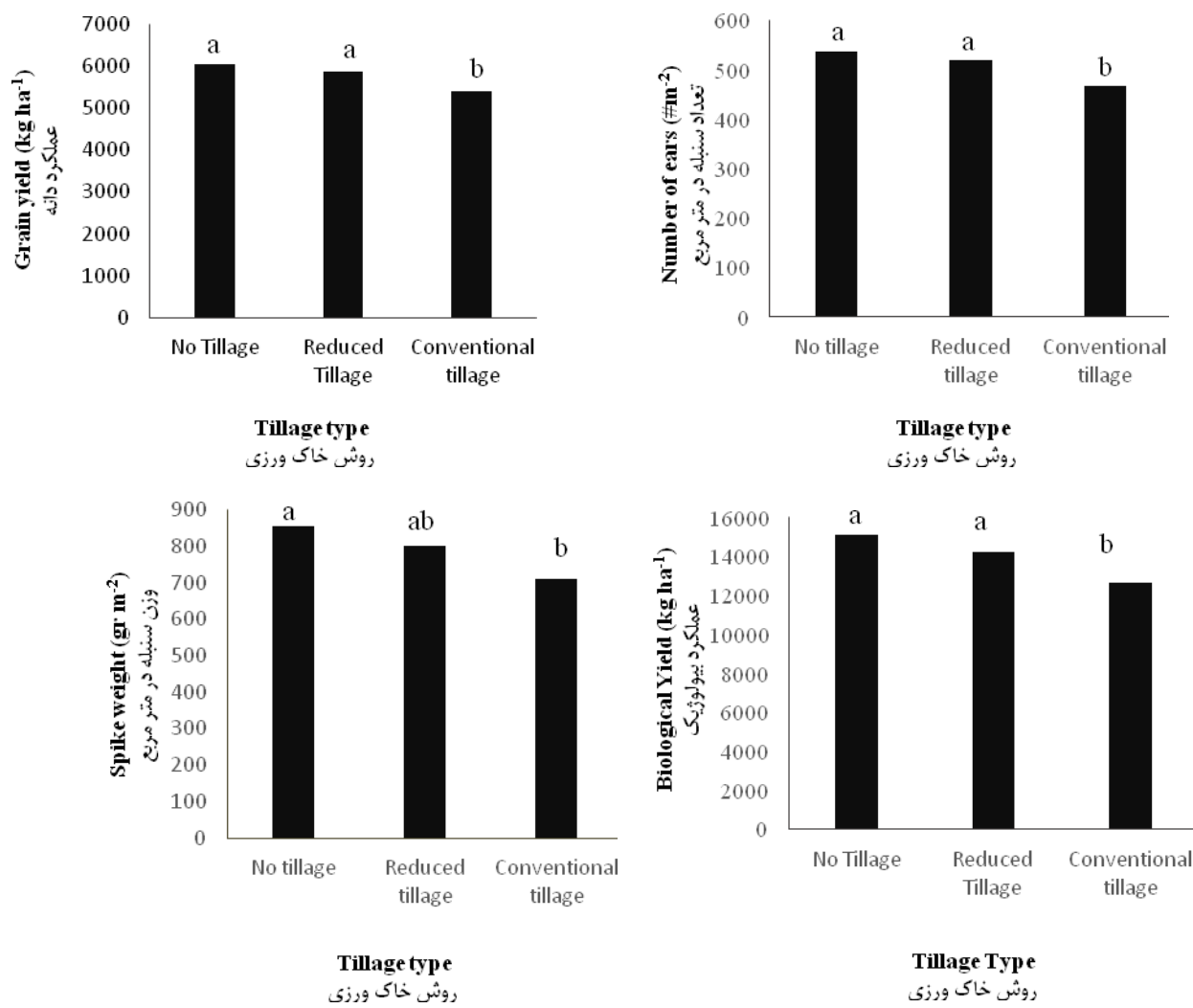
## نتایج و بحث

در این تحقیق اثر مقابل نوع گیاه پوششی و سیستم شخم بر هیچ‌یک از صفات مورد بررسی معنی دار نبود. بهنظر می‌رسد معنی دار نشدن اثر مقابل می‌تواند به دلیل عدم همزمانی کشت گیاهان پوششی و زمان اعمال تیمارهای شخم باشد. ضمن اینکه عوامل دیگری همچون سال نخست وارد کردن گیاهان پوششی در سیستم کشت و آن‌هم صرفاً در یک دوره چهار ماهه می‌تواند از دلایل دیگر این امر باشد.

### تأثیر روش خاکورزی بر عملکرد و اجزای عملکرد گندم

نتایج حاصل از تجزیه واریانس نشان داد که تأثیر تیمار روش خاکورزی بر تعداد سنبله در متر مربع معنی دار بود ( $P<0.05$ ) (جدول ۲). بررسی تأثیر روش خاکورزی بر تعداد سنبله در مترمربع نشان داد که تعداد سنبله در متر مربع در تیمار عدم خاکورزی و خاکورزی کاهشی در مقایسه با تیمار خاکورزی متداول به طور معنی داری افزایش یافت (شکل ۱). همت و اسکندری (Hemmat and Eskandari, 2006) تعداد سنبله در مترمربع بیشتر در سیستم شخم کاهشی و عدم شخم نسبت به شخم رایج را به دلیل استقرار بهتر گیاهچه‌ها، افزایش تولید پنجه و بقای پنجه‌ها دانستند. بنابراین گندم کشت شده در شرایط عدم شخم همراه با حفظ بقايا، به دلیل دستیابی به سطح رطوبتی بیشتر، تعداد پنجه بیشتری را تولید می‌کند و در نتیجه تعداد سنبله در مترمربع افزایش می‌یابد. در تحقیقی که امینی و همکاران (Amini *et al.*, 2014) در مورد روش‌های مختلف خاکورزی (سه روش خاکورزی: ۱- کم خاکورزی، ۲- بی خاکورزی (کشت مستقیم) و ۳- خاکورزی مرسوم (متداول)) و مدیریت بقاوی گیاهی (۱- کاربرد ۳۰٪ بقايا در سطح خاک، ۲- کاربرد ۶۰٪ بقايا در سطح خاک، ۳- کاربرد ۹۰٪ بقايا و ۴- جم آوری و سوزاندن کامل بقايا) بر عملکرد و اجزای عملکرد گندم انجام دادند بیشترین تعداد سنبله در مترمربع مربوط به سیستم کم خاکورزی و ۳۰ درصد بقايا بود و بعد از آن بیشترین تعداد سنبله در مترمربع مربوط به سیستم بدون خاکورزی و حفظ بقايا به میزان ۳۰ درصد بود.

تأثیر روش خاکورزی بر وزن سنبله در متر مربع معنی دار بود ( $P<0.05$ ) (جدول ۲). بررسی تأثیر روش خاکورزی بر وزن سنبله در مترمربع نشان داد که وزن سنبله در مترمربع در تیمار عدم خاکورزی در مقایسه با تیمار خاکورزی متداول به طور معنی داری افزایش یافت و وزن سنبله در مترمربع در تیمار خاکورزی کاهشی اختلاف معنی داری با تیمار خاکورزی متداول و عدم خاکورزی نداشت (شکل ۱).



شکل ۱- اثر روش خاک ورزی بر عملکرد دانه، عملکرد بیولوژیک، تعداد و وزن سنبله گندم در متر مربع؛ میانگین‌های دارای حروف مشترک فاقد اختلاف معنی‌دار بر مبنای آزمون LSD در سطح ۵٪ می‌باشند

**Figure 1- Effect of tillage type on grain yield, biological yield, and number and weight of spike in wheat; means with the same letter are not significantly different based on an LSD at  $P = 0.05$ .**

میانگین اثر اصلی گیاه پوششی بر وزن سنبله گندم و وزن هزار دانه گندم نشان داد که وزن سنبله و وزن هزار دانه گندم در تیمار گیاه پوششی منداب و خلر نسبت به شاهد (عدم کشت گیاه پوششی) به طور معنی‌داری افزایش یافت و وزن سنبله و وزن هزار دانه گندم در تیمار گیاه پوششی جو ترش و ترتیکاله، اختلاف معنی‌داری با تیمار شاهد (عدم کشت گیاه پوششی) نداشت. بیشترین وزن سنبله و وزن هزار دانه گندم در تیمار گیاه پوششی منداب مشاهده شد (جدول ۳). که یکی از دلایل بیشتر بودن وزن سنبله و وزن هزار دانه گندم در این تیمار احتمالاً می‌تواند به دلیل تولید بیشترین میزان بقایا توسط گیاه پوششی منداب ( $48/07 \pm 48/67$  کیلوگرم در هکتار) نسبت به سایر گیاهان پوششی باشد.

تأثیر نوع گیاه پوششی بر عملکرد و اجزای عملکرد گندم تأثیر نوع گیاه پوششی بر تعداد سنبله در متر مربع و تعداد دانه در سنبله در سطح احتمال ۵ درصد معنی‌دار بود (جدول ۲). نتایج مقایسه میانگین اثر اصلی گیاه پوششی بر تعداد سنبله در متر مربع و تعداد دانه در سنبله نشان داد که تعداد سنبله در متر مربع در تیمار گیاه پوششی خلر نسبت به تیمار شاهد (عدم کشت گیاه پوششی) به طور معنی‌داری افزایش یافت و تعداد دانه در سنبله در تیمار گیاه پوششی خلر، منداب و جو ترش نسبت به تیمار شاهد به طور معنی‌داری بالاتر بود (جدول ۳).

تأثیر نوع گیاه پوششی بر وزن سنبله در متر مربع و وزن هزار دانه گندم در سطح احتمال ۱ درصد معنی‌دار بود (جدول ۲). نتایج مقایسه

بررسی در مقایسه با سایر گیاهان پوششی مشهود بود. این برتری تاحد زیادی می‌تواند به تعلق این گیاه به خانواده بقولات مربوط باشد. بقولات در زمان تجزیه شدن نیتروژن آزاد می‌کنند و در مقایسه با گراس‌ها در تثبیت نیتروژن ارجح ترند. زیرا گراس‌ها مقدار زیادی کربن تولید می‌کنند و به کندی تجزیه می‌شوند (Mirsky *et al.*, 2012). استفاده از گیاهان پوششی لگوم مزیت‌های ویژه‌ای دارد. استفاده از لگوم‌ها منجر به افزایش بیوماس میکروبی خاک (Jokela *et al.*, 2009) و افزایش سرعت معدنی شدن نیتروژن خاک می‌شود (Dinesh *et al.*, 2001). علاوه بر این، لگوم‌ها دارای توانایی برای جذب مواد غذایی کم قابل دسترس در خاک هستند و می‌توانند در افزایش غلظت ماده غذایی در لایه سطحی خاک کمک کنند (Fageria *et al.*, 2005). گزارش شده است که گیاهان پوششی غیر لگوم که نسبت C/N بالا و درصد نیتروژن کمی دارند، باعث تأثیرات مفید جزئی یا عدم تأثیر بر رشد گیاه بعدی شده‌اند و حتی در برخی پژوهش‌ها باعث اثر منفی بر رشد و عملکرد محصول بعد از خود شده‌اند (Kuo and Jellum, 2002). مندب نیز اگرچه جزو خانواده بقولات نیست به سبب داشتن ریشه عمیق، احتمالاً این توانایی را دارد که عناصر غذایی را از اعمق خاک جذب کند و پس از پوسیدگی آنها را به تدریج در اختیار گیاه اصلی قرار دهد (Poorhasankhani Dowlatabad *et al.*, 2015).

تأثیر نوع گیاه پوششی بر عملکرد بیولوژیک ( $P<0.05$ ) و عملکرد دانه گندم ( $P<0.01$ ) معنی دار بود (جدول ۲). نتایج مقایسه میانگین اثر گیاه پوششی بر عملکرد دانه و عملکرد بیولوژیک گندم نشان داد که عملکرد بیولوژیک و عملکرد دانه گندم در تیمار گیاه پوششی خلر و مندب نسبت به شاهد (عدم کشت گیاه پوششی) افزایش یافت. احتمالاً افزایش عملکرد دانه گندم در تیمار گیاه پوششی خلر و مندب نسبت به تیمار شاهد (عدم کشت گیاه پوششی) به دلیل افزایش وزن سنبله و وزن هزار دانه گندم در این تیمارها می‌باشد.

تأثیر نوع گیاه پوششی بر نسبت C/N خاک ( $P<0.01$ ) معنی دار بود. تأثیر نوع گیاه پوششی بر نسبت C/N خاک نشان داد که در تیمار گیاه پوششی خلر و مندب، نسبت به شاهد (عدم کشت گیاه پوششی) به طور معنی داری کمتر بود، در حالی که در گیاه پوششی تریتیکاله و جو ترش این نسبت نسبت به شاهد بالاتر بود. منابع دیگر نیز افزایش نسبت C/N خاک را در شرایط کشت غلات تأیید کرده‌اند (Liebman *et al.*, 2004). تجزیه مواد آلی در خاک به وسیله نسبت C/N تعیین می‌گردد. هرچه نسبت N/C کمتر باشد، کربن آلی کم و محتوای نیتروژن بالا بوده و مقدار بالایی از نیتروژن در اثر معدنی شدن کود سبز آزاد خواهد شد (Abdi *et al.*, 2013). اگرچه استفاده از گیاهان پوششی در کل منجر به بهبود صفات و اجزای عملکرد گندم شد برتری گیاه خلر در بسیاری از صفات مورد

جدول ۳- مقایسه میانگین عملکرد و اجزای عملکرد گندم و C/N خاک تحت تأثیر نوع گیاه پوششی

Table 3- Means comparison for the yield and yield components of wheat and soil C/N as affected by different cover crop types

نسبت کربن به نیتروژن خاک C/N	وزن سنبله Spike weight (g m <sup>-2</sup> )	عملکرد بیولوژیک Biological yield (kg ha <sup>-1</sup> )	وزن هزار دانه Thousand-kernel weight (g)	تعداد دانه در سنبله Grain Spike <sup>-1</sup>	عملکرد دانه Grain yield (kg ha <sup>-1</sup> )	تعداد سنبله در متربع Spike.m <sup>-2</sup>	گیاه پوششی Cover crop
خلر							
Chickling pea	560.4	6511.1	40	43.02	15293.3	821.8	4.282
مندب							
Rocket sativa	531.6	6422.2	40.56	45.30	15422.2	894.2	6.19
جو ترش							
Barley	446.7	5524.4	39.33	40.52	14120	747.6	11.84
تریتیکاله							
Triticale	488.4	5328.9	37.56	41.42	12533.3	760.4	11.67
شاهد							
Control	513.3	5082.2	34.44	40.30	12640	718.7	9.99
LSD ( $\alpha=5\%$ )	70.966	484.984	4.329	1.795	2306.138	63.345	1.271

بیولوژیک ذرت داشتند. ساینجو و همکاران (Sainju *et al.*, 2001) گزارش کردند که در اثر استفاده از کود سبز، افزایش در عملکرد بیولوژیک ممکن است به دلیل افزایش غلظت نیتروژن و کربن آلی خاک باشد که احتمالاً پیامد آن افزایش رشد ریشه گیاه است. علاوه

در پژوهشی که پورحسن خانی دولت آباد و همکاران (Poorhasankhani Dowlatabad *et al.*, 2015) انجام دادند استفاده از گیاهان پوششی مندب و همچنین مخلوط مندب و خلر در شرایط کم بودن نیتروژن مصرفی، اثر قابل توجهی بر عملکرد

پوششی) افزایش یافت. به طور کلی بر اساس نتایج این تحقیق می‌توان گفت که سیستم‌های خاکورزی حفاظتی تأثیر مثبتی روی عملکرد و اجزای عملکرد گندم داشته و همچنین گیاهان پوششی خلر و منداب بیشترین تأثیر مثبت را روی عملکرد و اجزای عملکرد گندم داشتند. یافته‌های این پژوهش، موقوفیت کشت گیاهان پوششی خلر و منداب و سیستم‌های خاکورزی حفاظتی را در بهبود عملکرد گندم داشتن. لذا به نظر می‌رسد با توجه به مصرف بی‌رویه کودهای شیمیایی و مخاطرات زیستمحیطی آن‌ها، می‌توان به استفاده از گیاهان پوششی و سیستم‌های شخم حفاظتی به عنوان راهکاری پایدار جهت توسعه کشاورزی پایدار و حفظ سلامت بوم نظام‌ها در مناطق خشکی چون بیرون امیدوار بود، چراکه عدم توجه به کشاورزی حفاظتی، اجرای مداوم شخم عمیق و تأمین نیاز غذایی گیاهان صرفاً از طریق مصرف مداوم کودهای شیمیایی منجر به کاهش شدید محتوای مواد آلی خاک شده و سلامت خاک‌های منطقه را به خطر انداخته است. ادامه این روش‌ها در آینده نه چندان دور منجر به از دست رفتن منابع و کاهش عملکرد شده و پایداری بوم نظام‌های زراعی منطقه را به خطر خواهد انداخت. لذا اجرای این تحقیقات در سال‌های بعد و توصیه کشاورزان به اجرای اصول کشاورزی حفاظتی در منطقه بی‌جنده توصیه می‌شود.

بر افزایش محتوی کربن و نیتروژن آلی خاک، گیاهان پوششی ممکن است سبب بهبود تهווیه خاک و ساختمان خاک شود (Poorhasankhani Dowlatabad *et al.*, 2015). احتمالاً گیاهان پوششی از طریق آزاد کردن مواد غذایی و بهبود ساختار و مواد آلی خاک باعث بهبود خصوصیات گیاه زراعی می‌شوند (Jahan *et al.*, 2013). بقایای گیاهان پوششی در خاک از طریق حفظ رطوبت و همچنین تعدیل درجه حرارت شرایط مساعدی را برای رشد گیاه اصلی فراهم می‌کند و در نتیجه باعث افزایش عملکرد دانه می‌شوند (Jahan *et al.*, 2013).

### نتیجه‌گیری

نتایج این پژوهش نشان داد که امکان دستیابی به عملکردهای بالاتر گندم با کشت گیاهان پوششی و استفاده از سیستم‌های خاکورزی حفاظتی وجود دارد. به طوری که در این تحقیق عملکرد بیولوژیک و عملکرد دانه گندم در تیمار عدم خاکورزی و خاکورزی کاهشی در مقایسه با تیمار خاکورزی متداول به تغییر معنی‌داری افزایش یافت. همچنین اثر گیاه پوششی بر عملکرد دانه و عملکرد بیولوژیک گندم نشان داد که عملکرد بیولوژیک و عملکرد دانه گندم در تیمار گیاه پوششی خلر و منداب نسبت به شاهد (عدم کشت گیاه

### References

1. Abdi, S., Tajbakhsh, M., Abdollahi Mandulakani, B., and Rasouli Sadaghiani, M. H. 2013. Effect of green manure on the soil organic matter and nitrogen. *Journals of Agronomy Science* 7: 41-52. (in Persian with English abstract).
2. Allen, D. E., Singh, B. P., and Dalal, R. C. 2011. Soil health indicators under climate change: a review of current knowledge PP 25–45 in Singh, B. P., Cowie, A. L., Chan, K. Y. (Eds.), *Soil Health and Climate Change*. Springer-Verlag, Berlin, Heidelberg.
3. Amini, A., Rajaei, M., and Farsinezhad, K. 2014. Effects of different plant residue under different tillage practices on yield and yield components of wheat (*Triticum aestivum* L.). *Journal of Plant Ecophysiology* 16: 27-37. (in Persian with English abstract).
4. Araya, T., Cornelis, W. M., Nyssen, J., Govaerts, B., Getnet, F., Bauer, H., Amare, K., Raes, D., Haile, M., and Deckers, J. 2012. Medium-term effects of conservation agriculture based cropping systems for sustainable soil and water management and crop productivity in the Ethiopian highlands. *Field Crops Research* 132: 53-62.
5. Bhushan, L., Ladha, J. K., Gupta, R. K., Singh, S., Tirol-Padre, A., Saharawat, Y. S., Gathala, M., and Pathak, H. 2007. Saving of water and labor in a rice–wheat system with no-tillage and direct seeding technologies. *Agronomy Journal* 99: 1288-1296.
6. Bremner, J. M. 1996. Nitrogen— Total. In: D.L. Sparks Et Al (Eds.), *Methods of soil analysis. Part 3. Chemical methods*. Ssaa. Asa. Madison. W.U. Canadian Journal of Microbiology 21: 314-322.
7. Carrera, L. M., Abdul-Baki, A. A., and Teasdel, J. R. 2004. Cover crop management and weed suppression in No-tillage Sweet corn production. *HortScience* 39 (6): 1262-1266.
8. Carvalho, M., and Lourenco, E., 2014. Conservation Agriculture – A Portuguese Case Study. *Journal of Agronomy and Crop Science* 200: 317-324.
9. Chauhan, B. S., Gill, G. S., and Preston, C. 2007. Effect of seeding systems and di nitro aniline herbicides on emergence and control of rigid ryegrass (*Lolium rigidum*) in wheat. *Weed Technology* 21: 53-58.
10. De Vita, P., Di Paolo, E., Fecondo, G., Di Fonzo, N., and Pisante, M. 2007. No-tillage and conventional tillage effects on durum wheat yield, grain quality and soil moisture content in southern Italy. *Soil & Tillage Research* 92: 69-78.
11. Dinesh, R., Suryanayarana, M. A., Nair, A. K., and Ghoshal Chaudhuri, S. 2001. Leguminous cover crop effects on nitrogen mineralization rates and kinetics in soils. *Journal of Agronomy and Crop Science* 187: 161-166.
12. Duiker, S. W., and Curran, W. S. 2005. Rye cover crop management for corn production in the northern mid-

- atlantic region. *Agronomy Journal* 97: 1413-1418.
13. Fageria, N. K., Baligar, V. C., and Bailey, B. A., 2005. Role of cover crops in improving soil and row crop productivity. *Journal of Communications Soil Science Plant Analysis* 36: 2733-2757.
  14. FAO (Food and Agriculture Organization). 2013. Introduction to conservation agriculture (its principles & benefits). Available from: <http://teca.fao.org/technology/introduction-conservation-agriculture-its-principles-benefits>
  15. Gadermaier, F., Berner, A., Fliebach, A., Friedel, J. K., and Mader, P. 2011. Impact of reduced tillage on soil organic carbon and nutrient budgets under organic farming. *Renew Agriculture and Food Systems*: pp 1-13.
  16. Govaerts, B., Sayre, K. D., Goudeseune, B., De Corte, P., Licher, K., Dendooven, L., and Deckers, J. 2009. Conservation agriculture as a sustainable option for the central Mexican highlands. *Soil & Tillage Research* 103: 222-230.
  17. Hemmat, A., and Eskandari, I. 2004. Tillage system effects upon productivity winter wheat chickpea rotation in the northwest region of Iran. *Soil & tillage Research* 78 (11): 69-81.
  18. Hemmat, A., and Eskandari, I. 2006. Dryland winter wheat response to conservation tillage in a continuous cropping system in northwestern Iran. *Soil & tillage Research* 86: 99-109.
  19. Hobbs, P. R., Sayre, K., and Gupta, R. 2008. The role of conservation agriculture in sustainable agriculture. *Philosophical Transactions of the Royal Society B: Biological Sciences* 363: 543-555.
  20. Jahan, M., Aryaei, M., Amiri, M. B., and Ehyaei, H. R. 2013. The effect of plant growth promoting rhizobacteria (PGPR) on quantitative and qualitative characteristics of *Sesamum indicum* L. with application of cover crops of *Lathyrus* sp. and Persian clover (*Trifolium resopinatum* L.). *Journal of Agroecology* 5 (1): 1-15 (in Persian).
  21. Jat, R. A., Wani, S. P., and Sahrawat, K. L. 2012. Conservation Agriculture in the Semi-Arid Tropics: Prospects and Problems. *Advances in Agronomy* 117: 191-237.
  22. Jat, M. L., Gathala, M. K., Saharawat, Y. S., Tetarwal, J. P., Gupta, R., and Singh, Y. 2013. Double no-till and permanent raised beds in maize-wheat rotation of north-western Indo-Gangetic plains of India: effects on crop yields, water productivity, profitability and soil physical properties. *Field Crops Research* 149: 291-299.
  23. Jokela, W. E., Grabber, J. H., Karlen, D. L., Balser, T. C., and Palmquist, D. E. 2009. Cover crop and liquid manure effects on soil quality indicators in a corn silage system. *Agronomy Journal* 101: 727-737.
  24. Karlen, D. L., Cambardella, C. A., Kovar, J. L., and Colvin, T. S. 2013. Soil quality response to long-term tillage and crop rotation practices. *Soil & Tillage Research* 133: 54-64.
  25. Kaschuk, G., Alberton, O., and Hungria, M. 2010. Three decades of soil microbial biomass studies in Brazilian ecosystems: lessons learned about soil quality and indications for improving sustainability. *Soil Biology and Biochemistry Journal* 42: 1-13.
  26. Kuo, S., and Jellum, E. J. 2002. Influence of winter cover crop and residue management on soil nitrogen availability and corn. *Agronomy Journal* 94: 501-508.
  27. Liebman, M., Mohler, C. L., and Staver, C. P. 2004. *Ecological Management of Agricultural Weeds*. Cambridge University Press, UK.
  28. Miguez, F. E., and Bollero, G. A. 2005. Review of corn Yield response under winter cover cropping systems using meta-analytic methods. *Crop Science* 45: 2318-2329.
  29. Mirsky, S. B., Ryan, M. R., Curran, W. S., Teasdale, J. R., Maul, J., Spargo J. T., Moyer, J., Grantham, A. M., Weber, D., Way, T. R., and Camargo, G. G. 2012. Conservation tillage issues: Cover crop-based organic rotational no-till grain production in the mid-Atlantic region, USA. *Renewable Agriculture and Food Systems* 27: 31-40.
  30. Osunbitan, J. A., Oyedele, D. J., and Adekalu, K. O. 2005. Tillage effects on bulk density, hydraulic conductivity and strength of a loamy sand soil in south-western Nigeria. *Soil & Tillage Research* 82: 57-64.
  31. Parihar, C. M., Jat, S. L., Singh, A. K., Singh, Y., Pradhan, S., Pooniya, V., Dhauja, A., Chaudhary, V., Jat, M. L., Jat, R. K., and Yadav, O. P. 2016. Conservation agriculture in irrigated intensive maize-based systems of north-western India: Effects on crop yields, water productivity and economic profitability. *Field Crops Research* 193: 104-116.
  32. Pigglin, C., Haddad, A., and Khalil, Y. 2011. Development and promotion of zero tillage in Iraq and Syria. 5thWorld Congress of Conservation Agriculture incorporating 3rd Farming Systems Design Conference, September 2011 Brisbane, Australia [www.wcca2011.org](http://www.wcca2011.org)
  33. Poorhasankhani Dowlatabad, M., Madah Hosseini, Sh., Dashti, H., and Rahimi, A. 2015. Effect of Green Manure on Soil Organic Matter and Some Growth Indices of Maize (*Zea mays* L.) in Rafsanjan Region. *Journal of Plant Products Technology* 15 (2): 69-80 (in Persian with English abstract).
  34. Radicetti, E., Mancinelli, R., and Campiglia, E. 2013. Influence of winter cover crop residue management on weeds and yield in pepper (*Capsicum annuum* L.) in a Mediterranean environment. *Journal of Crop Protection* 52: 64-71.
  35. Reeves, D. W. 1994. Cover crops and rotations. In *Crops Residue Management. Advances in Soil Science*. Hatfield, J. L., and Stewart, B. A. (Eds.). Lewis Publishers, Boca Raton, FL, pp. 125-172.
  36. Sainju, U. M., and Singh, P. 2001. Tillage, cover crop, and kill- plantation date effects on corn yield and soil nitrogen. *Agronomy Journal* 93: 878-886.

37. Samarajeewa K. B. D. P., Horiuchi, T., and Oba, Sh. 2006. Finger millet (*Eleucine corocana* L. Garetn) as a cover crop on weed control, growth and yield of soybean under different tillage systems. *Soil & Tillage Research* 90: 93-99.
38. Shaxson, T. F. 2006. Re-thinking the conservation of carbon, water and soil: a different perspective. *Agronomy for Sustainable Development* 26: 9-19.
39. Shao, Y., Xie, Y., Wang, Ch., Yue, J., Yao, Y., Li, X., Liu, W., Zhu, Y., and Guo, T. 2016. Effects of different soil conservation tillage approaches on soil nutrients, water use and wheat-maize yield in rainfed dry-land regions of North China. *European Journal of Agronomy* 81: 37-45.
40. Singh, V. K., Singh, Y., Dwivedi, B. S., Singh, K. S., Majumdar, K., Jat, M. L., Mishra, R. P., and Rani, M. 2016. Soil physical properties: yield trends and economics after five years of conservation agriculture based rice-maize system in north-western India. *Soil & Tillage Research* 155: 133-148.
41. Teasdale, J. R. 1996. Contribution of cover crops to weed management in sustainable agricultural systems. *Journal of Production Agriculture* 9: 475-479.
42. Tilman, D., Cassman, K. G., Matson, P. A., Naylor, R., and Polasky, S. 2002. Agricultural Sustainability and intensive production practices. *Nature* 418: 671-677. Available from: <http://dx.doi.org/10.1038/nature01014>.
43. Tripathi, R. S., Raju, R., and Thimmappa, K. 2013. Impact of Zero Tillage on Economics of Wheat Production in Haryana. *Agricultural Economics Research Review* 26 (1): 101-108.
44. Unger, P. W., and Jones, O. R. 1998. Long-term tillage and cropping systems affect bulk density and penetration resistance of soil cropped to dryland wheat and grain sorghum. *Soil & Tillage Research* 45: 39-57.
45. Usman, K., Khan, E. A., Khan, N., Khan, M. A., Ghulam, S., Khan, S., and Baloch, J. 2013. Effect of Tillage and Nitrogen on Wheat Production, Economics, and Soil Fertility in Rice-Wheat Cropping System. *American Journal of Plant Sciences* 4: 17-25.
46. Walkly, A., and Black, I. A. 1934. An examination of the degtjareff method for determining soil organic matter and a proposed modification of the chromic acid titration method. *Soil Science* 37: 29-38.
47. Zhang, S., Chen, X., Jia, Sh., Liang, A., Zhang, X., Yang, X., Wei, Sh., Sun, B., Huang, D., and Zhou, G. 2015. The potential mechanism of long-term conservation tillage effects on maize yield in the black soil of Northeast China. *Soil & Tillage Research* 154: 84-90.
48. Zhao, M. Q., Hao, J. G., She, D. Q., Zhao, S. J., Fan, X. Q., and Liu, H. T. 2007. Conservation tillage in the interlock region of the farming area and pastoral area. *Journal of Agriculture Mechanization Research* 2: 122-125.



## Effect of Different Tillage Methods and Cover Crop Types on Yield and Yield Components of Wheat

Z. Sharefee<sup>1</sup>- S. V. Eslami<sup>2\*</sup>- M. Jami Al-Ahmadi<sup>2</sup>- S. Mahmoodi<sup>2</sup>

Received: 01-02-2017

Accepted: 11-06-2017

### Introduction

Conservation agriculture is an appropriate strategy for maintaining and improving agricultural resources which increases crop production and stability and also provides environmental protection. This attitude contributes to the conservation of natural resources (soil, water, and air) and is one of the most effective ways to overcome the drought crisis, water management and compensation of soil organic matter in arid and semi-arid regions. The practice of zero-tillage decreases the mineralization of organic matter and contributes to the sequestration of organic carbon in the soil. Higher amounts of organic matter in the soil improve soil structure and root growth, water infiltration and retention, and cation exchange capacity. In addition, zero-tillage reduces soil compaction and crop production costs. Cover crops are cultivated to protect the soil from erosion and elements loss by leaching or runoff and also improve the soil moisture and temperature.

Given that South Khorasan farmers still use traditional methods of cultivation of wheat, and cover crops have no place in their farming systems, the aim of this study was to investigate the effect of cover crops types and tillage systems on yield and yield components of wheat in Birjand region.

### Materials and Methods

A split plot field experiment was conducted based on randomized complete block design with three replications at the Research Farm of the University of Birjand over the growing season of 2014-2015. The main factor was the type of tillage (no-till, reduced tillage and conventional tillage) and cover crop type (chickling pea (*Lathyrus sativus*), rocket salad (*Eruca sativa*), triticale (*X Triticosecale witmack*), barley (*Hordeum vulgare*) and control (no cover crop)) was considered as sub plots. Cover crops were planted on July 2014. Before planting wheat, cover crops were dried through spraying paraquat herbicide using a backpack sprayer at a rate of 3 L ha<sup>-1</sup>. Then the three tillage treatments were applied, seedbed preparation was carried out and wheat Anfarm-4 (Bam) was planted. At the end of the growing season, yield and yield components of wheat were measured.

### Results and Discussion

The results indicated that the maximum grain yield, biological yield, and spike.m<sup>-2</sup> of wheat were observed with the no-till and reduced tillage treatments. The wheat spike weight significantly increased in the treatment of no-tillage compared with conventional tillage treatment. It seems that increased crop yield under no-till and reduced till systems might be owing to the enhancement of the soil nutrient status, reduced weed populations, improved physical health of the soil improved soil water status and increased efficiency of nutrient usage in these systems comparing with the conventional tillage systems.

The main effect of cover crop type showed that incorporating chickling pea and rocket salad resulted in the greatest grain yield, thousand-kernal weight, spike weight, and biological yield of wheat compared to the control (no cover crop) and also chickling pea, rocket salad and barley caused the greatest grain. Spike-1 of wheat compared to the control (no cover crop). Although the use of total cover crops improved yield and yield components in wheat. Chickling pea superiority in many traits was evident in comparison with other cover crops. This superiority could be due to the fact that this plant belongs to the legume family and legumes release higher amounts of nitrogen during decomposition compared to grass species. Grasses produce large amounts of carbon and are slowly decomposed. Although rocket salad does not belong to the legume family, due to having deep roots, it is able to absorb nutrients from the deep soil layers and provide the main plant with these nutrients after its decay.

1- PhD Student of Agronomy, Faculty of Agriculture, University of Birjand

2- Associate Professor, Department of Agronomy, Faculty of Agriculture, University of Birjand

(\*- Corresponding Author Email: sveslami@birjand.ac.ir)

**Conclusions**

The results of this study revealed that employment of conservation tillage systems remarkably affected the yield and yield components of wheat, and the greatest positive influence on crop yield and yield components were observed where chickling pea and rocket salad were sown before wheat cultivation. Thus, cover crops and conservation tillage systems can be used as a promising solution for the development of sustainable agriculture and protecting the health of ecosystems.

**Keywords:** Conservation agriculture, Minimum tillage, No tillage, Sustainable agriculture



## مطالعه تغذیه برگی کلات آهن به فرم‌های نانو و معمول بر عملکرد و اجزای عملکرد زیره سبز (*Cuminum cyminum L.*) در شرایط تنفس خشکی

عباس نصیری دهسرخی<sup>۱\*</sup> - احمد قنبری<sup>۲</sup> - ویدا ورناصری قندعلی<sup>۱</sup>

تاریخ دریافت: ۱۳۹۵/۱۲/۱۹

تاریخ پذیرش: ۱۳۹۶/۰۷/۲۵

### چکیده

به منظور بررسی تأثیر محلول پاشی کلات آهن به فرم‌های معمول و نانو بر عملکرد و اجزای عملکرد زیره سبز آزمایشی در سال زراعی ۱۳۹۴-۹۵ در مزرعه‌ای واقع در شهر اصفهان به صورت کرت‌های خرد شده در قالب طرح پایه بلوك کامل تصادفی در سه تکرار انجام شد. دور آبیاری به عنوان عامل اصلی شامل فواصل آبیاری پنج، ۱۰ و ۱۵ روز و محلول‌پاشی کلات آهن به عنوان عامل فرعی در پنج سطح شامل شاهد (محلول‌پاشی با آب)، ۲ گرم در لیتر کلات آهن به فرم معمول، ۲ گرم در لیتر نانو کلات آهن، ۴ گرم در لیتر نانو کلات آهن به فرم معمول و ۴ گرم در لیتر نانو کلات آهن در نظر گرفته شد. بیشترین و کمترین تعداد چتر با مقادیر ۱۵/۶ و ۱۱/۴ در بوته به ترتیب از دور پنج و ۱۵ روز آبیاری به دست آمد. کمترین ارتفاع بوته به میزان ۲۱/۳ سانتی‌متر در تیمار شاهد (عدم محلول‌پاشی) مشاهده گردید. کمترین وزن هزار دانه (۱/۵ گرم)، عملکرد دانه (۶۰/۷ کیلوگرم در هکتار) و عملکرد بیولوژیک (۱۷۶۷ کیلوگرم در هکتار) در شرایط عدم محلول‌پاشی و دور آبیاری ۱۵ روز مشاهده گردید. کاربرد ۲ گرم در لیتر نانو کلات آهن توانست به‌اندازه کاربرد ۴ گرم در لیتر کلات آهن به فرم معمول، عملکرد دانه زیره سبز را افزایش دهد. بر اساس نتایج پژوهش حاضر، می‌توان اظهار داشت در شرایط تنفس خشکی، با محلول‌پاشی کلات آهن به خصوص به فرم نانو می‌توان تا حد زیادی اثرات سوء ناشی از تنفس خشکی را تعدیل و عملکرد دانه گیاه را افزایش داد.

واژه‌های کلیدی: دور آبیاری، عملکرد بیولوژیک، گیاه دارویی، نانو ذرات

سال به سال بر اهمیت و سطح زیر کشت آن افزوده می‌شود (Kafi et al., 2002).

در کشور ایران اقلیم خشک و نیمه‌خشک اغلب مناطق را تحت تأثیر قرار داده و خصوصاً خشکسالی‌های اخیر بر مشکل کم‌آبی افزوده است (Farrokhinia et al., 2012; Laalinia et al., 2012). به گزارش (Gonzalez, 2005) تنفس خشکی در گیاه با کاهش آب برگ و در نتیجه بسته شدن روزنده‌ها و افت فتوستتر از یک سو و متأثر کردن فعالیت‌های آنزیمی و فرآیندهای مربوطه از سوی دیگر، موجب افت عملکرد دانه می‌شود. کاهش سرعت سوخت و ساز کربن، کاهش میزان هدایت روزنده‌ای و کاهش جذب آب در اثر کاهش رشد ریشه از عوامل دخیل در کاهش عملکرد در شرایط تنفس خشکی شناخته شده‌اند (Kazemi et al., 2014). ارائه راهکارهایی برای تعدیل اثرات تنفس خشکی و افزایش عملکرد در این شرایط به عنوان هدفی مهم همواره مورد توجه محققین بوده است. محلول‌پاشی عناصر ریز مغذی به عنوان یک راهکار توسط محققین بسیاری جهت افزایش عملکرد در شرایط تنفس خشکی پیشنهاد گردیده است (Kazemi et al., 2014).

### مقدمه

گیاهان دارویی، گیاهانی هستند که برخی از اندام‌های آنها حاوی مواد مؤثره و خواص دارویی است. این گیاهان، از لحاظ پیشگیری بیماری و درمان و هم در تأمین بهداشت و سلامتی جوامع اهمیت خاصی دارند (Fayyaz et al., 2011). زیره سبز (*Cuminum cyminum L.*) از خانواده چتریان، یکی از محصولات مهم صادراتی است که با توجه به شرایط خاص اکولوژیکی مورد نیاز برای کشت آن، در مناطق محدودی از جهان تولید می‌شود. زیره سبز، یکی از مهمترین گیاهان دارویی اهلی در کشور شناخته شده است. در حال حاضر، این گیاه در استان‌های خراسان، آذربایجان شرقی، یزد، سمنان، اصفهان و بخش‌هایی از استان گلستان و کرمان کشت می‌گردد و

۱- دانشجوی دکتری اگروکلولوژی، گروه زراعت، دانشکده کشاورزی، دانشگاه زابل

۲- استاد، گروه زراعت، دانشکده کشاورزی، دانشگاه زابل

(\*)- نویسنده مسئول: abasnasisi110@yahoo.com  
DOI: 10.22067/gsc.v16i1.63206

داشت، و چین علف‌های هرز به صورت دستی و هفتگی انجام گردید. برای نمونه برداری دو ردیف کناری و نیم متر ابتدا و انتهای هر کرت به عنوان حاشیه حذف شدند. در مرحله رسیدگی بیزیولوژیک، به صورت تصادفی از هر کرت آزمایشی پنج بوته انتخاب و صفات ارتفاع، تعداد چتر در بوته، تعداد چترک در چتر، تعداد دانه در چتر و وزن هزار دانه اندازه‌گیری شدند. همچنین به منظور تعیین عملکرد بیولوژیک و دانه مساحت ۵/۰ مترمربع از وسط هر کرت با حذف اثر حاشیه‌ای برداشت و مقدار آن برآورد گردید. آنالیز داده‌ها توسط نرم‌افزار MSTATC نسخه ۴ و مقایسه میانگین داده‌ها با آزمون LSD، در سطح احتمال پنج درصد انجام شد. ترسیم شکل‌ها نیز با استفاده از نرم‌افزار Excel صورت گرفت.

## نتایج و بحث

### ارتفاع بوته

نتایج نشان داد تأثیر دور آبیاری و محلول‌پاشی آهن بر ارتفاع بوته در سطح احتمال یک درصد معنی‌دار بود (جدول ۱). با افزایش فاصله آبیاری، ارتفاع بوته کاهش یافت. گرچه بین فواصل آبیاری ۱۰ و ۱۵ روز اختلاف معنی‌داری از نظر ارتفاع بوته وجود نداشت، اما کمترین آن به فاصله آبیاری ۱۵ روز (۲۱/۶ سانتی‌متر) تعلق داشت (جدول ۲). Eskandari *et al.* (2010) نشان دادند با افزایش دور آبیاری، ارتفاع بوته کنجد (*Sesamum indicum*) کاهش یافت. در شرایط تنفس تخصیص مواد کربوهیدراتی بین قسمت‌های مختلف گیاه تغییر می‌کند، لذا گیاه سهم بیشتری از مواد فتوستنتزی را به ریشه اختصاص می‌دهد، در نتیجه مواد فتوستنتزی کمتری به بخش‌های هوایی از جمله ساقه رسیده که این امر ضمن توسعه بخش جاذب رطوبت و عناصر غذایی (ریشه‌ها)، سبب کاهش سهم شاخساره و ارتفاع بوته می‌گردد (Silva *et al.*, 2012).

ارتفاع بوته در پاسخ به محلول‌پاشی به طور معنی‌داری افزایش یافت به طوری که کمترین ارتفاع بوته به میزان ۲۱/۳ سانتی‌متر در تیمار شاهد (عدم محلول‌پاشی) مشاهده گردید که اختلاف معنی‌داری با سایر سطوح محلول‌پاشی داشت (جدول ۲). گزارش‌های متعددی مبنی بر تأثیر مثبت کاربرد آهن در مقایسه با عدم کاربرد آن (شاهد) بر ارتفاع بوته گیاهان و به دنبال آن بهبود عملکرد گیاه وجود دارد. برای مثال در کلزا (*Brassica napus* L.) بهبود ارتفاع بوته با محلول‌پاشی آهن توسط Pourgholam *et al.* (2013) و همچنین Ghasemian *et al.* (2010) در سویا (*Glycine max*) توسط گزارش شده است.

Babaeian *et al.* (2008) مصرف مانند آهن و روی در شرایط تنفس خشکی، عملکرد آفتابگردان (*Helianthus annuus*) را با بهبود بازده فتوشیمیایی و غلظت سبزینه، افزایش می‌دهد. در پژوهشی با بررسی اثر آهن و روی بر خصوصیات عملکردی گندم (*Triticum aestivum*) در شرایط تنفس خشکی دریافتند که عملکرد و وزن هزار دانه گندم به‌طور معنی‌داری در اثر استفاده از این دو عنصر افزایش می‌یابد (Monjezi *et al.*, 2013).

در سال‌های اخیر چگونگی تأثیر محلول‌پاشی عناصر مورد نیاز گیاه به فرم نانو ذرات بر رشد و عملکرد گیاهان مورد توجه قرار گرفته است و در این راستا گزارش‌هایی نیز ارائه شده است. محققان گزارش دادند محلول‌پاشی سولفات آهن به شکل نانو ذرات سبب افزایش وزن خشک گیاه آفتابگردان نسبت به محلول‌پاشی سولفات آهن به شکل معمول گردید (Torabian and Zahedi, 2013). مصرف یک کیلوگرم در هکتار کلات آهن به شکل نانو در مقایسه با شکل معمول آن به نسبت بیشتری وزن خشک اندام هوایی، ریشه و برگ و طول ریشه گیاه ریحان (*Ocimum Basilicum*) را افزایش داد Mazaherinia *et al.* (2011) دریافتند که کاربرد پودر اکسید آهن نانو نسبت به اکسید آهن معمولی افزایش معنی‌داری در کل وزن خشک کاه و کلش گندم داشته است. با توجه به اینکه بخش زیادی از اراضی کشور از اقلیم خشک و نیمه خشک برخوردار هستند و تولید گیاهان زراعی و دارویی در این مناطق با کمبود آب روبرو است، انجام تحقیقاتی که بتواند اثرات سوء ناشی از شرایط خشکی را کاهش دهد، ضروری به نظر می‌رسد. بنابراین پژوهش حاضر به منظور بررسی محلول‌پاشی کلات آهن به فرم‌های معمول و نانو بر عملکرد و اجزای عملکرد زیره سبز در شرایط تنفس خشکی انجام گردید.

## مواد و روش‌ها

آزمایش در سال زراعی ۱۳۹۴-۹۵ در مزرعه‌ای واقع در شهر اصفهان به صورت کرت‌های خرد شده در قالب طرح پایه بلوك کامل تصادفی در سه تکرار انجام شد. دور آبیاری به عنوان عامل اصلی شامل فواصل آبیاری پنج، ۱۰ و ۱۵ روز و محلول‌پاشی کلات آهن به عنوان عامل فرعی در پنج سطح شامل شاهد (محلول‌پاشی با آب)، دو گرم در لیتر کلات آهن به فرم معمول، دو گرم در لیتر نانو کلات آهن، چهار گرم در لیتر کلات آهن به فرم معمول و چهار گرم در لیتر نانو کلات آهن در نظر گرفته شد. کود مورد استفاده در این پژوهش از شرکت کود خضراء تهیه شده بود. هر کرت آزمایشی از چهار ردیف چهار متری تشکیل شده بود. فاصله بین ردیف کاشت، ۲۰ سانتی‌متر و فاصله روی ردیف شش سانتی‌متر در نظر گرفته شد. در طول دوره

جدول ۱- تجزیه واریانس عملکرد و اجزای عملکرد زیره سبز تحت تأثیر محلول پاشی کلات آهن و دور آبیاری  
Table 1- Analyses of variance of yield and yield components of cumin affected by foliar application of chelate iron and irrigation period

منابع تغییر Source of variation	درجه آزادی d.f	Mean of squares							عملکرد دانه Grain yield
		ارتفاع بوته Height	تعداد چتر Number of umbels	تعداد چترک Number of umbellate	تعداد دانه در چتر Number of grain per umbel	وزن هزار دانه 1000-Grain weight	عملکرد بیولوژیک Biological yield		
بلوک Replication	2	13.06ns	6.2ns	0.15ns	3464.46*	2.36*	2167450.4*	28749.1**	
دور آبیاری Irrigation period	2	213.2**	67.26**	0.82ns	3944.26*	4.82**	4031668.2**	160987**	
a خطای Error (a)	4	3.13	1.26	0.45	372.53	0.14	124557.2	1582.2	
محلول پاشی Foliar application	4	39.63**	19.3**	0.03ns	491.07**	0.71**	500293.4**	8258.9**	
دور آبیاری × محلول پاشی Irrigation foliar × period application	8	1.26ns	0.51ns	0.76ns	38.62ns	0.11**	47577.2*	786.7**	
b خطای Error (b)	24	3.13	0.66	0.77	57.09	0.02	20169	234.1	
ضریب تغییرات C.V (%)	-	7.3	5.9	9.6	8.5	4.8	5.0	2.0	

\*, \*\* و ns به ترتیب بیانگر معنی‌داری در سطح احتمال پنج، یک و عدم معنی‌داری.  
, \*\* and ns, significant at P ≤0.01 and P ≤0.05 and non-significant respectively.

بگیرد و بدین طریق نانوذرات از غشاء‌های سلولی عبور می‌کند (Krystofova *et al.*, 2013). نتایج نشان داد کاربرد دو گرم در لیتر نانو کلات آهن توانست به اندازه چهار گرم در لیتر کلات آهن به فرم معمول، ارتفاع بوته را نسبت به شاهد افزایش دهد و از نظر صفت مذکور در یک گروه آماری قرار گرفتند. چنین به نظر می‌رسد که به علت کارآیی بالاتر نانوکود کلات، با نصف مقدار کوددهی کود کلات معمولی، در این صفت مؤثر بوده که دلیل احتمالی این امر را می‌توان به اندازه ذرات نانو و امکان نفوذ بیشتر و مؤثرتر این ذرات در مقایسه با شکل معمول این عنصر نسبت داد.

#### تعداد چتر در بوته

نتایج نشان داد دور آبیاری به‌طور بسیار معنی‌داری تعداد چتر در بوته زیره سبز را تحت تأثیر قرار داد (جدول ۱). با افزایش شدت تنش از تعداد چتر در بوته کاسته شد به‌طوری که بیشترین و کمترین تعداد چتر با مقادیر  $15/6$  و  $11/4$  در بوته به ترتیب از دور پنج و ۱۵ روز آبیاری بدست آمد (جدول ۲). در پژوهشی، محققان بیان کردند که در شرایط تنش خشکی تعداد چتر در بوته زیره کاهش می‌یابد (Kafi and Keshmiri, 2011).

نتایج پژوهش حاضر نشان داد در بین سطوح محلول پاشی آهن، بالاترین ارتفاع بوته در تیمار چهار گرم در لیتر نانو کود کلات آهن مشاهده گردید که افزایش ۲۲ درصدی ارتفاع بوته نسبت به شاهد را به همراه داشت. در پژوهشی، محققان گزارش دادند کاربرد نانو کود آهن باعث افزایش ارتفاع ذرت (*Zea mays* L.) گردید (Mohammad Khani and Roozbahani, 2015). در آزمایش Pandey *et al.* (2010) مصرف نانوذرات آهن از طریق افزایش سطح ایندول استیک اسید در ریشه نخود (*Cicer arietinum* L.) موجب افزایش رشد طولی این گیاه گردید که این به دلیل سطح مخصوص نانو ذرات آهن و قابلیت جذب و تحرک بیشتر در گیاه است. همچنین تحقیقات نشان داده که نانو ذرات سولفات آهن به دلیل حلالیت بیشتر در آب و دارا بودن سطح مخصوص کوچکتر نسبت به سولفات آهن معمولی، بر سطح گیاه رسوب نکرده و با جذب بیشتر در گیاه و فعل کردن هورمون‌ها باعث افزایش ارتفاع آفتابگردان شدند (Torabian and Zahedi, 2013). نانوذرات می‌توانند به مولکول‌های فعال بیولوژیکی مختلف متصل شوند که این اتصال می‌تواند به‌طور مستقیم به مکان‌های خاص درون بیومولکول‌ها شامل پروتئین‌ها و اسیدهای نوکلئیک و ساختارهای زیرسلولی صورت

در چتر به ترتیب به میزان ۱۹ و ۳۱ درصد نسبت به شاهد (دور آبیاری پنج روز) گردید (جدول ۲). Ahmadian (2004) گزارش داد با افزایش شدت تنش خشکی تعداد چتر در بوته، تعداد دانه در بوته زیره سبز کاهش می‌یابد. Shabanzadeh et al. (2012) Nigella با افزایش فاصله آبیاری، تعداد دانه در بوته گیاه سیاه دانه (*Nigella sativa L.*) به طور معنی‌داری کاهش یافت. کاهش تعداد دانه در اثر تنش خشکی می‌تواند به علت کاهش آسمیلات‌ها به واسطه کاهش سطح برگ گیاه و فتوستنتر در مرحله پر شدن دانه باشد (Tavakkoli, 2002). بر اساس نتایج تجزیه واریانس، اثر محلول‌پاشی در سطح یک درصد بر تعداد دانه در چتر معنی‌دار بود. همان‌طور که در جدول ۲ مشهود است گرچه اختلاف معنی‌داری بین فرم معمول و نانو کلات آهن در صفت تعداد دانه در چتر وجود ندارد اما کلیه سطوح محلول‌پاشی آهن نسبت به عدم محلول‌پاشی (شاهد) افزایش معنی‌دار صفت مذکور را به همراه داشت. در راستای نتایج پژوهش حاضر، افزایش تعداد دانه در اثر محلول‌پاشی آهن در گیاهان کتجد Shabanzadeh et al. (2013) (Ahmadi et al., 2012) نیز گزارش شده است. در تحقیقی اظهار شد که با مصرف نانو کود کلات در مرحله گله‌ی، درصد پوکی دانه‌ها کاهش و تعداد دانه در بوته برنج (*Oryza sativa*) افزایش یافت (Baghaei et al., 2012). همچنین نتایج پژوهشی نشان داد کاربرد نانو کود آهن سبب افزایش تعداد دانه در ردیف ذرت گردید (Mohammad Khani and Roozbahani, 2015).

#### وزن هزار دانه

براساس نتایج حاصل از تجزیه واریانس، اثر سطوح دور آبیاری و محلول‌پاشی و برهمکنش آنها در سطح یک درصد بر وزن هزار دانه زیره سبز معنی‌دار بود (جدول ۱). بررسی برهمکنش تنش در محلول‌پاشی نشان داد، محلول‌پاشی با نانو کلات آهن و کلات آهن معمولی در شرایط تنش و عدم تنش خشکی باعث افزایش وزن هزار دانه زیره سبز گردید. بیشترین وزن هزار دانه گیاه با کاربرد چهار گرم در لیتر نانو کلات و در شرایط عدم تنش مشاهده گردید که البته همان‌طور که در شکل ۱ مشهود است با چهار گرم در لیتر فرم معمول کلات آهن در یک گروه آماری قرار گرفتند. این در حالی بود که کمترین وزن هزار دانه گیاه به میزان ۱/۵ گرم در شرایط عدم محلول‌پاشی و دور آبیاری ۱۵ روز مشاهده گردید. گیاه برای فرار از خشکی مجبور است رشد خود را سریع‌تر به پایان رسانده در نتیجه طول دوره پر شدن دانه کاهش یافته و وزن دانه کم می‌شود. Bybordy and Mamedov (2010) اظهار داشتند که محلول‌پاشی آهن در دو مرحله ساقه رفت و قبل از گله‌ی در کلزا، سبب افزایش وزن هزار دانه گردید. در پژوهش دیگری نتایج نشان داد محلول‌پاشی عنصر آهن باعث افزایش معنی‌دار وزن هزار دانه کلزا گردید.

(*Plantago psyllium*) تعداد سنبله در بوته کاهش یافت (Ramroudi et al., 2011). کاهش آب مورد نیاز گیاه اگر در مرحله زایشی باشد، به دلیل اختلال در عمل گردهافشانی و کوتاه شدن زمان آن موجب کاهش تعداد سنبله و دانه می‌شود (Patra et al., 1999). بر اساس نتایج تجزیه واریانس (جدول ۱)، تأثیر محلول‌پاشی بر تعداد چتر در بوته در سطح احتمال یک درصد معنی‌دار بود. محلول‌پاشی عنصر آهن به هر دو فرم نانو و معمول، باعث افزایش معنی‌دار تعداد چتر در بوته نسبت به شاهد (عدم محلول‌پاشی) گردید. در بین سطوح محلول‌پاشی، بیشترین تعداد چتر در بوته مربوط به کاربرد چهار گرم در لیتر نانو کلات آهن و چهار گرم در لیتر کلات آهن به فرم معمول بود که به ترتیب افزایش ۲۵ و ۲۱ درصدی تعداد چتر در بوته نسبت به شاهد را نشان دادند (جدول ۲). عنصر آهن از طریق تحریک پنجه‌زنی مطلوب و تشکیل آغاهه‌های برگ، باعث افزایش تعداد سنبله در غلات می‌شود (Ebrahimi and Hassanpour, 2002).

نتایج نشان داد کاربرد دو گرم در لیتر نانو کلات آهن توانست به اندازه چهار گرم در لیتر کلات آهن معمول، تعداد چتر در بوته تولید کند و از نظر صفت مذکور در یک گروه آماری قرار گرفتند. این در حالی بود که کاربرد دو گرم در لیتر نانو کلات آهن باعث افزایش معنی‌دار تعداد چتر در بوته به میزان ۸ درصد نسبت به تیمار دو گرم در لیتر کلات آهن به فرم معمول گردید. در پژوهشی نتایج نشان داد محلول‌پاشی نانو کود آهن باعث افزایش معنی‌دار تعداد فندقه<sup>۱</sup> در بوته کاسنی (*Cichorium inyubus L.*) نسبت به شاهد (محلول‌پاشی با آب) گردید (Sepehri and Vaziriamjad, 2015) (Hamzei et al., 2014). گزارش دادند محلول‌پاشی نانو کلات آهن در مرحله گله‌ی به دلیل افزایش ماندگاری گل و تبدیل آن به غلاف و نیز از طریق افزایش آسمیلات‌ها، به واسطه نقشی که این عنصر در فتوستنتر دارد، موجب افزایش تعداد غلاف در بوته می‌گردد. به‌نظر می‌رسد جذب بهتر و بیشتر عناصر غذایی در تیمارهای نانو، سبب افزایش میزان فتوستنتر و ماده خشک گیاهی می‌شود که این مسئله در نهایت به افزایش گله‌ی و تعداد چتر در بوته می‌انجامد.

#### تعداد دانه در چتر

مطابق با نتایج تجزیه واریانس، عامل دور آبیاری تعداد دانه در چتر را در سطح احتمال پنج درصد تحت تأثیر قرار داد (جدول ۱). افزایش فواصل آبیاری سبب کاهش تعداد دانه در چتر گردید که این امر می‌تواند به دلیل کاهش فتوستنتر، کاهش رشد و سایر عوامل بازدارنده در اثر ایجاد تنش ناشی از افزایش فواصل آبیاری باشد. نتایج نشان داد دور آبیاری ۱۰ و ۱۵ روز باعث کاهش تعداد دانه

اثر آهن و روی بر خصوصیات عملکردی گندم در شرایط تنش خشکی دریافتند که عملکرد و وزن هزار دانه گندم به طور معنی‌داری در اثر استفاده از این دو عنصر افزایش می‌یابد.

به طوری که با افزایش غلظت آهن از صفر تا چهار گرم در لیتر، وزن هزار دانه به طور معنی‌داری از  $4/24$  به  $4/64$  گرم افزایش یافت Monjezi *et al.* (2013) (Hedayatpour *et al.*, 2014)

جدول ۲- مقایسه میانگین اثرات محلول پاشی کلات آهن و دور آبیاری بر عملکرد و اجزای عملکرد زیره سبز  
Table 2- Effects of foliar application and irrigation period on yield and yield components of cumin

تیمارها Treatments	ارتفاع بوته Height (cm)	تعداد چتر Number of umbels	تعداد دانه در چتر Number of grain per umbel	وزن هزار دانه 1000-Grain weight (g)	عملکرد بیولوژیک Biological yield ( $\text{kg ha}^{-1}$ )	عملکرد دانه Grain yield ( $\text{kg ha}^{-1}$ )
دور آبیاری						
Irrigation period (days)						
5	28.4	15.6	106.1	3.43	3352.8	879.7
10	22.3	14.3	86.2	2.98	2881.8	759
15	21.6	11.4	74	2.3	2317.3	673.5
LSD (0.05)	1.33	0.61	5.69	0.106	107	11.53
محلول پاشی						
Foliar application						
Fe0	21.3	11.5	75.7	2.48	2512.3	733.4
Fe1	23.1	13.2	93.6	2.81	2748.5	750.6
Fe2	24.4	14.3	90.8	2.94	2897.7	774
Fe3	24.7	14.5	90.7	3.04	2952.7	783.8
Fe4	27	15.3	92.8	3.24	3141.8	811.8
LSD (0.05)	1.72	0.79	7.35	0.137	138.2	14.89

: شاهد (محلول پاشی با آب)، Fe1: ۲ گرم در لیتر کلات آهن، Fe2: ۴ گرم در لیتر نانو کلات آهن، Fe3: ۴ گرم در لیتر نانو کلات آهن و Fe4: ۴ گرم در لیتر کلات آهن، Fe0: control, Fe1: 2 g L<sup>-1</sup> chelate iron, Fe2: 2 g L<sup>-1</sup> nano chelate iron, Fe3: 4 g L<sup>-1</sup> chelate iron and Fe4: 4 g L<sup>-1</sup> nano chelate iron

### عملکرد بیولوژیک

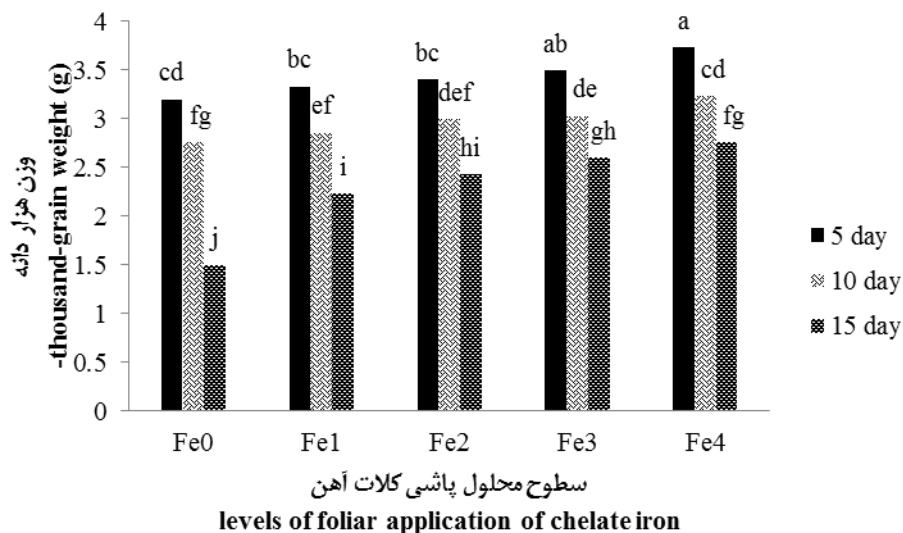
مطابق با نتایج تجزیه واریانس، تأثیر دور آبیاری و محلول پاشی در سطح احتمال یک درصد و برهمکنش آنها در سطح پنج درصد معنی‌دار گردید (جدول ۱). مقایسه میانگین‌های برهمکنش دور آبیاری و محلول پاشی کلات آهن نشان داد که بیشترین عملکرد بیولوژیک از دور آبیاری پنج روز و محلول پاشی چهار گرم در لیتر نانوکلات آهن مشاهده گردید که افزایش ۱۴ درصدی نسبت به شاهد را نشان داد (شکل ۲). (Zehtab-Salmasi *et al.*, 2008) (Sharma and Sanwal, 1992) نتایج پژوهشی نشان داد که نانو ذرات دی‌اکسید تیتانیوم ۰/۰۲ درصد در شرایط تنش خشکی ۲۸/۳۲ درصد نسبت به عدم محلول پاشی در عملکرد خشک گندم را افزایش داد (Jaberzadeh *et al.*, 2010). در پژوهش دیگری محققین گزارش دادند کاربرد نانو کود آهن سبب افزایش وزن هزار دانه ذرت گردید (Mohammad Khami, 2015) Mazaherinia *et al.* (2010) and Roozbahani, 2015 کاربرد پودر اکسید آهن نانو نسبت به اکسید آهن معمولی افزایش معنی‌داری در وزن دانه در سنبله گندم را به همراه داشت. با توجه به نتایج به دست آمده از پژوهش حاضر و گزارش سایر محققین، به نظر می‌رسد محلول پاشی عنصر آهن به ویژه فرم نانو کلات در شرایط کم‌آبی می‌تواند تجمع کربوهیدرات و فرآیندهای فتوستنتزی را افزایش دهد و متعاقباً اثرات سوء ناشی از خشکی را تعدیل نماید.

وجود آهن منجر به افزایش محتوای کلروفیل برگ گشته و با تأثیر بر میزان فتوستنتز و تثبیت دی اکسید کربن و تولید نشاسته و قند و ذخیره‌سازی آن در دانه، موجب افزایش وزن هزار دانه می‌گردد (Sharma and Sanwal, 1992).

همچنین نتایج پژوهش حاضر نشان داد در شرایط تنش و عدم تنش، کاربرد نانوکلات آهن در مقایسه با فرم معمول این عنصر، به نسبت بیشتری وزن هزار دانه زیره سبز را افزایش داد. در همین راستا، نتایج پژوهشی نشان داد که نانو ذرات دی اکسید تیتانیوم ۰/۰۲ درصد در شرایط تنش خشکی ۲۸/۳۲ درصد نسبت به عدم محلول پاشی در همین شرایط وزن سنبله گندم را افزایش داد (Jaberzadeh *et al.*, 2010). در پژوهش دیگری محققین گزارش دادند کاربرد نانو کود آهن سبب افزایش وزن هزار دانه ذرت گردید (Mohammad Khami, 2015) Mazaherinia *et al.* (2010) and Roozbahani, 2015 کاربرد پودر اکسید آهن نانو نسبت به اکسید آهن معمولی افزایش معنی‌داری در وزن دانه در سنبله گندم را به همراه داشت. با توجه به نتایج به دست آمده از پژوهش حاضر و گزارش سایر محققین، به نظر می‌رسد محلول پاشی عنصر آهن به ویژه فرم نانو کلات در شرایط کم‌آبی می‌تواند تجمع کربوهیدرات و فرآیندهای فتوستنتزی را افزایش دهد و متعاقباً اثرات سوء ناشی از خشکی را تعدیل نماید.

در مقایسه با فرم معمول آن نسبت داد.

نانو آهن نسبت به تیمارهای آهن معمولی بیشتر بود که علت این امر را می‌توان به حلالیت بیشتر و قابلیت فراهمی بیشتر نانو کلات آهن



شکل ۱- برهمکنش دور آبیاری و محلول پاشی کلات آهن بر وزن هزار دانه زیره سبز

**Figure 1- Interaction effects of irrigation period and foliar application of chelate iron on 1000-grain weight of cumin**

شاهد (محلول پاشی با آب)، Fe1: ۲ گرم در لیتر کلات آهن، Fe2: ۴ گرم در لیتر نانو کلات آهن، Fe3: ۴ گرم در لیتر نانو کلات آهن، Fe4: ۴ گرم در لیتر نانو کلات آهن، Fe0: control, Fe1: 2 g L<sup>-1</sup> chelate iron, Fe2: 2 g L<sup>-1</sup> nano chelate iron, Fe3: 4 g L<sup>-1</sup> chelate iron and Fe4: 4 g L<sup>-1</sup> nano chelate iron  
میانگین‌های دارای حداقل یک حرف مشترک بر اساس آزمون LSD در سطح ۵ درصد دارای تفاوت معنی‌داری نمی‌باشند.

Means with similar letters are not significantly different at the 5 % probability level (LSD test).

کیلوگرم در هکتار کلات آهن به شکل نانو در مقایسه با شکل معمول آن به نسبت بیشتری وزن خشک اندام هوایی، ریشه و برگ و طول ریشه گیاه ریحان را افزایش داد (Peyvandi *et al.*, 2011). Mazaherinia *et al.* (2010) دریافتند که کاربرد پودر اکسید آهن نانو نسبت به اکسید آهن معمولی افزایش معنی‌داری در کل وزن خشک کاه و کلش گندم داشته است. به نظر می‌رسد اندازه بزرگتر کلات آهن معمول نسبت به فرم نانو، منجر به جذب کمتر این عنصر توسط گیاه و رسوب بیشتر آن بر روی برگ می‌گردد. از سوی دیگر رسوب این مواد بر روی برگ می‌تواند سوختگی برگ، کاهش فتوسنتز و در نهایت کاهش عملکرد گیاه را بهمراه داشته باشد.

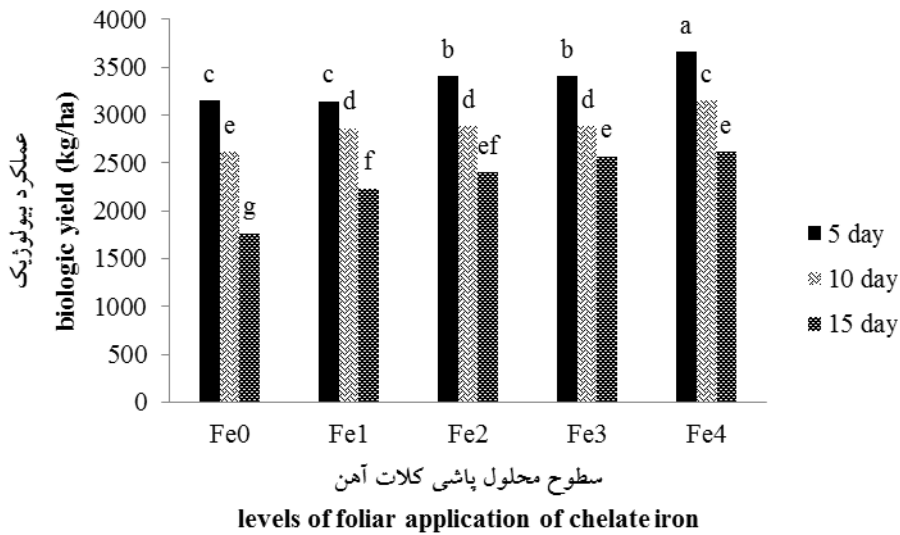
#### عملکرد دانه

نتایج حاصل از تجزیه واریانس داده‌ها نشان داد اثر تیمارهای دور آبیاری، محلول پاشی و همچنین برهمکنش آنها در سطح یک درصد بر عملکرد دانه معنی‌دار بود (جدول ۱). بررسی اثر متقابل دور آبیاری در محلول پاشی نشان داد اعمال دور آبیاری ۱۰ و ۱۵ روز باعث کاهش معنی‌دار عملکرد دانه گیاه نسبت به شاهد گردید که این کاهش عملکرد در دور آبیاری ۱۵ روز بیشتر از ۱۰ روز بود. اما

نتایج نشان داد در شرایط عدم تنفس (دور آبیاری پنج روز)، محلول پاشی دو گرم نانو کلات آهن ضمن افزایش معنی‌دار ۷/۶ درصدی عملکرد بیولوژیک نسبت به دو گرم کلات آهن معمول، از نظر صفت مذکور با تیمار چهار گرم کلات آهن معمول در یک گروه قرار گرفت. Mohammad Khani and Roozbahani (2015) در نتیجه پژوهش خود، اظهار داشتند کاربرد نانو کود آهن باعث افزایش عملکرد بیولوژیک در ذرت گردید. گزارش شده است که Sepehri and Vaziriamjad (2015) نیز گزارش دادند محلول پاشی نانو کود آهن سبب افزایش عملکرد بیولوژیک در گیاه کاسنی گردید. گزارش شده است که محلول پاشی نانو کلات آهن در مرحله گلدهی نخود از طریق افزایش رشد، تعداد شاخه در بوته و همچنین تعداد دانه در بوته، موجبات تشکیل ماده خشک بیشتری را فراهم آورد (Hamzei *et al.*, 2014). هم راستا با نتایج پژوهش حاضر، گزارش‌های متعددی وجود دارد که کاربرد نانوکودها در مقایسه با فرم معمول آنها، تأثیر بیشتری در تجمع ماده خشک در گیاه بهمراه خواهد داشت. به عنوان مثال، Torabian and Zahedi (2013) گزارش دادند محلول پاشی سولفات آهن به‌شکل نانو ذرات سبب افزایش وزن خشک گیاه نسبت به محلول پاشی سولفات آهن به‌شکل معمول گردید. مصرف یک

کلات آهن نسبت به سایر سطوح محلول‌پاشی تأثیر بیشتری در تعديل تنفس خشکی و افزایش عملکرد نشان داد (شکل ۳).

محلول‌پاشی با نانو کلات آهن و کلات آهن معمول توانست این کاهش عملکرد را جبران و در این میان محلول‌پاشی با چهار گرم نانو



شکل ۲- برهمکنش دور آبیاری و محلول‌پاشی کلات آهن بر عملکرد بیولوژیک زیره سبز

Figure 2- Interaction effects of irrigation period and foliar application of chelate iron on biological yield of cumin

Fe0: شاهد (محلول‌پاشی با آب)، Fe1: ۲ گرم در لیتر نانو کلات آهن، Fe2: ۴ گرم در لیتر کلات آهن و Fe4: ۴ گرم در لیتر نانو کلات آهن  
Fe0: control, Fe1: 2 g L<sup>-1</sup> chelate iron, Fe2: 2 g L<sup>-1</sup> nano chelate iron, Fe3: 4 g L<sup>-1</sup> chelate iron and Fe4: 4 g L<sup>-1</sup> nano chelate iron  
میانگین‌های دارای حداقل یک حرف مشترک بر اساس آزمون LSD در صد دارای تفاوت معنی‌داری نمی‌باشند.

Means with similar letters are not significantly different at the 5 % probability level (LSD test).

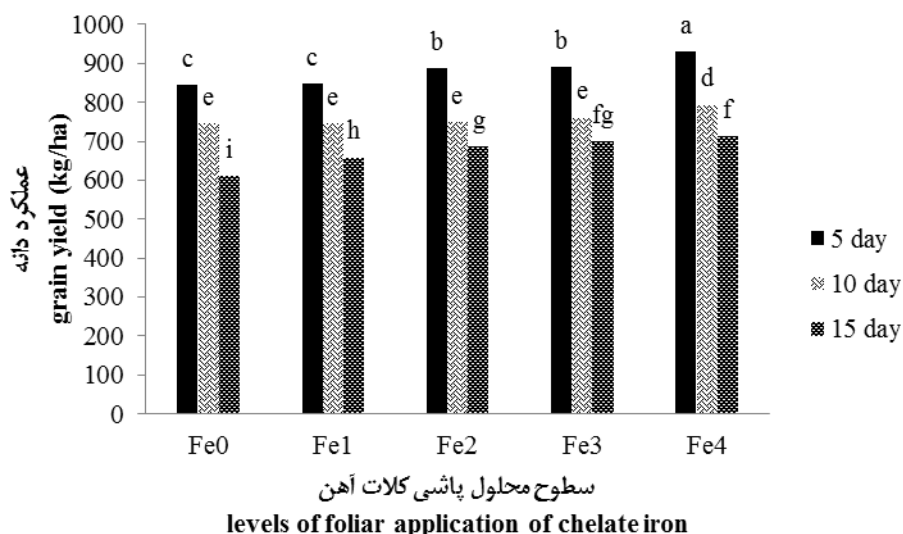
در کاهش عملکرد در شرایط تنفس خشکی شناخته شده‌اند (Gonzalez, 2005). Jaberzadeh *et al.* (2010) گزارش دادند عملکرد دانه گندم در شرایط تنفس خشکی با محلول‌پاشی نانوذرات دی‌اکسید تیتانیوم ۰/۰۲ درصد، ۲۳٪ نسبت به عدم محلول‌پاشی در شرایط تنفس خشکی افزایش نشان داد. بررسی‌های Baghai *et al.*, (2012) روی زیره سبز نشان داد در شرایط محدودیت آبیاری، می‌توان با کاربرد شش کیلوگرم نانو کود آهن در هکتار، کاهش عملکرد ناشی از افزایش دور آبیاری را جبران نمود.

همچنین نتایج پژوهش حاضر نشان داد کاربرد دو گرم در لیتر نانو کلات آهن توانست به اندازه کاربرد چهار گرم در لیتر کلات آهن به فرم معمول، عملکرد دانه زیره سبز را افزایش دهد و از نظر معنی‌داری در یک گروه آماری قرار گرفتند. بهمود عملکرد توسط نانو کلات نسبت به کلات معمولی می‌تواند ناشی از کارایی کلات با ساختار نانو در رسانش و فراهمی بهینه عنصر آهن در فرآیندهای فیزیولوژیکی باشد (Baghai and Maleki Farahani, 2014). Mohammad (Khani and Roozbahani 2015) نیز اظهار داشتند کاربرد نانو کود آهن باعث افزایش معنی‌دار عملکرد دانه ذرت گردید. از آنجا که آهن یکی از عناصر کم مصرف بسیار مهم برای گیاهان به حساب می‌آید و کمبود آن منجر به بروز زردی برگ، تغییر غلظت و محتوى آهن و

نتایج نشان داد محلول‌پاشی آهن در دور آبیاری ۱۵ روز نسبت به محلول‌پاشی در دور آبیاری ۱۰ روز به طور مؤثرتری عملکرد دانه گیاه را افزایش داد به‌طوری که در دور آبیاری ۱۵ روز، کلیه سطوح محلول‌پاشی کلات آهن، اختلاف معنی‌داری را با عدم محلول‌پاشی (شاهد) نشان دادند. محلول‌پاشی با چهار گرم نانو کلات آهن در شرایط دور آبیاری پنج، ۱۰ و ۱۵ روز باعث افزایش عملکرد دانه گیاه به ترتیب به میزان ۶/۲، ۹/۲ و ۱۴/۳ درصد نسبت به شاهد گردید. با توجه به نقش ساختاری عناصر ریزمندی از جمله آهن، منگنز و روی در برخی آنزیمه‌ها و همچنین نقش مؤثر آنها در سنتز پروتئین‌ها، با مصرف این عناصر علاوه بر افزایش عملکرد افزایش مقاومت گیاهان تحت تنفس‌های محیطی مورد انتظار است (Cakmak, 2000). نتایج پژوهش حاضر نشان داد کمترین عملکرد دانه گیاه (۷/۰۱) کیلوگرم در هکتار) مربوط به عدم محلول‌پاشی و در شرایط دور آبیاری ۱۵ روز بود (شکل ۳). به گزارش Farrokhinia *et al.* (2011) تنفس خشکی در گیاه با کاهش آب برگ و در نتیجه بسته شدن روزنه‌ها و افت فتوسنتز از یک سو و متأثر کردن فعالیت‌های آنزیمی و فرآیندهای مربوطه از سوی دیگر، موجب افت عملکرد دانه آشود. کاهش سرعت سوخت و ساز کربن، کاهش میزان هدایت روزنه‌ای و کاهش جذب آب در اثر کاهش رشد ریشه از عوامل دخیل

مقایسه با فرمول معمول، به طور مؤثرتری عملکرد دانه زیره سبز را افزایش داد. علت احتمالی این نتیجه را می‌توان به اندازه کوچکتر نانو کلات در مقایسه با کلات معمولی و همچنین حلالیت و حرکت‌پذیری بیشتر آنها نسبت داد که این امر جذب آهن توسط گیاه را تسهیل می‌کند که در چنین شرایطی افزایش رشد و عملکرد گیاه به دور از انتظار نیست.

سایر عناصر فلزی در بافت‌های گیاهی می‌شود لذا این صفات ارتباط نزدیکی با عملکرد گیاهان زراعی دارند و چنین می‌توان نتیجه گرفت که افزایش جذب آهن در تیمار نانو کلات منجر به افزایش صفات مربوط به عملکرد در این تیمار شده است (Baghai and Maleki, 2014). در مجموع نتایج پژوهش حاضر نشان داد محلول‌پاشی کلات آهن به فرم نانو در شرایط تنش و عدم تنش در



شکل ۳- برهمکنش دور آبیاری و محلول‌پاشی کلات آهن بر عملکرد دانه زیره سبز

Figure 3- Interaction effects of irrigation period and foliar application of chelate iron on grain yield of cumin

Fe0: شاهد (محلول‌پاشی با آب)، Fe1: ۲ گرم در لیتر کلات آهن، Fe2: ۴ گرم در لیتر نانو کلات آهن، Fe3: ۴ گرم در لیتر نانو کلات آهن و Fe4: ۴ گرم در لیتر نانو کلات آهن  
Fe0: control, Fe1: 2 g L<sup>-1</sup> chelate iron, Fe2: 2 g L<sup>-1</sup> nano chelate iron, Fe3: 4 g L<sup>-1</sup> chelate iron and Fe4: 4 g L<sup>-1</sup> nano chelate iron  
میانگین‌های دارای حداقل یک حرف مشترک بر اساس آزمون LSD در صد دارای تفاوت معنی‌داری نمی‌باشند.

Means with similar letters are not significantly different at the 5 % probability level (LSD test).

در لیتر نانو کلات آهن توانست به اندازه چهار گرم در لیتر کلات آهن به فرم معمول صفات مورد بررسی را افزایش دهد. در مجموع نتایج این پژوهش نشان داد استفاده از کودهای آهن ساخته شده با تکنولوژی نانو در مقایسه با کودهای کلات رایج در بخش کشاورزی با مقادیر کمتر می‌تواند افزایش عملکرد و اجزای عملکرد گیاه را در شرایط تنش و عدم تنش به همراه داشته باشد. همچنین استفاده از کودهای ساخته شده با فناوری نانو، ضمن افزایش کارایی فتوسنتزی و عملکرد گیاه، می‌تواند آلودگی‌های زیستمحیطی ناشی از مصرف کودهای شیمیایی را کاهش دهد و گامی مؤثر در جهت کشاورزی پایدار تلقی گردد.

## نتیجه‌گیری

به طور کلی نتایج نشان داد با افزایش فاصله آبیاری، عملکرد و اجزای عملکرد زیره سبز به طور معنی‌داری کاهش یافت که بالاترین کاهش در صفات موردنظر مطالعه مربوط به آبیاری پس از ۱۵ روز بود. این در حالی بود که محلول‌پاشی کلات آهن به فرم‌های نانو و معمول با تعديل اثرات سوء ناشی از تنش، توانست رشد و عملکرد گیاه را به همراه داشته باشد. محلول‌پاشی نانو کلات آهن در مقایسه با کلات آهن به فرم معمول تأثیر بیشتری در افزایش صفات موردنظری به همراه داشت به طوری که بهترین نتایج با محلول‌پاشی چهار گرم در لیتر نانو کلات آهن به دست آمد. در بیشتر موارد، محلول‌پاشی دو گرم

## References

1. Abd El-Kader, A. A., Shaaban, S. M., and Abd El-Fattah, M. S. 2010. Effect of irrigation levels and organic compost on okra plants (*Abelmoschus esculentus* L.) grown in sandy calcareous soil. Agriculture Biology Journal

- North America 1: 225-231.
2. Ahmadi, J., Seyfi, M. M., and Amini, M. 2013. Effect of spraying micronutrients Fe, Zn and Ca on grain and oil yield of sesame (*Sesamus indicum* L.) varieties. Electronic Journal of Crop Production 5 (3): 115-130. (in Persian with English abstract).
  3. Ahmadian, A. 2004. Effect of irrigation frequency and manure on yield and quality of cumin. MSc Thesis, College of Agriculture, University of Zabol. (in Persian).
  4. Aminpoor, R., and Musavi, S. F. 1995. The effect of irrigation times on developmental stages, yield and its components of cumin. Agriculture Science Natural Resource Journal 1: 1-7. (in Persian).
  5. Babaeian, M., Heidari, M., and Ghanbari, A. 2008. Effects of foliar micronutrient application on osmotic adjustments, grain yield and yield components in sunflower (*Alster cultivar*) under water stress at three stages. Journal of Science and Technology of Agriculture and Natural Resources 40 (12): 119-129. (in Persian).
  6. Baghaei, N., Keshavarz, N., Shukrvahed, H., and Nazaran, M. H. 2012. Effect of nano-iron chelate on yield and yield components of rice. 12th Iranian Crop Sciences Congress, September 4-6. Islamic Azad University, Karaj, Iran. Pp: 1-5. (in Persian with English abstract).
  7. Baghai, N., Keshavarz, N., AminiDehaghai, M., and Nazaran, M. H. 2012. Effect of Nano iron chelate fertilizer on yield and yield components of Cumin (*Cuminum cyminum*) under different irrigation intervals. National congress on Medicinal plants. Kish Island. Iran. (in Persian).
  8. Baghai, N., and Maleki Farahani, S. 2014. Comparison of Nano and micro Chelated iron fertilizers on quantitative yield and assimilates allocation of saffron (*Crocus sativus* L.). Journal of Saffron Research 1 (2): 156-169. (in Persian with English abstract).
  9. Basole, V. D., Deotale, R. D., Ilmulwar, S. R., Raut, S. S., and Kadwe, S. B. 2003. Effect of hormone and nutrients on morpho-physiological characters and yield of soybean. Journal Soils and Crops 13: 135-139.
  10. Bybordy, A., and Mamedov, G. 2010. Evaluation of application methods efficiency of zinc and iron for canola (*Brassica napus* L.). Notulae Scientia Biologicae 2 (1): 94-103.
  11. Cakmak, I. 2000. Possible roles of zinc in protecting plant cells from damage by reactive oxygen species. New Phytologist 146: 185-205.
  12. Davar Zareii, F., Roozbahani, A., and Hosnamidi, A. 2014. Evaluation the effect of water stress and foliar application of Fe nanoparticles on yield, yield components and oil percentage of safflower (*Carthamus tinctorious* L.). International journal of Advanced Biological and Biomedical Research 2 (4): 1150-1159.
  13. Dumée, L. F., Lemoine, J. B., Ancel, A., Hameed, N., He, L., and Kong, L. 2015. Control of partial coalescence of self-assembled metal nano-particles across lyotropic liquid crystals templates towards long range meso-porous metal frameworks design. Nanomaterials 5: 1766-1781.
  14. Ebrahimi, M., and Hassanpour, A. 2002. Compare among early and late varieties of corn using iron and zinc spraying and different planting dates in Fars. Seven<sup>th</sup> Congress of Agriculture. (in Persian).
  15. Eskandari, H., Zehtab Salmasi, S., and Ghasemi-Golozani, K. 2010. Evaluation of water use efficiency and grain yield of sesame cultivars as a second crop under different irrigation regimes. Journal of Sustainable Agriculture Science 2/20 (1): 39-51. (in Persian).
  16. Farrokhinia, M., Roshdi, M., PasebanEslam, B., and Sasandoust, R. 2011. Evaluation of some physiological characteristics on yield of spring safflower under water stress. Iranian Journal of Crop Sciences 42 (3): 545-553. (in Persian).
  17. Fayyaz, M., Zare, S., and Ashori, P. 2011. Identification and distribution of pharmaceutical and industrial crops of Chaharmahal-va-Bakhtiari province, Institute of Forests and Rangelands Research. (in Persian).
  18. Ghasemian, V., Ghalavand, A., Soroosh zadeh, A., and Pirzad, A. 2010. The effect of iron, zinc and manganese on quality and quantity of soybean seed. Journal Phytology 2 (11): 73-79.
  19. Gonzalez, A. M. 2005. Physiological responses of tagasaste to a progressive drought in its native environment on the Canary Islands. Environmental and Experimental Botany 53: 195-204.
  20. Hamzei, J., Najjari, S., Sadeghi, F., and Seyedi, M. 2014. Effect of foliar application of nano-iron chelate and inoculation with mesorhizobium bacteria on root nodulation, growth and yield of chickpea under rainfed conditions. Iranian Journal of Pulses Research 5 (2): 9-18. (in Persian).
  21. Hedayatpour, R., Movahhedi Dehnabi, M., Khademhamzeh, H., and Morshedi, M. 2014. Effect of foliar application of zinc and iron on yield quantity and quality of canola (*Brassica napus* cv. Talaye) in Zarghan region, Fars. Journal of oil Plants Production 1 (1): 33-42. (in Persian).
  22. Hong, F., Zhou, J., and Liu, C. 2005. Effect of nano-TiO<sub>2</sub> on photochemical reaction of chloroplasts of spinach. Biological Trace Element Research 105: 269-79.
  23. Jaberzadeh, A., Moaveni, P., Tohidi Moghadam, H. R., and Moradi, A. 2010. Effect of TiO<sub>2</sub> nanoparticles spraying on agronomic characteristics of wheat under condition drought stress. Journal of Crop Eco physiology 2 (4): 295-301. (in Persian).

24. Joseph, T., and Morrisson, M. 2006. Nanoforum: Nanotechnology in agriculture and food. European Nanotechnology Gateway.
25. Kafi, M. 2002. Cumin (*Cuminum cyminum*) production and Processing. Ferdowsi University of Mashhad press. pp: 195.
26. Kafi, M., RashedMohassel, M., Kouchaki, A. R., Mollafilabi, A. 2002. Cumin: Production and Processing Technology. Ferdowsi University of Mashhad Press. pp 78-73. (in Persian).
27. Kafi, M., and Keshmiri, A. 2011. Study of yield in landraces and cultivars of Hindi cumin (*Cuminum cyminum*) in dry and saline conditions. Journal of Horticultural Science 25 (3): 327-334. (in Persian).
28. Kazemi, E., Baradaran, R., Seghat eslami, M. J., and Ghasemi, A. 2014. Effect of Zn and Fe foliar application on grain sorghum under drought stress. Agronomy Journal (Pajouhesh & Sazandegi) 102: 190-196. (in Persian).
29. Krystofova, O., Sochor, J., Zitka, O., Babula, P., Kudrle, V., Adam, V., and Kizek, R. 2013. Effect of Magnetic Nanoparticles on Tobacco BY-2 Cell Suspension Culture. International Journal of Environmental Research and Public Health 10: 47-71.
30. Laalinia, A. A., Majnoon Hosseini. N., and Galostian, M. 2012. Effect of water stress on yield and yield components of mung bean at different grows (*Vigna radiate* L.). Agronomy Journal (Pajouhesh & Sazandegi) 95: 108-115. (in Persian with English abstract).
31. Liscano, J. F., Wilson, C. E., Norman, R. J., and Slaton, N. A. 2000. Zinc availability to rice from seven granular fertilizers. AAES Research Bulletin 963: 1-31.
32. Liu, X. M., Zhang, F. D., Zhang, S. Q., He, X. S., Fang, R., Feng, Z., and Wang, Y. 2005. Effects of nano-ferric oxide on the growth and nutrients absorption of peanut. Plant Nutr Fert Science 11: 14-18.
33. Mazaherinia, S., Astaraei, A. R., Fotovat, A., and Monshi, A., 2010. Nano iron oxide particles efficiency on Fe , Mn , Zn and Cu concentrations in wheat plant. World Appl Science Journal 7 (1): 36-40.
34. Mohammad Khani, E., and Roozbahani, A. 2015. Application of vermicompost and nano iron fertilizer on yield improvement of grain corn (*Zea mays* L.). Journal of Plant Eco-physiology 23: 123-131. (in Persian).
35. Monjezi, F., Vazin, F., and Hassanzadehdelouei, M. 2013. Effects of iron and zinc spray on yield and yield components of wheat (*Triticum aestivum*) in drought stress. Cercetări Agronomice in Moldova, XLVI (1): 23-32.
36. Pandey, A. C., Sanjay, S. S., and Yadav, R. S. 2010. Application of ZnO nanoparticles in influencing the growth rate of *Cicer arietinum* L. Journal of Experimental Nanoscience 5 (6): 488-497.
37. Patra, D. D., Anwar, M., Singh, S., Prasad, A., and Singh, D. V. 1999. Aromatic and medicinal plants for salt and moisture stress condition. Recent advances in management of arid ecosystem. Proceeding of Symposium Held in India, March, pp. 347-350.
38. Peyvandi, M., Parande, H., and Mirza, M. 2011. Comparison of nano Fe chelate with Fe chelate effect on growth parameters and antioxidant enzymes activity of *Ocimum Basilicum*. New Cell Mol Biotechnology 4: 89-99. (in Persian).
39. Pourgholam, M., Nemati, N., and Oveysi, M. 2013. Effect of zinc and iron under the influence of drought on yield and yield components of rapeseed (*Brassica napus* L.). Annals of Biological Research 4 (4): 186-189.
40. Ramroudi, M., KeikhZaleh, M., Galavi, M., SeghaEslami, M., Baradaran, R. 2011. Effect of foliar application of micro-nutrients and irrigation regimes on yield and quality psyllium. Journal of Agricultural Ecology 3: 219-226. (in Persian).
41. Rezvani Moghaddam, P., Norozpoor, Gh., Nabati, J., and Mohammad Abadi, A. A. 2005. Effects of different irrigation intervals and plant density on morphological characteristics, grain and oil yields of sesame (*Sesamum indicum*). Iranian Journal of Field Crops Research 3 (1): 57-68. (in Persian).
42. Sepehri, A., and Vaziriamjad, A. 2015. The Effect of Iron and Zinc Nano Fertilizers on Quantitative Yield of Chicory (*Cichorium inyubus* L.) in Different Crop Densities. Sustainable Agriculture and Production Science 61-74. (in Persian with English abstract).
43. Shabanzadeh, S. H., Ramroudi, M., and Galavi, M. 2012. Influence of Micronutrients Foliar Application on Seed Yield and Quality Traits of Black Cumin in Different Irrigation Regimes. Journal of Crop Production and Processing 1 (2): 79-89. (in Persian).
44. Sharma, D. K., and Sanwal, A. 1992. Influence of nutrition on Brassica genotypes in response to water. Plant Physiology and Biochemistry New Delhi 19 (2): 110-115.
45. Sheykhabaglu, R., Sedghi, M., Tajbakhsh shishevan, M., and Sharifi, S. R. 2010. Effects of nano-iron oxide particles on agronomic traits of soybean. Notulae Science Biology 2: 112-113.
46. Silva, D. D., Kane, M. E., and Beeson, R. C. 2012. Changes in root and shoot growth and biomass partition resulting from different irrigation intervals for *Ligustrum japonicum* Thunb. Horticulture Science 47 (11): 1634-1640.
47. Tavakkoli Zeinali, A. 2002. The effect of irrigation cessation at different growth stages on yield and its components

- in safflower seed. M.Sc. Thesis, Tehran University, 120 p. (in Persian).
- 48. Torabian, Sh., and Zahedi, M. 2013. Effects of Foliar Application of Common and Nano-sized of Iron Sulphate on the Growth of Sunflower Cultivars under Salinity. Iranian Journal of Field Crop Science 44 (1): 109-118. (in Persian).
  - 49. Tuncturk, R., and Tuncturk, M. 2006. Effects of different phosphorus levels on the yield and quality components of cumin (*Cuminum cyminum* L.). Research Journal Agriculture Biology Science 2 (6): 336-340.
  - 50. Yang, F., Hong, F., and You, W. 2006. Influences of nanoanatase TiO<sub>2</sub> on the nitrogen metabolism of growing spinach. Biological Trace Element Research 110: 179-90.
  - 51. Zehtab-Salmasi, S., Heidari, F., and Alyari, H. 2008. Effect of microelements and plant density on biomass and essential oil production of peppermint (*Mentha piperita* L.). Plant Science Research 1: 24-28.



## Effect of Foliar Application of Chelate Iron in Common and Nanoparticles Forms on Yield and Yield Components of Cumin (*Cuminum cyminum L.*) under Drought Stress Conditions

A. Nasiri Dehsorkhi<sup>1\*</sup> - A. Ghanbari<sup>2</sup> - V. Varnaseri Ghandali<sup>1</sup>

Received: 09-03-2017

Accepted: 17-10-2017

### Introduction

Cumin is a member of Apiaceae family and annual plant which is widely cultivated in arid and semi-arid zone. Iran is one of the main producers of this plant. Water deficit is the major limiting factor in crops production. Proper nutrition management under stress conditions could partly help the plant to tolerate different stresses. Various studies were carried out to understand the effect of nanoparticles on the growth of plants. For example, Hong *et al.* (2005) and Yang *et al.* (2006) reported that a proper concentration of nano-TiO<sub>2</sub> was found to improve the growth of spinach by promoting photosynthesis and nitrogen metabolism. Iran a country with arid and semi-arid climate, always face water deficiency. Thus the aim of this research was investigate the effect of foliar application of chelate iron in common and nanoparticles forms on yield and yield components of cumin (*Cuminum cyminum L.*) under drought stress conditions.

### Materials and Methods

A field experiment was conducted as a split plot in complete randomized block design with three replications in Esfahan city, during the growing season of 2015-2016. Treatments were included three irrigation intervals (5, 10 and 15 days) as main plots and Fe foliar application in four levels (control, 2 g L<sup>-1</sup> iron chelate, 2 g L<sup>-1</sup> Nano-iron chelate, 4 g L<sup>-1</sup> iron chelate, 4 g L<sup>-1</sup> nano-iron chelate). Foliar application of Fe chelate on leaves was done two times at before and after flowering stage. The plots were 16 m<sup>2</sup> with 4 sowing rows, 4 m long. Seeds were placed at 2 to 4 cm depth in each row. All data collected were subjected of analysis of variance (ANOVA) using MSTATC software. Significant differences between means refer to the probability level of 0.05 by LSD test.

### Results and Discussion

The results indicated that drought stress decreased the investigated traits significantly but the effect of irrigation by 15 days interval was more than 10 days. Plots which irrigated by 15 days interval showed minimum height, number of umbels, number of grain per umbel, 1000-grain weight, biological and grain yield. Abd El-Kader *et al.* (2010) reported that decrease in fruit and seed yield of okra occurred by increasing the irrigation interval. Also the results suggested that spraying application of Fe chelate in common and Nano forms increased the yield and yield components on cumin in comparison to control. The maximum and minimum height by 27 and 21.3 cm was observed in 4 g.L<sup>-1</sup> Nano-iron chelate and control (no spraying) treatments respectively. The mean comparison of interaction effects showed that the minimum 1000-grain weight (1.5 g), grain (610.7 kg ha<sup>-1</sup>) and biological yield (1767 kg ha<sup>-1</sup>) was obtained in control × irrigation by 15 days interval. The maximum effects of iron chelate on increasing of traits was found by foliar application of 4 grams per liter Nano iron chelate. Liu *et al.* (2005) reported that Nano-Fe<sub>2</sub>O<sub>3</sub> promoted the growth and photosynthesis of peanut. Sheykhbaglou *et al.* (2010) showed that application of Nano-iron oxide particles increased soybean yield. Reduction of particle size results in increased number of particles per unit of weight and specific surface area of a fertilizer that should increase contact of fertilizer with plant leading to increase in nutrient uptake. Nano-particles have high reactivity because of more specific surface area, more density of reactive areas, or increased reactivity of these areas on the particle surfaces. Below 100 nm Nano-particles could make plants use fertilizer more efficiently, reduced pollution and more environmentally friendly, dissolve in water more effectively thus increase their activities.

1- PhD Student of Agroecology, Faculty of Agriculture, University of Zabol

2- Professor, Department of Agronomy, Faculty of Agriculture, University of Zabol

(\*- Corresponding Author Email: abasnasiri110@yahoo.com)

### Conclusions

Overall, the results showed that water deficit decreased the yield and yield components of cumin but foliar application of Fe chelate in Nano and common forms increased investigated traits. The results indicated that no significant difference was observed in most of the traits between the foliar application of 2 g.L<sup>-1</sup> Nano iron chelate and 4 g.L<sup>-1</sup> iron chelate. Based on our results can be concluded that foliar application Fe chelate specially Nano-form can reduced stress effects on plant and finally caused increase yield and yield components.

**Keywords:** Biologic yield, Irrigation period, Medicinal plant, Nano-particles





## اثر روش کاشت پسته مرتفع و نیتروژن بر شاخص‌های کارایی نیتروژن و عملکرد گندم

علیرضا کوچکی<sup>۱\*</sup>- سرور خرم دل<sup>۲</sup>- جواد شباهنگ<sup>۳</sup>

تاریخ دریافت: ۱۳۹۶/۰۱/۰۱

تاریخ پذیرش: ۱۳۹۶/۰۵/۳۱

### چکیده

این آزمایش با هدف بررسی اثر کاشت پسته مرتفع و سطوح اوره بر شاخص‌های کارایی نیتروژن، عملکرد کمی و محتوای نیتروژن گندم در مزرعه تحقیقاتی دانشکده کشاورزی دانشگاه فردوسی مشهد بهصورت کرتهای خرد شده در قالب طرح پایه بلوک‌های کامل تصادفی با سه تکرار طی سال زراعی ۱۳۹۴-۹۵ انجام شد. دو روش کاشت (مرسوم و پسته مرتفع) و پنج سطح صفر، ۱۰۰، ۲۰۰، ۳۰۰ و ۴۰۰ کیلوگرم اوره در هکتار بهترتبه عنوان عامل‌های اصلی و فرعی مدنظر قرار گرفتند. صفات مورد مطالعه شامل عملکرد گندم، محتوی نیتروژن دانه و کاه و شاخص‌های کارایی نیتروژن (جذب، تبدیل و مصرف) بودند. نتایج نشان داد که اثر ساده و مقابله روش کاشت و کود اوره بر عملکرد گندم و بیولوژیک، محتوی نیتروژن دانه و کاه، کارایی جذب، تبدیل و مصرف نیتروژن معنی دار ( $p \leq 0.05$ ) بود. بالاترین و پایین‌ترین کارایی جذب نیتروژن بهترتبه برای تیمار پسته مرتفع و بدون مصرف نیتروژن (۰/۴۵ کیلوگرم نیتروژن گیاه بر کیلوگرم نیتروژن خاک) و روش رایج و ۴۰۰ کیلوگرم اوره در هکتار (۱۴/۰ کیلوگرم نیتروژن گیاه بر کیلوگرم نیتروژن خاک) بهدرست آمد. شاخص‌های کارایی جذب و مصرف نیتروژن در روش پسته مرتفع بالاتر از روش رایج بود. بیشترین نیتروژن گیاه بر کیلوگرم نیتروژن خاک) بهترتبه است. تیمارهای پسته مرتفع و شاهد (۳۶/۶۵ کیلوگرم نیتروژن دانه بر کیلوگرم نیتروژن گیاه) و روش رایج و ۴۰۰ کیلوگرم اوره در هکتار (۱۰/۶۳ کیلوگرم نیتروژن دانه بر کیلوگرم نیتروژن گیاه) بود. با افزایش مصرف اوره از صفر به ۴۰۰ کیلوگرم در هکتار، کارایی مصرف نیتروژن ۶۲ درصد کاهش یافت.

**واژه‌های کلیدی:** پسته مرتفع، عملکرد گندم، کارایی تبدیل نیتروژن، محتوی نیتروژن

اندکی کمتر از میانگین جهانی است. نتایج مطالعه رائون و جانسون (Raun and Johnson, 1999) نیز نشان داده است که اتلاف نیتروژن در نظام‌های تولید غلات بین ۵۰-۲۰ درصد می‌باشد.

تغییر نظام‌های تولید به حالت فشرده<sup>۱</sup> و تداوم مصرف نهاده‌های شیمیایی باعث شده که از دهه آخر قرن گذشته نگرانی‌های زیستمحیطی در رابطه با آلودگی‌های ناشی از مصرف این نهاده‌ها افزایش یافته و در دهه اول قرن اخیر به یکی از مهمترین مشکلات نظام‌های رایج تولید مواد غذایی تبدیل شود. مطالعات در برخی از نقاط جهان حاکی از آن است که با ادامه مصرف نهاده‌های شیمیایی واکنش نظام‌های زراعی به آنها در حال کاهش است. به عبارت دیگر، حتی ارقام پر محصول نیز به ازای واحد کودهای شیمیایی مصرفی عملکرد کمتری تولید می‌کنند (Giller et al., 2004) که تحت چنین شرایطی دست‌یابی به عملکرد بالا، مستلزم مصرف مقادیر بیشتری از کودهای شیمیایی خواهد بود. البته آلودگی‌های محیط‌بیست و مسائل مرتبط با تغییر اقلیم از یکسو و تضمین امنیت غذایی از سوی دیگر، بهبود کارایی مصرف نیتروژن در بوم‌نظام‌های زراعی را به چالش

### مقدمه

در طی ۴۰ سال گذشته مصرف کودهای نیتروژن در سطح جهان هفت برابر و به موازات آن تولید غذا از بوم‌نظام‌های کشاورزی دو برابر افزایش یافته است (Eickhout et al., 2006). در ایران نیز در فاصله سال‌های ۱۳۹۰ تا ۱۳۹۰ مصرف کودهای نیتروژنی در بوم‌نظام‌های تولید گندم ۹/۵ برابر و عملکرد این محصول حدود ۳/۴ برابر افزایش یافته است (Nassiri Mahallati and Koocheki, 2014). نتایج بررسی‌ها نشان داده است که مصرف کودهای شیمیایی در مقیاس ملی و منطقه‌ای بیش از هر عملی تابع جمعیت می‌باشد (Zhang and Zhang, 2007) و کشور ما با دارا بودن یک درصد جمعیت جهان، سالانه در حدود ۲ درصد کودهای نیتروژنی جهان را در بخش کشاورزی مصرف می‌کند، در حالی که میانگین عملکرد غلات کشور

۱- استاد، گروه زراعت، دانشکده کشاورزی، دانشگاه فردوسی مشهد

۲- دانشیار، گروه زراعت، دانشکده کشاورزی، دانشگاه فردوسی مشهد

۳- دکتری اگراکولوژی، دانشگاه فردوسی مشهد

(Email: akooch@um.ac.ir) - نویسنده مسئول:

DOI: 10.22067/gsc.v16i1.63385

رائون و جانسون (Raun and Johnson, 1999) دریافتند که ارقامی از گندم که دارای شاخص برداشت بالا هستند، اتلاف نیتروژن کمتری داشته و لذا میزان کارایی مصرف نیتروژن در آنها بالاتر است. کوچکی و همکاران (Koocheki et al., 2015) در آزمایشی گزارش نمودند که ذرت و پنبه در کشت مخلوط نسبت به کشت خالص دارای کارایی نیتروژن بیشتری نسبت به کشت خالص بودند. نتایج مطالعه دیگری نشان داد که کشت مخلوط تأخیری گندم و ذرت موجب افزایش کارایی جذب و مصرف نیتروژن در مقایسه با کشت خالص شد (Koocheki et al., 2012).

روش کاشت یکی از راهکارهای مدیریت زراعی است که می‌تواند کارایی مصرف عناصر غذایی به‌ویژه نیتروژن را به عنوان یکی از مهمترین عناصر پرمصرف متحرک در خاک به‌طور معنی‌داری تحت تأثیر قرار دهد (Majeed et al., 2015; Mollah et al., 2009). در همین راستا مجید و همکاران (Hossain et al., 2004) گزارش نمودند که روش کاشت رایج در گندم به دلیل افزایش ورس، کاهش کارایی مصرف آب و سله‌بندی موجب کاهش عملکرد شد. از طرف دیگر، روش پشته مرتفع<sup>۳</sup>، علاوه بر افزایش ذخیره آب و بهبود کارایی مصرف نیتروژن، موجب افزایش عملکرد شد. به طوری که اجرای روش پشته مرتفع همراه با کاربرد ۱۲۰ کیلوگرم اوره در هکتار موجب افزایش ۱۵/۶ درصدی عملکرد دانه در مقایسه با همین میزان نیتروژن در روش مرسوم شد. نتایج برخی مطالعات (Mollah et al., 2009; Hossain et al., 2004) مؤید بهبود عملکرد گندم تا ۲۱ درصد به دلیل اجرای روش پشته مرتفع بود. مجید و همکاران (Majeed et al., 2015) و هابز و همکاران (Hobbs et al., 2000) دلیل افزایش عملکرد دانه در روش پشته مرتفع را به ابانته شدن خاک حاصلخیز در محل استقرار بوته‌ها و کاهش تلفات عناصر غذایی نسبت دادند. آنها همچنین کاهش ایجاد رواناب، عدم حذف خاک سطحی به دلیل فرسایش، تعدیل میکروکلیمای مزرعه به دلیل کاهش حضور علف‌های هرز، توزیع بهتر آب و کود و به تبع آن کاهش مصرف نهاده‌های شیمیایی، کاهش هجوم علف‌های هرز و ایجاد شرایط مطلوب دمایی و زراعی برای معدنی شدن نیتروژن را از دیگر مزایای اکولوژیکی این روش کاشت معرفی نمودند. واریچ و همکاران (Waraich et al., 2010) نشان دادند که کارایی مصرف آب در روش پشته مرتفع به‌طور معنی‌داری بالاتر از روش رایج بود. آنها دلیل این امر را به رشد بهتر گیاه نسبت دادند که همچنین باعث کاهش آب مورد استفاده شد (Fahong et al., 2010).

آگاهی از تغییرات شاخص‌های کارایی نیتروژن در گندم تحت تأثیر روش‌های مدیریت زراعی، محققان و کشاورزان را قادر خواهد

مهمی تبدیل کرده است (Lemaire et al., 2008; Fageria and Baligar, 2005).

نتایج آزمایشات مربوط به عملکرد ماده خشک ارقام گندم کشور در واکنش به کود نیتروژن بسیار متعدد بوده و دامنه تغییرات آن زیاد است (Shahsavari and Saffari, 2005; Bahrani and Tahmasebi, 2006; Naroki et al., 2009; Miran Zadeh and Koocheki et al., 2017). کوچکی و همکاران (Emam, 2010) با فراتحلیل نتایج تحقیقات مرتبط با تأثیر نیتروژن بر غلات نشان دادند که بالاترین عملکرد بیولوژیک گندم با مصرف ۱۰۰-۱۲۰ کیلوگرم نیتروژن در هکتار حاصل می‌شود.

تعاریف متعددی برای کارایی مصرف نیتروژن (NUE)<sup>۱</sup> بیان شده است. بر اساس یکی از معتبرترین تعاریف، NUE عبارت است از مقدار تولید دانه به‌ازای واحد نیتروژن قابل دسترس خاک (Moles et al., 1984). بر این اساس، کارایی مصرف نیتروژن، تابعی از دو شاخص فیزیولوژیکی کارایی جذب و تبدیل بوده که نشان‌دهنده تولید دانه به‌ازای نیتروژن موجود در اندام‌های هوایی گیاه است. کارایی مصرف نیتروژن نشان‌دهنده نیتروژن قابل مصرف از کل میزان آن در Huggins and Pan, 1993; Hauggaard-Nielsen (Tittonell et al., 2001) خاک می‌باشد.<sup>۲</sup> تیتونل و همکاران (Karayi Tidwell et al., 2007) را مقدار ماده خشک تولید شده به‌ازای واحد عنصر جذب شده تعریف کردند. رانکه و همکاران (Rathke et al., 2006) نیز بهره‌وری نیتروژن را نسبت عملکرد دانه بر مقدار کل نیتروژن جذب شده گزارش کردند.

از طرف دیگر، کاهش سرعت رشد محصول در شرایط کمبود نیتروژن تحت تأثیر کاهش سطح برگ و در نتیجه جذب کمتر تشعشع و نیز از طریق کاهش فتوسنتز به دلیل نقش نیتروژن در ساختمان شیمیایی آنزیم‌های فتوسنتزی است (Gastal and Lemaire, 2002). کاهش کارایی مصرف نور به عنوان مهمترین واکنش گیاهان Olesen et al., 2002; Muurinen and Peltonen-Sainio, 2006 به کمبود نیتروژن مورد توافق برخی از محققین است.

بدین ترتیب، با در نظر گرفتن آنودگی‌های زیست‌محیطی ناشی از ورود نیتروژن اضافی به آبهای زیرزمینی و سایر منابع طبیعی و در نتیجه بر هم خوردن تعادل، بهبود کارایی مصرف نیتروژن در بومنظم‌های زراعی امری بسیار ضروری است. از جمله عوامل مدبیریتی مؤثر در افزایش کارایی مصرف این عنصر پرمصرف در نظامهای زراعی می‌توان به مواردی نظیر بهره‌گیری از روش کاشت نسبت، نوع گونه گیاهی و رقم، کشت مخلوط، تناوب زراعی و زمان، نوع و میزان مصرف کودهای نیتروژنه اشاره کرد (Bock, 1984; Gliessman, 1997; Huggins and Pan, 1993).

1- Nitrogen use efficiency (NUE)

2- Nutrient conversion efficiency (NCE)

بلوک‌های کامل تصادفی با سه تکرار طی سال زراعی ۱۳۹۴-۹۵ انجام شد. دو روش کاشت (مرسوم و پشتہ مرتفع) و پنج سطح نیتروژن (صفر، ۱۰۰، ۲۰۰، ۳۰۰ و ۴۰۰ کیلوگرم اوره در هکتار) به ترتیب به عنوان عامل‌های اصلی و فرعی مدنظر قرار گرفتند. قبل از کاشت نمونه‌ای از عمق ۰-۳۰ سانتی‌متر خاک مزرعه به صورت تصادفی انتخاب و جهت تعیین بافت، میزان کربن آلی، نیتروژن، فسفر و نیتروژن، pH و EC به آزمایشگاه منتقل گردید. نتایج خصوصیات فیزیکوشیمیایی خاک در جدول ۱ نشان داده شده است.

ساخت تا با ارائه الگوهای نوین ضمن کاهش خطرات و پی‌آمدهای زیست محیطی مصرف بی‌رویه این نهاده، عملکرد را در سطح مطلوب حفظ کنند. بنابراین، هدف این تحقیق، بررسی اثر روش کاشت پشتہ مرتفع و نیتروژن بر شاخص‌های کارایی نیتروژن و عملکرد این گیاه مهم و استراتژیک در شرایط آب و هوایی مشهد بود.

### مواد و روش‌ها

این تحقیق در مزرعه تحقیقاتی دانشکده کشاورزی دانشگاه فردوسی مشهد به صورت کرت‌های خرد شده در قالب پایه طرح

جدول ۱- خصوصیات فیزیکی و شیمیایی خاک  
Table 1- Physical and chemical properties of soil

بافت Texture	نیتروژن N (%)	فسفر P ( $\text{mg kg}^{-1}$ )	پتاسیم K ( $\text{mg kg}^{-1}$ )	اسیدیته pH	کربن آلی Organic carbon (%)	هدایت الکتریکی EC ( $\text{dS m}^{-1}$ )
لومی-سیلتی Loamy-silt	0.051	39	241	8.12	0.88	1.68

۹۰ سانتی‌متر در نظر گرفته شد (شکل ۱). در هر کرت پنج پشتہ ایجاد گردید. بین کرت‌ها و بلوک‌ها به ترتیب ۰/۵ و یک متر به عنوان فاصله در نظر گرفته شد. بر این اساس، ابعاد کرت‌ها در روش کاشت پشتہ مرتفع و مرسوم به ترتیب  $3 \times 4$  و  $3 \times 6$  متر مربع بود.

پس از اجرای عملیات آماده‌سازی زمین، کاشت دستی بذر (رقم گاسکوژن) به دو شیوه مرسوم (طبق عرف) و روی پشتہ مرتفع با تراکم ثابت ۴۰۰ بوته در متر مربع (Koocheki *et al.*, 2010) در آبان ماه انجام شد. در روش مرسوم سه ردیف بذر روی پشتہ‌های ۵۰ سانتی‌متر کاشته شد. در حالی که در روش پشتہ مرتفع عرض پشته

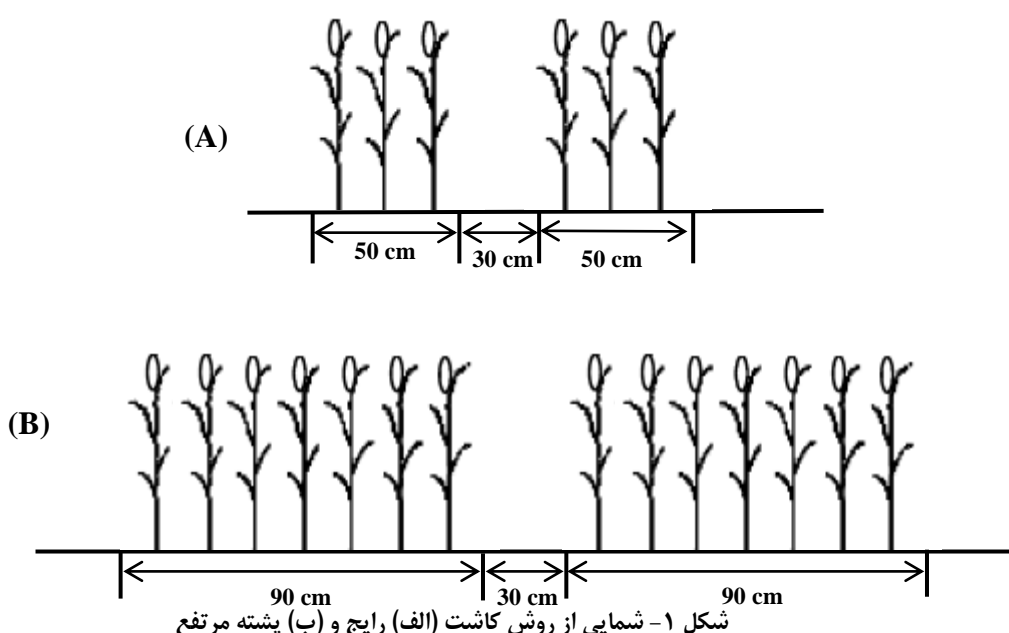


Figure 1- Conceptual representation of the (A) conventional and (B) raised bed planting methods

شد؛ به طوری که نیمی از آن در زمان کاشت و نیم دیگر ۵۰ روز پس

نیتروژن مصرفی (به فرم کود اوره) طی دو مرحله به خاک اضافه

### عملکرد دانه و بیولوژیک

اثر ساده و متقابل روش کاشت و میزان مصرف کود نیتروژن بر عملکرد دانه و بیولوژیک گندم معنی دار ( $p \leq 0.05$ ) بود (جدول ۲). به طوری که بالاترین و پایین‌ترین عملکرد دانه به ترتیب برای تیمار روش پسته مرتفع و ۳۰۰ کیلوگرم اوره در هکتار و روش رایج و بدون مصرف نیتروژن به ترتیب با ۷۵۴۵ و ۳۸۶۵ کیلوگرم در هکتار حاصل شد. با افزایش میزان مصرف اوره از صفر به ۱۰۰، ۲۰۰، ۳۰۰ و ۴۰۰ کیلوگرم اوره در هکتار، عملکرد دانه در روش پسته مرتفع به ترتیب ۱۰، ۱۶، ۲۰ و ۸ درصد نسبت به روش کاشت رایج بالاتر بود. بیشترین عملکرد بیولوژیک برای روش پسته مرتفع و بالاترین مقدار اوره (با ۱۴۲۷۵ کیلوگرم در هکتار) حاصل شد و کمترین میزان برای روش کاشت رایج و شاهد (بدون مصرف نیتروژن) (۷۴۸۸) کیلوگرم در هکتار به دست آمد. افزایش مصرف اوره از صفر به ۱۰۰، ۲۰۰، ۳۰۰ و ۴۰۰ کیلوگرم در هکتار افزایش به ترتیب ۱۳، ۲، ۵ و ۱۲ درصدی عملکرد بیولوژیک را در روش کاشت پسته مرتفع در مقایسه با روش رایج به دنبال داشت (شکل ۲-الف و ب).

واکنش عملکرد دانه گندم به میزان مصرف کود نیتروژن به صورت تابع درجه دو می‌باشد، به طوری که با افزایش مصرف اوره تا حدود ۲۰۰ کیلوگرم در هکتار عملکرد دانه به صورت خطی افزایش یافت و سپس تقریباً ثابت گردید و در نهایت، در سطوح مصرف اوره بالاتر از ۳۰۰ کیلوگرم در هکتار کاهش یافت. با افزایش مصرف اوره، عملکرد دانه احتمالاً به دلیل تحریک رشد رویشی و اختلال در نسبت رشد اندام‌های رویشی به زایشی کاهش یافته است. شیب افزایش عملکرد دانه تحت تأثیر افزایش مصرف اوره، در روش کاشت پسته مرتفع بیشتر از روش رایج بود (شکل ۳-الف و ب) که دلیل این امر مربوط به وجود شرایط بهتر برای رشد بوته‌ها از جمله کاهش رشد علف‌های هرز (Majeed *et al.*, 2015) در روش پسته مرتفع در مقایسه با روش رایج می‌باشد.

مصرف نیتروژن از طریق تحریک تولید اندام‌های رویشی، پهلوی دوام سطح برگ، سنتز پروتئین‌ها و همچنین اثر روی فعالیت آنزیم رابیسکو، فتوسنتز را تحت تأثیر قرار داده و به دلیل پهلوی دوام سطح برگ نسبت به تحریک رشد بوته‌ها از جمله کاهش رشد علف‌های هرز (West, 2006) نیز مؤید وجود همبستگی بسیار بالا بین سرعت فتوسنتز و غلظت نیتروژن در واحد سطح برگ است. نونز و کمپرات (Nunez and Kamprath, 1969) دلیل اصلی اثر مصرف نیتروژن بر افزایش عملکرد را به تحریک رشد اندام‌های رویشی و بهویژه سطح برگ نسبت دادند. این محققین رابطه خطی را بین عملکرد دانه و شاخص سطح برگ گزارش نمودند. کوچکی و همکاران (Koocheki *et al.*, 2015) نیز با بررسی اثر سطوح مختلف نیتروژن بر رشد و عملکرد دو گونه زراعی پنبه و ذرت اظهار داشتند

از کاشت همزمان با آبیاری مصرف شد. آبیاری از زمان کاشت تا رسیدگی به روش جوی و پسته و به صورت یکسان برای هر دو روش کاشت انجام شد. جهت جلوگیری از اختلاط اثر تیمارها انتهای کرت‌ها به طور کامل بسته و آبیاری کرت‌ها به طور کاملاً جداگانه انجام گردید. کنترل علف‌های هرز بر اساس وجین دستی در طول فصل رشد و بنا به ضرورت انجام گرفت.

برداشت در مرحله رسیدگی کامل و پس از زرد شدن بوته‌های گندم پس از حذف اثرات حاشیه‌ای انجام گردید. پس از آن، نمونه‌ای از عمق ۰ تا ۳۰ سانتی‌متری خاک برداشت و میزان نیتروژن به روش (AOAC Official Method 968.06 (4.2.04)

کجلدال اندازه‌گیری شد (Horwitz and Latimer, 2005) کارایی جذب نیتروژن (NUpE)<sup>۱</sup> بر اساس نسبت عملکرد نیتروژن در گیاه (کیلوگرم نیتروژن جذب شده در هکتار) بر کل مقدار نیتروژن در خاک (کیلوگرم در هکتار) محاسبه شد (معادله ۱) (Hatermink *et al.*, 2000)

$$\text{NUpE} = \frac{\text{Y}_s}{\text{N}_{\text{initial}} + \text{N}_{\text{fertilizer}}} \quad (1)$$

کارایی تبدیل نیتروژن<sup>۲</sup> (NUeE) بر اساس نسبت بین عملکرد نیتروژن در دانه (کیلوگرم نیتروژن دانه در هکتار) بر عملکرد نیتروژن در خاک (کیلوگرم نیتروژن خاک در هکتار) محاسبه شد (Cassman *et al.*, 2003)

جهت محاسبه کارایی مصرف نیتروژن (NUE) از معادله ارائه شده توسط هاترمنک و همکاران (Hatermink *et al.*, 2000) استفاده شد (معادله ۲).

$$\text{NUE} = \frac{\text{Y}_s}{\text{N}_{\text{initial}} + \text{N}_{\text{fertilizer}}} \quad (2)$$

در این معادله،  $\text{Y}_s$ : عملکرد دانه ( $\text{kg.ha}^{-1}$ )،  $\text{N}_{\text{initial}}$ : نیتروژن موجود در خاک در ابتدای فصل رشد (کیلوگرم نیتروژن در هکتار) و  $\text{N}_{\text{fertilizer}}$ : نیتروژن مصرفی از طریق کود اوره (کیلوگرم نیتروژن در هکتار) می‌باشد.

تجزیه و تحلیل داده‌ها و رسم شکل‌ها به ترتیب توسط SAS 9.1 و Excel انجام شد. مقایسه میانگین‌ها با استفاده از آزمون حداقل اختلاف معنی دار<sup>۳</sup> (LSD) در سطح احتمال پنج درصد انجام شد.

### نتایج و بحث

نتایج تجزیه واریانس و مقایسه میانگین اثر روش کاشت و مقدار اوره بر عملکرد، محتوی نیتروژن دانه و کاه و شاخص‌های کارایی نیتروژن به ترتیب در جدول‌های ۲ و ۳ نشان داده شده است.

1- Nitrogen uptake efficiency

2- Nitrogen utilization efficiency

3- Least significant difference

مثبت نیتروژن بر گسترش سطح برگ و تداوم بهتر آنها نسبت به عدم مصرف کود نسبت دادند.

که با افزایش مصرف اوره از صفر تا ۳۰۰ کیلوگرم در هکتار، عملکرد زیست‌توده هر دو گیاه افزایش یافت. آنها دلیل این امر را به تأثیر

جدول ۲- تجزیه واریانس اثر روش کاشت و سطوح کود اوره بر عملکرد، محتوی نیتروژن و شاخص‌های کارایی نیتروژن در گندم  
Table 2- Analysis of variance for the effects of planting methods and Urea fertilizer rates on yield, nitrogen contents and nitrogen efficiency indices of wheat

منابع تغییرات	درجه آزادی df	عملکرد دانه Grain yield	میانگین مرتعات				کارایی نیتروژن use efficiency
			کارایی تبدیل N utilization efficiency	کارایی جذب N uptake efficiency	نیتروژن خاله Nitrogen content of straw	نیتروژن گیاه Nitrogen content of grain	
Mean of squares							
نکار	2	246820.61*	336412.04*	0.003ns	0.002	0.03ns	3.04ns
Replication (P) روش کاشت	1	2301726.23**	6060937.74**	0.04**	0.02**	0.11**	85.86**
Planting method (P)							494.61*
خطای اصلی Main error (N)	2	11386.96	13940.59	0.007	0.009	0.005	36.38
سطوح کود اوره Urea fertilizer level (N)	4	8880481.24**	27179797.95**	0.07**	0.058**	0.07**	152.86**
N×P	4	527891.34*	341417.89**	0.06**	0.041**	0.11**	150.01 **
خطای فرعی Sub error	16	69813.46	39811.93	0.007	0.003	0.004	27.323
ضریب تغییرات (%) CV (%)	4.5	1.8	4.7	8.6	22.4	6.8	21.0

میانگین در مساحت احتمال پنج و نیم درصد

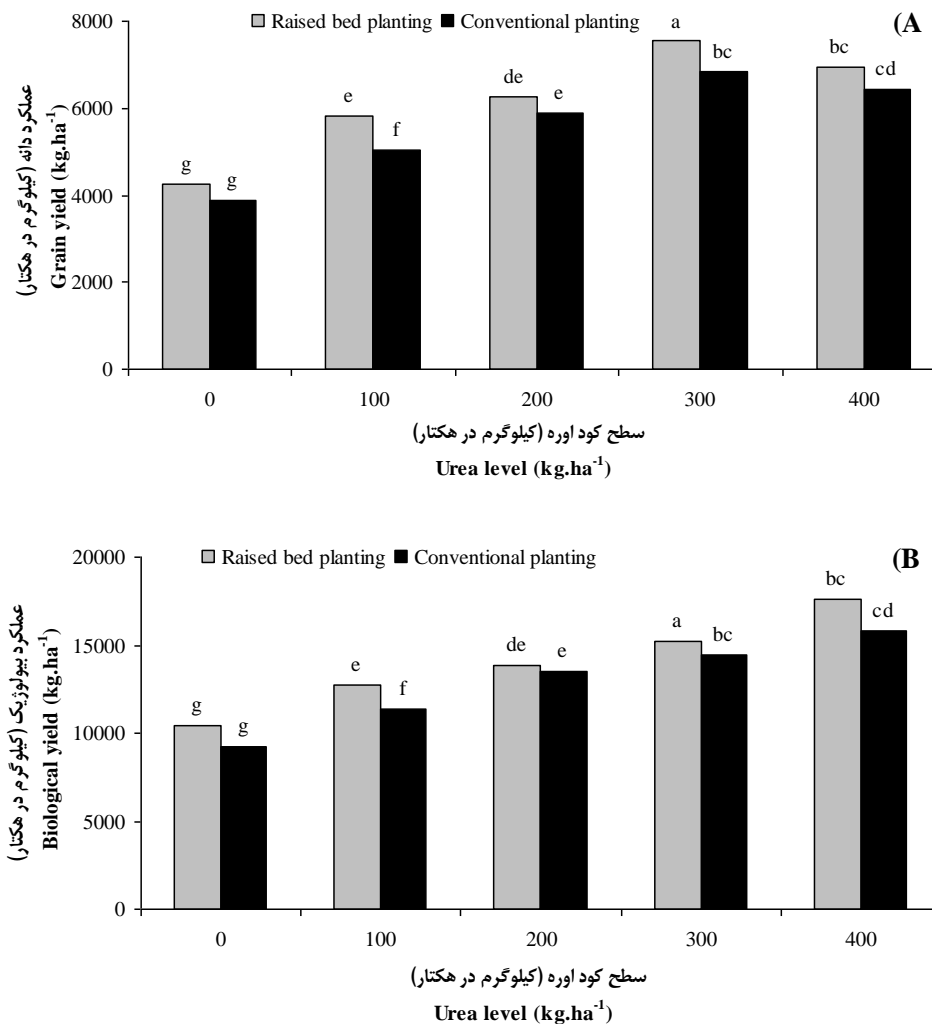
\* and \*\* are significant at 5 and 1% probability levels, respectively.

جدول ۳- میانگین اثرباره‌های کاشت و سطوح کود از بروجیو نیتروژن و شاخصهای کارایی نیتروژن در گندم  
Table 3- Mean comparison for interaction effect of planting methods and urea fertilizer rates on nitrogen contents and nitrogen efficiency indices of wheat

Planting method	روش کاشت	سطح از بروجیو نیتروژن داده	نیتروژن کاه		کارایی جذب نیتروژن	کارایی تبدیل نیتروژن	
			Urea rate (kg ha <sup>-1</sup> )	Nitrogen content of grain (%)	Nitrogen content of straw (%)		
پشتۀ مرتفعه Raised bed planting	0	1.65e*	1.65e*	0.50e	0.45a	80.66ab	
	100	1.75de	1.75de	0.57de	0.43a	78.44abc	
	200	1.79bcd	1.79bcd	0.61bcd	0.28bc	77.58abc	
	300	1.99a	1.99a	0.70ab	0.36ab	71.50c	
	400	1.90abc	1.90abc	0.68abc	0.21cd	73.62abc	
اعادی Conventional	0	1.72de	1.72de	0.40f	0.44a	71.60c	
	100	1.72de	1.72de	0.58ede	0.19cd	79.02abc	
	200	1.72de	1.72de	0.62abed	0.17cd	82.40a	
	300	1.92ab	1.92ab	0.67abc	0.26bc	73.02bc	
	400	1.80bcd	1.80bcd	0.71a	0.14d	78.56abc	

در هر میتوون میانگین‌های دارای حرف مشترک اختلاف معنی‌داری بر اساس آزمون LSD در سطح احتمال پنج درصد تارند.

\* Means with at least one similar letter are not significant different ( $p \leq 0.05$ ) based on LSD test



شکل ۲- مقایسه میانگین اثر مقابل روش کاشت و سطوح کود اوره بر عملکرد گندم

**Figure 2- Mean comparison for the interaction effects of planting method and Urea fertilizer levels on wheat yield**

میانگین‌های دارای حروف مشترک در هر شکل، براساس آزمون LSD در سطح احتمال پنج درصد تفاوت معنی‌دار ندانند.

Means in each figure followed by similar letter(s) are not significantly different at 5% probability level, using LSD test.

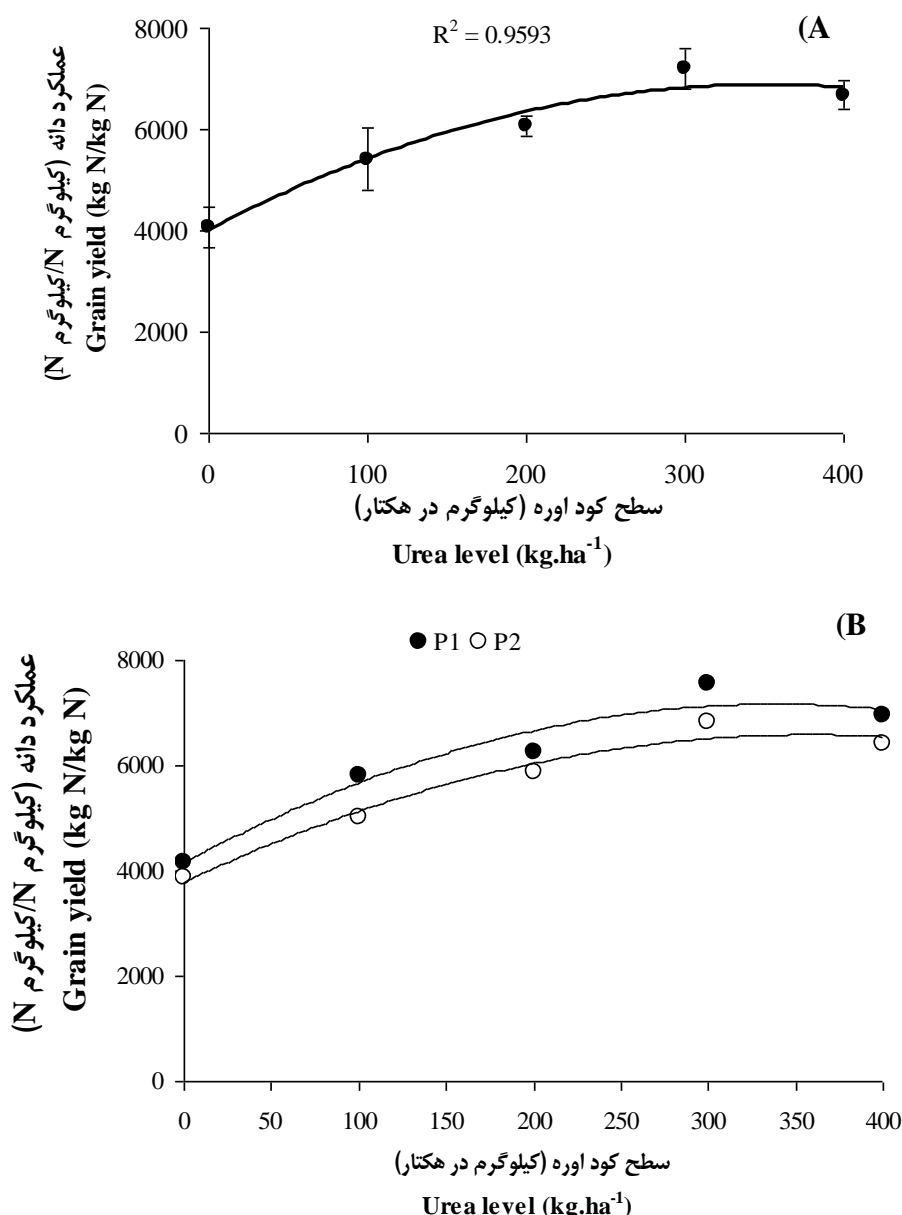
واکنش عملکرد گندم به نیتروژن را در دامنه کودی صفر تا ۱۶۰ کیلوگرم در هکتار افزایشی گزارش کردند.

نیتروژن معدنی خاک که به میزان زیادی تحت تأثیر نوع مدیریت زراعی می‌باشد، از جمله ویژگی‌های تأثیرگذار بر نتایج آزمایشات کودی است. دوبرمن و کاسمن (Dobermann and Cassman, 2004) بیان داشتند که بین میزان نیتروژن معدنی خاک (محتوی نیتروژن قابل استفاده) و مقدار نیتروژن کودی مورد نیاز گیاهان زراعی نوعی رابطه خطی منفی وجود دارد. شبیه این خط که به گونه زراعی بستگی دارد، در مورد گندم حدود یک می‌باشد، یعنی بهازای هر واحد نیتروژن قابل استفاده خاک از نیاز کودی گیاه کاسته می‌شود. به نظر می‌رسد که بهبود شرایط رشدی در روش پشتہ مرتفع از طریق افزایش نیتروژن (Majeed et al., 2015; Jat et al., 2011) موجب

شکل تابع درجه دو واکنش عملکرد نسبت به مصرف کود نیتروژن بیان کننده نوعی بازده نزولی در سطوح بالای مصرف کود می‌باشد که به لحاظ آماری به تأیید رسیده است (Nelson et al., 1985). سراتو و بلاکمر (Cerrato and Blackmer, 1990) با برآش انواع منحنی‌های پاسخ به کود نیتروژن در گیاهان زراعی مختلف و تحلیل آماری این معادلات نشان دادند که معادله درجه دوم که نهایتاً به ثبات برسد، بهترین فرم آماری برای توصیف واکنش گیاهان نسبت به کود نیتروژن می‌باشد. امام و همکاران (Emam et al., 2005) با بررسی سطوح نیتروژن از صفر تا ۱۵۰ کیلوگرم در هکتار نشان دادند که عملکرد دانه و ماده خشک گندم تا ۱۵۰ کیلوگرم نیتروژن در هکتار افزایش یافته و در سطوح بالاتر بی‌تغییر ماند، در حالی که بحرانی و همکاران (Baharani et al., 2006)

نیتروژن به کاهش تلفات نیتروژن و افزایش جذب آن توسط بوته‌ها، کاهش غرقاب و سله بستن سطح خاک در پشت‌های مرتفع در مقایسه با روش کاشت رایج نسبت دادند. علاوه بر این، کوکال و همکاران (Kukal *et al.*, 2010) اعتقاد دارند که اجرای روش کاشت پشت‌های مرتفع می‌تواند از طریق کاهش مصرف آب نقش بهسازی در بهبود کارایی مصرف آب ایفا کند.

تغییر توزیع شاخص سطح برگ (Li *et al.*, 2008)، افزایش رشد بوته‌های گندم و به تبع آن بهبود عملکرد در مقایسه با روش رایج شده است. نتایج گزارش برخی محققان مؤید اثر معنی‌دار روش کاشت Majeed *et al.*, 2015; Hossain *et al.*, 2006; Meisner *et al.*, 1992; Sayre and Morens (Romos, 1997; Hobbs *et al.*, 2000). مجید و همکاران (Majeed *et al.*, 2015) دلیل افزایش عملکرد را در سطوح بالاتر



شکل ۳- اثر (الف) ساده سطوح اوره و (ب) متقابل سطوح اوره و روش کاشت ( $P_1$ : پشت‌های مرتفع و  $P_2$ : رایج) بر عملکرد گندم  
Figure 3- Effects of (A) Urea fertilizer levels and interaction between Urea fertilizer and planting method ( $P_1$ : Raised bed planting and  $P_2$ : Conventional) on grain yield of wheat

موجب ورس و افت عملکرد شده است. برخی دیگر از محققان نیز بهبود شرایط محیطی برای رشد گیاه تحت تأثیر اجرای روش پشته مرتفع در مقایسه با مرسوم را عنوان نمودند (Hassan *et al.*, 2005; Shah *et al.*, 2003).

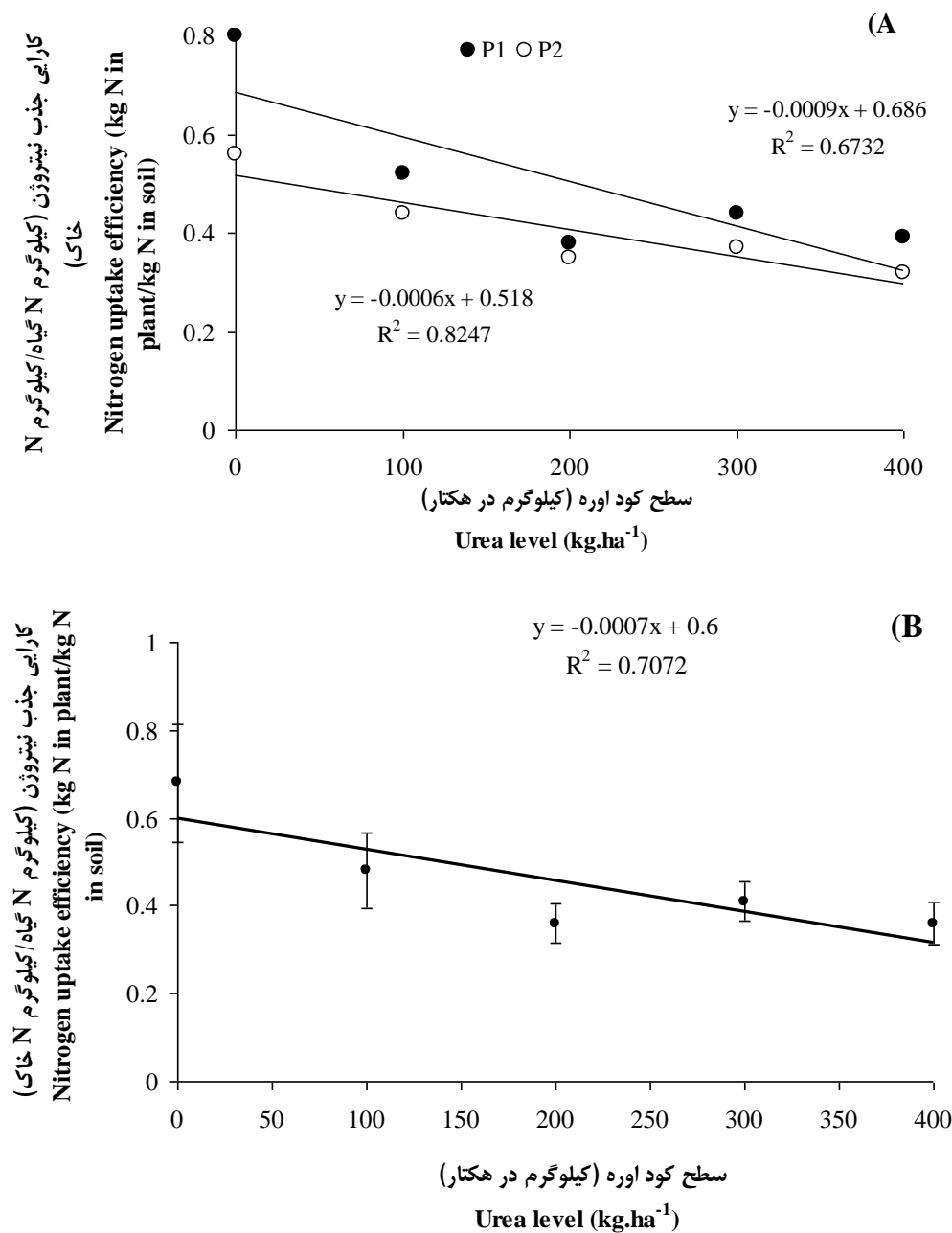
### شاخص‌های کارایی نیتروژن

اثر ساده و متقابل روش کاشت و میزان کاربرد کود اوره بر شاخص کارایی جذب نیتروژن معنی دار ( $p \leq 0.01$ ) بود (جدول ۲). بیشترین کارایی جذب نیتروژن برای تیمار روش کاشت پشته مرتفع و عدم کاربرد نیتروژن ( $0/45$  کیلوگرم نیتروژن گیاه بر کیلوگرم نیتروژن در خاک) به دست آمد که البته با تیمارهای روش کاشت پشته مرتفع و مصرف  $1000$  و  $300$  کیلوگرم نیتروژن در هکتار (به ترتیب با  $0/43$  و  $0/36$  کیلوگرم نیتروژن گیاه بر کیلوگرم نیتروژن خاک) و روش کاشت رایج بدون مصرف کود نیتروژن (با  $0/44$  کیلوگرم نیتروژن گیاه بر کیلوگرم نیتروژن خاک) تفاوت معنی داری نداشت. کمترین مقدار آن مربوط به تیمار  $400$  کیلوگرم اوره در هکتار در روش کاشت رایج (با  $0/14$  کیلوگرم نیتروژن گیاه بر کیلوگرم نیتروژن خاک) بود که با تیمارهای روش کاشت پشته مرتفع و مصرف بالاترین میزان کود اوره ( $0/21$  کیلوگرم نیتروژن گیاه بر کیلوگرم نیتروژن خاک) و روش کاشت رایج و مصرف  $100$  و  $200$  کیلوگرم نیتروژن در هکتار (به ترتیب با  $0/19$  و  $0/17$  کیلوگرم نیتروژن گیاه بر کیلوگرم نیتروژن در خاک) تفاوت معنی داری مشاهده نشد (جدول ۳). با افزایش میزان مصرف اوره از صفر به  $400$  کیلوگرم در هکتار، کارایی جذب نیتروژن در روش کاشت پشته مرتفع به ترتیب  $4/38$ ،  $2/20$  و  $5/3$  درصد در مقایسه با شاهد کاهش یافت. میزان این کاهش برای روش کاشت رایج به ترتیب  $5/7$ ،  $4/1$  و  $6/8$  درصد محاسبه شد. بر این اساس، کارایی جذب نیتروژن تحت تأثیر افزایش مصرف کود اوره از صفر در روش پشته مرتفع به ترتیب  $2/126$ ،  $5/65$  و  $3/8$  درصد بالاتر از روش رایج به دست آمد (شکل ۴-الف و ب). به نظر می‌رسد علت پایین‌تر بودن کارایی جذب و مصرف نیتروژن در روش رایج نسبت به پشته مرتفع (شکل ۴-ب و جدول ۳) تا حد زیادی ناشی از تفاوت در عملکرد دانه تحت تأثیر مقادیر مختلف کود اوره مصرفی باشد (شکل‌های ۱-الف و ۲-الف و ب) که به طور مستقیم در جذب نیتروژن از خاک تأثیرگذار است. در نتیجه اگرچه با افزایش کاربرد کود اوره تا حدود  $300$  کیلوگرم در هکتار عملکرد دانه افزایش یافت، ولی توانایی گیاه در جذب نیتروژن هم راستا با افزایش در میزان مصرف آن نمی‌باشد، در حقیقت در سطوح بالای کاربرد نیتروژن، نیتروژن تجمع یافته در اندام‌ها هم راستا با مصرف آن نیست.

### محتوی نیتروژن دانه و کاه

اثر ساده و متقابل روش کاشت و میزان مصرف کود اوره، محتوی نیتروژن دانه و کاه گندم را به طور معنی داری تحت تأثیر قرار داد (جدول ۲). بیشترین و کمترین میزان نیتروژن دانه به ترتیب برای تیمار روش کاشت پشته مرتفع و  $300$  کیلوگرم اوره در هکتار ( $1/99$  درصد) و روش کاشت پشته مرتفع بدون مصرف اوره ( $1/65$  درصد) به دست آمد. بیشترین میزان نیتروژن کاه ( $0/71$  درصد) مربوط به روش کاشت رایج و بالاترین میزان مصرف کود اوره بود که البته با تیمارهای روش کاشت پشته مرتفع و مصرف  $300$  و  $400$  کیلوگرم اوره در هکتار (به ترتیب با  $0/7$  و  $0/68$  درصد) و روش رایج و مصرف  $200$  و  $300$  کیلوگرم اوره در هکتار (به ترتیب با  $0/62$  و  $0/67$  درصد) تفاوت معنی داری نداشت. کمترین میزان نیتروژن دانه برای روش کاشت پشته مرتفع و بدون مصرف نیتروژن ( $0/4$  درصد) به دست آمد. با افزایش مصرف کود اوره از صفر به  $400$  کیلوگرم در هکتار، میزان نیتروژن دانه در روش کاشت پشته مرتفع به ترتیب  $6/8$  و  $2/1$  درصد در مقایسه با عدم مصرف کود اوره افزایش یافت. میزان این افزایش در روش کاشت رایج به ترتیب  $2/2$ ، صفر،  $5/12$  و  $5/5$  درصد در مقایسه با شاهد محاسبه گردید. افزایش میزان مصرف کود اوره از صفر به  $400$  کیلوگرم در هکتار در روش پشته مرتفع محتوی نیتروژن کاه را به ترتیب  $14/22$ ،  $4/40$  و  $36/36$  درصد در مقایسه با شاهد بهبود بخشید. در حالی که میزان این افزایش برای روش کاشت رایج به ترتیب  $45/45$ ،  $55/55$  و  $68/68$  درصد حاصل شد (جدول ۳).

با توجه به این نکته که نیتروژن از جمله مهمترین عناصر مؤثر در افزایش درصد نیتروژن دانه می‌باشد (Iqbal *et al.*, 2005; Garrido-Lestache *et al.*, 2005; Guadra *et al.*, 2004)، به نظر می‌رسد که افزایش کاربرد کود نیتروژن، تجمع این عنصر در دانه و همچنین در اندام‌های هوایی گندم را افزایش داده و این وضعیت در نهایت، منجر به بهبود درصد نیتروژن دانه‌ها شده است. در هر دو روش کاشت، بیشترین درصد پروتئین دانه با مصرف  $300$  کیلوگرم اوره در هکتار حاصل شد. این نتایج مشابه با نتایج سایر پژوهشگرانی است که گزارش نمودند با افزایش کود نیتروژن، غلظت نیتروژن Gallager *et al.*, 1978; Papakosta and Gagianas, 1991; Iqbal *et al.*, 2005; Garrido-Lestache *et al.*, 2005; Guadra *et al.*, 2004 (al., 2005; Fahong *et al.*, 2004) نیز نشان داد که افزایش جذب نیتروژن نسبت داده شد. آنها همچنین اظهار داشتند که محتوی نیتروژن دانه و غلظت کلروفیل برگ پرچم در روش پشته کاشت پشته مرتفع نسبت به روش مرسوم بالاتر بود که دلیل آن به افزایش جذب نیتروژن نسبت داده شد. آنها همچنین اظهار داشتند که در روش مرسوم بعد از جوانهزنی گیاهچه‌ها، سطح خاک به دلیل ایجاد شرایط غرقابی سله بسته که علاوه بر کاهش کارایی مصرف آب،



شکل ۴- (الف) اثر متقابل روش کاشت (P<sub>1</sub>: پشته مرتفع و P<sub>2</sub>: رایج) و سطوح کود اوره و (ب) اثر ساده مقدار کود اوره بر کارایی جذب نیتروژن گندم

Figure 4- (A) Interaction effect of planting method (P<sub>1</sub>: Raised bed planting and P<sub>2</sub>: Conventional) and Urea fertilizer rates and (B) simple effect of Urea fertilizer rate on nitrogen uptake efficiency of wheat

هکتار در ۸۲/۴ کیلوگرم نیتروژن دانه بر کیلوگرم نیتروژن خاک) و ۳۰۰ کیلوگرم اوره در هکتار در روش کاشت پشته مرتفع (با ۷۱/۵ کیلوگرم نیتروژن دانه بر کیلوگرم نیتروژن خاک) حاصل گردید. افزایش میزان مصرف کود اوره از صفر تا ۴۰۰ کیلوگرم در هکتار در

اثر ساده و متقابل روش کاشت و میزان مصرف کود اوره شاخص کارایی تبدیل نیتروژن را به طور معنی داری ( $p \leq 0.01$ ) تحت تأثیر قرار داد (جدول ۲). بالاترین و پایین‌ترین کارایی تبدیل نیتروژن به ترتیب برای تیمارهای روش کاشت رایج و مصرف ۲۰۰ کیلوگرم اوره در

مزرعه واقع در کمریند ذرت آمریکا با مصرف ۱۰۲ کیلوگرم نیتروژن در هکتار از ۳۷ درصد تجاوز نکرد (Cassman *et al.*, 2002). نتایج Nassiri Mahallati and Koocheki, 2014 نیز نشان داد که کارایی جذب نیتروژن در بومنظم‌های گندم ایران با میانگین مصرف ۱۱۲ کیلوگرم نیتروژن در هکتار ۳۱ درصد است که با نتایج فوق الذکر، قابل مقایسه می‌باشد. البته مقادیر بسیار بالاتر کارایی جذب نیتروژن نیز توسط برخی محققان گزارش شده است. برای مثال، در انگلستان کارایی جذب نیتروژن برای گندم زمستانه ۶۵ درصد محسابه شده است (Sylvester-Bradley and Kindred, 2009) همکاران (Salvagiotti *et al.*, 2009) نیز کارایی جذب نیتروژن در بومنظم‌های گندم آراثتن را ۴۲ درصد گزارش کردند. البته باید توجه داشت کارایی تبدیل نیتروژن در شرایط آزمایشی به مراتب بالاتر از مزارع است (Cassman *et al.*, 2002) و در نتیجه کشاورزان کود بیشتری نسبت به مقدار توصیه شده مصرف می‌کنند که بهنوبه خود مشکلات جدی را برای محیط زیست و سلامتی انسان و سایر اجزای بومنظم به وجود خواهد آورد.

استفاده بهینه از نیتروژن در افزایش بهره‌وری و سودمندی بومنظم‌های زراعی و همچنین کاهش خطرات ناشی از اثرات آلایندگی این عنصر بر محیط زیست نقش مهمی ایفا می‌کند (Dobermann and Cassman, 2004). اثلاف مستقیم کود نیتروژن زمانی رخ می‌دهد که این عنصر متحرک بیش از نیاز گیاه زراعی، در زمان و به شکل نامناسب به کار برده شود (Dawson *et al.*, 2008). از طرف دیگر، افزایش کاربرد نیتروژن به دلیل افزایش تلفات این عنصر بهویژه در روش کاشت رایج باعث عدم کارایی مصرف آن شده و شاخص‌های کارایی نیتروژن را کاهش می‌دهد. به نظر می‌رسد که علت کارایی پایین‌تر جذب نیتروژن در شرایط کاربرد مقدار زیاد کود نیتروژن تحت تأثیر روش کاشت رایج (جدول ۳) ناشی از تفاوت در عملکرد دانه تولیدی تحت تأثیر مقادیر مختلف کود اوره مصرفی باشد (شکل‌های ۱ و ۲). یکی از دلایل کاهش کارایی نیتروژن در روش کاشت رایج در مقایسه با پشته مرتفع، افزایش سرعت از دست رفتن این عنصر می‌باشد (Ma *et al.*, 1999) که موجب کاهش کارایی مصرف آن شده است. نتایج مطالعه مجید و همکاران (Majeed *et al.*, 2015) نیز نشان داد که شاخص‌های جذب، مصرف، کارایی زراعی و فیزیولوژیکی جذب نیتروژن در گیاه گندم در شرایط اجرای روش پشته مرتفع همراه با کاربرد ۱۲۰ کیلوگرم اوره در هکتار به ترتیب ۰/۰۴، ۲۵/۰۴، ۱۵/۰۲، ۱۴/۰۵۹، ۲۹/۸۳ و ۱۰/۰۲ درصد بیشتر از روش مرسوم بود. این محققان اظهار داشتند که روش مرسوم به دلیل پخش غیریکنواخت‌تر کود بر سطح خاک باعث کاهش کارایی جذب و مصرف این عنصر متحرک می‌گردد. در حالی که در روش کاشت پشته مرتفع در حدود یک سوم کود مصرفی روی پشت‌ها تجمع می‌یابد که

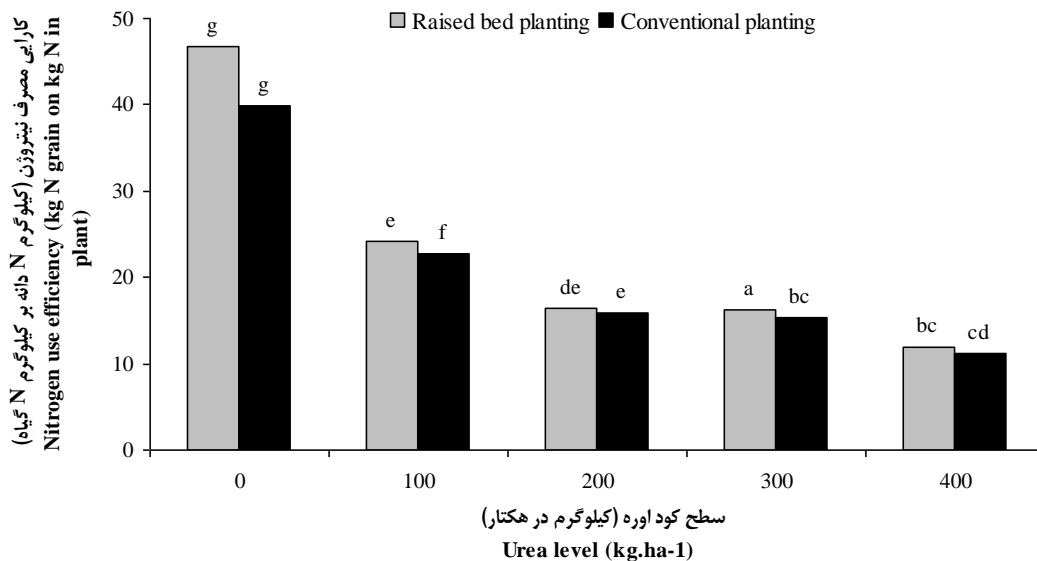
روش کاشت پشته مرتفع، کاهش به ترتیب ۳، ۴، ۱۱ و ۹ درصدی کارایی تبدیل را در مقایسه با شاهد موجب گردید. میزان این کاهش برای روش کاشت رایج به ترتیب برابر با ۱۰، ۱۴، ۲ و ۱۰ درصد در مقایسه با شاهد به دست آمد. همچنین در شرایط عدم مصرف کود اوره، کارایی تبدیل نیتروژن در روش کاشت پشته مرتفع ۱۳ درصد بالاتر از روش کاشت رایج بود. در حالی که با افزایش مصرف کود اوره از ۱۰۰ به ۴۰۰ کیلوگرم در هکتار شاخص کارایی مصرف نیتروژن در روش پشته مرتفع به ترتیب ۱، ۶، ۲ و ۶ درصد کمتر از روش کاشت رایج محاسبه گردید (جدول ۳).

با وجودی که در طی ۴۰ سال گذشته پیشرفت‌های ژنتیکی قابل توجهی در جهت افزایش عملکرد گندم حاصل شده است، ولی شاخص جذب نیتروژن در طی این دوره روندی نزولی داشته است و Nassiri Mahallati and Koocheki, 2014 کاهشی ۱۵ درصدی را نشان می‌دهد (Eickhout *et al.*, 2006) البته میانگین کارایی جذب نیتروژن در جهان نیز در طی دهه‌های گذشته کاهش یافته است. ایکهوت و همکاران (Lopez-Bellido and Lopez-Bellido, 2001) بیان داشتند که کارایی جذب منابع نیتروژنی (کودهای شیمیایی و آلی) در فاصله سال‌های ۱۹۷۰ تا ۱۹۹۵ میلادی در جهان از ۴۶ به ۴۲ درصد، در خاورمیانه از ۵۴ به ۴۷ درصد و در کشورهای در حال توسعه از ۵۳ به ۴۳ درصد کاهش یافته است. نتایج مطالعه لوپز- بلیدو و لوپز- بلیدو (Lopez-Bellido, 2001) روی ارزیابی شاخص‌های کارایی نیتروژن در گندم تحت تأثیر سطح مصرف اوره در شرایط آب و هوای مدیترانه‌ای اسپانیا نشان داد که میانگین جذب نیتروژن ۴۶ درصد بود و با افزایش مصرف نیتروژن از صفر به ۱۵۰ کیلوگرم نیتروژن، میزان این شاخص از ۶۱ به ۳۴ درصد کاهش یافت، در حالی که متوسط کارایی تبدیل ۳۴ کیلوگرم نیتروژن دانه بر کیلوگرم نیتروژن گیاه بود و تحت تأثیر میزان مصرف کود قرار نگرفت. کاهش کارایی جذب نیتروژن در اثر افزایش کاربرد کود نیتروژن توسط اکثر پژوهشگران (Dawson *et al.*, 2008; Lopez-Bellido; et al., 2001; Huggins and Pan, 1993; Slafer *et al.*, 1990; Sowers *et al.*, 1994) کارایی نامطلوب مصرف نیتروژن که عمدها ناشی از پایین بودن کارایی جذب آن است مهمترین عامل مصرف زیاد این نهاده در بومنظم‌های زراعی در اکثر مناطق در سطح جهان و بهویژه آسیا می‌باشد (Cassman *et al.*, 2002). کاسمن و همکاران (Cassman *et al.*, 2002) بیان داشتند از آنجا که منابع نیتروژن معدنی خاک در طول فصل رشد و بین سال‌های مختلف ثابت نمی‌ماند، میزان جذب نیتروژن در این نوع برآوردها معمولاً بیشتر از مقدار واقعی آن است. داده‌های موجود در مورد کارایی جذب نیتروژن در مقایس بومنظم بسیار محدود می‌باشند. برای مثال، میانگین جذب نیتروژن در ۲۱ مزرعه گندم در کشور هند با میانگین ۱۳۰ کیلوگرم نیتروژن در هکتار معادل ۲۹ درصد بود و میانگین این کارایی در ۵۵

نیتروژن) (۳۶/۶۵ کیلوگرم نیتروژن دانه بر کیلوگرم نیتروژن گیاه) و روش کاشت رایج و مصرف ۴۰۰ کیلوگرم اوره در هکتار (۱۰/۶۳ کیلوگرم نیتروژن دانه بر کیلوگرم نیتروژن گیاه) بود. با افزایش میزان مصرف کود اوره از صفر تا ۴۰۰ کیلوگرم در هکتار در روش کاشت پشتۀ مرتفع، کارایی مصرف نیتروژن بهترتب ۹، ۲۲، ۴۲ و ۵۹ درصد در مقایسه با شاهد کاهش یافت. میزان این کاهش برای روش کاشت رایج بهترتب برابر با ۵۰، ۵۵، ۳۸ و ۶۶ درصد در مقایسه با شاهد محاسبه و تعیین گردید. بدین ترتیب، شاخص کارایی مصرف نیتروژن تحت تأثیر کاربرد مقادیر مختلف کود اوره از صفر تا ۴۰۰ کیلوگرم در هکتار در روش کاشت پشتۀ مرتفع بهترتب ۱۷، ۱۱۳، ۵۰، ۳۰ و ۴۳ درصد بالاتر از روش کاشت رایج بود (شکل ۵).

این امر افزایش غلظت نیتروژن رسیده به بوته‌ها و در نتیجه بهبود شاخص‌های کارایی نیتروژن را به دنبال دارد. جذب بیشتر نیتروژن در روش کاشت پشتۀ مرتفع همراه با افزایش عملکرد همچنین به کاهش تلفات آن نسبت داده شده است (Jat *et al.*, 2011). واریاخ و همکاران (Waraich *et al.*, 2010) در مقایسه دو روش کاشت پشتۀ مرتفع و رایج گزارش نمودند که بالاترین شاخص نیتروژن در روش پشتۀ مرتفع به‌دست آمد.

اثرات ساده و متقابل روش کاشت و سطوح کود اوره، به‌طور معنی‌داری کارایی مصرف نیتروژن را تحت تأثیر قرار داد ( $p \leq 0.05$ ) (جدول ۲). بیشترین و کمترین شاخص کارایی مصرف نیتروژن گندم بهترتب مربوط به تیمارهای کاشت پشتۀ مرتفع و شاهد (بدون کاربرد



شکل ۵- مقایسه میانگین اثر متقابل روش کاشت و سطوح کود اوره بر کارایی مصرف نیتروژن گندم

**Figure 5- Mean comparison for the interaction effects of planting method and Urea fertilizer levels on nitrogen use efficiency of wheat**

میانگین‌های دارای حروف مشترک، براساس آزمون LSD در سطح احتمال پنج درصد تفاوت معنی‌داری ندارند.

Means followed by similar letter(s) are not significantly different at 5% probability level, using LSD test.

(1994) کارایی مصرف نیتروژن گندم را در دامنه‌ای از مقادیر کود نیتروژن بین ۲۶ تا ۴۴ درصد گزارش نمودند. فیکسن و وست (Fixen and West, 2002) بیان کردند که در فاصله سال‌های ۱۹۵۸ تا ۱۹۸۳ میلادی در چین کارایی مصرف نیتروژن در گندم از ۱۵ به ۱۰ و در ذرت از ۲۵ به ۱۳/۵ کیلوگرم نیتروژن دانه بر کیلوگرم نیتروژن خاک کاهش یافته و این کاهش تا حد زیادی به‌دلیل افزایش مصرف کودهای نیتروژن بوده است. کوچکی و همکاران (Koocheki *et al.*, 2015) نیز بیان داشتند که با افزایش مصرف نیتروژن از صفر تا ۱۵۰ کیلوگرم، کارایی مصرف نیتروژن هر دو گیاه ذرت و پنبه بهترتب ۵۵ و ۳۵ درصد کاهش یافت.

اگرچه با افزایش کاربرد کود اوره، میزان نیتروژن جذب شده از خاک توسط بوته در هر دو روش کاشت افزایش یافته (جدول ۳)، ولی در کل در شرایط مصرف میزان کمتری از کود نیتروژن، کارایی انتقال و استفاده از نیتروژن جذب شده برای تشکیل دانه بیشتر می‌باشد و نظر می‌رسد اگرچه در مقادیر بالاتر کود نیتروژن، ظرفیت جذب آن افزایش می‌یابد، ولی در مقابل، مقدار بالاتری از کل نیتروژن در بقایای ساقه و برگ باقی می‌ماند (Daneshmand *et al.*, 2007). کاهش کارایی استفاده از نیتروژن با افزایش مصرف کود اوره توسط محققین مختلف نیز به اثبات رسیده است. برای مثال، سورور و همکاران (Sower *et al.*, 2005)

و شاخص‌های کارایی نیتروژن شد (Jat *et al.*, 2011).

با توجه به نتایج حاصله مشاهده می‌شود که کارایی مصرف نیتروژن روند مشابه با کارایی جذب آن دارد (شکل ۴-الف)؛ بهطوری که با افزایش مصرف اوره، کارایی مصرف نیتروژن کاهش یافت. تفاوت شاخص کارایی مصرف نیتروژن بین دو شرایط عدم کاربرد و مصرف ۴۰۰ کیلوگرم اوره در هکتار برابر با ۶۲ درصد محسوسه گردید. به نظر می‌رسد که دلیل این کاهش عمدتاً ناشی از عدم وجود رابطه خطی بین مصرف نیتروژن و افزایش عملکرد می‌باشد. به بیان دیگر، با افزایش کاربرد نیتروژن به همان میزان عملکرد دانه بهبود نمی‌یابد (شکل ۶).

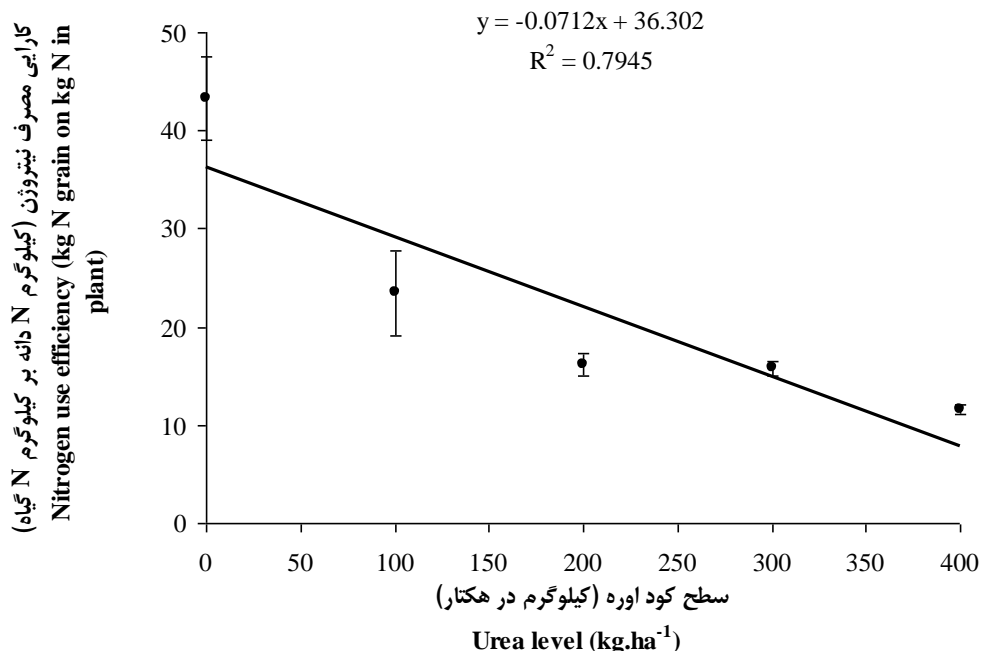
در آزمایشی ملاحظه شد، افزایش مصرف کود نیتروژن به دلیل افزایش تلفات نیتروژن از طریق دنیتریفیکاسیون، تبخیر آمونیومی، رواناب و آبشویی موجب کاهش کارایی مصرف آن گردید (Huggins and Pan, 1999). هاگینز و پان (Akintoye *et al.*, 1999) و سمنوف و همکاران (Semenov *et al.*, 2007) دریافتند که در سطوح بالای مصرف کود اوره، جذب نیتروژن در دسترس به آهستگی افزایش یافت که باعث کاهش کارایی مصرف نیتروژن شد. ارتیز و همکاران (Ortiz *et al.*, 2002) دریافتند به موارات افزایش کاربرد کود اوره، کارایی جذب و تبدیل نیتروژن کاهش یافت که در نهایت، موجب کاهش کارایی مصرف آن گردید. بر این اساس، بهنظر می‌رسد برنامه‌های اقتصادی مربوط به تنظیم قیمت نهاده‌ها، اصلاح روش‌های مدیریت در جهت بهبود کارایی جذب نیتروژن راهکار اکولوژیک مؤثری به منظور جلوگیری از مصرف بی‌رویه این نهاده و همچنین بهبود کارایی مصرف آن در بومنظم‌های زراعی باشد. برخی بررسی‌ها نیز نشان داده است که تعدیل در کاربرد مقادیر کودهای شیمیایی نیتروژن و یا تقسیط آن راهکار مناسبی برای افزایش کارایی مصرف آن در بومنظم‌های زراعی می‌باشد (Gan *et al.*, 2008; Alcoz *et al.*, 1993). کارایی پایین کودهای شیمیایی نیتروژن به دلیل کاربرد مقادیر بالای آنها است، خصوصاً زمانی که نیتروژن معدنی موجود در خاک قبل از کشت و یا نیتروژن معدنی شده در طول فصل رشد نادیده گرفته می‌شود (Arregui and Quemada, 2008).

براساس مطالعه نصیری محلاتی و کوچکی (Nassiri Mahallati and Koocheki, 2014)، کارایی تبدیل نیتروژن در نظامهای تولید گندم ایران در طی چهار دهه گذشته سالانه برابر با ۱۷/۰ کیلوگرم نیتروژن دانه بر کیلوگرم نیتروژن گیاه افزایش یافته است.

علاوه بر این، کاهش کارایی مصرف نیتروژن در پاسخ به مصرف کود اوره عمدتاً ناشی از کاهش کارایی جذب آن بوده است. کارایی مصرف نیتروژن حاصلضرب کارایی جذب این نهاده در کارایی تبدیل آن است و نتایج برخی مطالعات نشان می‌دهد که با افزایش مصرف این نهاده هر دو جزء کارایی مصرف نیتروژن کاهش یافته ولی شدت کاهش کارایی جذب بیشتر از کارایی تبدیل نیتروژن می‌باشد (Biswas and Benbi, 1997; Stevens *et al.*, 2005) و همکاران (Gaju *et al.*, 2011) نتیجه‌گیری کردند که کارایی مصرف نیتروژن عمدتاً تابع کارایی تبدیل این نهاده می‌باشد. لوپیز- Lopez-Bellndo and Lopez- Bellndo، (2001) با بررسی کارایی مصرف نیتروژن در گندم تحت تأثیر سطوح مصرف این عنصر در اسپانیا بیان داشتند که میانگین کارایی مصرف نیتروژن برابر با ۱۵/۸ کیلوگرم نیتروژن دانه بر کیلوگرم نیتروژن در خاک بود که با افزایش مصرف کود به طور معنی‌داری کاهش یافت. از (Witcombe *et al.*, 2008) بیان داشتند که در شرایط عرضه محدود نیتروژن، کارایی مصرف این عنصر عمدتاً به کارایی جذب آن و در شرایط مصرف زیاد این نهاده به کارایی تبدیل آن وابسته است. بل و همکاران (Bell *et al.*, 1995) با بررسی نقش نهاده‌های مختلف در شکل‌گیری عملکرد، سهم کود نیتروژن برای گندم در مکریک را ۴۸ درصد محاسبه و بیان داشتند که افزایش سهم نیتروژن در عملکرد این گیاه ناشی از کاهش کارایی جذب این نهاده می‌باشد. بر این اساس، بهنظر می‌رسد که کاهش شاخص‌های کارایی تبدیل و جذب نیتروژن نقش مهمی در افزایش سهم نسبی این نهاده در عملکرد گندم کشور داشته است. کاهش شاخص تبدیل نیتروژن که به نوبه خود ناشی از کاهش جذب آن می‌باشد (Dobermann and Cassman, 2005)، باعث خواهد شد که هر سال برای حفظ عملکرد در سطحی مشابه با بالاتر از سال قبل به مصرف کود بیشتری نیاز باشد تا این طریق کاهش بهره‌برداری به وسیله کود بیشتر جبران گردد. بهبود کارایی جذب نیتروژن مهمترین اقدام در جهت کاهش وابستگی عملکرد به این نهاده است. البته اصلاح سیستم ریشه‌ای غلات برای جذب بهتر نیتروژن از لایه‌های عمیق‌تر خاک باعث اثر منفی بر کارایی جذب عناصر کم تحرک‌تر نظیر فسفر که عمدتاً در قسمت‌های سطحی خاک تجمع دارند، نیز خواهد شد (Bingham, 2005; Ho *et al.*, 2005).

بنابراین، روش‌های مناسب کاشت موثرترین راهکار در ارتباط با بهبود شاخص‌های کارایی نیتروژن به‌ویژه کارایی مصرف نیتروژن محسوب می‌شوند. اجرای روش پشته مرتفع با تجمع نیتروژن در مجاورت بوته‌ها

علاوه بر کاهش درصد حضور علفهای هرز (Majeed *et al.*, 2005)



شکل ۶- اثر سطوح کود اوره بر کارایی مصرف نیتروژن در گندم

Figure 6- Effect of Urea fertilizer rates on nitrogen use efficiency of wheat

بوته‌ها، از طریق افزایش غلظت نیتروژن و حاصلخیز شدن خاک سطح پشتهدار سبب افزایش رشد، بهبود عملکرد و شاخص‌های کارایی نیتروژن شد.

بدین ترتیب، از آنجا که استفاده بهینه از نیتروژن در افزایش بهره‌وری و سودمندی بوم‌نظام‌های زراعی و کاهش خطرات ناشی از اثرات آلایندگی این عنصر بر محیط زیست نقش مهمی دارد، لذا بهبود کارایی جذب نیتروژن مهمترین اقدام در جهت کاهش واپتگی عملکرد به این نهاده است. بر این اساس، بهره‌گیری از روش‌های مدیریت مصرف کود نظری انتخاب روش‌های مناسب کاشت به عنوان مؤثرترین راهکار در ارتباط با بهبود شاخص‌های کارایی نیتروژن بهویژه کارایی مصرف نیتروژن پیشنهاد می‌شوند.

### سپاسگزاری

بودجه این طرح از محل پژوهه شماره ۳۷۶۲۳/۲ مورخ ۱۳۹۴/۰۳/۰۹ معاونت پژوهشی و فناوری دانشگاه فردوسی مشهد تأمین شده است که بدین‌وسیله سپاسگزاری می‌شود.

### نتیجه‌گیری

به منظور دستیابی به تولید پایدار محصولات زراعی، از جمله اصول اولیه بهبود کارایی مصرف منابع و جلوگیری از هدرفت نهاده‌های کشاورزی است. نتایج این مطالعه نشان داد که روش کاشت پشتہ مرتفع عملکرد و شاخص‌های کارایی نیتروژن گندم را به طور معنی‌داری در مقایسه با روش کاشت رایج تحت تأثیر قرار داد. با افزایش مصرف اوره به دلیل تولید اندام‌های رویشی، بهبود دوام سطح برگ، سرعت و ظرفیت فتوسنتر تا حدود ۲۰۰ کیلوگرم در هکتار عملکرد دانه به صورت خطی افزایش یافت و سپس تقریباً ثابت گردید و نهایتاً در سطوح مصرف اوره بالاتر از ۳۰۰ کیلوگرم در هکتار کاهش یافت. همچنین شب افزایش عملکرد دانه تحت تأثیر افزایش مصرف اوره، در روش کاشت پشتہ مرتفع بیشتر از روش رایج بود. افزایش کاربرد نیتروژن به دلیل افزایش تلفات این عنصر بهویژه در روش کاشت رایج باعث عدم کارایی مصرف آن شده و شاخص‌های کارایی نیتروژن را کاهش داد. کاهش کارایی مصرف نیتروژن در پاسخ به مصرف کود اوره عمده‌تاً ناشی از کاهش کارایی جذب آن بوده است. همچنین اجرای روش پشتہ مرتفع با تجمع نیتروژن در مجاورت

### References

1. Akintoye, H. A., Klinga, J. G., and Lucas, E. O. 1999. N-use efficiency of single, double and synthetic maize lines grown at four N levels in three ecological zones of West African. Field Crops Research 60: 189-199.
2. Alcoz, M. M., Homs, F. M., and Haby, V. A. 1993. Nitrogen fertilization timing effect on wheat production,

- nitrogen uptake efficiency, and residual nitrogen. *Agronomy Journal* 85: 1198-1203.
3. Arregui, L. M., and Quemada, M. 2008. Strategies to improve nitrogen use efficiency in winter cereal crops under rain fed conditions. *Agronomy Journal* 100: 277-284.
  4. Bahrani, A., and Tahmasebi Sarvestani, Z. 2006. Effects of rate and time of nitrogen fertilizer on yield, yield component, and dry matter remobilization efficiency in two winter wheat cultivars. *Journal of Agricultural Sciences Islamic Azad University* 12 (2): 369-376. (in Persian with English abstract).
  5. Bell, M. A., Fischer, R. A., Byerlee, D., and Sayre, K. 1995. Genetic and agronomic contributions to yield gains: A case study for wheat. *Field Crops Research* 44: 55-65.
  6. Bingham, I. J. 2005. Agronomic approaches for modifying root systems of field crops: opportunities and constraints. *Aspects of Applied Biology* 73: 169-178.
  7. Biswas, C. R., and Benbi, D. K. 1997. Nitrogen balance and N recovery after 22 years of maize-wheat-cowpea cropping in a long-term experiment. *Nutrient Cycling in Agroecosystems* 47: 107-114.
  8. Bock, R. H. 1984. Efficient water use of nitrogen in cropping system. Pp. 273-294. In: "Hauck, R.D. (ed.). Nitrogen in Crop Production. ASA, CSSA, SSSA". Madison, Wisconsin, USA.
  9. Cassman, K. G., Dobermann, A., and Walters, D. I. 2002. Agroecosystems, nitrogen use efficiency and nitrogen management. *Ambio* 31: 132-140.
  10. Cassman, K. G., Dobermann, A., Walters, D. T., and Yang, H. 2003. Meeting cereal demand while protecting natural resources and improving environmental quality. *Annual Review of Environment and Resources* 28: 315-358.
  11. Cerrato, M. E., and Blackmer, A. M. 1990 Comparison of models for describing; corn yield response to nitrogen fertilizer. *Agronomy Journal* 82: 138-143.
  12. Daneshmand, A., Shirani Rad, A. H., Noormohammadi, G., Zeraei, G., and Daneshian, J. 2007. Effect of water stress and nitrogen fertilizer on grain yield, yield components, nitrogen uptake and water and nitrogen use efficiency in two of canola cultivars. *Iranian Journal of Crop Science* 8 (4): 323-342. (in Persian with English abstract).
  13. Dawson, J. C., Huggins, D. R., and Jones, S. S. 2008. Characterizing nitrogen use efficiency in natural and agricultural ecosystems to improve the performance of cereal crops in low-input and organic agriculture systems. *Field Crops Research* 107: 89-101.
  14. Dobermann, A., and Cassman, K. G. 2005. Cereal area and nitrogen use efficiency are drivers of future nitrogen fertilizer consumption. *Science China Life Sciences* 48: 1-14.
  15. Dobermann, D. I., and Cassman, K. G. 2004. Plant nutrient management for enhanced productivity in intensive grain production of United States and Asia. *Plant and Soil* 247: 153-175.
  16. Eickhout, B., Bouwman, A. F., and van Zeijts, H. 2006. The role of nitrogen in world food production and environmental sustainability Agriculture, Ecosystems and Environment 116: 4-14.
  17. Emam, Y., Ahmadi, A., and Pesarakli, M. 2005. Effect of different methods of cultivation with residue management and nitrogen levels on wheat yield and yield component in Fars province conditions. *Iranian Journal of Field Crop Science* 41 (4): 841-850. (in Persian with English abstract).
  18. Fageria, N. K., and Baligar, V. C. 2005. Enhancing nitrogen use efficiency in crop plants. *Advances in Agronomy* 88: 97-185.
  19. Fahong, W., Xuqing, W., and Sayre, K. 2004. Comparison of conventional, flood irrigated, flat planting with furrow irrigated, raised bed planting for winter wheat in China. *Field Crops Research* 87: 35-42.
  20. Fixen, P. E., and West, F. B. 2002. Nitrogen fertilizers: meeting contemporary challenges. *Ambio* 31: 169-176.
  21. Gajau, O., Allard, V., Martre, P., Snape, J. W., Heumez, E., LeGouis, J., Moreau, D., Bogard, M., Griffiths, S., Orford, S., Hubbart, S., and Foulkes, M. J. 2011. Identification of traits to improve the nitrogen-use efficiency of wheat genotypes. *Field Crops Research* 123: 139-152.
  22. Gan, Y., Malhi, S. S., Brandt, S., Katepa-Mupondwa, F., and Stevenson, C. 2008. Nitrogen use efficiency and nitrogen uptake of juncea Canola under diverse environments. *Journal of Agronomy* 100: 285-295.
  23. Gastal, F., and Lemaire, G. 2002. N uptake and distribution in crops: an agronomical and ecophysiological perspective. *Journal of Experimental Botany* 370: 789-799.
  24. Giller, K. E., Chalk, P., Dobermann, A., Hammond, L., Heffer, P., Ladha, J. K., Nyamudeza, P., Maene, L., Ssali, H., and Freney, J. 2004. Emerging technologies to increase the efficiency of use of fertilizer nitrogen. In: Mosier A. R., Syers J. K., Freney J. R. (Eds.), *Agriculture and the Nitrogen Cycle*. Island Press, Washington, D.C., pp. 35-51.
  25. Gliessman, S. R. 1997. *Agroecology: Ecological Processes in Sustainable Agriculture*. Arbor Press. 357 pp.
  26. Hatermink, A. E., Johnston, M. O., Sullivan, J. N., and Poloma, S. 2000. Nitrogen use efficiency of taro and sweet potato in the humid lowlands of Papua New Guinea. *Agriculture, Ecosystems and Environment* 79: 271-280.
  27. Hauggaard-Nielsen, H., Ambus, P., and Jensen, E. S. 2001. Interspecific competition, N use and interference with weeds in pea barley intercropping. *Field Crops Research* 70: 101-109.
  28. Ho, M. D., Rosas, J. C., Brown, K. M., and Lynch, J. P. 2005. Root architectural tradeoffs for water and phosphorus acquisition. *Functional Plant Biology* 32: 737-748.

29. Hobbs, P. R., Sing, Y., Giri, G. S., Lauren, J. G., and Dusbury, J. M. 2000. Direct seeding and reduced tillage options in the rice-wheat systems of the Indo-Gangetic plain of South Asia. Paper presented at IRRI workshop, Bangkok, Thailand, 25-28 January, 2000.
30. Horwitz, W., and Latimer, G. W. 2005. Official Methods of Analysis. Association of Official Analytical Chemists (AOAC), 18<sup>th</sup> Edition. Maryland, USA.
31. Hossain, M. I., Islam, M. K., Sufian, M. A., Meisner, C. A., and Islam, M. S. 2006. Effect of planting method and nitrogen levels on the yield and yield attributes of wheat. *Journal of Biosciences* 14: 127-130.
32. Hossain, M. I., Meisner, C., Duxbury, J. M., Lauren, J. G., Rahman, M. M., Meer, M. M., and Rashid, M. H. 2004. Use of raised beds for increasing wheat production in rice-wheat cropping systems, New directions for a diverse planet: proceedings of the 4<sup>th</sup> International Crop Science Congress, 26 Sep.-1 Oct., 2004, Brisbane, Australia.
33. Huggins, D. R., and Pan, W. L. 1993. Nitrogen use efficiency components analysis: an evaluating of cropping system differences in productivity. *Agronomy Journal* 85: 898-905.
34. Jat, M. L., Gupta, R., Saharawat, Y. S., and Khosla, R. 2011. Layering precision land leveling and furrow irrigated raised bed planting: productivity and input use efficiency of irrigated bread wheat in indo-gangetic plains. *American Journal of Plant Sciences* 2: 578-588.
35. Koocheki, A., Borumand Rezazadeh, Z., Nassiri Mahallati, M., and Khorramdel, S. 2012. Evaluation of nitrogen absorption and use efficiency in relay intercropping of winter wheat and maize. *Iranian Journal of Field Crops Research* 10 (2): 327-334. (In Persian with English abstract).
36. Koocheki, A., Khorramdel, S., Fallahpour, F., and Mellati, F. 2010. Evaluation of radiation absorption and use efficiency in row intercropping of wheat (*Triticum aestivum* L.) and canola (*Brassica napus* L.). *Iranian Journal of Field Crops Research* 11 (4): 533-542. (in Persian with English abstract).
37. Koocheki, A., Nassiri Mahallati, M., Bakhshaei, S., and Davari, A. 2017. A meta analysis of nitrogen fertilizer experiments for cereal crops in Iran. *Journal of Agroecology* 9 (2): 296-313. (in Persian with English abstract).
38. Koocheki, A., Nassiri Mahallati, M., Moradi, R., and Alizadeh, Y. 2015. Evaluation of yield and nitrogen use efficiency of maize and cotton intercropping under different nitrogen levels. *Iranian Journal of Field Crops Research* 13 (1): 1-13. (in Persian with English abstract).
39. Kukal, S. S., Humphreys, E., Thaman, S., Singh, B., and Timsina, J. 2010. Factors affecting irrigation water savings in raised beds in rice and wheat. *Field Crops Research* 118: 43-50.
40. Lemaire, G., Jeuffroy, M. H., and Gastal, F. 2008. Diagnosis tool for plant and crop N status in vegetative stage: theory and practices for crop N management. *European Journal of Agronomy* 28: 614-624.
41. Li, Q. Q., Chen, Y. H., Liu, M. Y., Zhou, X. B., Dong, B. D., and Yu, S. L. 2008. Effects of irrigation and planting patterns on radiation use efficiency and yield of winter wheat in North China. *Agricultural Water Management* 95: 469-476.
42. Lopez-Bellido, L., Lopez-Bellido, R. J., Castillo, J. E., and Lopez-Bellido, F. J. 2001. Effects of long-term tillage, crop rotation and nitrogen fertilization on bread-making quality of hard red spring wheat. *Field Crops Research* 42: 197-210.
43. Lopez-Bellido, R. J., and Lopez-Bellido, L. 2001. Efficiency of nitrogen in wheat under Mediterranean conditions: effect of tillage, crop rotation and N fertilization. *Field Crops Research* 71: 31-46.
44. Ma, B. L., Dwyer, L. M., and Gregorich, E. G. 1999. Soil nitrogen amendment affects on nitrogen uptake and grain yield of maize. *Agronomy Journal* 91: 650-656.
45. Majeed, A., Muhamood, A., Niaz, A., Javid, S., Ahmad, Z. A., Shah, S. S. H., and Shah, A. H. 2015. Bed planting of wheat (*Triticum aestivum* L.) improves nitrogen use efficiency and grain yield compared to flat planting. *The Crop Journal* 3 (2): 118-124.
46. Meisner, C. A., Acervedo, E., Flores, D., Sayre, K., Ortizmonasterio, L., and Byerlee, D. 1992. Wheat production and grower practices in the Yaqui Valley, Sonora, Mexico. *Wheat Special Report*. No. 6. Mexico, D F CIMMYT.
47. Miran Zadeh, H., and Emam, Y. 2010. The effect of nitrogen and Cloro-macovat-clorid on seed yield, dry matter and water efficiency on 4 cultivar of wheat. *Iranian Journal of Field Crops Research* 8 (6): 636-645.
48. Moles, D. J., Rangai, S. S., Bourke, R. M., and Kasamani, C. T. 1984. Fertilizer responses of taro in Papua New Guinea. In:S. Chandra (Ed.), *Edible Aroids*. Clarendon Press, Oxford, pp. 64-71.
49. Mollah, M. I. U., Bhuiya, M. S. U., and Kabir, M. H. 2009. Bed planting: a new crop establishment method for wheat in rice-wheat cropping system, *Journal of Agriculture and Rural Development* 7: 23-31.
50. Muurinen, S., and Peltonen-Sainio, P. 2006. Radiation-use efficiency of modern and old spring cereal cultivars and its response to nitrogen in northern growing conditions. *Field Crops Research* 96: 363-373.
51. Naroki, F. A., Vaezi, B., and Bavi, V. 2009. Determination amount of advisable nitrogen for improving quantity and quality characters of three new durum wheat lines. *Iranian Crop Sciences Journal* 41 (3):583-595. (in Persian with English abstract).
52. Nassiri Mahallati, M., and Koocheki, A. 2014. Trend analysis of nitrogen use and productivity in cereal production systems of Iran. *Journal of Agroecology* 8 (3): 607-621. (in Persian with English abstract).
53. Nelson, L. A., Voss, R. D. and Pesek, J. T. 1985. Agronomic and statistical evaluation of fertilizer response. P. 53-

90. In: O.P. Engelstad (Ed.) fertilizer technology and use. 3<sup>rd</sup> Ed. ASA, Madison.
54. Nunez, R., and Kamprath, E. J. 1969. Relationships between N response, plant population. And row width on growth and yield of corn. *Agronomy Journal* 61: 279-282.
55. Olesen, G. E., Petersen, B. M., Bernsten, G., and Hansen, S. 2002. Comparison of methods for simulating effects of nitrogen on green area index and dry matter growth in winter wheat. *Field Crops Research* 74: 131-149.
56. Ortiz, R., Nurminen, M., Madsen, S., Rognil, O. A., and Bjornstad, A. 2002. Genetic gains in Nordic spring barley breeding over sixty years. *Euphytica* 126: 283-289.
57. Rathke, G. W., Behrens, T., and Diepenbrock, W. 2006. Integrated nitrogen management strategies to improve seed yield, oil content and nitrogen efficiency of winter oilseed rape (*Brassica napus* L.): A review. *Agriculture, Ecosystems and Environment* 117: 80-108.
58. Raun, W. R., and Johnson, G. V. 1999. Improving nitrogen use efficiency for cereal production: a review. *Agronomy Journal* 91: 357-363.
59. Sabahi, H., and Ghalavand, A. 2005. Comparison on uptake, utilization and losses of nitrogen in organic, integrated and conventional fertilization methods in winter rapeseed (*Brassica napus* L.). *Environmental Science* 6: 15-27. (in Persian with English abstract).
60. Salvagiotti, F., Castellari, J. M., Miralles, D. J., and Pedro, H. M. 2009. Sulfur fertilization improves nitrogen use efficiency in wheat by increasing nitrogen uptake. *Field Crops Research* 113: 170-177.
61. Sayre, K. D., and Morens Rosos, O. H. 1997. Application of raised bed planting system to wheat. *Wheat Program Special Research* 31. CIMMYT, Mexico. P. 14-22.
62. Semenov, M. A., Jamieson, P. D., and Martre, P. 2007. Deconvoluting nitrogen use efficiency in wheat: A simulation study. *European Journal of Agronomy* 26: 283-294.
63. Shah, S. S. H., Hassan, A., Ghafoor, A., and Bakhsh, A. 2003. Soil physical characteristics and yield of wheat and maize as affected by mulching materials and sowing methods, *Plant, Soil and Environment* 32: 14-21.
64. Shahsavari, N., and Saffari, M. 2005. The effect of different levels of nitrogen on the function and elements of the varieties of wheat in Kerman. *Pajouhesh & Sazandegi* 66 (4): 82-87. (in Persian with English abstract).
65. Slafer, G. A., Andrade, F. H., and Feingold, S. E. 1990. Genetic improvement in bread wheat (*Triticum aestivum* L.) in Argentina: Relationship between nitrogen and dry matter. *Euphytica* 50: 63-71.
66. Sowers, K. E., Pan, W. L., Miller, B. C., and Smith, J. L. 1994. Nitrogen use efficiency of split nitrogen application in soft white winter wheat. *Agronomy Journal* 86: 942-948.
67. Stevens, W. B., Hoeft, R. G., and Mulvaney, R. L. 2005. Fate of nitrogen-15 in a long-term nitrogen rate study. I. Interactions with soil nitrogen. *Agronomy Journal* 97: 1037-1045.
68. Sylvester-Bradley, R., and Kindred, D. R. 2009. Analysing nitrogen responses of cereals to prioritize routes to the improvement of nitrogen use efficiency. *Journal of Experimental Botany* 60: 1939-1951.
69. Tittonell, P., Zingore, S., Van Wijk, M. T., Corbeels, M., and Giller, K. E. 2007. Nutrient use efficiencies and crop responses to N, P and manure applications in Zimbabwean soils: exploring management strategies across soil fertility gradients. *Field Crops Research* 100: 348-368.
70. Waraich, E. A., Saifullah, R. A., and Ahmad, S. 2010. Raised bed planting- a new technique for enhancing water use efficiency in wheat (*Triticum aestivum* L.) in semi-Arid zone. *Iranian Journal of Plant Physiology* 1 (2): 73-84.
71. West, M. L. 2006. Response of corn hybrids to varying plant population densities. *Field Crops Abstract* 42: 8569.
72. Witcombe, J. R., Hollington, P. A., Howarth, C. J., Reader, S., and Steele, K. A. 2008. Breeding for abiotic stresses for sustainable agriculture. *Philosophical Transactions of the Royal Society B* 363: 703-716.
73. Wolton, W. 2005. Leaf area index and radiation as related to corn yield. *Agronomy Journal* 65: 459-461.
74. Zhang, W., and Zhang, X. 2007. A forecast analysis on fertilizer consumption worldwide. *Environmental Monitoring and Assessment* 133: 427-434.



## Effects of Raised Bed Planting and Nitrogen on Nitrogen Efficiency Indices and Yield of Wheat

A. Koocheki<sup>1\*</sup> - S. Khorramdel<sup>2</sup> - J. Shabahang<sup>3</sup>

Received: 21-03-2017

Accepted: 22-08-2017

### Introduction

Nitrogen use efficiency (NUE) for wheat is only about 30%, but with best management practices it can be improved to higher levels. Optimal nitrogen (N) management is essential for maximum NUE, crop yield and minimum environmental impacts. Applying less N may result in lower grain yields and reduced grain quality. However, higher N application can result in reducing NUE and increasing fertilizer losses. Efficient use of applied N fertilizer improves crop yield and decreases the production cost. N application and recovery efficiencies depend on soil criterias; method and rate of fertilizer application; and planting methods. Improving NUE is one ecological approach for producing higher grain yield. In recent years, some researchers found that suitable management and adoption of appropriate practices could improve agricultural nitrogen use efficiency and crops production would be more efficient. Raised bed planting has shown to improve water distribution and efficiency, fertilizer use efficiency, reduced crop lodging and decreased seed rate without sacrificing yield. Planting methods could also affect the vertical distribution of leaf area index and radiation use efficiency of wheat.

The objectives of this study were to determine the effects of raised bed planting and Urea fertilizer levels on the nitrogen efficiency indices and yield of wheat.

### Materials and Methods

This experiment was conducted as split plot based on a randomized complete block design with three replications at the Agricultural Research Field, Ferdowsi University of Mashhad during the growing season of 2015-2016. The main and sub factors were allocated to planting methods (raised bed and conventional methods) and Urea rates such as 0, 100, 200, 300 and 400 kg Urea  $\text{ha}^{-1}$ , respectively. Investigated traits were grain yield, biological yield, nitrogen content of grain, nitrogen content of straw, and efficiency indices of nitrogen (nitrogen uptake efficiency, nitrogen utilization efficiency and NUE). The treatments were run as an analysis of variance (ANOVA) to determine if significant differences existed among treatments means. Multiple comparison tests were conducted for significant effects using the LSD test.

### Results and Discussion

Results showed that the simple and interaction effects of planting methods and Urea rates were significant ( $p \leq 0.05$ ) on grain yield, biological yield, grain nitrogen content, straw nitrogen content, nitrogen uptake efficiency, nitrogen utilization efficiency and NUE of wheat. The maximum and minimum grain yield were observed with raised bed planting and 300 kg Urea  $\text{ha}^{-1}$  (7545 kg  $\text{ha}^{-1}$ ) and conventional planting and control (3865 kg  $\text{ha}^{-1}$ ), respectively. The maximum and the minimum amounts of nitrogen uptake efficiency were belonged to raised bed planting and control (0.45 kg N in plant per kg N in soil) conventional planting and 400 kg Urea  $\text{ha}^{-1}$  (0.14 kg N in plant per kg N in soil), respectively. The highest and lowest NUE were related to raised bed planting and control (36.65 kg N in grain per kg N in plant) conventional planting and 400 kg Urea  $\text{ha}^{-1}$  (10.63 kg N in grain per kg N in plant), respectively. Increasing in Urea rate from 0 to 400 kg  $\text{ha}^{-1}$  fertilizer decreased nitrogen use efficiency up to 62 percent.

### Conclusions

Results showed a higher grain yield and biological yield from planting on raised bed compared with the conventional planting, owing to higher nitrogen uptake and nitrogen use efficiency. Biological yield was significantly influenced and higher trend was found with higher dose of nitrogen. There was a trend to improve

1- Professor, Faculty of Agriculture, Ferdowsi University of Mashhad

2- Associate Professor, Faculty of Agriculture, Ferdowsi University of Mashhad

3- PhD in Agroecology, Faculty of Agriculture, Ferdowsi University of Mashhad

(\*- Corresponding Author Email: akooch@um.ac.ir)

grain yield with the increase of Urea levels. Grain yield increased in raised bed planting method compared with conventional planting mostly due to more fertile topsoil on the raised beds. Enhancing nitrogen fertilizer led to improve in grain yield and a decrease in NUE.

#### Acknowledgement

This research (37623.2) was funded by Vice Chancellor for Research of Ferdowsi University of Mashhad, which is hereby acknowledged.

**Keywords:** Nitrogen uptake efficiency, Nitrogen use efficiency, Nitrogen utilization efficiency, Raised bed planting

## Contents

<b>Maximum Efficiency of Photosystem II as a Freezing Stress Index in Perennial Ecotypes of Rye (<i>Secale Montanum</i>)</b>	14
A. Nezami- S. Khaninejad- M. R. Bahrami- H. Zarif Ketabi	
<b>Growth and Phenology Analysis of Sesame (<i>Sesamum indicum</i> L.) under Biological and Chemical Nutritional Sources</b>	33
M. J. Mostafavi- M. Nassiri Mahallati- A. Koocheki	
<b>Some Soil Characters and Qualitative Traits of Sunflower Seeds to Different Nutritional Regimes</b>	47
F. Soleymani- G. Ahmadvand- A. A. Safari sinegani	
<b>The Effect of Organic and Chemical Fertilizers on Qualitative and Quantitative Yield of Indigo (<i>Indigofera tinctoria</i> L.) at Irrigation Levels under Bam Climatic Conditions</b>	65
N. Modafe Behzadi- P. Rezvani Moghaddam- M. Jahan	
<b>Effects of Plant Residues in Two Types of Soil Texture on Soil characteristics and corn (<i>Zea mays</i> L.) NS640 Yield in a Reduced -Tillage cropping System</b>	80
E. Hesami- M. Jahan- M. Nassiri-Mahallati- R. Farhoudi	
<b>Evaluation of Retrotransposon-based Markers for Identification of Genetic Loci Associated with Agro-morphological Characteristics and Resistance to Sclerotinia Basal Stem rotin Oily Sunflower (<i>Helianthus annuus</i> L.) under Filed Conditions</b>	95
R. Paknia- F. Shahriari- R. Darvishzadeh- S. Malekzadeh	
<b>Effects of Foliar Application Time of Nano-micronutrients on Quantity and Qualitative Traits in Rainfed durum Wheat Genotypes in Moghan</b>	111
Y. Firooz- H. Feizi- A. Mehraban- M. Alipanah	
<b>Effect of Drought Stress on Water Use Efficiency and Its Components in Several Genotypes and Cultivars of Foxtail Millet (<i>Setaria italica</i> L.)</b>	123
M. Khazaei- M. Galavi- M. Dahmardeh- S. M. Moosavi-Nik- Gh. Zamani- N. Mahdi-Nejad	
<b>Effects of Foliar Application of Zinc Fertilizer on Grain Yield and Zinc Content of Rice Grain cv. Sazandegi</b>	135
A. Ramazani- M. Solhi- M. Rezaei	
<b>Changes in Soil C/N Ratio and Response of Growth of Hemp (<i>Cannabis sativa</i> L.) to Different Levels of Animal Manure and Chemical Fertilizers</b>	151
S. Laleh- M. Jami Al-Ahmadi- S. Parsa	
<b>Application of Thermal-time Concept to Modeling Oilseed Rape (<i>Brassica napus</i> L.) Seed Germination Response to Temperature</b>	163
A. Derakhshan- A. Bakhshandeh- S. A. Siadat- M. R. MoradiTlavat- B. Andarzian	
<b>Effects of Planting Date, Bio-fertilizer Containing P Solubilizing Bacteria and Elements Foliar Application of Zinc and Boron on Physiological and Agronomic Traits of Bread Wheat (Aflakcultivar)</b>	178
H. Kamaei- H. R. Eisvand- F. Nazarian	
<b>The Effect of Plant Density on Photosynthesis and Growth Indices of Henna (<i>Lawsonia inermis</i> L.) Ecotypes</b>	190
A. Pasandi Pour- H. Farahbakhsh	
<b>Evaluation of Drought response in Some Rice Mutant Lines Using Stress Tolerance Indices</b>	201
H. Aminpanah- P. Sharifi- A. A. Ebadi	
<b>Response of Some Bread Wheat Cultivars to Foliar Application of Zn and Fe Different Forms in Two Locations with Different Soil Properties</b>	215
E. Aratzmjooy- M. A. Behdani- S. Mahmoodi- B. Sadeghzadeh	
<b>Effect of Different Tillage Methods and Cover Crop Types on Yield and Yield Components of Wheat</b>	227
Z. Sharefee- S. V. Eslami- M. Jami Al-Ahmadi- S. Mahmoodi	
<b>Effect of Foliar Application of Chelate Iron in Common and Nanoparticles Forms on Yield and Yield Components of Cumin (<i>Cuminum cyminum</i> L.) under Drought Stress Conditions</b>	240
A. Nasiri Dehsorkhi- A. Ghanbari- V. Varnaseri Ghandali	
<b>Effects of Raised Bed Planting and Nitrogen on Nitrogen Efficiency Indices and Yield of Wheat</b>	260
A. Koocheki- S. Khorramdel- J. Shabahang	

# Iranian Journal of Field Crops Research

Ferdowsi University of Mashhad  
Center of Excellence for Special Crops (CESC)

**Vol. 16**

**No. 1**

**2018**

<b>Publisher</b>	Ferdowsi University of Mashhad	
<b>Managing</b>	P. Rezvani Moghaddam (Agroecology) Prof., Ferdowsi University of Mashhad	
<b>Editor- in-chief</b>	H.R. Khazaei (Crop Physiology)	Prof., Ferdowsi University of Mashhad

## Editorial Board

Emam, Y.	Crop Physiology	Prof., Shiraz University
Bagheri, A.	Genetic and Plant Breeding	Prof., Ferdowsi University of Mashhad
Behdani, M.A.	Crop Ecology	Prof., University of Birjand
Banayan Awal, M.	Agro-Environment Modeling	Prof., Ferdowsi University of Mashhad
Jami Alahmadi, M.	Crop Physiology	Assoc. Prof., University of Birjand
Rahimian-Mashhadi, H.	Crop Physiology	Prof., Tehran University
Zamani, Gh.R.	Crop Physiology	Assoc. Prof., University of Birjand
Zare- Feizabadi, A.	Crop Ecology	Prof., Agriculture and Natural Resources Research Center of Khorasan Razavi Province
Shahriari-Ahmadi, F.	Genetic and Plant Breeding	Prof., Ferdowsi University of Mashhad
Kafi, M.	Crop Physiology	Prof., Ferdowsi University of Mashhad
Nezami, A.	Crop Physiology	Prof., Ferdowsi University of Mashhad
Mazaheri, D.	Crop Ecology	Prof., Tehran University
Khazaei, H.R.	Crop Physiology	Prof., Ferdowsi University of Mashhad

**Address:** Iranian Journal of Field Crops Research Ferdowsi University of Mashhad Faculty of Agriculture  
Mashhad, Iran

**P. O. Box:** 91775-1163

**Email:** cesc@ferdowsi.um.ac.ir

**Web Site:** <https://jcesc.um.ac.ir>

## Contents

Maximum Efficiency of Photosystem II as a Freezing Stress Index in Perennial Ecotypes of Rye ( <i>Secale Montanum</i> ).....	14
A. Nezami- S. Khaninejad- M. R. Bahrami- H. Zarif Ketabi	
Growth and Phenology Analysis of Sesame ( <i>Sesamum indicum L.</i> ) under Biological and Chemical Nutritional Sources .....	33
M. J. Mostafavi- M. Nassiri Mahallati- A. Knocheki	
Some Soil Characters and Qualitative Traits of Sunflower Seeds to Different Nutritional Regimes ....	47
F. Soleymani- G. Ahmadvand- A. A. Safari sinegani	
The Effect of Organic and Chemical Fertilizers on Qualitative and Quantitative Yield of Indigo ( <i>Indigofera tinctoria L.</i> ) at Irrigation Levels under Bam Climatic Conditions.....	65
N. Modafe Behzadi- P. Rezvani Moghaddam- M. Jahan	
Effects of Plant Residues in Two Types of Soil Texture on Soil characteristics and corn ( <i>Zea mays L.</i> ) NS640 Yield in a Reduced -Tillage cropping System .....	80
E. Hesami- M. Jahan- M. Nassiri-Mahallati- R. Farhoudi	
Evaluation of Retrotransposon-based Markers for Identification of Genetic Loci Associated with Agro-morphological Characteristics and Resistance to Sclerotinia Basal Stem rotin Oily Sunflower ( <i>Helianthus annuus L.</i> ) under Filed Conditions .....	95
R. Paknia- F. Shahriari- R. Darvishzadeh- S. Malekzadeh	
Effects of Foliar Application Time of Nano-micronutrients on Quantity and Qualitative Traits in Rainfed durum Wheat Genotypes in Moghan .....	111
Y. Firooz- H. Erci- A. Mehrabani- M. Alipanah	
Effect of Drought Stress on Water Use Efficiency and Its Components in Several Genotypes and Cultivars of Foxtail Millet ( <i>Setaria italica L.</i> ).....	123
M. Khazaei- M. Galavi- M. Dahmardeh- S. M. Moosavi-Nik- Gh. Zamani- N. Mahdi-Nejad	
Effects of Foliar Application of Zinc Fertilizer on Grain Yield and Zinc Content of Rice Grain ev. Sazandegi .....	135
A. Ramazani- M. Solbi- M. Rezaei	
Changes in Soil C/N Ratio and Response of Growth of Hemp ( <i>Cannabis sativa L.</i> ) to Different Levels of Animal Manure and Chemical Fertilizers .....	151
S. Laleh- M. Jami Al-Ahmadi- S. Palsa	
Application of Thermal-time Concept to Modeling Oilseed Rape ( <i>Brassica napus L.</i> ) Seed Germination Response to Temperature .....	163
A. Derakhshan- A. Bakhshandeh- S. A. Siadat- M. R. MoradiTavat- B. Andarzian	
Effects of Planting Date, Bio-fertilizer Containing P Solubilizing Bacteria and Elements Foliar Application of Zinc and Boron on Physiological and Agronomic Traits of Bread Wheat (Aflakultivar).....	178
H. Kamaci- H. R. Fisvand- F. Nazarian	
The Effect of Plant Density on Photosynthesis and Growth Indices of Henna ( <i>Lawsonia inermis L.</i> ) Ecotypes.....	190
A. Pasandi Pour- H. Parahbakhsh	
Evaluation of Drought response in Some Rice Mutant Lines Using Stress Tolerance Indices.....	201
H. Attinpunah- P. Sharifi- A. A. Ebadi	